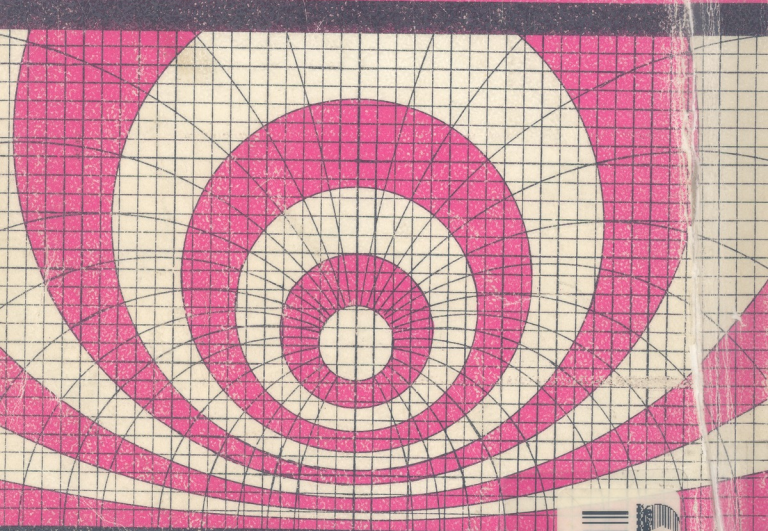


المركز القومي للدراسات والبحوث
الدراسات والبحوث في اللغة العربية
والفنون

خطوط النمل والشبكات

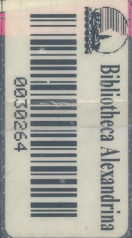


تأليف

ولتر سي جونسون

ترجمة

الدكتور سامي محمد طاهر عبدالمجيد و بايز نور رشيد السيفاني



الجمهورية العراقية
وزارة التعليم العالي والبحث العلمي
جامعة الموصل

خطوط النقل والشبكات

ولتر سي . جونسون
رئيس قسم الهندسة الكهربائية
جامعة برنستين

ترجمة

الدكتور سامي محمد طاهر عبد الموجود و بايز خورشيد السليفاني

م.مساعد في قسم الهندسة الكهربائية
جامعة الموصل

مدرس في قسم الهندسة الكهربائية
جامعة الموصل

TRANSMISSION LINES AND NETWORKS

WALTER C. JOHNSON

CHAIRMAN, DEPARTMENT OF ELECTRICAL ENGINEERING
PRINCETON UNIVERSITY

INTERNATIONAL STUDENT EDITION

13 مقدمة المؤلف
15 الفصل الاول : الثوابت الموزعة والموجات المتنقلة
15 1.1 المقدمة
18 1.2 الثوابت الموزعة للخط
20 1.3 الرموز والوحدات
21 1.4 المعادلات التفاضلية للخط المنتظم
22 1.5 الموجات المتنقلة على خط عديم الفقد
29 1.6 الانعكاسات
36 مسائل
43 الفصل الثاني : حالة استقرار التيار المتناوب
 خطوط بدون انعكاسات
43 2.1 المتجه الدوار
48 2.2 حالة استقرار التيار المتناوب لخط منتظم
52 2.3 الخط العديم الانعكاس
55 2.4 الموجة المتنقلة وخواصها
56 2.5 ملاحظة على الممانعة المميزة
61 2.6 الدسيبل والتبير
63 2.7 تغير Z_0 ، α ، β مع التردد
66 2.8 الخط غير المشوه
69 2.9 تحميل حثي
71 2.10 سرعتا الطور والمجموعة
75 مسائل
79 الفصل الثالث : ثوابت الخطوط ذات الموصلين
79 3.1 صورة نوعية للتأثير السطحي
83 3.2 التأثير السطحي في موصل مسطح
90 3.3 الممانعة الداخلية
91 3.4 الممانعة الداخلية لموصل مسطح
93 3.5 التأثير السطحي في موصل اسطواني
98 3.6 الممانعة الداخلية لموصل اسطواني
102 3.7 المجال حول موصل اسطواني طولي
105 3.8 الثوابت للخطوط المتوازية الاسلاك
110 3.9 الثوابت للخطوط المحورية
114 3.10 الثوابت لخطوط متوازية الشرائح

115 مسائل
119 الفصل الرابع : خط بانعكاسات
119	4.1 هيئات اسية مختلفة كل الحالة المستقرة للتيار المتناوب
125	4.2 الحل بدلالة Z_R ، Z_g ، E_g
128	4.3 دالات زائدية
131	4.4 الهيئة الزائدية للحل
134	4.5 التداخل ونماذج الموجات المتوقفة
140	4.6 رسم كراذك البياني
142	4.7 قياس خواص الخطوط
145	4.8 الشبكات الرباعية الاطراف الكافية
148	4.9 نسبة الادخال وفقد الادخال
151 مسائل
157 الفصل الخامس : خرائط خطوط النقل
157	5.1 مقدمة
157	5.2 معامل الانعكاس وممانعة الخط
159	5.3 خرائط الاحداثيات المتعامدة والدائرية لخط نقل
165	5.4 حساب ممانعة الخط
167	5.5 الحساب للتيارات والفولتيات
175	5.6 مساية الخط وقلب الاعداد المركبة
177 مسائل
180 الفصل السادس : اعتبارات خاصة لخطوط الترددات الراديوية
180	6.1 مقدمة
182	6.2 نسبة الموجة المتوقفة
186	6.3 قيم قصوى على نموذج الموجة المتوقفة القدرة
188	6.4 الممانعة لخطوط عديمة الفقد
190	6.5 خطوط نصف طول موجة وربع طول موجة
191	6.6 مقاطع قصيرة كعناصر دائرة
200	6.7 نظم رنانة اخرى
205	6.8 الممانعة قرب الرنين والرنين العكسي
210	6.9 الـ Q لخطوط رنانة وغير رنانة
216 مسائل

	الفصل السابع - خطوط الترددات الراديوية - قياسات
221	ومواعة مانعة
221	7.1 قياسات التردد الراديوي
222	7.2 القياس لموجات متوقفة
226	7.3 قياس طول الموجة
227	7.4 قياس الممانعة بواسطة خط نقل
229	7.5 قياس القدرة
231	7.6 القارن الاتجاهي
234	7.7 مواعة مانعة
241	7.8 محول ربع الموجة
241	7.9 موالف منفرد ابتر
244	7.10 موالف ثنائي ابتر وثوئي ابتر
246	7.11 الخط المستدق
254	مسائل
259	الفصل الثامن - اعتبارات خاصة لخطوط البرق والهاتف
259	8.1 انواع خطوط البرق والهاتف
259	8.2 الترددات المستعملة في
261	8.3 الدائرة الوهمية
262	8.4 مكبرات الهاتف والمقويات
266	8.5 ضوضاء وتداخل الكلام
273	الفصل التاسع - اعتبارات خاصة لخطوط القدرة
273	9.1 الفقد والكفاءة
273	9.2 الخطوط الطويلة والقصيرة
275	9.3 المحانة والمتسعة لخطوط ثلاثية الطور
279	9.4 مثال : خط طويل
281	9.5 الرسوم البيانية الدائرية
287	مسائل

الجزء الثاني - شبكات رباعية الاضلاع

291	الفصل العاشر - مراعاة في التحليل الابتدائي للشبكات
291	تعريفات للشبكة
292	معادلات التيار وغطاء الانقفاء
296	ممانعات النقطة المدة والانتقائية
297	مبدأ التراكب
298	نظرية التبادل
298	مسار التيار والقوى الكافئة
299	نظرية تيسن
301	انتقال القدرة القصوى
302	تحويل رايز - دلتا أولي - دلتا ثاني
307	التمثيل الجدي عشر - الخواص لشبكات رباعية الاطراف
307	غير فعالة
307	مقدمة
309	شبكات مكافئة
312	ممانعي دائرة مفتوحة ودائرة قصر
315	عانة جانب، الارسال ونسبة مدخل - مخرج
316	طرق مختلفة للتعبير عن العلاقات الطولية
318	الحون
325	مسائل
	الفصل الثاني عشر - العملية الصورية والمتكررة لشبكات
327	رباعية الاطراف
327	الممانعة الصورية والمتكررة
332	الممانعات للمقاطع L و T و π
335	ثابت الانتقال الصوري والمتكرر
340	ثوابت الانتقال وصيغ تصميم الشبكات L و T و π
343	موهّنات
346	شبكات موازنة الممانعة
349	مسائل

353	الفصل الثالث عشر - فقد الادخال وعوامل الانعكاس
353	13.1 فقد الادخال
353	13.2 شبكة منتهية بمانعيتها الصورية
356	13.3 شبكة بانتهائين غير متوائمين
360	مسائل
361	الفصل الرابع عشر - المرشحات
361	14.1 انواع المرشحات
364	14.2 حزم الارسال والتوهين لمرشح سلمي
370	14.3 الممانعات الصورية لمرشح سلمي
373	14.4 خواص الشبكات المفاعلة ثنائية الطرف
377	14.5 نظرية المفاعلة لفوستر
382	14.6 ممانعات عكس او قلب
384	14.7 المرشح السلمي
389	مسائل
393	الفصل الخامس عشر - التصميم لمرشحات سلمية
393	15.1 مقدمة
394	15.2 مقاطع ثابت ك سلمي
	15.3 فقد الادخال لمقطع ثابت ك واطيء والامرار
402	منفردة
405	15.4 مقطع مشتقة م السلمي
406	15.5 مقطع نوع م مشتق على التوالي والمرشح المركب
409	15.6 مرشح امرار واطيء مشتق على التوالي
413	15.7 مقاطع اخرى نوع م مشتق على التوالي
414	15.8 مقطع نوع م مشتق على التوازي
416	15.9 مقاطع مرشح اخرى
417	15.10 القابلو الحمل - كتليا كمرشح امرار واطيء

مسائل
المصطلحات العلمية (انكليزي - عربي)
المصطلحات العلمية (عربي انكليزي)
جدول تحويل الوحدات

بسم الله الرحمن الرحيم

تمهيد :

تبرز أهمية هذا الكتاب في عرضه الجيد للمبادئ الاساسية لشبكات النقل الكهربائي التي لا يمكن لطلبة الهندسة الكهربائية الاستغناء عنها خلال دراساتهم .

وتأتي ترجمتنا لهذا الكتاب الى اللغة العربية لانه من الكتب المساعدة الجيدة في هذا المجال ، محاولين - قدر الامكان - ان تكون هذه الترجمة سهلة القراءة والفهم على الطالب .

نأمل ان يأخذ هذا الكتاب بعد ترجمته دوره في تشجيع عملية التعريب والله الموفق .

الدكتور . سامي محمد طاهر عبد الموجود

بايز خورشيد السليقاني

جامعة الموصل

مقدمة المؤلف :

الفرض من هذا الكتاب هو تقديم المبادئ الأساسية لخطوط النقل والتحليل الابتدائي للشبكات الرباعية الاطراف غير الفعالة بشكل ملائم لمهندسي القدرة والمواصلات . ان المتطلبات الأساسية الضرورية للمواضيع التي نوقشت في هذا الكتاب هي رياضيات التكامل ونظرية التيار المتناوب الابتدائية . وربما يكون وبعض الالام بالمعادلات التفاضلية مفيداً لكنه ليس ضرورياً ، وقد تم شرح الرياضيات اللازمة عند الاحتياج . ان مادة هذا الكتاب اعدت خلال عدة سنوات من المحاضرات الصفية والتي نُقدت عدة مرات على ضوء الخبرة التدريسية .

الظاهرة الاساسية التي تميز خط النقل من الدوائر المكتلة هي الموجة المتنقلة والصورة الفيزيائية الواضحة للموجات المتنقلة وانعكاساتها وتأثيرات التداخل وسيلة جيدة لتحفيز الطالب لمتابعة المادة وابعاده عن المعادلات المكررة والغامضة وعلى هذا فالكتاب قد افتتح بمناقشة الثوابت الموزعة والموجات المتنقلة رياضياً وفيزيائياً .

الفصول الاربعة الاولى تعطي نظرة عامة عن القدرة والمواصلات على حد سواء والفصل الخامس ناقش خرائط النقل الحديثة وتطبيقاتها على الخطوط العديدة الفقد والخطوط ذات الفقد . ويتبع هذا فصول خصصت لمسائل خاصة لخطوط النقل على مدى ثلاثة ترددات : خطوط التردد الراديوي وخطوط الهاتف والبرق وخطوط القدرة ومن هنا فان المفاهيم والرموز لنظرية خط النقل تؤدي بصورة طبيعية الى تطبيقاتها على الشبكات الرباعية الاطراف غير الفعالة اما تطبيقات النظرية على الموهنات وشبكات مواثمة الممانعة والمرشحات فقد اعطيت بشيء من التفصيل .

الاجزاء الاكثر صعوبة مثل التأثير السطحي ونظرية المفاعلة لفوستر سبقت بمناقشة نوعية لهذه المواضيع وهذا يسمح باهمال جزء كبير من الرياضيات حول هذه المواضيع كلما اريد ذلك . كما يسمح للطالب فهم الظاهرة فيزيائياً قبل معاملتها رياضياً . لم يحاول هذا الكتاب الدخول في نظرية موجه الموجة المجوف ويمكن تطوير نظرية مقننة جداً لخطوط النقل من نظرية الدائرة الاعتيادية ومن جهة أخرى يمكن فهم الموجهات المجوفة للموجة فهماً سطحيّاً على هذا الأساس

حيث ان النظرية الكهرومغناطيسية للمجال هنا هي الاساس الضروري للتحليل بالرغم من ان هنالك أساساً متشابهاً بين موجه الموجة المجوف وخط النقل المتعدد الموصل المشتغل في نسقه الرئيسي ، كما ان الفرق بينهما مهمة كأهمية التشابه بينهما . ان طالب الهندسة الكهربائية يصبح مهيباً لنظرية خط النقل الاعتيادية حالما يدرس نظرية دوائر التيار المتناوب المكتلة وعليه فان الموجات المجوفة للموجة مع الاسس التحليلية المختلفة حذفت من الكتاب .

أود أن اخص بالشكر البروفيسور س . أ ج . ويلز لتشجيعه واقتراحاته المفيدة خلال تحضيرى لهذه المادة كما أشكر البروفيسور أ ج . م . جاندلر والبروفيسور أ ج . سوربر لانتقاداتهما واقتراحاتهما المفيدة وأخيراً أود أن اعبر عن تقديري لسياسة مكتبة جامعة برنستون لتشجيع نشر هذا الكتاب كما اخص بالشكر البروفيسور ويلز والعميد كي . أ ج كوندت لدوريهما في توفير الوقت الكافى لتحضير النسخة المطلوبة .

ولتر - سي - جونسون

« الفصل الاول »

الثوابت الموزعة والموجات المتنقلة

DISTRIBUTED CONSTANTS AND TRAVELING WAVES

1.1 . المقدمة :

عند تحريك شحنات كهربائية فإن المجال المغناطيسي المتسبب من تيار الشحنات المتحركة والمجال الكهربائي المتسبب من وجود الشحنات لا ينشأ أنياً « في الفراغ ولكن ينتقلان بسرعة محددة ، ففي الهواء تكون هذه السرعة تقريباً هي سرعة الضوء في الفراغ المطلق وهي حوالي 3×10^{10} متر لكل ثانية . تصور موصلين متوازيين يربطان مولد يحمل ، ان الفولتية . المسطرة من المولد على الخط لاتصل الى الحمل في اللحظة نفسها ولكن تنتقل بسرعة محددة وتصل الحمل بعد زمن معين . يمكن تفسير هذا بفعل المجالين الكهربائي والمغناطيسي والليذان يوجهان بواسطة الموصلين من المولد الى الحمل ، ولكن من الاسهل تحليلها بدلالة السحاحة الموزعة (Distributed inductance) والسعة الموزعة (Distributed capacitance) للسلوكين . ان سرعة الانتشار (Velocity of propagation) تعتمد على الوسط المحيط بالسلوكين الذي يحوي المجالين الكهربائي والمغناطيسي ، تكون السرعة لخطوط النقل الهوائية العزل (Air - Insulated) مساوية تقريباً ل سرعة الضوء في الفراغ المطلق ، وتكون أقل للموازل الصلبة

عندما تتغير فولتية المولد جيئياً مع الزمن فالمسافة التي تقطعها الموجة في دورة واحدة تساوي طول الموجة λ :

$$\text{طول الموجة} = \text{السرعة} \times \text{الفترة}$$

أو

$$\lambda = \frac{v}{f} \quad (1.1)$$

حيث ان f هو تردد المصدر السائق .

نفرض ان السرعة $v = 3 \times 10^8$ متر لكل ثانية فيصبح ممكناً عندها حساب طول الموجة لترددات مختلفة ، طول الموجة لتردد 60 هرتز هو $\lambda = 3,100$ ميل ولتردد 3 ميكا هرتز طول الموجة $\lambda = 100$ متر ولتردد 3,000 ميكا هرتز يكون طول الموجة $\lambda = 10$ سنتيمتر .

ان زمن التأخر (Time lag) بين جانب الارسل (Sending End) وجانب
الاستقبال (Receiving End) لحمل النقل مهم عندما يكون الخط طويل جداً
والتي قد ياتى هذا ذلك ان الزمن الذي تستغرقه الموجة يأخذ جزءاً كبيراً من دورة
الموجة التي تنتقل على طول الخط ، ويمكن التعبير عن ذلك بصورة أكثر ملاءمة
بأنها تأخر الموجة ويجب ان استعمل نظرية خط النقل عندما يكون الخط طويلاً
بالمقارنة مع ربع طول الموجة . وعندما تكون الاسلاك أقصر من ربع طول
الموجة فإن زمن التأخر يكون جزءاً قليلاً من الدورة وعندها يمكن تحليل النظام
بنظرية دائرة التيار المتناوب المعتادة (نظرية الدائرة الصغيرة) .

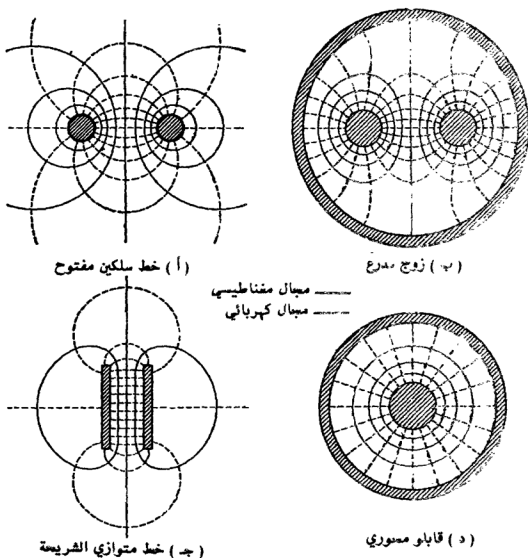


Fig. 1.1. Transverse views of some common types of transmission lines, showing the arrangement of conductors and the configuration of the electric and magnetic fields.

ان الغرض الاساسي لاستعمال خطوط النقل هو نقل قدرة تيار متناوب بين نقاط المسافة بينها ليست صغيرة بالمقارنة مع ربع طول الموجة ، كذلك عند الاطوال الموجية الصغيرة تستعمل خطوط النقل كعناصر لدائرة مفاعلة (Reactive Circuit Elements) أو كدوائر رنانة (Resonant Circuits) او كمحولات ممانعة (Impeadance Transformers) واستعمالات عديدة اخرى .

الشكل 1.1 يبين ترتيب الموصلات والشكل العام للمجاليين الكهربائي والمغناطيسي لانواع متعددة من خطوط النقل . من السهل عمل خط مفتوح ثنائي السلك (Open Two wire) والتحكم بخواصه وذلك بتغير المسافة بين السلكين . ان المجالات تمتد بعيداً عن الخط ويصبح فقد الاشعاع (Radiation Loss) كبيراً عند الترددات الراديوية العالية ولهذا فان الخطوط المفتوحة السلك لا تستعمل عادة عند ترددات اعلى من بضع مئات الميكاهرتز . في بعض الاحيان يوضع درع (Shield) - موصل حول السلكين لاحتواء المجالات كما موضح في الشكل 1.1 ب . الخط المتوازي الشريحة (Parallel Strip line) المبين في الشكل 1.1 ج يستعمل احياناً لتوفير مستوى ممانعة واطيء .

الخط المحوري (Coaxial line) يتكوّن من انبوبة مجوفة وموصل متحد المركز (Concentric Conductor) كما موضح في الشكل 1.1 د ومن الممكن تثبيت الموصل الوسطي في موقعه بواسطة محزات عازلة (Dielectric Beads) او بعازل صلب مستمر يملأ الفجوة الحلقية . عندما يستعمل عازلاً صلباً مستمراً يمكن ان يكون القابلو المحوري مرناً وذلك بتركيب الموصل الخارجي من اسلاك رفيعة متشابكة .

القابلو المحوري يكون مدرعاً ذاتياً (Self- Shielded) وليس له مجال خارجي ربما عدا مجال خارجي قرب نهايته (Terminations) ولهذا السبب يستعمل بكثرة عند مدى الترددات الراديوية وكذلك يستعمل بفعالية للموجات ذات الاطوال القصيرة مثل 10 سنتيمتر (3,000 ميكا هرتز) وهذه هي منطقة الموجات الدقيقة (Micro waves) وهو الاسم الذي سمي به الطيف الراديوي عند الاطوال الموجية التي تقل عن نصف متر .

الخطوط المفتوحة السلك (Open-Wire lines) تكون متوازنة بالنسبة الى الارض في حين يكون القابلو المحوري غير متماثل او متوازن بالنسبة الى الارض .

عند تحليل مسألة لخط النقل بواسطة النظرية الكهرومغناطيسية . وجد ان نوع النقل الذي يدرس هنا هو ليس الوحيد الممكن وجوده على مجموعة من الموصلات المتوازية ، وانما يطبق تحليلنا على ما يسمى بالنسق الرئيسي (Principle Mode) اي عندما يكون المجالان الكهربائي والمغناطيسي متعامدين مع بعضهما ومع اتجاه الموصلات كما مبين في الشكل 1.1 ، هذا النوع من الموجة المتنقلة (Travelling Wave) تسمى بالموجة الكهرومغناطيسية المستعرضة (Transverse Electromagnetic or TEM wave) وهذا هو النوع الوحيد الموجود على خط النقل عند الترددات الواطئة عندما تكون الترددات عالية جداً بحيث يقارن طول الموجة بالمسافة بين الموصلات ، فان انواعاً اخرى من الموجات (من النوع المستفاد منه في الموجهات المسجوفة للموجة) (Hollow Wave Guide) تصبح ممكنة⁽¹⁾ ، فيما عدا حالات خاصة جداً فان النسق العلوية تعد غير مرغوبة في نظم النقل التي ندرسها ولهذا فان المسافة بين الموصلين (ان امكن) تبقى اقل بكثير من ربع طول الموجة ، وسبب آخر لهذه المبالغة الصغيرة هو انه عندما تقترب المسافة بين الاسلاك في الخط غير المدرع تقترب من ربع طول الموجة فان الخط يتصرف كهوائي (Antenna) ويشع جزءاً كبيراً من الطاقة التي يحملها . في تحليلنا سوف نفرض ان المبالغة (بين الموصلات) صغيرة جداً وسنهمل فقد الاشعاع كلياً .

1.2

الثوابت الموزعة للخط: (The Distributed Constants of the Line)

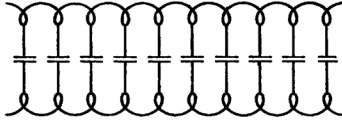
بالامكان تحليل خطوط النقل بواسطة توسيع نظرية الثوابت المكتلة (Lumped-Constant theory) وهذه النظرية سوف تطبق على كل الخطوط الموضحة في الشكل 1.1 .

ان ثوابت الخط المهمة جداً هي محاثته الموزعة وسعته الموزعة ، فعندما يمر تيار في موصلين خط النقل فان فيضاً مغناطيسياً (Magnetic Flux) يتكوّن حول هذين الموصلين وان اي تغير في هذا الفيض يحث (Induce) فولتية ($L di/dt$) (المألوفة لنظرية الدائرة المكتلة) .

(1) لتحليل نسق اعلى في القابلات المحورية شاهد :

¹ For an analysis of higher modes in coaxial cables, see A. B. Bronwell and R. E. Beam, "Theory and Application of Microwaves," Sec. 16.08, McGraw-Hill Book Company, Inc., New York, 1947; and S. Ramo and J. R. Whinnery, "Fields and Waves in Modern Radio," Sec. 9.02, John Wiley & Sons, Inc., New York, 1944.

ان محاثة الموصلين لخط النقل تكون موزعة بصورة منتظمة على اطوالها وتمثل محصلة التأثير لموصلي الخط ويرمز لها بالرمز \bar{L} ويعبر عنها بهنري لكل وحدة طول . يوجد بين موصلي الخط سعة (Capacitance) C موزعة بانتظام وهذه النسبة تقاس بفراد لكل وحدة طول كما موضح في الشكل 1.2 . وعندما ينظر الى الخط بهذه الطريقة فليس من الصعب رؤية الفولتية والتيار يتغيران من نقطة الى اخرى على هذا الخط وانه من المحتمل حدوث رنين (Resonance) اذا ماتوفرت شروط معينة .

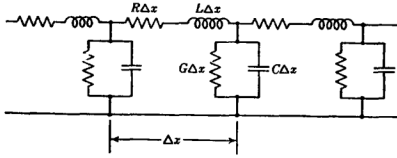


شكل 1.2 تمثيل تخطيطي للمحاثة والسعة الموزعة لخط النقل.

اضافة الى المحاثة والسعة للموصلين ايضاً مقاومة R وحدتها اوم لكل وحدة طول . وهذا التأثير يشمل كلا الموصلين . واخيراً فان العازل الموجود في الخط قد يسمح بتسرب جزء من التيار من موصل الى آخر ويمثل هذا التوصيلية (Conductance) G وتقاس بميوه لكل وحدة طول من الخط . ان قيمة R تمثل عدم الكمال في الموصل بينما G تمثل عدم الكمال في العازل وعلى الطالب ان يدرك ان G لا تمثل مقلوب R في الرموز المستعملة في نظرية خط النقل . عندما تستعمل العوازل الصلبة عند الترددات العالية جداً فان فقد العازل الكهربائي (Dielectric Loss) يمكن ان يكون ملحوظاً وهذا له التأثير نفسه على الخط كتسرب اومي حقيقي ويكون له اسهام رئيسي في قيمة G عند هذه الترددات .

على الرغم من أن ثوابت الخط موزعة بصورة منتظمة على طول الخط نقدر ان تكون فكرة بسيطة عن تأثيرها بتصور الخط مكوناً من مقاطع قصيرة بطول مقداره Δx كما هو موضح في الشكل 1.3 . اذا كان \bar{L} هو المحاثة لكل وحدة طول فان المحاثة لمقطع قصير سيكون $L \cdot \Delta x$. هنري وكذلك مقاومة مقطع قصير هي $R \cdot \Delta x$ اوم والسعة هي $C \cdot \Delta x$ فراد وتوصيلية التسرب (Leakage Conductance) هي $G \cdot \Delta x$ اوم .

* التسمية الجديدة للموه هو سيمنس ويرمز له S



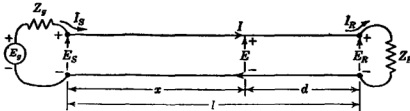
شكل 1.3 تمثيل تقريبي لمقطع قصير لخط النقل

بالرغم من ان المحاثه والمقاومة في الشكل 1.3 هما مكتلتان في موصل واحد فانها في الحقيقة يمثلان محصلة التأثير لكلا الموصلين في مقطع قصير Δx . وكلما صغرت اطوال المقاطع Δx فان الخط المكتل في الشكل 1.3 يقترب من الخط الحقيقي .

1.3. الرموز والوحدات: (Notation and units)

سنختيل مسألة نقل اساسي بالطريقة المبينة في الشكل 1.4 ، الرمزان السفليان R, S (Subscripts) يدلان بالتعاقب على جانبي الارسال والاستلام للخط وهذا الخط منته بممانعة مركبة في جانب الاستلام مقدارها Z_L وهي ممانعة الحمل ويفذي هذا الخط مولد فولتية دائرته المفتوحة (OpenCircuit voltage) هي E_g وممانعته الداخلية هي Z_g . ان وحدة الطول المستعملة عادة في مسائل خطوط الهاتف (Telephone Line) هي الميل في حين يكون المتر هو المفضل في الخطوط الراديوية . ان ثوابت الخط L و C و R و G يعبر عنها بدلالة الوحدة المختارة للطول (كمثال يعبر عن L بهنري لكل ميل او هنري لكل متر) .

سوف نرمز للفولتية الانية بـ \dot{E} وللتيار الانية بـ \dot{I} . وسنستعمل حروف كبيرة (\dot{E}, \dot{I}) لكميات تيار متناوب مركبة (Complex a-c quantities) واصطلاحات الاشارات الرياضية مبينة في الشكل 1.4 .



شكل 1.4 شكل تخطيطي لخط نقل .

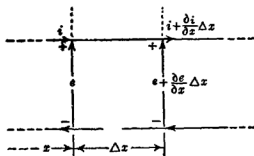
* ان وحدات SI هي الشائعة .

يؤخذ فرق الجهد بين خطين على انه عدداً موجباً من الفولت ان كان السلك العلوي في الشكل 1.4 هو موجب بالنسبة الى السلك السفلي ، ويأخذ العدد - سالب من الفولت اذا ما عكست القطبية (polarity) وسيعتبر التيار الانى الذي يسري الى اليمين في السلك العلوي (وكذلك الى اليسار في السلك السفلي) موجباً او بعكس الاتجاه سالباً ، فمجموعة مؤلفة من فولتية موجبة وبيار موجب او من فولتية سالبة وتيار سالب تمثل سريان القدرة الى اليمين .

1.4 المعادلات التفاضلية للخط المنتظم :

(The Differential Equations for the Uniform Line)

تأمل مقطعاً من خط متناه في الصغر كما في الشكل 1.5 وتأمل القيمة الانية للفولتية e والقيمة الانية للتيار i ، ان المحاطة على التوالي لهذا المقطع هي $L \cdot \Delta x$ هنري ، والمقاومة على التوالي هي $R \cdot \Delta x$ اوم . بالتشابه فان السعة على التوازي تكون $C \cdot \Delta x$ فراد والتوصيلية على التوازي تكون $G \cdot \Delta x$ سيمنس .



شكل 1.5 جزء متناه في الصغر من خط نقل .

باتباع الاصطلاحات التفاضلية فان الفرق بين القيمة الانية للفولتيات بين خط وخط . line-to-line في طرفي المقطع ستكون $(\partial e / \partial x) \Delta x$ كما مبين في الشكل 1.5 (يجب استعمال المشتقة الجزئية لأن هنالك متغيرين مستقلين هما المسافة x والزمن t) .

ان فرق الفولتية $(\partial e / \partial x) \Delta x$ هي نتيجة التيار i الساري خلال المقاومة $R \cdot \Delta x$ والمتغير بمعدل $\partial i / \partial t$ في المحاطة $L \cdot \Delta x$. وهكذا بالامكان كتابة ما ياتي :

$$-\frac{\partial e}{\partial x} \Delta x = (R \cdot \Delta x)i + (L \cdot \Delta x) \frac{\partial i}{\partial t}$$

استعملت الاشارة السالبة في هذه المعادلة لان قيمتا i و $\partial i / \partial t$ الموجبتين تسببان نقصاً في e مع ازدياد المسافة . عند تقسيم المعادلة على Δx ينتج :

$$-\frac{\partial e}{\partial x} = Ri + L \frac{\partial i}{\partial t} \quad (1.2)$$

هذه هي المعادلة التفاضلية التي تبين طريقة تغير الفولتية الانية e بين خط وخط وعلى طول الخط .

باسلوب مشابه فان الفرق في التيار بين طرفي مقطع الخط هو $(\partial i / \partial x) \Delta x$ وسيتكون من قسمين : (1) التيار المتسبب من الفولتية e المؤثرة على التوصيلة على التوازي $G \cdot \Delta x$ و (2) تيار الازاحة خلال السعة $C \cdot \Delta x$ المتسبب من الفولتية المتغيرة بمعدل $\partial e / \partial t$ وهكذا نستطيع ان نكتب المعادلة الآتية :-

$$-\frac{\partial i}{\partial x} \Delta x = (G \cdot \Delta x)e + (C \cdot \Delta x) \frac{\partial e}{\partial t}$$

بتقسيم المعادلة على Δx نحصل على المعادلة التفاضلية التي تبين الطريقة التي يتغير بها التيار i على الخط . $-\frac{\partial i}{\partial x} = Ge + C \frac{\partial e}{\partial t}$.
عندنا الان معادلتان تفاضليتان بمتغيرين تابعين هما e و i ومتغيرين مستقلين هما x و t . هاتين المعادلتين (مع الشروط الحدودية boundary conditions التي تخص طرفي الخط) تؤديان مبدئياً الى حلول الحالة المستقرة steady-state والحالة العابرة transient وسوف نؤكد بالخصوص على الحالة المستقرة لمسائل التيار المتناوب ونختبر الحالات العابرة في حالات معينة بسيطة .

1.5 الموجات المتنقلة على خط عديم الفقد :

(Travelling Waves on a lossless line)

من الفائدة دراسة الحالة الافتراضية (Hypothetical Case) لخط عديم الفقد الذي له $R = G = 0$ ان هذا الفرض معقول جداً عندما يكون فقد الخط اقل بكثير من الطاقة التي تنتقل على الخط .

يمكن حل مسائل الخطوط الراديوية القصيرة فيزيائياً بصورة مقنعة بهذه الطريقة ، وكذلك فان التقريب يوفر طريقة بسيطة ونافعة (على الرغم من انها مثالية) لحساب انتشار الاندفاعات المفاجئة (Surges) كالتي تحدث في ضربات الصواعق (Lighting Strokes) على خطوط القدرة .

من السهل فهم عمل خطوط التعوييق (Delay Lines) وخطوط تكوين النبضة (Pulse Forming lines) باستعمال نظرية عدم الفقد، في حالة عدم الفقد فإن المعادلتين (1.2) و (1.3) تصبحان :-

$$-\frac{\partial e}{\partial x} = L \frac{\partial i}{\partial t} \quad (1.4)$$

و

$$-\frac{\partial i}{\partial x} = C \frac{\partial e}{\partial t} \quad (1.5)$$

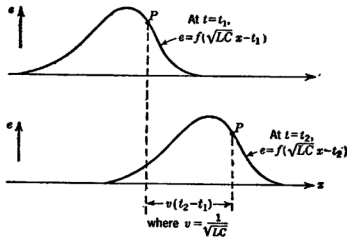
بإمكاننا إزالة i من المعادلتين بأخذ المشتقة الجزئية للمعادلة (1.4) بالنسبة إلى x وللمعادلة (1.5) بالنسبة إلى t . أولوية الاشتقاق غير مهمة وهكذا فإن $\frac{\partial^2 i}{\partial x \partial t} = \frac{\partial^2 i}{\partial t \partial x}$. وبإزالة هذه الكمية من المعادلتين نحصل على المعادلة التفاضلية للفولتية e :

$$\frac{1}{LC} \frac{\partial^2 e}{\partial x^2} = \frac{\partial^2 e}{\partial t^2} \quad (1.6)$$

إذا أزيلت e بدلاً من i من المعادلتين (1.6) و (1.7) نحصل على علاقة للتيار شبيهة بالمعادلة (1.6) :

$$\frac{1}{LC} \frac{\partial^2 i}{\partial x^2} = \frac{\partial^2 i}{\partial t^2} \quad (1.7)$$

المعادلتان (1.6) و (1.7) هما معادلتا موجة ذات شكل احداثي واحد (One Dimensional) وحلول هذ المعادلة معروفة لاحتوائها على موجات باستطاعتها الانتقال بكل الاتجاهين بدون تغير في الشكل او في الاتساع (Magnitude) وبسرعة تساوي $1/\sqrt{LC}$. ولايضاح ذلك سوف نضع تعبيراً رياضياً لهذه الموجة ثم نبين ان هذا التعبير الرياضي يحقق المعادلة التفاضلية (1.6) .



شكل 1.6 موجة متنقلة في لحظتين متعاقبتين من الزمن .

اولاً سوف نبين ان الموجة المتنقلة في الاتجاه الموجب لـ x وبسرعة $1/\sqrt{LC}$ يمكن تمثيلها رياضياً بالمعادلة :

$$e = f(\sqrt{LC}x - t) \quad (1.8)$$

حيث ان f تمثل دالة احادية القيمة (Single- Valued Function) وبازاحة زاوية (Argument) مقدارها $\sqrt{LC}x - t$. فيما يلي بعض من هذه الدوال $\sin(\sqrt{LC}x - t)$ و $\cos(\sqrt{LC}x - t)$ و $K(\sqrt{LC}x - t)^2$ حيث ان a و ω و K هم ثوابت.

مثال آخر اعم ولكن من الصعب تمثيله رياضياً هو الموضح في الشكل (1.6). افرض ان مراقباً ينتقل مع الموجة المبينة في الشكل 1.6 بحيث يبقى مع نقطة معينة على الموجة كالنقطة P . ان الدالة $f(\sqrt{LC}x - t)$ بالنسبة الى المراقب تبقى ثابتة القيمة وهذا يعنى انه يجب ان يتحرك بحيث تبقى الازاحة الزاوية $\sqrt{LC}x - t$ ثابتة بالنسبة له . بالنسبة للنقطة P فان الازاحة الزاوية هي :

$$\sqrt{LC}x - t = \text{ثابت}$$

بأخذ الاشتقاق بالنسبة الى الزمن لكل حد نحصل على معادلة تحتوي على السرعة $\frac{dx}{dt}$:

$$\sqrt{LC} \frac{dx}{dt} - 1 = 0$$

ومنها يمكن ايجاد السرعة التي تكون :

$$\frac{dx}{dt} = \frac{1}{\sqrt{LC}} \quad (1.9)$$

وحدتها هي وحدة طول لكل ثانية .

وبطريقة مشابهة فان موجة متنقلة في الاتجاه السالب لـ x يمكن تمثيلها بالمعادلة :

$$e = f_2(\sqrt{LC}x + t) \quad (1.10)$$

حيث ان f_2 هي دالة احادية القيمة .

مثال 1 : كمثال خذ الدالة $e = K(\sqrt{LC}x - t)^2$ حيث ان K هو ثابت . في زمن $t = 0$ هذه الدالة هي دالة قطع مكافئ (Parabolic Function) لـ x وتساوي :

$$e = K(\sqrt{LC}x)^2$$

وفي زمن لاحق t_1 ثانية فان الدالة هي $e = K(\sqrt{LC}x - t_1)^2$ وهي ايضاً دالة قطع مكافئ لـ x ولكن ازيحت (Shifted) الى اليمين بقيمة t_1/\sqrt{LC} وحدات مسافة على الاحداثي x . بعدئذ سوف نوضح ان الموجة المتنقلة في المعادلة (1.8) تحقق المعادلة التفاضلية لحظ عديم الفقد . ولتبسيط الرموز نكتب الازاحة الزاوية للدالة بالشكل

$$s = \sqrt{LC}x - t \quad (1.11)$$

ونكتب الحل المفترض كالآتي :

$$e = f(s) \quad (1.12)$$

الآن نأخذ المشتقات لـ e لتعويضها في المعادلة التفاضلية .

من حساب التفاضل والتكامل (Calculus) نكتب :

$$\frac{\partial e}{\partial x} = \frac{df}{ds} \frac{\partial s}{\partial x}$$

ولكن من المعادلة (1.11) وجدنا أن $\partial s / \partial x = \sqrt{LC}$ وهكذا فإن :

$$\frac{\partial e}{\partial x} = \sqrt{LC} \frac{df}{ds}$$

وبأخذ المشتقة الثانية بالنسبة إلى x نحصل على :-

$$\frac{\partial^2 e}{\partial x^2} = LC \frac{d^2 f}{ds^2} \quad (1.13)$$

وبطريقة مشابهة نستطيع أن نبين على أن :

$$\frac{\partial^2 e}{\partial t^2} = \frac{d^2 f}{ds^2} \quad (1.14)$$

إذا اخترنا الحل بتعويض المعادلتين (1.13) و (1.14) في المعادلة التفاضلية

(1.6) نحصل على :

$$\frac{1}{LC} \left(LC \frac{d^2 f}{ds^2} \right) = \frac{d^2 f}{ds^2}$$

هذه هي متطابقة تثبت أن الحل المفترض للمعادلة (1.8) يحقق المعادلة التفاضلية .

مثال 2 . تأمل الدالة $e = K(\sqrt{LC}x - t)$ حيث أن K هو ثابت . بأخذ المشتقة

الجزئية partial derivatives بالنسبة لـ x و t نحصل على :

$$\frac{\partial e}{\partial x} = 2\sqrt{LC}K(\sqrt{LC}x - t), \quad \frac{\partial^2 e}{\partial x^2} = 2LCK$$

$$\frac{\partial e}{\partial t} = -2K(\sqrt{LC}x - t), \quad \frac{\partial^2 e}{\partial t^2} = 2K$$

الآن نختبر هل أن الدالة هي حل للمعادلة التفاضلية وذلك بتعويض المشتقة

الثانية في $\partial^2 e / \partial x^2 = LC \partial^2 e / \partial t^2$.

النتيجة هي أن $2LCK = 2LCK$ والتي تبين أن تلك الدالة هي حل ممكن وقد

تبدو الكمية $1/\sqrt{LC}$ في أنها تمثل سرعة ، حيث \bar{L} هي هنري لكل وحدة طول و C

هي فراد لكل وحدة طول .

أن حاصل ضرب هنري في فراد له وحدات ثانية تربيع كما هو ملاحظ

باستدكار تعبير السرعة الزاوية لدائرة رنانة بسيطة :

$$\omega = \frac{1}{\sqrt{\text{هنري} \times \text{فراد}}} = \text{وهكذا بالنسبة الى خط النقل تكون :}$$

$$\frac{1}{\sqrt{LC}} = \frac{1}{\sqrt{(\text{فراد} / \text{طول}) (\text{هنري} / \text{طول})}}$$

ويساوي وحدة طول لكل ثانية وهذه هي وحدة سرعة والتعبير $1/\sqrt{LC}$ هو سرعة بدلالة وحدة الطول المستعملة في C و L .

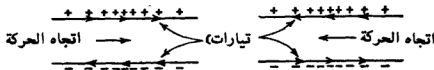
في الفصل الثالث عندما نحسب المحاثه والسعة لخط متوازي الموصلين مفصول بوسط عازل سوف نجد ان حاصل ضرب LC لا يعتمد على حجم الموصلين او على المسافة بينهما ولكن يعتمد على ثابت العزل dielectric constant وانفاذية الوسط العازل بينهما هواء هي تقريبا 3×10^8 متر لكل ثانية وهذا يحقق التجارب العملية لايجاد سرعة الضوء في الفراغ المطلق.

العوازل الصلبة التي يكون ثابت عزلها اكبر تسبب سرعة اصغر وكذلك فان الفقد في الخط يقلل السرعة نوعاً ما .

المعادلة التفاضلية للتيار مشابهة للفولتية ولذلك نتوقع ان يماثل حلها موجة متنقلة . الحل لـ ϵ الذي يماثل حل المعادلة (1.8) لـ ϵ هو :

$$\epsilon = \frac{1}{\sqrt{L/C}} f(\sqrt{LC}x - t) \quad (1.15)$$

ويمكن اثبات هذا بتعويض الحلول لـ ϵ و ϵ في المعادلة التفاضلية الاصلية (1.4) و (1.5) . بما ان الدالة f تمثل فولتية فالكمية $\sqrt{L/C}$ يجب ان تكون وحدتها وحدة ممانعة ، والكميتان L و C هما خاصيتان للخط وتسمى $\sqrt{L/C}$ بالممانعة المميزة (Characteristic Impedance) لخط عديم الفقد وسنرمز لها بالرمز Z_0 . الممانعة المميزة لخط عديم الفقد هي كمية حقيقية او بعبارة اخرى هي مقاومة ولا تعتمد على التردد وبصورة عامة فان الممانعة المميزة لخط مع فقد هي مركبة وتعتمد على التردد .



شكل 1.7 الفولتيات والتيارات المتسببة من موجات متنقلة

الآن يجب أن نثبت بأن الخط المنتظم عديم الفقد يقدر أن يحمل موجة فولتية تنتقل بسرعة $1/\sqrt{LC}$ في الاتجاه الموجب لـ z ، وأن هذه الفولتية تكون مرافقة موجة تيار مشابهة، والاثنان لهما علاقة ببعضهما حيث أن $e = \sqrt{L/C} i$ في كل نقطة على الخط، وبما أن الخط المنتظم يبدو متماثلاً من كلا الاتجاهين لذا نتوقع أن الخط يقدر حمل موجة منتقلة في الاتجاه الآخر كما في المعادلة الآتية :

$$e = f_2(\sqrt{LC}z + t) \quad (1.16)$$

يمكن إثبات صحة هذا بتعويض المعادلة (1.16) في المعادلة التفاضلية (1.6) .
يمكن تمثيل موجة التيار المرافقة لموجة الفولتية التي تتحرك في الاتجاه المعاكس بالمعادلة الآتية :

$$i = -\frac{1}{\sqrt{L/C}} f_2(\sqrt{LC}z + t) \quad (1.17)$$

أن سبب الإشارة السالبة مع موجة التيار المتحركة بالاتجاه المعاكس يمكن تصورها كما في الشكل 1.7 والذي يبين منطقة مشحونة تتحرك على الخط (أ) في الاتجاه الموجب و (ب) في الاتجاه السالب وباستعمال اصطلاحات الإشارة المعرفة في الشكل (1.4) نستطيع القول أن الفولتية موجبة في كلتا الحالتين في حين يكون موجباً للموجة المنتقلة الى اليمين وسالباً للموجة المنتقلة الى اليسار. أما للموجات المنتقلة الى اليمين فالفولتية والتيار يتوافقان في الإشارة ويختلفان للموجات المنتقلة الى اليسار في الإشارة.

المعادلات التفاضلية لهذا النظام (System) هي معادلات خطية (Linear) ولهذا أن مجموع حلين منفصلين يعد حلاً ايضاً . وبصورة عامة يكون عندنا :

$$e = f_1(\sqrt{LC}z - t) + f_2(\sqrt{LC}z + t) \quad (1.18)$$

$$i = \frac{1}{Z_0} [f_1(\sqrt{LC}z - t) - f_2(\sqrt{LC}z + t)] \quad (1.19)$$

حيث أن $Z_0 = \sqrt{L/C}$

عند تراكب (Superimposing) موجتين متعاكستين في منطقة ما على الخط فإن نسبة الفولتية الكلية والتيار الكلية سوف لا تبقى $\sqrt{L/C}$ بسبب وجود الإشارة السالبة في المعادلة (1.19) .

أن العلاقة بين الطاقتين الكهربائية والمغناطيسية على الخط مهمة فإذا كانت القيمة الآتية لتيار في أية نقطة هي i ، فإن الطاقة المغناطيسية المخزونة في طول صغير Δz هي :

$$\varepsilon_m = \frac{1}{2}(L \Delta x) i^2 \quad (1.20)$$

وان القيمة الانية ε للفولتية تحمل معها طاقة مخزونة في المجال الكهربائي .
لطول مقداره Δx هذه الطاقة هي :

$$\varepsilon_e = \frac{1}{2}(C \Delta x) e^2 \quad (1.21)$$

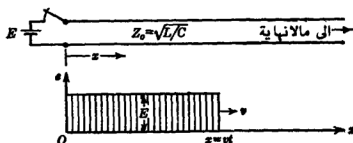
موجة منفردة (Single Wave) على خط عديم الفقد عندنا العلاقة $\varepsilon = \sqrt{L/C} i$.
في اية نقطة وفي اية لحظة ، نعوض هذه العلاقة في المعادلة (1.21) لنحصل على :

$$\begin{aligned} \varepsilon_e &= \frac{1}{2} (C \Delta x) \left(\sqrt{\frac{L}{C}} i \right)^2 \\ &= \frac{1}{2} L \Delta x i^2 \end{aligned}$$

وهذه هي معادلة المجال المغناطيسي (1.20) نفسها . وعليه فان طاقتي المجال الكهربائي والمغناطيسي على خط عديم الفقد يحمل موجة في اتجاه واحد متساويان وهاتان الطاقتان تنتقلان مع الموجة e والموجة i بسرعة $1/\sqrt{LC}$ وتكونان غير متساويتين في المنطقة التي يوجد فيها موجتان متنقلتان باتجاهين متعاكسين حيث انه (كما سبق ذكره) في منطقة كهذه سوف لا تكون عندنا العلاقة البسيطة $\varepsilon = \sqrt{L/C} i$

مثال :

الشكل 1-8 يبين بطارية بقوة دافعة كهربائية E ربطت في زمن $t = 0$ الى احدى نهايتي خط طويل غير نهائي . بعد الزمن $t = 0$ انتقلت موجة مستطيلة من الفولتية بسعة E على الخط وبسرعة مقدارها $v = 1/\sqrt{LC}$ ، مرافقة بتيار « يساوي E/Z_0 » وفي زمن t فان جزء الخط المحصور بين البطارية والنقطة $x = vt$ شحن الى فولتية E ويحمل تيار مستمر مقداره E/Z_0 في حين لا يوجد فولتية ولا تيار بعد هذه النقطة مطلقاً .



شكل 1-8 فولتية مستمرة سلطت على خط غير نهائي عديم الفقد .

الى حد النقطة $v = x$ كل طول Δx على الخط يحمل طاقة مقدارها :

$$\varepsilon = \varepsilon_e + \varepsilon_m = \frac{1}{2} C \Delta x E^2 + \frac{1}{2} L \Delta x \left(\frac{E}{Z_0} \right)^2$$

$$= C \Delta x E^2$$

لذلك فان الطاقة الكلية المخزونة على الخط هي :

$$\varepsilon_t = C(vt)E^2$$

ومعدل ازدياد هذه الطاقة هو :

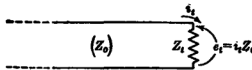
$$\frac{\varepsilon_t}{t} = C v E^2 = \frac{E^2}{\sqrt{L/C}} = EI$$

وهذا بالطبع يساوي القدرة المستمرة المجهزة من البطارية .

1-6 الانعكاسات (Reflections)

الشكل 1-9 يبين طرفاً من خط منته بممانعة قيمتها Z_t ، وبما اننا لانريد أن نتحدد بموجات جيبيه متناوبة سوف نوجه انتباهنا مؤقتاً الى مقاومات بحيث فقط كتلك التي قيمتها $\sqrt{L/C}$ التي لايعتمد على التردد . تصور موجة فولتية ساقطة (Incident) يرمز لها e^+ تنتقل الى اليمين من الخط مرافقة بتيار مقداره $i^+ = e^+/Z_0$ على كل فني طرف الانتهاء يجب ان يكون عندنا العلاقة :

$$\frac{e^-}{i^-} = Z_t \quad (1.22)$$



شكل 1-9 خط نقل منته بممانعة مقدارها Z_t .

الآن مالم تكن القيمة العددية لـ Z_t مساوية لـ Z_0 فان هذا لايعتق العلاقة الضرورية للخط ولهذا ان جزءاً من الموجة الساقطة سوف ينعكس لنرمز للفولتية وللتيار المنعكسين e^- و i^- والعلاقة بينهما ما تكون $e^- = -i^- Z_0$ هكذا : وفي نقطة انتهاء الخط يمكن كتابة المعادلة (1-22) هكذا :

$$\frac{e_+ + e^-}{i_+ + i^-} = Z_t \quad (1.23)$$

حيث ان الرمز السفلي الدليلي يدل على القيم في نهاية الخط .

يمكن كتابة المعادلة (1-23) بدلالة Z_0 هكذا :

$$\frac{e_+ + e^-}{e_+/Z_0 - e^-/Z_0} = Z_t \quad (1.24)$$

بحل المعادلة (1-24) لايجاد النسبة بين الفولتية الساقطة الى الفولتية المنعكسة نحصل على المعادلة :

$$\frac{e_i^-}{e_i^+} = \frac{Z_i - Z_0}{Z_i + Z_0} = k \quad (1.25)$$

الكمية k تسمى معامل الانعكاس ، لاحظ ان k سوف تكون صفراً ولا يحصل انعكاس في حالة تساوي ممانعة النهاية الممانعة المميزة للخط .

وهكذا فإن ممانعة الانتهاء المختلفة عن Z_0 تنتج عنها موجة منعكسة تنتقل بعيداً عن الانتهاء ، الانعكاس نفسه عندما يصل الى الطرف الآخر من الخط ينعكس اذا كانت ممانعة الانتهاء لذلك الطرف مختلفة عن Z_0 .

كتمريرين :

على الطالب ان يبرهن ان معامل الانعكاس للتيار يساوي معامل انعكاس الفولتية بعكس الاشارة .

مثال ١ .

مولد تيار مستمر او بطارية بقوة دافعة كهربائية مقدارها E ربطت عند زمن $t = 0$ في احدى نهايتي موصلين متوازيين منتهيين في الطرف الآخر بمقاومة مقدارها R (كما في الشكل 1-10) . الفقد في الخط سوف يهمل ونفرض التحديد افترض ان $R = 3Z_0$ ويساوي ثلاثة أضعاف الكمية $\sqrt{L/C}$ للخط .

من الزمن $t = 0$ وهلم جرا تنتقل فولتية موجة مستطيلة ذات سعة E على الخط بسرعة $v = 1/\sqrt{LC}$ مرافقة لها موجة تيار مشابهة سعتها Magnitude تساوي E/Z_0 عندما تصل موجة الفولتية الى طرف الاستلام ستنعكس بمعامل يمكن ايجاده من المعادلة (1.25) :

$$k_z = \frac{3Z_0 - Z_0}{3Z_0 + Z_0} = \frac{1}{2}$$

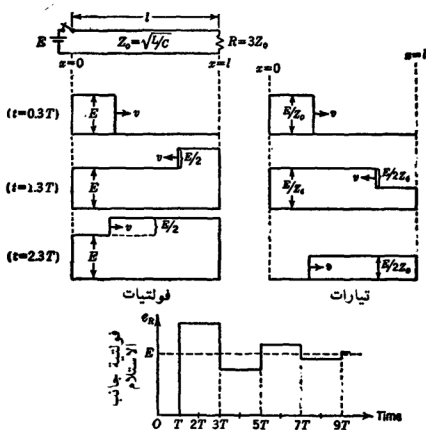
وهكذا كما في الشكل 1-10 سيكون هنالك موجة فولتية منعكسة بقيمة عددية هي $E/2$ مرافقة بموجة تيار تساوي $-E/2Z_0$.

ان الموجة الاولى المنعكسة ستنعكس مرة أخرى عندما تصل طرف الارسال حيث ان ممانعة النهاية تكون صفراً في هذا الطرف بشرط اهمال المقاومة الداخلية للمولد (او البطارية) وعليه ففي طرف المولد يكون :

$$k_v = \frac{-Z_0}{Z_0} = -1$$

وتكون الفولتية المنعكسة مساوية لـ $-E/2$ و $(E/2)k_v = -E/2$ ولهذه الموجة الجديدة المنتقلة الى اليمين يكون التيار $E/2Z_0$.

وإذا تتابعت الانعكاسات المتعاقبة Successive Reflection فالنتيجة الحاصلة ستكون كما في الشكل 1.10 ، وفي كل لحظة فإن النسبة بين فولتية جانب الارسال وتيار جانب الارسال تساوي مقاومة الطرف R . وبمرور الوقت فإن فولتية الارسال تستقر بالتدريج عند قيمة الحالة المستقرة (Steady-State Value) والتيار يستقر عند القيمة $E/R = E/3Z_0$.



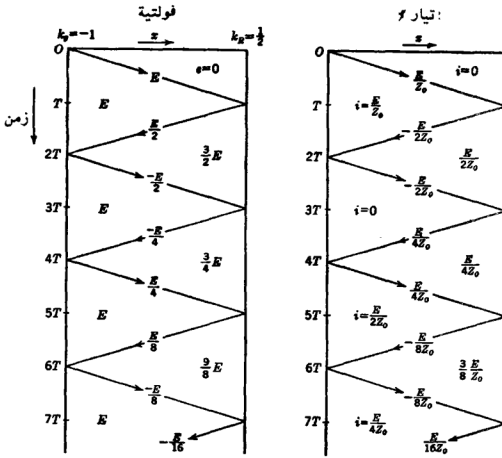
شكل 1.10 الحالات العابرة على خط عديم الفقد منتج بمقاومة مقدارها $3Z_0$. الزمن اللازم لانتقال الموجة على طول الخط يرمز له بـ T حيث ان $T = l/v$.

الرسم البياني للمسافة والزمن Space-Time Diagram المبين في الشكل (1.11) هو واسطة مناسبة لتتبع الانعكاسات المختلفة ومجموعها ، رسمت المسافة افقياً والزمن عمودياً الى الأسفل (١) .

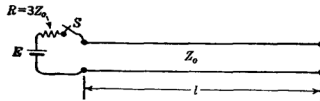
(١) يمكن تطبيق هذه الطريقة لحساب موجات مختلفة الاشكال منتقلة على خطوط لها فقد ، ان خصوصية هذه الطريقة انها ملائمة لحساب الانعكاسات في نقاط الانتعاض (Discontinuities) لاحظ :

L.V. Bewley «Travelling Waves on Transmission Systems,» Chap. IV John Wiley and Sons, Inc, New-York 1933.

رمز للزمن اللازم لانتقال الموجة على طول الخط بـ T حيث ان $T = l/v$.
الخطوط المتعرجة (Zig-Zag lines) هي آثار (Traces) جبهات الموجات المنعكسة والارقام التي على هذه الخطوط تبين اتساع كل موجة ويمكن الحصول على كل انعكاس بضرب الموجة السابقة بمعامل الانعكاس في النقطة التي حدث فيها الانعكاس .



الشكل 1.11 رسم بياني للانعكاس في المسألة المبينة في الشكل 1.10



الشكل 1.12 خط مفتوح الدائرة شحن خلال مقاومة .

ان العدد المبين في الفراغات المتداخلة في شكل 1-11 هو حاصل جمع الموجات المنفردة فوق تلك النقطة ويمثل محصلة التيار او الفولتية في تلك النقطة على الخارطة (Chart) ويمكن بسهولة الحصول على قيمة الفولتية او لتيار في اي زمن واي مكان من الرسم البياني (Diagram).

مثال 2. الشكل 1-12 يبين خط نقل كان في البداية غير مشحون ومفتوح الدائرة في النهاية البعيدة للخط .

في زمن $t = 0$ أغلق المفتاح S وهكذا ربط الخط ببطارية على التوالي مع مقاومة تساوي $3Z_0$ ، ان طرف الارسال لا يستطيع ان يعرف ان هذا الخط نهائي الى حين وصول أول انعكاس من جانب الارسال ولهذا فان الخط سيكون في البداية سائلاً لممانعة مقدارها Z_0 في طرف الارسال . باستعمال مبدأ مقسم الفولتية (Voltage Divider) لحساب فولتية طرف الارسال الاولى نجد ان :

$$e_s = \frac{Z_0}{Z_0 + R} E = \frac{E}{4} \quad \text{for } 0 < t < 2l/v$$

ان موجة فولتية بهذه القيمة تنتقل الى طرف الارسال حيث انها تنعكس بمعامل مقداره :

$$k_R = \lim_{Z_R \rightarrow \infty} \left(\frac{Z_R - Z_0}{Z_R + Z_0} \right) = 1$$

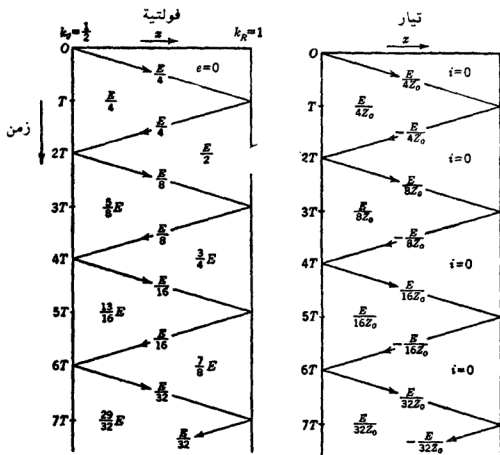
وينتقل الانعكاس راجعاً الى طرف المولد حيث ينعكس بمعامل مقداره :

$$k_v = \frac{3Z_0 - Z_0}{3Z_0 + Z_0} = \frac{1}{2}$$

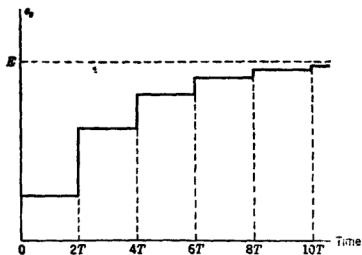
فالانعكاسات المتتالية (Successive Reflections) مبينة في الرسم البياني للشكل 1-13 والرسم البياني المبين في الشكل 1-14 . ان ازدياد فولتية طرف الارسال تشابه الفولتية على طرفي متسعة مشحونة خلال مقاومة من بطارية .

مثال 3. الشكل 1-15 يبين موجة منتقلة شبيهة الشكل بالتى تحدث على خطوط القدرة نتيجة لضربة صاعقة (Lighting Stroke) ان الموجة يفترض ان تنتقل نحو انتهاء مقاومي يساوي $3Z_0$ ، المشكلة هنا هي ايجاد الطريقة التي تنعكس بها موجتا التيار والفولتية في نهاية الخط . على الرغم من ان الرسم البياني للانعكاسات مشابه للشكل 1-11 والذي يمكن استعماله نفسه ، فاننا سنستخدم طريقة اخرى مفيدة للحالات البسيطة .

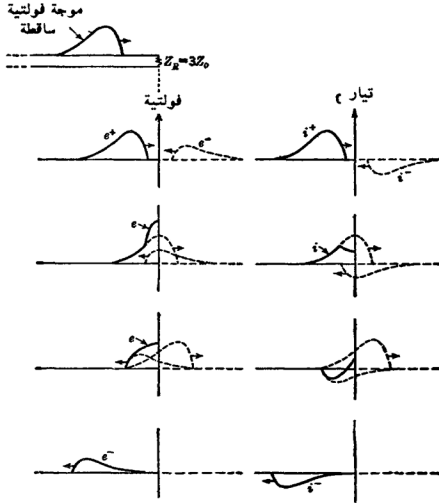
ان معامل الانعكاس للفولتية هو $1/2$ ويمكن البرهان على صحته باستعمال المعادلة (1.25) مع قيمة $Z_t = 3Z_0$ وان معامل الانعكاس للتيار يعادل قيمة الفولتية نفسها ولكن يساوي $1/2 -$.



شكل 1.13 رسم بياني للانعكاسات في المسألة المبينة في شكل 1.12. $T = l/v$.



شكل 1.14 رسم بياني لتغير فولتية حُرْف الإرسال مع الزمن للمسألة المبينة في شكل 1.12. $T = l/v$.



شكل 1.15 الانعكاس لموجة من حمل مقاومي مساو لـ $3Z_0$ Fig. 1.15

سوف نحسب الانعكاس بتصور ان الخط يمتد أبعد من انتهائه الحقيقي كما مبين في الشكل 1.15 وان هذا الامتداد الخيالي (Fictitious Extension) يحمل هذه الانعكاسات :-

$$e^- = \frac{1}{2}e^+$$

$$i^- = -\frac{1}{2}i^+$$

من الممكن اعتبار مقاومة الحمل مستبدلة بمرآة من نوع خاص وضعت عمودياً على الخط وان الموجات الخيالية الى اليمين من هذه المرآة يمكن اعتبارها انعكاساً من مرآة بالنسبة الى الموجات الساقطة او بمرور الوقت فان الموجات الساقطة تتلاشى في المرآة والموجات المنعكسة تخرج من المرآة كما مبين في الصور المتعاقبة في الشكل 1.15 . ويمكن الحصول على النتيجة النهائية بتراكب الموجتين . لاحظ انه على الخط يكون عندنا العلاقات التالية :

$$z^+ = \frac{e^+}{Z_0}$$

$$z^- = -\frac{e^-}{Z_0}$$

من ناحية أخرى فإن تراكب هذه الموجات بسبب محصلة الفولتية والتيار في الحمل بنسبة $3Z_0$ ، والتي هي ممانعة الحمل المفترضة. الصورة النهائية تبين أن الموجة المنعكسة تنتقل مرة أخرى على الخط، بما أن قيمتي e^- و z^- هما نصف قيمتي e^+ و z^+ (على التوالي) فالقدرة المنعكسة هي ربع القدرة الساقطة والباقي امتصته مقاومة الحمل.

تمارين

1. أ. برهن بالتعويض المباشر أن المعادلتين الآتيتين للفولتية والتيار تحققان المعادلتين التفاضليتين (1.4) و (1.5) :

$$e = K(\sqrt{LC}x - t), \quad i = K\sqrt{\frac{C}{L}}(\sqrt{LC}x - t)$$

حيث أن K لها قيمة ثابتة

ب. كرر الفرع أ للمعادلتين $e = K(\sqrt{LC}x + t), i = -K\sqrt{C/L}(\sqrt{LC}x + t)$.

ج. ارسم مخططاً بمقياس لكل من e و i لفرع أ كدالة (Funtion) لـ x .

بين $x = 10$ متر و $x = -10$ متر ولثلاثة قيم من الزمن: $t = 0$ و $t = 10^{-8}$ و $t = 2 \times 10^{-8}$

استعمل $K = 2 \times 10^9$ فولت لكل ثانية و $L = 1.40 \times 10^{-8}$ هنري لكل متر و $C = 7.94 \times 10^{-18}$ فراد لكل متر.

د. كرر الفرع ج لكل من e و i في الفرع ب.

2. برهن بالتعويض المباشر أن المعادلتين الآتيتين للفولتية والتيار تحققان المعادلتين التفاضليتين (1.4) و (1.5) :

$$e = E \cos \omega(t - \sqrt{LC}x)$$

$$i = E\sqrt{\frac{C}{L}} \cos \omega(t - \sqrt{LC}x)$$

حيث ان ω لها قيمة ثابتة .

3. برهن ان الموجة $e = E \cos(\omega t - \beta x)$ تنتقل بسرعة تساوي ω/β .

4. اعطيت موجة الفولتية $e = E \cos(\omega t - \beta x)$ حيث ان $E = 100$

فولت و $\omega = 6\pi \times 10^7$ من الزاوية نصف القطر لكا ثانية و $\beta = 0.2\pi$ من الزاوية نصف قطرية لكل ثانية :

أ. لثلاثة قيم من الزمن $t = 0$ ثانية و $t = 1/24 \times 10^{-7}$ ثانية و $t = 1/12 \times 10^{-7}$ ثانية ارسم مخططاً لـ e ضد x والمسافة $0 \leq x \leq 12.5$ أمتار

ب. اكتب معادلة لـ e بدلالة t عند $x = 0$ وكرر ذلك عند $x = 12.5$ متر وقارن بين المعادلتين .

5. ان المعادلتين (1.8) و (1.5) تحققان المعادلتين التفاضليتين (1.4) و (1.5) .

6. بحذف e من المعادلتين (1.4) و (1.5) برهن على صحة المعادلة التفاضلية (1.7) للتيار .

7. برهن ان معامل الانعكاس للتيار يعادل معامل الانعكاس للفولتية بعكس الاشارة .

8. خط نقل عديم الفقد طوله l وممانعته المميزة Z_0 ، منته بمقاومة قيمتها $Z_R = Z_0/3$ في زمن $t = 0$ ، ربط طرف الارسال من الخط ببطارية ذات مقاومة داخلية مهملة وقوة دافعة كهربائية E .

أ. ارسم الرسم البياني للمسافة والزمن (Space-time) للانعكاسات .

ب. ارسم مخطط الفولتية والتيار جانب الارسال كدالة للزمن .

ج. ارسم مخططاً للفولتية في منتصف المسافة على الخط للزمن .

د. ماهو الطول التقريبي لخط معزول بالهواء لو ان T هي اميكرو ثانية .

9. خط عديم الفقد طوله l وممانعته المميزة Z_0 مفتوح في نهايته البعيدة وغير مشحون . عندما يكون الزمن $t = 0$ ، ربط الخط ببطارية قوتها الدافعة الكهربائية E مع مقاومة على التوالي في جانب الارسال . الزمن اللازم لموجة لكي تقطع الخط هو T ارسم مخطط الفولتية والتيار جانب الارسال كدالة للزمن ولقيم R التالية : -

أ. $R = 4Z_0$

ب. $R = Z_0$

ج. $R = Z_0/4$

10. عندما $t = 0$ ، ربطت بطارية قوتها الدافعة الكهربائية E_0 على التوالي مع مقاومة بجانب ارسال لخط عديم الفقد نهايته البعيدة مقصورة الدائرة (Short Circuit).

أ. ارسم الفولتية والتيار لطرف الارسال كدالة للزمن $R = Z_0/3$ ان الزمن اللازم لانتقال الموجة على طول الخط هو T .
 ب. ركب على الرسم البياني لفرع أ رسماً آخر لـ $R = Z_0/6$ لاحظ انه عندما تقل R فإن الرسم البياني يقترب بالشكل من تغير اسي منتظم (Smooth Exponential).

11. بطارية بقوة دافعة كهربائية مقدارها E ومقاومة على التوالي مقدارها R_0 ربطت عند $t = 0$ بجانب ارسال خط عديم الفقد مسنوح الدائرة في نهايته البعيدة. اذا كان الزمن اللازم لانتقال الموجة على طول هذا الخط هو T . ارسم مخططاً لفولتية جانب الارسال كدالة للزمن ولقيمة $R = 6Z_0$. قارن النتيجة مع الشكل 1.14 المرسوم لـ $R = 3Z_0$. لاحظ انه بازياد R فإن الرسم البياني يقترب بالتدريج من تغير اسي منتظم.

12. ربطت مقاومة مقدارها R_0 داخلياً على التوازي بين سلكين لخط نقل يمتد بصورة غير محدودة من هذه المقاومة في كلا الاتجاهين. تصور ان موجة فولتية ساقطة مقدارها e^+ تنتقل على هذا الخط وتصطدم في نقطة اتصال المقاومة بالخط. برهن انه موجة الفولتية المنعكسة هي :

$$-\frac{Z_0}{2R + Z_0} e^+$$

وان الموجة المرسلة هي :

$$\frac{2R}{2R + Z_0} e^+$$

13. خط نقل عديم الفقد ممانعته المميزة هي Z_0 يتفرع الى خطين على شكل Y، كل فرع له ممانعة مميزة تساوي الممانعة المميزة للخط الرئيسي. انتقلت موجة فولتية مستطيلة بسعة مقدارها E على الخط الرئيسي واصطدمت بنقطة التفرع. جد سعة موجة الفولتية المنعكسة من نقطة التفرع وكذلك سعتي موجتي الفولتية اللتين تنتقلان على الفرعين.
 تلميح : يمكن استعمال نتائج المسألة 12.

14. لخط النقل في مثال الجزء 1.6، ارسم المخططات الآتية كدالة لـ x وفي اللحظات الزمنية الثلاث المبينة في الشكل 1.10 :
 أ. الطاقة المخزونة في المجال الكهربائي لكل وحدة طول.

ب . الطاقة المخزونة في المجال المغناطيسي لكل وحدة طول .

ج . الطاقة الكلية المخزونة لكل وحدة طول .

ان طول الخط هو 10 متر ومحاثته هي 8×10^{-7} هنري لكل متر ومتسعته هي 13.9×10^{-12} فراد لكل متر والفولتية المسلطة عليه هي $B = 10$ فولت .

15 . نبضة (Pulse) فولتية مستطيلة باتساع 100 فولت انتقلت على خط عديم الفقد ذي ممانعة مميزة مقدارها 400 اوم ونهاية مفتوحة الدائرة .

ارسم تغير فولتية وتيار الخط مع المسافة من النهاية . المفتوحة للخط للحالات الآتية :

أ . في لحظة وصول الحافة المتقدمة (Leading Edge) للنبضة الى النهاية المفتوحة للخط .

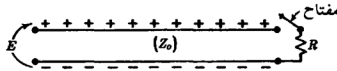
ب . لحظة انعكاس نصف النبضة .

ح . لحظة ترك الحافة المتأخرة (Trailing Edge) للنبضة النهاية المفتوحة .

16 . كرر المسألة 15 عندما تكون نهاية الخط هي دائرة مقصرة بدلاً من دائرة مفتوحة .

17 . موجة فولتية كالمبينة في الشكل 1.15 تنتقل باتجاه نهاية الخط المنتهي بمقاومة مقدارها $Z_R = Z_0/3$ ارسم مخططاً للفولتية والتيار الناتجين في

اللحظات الزمنية الاربع المبينة في الشكل 1.15 .



شكل P. 18 خط مشحون بفرق جهد منتظم .

18 . الشكل P18 يبين خطاً عديم الفقد مفتوح الدائرة في نهايته ومشحون بفولتية مقدارها E على كل طول . عندما $t = 0$ ، غلق المفتاح رابطاً المقاومة مع الطرف الايمن وهكذا تكونت موجة فولتية مقدارها e^- والتي تبتديء حين غلق المفتاح وتنتقل يساراً على الخط ولدت هذه الموجة تياراً خلال المقاومة R ، يساوي $-e^-/Z_0$ وفولتية على R تساوي $E + e^-$ لحين وصول الانعكاس .

برهن ان موجة الفولتية التي ابتدأت بغلق المفتاح هي كالآتي :

$$e^- = -\frac{Z_0 E}{Z_0 + R}$$

19. خط عديم الفقد مفتوح الدائرة في كلتا نهايتيه شحن بفولتية مقدارها E على طوله الكلي (انظر شكل P 18). في زمن $t = 0$. ربطت مقاومة قيمتها $Z_0 = R$ في النهاية اليمنى من الخط . ارسم الشكل البياني مسافة - زمن للانعكاس والمخطط البياني للفولتية عبر المقاومة كدالة للزمن . استعمل الرمز T للدلالة على ' زمن اللازم لكي تنتقل الموجة على طول الخط .
20. خط عديم الفقد مفتوح الدائرة في كلتا نهايتيه مشحون على كل طوله بفرق جهد مقداره 500 فولت (انظر شكل P 18) .
- الممانعة المميزة لهذا الخط هي 400 اوم وطوله 150 متر . في زمن $t = 0$ ربطت مقاومة مقدارها 1500 اوم بنهايته اليمنى باستعمال نتائج المسألة 18 ارسم الرسم البياني مسافة - زمن للانعكاسات وارسم المخطط البياني للفولتية على المقاومة كدالة للزمن .
21. كرر المسألة 20 ولكن باستعمال مقاومة انتهاء قيمتها 100 اوم .
22. ابتداء بالمعادلتين (1.2) و (1.3) تخلص من : وبرهن على ان المعادلة التفاضلية للفولتية لخط منتظم الفقد هي :

$$\frac{\partial^2 e}{\partial x^2} = LC \frac{\partial^2 e}{\partial t^2} + (RC + LG) \frac{\partial e}{\partial t} + RGe$$

- لاسباب تاريخية وسمت هذه المعادلة بـ (معادلة المبرقين)
- (Telegrapher's Equation) وكذلك يوجد معادلة مشابهة للتيار .
23. في ما يسمى بالخط غير المشوه تتحدد العلاقة بين ثوابته $RC = GL$. برهن بالتعويض في معادلة المبرقين (مسألة 22) ان الحل الآتي صحيح للخط غير المشوه (Distorsionless Line):-

$$e = e^{-\alpha \sqrt{C/L} f} (\sqrt{LC} x - t)$$

- هذا الحل يمثل موجة تتلاشى قيمتها بشكل أسي حين انتقالها على الخط .
24. خط نقل بممانعة مقاومة (Resistive) مقدارها Z_0 منتب بمحاثة قيمتها jL هنري . هنالك موجة ماقطة بسعة ثابتة مقدارها $E = 1$ تصطدم بنهاية الخط في زمن $t = 0$.
- أ. برهن ان المعادلة التفاضلية التي تحقق بالفولتية المنعكسة من جانب الاستلام بعد زمن $t = 0$ هي :

$$L \frac{de_R}{dt} + e_R = -E$$

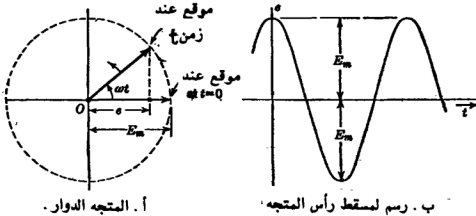
الفصل الثاني

حالة استقرار التيار المتناوب . خطوط بدون انعكاسات

THE A-C STEADY STATE.

LINES WITH NO REFLECTIONS

2.1 المتجه الدوار . The Rotating Vector : - ان اكثر طريقة ملائمة رياضياً لمعاملة كميات متغيرة جيبياً هي التعبير عنها بدلالة المتجهات الدوارة ، ومن ثم تمثيل هذه المتجهات باعداد مركبة (Complex Numbers) . من المفضل في نظرية خط النقل استعمال رمز اكثر تجريداً (Abstract Notation) كما نحتاجه لشبكات التيار المتناوب البسيطة ولذلك سنخصص جزءاً صغيراً من هذا الفصل لدراسة الاسس الرياضية لهذه الطريقة .



أ . المتجه الدوار .

ب . رسم لمقطع رأس المتجه

Fig. 2.1. Generation of a

الدوار على الاحداثي الافقي .

which

شكل 2.1 توليد المنحني الجيبي بواسطة متجه دوار .

which

المتجه المبين في الشكل 2.1 طوله E_m ونقطة اصله عند $t=0$ ويتحرك بعكس اتجاه عقرب الساعة بسرعة زاوية منتظمة مقدارها ω من الزاوية نصف القطرية بالثانية . اذا كان المتجه افقياً في زمن $t = 0$ فانه بعد مضي زمن مقداره t سيصنع زاوية مقدارها ωt من الزاوية نصف القطرية مع الاحداثي الافقي .

ان مقطع رأس المتجه الدوار على اي مستقيم ثابت هو نقطة (من الممكن رؤية ذلك من هندسة الشكل) تتحرك حركة توافقية بسيطة بسعة E_m ، من وجهة النظر الهندسية يكون من الاسهل اسقاط المتجه على الاحداثي العمودي ، وهذا

ما يعمل به عادة في بعض معالجات نظرية دائرة التيار المتناوب . على اي حال ،
فانه سيصبح اكثر ملائمة لاغراضنا الحاضرة فيما اذا اسقطنا على الاحداثي
الافقي ويظهر جلياً من الشكل بان الاسقاط على هذا الاحداثي يعطينا الاتي :

$$e = E_m \cos \omega t \quad (2.1)$$

ان دالة جيب التمام تكمل دورة (Cycle) كلما اكمل المتجه دورة كاملة . ان
الفترة T هي مقدار الزمن الذي تتغير خلاله ωt بزاوية نصف قطرية مقدارها 2π
او بعبارة اخرى $T = 2\pi/\omega$ ثانية وان التردد او عدد الدورات بالثانية هو مقلوب
الفترة T او :

$$f = \frac{\omega}{2\pi}$$

ان الكمية ω تدعى عادةً بالتردد الزاوي (Angular Frequency) وذلك لتمييزها
عن f .

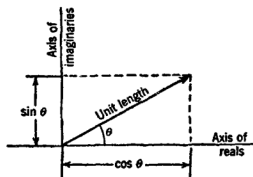
بعد ذلك سنختبر خواص العدد المركب $e^j\theta$. حيث ان θ هو عدد حقيقي
(Real Number) وان $j = \sqrt{-1}$. تنص صيغة اويلر (Euler's Formula) على
ان :

$$e^j\theta = \cos \theta + j \sin \theta \quad (2.2)$$

لذلك ان $e^j\theta$ عدد مركب من جزئين جزء حقيقي $\cos \theta$ وجزء خيالي $\sin \theta$.
نرجع الآن الى شكل 2.2 الذي يبين متجهاً ذا وحدة طول
(Vector of Unit Length) مرسوماً على مستوى مركب (Complex Plane) بحيث
يصنع زاوية مقدارها θ مع الاحداثي الحقيقي . ومن الواضح ان المركبتين
الحقيقية والخيالية لهذا المتجه هما $\cos \theta$ و $\sin \theta$ على التوالي .

وهما بالضبط مركبتا $e^j\theta$ ، وعليه فالتمثيل الهندسي لـ $e^j\theta$: هو متجه ذو وحدة
طول على المستوى المركب ويصنع زاوية مقدارها θ مع الاحداثي الحقيقي .
وباستعمال الرموز المجازية (Symbolic Notation) فان :-

$$e^j\theta = 1/\underline{\theta}$$



شكل 2.2 تمثيل $e^j\theta$ على المستوى المركب

الان اذا تركنا الزاوية θ تزداد بصورة منتظمة مع الزمن ، فسوف نحصل على متجه دوار ذي وحدة طول واذا ابتدأ هذا المتجه بالدوران من الوضع الافقي حينما يكون الزمن $t = 0$ ويدور بسرعة زاوية مقدارها ω من الزاوية نصف القطرية ، فان زاويته θ في اية لحظة تكون ωt من الزاوية نصف القطرية . ان هذا المتجه الدوار الذي له وحدة الطول سيعبر عنه جبرياً كالآتي :

$$e^{j\omega t} = \cos \omega t + j \sin \omega t \quad (2.3)$$

ان مسقط رأس هذا المتجه الدوار على الاحداثي الافقي (احداثي القيم الحقيقية) هو الدالة $\cos \omega t$ كما يرى من الرسم البياني (Diagram). النص المكافئ او بعبارة اخرى فان المركبة الحقيقية لـ $e^{j\omega t}$ هي $\cos \omega t$ وبالرجوع الى المعادلة (2.3) نجد ان هذا في الحقيقة صحيح والرموز المختزلة (Short Hand Notation) التي تستعمل غالباً هي الاتي :

$$\cos \omega t = \text{Re}[e^{j\omega t}] \quad (2.4)$$

حيث ان الرمز Re يقرأ « الجزء الحقيقي لـ » وان الجزء الخيالي لـ $e^{j\omega t}$ هو $\sin \omega t$ وهذا يفي تماماً بالفرض في تحليلنا ، ولكن تبدو جبرياً طبعية أكثر بأخذ الجزء الحقيقي . ففي بداية هذه المعالجات نفصل اسقاط المتجهات الدوارة على الاحداثي الافقي .

نستطيع الان ان نمثل المتجه الدوار للشكل (2.1 أ) جبرياً بدلالة الاعداد المركبة كـ $E_m e^{j\omega t}$ ، ومسقطه على الاحداثي الحقيقي (قارن بالمعادلة 2.1) كالآتي :

$$e = \text{Re}[E_m e^{j\omega t}] \quad (2.5)$$

هنالك عدة اسباب لاتباع هذه الطريقة المستحبة الاولى ان تمثيل الكميات المتغيرة جيبياً بمتجه (او مرادفه (Associated) من الاعداد المركبة) يكون اكثر ملائمة من تمثيلها بتعابير هندسية وان الفائدة من هذه الطريقة تصبح أكثر وضوحاً كلما ازداد عدد الكميات الجبرية (ربما فولتيات وتيارات) في مسألة معينة . والبب الثاني هو التبسيط الرياضي الذي يحدث عند أخذ المشتقات لدالة اسية (Exponential Function) التي تمثل المتجه ، لأن الاسي لا يغير شكله الرياضي عند تفاضله وكمثال خذ مشتقة المعادلة (2.1) بالنسبة الى الزمن :

$$\frac{de}{dt} = -\omega E_m \sin \omega t \quad (2.6)$$

من الناحية الأخرى فإن مشتقة الهيئة الأسية من المعادلة (2.5) هي :

$$\frac{de}{dt} = \operatorname{Re}[j\omega E_m e^{j\omega t}] \quad (2.7)$$

التي تمثل متجهاً يبدأ من الوضع العمودي في $t = 0$. فليس من الصعب رؤية ان إسقاط هذا المتجه الدوار على الإحداثي الأفقي هو دالة جيبية سالبة (Negative-Sine Function) لها سعة ωE_m وهذا يحقق المعادلة (2.6) . للبرهنة جبرياً على ان التعبيرين متطابقان نطبق صيغة أويلر على المعادلة (2.7) ونكتب :

$$\frac{de}{dt} = \operatorname{Re}[j\omega E_m (\cos \omega t + j \sin \omega t)]$$

$$= \operatorname{Re}[\omega E_m (j \cos \omega t - \sin \omega t)]$$

$$= -\omega E_m \sin \omega t$$

انه من المتبع حذف الرمز Re وكتابته كالآتي :-

$$e = E_m e^{j\omega t} \quad (2.8)$$

و

$$\frac{de}{dt} = j\omega E_m e^{j\omega t} \quad (2.9)$$

على أي حال يجب ان لا يغرب عن البال حقيقة كون التغير الآني لـ e هو مسقط المتجه الدوار على الإحداثي الحقيقي وهي حقيقة غير مبينة بوضوح في المعادلتين (2.8) و (2.9) . ويمكن التعبير عن كمية متغيرة جيبياً e_2 والتي تسبق (Leads) كمية أخرى متقدمة عليها بزاوية مقدارها α بالمعادلة :

$$e_2 = E_{2m} \cos(\omega t + \alpha) \quad (2.10)$$

او بالمعادلة :

$$e_2 = \operatorname{Re}[E_{2m} e^{j(\omega t + \alpha)}] = \operatorname{Re}[E_{2m} e^{j\omega t} e^{j\alpha}] \quad (2.11)$$

او ببساطة :

$$e_2 = E_{2m} e^{j\alpha} e^{j\omega t} \quad (2.12)$$

ان الكمية المركبة $E_{2m} e^{j\alpha} = E_{2m}/\alpha$ تمثل المتجه بموضعه عندما $t = 0$. كتطبيق أولي للطريقة السابقة خذ دائرة محتوية على محالة L ومقاومة R على التوالي . سلطت على هذه الدائرة قوة دافعة كهربائية $E_m \cos \omega t$ = مونرغب في ايجاد التيار المتناوب الناتج لحالة الاستقرار . ان هبوط الفولتية Voltage Drop على المحالة هي $L di/dt$ وعلى المقاومة هي Ri ومجموع هاتين الفولتيتين يساوي الفولتية المسلطة .

$$L \frac{di}{dt} + Ri = E_m \cos \omega t \quad (2.13)$$

نكتب $\operatorname{Re}[E_m e^{j\omega t}] = E_m \cos \omega t$ ثم نهمل الرمز Re ، كذلك نكتب التيار $i = \operatorname{Re}[I_m e^{j\omega t}]$ حيث ان التيار I_m تيار مركب او متجه طوله مساو للقيمة القصوى (Maximum Value) للتيار i ، بالتعويض في المعادلة (2.13) واخذ المشتقة الميمنة نحصل على العلاقة :

$$(j\omega L + R)I_m e^{j\omega t} = E_m e^{j\omega t} \quad (2.14)$$

وبحذف $e^{j\omega t}$ من طرفي المعادلة وحلها لايجد التيار المركب (Complex Current)

$$I_m = \frac{E_m}{R + j\omega L} \quad \text{نحصل على :} \quad (2.15)$$

$$I_m = \frac{E_m}{\sqrt{R^2 + \omega^2 L^2}} / -\tan^{-1} \omega L / R \quad (2.16)$$

ان الكمية $R + j\omega L$ هي بالطبع الممانعة المركبة (Complex Impedance) للدائرة والمعادلة (2.16) تمثل متجه التيار في موضعه في زمن مقداره $t = 0$ ان الجبر عادة يتوقف عند هذا الحد ، حيث اننا استخرجنا المعلومات الضرورية ، (قيمة التيار وزاوية طوره بالنسبة الى الفولتية) ، ولكن يجب ان لا يغرب عن بالنا حقيقة كون التيار الانى في الدائرة ليس كالمعطى مباشرة بالمعادلة (2.16) وعوضاً عن ذلك يجب ان نتخيل المتجه يدور بسرعة زاوية مقدارها ω واخذ مسقطه ، ويمكن التعبير عن هذا جبرياً كالآتى :

$$i = \operatorname{Re}[I_m e^{j\omega t}] \quad (2.17)$$

وبعد التعويض في المعادلة (2.16) والتبسيط واخذ الجزء الحقيقي يصبح كالآتى :

$$i = \frac{E_m}{\sqrt{R^2 + \omega^2 L^2}} \cos \left(\omega t - \tan^{-1} \frac{\omega L}{R} \right) \quad (2.18)$$

في كل التحليلات ولحد الآن رجعت الى القيمة القصوى للموجة E_m . ان العلاقة بين القيمة الفعالة (Effective Value) واعلى قيمة E لموجة جيبية هي $E_m = \sqrt{2}E$ والان اذا قسم طرفا المعادلة (2.16) على $\sqrt{2}$ فان الناتج سيعبر عنه بدلالة القيمة الفعالة للتيار والفولتية اي ان :

$$I = \frac{E}{R + j\omega L} = \frac{E}{\sqrt{R^2 + \omega^2 L^2}} / -\tan^{-1} \omega L / R \quad (2.19)$$

هذه المعادلة تحتوي على المعلومات الضرورية نفسها الموجودة في المعادلة السابقة اي التيار (الان ج.م.ت R.M.S) امبير ، وزاوية طوره بالنسبة الى الفولتية . ان معادلات نظرية الدائرة تكتب عادة بهذه الطريقة وذلك لملائمة استعمال قيم ج.م. ت. مرة اخرى يجب التحذير بانه اذا اردنا الحصول على صورة حقيقية للتيار

الآن في الباقية من الضروري ضرب المعادلة (20-19) بـ $\sqrt{2}$ قبل تدوير المتجه ونأخذ المقسوم عليه $\sqrt{2}$ في الجهد E_m في الطرف الأيمن من المعادلة (20-19) ونأخذ الجزء الحقيقي ولما قلنا أن التيار i هو الجهد e في الطرف الأيسر من المعادلة (20-19) فيكون لنا المعادلة (20-20) (Literature)

2.2 حل حالة استقرار التيار المتناوب لنخط منتظم : A-C Steady-state Solution for the Uniform Line

في الفصلين السابقين اشتغلت المسائل التفاضلية الجزئية (Partial Differential Equations) التي تطبق على خط منتظم تحت الظروف العابرة (Transient Conditions) والمعادلة المستقرة. واستخدمت هذه المعادلات لكي تبين خواص الموجات المنقلة على خط عديم الفقد.

من الممكن إيجاد المعادلات التي تطبق تحت ظروف حالة الاستقرار الجيبية (Steady State Sinusoidal) بحدى الطريقتين : - يمكن اشتقاقها من المعادلتين التفاضليتين الجزئيتين (1.2) و (1.3) أو يمكن إيجادهم بكتابة علاقات حالة الاستقرار التي تحدث عبر جزء متناه في الصغر من الخط. وسنبين أولاً كيفية اشتقاق حالة الاستقرار من المعادلات التفاضلية. سنبين بأن الطريقة الثانية تؤدي إلى النتائج الأولى نفسها.

$$\left. \begin{aligned} \frac{\partial e}{\partial x} &= -Ri - L \frac{\partial i}{\partial t} \\ \frac{\partial i}{\partial x} &= -Ge - C \frac{\partial e}{\partial t} \end{aligned} \right\} \quad \text{عندئذ من المعادلتين 1.2 و 1.3 :} \quad (2.20)$$

كما أوجزت في الجزء السابق. سنمبر عن الحالة الجيبية المستقرة للفولتيات والتيارات على خط كساقط للمتجهات الدوارة وعليه :

$$\left. \begin{aligned} e &= \Re[E_m e^{j\omega t}] \\ i &= \Re[I_m e^{j\omega t}] \end{aligned} \right\} \quad (2.21)$$

حيث أن E_m و I_m هما سعتا مركبتي الفولتية والتيار على التوالي وأن ω هي 2π مضروبة في تردد المصدر السائق (Driving Source).

لاحظ بأن E_m و I_m تتغيران على طول الخط. ولذلك ففيها مشتقة بالنسبة إلى

(١) انظر ما يأتي مثلاً على ذلك :

¹ See, for example, R. H. Frazier, "Elementary Electric-circuit Theory," Chap. IV, McGraw-Hill Book Company, Inc., New York, 1945; E. A. Guillemin, "Communication Networks," Vol. I, Chap. III, John Wiley & Sons, Inc., New York, 1931; W. C. Johnson, "Mathematical and Physical Principles of Engineering Analysis," Chap. VII, McGraw-Hill Book Company, Inc., New York, 1944; MIT Staff, "Electric Circuits," Chap. IV, John Wiley & Sons, Inc., New York, 1940.

\bar{x} ، وبتعويض المعادلة (2.21) في المعادلة التفاضلية (2.20) واخذ التفاضل المميز ثم حذف $\frac{d}{dx}$ نحصل على :

$$\left. \begin{aligned} \frac{dE_m}{dx} &= -RI_m - j\omega LI_m \\ \frac{dI_m}{dx} &= -GE_m - j\omega CE_m \end{aligned} \right\} \quad (2.22)$$

ان الاشتقاق الكلية استعملت الان لانه لا يوجد غير متغير مستقل واحد فقط وهو وان القيم الفعالة لكل من E و I لها علاقة بالصفة E_m و I_m وان $E_m = \sqrt{2}E$ و $I_m = \sqrt{2}I$

وبالتعويض في هاتين العلاقتين نحصل على :

$$\left. \begin{aligned} \frac{dE}{dx} &= -(R + j\omega L)I \\ \frac{dI}{dx} &= -(G + j\omega C)E \end{aligned} \right\} \quad (2.23)$$

من الممكن استخراج هاتين العلاقتين ايضاً بتطبيق خواص دائرة التيار المتناوب في حالة الاستقرار على جزء صغير من الخط كما مبين في الشكل 1.3. ان التغيير في الفولتية عبر مقطع طوله Δx والذي يعبر عنه بـ $(dE/dx)\Delta x$ ويحدث نتيجة سريان التيار I خلال ممانعة التوالي (Series Impedance) للمقطع $R\Delta x + j\omega L\Delta x$ الاشارة السالبة استعملت لان قيمة موجبة للتيار I تسبب انخفاضاً في E كلما ازداد الطول x . كذلك فان التغير في التيار بين نهايتي المقطع ناتج من تسليط الفولتية E على المسار المتوازية $G\Delta x + j\omega C\Delta x$. انه من الشائع في نظرية خط النقل بأن يرمز لممانعة التيار المتناوب المتوالية لكل وحدة طول من الخط بالرمز Z والمسار المتوازية بالعرف Y ، اي ان :

$$\left. \begin{aligned} Z &= R + j\omega L \text{ اوم لكل وحدة طول} \\ Y &= G + j\omega C \text{ سيمنس لكل وحدة طول} \end{aligned} \right\} \quad (2.24)$$

ومن الممكن كتابة المعادلتين التفاضليتين (2.23) بايجاز اكثر كالآتي :

$$\frac{dE}{dx} = -ZI \quad (2.25)$$

$$\frac{dI}{dx} = -YE \quad (2.26)$$

الآن لدينا معادلتان لمجهولين E و I . نحذف I نأخذ مشتقة المعادلة (2.25) بالنسبة الى x ونحصل على :

$$\frac{d^2 E}{dx^2} = -Z \frac{dI}{dx}$$

نعوض عن dI/dx في هذه المعادلة من المعادلة 2.26 ونحصل على :

$$\frac{d^2 E}{dx^2} = (YZ)E \quad (2.27)$$

يجب ان يكون الحل دالة واذا ماتفاضلت مرتين تنتج الدالة الاصلية مضروبة بالكمية YZ . ان اخذ اشكال هذا الحل هو :

$$E = A_1 e^{-\sqrt{YZ}x} + A_2 e^{\sqrt{YZ}x} \quad (2.28)$$

حيث ان A_1 و A_2 هما ثابتان ولهما وحدات فولتية .

لايجاد تعبير مائل للتيار I ، نعوض النتيجة السابقة في المعادلة (2.25) لنحصل على :

$$I = \frac{1}{\sqrt{Z/Y}} (A_1 e^{-\sqrt{YZ}x} - A_2 e^{\sqrt{YZ}x}) \quad (2.29)$$

ان الكمية $\sqrt{Z/Y}$ هي خاصية الخط ولها وحدات ممانعة : اوم / وحدة طول
سيمنس / وحدة طول

هذه هي الممانعة المميزة للخط (Characteristic Impedance) وسنرمز لها بالرمز Z_0 كما في الفصل الاول :-

$$Z_0 = \sqrt{\frac{Z}{Y}} = \sqrt{\frac{R + j\omega L}{G + j\omega C}} \quad (2.30)$$

ان الممانعة المميزة لخطوط مهمة الفقد (Negligible loss) تختزل الى $\sqrt{L/C}$ وتكون مقاومة (Pure Resistance) ولا تعتمد على التردد (قارن ذلك مع الجزء 1.5) .

لاحظ ان الممانعة المميزة لا تتأثر بطول الخط او بخواص حمل الانتهاء (Terminating load) ولكن تتحدد بخواص الخط لكل وحدة طول فقط ولاحظ ايضاً انها ليست الممانعة التي يمتلكها الخط نفسه .

سيبين فيما بعد بأن ممانعة الحمل (Load Impedance) المساوية الى $\sqrt{Z/Y}$ هي الوحيدة التي لا تسبب انعكاسات لموجة مستلمة وسنبين ايضاً بأنه لهذا الانتهاء (Termination) فقط تكون ممانعة جانب ارسال لخط في حالة استقرار التيار المتناوب تساوي $\sqrt{Z/Y}$ بدون اي اعتبار لطول الخط وهذه هي الاهمية الاساسية للممانعة المميزة .

بالرجوع مرة اخرى الى المعادلتين (2.28) (2.29) يلاحظ بأن الكمية \sqrt{YZ} هي التي تتحكم بطريقة تغير E و I ومعنى هذا انها تتحكم بالطريقة

التي تنتشر بها الموجة. لذلك سميت هذه الكمية بثابت الانتشار (Propagation Constant) ويرمز لها بالرمز γ . في الحقيقة ان γ هي دالة للتردد ومن الاصح تسميتها بدالة الانتشار (Propagation Function) وبوضوح فإن :

$$\gamma = \sqrt{YZ} = \sqrt{(R + j\omega L)(G + j\omega C)} \quad (2.31)$$

ان ثابت الانتشار بصورة عامة هو عدد مركب، الجزء الحقيقي منه يرمز له بالرمز α ، ووجد بانه يحدد الطريقة التي تتضاءل بها الموجات عند انتقالها على الخط ولذلك فالجزء الحقيقي α يسمى ثابت التوهين (Attenuation Constant) اما الجزء الخيالي β فيرمز له بالرمز β ووجد بانها تحدد التغير في موقع طور (Phase position) كل من E و I على طول الخط. ولهذا السبب يدعى بثابت الطور (Phase Constant). ان وحدة α تدعى نيبير (Neper) لكل وحدة طول ووحدة β هي زوايا نصف قطرية لكل وحدة طول. ان الكلمة نيبير هي التغير في لفظ اسم نابير (Napier).

مثال :

خط هاتف نموذجي (Typical) مفتوح السلك له $R = 10$ اوم لكل ميل و $L = 0.0037$ هنري لكل ميل و $C = 0.0033 \times 10^{-6}$ فراد لكل ميل و $G = 0.4 \times 10^{-6}$ مرة لكل ميل عند تردد مقداره 1000 هرتز ومن المعادلة (2.30) عندئذ :

$$\begin{aligned} Z_0 &= \sqrt{\frac{R + j\omega L}{G + j\omega C}} = \sqrt{\frac{10 + j2\pi \times 10^3 \times 0.0037}{0.4 + j2\pi \times 10^3 \times 0.0033 \times 10^{-6}}} \\ &= \sqrt{\frac{25.3/66.8^\circ}{52.1 \times 10^{-6}/89.6^\circ}} = \sqrt{48.5 \times 10^4 / -22.8^\circ} \\ &= 697 / -11.40^\circ = 683 - j138 \text{ اوم} \end{aligned}$$

ومن المعادلة (2.31) يتضح ان ثابت الانتشار عند هذا التردد هو :

$$\begin{aligned} \gamma &= \sqrt{(R + j\omega L)(G + j\omega C)} = \sqrt{(25.3/66.8^\circ)(52.1 \times 10^{-6}/89.6^\circ)} \\ &= \sqrt{13.2 \times 10^{-4}/156.4^\circ} \\ &= 0.0363/78.2^\circ = 0.0074 + j0.0356 \text{ لكل ميل} \end{aligned}$$

وعليه فان ثابت التوهين هو :

$$\alpha = 0.0074$$

نيبير لكل ميل

وثابت الطور هو :

$$\beta = 0.0356$$

زوايا نصف قطرية لكل ميل

2.3 الخط العديم الانعكاس : The Line with No Reflection.

ان ايسر خط من وجهة النظر الرياضية هو الذي لا تكون عليه موجة منعكسة ، ويمكن الحصول على هذا الشرط على خط افتراضي منتظم (Hypothetical Smooth Line) وبطول غير نهائي (Infinite Length) ، حيث ان الانعكاس لا يمكن ان يرجع من الجهة البعيدة وسنبين ايضا بأن شرطاً مشابهاً لهذا من الممكن الحصول عليه لخط منته (Terminated) بممانعته المميزة. اعتبر الحل العام (2.28) لخط غير نهائي (لاحظ شكل 2.30) ان الحد الثاني لهذا الحل يحتوي على أس موجب ويقترب من مقدار اللانهاية عندما تزداد x . وهذا مستحيل فيزيائياً من مفهوم الطاقة ومن ثم فان قيمة A_2 يجب ان تكون صفراً . نستطيع حساب الثابت A_1 بدلالة فولتية جانب الارسال وذلك بالتعويض عن $E = E_0$ و $x = 0$ في الحل (طالما ان $A_2 = 0$) ونحصل على :

$$E_0 = A_1$$

وبالتعويض عن A_1 يمكن كتابة (2.28) بالشكل الآتي :

$$E = E_0 e^{-\sqrt{Z} z} \quad (2.32)$$

في الجزء السابق عرفنا ثابت الانتشار وجزأيه الحقيقي والخيالي α و β بدلالة هذين الثابتين نستطيع كتابة :

$$E = E_0 e^{-\alpha z} e^{-j\beta z} = E_0 e^{-\alpha z} / e^{-j\beta z} \quad (2.33)$$

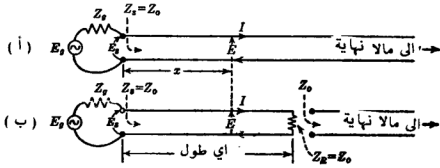
ونحصل على حل مماثل للتيار من المعادلة (2.29) باستعمال $A_1 = E_0$ و $A_2 = 0$ والتي تؤدي الى :

$$I = \frac{E_0}{Z_0} e^{-\alpha z} e^{-j\beta z} \quad (2.34)$$

وبالمقارنة مع المعادلة (2.33) نرى أن التيار والفولتية على كل نقطة من نقاط الخط يرتبطان بالعلاقة :-

$$I = \frac{E}{Z_0} \quad (2.35)$$

هذه العلاقة يمكن تطبيقها بالطبع على جانب الارسال للخط وعلى النقاط الاخرى . وعليه فان ممانعة جانب الارسال او المدخل لخط غير منته هي مساوية لممانعته المميزة. افترض الان باننا قطعنا الخط غير النهائي في اية نقطة $l = x$ كما هو مبين في الشكل 2-3. ان الخط الى يمين القطع مازال طوله غير منته وله ممانعة مدخل تساوي Z_0 . وعليه اذا اخذ الخط الى يسار القطع بنظر الاعتبار ، فإن الجزء غير النهائي الى اليسين من الممكن استبداله بممانعة مكتلة في جانب الاستلام (Lumped Receiving End Impedance) وتساوي Z_0 ، ان الجزء المحدد

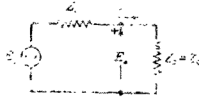


شكل 2-3 الخط غير النهائي ومكافئه المحدد .

سيتصرف كما لو ان طوله غير متناه وان الحلول (2-33) و (2-34) و (2-35) ستطبق ايضاً وان ممانعة جانب الارسال للخط متساوي Z_0 بدون اي اعتبار لطول الخط . للخطوط القليلة الفقد low-loss فان الممانعة هي مقاومة بعته ولا تعتمد على التردد $\sqrt{L/C}$ وعليه فان تغييراً معتدلاً بالتردد لا يؤثر بصورة ملحوظة على فولتية الحمل والقدرة .

ان الخط المنتهي بممانعة المميزة يدعى عادةً خطأ منتهياً بصورة صحيحة (Correctly Terminated) وخط غير رنان (Non resonant) وللخط المنتهي بهذا الشكل فان الطاقة تسري من المولد وتنتقل على الخط على شكل موجة ، ومن وجهة نظر الدائرة الكهربائية فان الطاقة كلها يمتصها الحمل بدون اي انعكاس . اما من وجهة نظر المجال الكهربائي والمغناطيسي المنتقل ، فان الممانعة المكتلة للحمل لاتعطي استمرارية المجالين كما في الخط غير النهائي على اية حال فان نظرية الدائرة دقيقة تماماً الا عندما تكون المسافة بين الموصلين جزءاً كبيراً من ربع طول الموجة وعند الموجات ذات الاطوال القصيرة فان اداء الخطوط يتحسن وتحافظ نظرية الدائرة على دقتها بوضع عاكس على بعد يساوي ربع طول الموجة من الحمل . وستناقش هذه النظرية في الفصل السادس .

ان الحلين (2.33) و (2.34) المعطيان بدلالة فولتية جانب الارسال للخط بالرغم من ان (كما في الشكل 2.3) فولتية الدائرة المفتوحة (Open Circuit Voltage) للمولد وممانعته الداخلية تكون معروفة بدلاً من ذلك بالامكان ايجاد فولتية جانب الارسال بحل دائرة جانب الارسال المكافئة المبينة في الشكل 2.4 ، حيث ان الخط قد استبدل بممانعة مكتلة مساوية لـ Z_0 وعندما تحسب قيمة E_g فان المعادلتين (2.33) (2.34) تستعملان لوجدان الفولتية والتيار على اية نقطة على الخط . بالامكان حساب القدرة على اية نقطة على الخط



الشكل 2.4: نموذج المكافئ لنموذج الارسال بخط مسمي Z_0 .

من العلاقة $E_s = |E_s| e^{j\omega t} \cos \omega t$ حيث ان ω هي الزاوية شعور الممانعة المميزة .
او من اركان حسابها من العلاقة $|I_s| Z_0$ حيث ان Z_0 هي الدورية المعاوامية
(Resistive Component) Z_0 للخطوط قليلة التردد تكون Z_0 قريبة جداً من
مقاومة وفي هذه الحالة $\cos \theta \approx 1$ و $R_0 \approx Z_0$

مثال :

خط هاتف مفتوح السلك طوله 200 ميل ومنته في الجانب الاستلام بممانعته
السبيرة . في جانب الارسال للخط موحد تردد 1000 هرتز ودائرة مفتوحة قوتها
الدافعة الكهربائية تساوي 10 فولت ح. د. ت وممانعة داخلية هي مقاومة وقيمتها
500 اوم . ان الخط عند هذا التردد له $Z_0 = 683 - j138$ اوم و
 $\gamma = 0.0347 + j0.0356$ لكل ميل . جد فولتية وتيار وقدره بجانب الارسال وتيار
وفولتية ودورة بجانب الاستلام باستعمال الدائرة المكافئة لجانب الارسال للشكل 2.4
 $E_s = 10$ فولت و $Z_s = 500 + j0$ اوم و $Z_L = 683 - j138$ اوم . نستطيع ان
نجد سعة تيار جانب الارسال (1) :

$$|I_s| = \left| \frac{E_s}{Z_s + Z_0} \right| = \frac{10}{|500 + 683 - j138|}$$

$$= \frac{10}{1.190} = 8.40 \times 10^{-3} \text{ امبير ج. د. م. ت}$$

سعة فولتية جانب الارسال هي :

$$|E_s| = |I_s Z_0| = 8.40 \times 10^{-3} \sqrt{(683)^2 + (138)^2}$$

$$= 5.85 \text{ فولت ج. د. م. ت}$$

معدل القدرة (Average Power) الداخلة في جانب الارسال للخط هي :

$$P_s = |I_s|^2 R_s = (8.40 \times 10^{-3})^2 \times 683$$

$$= 48.2 \times 10^{-3} \text{ واط}$$

او : ملي واط 48.2

(1) في هذا الكتاب استعملنا الرموز اللاتينية E و I لتمثل المركب او المتجه للتيار او
الفولتية والممانعة . ونبين اتساعاتها او قيمها المطلقة بوضع الرموز بين خطوط عمودية اي
ان $|E|$ و $|I|$ و $|Z|$.

لفولتية جانب الاستلام نستعمل المعادلة (2.23) مع ϵ مساو لطول الخط ، ثم اختيارياً نأخذ β لتكون تقريباً وندها :

$$E_R = E_0 e^{-\alpha z} e^{-j\beta z}$$

$$\alpha = 5.85 \times 10^{-4} \times 200 = j0.0365 \times 200$$

$$\beta = 1.56 e^{-j7.73} = 1.33 / -48.2^\circ$$

إن اذرع فولتية جانب الاستلام هي 1.33 فولت ج. م. ت والخط طولاً 7.12/8 = 1.34 طول موجي وجانب الاستلام يتخلف عن جانب الارسل بـ 1.34 دورة . إذا اعتبرنا موقع فولتية جانب الاستلام فاننا نستطيع ان نطرح 2π من الزوايا نصف قطريه او 360° بدون تغير النتيجة . وعليه فان :

$$k_R = 1.33 / -0.84 \text{ radian} = 1.33 / -48^\circ \text{ فولت}$$

واتساع تيار جانب الاستلام هي :

$$|I_R| = \left| \frac{E_R}{Z_R} \right| = \frac{1.33}{697} = 1.91 \times 10^{-3} \text{ امبير ج. م. ت}$$

ومعدل قيمة القدرة الممتصة من قبل ممانعة الانتهاء هي :

$$P_R = |I_R|^2 R_R = (1.91 \times 10^{-3})^2 \times 683$$

$$= 2.49 \times 10^{-3} \text{ واط}$$

او ملي واط 2.49

2.4. الموجة المنتقلة وخواصها

The Traveling Wave and Its Characteristics.

المعادلتان (2.33) و (2.34) نبيان انه على خط منته بممانعته المميزة ، فان اتساعي التيار والفولتية يقلان اسياً بالعامل $e^{-\alpha z}$ كلما ازدادت المسافة من المولد وهذا يحدث نتيجة الفقد في الخط حيث انه يمتص الطاقة من الموجة عند انتقالها ، والتأثير الثاني المهم هو الزيادة التدريجية للتخلف بالطور كنتيجة للوقت المحدد اللازم للموجة لكي تنقل مسافة مقدارها z .

من الممكن التعبير بدقة عن الموجة المنتقلة على خط باستعمال الطريقة المستعملة في الجزء 2.1 للحصول على القيم الانية : أولاً بالتعبير عن المعادلة (2.33) بدلالة اعلى قيمة ثم الضرب بمتجه دوار ذي وحدة طول $e^{j\omega t}$ وفي النهاية يؤخذ الجزء الحقيقي في التعبير الناتج . اذا اخذت القيمة الحقيقية

$$e = \text{Re}[\sqrt{2} E_R e^{-\alpha z} e^{-j\beta z} e^{j\omega t}]$$

$$= \sqrt{2} E_R e^{-\alpha z} \text{Re}[e^{j(\omega t - \beta z)}]$$

$$e = \sqrt{2} E_R e^{-\alpha z} \cos(\omega t - \beta z)$$

الآن ، نستطيع ان نتبع الاستدلال نفسه آخذين بنظر الاعتبار الموجات المنتقلة التي استعملناها في الفصل الاول . تخيل مراقباً (Observer) يتبع الموجة $(\cos(\omega t - \beta x))$ بحيث انه يبقى مع نقطة ثابتة الطور ، النقطة التي لها زاوية $\omega t - \beta x$ مساوية لثابت ، لايجاد سرعة هذه النقطة نأخذ مشتقة الزمن لهذا التعبير ونحصل على :

$$\omega - \beta \frac{dx}{dt} = 0$$

ولكن dx/dt هي السرعة التي نريدها (سرعة الطور) وهي تساوي :-

$$v = \frac{\omega}{\beta} \quad (2.37)$$

يجب ملاحظة ان هذه السرعة هي التي تنتشر بها موجة التيار المتناوب والمجالان المغناطيسي والكهربائي المرافقين لها ولكن هذه السرعة هي ليست سرعة الالكترونات في الموصل ومن الممكن تصور الالكترونات كمنفذ (Executing) لحركة تذبذبية (Oscillating Motion) كما مبين في الشكل (2.5) هذه الحركة متراكبة على سرع الالكترونات العشوائية المعتادة .

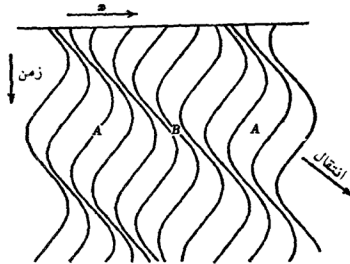
ان طور التذبذب (Phase of the Oscillation) يتخلف في اتجاه حركة الموجة ولهذا السبب يتولد توزيع جيبي للشحنات والذي هو ينتقل ظاهرياً على الموصل . كما هو مقترح بالرسوم التوضيحية . ان الجزئين المؤشرين بـ A هما منطقتان تعانيان نقصاً (Deficiency) في الشحنة والجزء المؤشر بـ B منطقة الشحنات الزائدة (Excess) ان المناطق المشحونة تتحرك الى اليمين بسرعة الطور وان الوضعية المماثلة لهذا التمثيل هو انتشار الصوت الذي ينتقل بحوالي 1,100 قدم / ثانية في الهواء وعند مستوى سطح البحر . ان الحركة الحقيقية لجزيئات الهواء ، على اية حال ، هي جيبية فقط وسرعة اية جزيئة منفردة (Individual) لايمكن مقارنتها مع سرعة انتشار الموجة .

لخمل مهمل الفقد فان المعادلة (2.31) تصبح $\gamma = j\omega\sqrt{LC}$ اي بمعنى آخر $\alpha = 0$ و $\beta = \omega\sqrt{LC}$ والسرعة ω/β في هذه الحالة ببساطة هي :

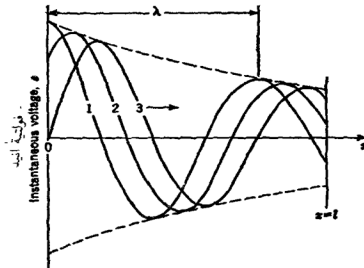
كما ذكر في الجزء 1.5 فان حاصل ضرب LC لموصل مثالي (Perfect) مغمور في عازل عديم الفقد يكون ثابتاً ويعتمد فقط على ثابت العزل وانفاذية (Permeability) العازل ، والسرعة للهواء هي تقريباً 3×10^8 متر / ثانية . ان العازل الصلب (Solid Dielectric) سيزيد C وعليه يقلل السرعة وهذا التأثير

غالباً ما يعبر بدلالة ثابت السرعة :

$$\text{سرعة الطور الحقيقية} = \frac{\text{سرعة الضوء في الفراغ المطلق}}{\text{ثابت السرعة}}$$



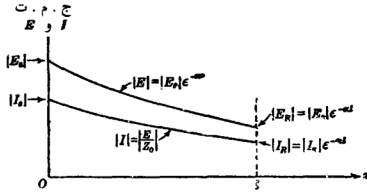
شكل 2.5 توليد موجة منتقلة بواسطة ذبذبات جيبيية منفردة.



شكل 2.6 موجة منتقلة على خط منته بممانعته المميزة مرسوماً لخط طوليه $\lambda/8$ طول موجي وتوهين كلي مساوٍ لـ 0.9 نيبير .

لخط محوري قليل الفقد (Low-loss) متكون من عازل صلب فان ثابت السرعة حوالي 10.6 او 0.6 و كما هو مبين في (1.1) فان الطور الموجي لذبذبة معينة يقل نسبة سرعة الطور نفسها . الشكل (2.6) يبين موجة منتقلة لفولتية على خط عالي الفقد (Lossy) في ثلاث لحظات متعاقبة من الزمن مرسومة

(Plotted) من المعادلة (2.36) . ان سعة الموجة تتلاشى اسياً بالعامل $e^{-\alpha z}$ أثناء انتشارها وان شكل التيار الموجي المرافق يكون مشابهاً لشكل الفولتية ولكن مختلف الطور (Out of phase) عنها بمقدار مساوٍ لزاوية Z_0 حيث ان $I = E/Z_0$ وان القدرة المرسله على طول الخط تتناقص بالعامل $e^{-2\alpha z}$



شكل 2.7 فولتية و تيار ج. م. ت. على طول خط كثير الفقد منته بمانعته المميزة مرسومة لتدهير مساوٍ لـ 0.9 نبيير .

ان الفولتية الآنية في اية نقطة على الخط ستتغير جيئياً كلما زحفت الموجة المنتقلة اكثر، وستكون سعتها $\sqrt{2}E_0e^{-\alpha z}$ وقيمة ج. م. ت. $E_0e^{-\alpha z}$ وان تخاف الطور يزداد مع طول الخط، وكمثال فانه عند مسافة ربع طول موجة من المولد، الفولتية تتخلف برقع دورة او 90° . ان تخلف الطور على اية نقطة بالنسبة الى المدخل، هو βz من الزوايا نصف القطرية .

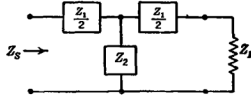
ان طول الموجة λ يكون مساوياً المسافة بين ذروتين (Crest) متعاقبتين لموجة في اية نقطة او بمعنى آخر هو مساوٍ للتغيير في z التي تجعل الزاوية βz تزداد 2π من الزوايا نصف القطرية وعليه $\lambda = 2\pi / \beta$ او :

$$\lambda = \frac{2\pi}{\beta}$$

بالمقارنة مع المعادلة (2.37) يتبين بان سرعة الطور وطول الموجة يرتبطان بالعلاقة

$$\lambda = \frac{2\pi v}{\omega} = \frac{v}{f}$$

هذه العلاقة وضعت اولاً في الفصل 1، في المعادلة (1.1) . وتمرين للطالب ان يراجع المثال المنعطى في الجزء السابق ويبرهن بأن سرعة الطور كانت 176,200 ميل / ثانية وطول الموجة يساوي 176.2 ميلاً .



شكل 2.9 شبكة T المتناظرة .

للشبكة ، وليس من الصعب البرهنة على ان الممانعة المميزة لشبكة T المتناظرة هي :

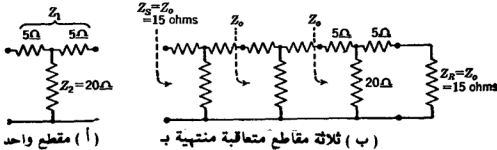
$$Z_0 = \sqrt{Z_1 Z_2 + \frac{Z_1^2}{4}} \quad (2.42)$$

حيث ان Z_1 هي ممانعة التوالي الكلية للمقطع و Z_2 هي ممانعة التوازي للفرع .

مبين في الشكل (2.10) مثال عددي بسيط يحتوي على مقاومات فقط لدينا $Z_1 = 10$ اوم و $Z_2 = 20$ اوم وعليه فان الممانعة المميزة هي :

$$Z_0 = \sqrt{10 \times 20 + \frac{10^2}{4}} = 15 \text{ ohms}$$

ان اي عدد من المقاطع المتشابهة يمكن ربطها بالتعاقب (Cascade) لتكوين شبكة سلمية (Ladder) منتظمة كما مبين بالشكل (2.10 ب) واذا ما انتهى المقطع الاخير ب Z_0 فان ممانعة المدخل ستكون Z_0 . كما ان الطالب يستطيع البرهنة على ذلك بجمع المقاومات على التوالي والتوازي في الشكل (2.10) وهذا سينهي المقطع التالي الى الاخير ب Z_0 ، وهكذا فان ممانعة جانب ارسال لكل المجموعة ستكون مساوية للممانعة المميزة .



شكل 2.10 توضيح الممانعة المميزة لشبكة سلمية منتظمة .

ولهذا السبب يستعمل اسم الممانعة المتكررة (Iterative) عادة في نظرية الشبكات الرباعية الاطراف .

افترض بأن الشبكة T في الشكل (2.9) تمثل طولاً صغيراً لخط نقل ، في هذه الحالة :

$$Z_2 = \frac{1}{(G + j\omega C)\Delta x} \quad \text{و} \quad Z_1 = (R + j\omega L)\Delta x$$

وعندما تصغر Δx (لتقترب من خط منتظم) فإن حاصل ضرب $Z_1 Z_2$ سيظل ثابتاً بينما الكمية Z_1^2 ستتلاشى في النهاية وتصبح المعادلة (2.42) كالآتي $Z_0 = \sqrt{(R + j\omega L)/(G + j\omega C)}$ والذي يمثل التعبير المشتق سابقاً لخط منتظم .

2.6. الدسيبل والنبيير: The Decibel and the Neper

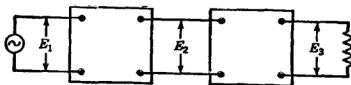
بيننا سابقاً بأنه على خط منتبٍ بممانعته المميزة فإن سعة التيار وكذلك الفولتية تقلان بـ $e^{-\alpha x}$ ، حيث أن α هو الجزء الحقيقي لثابت الانتشار \sqrt{YZ} وان وحدة α هي نبيير لكل وحدة طول . خذ نقطتين 1 و 2 متباعدين بمسافة مقدارها Δx على خط منتبٍ بصورة صحيحة (Properly Terminated). ان النسبة بين سعتي E و I عند هاتين النقطتين هي :

$$\left| \frac{E_1}{E_2} \right| = \left| \frac{I_1}{I_2} \right| = e^{-\alpha \Delta x} \quad (2.43)$$

ان الكمية $\alpha \Delta x$ تمثل التوهين الكلي مقاسة بالنبيير ، للموجة المتنقلة بين النقطتين وبأخذ لوغاريتم الاساس e لطرفي المعادلة (2.43) نحصل على التوهين بالنبيير :

$$\text{عدد النبييرات} = \log_e \left| \frac{E_1}{E_2} \right| = \log_e \left| \frac{I_1}{I_2} \right| \quad (2.44)$$

ان هذا التعريف عبر عنه بدلالة اللوغاريتم الطبيعي (Natural Logarithm) يوضح ارتباط اسم نبيير مع الوحدة .



شكل 2.11 شبكتان رباعيتا طرفي مربوطتان على التعاقب .

ان المقياس اللوغاريتمي (Logarithmic Scale) لقياس التيار او الفولتية مناسب تماماً في نظام النقل . الشكل (2.11) يبين شبكتين رباعيتين الاطراف (يمكن ان يكونا خطي نقل) مربوطتين بالتعاقب والتوهين بالنبيير خلال كل شبكة سيرمز له بـ N_1 و N_2 حيث ان :

$$N_1 = \log_e \left| \frac{E_1}{E_2} \right|$$

$$N_2 = \log_e \left| \frac{E_2}{E_3} \right|$$

ان التوهين الكلي خلال المجموعة هو حاصل جمع توهين الشبكتين وعليه فان التوهين الكلي N هو :

$$N = N_1 + N_2 = \log_e \left| \frac{E_1}{E_2} \right| + \log_e \left| \frac{E_2}{E_3} \right|$$

وباستخدام قانون جمع اللوغاريتمات يصبح :

$$N = \log_e \left| \frac{E_1}{E_3} \right|$$

وعليه فان جمع التوهين اللوغاريتمي (Logarithmic Attenuation) هو مكافئ لضرب نسب الفولتيات وهذه الطريقة تصبح اكثر ملائمة عندما تزداد الشبكات المضافة على التعاقب . هنالك سبب آخر لاستعمال مقياس لوغاريتمي هو انه ضمن حدود واسعة فان حواس الازنان تتبع قانوناً مشابهاً ، وعليه فان أدنى (Minimum) تقير محسوس لشدة (Intensity) الصوت ممكن للاذن ادراكه يتناسب تقريباً مع كمية الصوت الذي كان موجوداً أصلاً . هنالك وحدة لوغاريتم اخرى تستعمل غالباً وهو الديسبل (Decible) ومختصرها (db) والديسبل هو عشر حجم البل (Bel) والذي سمي بهذا الاسم تكريماً لـ Alexander (Graham Bell) ان الديسبل معرف أساساً بدلالة نسبة القدرة :

$$10 \log_{10} \frac{P_1}{P_2} = \text{عدد الديسيبلات} \quad (2.45)$$

اذا كانت القدرتان P_1 و P_2 هما لممانعتين متساويتين كما هي الحالة في حمل نقل منته بممانعته المميزة ففي هذه الظروف يمكن التعبير عن نسبة القدرة كتربيع لنسبة الفولتية او التيار اي ان :

$$20 \log_{10} \left| \frac{E_1}{E_2} \right| = \text{عدد الديسيبلات} = 20 \log_{10} \left| \frac{I_1}{I_2} \right| \quad (2.46)$$

ان الديسبل هي وحدة ذات حجم مناسب فتغير بمستوى مقداره 3 db يقرب جداً من نسبة قدرة مساوية لاثنتين ، وان 10 db يعادل نسبة قدرة مساوية لـ 10 وان تقير مقداره 1 db بقدرة الصوت هو اقل تغير محسوس من قبل اذن الانسان .

ان فوائد المقياس اللوغاريتمي والحجم المناسب للديسبل فتحا المجال للتعبير عن نسب الفولتيات بالديسبل وحتى عندما تكون الممانعتان مختلفتين في النقطتين فان هذا الاستعمال شائع مع مضخمات الفولتية (Voltage Amplifier) المتعاقبة الذي تكون نسبة الفولتية مهمة وعليه فالكمية التي تحل محل التعريف في المعادلة (2.45) هي $20 \log_{10} |E_2/E_1|$ ان

التعريفين غير متكافئين الا عندما يكون مستوى الممانعة في النقطتين نفسه ،
 ومن الممكن ان يحدث ارتباك اذا كان الاستعمال غير واضح .
 على الطالب ان يبرهن بانه في نظام فيه نقطتين لهما الممانعة نفسها فان
 توهيناً مقداره 1 نيدر يكافئ 8.686 ديسيبل .

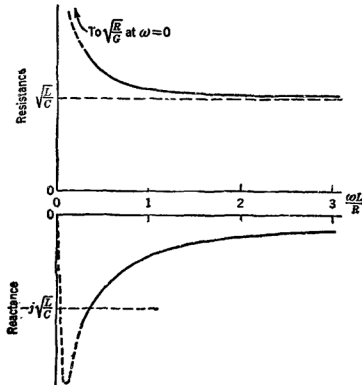
2.7 . تغير Z_0 ، α و β مع التردد :

Variation of Z_0 , α , and β with Frequency.

ان الممانعة المميزة لخط منتظم مطاة بالمعادلة (2.30) كالآتي :

$$Z_0 = \sqrt{\frac{R + j\omega L}{G + j\omega C}} \quad (2.47)$$

عند تردد مقداره صفرأً او يسنى آخر مع التيار المستمر المستقر فان الممانعة
 المميزة تصبح $\sqrt{R/G}$ ويمكن ان تكون هذه الكمية متغيرة الى حد ما في خط
 مفتوح السلك (Open Wire Line) حيث ان G تعتمد الى حد بعيد على كمية
 الرطوبة الموجودة في العوازل (Insulators) وعندما يزداد التردد تصبح G
 مهملة بالمقارنة مع ωC و R تصبح مهملة بالمقارنة مع ωL ممثلة ممانعة مميزة
 لترددات عالية مقدارها مساو تقريباً لـ $\sqrt{L/C}$.



شكل 2.12 المركبة المقاومة والمفاعلية للممانعة المميزة مرسومتان مع تردد متغير بدون
 وحدات $\omega L/R$ والفترض ان $G/C \ll R/L$

على الخطوط الجيدة العزل فان نسبة G/C تصبح اصغر بكثير من النسبة R/L ، وعليه فان G تصبح مهملة بالنسبة الى R عند التردد الواطي جداً . واذا كانت $\omega C \ll G$ فالمعادلة (2.47) يمكن كتابتها ببساطة اكثر كالآتي :

$$Z_0 = \sqrt{\frac{L}{C}} \sqrt{1 - j \frac{R}{\omega L}} \quad (2.48)$$

ان المركبتين المقاومة والمفاعلية (Resistive and Reactive) لهذه المعادلة مرسومتان في الشكل (2.12) بدلالة $\omega L/R$ ، ان المركبة المقاومة تقترب من قيمة التردد العالي $\sqrt{L/C}$. بسرعة اكثر ، بينما تجنح المركبة المفاعلية نحو الصفر ببطئ اكثر والاجزاء المقطعة (Dashed Portions) للمنحنين تبين تقريباً تأثير التوصيلية (Conductance) المهملة في الترددات الواطنة .

خط هاتف نموذجي مفتوح السلك ، يتكون من سلكين No. 10 AWG نحاسيين متباعدين بـ 12 انچاً وله الثوابت الآتية : $R = 10.2$ اوم / ميل ، $L = 0.00367$ هنري / ميل ، $C = 0.00821 \times 10^{-6}$ فراد / ميل التوصيلية المتسرية لخط مفتوح السلك تتأثر بصورة كبيرة بكمية الرطوبة الموجودة ، سنستعمل $G = 0.3 \times 10^{-6}$ مينس / ميل والتي تمثل تقريباً القيمة لجو جاف ولخط في ظروف جيدة ، ان المفاعلة على هذا الخط هي ωL ومساوية للمقاومة R عند التردد الزاوي $\omega = R/L = 2,780$ من الزوايا نصف القطرية / ثانية او $f = 442$ هرتز .

وعليه فان هذا التردد سيكون ماثلاً لـ $\omega L/R = 1$ في الشكل 2.12 . ان الصيغة التقريبية (2.48) تخفق في الترددات الواطنة (Lower Frequencies) حيث ان G تصبح ملحوظة بالمقارنة مع ωC . لهذا الخط و G تساوي ωC عند التردد الساوي تقريباً لـ 6 هرتز . ان ثابت الانتشار لخط منتظم من المعادلة (2.31)

$$\gamma = \alpha + j\beta = \sqrt{(R + j\omega L)(G + j\omega C)} \quad (2.49)$$

و γ عند تردد مقداره صفر هي \sqrt{RG} وبما ان هذه هي كمية حقيقية فانها تمثل ثابت التوهين ، وثابت الطور يساوي سافراً .

عندما يزداد التردد سنحصل في النهاية على $\omega L \gg R$ و $\omega C \gg G$ وفي هذه الظروف نستطيع فك المعادلة (2.49) باستعمال نظرية ذات الحدين (Binomial Theorem) وبإبقاء الحدين الأولين فقط او بمعنى آخر نستعمل :
 $a \gg b \quad (a + b)^{\pm 1/2} \approx a^{\pm 1/2} + a^{\pm 1/2} b/2$ نحصل على :

$$\begin{aligned} \gamma &= (j\omega L + R)^{1/2} (j\omega C + G)^{1/2} \\ &= \left[(j\omega L)^{1/2} + \frac{R}{2} (j\omega L)^{-1/2} \right] \left[(j\omega C)^{1/2} + \frac{G}{2} (j\omega C)^{-1/2} \right] \end{aligned}$$

بعد التبسيط وإهمال الحدود الصغيرة التي تحتوي على حاصل الضرب RG نجد ان ثابت انتشار التردد العالي يساوي :

$$\gamma = \frac{R}{2} \sqrt{\frac{C}{L}} + \frac{G}{2} \sqrt{\frac{L}{C}} + j\omega \sqrt{LC} \quad (2.50)$$

وبما ان $Z_0 \approx \sqrt{L/C}$ في الترددات العالية فان :

$$\alpha = \frac{R}{2Z_0} + \frac{GZ_0}{2} \quad (2.51)$$

وكما في الخط عديم الفقد فان :

$$\beta \approx \omega \sqrt{LC} \quad (2.52)$$

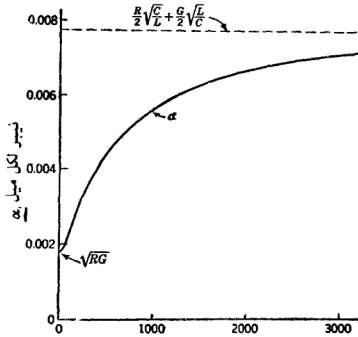
ان الحد $R/2Z_0$ في المعادلة (2.51) هو التوهين الناتج عن فقد الطاقة في الموصلين ، بينما $GZ_0/2$ هو التوهين الناتج عن فقد الطاقة في العازل . ومن الممكن وجدان تعبير عام لكل من α و β باتباع العملية الآتية :

بتربيع طرفي المعادلة (2.49) وفصل النتيجة الى معادلتين وبمساواة الحدود الحقيقية بالحقيقية والخيالية بالخيالية ، ثم حل المعادلة لايجاد α و β فان هذه العملية تؤدي الى تعبيرين معقدين هما :

$$\begin{aligned} \alpha^2 &= \frac{1}{2} \left\{ \sqrt{(R^2 + \omega^2 L^2)(G^2 + \omega^2 C^2)} + (RG - \omega^2 LC) \right\} \\ \beta^2 &= \frac{1}{2} \left\{ \sqrt{(R^2 + \omega^2 L^2)(G^2 + \omega^2 C^2)} - (RG - \omega^2 LC) \right\} \end{aligned} \quad (2.53)$$

بالامكان استعمال هاتين المعادلتين لدراسة تفصيلية لتغير α و β مع التردد

ان الشكلين البيانيين (2.13) و (2.14) يبينان تغير α و β مع التردد الزاوي محسوبا لخط الهاتف النموذجي مفتوح السلك المذكور سابقاً ، وبالرغم من ان منطقة التردد المقارنة بينت فقط لـ (478 - 0 هرتز) فان كلاً من α و β يظهران مقتربين من مقارب ترددهما العالي (High Frequency Asymptot).



الشكل 2.13 دالة التوهين مع السرعة الزاوية محسوبة لخط مفتوح السلك متكوّن من توصيلين. α ، زوايا نصف قطرية لكل ثانية

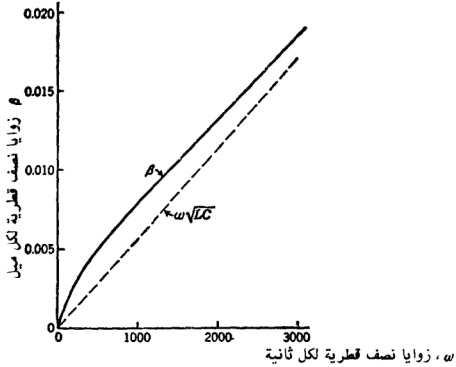
Not. 10 نحاسيين متباعدين بمسافة 30.48 سم . ان قيمة التردد العالي $\frac{R}{2\sqrt{L}} + \frac{G}{2\sqrt{C}}$ مبيّنة للمقارنة .

2.8. الخط غير المشوه : The Distortionless Line.

ان الإشارة المركبة (Complex Signal) التي تُجابه عملياً في المواصلات يمكن تحليلها (Resolved) باستعمال تحليل فوريير Fourier Analysis الى مركبات جيبيية^(١). في النظم الخطية فان كل من هذه المركبات ممكن معالجتها على حدى باستعمال النظرية الجيبيية لحالة الاستقرار . عند تسليط إشارة مركبة

(١) يفترض بأن القارئ له اطلاع بمسلسلة فوريير ، والتي بواسطتها تحلل الموجات الدورية (Periodic) اي مركبات جيبيية وبصورة مشابهة فان تكامل فوريير قادر على تحليل الموجات غير الدورية (Non-Periodic) ان مسلسلة فوريير قد نوقشت في عدد كبير من الكتب المدرسية (Text Books) البدائية على نظرية الدائرة وفي كتب الرياضيات الهندسية اما مقدمة معالجات تكامل فوريير فمما يمكن وجدانها في :-

integral can be found in E. A. Guillemin, «Communication Networks», Vol. II, Chap. XI, John Wiley & Sons, Inc., New York, 1935, and «The Mathematics of Circuit Analysis, » Chap. VII, John Wiley & Sons, Inc., New York, 1949; W. C. Johnson, «Mathematical and Physical Principles of Engineering Analysis, »Sec. 97, McGraw-Hill Book Company, Inc., New York, 1944; L. A. Pipes, «Applied Mathematics for Engineers and Physicists, » Chap. III, Sec. 9, McGraw-Hill Book Company, Inc., New York, 1946; and J. A. Stratton, «Electromagnetic Theory, » Sec. 5. 7, McGraw-Hill Book Company, Inc., New York, 1941.



شكل 2.14 دالة الطور مع السرعة الزاوية العائدة للشكل 2.13 . وقد رسم مقارب التردد العالي للمقارنة .

على نظام نقل (Transmission System) فان الموجة المستلمة ستكون بشكل الموجة المرسله نفسها فقط عندما يكون توهين مركبات الموجة متساوي وتنتقل بالسرعة نفسها وعليه فان الشرط الاول لعدم التشوه (Zero Distortion) هو عدم اعتماد ثابت التوهين على التردد والشرط الثاني جعل سرعة الطور ω/β متساوية في كل الترددات . اي ان ثابت الطور يجب ان يكون متناسباً خطياً مع التردد وبصورة عامة فان هذه الشروط غير متوفرة حيث ان α هو الجزء الحقيقي و β هي الجزء الخيالي لدالة معقدة للتردد $\sqrt{(R + j\omega L)(G + j\omega C)}$ وعلى كل حال يمكن الحصول على خط عديم التشوه اذا ارتبطت ثوابت الخط ببعضها بالعلاقة التالية :

$$\frac{R}{L} = \frac{G}{C} \quad (2.54)$$

وفي هذه الظروف يختصر ثابت الانتشار الى :

$$\gamma = \sqrt{RG} + j\omega\sqrt{LC} \quad (2.55)$$

ان الخط عديم التشوه له α لا تعتمد على التردد وتغيير β خطياً مع التردد وله سرعة طور ببساطة هي $v = 1/\sqrt{LC}$ لكل الترددات . ان الخط عديم الفقد هو حالة خاصة لهذا ، حيث ان $R = G = 0$ يحقق المعادلة (2.54) .

على الطالب ان يبرهن بان الخط عديم التشوه له :

- 1 . ممانعة مميزة تساوي $\sqrt{L/C}$
- 2 . الطاقة الكهربائية والمغناطيسية المرافقة للموجة المتنقلة متساوية .
- 3 . فقد متساوي في مقاومة وتوصيلية التسرب (Leakage Conductance) للخط .

الشرطان الاخيران ينطبقان فقط على موجة متنقلة منفردة وليس لتراكب (Superpositions) موجتين متنقلتين بعكس الاتجاه .

ان شرط التشوه القليل (Low-Distortion) مهم خصوصاً في الخطوط التي تكون لها نسبة اعلى الى اوطأ تردد كبيرة نوعاً ما كما هو الحال في خطوط الهاتف . في اغلب خطوط النقل فان الفقد في مقاومة الموصلات اكبر من الفقد في العازل ، اي ان R/L اكبر من G/C (يستثنى من هذا عند استعمال العوازل الصلبة في منطقة التردد فوق العالي (Ultra High Frequ.) حيث ان فقد العازل قد يكون عالٍ فعلاً .

ان خط الهاتف النموذجي مفتوح السلك المذكور في الجزء السابق $R/L = 2780$ و $G/C = 36.5$ ان هذا يكون اكثر تبايناً في قابلو الهاتف (Telephone Cable) حيث ان قرب الموصلات من بعضها يجعل السعة عالية نوعاً ما والمحاثة واطئة ، ان الثوابت العملية لقابلو هي : $R/L = 60$ اوم / ميل $L = 0.001$ هنري / ميل $C = 0.060 \times 10^{-9}$ فراد / ميل و $G/C = 2 \times 10^{-6}$ سيمنس / ميل جاعلاً $R/L = 60,000$ و $G/C = 33$. ليس من المرغوب فيه اعتياداً زيادة G صناعياً (Artificially) حيث انه سيزيد التوهين بكمية كبيرة ومن جهة اخرى فان تقليل المقاومة يحتاج الى موصلات ذات قطر كبير غير اعتيادي لتحقيق المعادلة (2-54) والى حد ما فبالامكان زيادة L وتقليل C بمباعدة (Spacing) اكبر بين الموصلات ولكن هنالك حد عملي لهذه العملية كما انه من الممكن زيادة المحاثة ايضاً بعملية تدعى التحميل الحثي (Inductive Loading) والتي متشرح في الجزء القادم . ان كمية معينة من التشوه يسمح بها عملياً ونادراً ما يوجد بالضبط خط عديم التشوه .

2.9- تحميل حثي : Inductive Loading.

في انواع من خطوط النقل ترددات المحاثات بقيمة اعلى من قيمتها الطبيعية ، وذلك بلف الموصلين بشريط معدني (Metal Tape) عالي الانفاذية او بادخال ملفات محاثية (Inductance Coils) عند فواصل منتظمة (uniform intervals) وهذه العملية تدعى بالتحميل الحثي (inductive loading) . وبما ان G/C تكون عادة اصغر من R/L فان اية زيادة بالمحاثات ستجعل الخط يقترب اكثر من خط عديم التشوه ، وكنتيجه لهذا فالممانعة المميزة وثابت التوهين وسرعة الطور ستصبح اقل اعتماداً على التردد ، ان فائدة التحميل الحثي هي تقليل التوهين الذي يسببه الخط عادة . وهذا ماسنححه الآن وافترض للحظة بان المحاثات المضافة موزعة بصورة منتظمة بحيث ان معادلات الخط المنتظم تطبق عليها .

في الجزء 2-7 برهن على ان حدود التردد العالي لـ α هو:

$$\alpha = \frac{R}{2} \sqrt{\frac{C}{L}} + \frac{G}{2} \sqrt{\frac{L}{C}} \quad (2.56)$$

وعندما يكون $G/C > R/L$ فان الحد الاول للمعادلة (2-56) سيكون اكبر من الثاني ويبين على ان الفقد بالموصل هو المسبب للجزء الاساسي للتوهين . وان اية زيادة في L ستقلل الحد الاول وتزيد الثاني بالعامل نفسه ، ولكن عند نقطة معينة والتي عندها يكون الحدان متساويين ومحصلة التأثير ستكون نقصاناً في حدود التردد العالي لـ α .

وهذا يعني فيزيائياً بان اي زيادة في L ستزيد الممانعة المميزة للتردد العالي $\sqrt{L/C}$ ، وهكذا يحتاج تيار اقل للقذرة المرسله نفسها وينتج عنه فقد $I^2 R$ اقل وسيحتاج الى فولتية اعلى مما ستزيد الفقد في العازل ، ولكن طالما يبقى هذا الجزء ثانوياً فان صافي التأثير سيكون كسباً (Gain)

كمثال ، اعتبر الخط المرسوم في الشكل 2-13 بدون تحميل ، ان حدي المعادلة (2-56) هما على التوالي 7.63×10^{-3} و 0.10×10^{-3} نبيير / ميل ، مؤشراً على ان الفقد بالنحاس هو 76 مرة اكبر من الفقد بالعوازل واذا زيدت L بعامل مقداره 4 بدون اي تغير بالثوابت الاخرى فان الحد الاول سيقل الى 3.82×10^{-3} والثاني سيزداد الى 2.20×10^{-3} معطياً ثابت توهين كلي مساوٍ لـ 4.02×10^{-3} نبيير / ميل ، وهذا اصغر من السابق . بالرجوع مرة اخرى الى الشكل 2-13 فان

أكبر تحسن يمكن الحصول عليه هو بتقليل الخط المقارب (Asymptote) للتردد العالي الى قيمة تقاطع التردد صفر نفسها اي \sqrt{RG} وعند ذلك سيكون الخط عديم التشوه ، اما اذا ازدادت L خارج هذه النقطة فان الحد الثاني من المعادلة (2.56) يهيمن ويزداد مقارب التردد العالي لـ α .

ان التحميل الحثي اكثر ضرورة لقابلات الهاتف منه لمخطوط المفتوحة السلك بسبب المحاثة القليلة والسعة العالية المتأصلتان في القابلو ، ان الفراغ المحدد ضمن غلاف (Sheath) القابلو يجعل استعمال سلك اصغر مرغوب به اكثر مما هو شائع استعماله للمخطوط مفتوحة السلك ، وهكذا يسبب مقاومة أعلى . ان المحاثة الطبيعية تكون واطئة بسبب قرب الموصلين من بعضهما ووجود عازل صلب بينهما يجعل السعة عالية . وكنتيجة لهذا فالفقد بالموصل يهيمن بعامل كبير كما وان التوهين وسرعة الطور يتغيران كثيراً ضمن المدى السمعي (Audio Range) ، وخط مقارب توهين التردد العالي عالي جداً وعليه يستعمل التحميل الحثي بصورة عامة على خطوط القابلو .

من الممكن تحميل خط نقل التردد السمعي (Audio Frequency) بصورة منتظمة بلف الموصلين بشريط معدني ذي انفاذية عالية ، وعلى اية حال فان هذه الطريقة تكلف كثيراً وتستعمل مبدئياً في القابلات البحرية (Submarine Cable) حيث ان الطرق الاخرى غير عملية . اما الخطوط القابلية على اليابسة (Land) فهي محملة كتلياً (Lump loaded) بملفات محاثة متباعدة عند فواصل منتظمة . ان مساويء هذه الطريقة هي ان المحاثة المكتلة في الخط تسبب تأثيراً مشابهاً لتأثير مرشح واطيء الامرار والذي يشوه الترددات العالية . وهذا التأثير ينقص كلما وضعت الملفات قريبة من بعضها كتقريب احسن لخط منتظم .

من الاستدلال الفيزيائي يمكن رؤية ان هناك على الاقل عدة ملفات لكل نصف موجة عند أعلى تردد مرغوب اذا اريد للخط ان يتصرف بالتقريب تصرفاً معقولاً كالخط المنتظم .

في الماضي كان شائعاً تحميل خطوط الهاتف المفتوحة السلك لتقليل توهينها وعلى اية حال فالتحميل كان له تأثير متغير يعتمد على التوصيلية المتسربة وهي التي تحدّد برطوبة العازل ، كما ان زيادة المطالب لاستجابة (Response) التردد العالي جعل تقليل المباعدة بين ملفات التحميل ضرورياً نوعاً ما .

الخطوط المفتوحة السلك تستعمل الآن بدون تحميل حيث ان مضخمات صمامية (Vacuum Tube Amplifier) تدخل عند فواصل متكررة كافية لكي تحفظ الإشارة من توهينها الى مستوى الضوضاء حيث عند ذلك لا يمكن استعادتها .

2-10 . سرعتا الطور والمجموعة : Phase and Group Velocities.

في الجزء 2-4 ناقشنا سرعة الطور ، وهي سرعة نقطة لها طور ثابت على موجة جيبية متنقلة وكما بينا في المعادلة (2-37) فانها تعطى بالعلاقة :

$$v_p = \frac{\omega}{\beta} \quad (2-57)$$

حيث نستعمل الآن الرمز السفلي p لتمييز هذه السرعة عن السرعة الأخرى التي سنناقشها الآن .

عندما تسلط إشارة مركبة على نظام نقل له دالة طور β والتي لا تناسب خطياً مع التردد فإن المركبات الجيبية المتعددة للإشارة سيكون لها سرع طور مختلفة وستغير الموجة شكلها كلما انتقلت أكثر تحت هذه الظروف ولا يمكن القول بأن الإشارة تنتقل بآية سرعة واحدة .

ان الحالة البسيطة الخاصة بالنسبة الى السرعة هي الناتجة من احدى الحالات المهمة للإشارة وهي التي يكون تردد مركباتها الجيبية متقارباً من بعضه وكماثال على هذا النوع من الموجة هو الإشارة المضمنة للاتساع (Amplitude Modulated) حيث ان الاتساع الجيبي للموجة الحاملة (Carrier) يتغير بالنسبة الى القيمة الآنية لإشارة ذات تردد واطيء ، احدى مركبات هذه الموجة لها تردد مساوي لتردد الموجة الحاملة نفسها وكل من الترددان في الإشارة الأصلية تنتج عنه حزمتان جانبيتان (Side Bands) احدهما فوق الحاملة والاخرى تحتها بمقدار مساو لتردد التضمين⁽¹⁾ (Modulating Frequency) واذا ما سلطت هذه المجموعة من الفولتيات على نظام نقل فان غلاف (Envelope) الموجة والذي له شكل الإشارة الأصلية نفسها ينتقل بسرعة واحدة في حين تتحرك الحقيقية والمحصورة ضمن الغلاف بسرعة أخرى .

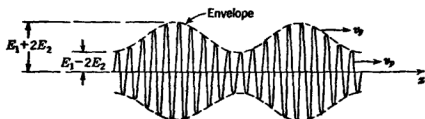
(1) راجع

F. E. Terman, «Radio Engineering, » 3d ed., Secs. 1.5 and 1.1, McGraw-Hill Book Company, Inc., New York, 1947; M. I. T. Staff, «Applied Electronics,» PP. 632-- 638, John Wiley & Sons, Inc., New York, 1943, or any standard textbook on communication theory

او اي كتاب مدرسي قياسي في نظرية المواصلات .

وللسهولة اعتبر ان الموجة المضمنة للاتساع لها حزمتان جانبيتان فقط ،
وارمز للاتساع الموجة الحاملة بـ E_1 وترددتها الزاوي بـ ω وثابت الطور لخط
النقل عند هذا التردد بـ β سنرمز للاتساع الحزمة بـ E_2 وتردديهما بـ $\omega - \Delta\omega$
و $\omega + \Delta\omega$ على التوالي وثابتي طوريهما بـ $\beta - \Delta\beta$ و $\beta + \Delta\beta$ ان
الموجة المتنقلة المحتوية على المركبات الثلاث يمكن كتابتها كالآتي :

$$e = E_2 \cos [(\omega - \Delta\omega)t - (\beta - \Delta\beta)x] + E_1 \cos (\omega t - \beta x) + E_2 \cos [(\omega + \Delta\omega)t - (\beta + \Delta\beta)x] \quad (2.58)$$



شكل 2-15 توضيح الرسم لسرعتي المجموعة والطور لموجة بسيطة مضمنة للاتساع

واذا بسطنا التعبير لفولتيات الحزمة الجانبية باستعمال المتطابقة الهندسية
 $\cos(a + b) = \cos a \cos b - \sin a \sin b$ وجمعنا الحدود نحصل على :

$$e = [E_1 + 2E_2 \cos(\Delta\omega t - \Delta\beta x)] \cos(\omega t - \beta x) \quad (2.59)$$

نستطيع ان نعتبر الحد المحصور بين القوسين كالاتساع لموجة متنقلة
 $\cos(\omega t - \beta x)$ يتحرك بسرعة طور مساوية لـ ω/β وان الاتساع نفسه يتغير
جيبياً بين حدين $E_1 + 2E_2$ و $E_1 - 2E_2$ هذا بالإضافة انها تتحرك على
الخط بسرعة $\Delta\omega/\Delta\beta$ للمركبات القريبة من بعضها وهذه السرعة تقترب من
المشتقة $d\omega/d\beta$ هو مقلوب ميل دالة الطور ، وهذه تسمى بسرعة المجموعة
:(Group Velocity)

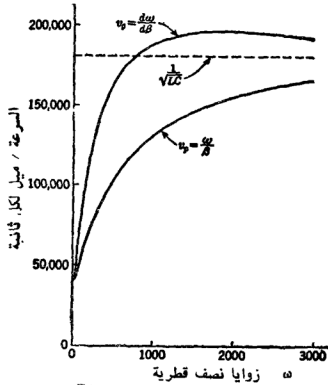
$$v_g = \frac{d\omega}{d\beta} \quad (2.60)$$

وهذه السرعة بصورة عامة مختلفة عن سرعة الطور ω/β . وفي اي حال
لاحظ بانه في حالة عدم التشوه (عندما $\beta = \omega\sqrt{LC}$) فان سرعتي الطور
والمجموعة كليهما مساويتان لـ $1/\sqrt{LC}$.

ان الصورة التي حصلنا عليها الآن للموجة المتنقلة المضمنة للاتساع الموضحة
بالشكل (2-15) والغلاف الذي هو منحنى خيالي يصل بين ذروات (Peaks)
الموجة الحقيقية يتحرك على طول الخط بسرعة المجموعة ، في حين تترك

الموجة الحقيقية خلال الغلاف بسرعة الطور⁽¹⁾.

الشكل (2-14) يبين المنحني المحسوب لـ β مع ω لخط هاتف نموذجي مفتوح السلك ، سرعتا الطور والمجموعة رسمتا (Plotted) في الشكل (2-16) الصورة الذهنية لسرعة المجموعة تفقد فائدتها عندما تكون مركبات الموجة واسعة الانتشار بالتردد وبحيث $d\omega/d\beta$ تساوي تقريباً المشتقة $d\omega/d\beta$.



شكل 2-16 سرعتا الطور والمجموعة العائدتان للشكل 2-14 . قيمة عدم التشوه $1/\sqrt{LC}$ مرسومة للمقارنة .

لقد لوحظ « كما في المثال المرسوم في الشكل (2.16) » بأن سرعة المجموعة قد تزيد على سرعة الضوء . على أي حال اننا نتعامل هنا مع الموجة في حالة الاستقرار والذي نظرياً ليس له بداية ولا نهاية . وعليه لا يمكن ان نتبع (Tag) اية طاقة عندما تدخل نظام نقل ، وكذلك لانستطيع تمييزها عند مغادرتها . وهكذا

(1) راجع

¹See H. H. Skilling, «Fundamentals of Electric Waves,» 2d ed., PP. 228-231, John Wiley & Sons, Inc., New York, 1948.

لا نستطيع ان نستخلص اي استنتاج نهائي بالنسبة الى السرعة التي تنتشر بها الطاقة الحقيقية ولهذا السبب فسرعة مجموعة اكبر من سرعة الضوء لا تحرق الفرضية النسبية (Relativity postulate) نستطيع تمييز موقع الطاقة في اشارة ذات امد قصير وفترة قصيرة ، ولكن تحليل فورير لمثل هذه الموجة تبين بأن المركبات متباعدة جداً بالتردد ، وعليه فان الصورة الذهنية لسرعة المجموعة تفقد فائدتها ، ان تحليلاً اضافياً يبين بان جبهة الموجة لاشارة مسلطة بصورة فجائية لا يمكن ان تنتقل بسرعة اكثر من سرعة الضوء . وان الفرضية النسبية لا تتعارض معها⁽¹⁾.

(1) لمعالجة قائمة لموضوع سرعة المجموعة راجع :

J. A. Stratton, «Electro-magnetic Theory,» Secs. 5.17 and 5.18, McGraw- Hill Book Company, Inc., New York, 1941, and R. I. Sarbacher and W. A. Edson, «Hyper and Ultra- high Frequency Engineering,» Sec. 5.8, John Wiley & Sons, Inc., New York, 1943.

ولمناقشة سرعتي المجموعة والاشارة راجع :

E. A. Guillemin, «Communication Networks,» Vol. II, Chap. III, Sec. 6, John Wiley & Sons, Inc., New York, 1935.

مسائل :

1. خط هاتف معين مفتوح السلك، له الثوابت التالية عند التردد 1,000 هرتز
 $R = 6.75$ ميل / اوم
 $L = 3.50 \times 10^{-3}$ ميل / هنري
 $C = 0.00872 \times 10^{-6}$ ميل / فراد
 $G = 0.40 \times 10^{-6}$ ميل / سيمنس
 باستعمال المعادلتين (2.30) و (2.31) . احسب Z_0 ، α و β واحسب سرعة الطور وطول الموجة عند هذا التردد .
2. قابلو هاتف معين (بدون ملفات تحميل) له الثوابت الآتية عند التردد 1,000 هرتز
 $R = 86.0$ ميل / اوم
 $L = 1.1 \times 10^{-3}$ ميل / هنري
 $C = 0.0620 \times 10^{-6}$ ميل / فراد
 و G مهملة . باستعمال المعادلتين (2.30) و (2.31) احسب Z_0 ، α و β . واحسب سرعة الطور وطول الموجة عند هذا التردد .
3. مع ادخال ملفات تحميل حثي ، للقابلو المحوري في المسألة (2) الذي له الثوابت الآتية عند التردد 1,000 هرتز :
 $R = 95.0$ ميل / اوم
 $L = 151 \times 10^{-3}$ ميل / هنري
 $C = 0.0620 \times 10^{-6}$ ميل / فراد
 و G مهملة ، احسب Z_0 ، α ، و β وسرعة الطور وطول الموجة عند هذا التردد . قارن النتائج مع نتائج المسألة 2 .
4. قابلو هاتف غير محمل بملف حثي على التوالي ، المحاطة والمتسربة (Leakage) ممكن اهبالها على مدى تردد واسع ($G/C \ll \omega \ll R/L$)
 أ . ابتداءً من المعادلتين (2.30) و (2.31) وباهمال L و G اكتب التعبير الناتج بـ α ، Z_0 و β

ب. استعمل المعلومات (Data) $R = 86.0$ اوم / ميل ، $0.062 \times 10^{-6} = C$ فراد / ميل ، ارسم الكميات الآتية مع التردد وللمدى (Range) 3000 $f < 200$ هرتز : α ، سرعة الطور ، والمركبة المقاومة والمفاعلية ل Z_0 ج. اذا كان $L = 1.1 \times 10^{-3}$ هنري / ميل و $G = 2.0 \times 10^{-6}$ سيمنس / ميل عند اي تردد ستكون Q مساوية ل ωC ، وعند اي تردد ستكون ωL مساوية ل R ؟

5. قابلو هاتف بدون ملفات تحميل حثية له الثوابت الآتية : $R = 42.0$ اوم / ميل ، $L = 1.1 \times 10^{-3}$ هنري / ميل ، $0.0620 = C$ فراد / ميل واضيفت ملفات تحميل بحيث ازدادت الحثية بمقدار 30×10^{-3} هنري / ميل . ايضاً اضيفت مقاومة تخمينية مقدارها 6 اوم / ميل عند تردد 3,000 هرتز . جد المسافة بين الملفات التي ستجعل المسافة بينهما مدس طول الموجة عند التردد 3,000 هرتز .

6. خط مفتوح السلك يتكون من موصلين رقم AWG- 10 متباعدين بمسافة مقدارها 3 سم وله الثوابت التالية :
عند التردد 1,000 هرتز $R = 6.55 \times 10^{-6}$ اوم / متر ، $L = 1.36 \times 10^{-6}$ هنري / متر $C = 8.84 \times 10^{-12}$ فراد / متر و G مهملة
عند التردد 100 ميكا هرتز $R = 6.06$ اوم / متر $L = 1.26 \times 10^{-6}$ هنري / متر $C = 8.84 \times 10^{-12}$ فراد / متر و G مهملة .
جد α ، Z_0 لكل من الترددتين السابقين والفقد بالنيبر لكل طول موجة وقارن بينهما .

7. مصدر تيار مستمر سلط على جانب الارسال لقابلو له $R = 86.0$ اوم / ميل و $G = 1.50 \times 10^{-6}$ سيمنس / ميل . احسب Z_0 و α لهذا الشرط من الاشتغال . احسب نسبة فولتية جانب الاستلام الى فولتية جانب الارسال اذا كان طول القابلو 100 ميل ومنته بممانعته المميزة .

8. برهن على انه عند تقطعتين من نظام لهما نفس مستوى الممانعة فان توهيناً مقداره 1 نيبر مكافئ ل 8-686 ديسيبل .

9. احسب نسب القدرة والفولتية (افترض ممانعات متساوية) ل 1 ، 3 ، 10 و 30 ديسيبل .

10. خط هاتف نموذجي مفتوح السلك له توهين مقداره 0.0050 نيبير / ميل عند تردد 1,000 هرتز ، بينما قابلو هاتف نموذجي له توهين مقداره 0.05 نيبير / ميل عند هذا التردد . احسب الطول الذي سيغطي توهيناً مقداره 10 ديسيبل لكل من هذين الخطين

11. قابلات هواتف غير محملة تستعمل احياناً كحاملة هاتف (Carrier Telephony). قابلو غير محمل له الثوابت الاتية عند التردد 3,000 هرتز . $R = 52.5$ اوم / ميل ، $L = 1.1 \times 10^{-2}$ هنري / ميل $\times 10^{-6}$ $C = 0.062$ فراد / ميل و G مهملة . احسب α و β وطول الموجة وسرعة الطور ، وطول الخط الذي يعطي توهيناً مقداره 25 ديسيبل .

12. خط هاتف مفتوح السلك له الثوابت الاتية عند التردد 1,000 هرتز . $Z_0 = 615 - j87$ اوم ، $\alpha = 0.00491$ نيبير / ميل $\alpha = 0.0351$ زوايا نصف قطرية / ميل وطول الخط 150 ميل ومنته بممانعته المميزة . مولد تردده 1,000 هرتز يجهز فولتية جانب الارسال بـ 5.0 فولت :
أ . احسب سرعة الطور وطول الموجة .

ب . احسب تيار وقدرة جانب الارسال وقدرة جانب الاستلام .

ج . ارسم الرسم البياني القطبي (Polar Diagram) لـ B المشابه للشكل (2.8) خذ B_0 افقياً .

13. قابلو محوري مرن (Flexible) له عازل صلب يستعمل عند التردد 300 ميكا هرتز له $Z_0 = 52.0 + j0$ اوم ، $\alpha = 0.0156$ نيبير / متر ، ثابت السرعة يساوي 0.66 (لاحظ المعادلة (2.39) وطول الخط 75 متراً ومنته بممانعته المميزة . عند جانب الارسال مولد ذو تردد 300 ميكا هرتز له فولتية دائرة مفتوحة مقدارها $B_0 = 50$ فولت ج . م . ب وممانعته داخلية $Z_0 = 52 + j0$ اوم . وجد اتساع فولتية جانب الارسال وفولتية جانب الاستلام . احسب قدرة جانب الارسال وقدرة جانب الاستلام . ماهو عدد الاطوال الموجية لهذا الخط .

14. برهن في الفصل 1 على أن معامل الانعكاس لموجة تضرب جانب المولد لخط

$$k_e = \frac{Z_e - Z_0}{Z_e + Z_0} \quad \text{هو :}$$

افترض بأن الخط يشغل بحالة استقرار مع ممانعة حمل مساوية للممانعة المميزة ومساق بمولد فولتية دائرته المفتوحة E_e وممانعته الداخلية Z_e

$$E_e = \frac{1 - k_e}{2} E_s \quad \text{برهن على أن :}$$

$$E = \frac{E_s}{2} (1 - k_e) e^{-\gamma z} \quad \text{وعليه ففي أية نقطة } z :$$

15. برهن على أن الخط غير المشوه له :

أ. ممانعة مميزة مساوية لـ $\sqrt{L/C}$

ب. الطاقة الكهربائية والمغناطيسية المرادفة للموجة المتنقلة متساوية .

ج. فقد في الطاقة متساوي في المقاومة والمواصلة المتسربة للخط .

16. كما مبين بالمعادلة (2.51) ، أن ثابت توهين التردد العالي للخط هو :

$$\alpha_{h.f} \approx \frac{R}{2} \sqrt{\frac{C}{L}} + \frac{G}{2} \sqrt{\frac{L}{C}}$$

وحدود التردد صفر لـ α هو \sqrt{RG} ، رتب المعادلة السابقة للتعبير عن

النسبة $\alpha_{h.f}/\sqrt{RG}$ كدالة للنسبة LG/RC . ارسم هذه الدالة على

مدى $0 < LG/RC < 4$. لاحظ القيمة الصغرى التي يحدث عندها

$$LG/RC = 1 \quad \text{والتي تمثل شرط عدم التشوه} \quad R/L = G/C$$

17. عند الترددات العالية قيمة β هي $\omega\sqrt{LC}$. تقريباً . ابتداءً بهذا التعبير

لـ β^2 والمعطى بالمعادلة (2.53) وباستعمال نظرية ذي المدين ، برهن أنه

عندما تكون G مهملة و $\omega L \gg R$ فإن أحسن تقريب لـ β هو :

$$\beta = \omega\sqrt{LC} \left(1 + \frac{R^2}{8\omega^2 L^3} \right)$$

18. استعمل نتيجة المسألة 17 لاشتقاق معادلات سرعتي المجموعة والطور . أن

هذان التعبيران سيطبقان بالطبع فقط عندما تكون G مهملة وعندما

$$\omega L \gg R \quad \text{احسب السرعتين للقابل في المسألة 1 .}$$

الفصل الثالث

ثوابت الخطوط ذات الموصلين

THE CONSTANTS OF Two-CONDUCTOR LINES

3.1 صورة نوعية للتأثير السطحي : A Qualitative Picture of Skin Effect.

عند سريان تيار متناوب في موصل فان الفيض (Flux) المغناطيسي المتناوب في الموصل تحت قوة دافعة كهربائية وهذه القوة الدافعة الكهربائية تسبب نقصاً في كثافة التيار داخل السلك وزيادة في كثافة التيار على السطح الخارجي للسلك. تعرف هذه النتيجة بظاهرة التأثير السطحي وتزداد اهميتها بزيادة التردد.

عند استعمال موصلات حديدية مغناطيسية (Ferromagnetic) فان التأثير السطحي يكون ملحوظاً في ترددات القدرة التجارية.

وعند الترددات الراديوية فان التيار في سلك متوسط الحجم يتركز في طبقة رقيقة على السطح الخارجي للسلك. تبين التحليلات انه عندما تكون مساحة مقطع سلك اكبر بكثير من السمك الفعال لمرور التيار فان كثافة التيار تتغير تغيراً اسياً بالابتعاد عن سطح السلك. ان المسافة التي تنقص فيها كثافة التيار الى $1/e$ سماً في السطح السلك تسمى بصمق الاختراق الاسمي (Nominal Depth of Penetration) $(\delta = 2.718)$ وقد تكون هذه التسمية مشكلة ... وجود مقدار اكبر من التيار تحت هذا السمق. ان العمق الاسمي للاختراق مشابه لثابت الوقت (Time Constant) لحالة عابرة اسية (Exponential Transient) في الجزء 3.2 مبرهن على ان العمق الاسمي للاختراق هو كالاتي :

$$\delta = \sqrt{\frac{\rho}{\pi f \mu}} \quad \text{meters} \quad (3.1)$$

وحدة δ هي المتر.

حيث ان P هي مقاومة (Resistivity) الموصل ووحدتها اوم - متر (في بعض الاحيان اوم لكل متر مكعب)

f هو التردد ووحدته هرتز لكل ثانية

μ هي الانفاذية المطلقة للسلك ووحدتها اوم - كيلو غرام ثانية او هنري لكل متر (قيمة μ في الفراغ المطلق هي $10^{-7} \times \pi$ هنري / متر). لسلك نحاسي تكون المعادلة 3.1 كما يلي :

$$\delta = \frac{6.64}{\sqrt{f}} \text{ سنتيمتر .}$$

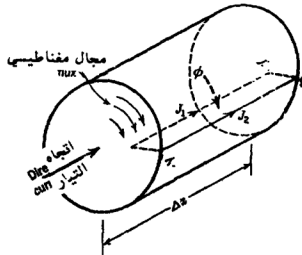
(3.2)

وحدة سنتيمتر

وهكذا فان عمق لاختراق الاسمي لسلك نحاسي هو حوالي 0.86 في تردد مقداره 60 هرتز و 0.0066 سنتيمتر عند تردد 1 ميكا هرتز .

عندما تكون كثافة الفيض المغناطيسي غير منتظمة حول سطح الموصل فان التحليلات تبين ان التيار يتركز بوضوح في المواقع التي يكون فيها الفيض المغناطيسي اعظم . اذا كان الموصل اسطوانى الشكل والمسافة بين السلكين تعادل اضعاف نصف قطره كما هو الحال في الخطوط ذات السلكين فان الفيض المغناطيسي قرب الموصل يكون دائري ومتحد المركز مع السلك وتكون كثافة الفيض منتظمة تقريباً حول السطح الخارجى للموصل ويتركز تيار الترددات العالية بانتظام حول السطح . على كل اذا كان السلك مستطيل الشكل فان كثافة الفيض على سطح السلك سيكون اعظم في زوايا الموصل ويتركز التيار في هذه المناطق .

عندما يحتوي خط نقل على سلكين متقاربين من بعضهما فان كثافة الفيض المغناطيسي تكون اكبر في المنطقة ما بين الموصلين وان التيار يحاول ان يتركز



شكل 3.1 مساران متوازيان طوليان خلال موصل اسطوانى .

على السطحين المتقابلين للموصلين . هذا الظاهرة تُعطي اسماً خاصاً وهو التأثير التقاربى (Proximity Effect) وهو ملاحظ اكثر عندما يتكون الخط في شريحتين متوازيتين متقاربتين من بعضهما كما في الشكل 1.1 جـ وعلى خط كهذا فان التيار المتناوب لترددات عالية سوف يسري بصورة رئيسة على الوجهين المتقابلين من هاتين الشريحتين .

في الخط المحوري (Coaxial Line) الذي يحمل تيارين متساويين ومتعاكسين في الموصلين لا يتكون فيض مغناطيسي خارج الموصل الخارجي وعليه فان الفيض الخارجي للموصلين سوف يكون في الفراغ الحلقي بينهما . ان التيار المتناوب يحاول ان يتركز على السطحين اللذين يحدان هذا الفراغ (السطح الداخلي للموصل الخارجي والسطح الخارجي للموصل الداخلي) . لتكوين فكرة نوعية احسن لتأثيرات التأثير السطحي ونتائجها ، افترض موصلأ اسطوانياً صلباً يحمل تياراً متناوباً والمسافة بين الموصلين عدة مرات بقدر نصف قطر الموصل حتى يكون الفيض المغناطيسي داخل الموصل على شكل دوائر متحدة المركز . الشكل 3.1 يبين طول مقداره Δx . من سلك كهذا ، افترض المسارين الطولين أ ب و ج د حيث ان أ ب هو المسار الداخلي للموصل و ج د هو المسار على سطح الموصل . ارمز لكثافتى التيارين على طول هذين المسارين بـ J_1 و J_2 والفيض المغناطيسي الواصل (Linking) بالمستطيل أ ب ج د ب ϕ ، حول هذا المسار المغلق يجب ان يكون حاصل الجمع الجبري للتيار i في المقاومة R (iR) زائداً القوة الدافعة الكهربائية المستحثة $d\phi/dt$ مساوياً لصفر .

ان حاصل ضرب التيار في المقاومة على طول المسار أ ب يساوي و $J_1 \rho \Delta x$ فولت ، حيث ان J_1 هو كثافة التيار "أمبير متر مربع" و ρ هي المقاومة ووحدتها اوم متر و Δx تقاس بالمتر . وبالطريقة نفسها فان حاصل ضرب التيار في المقاومة على طول الخط ج د هو $J_2 \rho \Delta x$. ان القوة الدافعة الكهربائية المستحثة حول المسار أ ب ج تساوي $d\phi/dt$ فولت ، حيث ان ϕ هو الفيض ووحدته هي الويبر (اويبر = 10^8 ماكسويل) . وهكذا فانه يمكن كتابة ما يأتي حول هذا المسار :

$$J_1 \rho \Delta x - J_2 \rho \Delta x + \frac{d\phi}{dt} = 0$$

$$J_1 \rho \Delta x + \frac{d\phi}{dt} = J_2 \rho \Delta x \quad (3.3)$$

اذا كان التيار تياراً مستمراً فان معدل تغير الفيض يكون صفراً وكثافة التيارين J_1 و J_2 تكونان متساويتين ولكن عندما يكون التيار متناوباً فان $d\phi/dt$ لا تساوي صفراً وقيمة J_1 يجب ان تكون اصغر من J_2 حتى تكون المعادلة (3.3) صحيحة .

اما اذا اختير الخط أ ب اقرب الى مركز السلك فان قيمة ϕ تكون اكبر وكثافة التيار J_1 تكون ايضاً اقل ، ومن ثم نرى ان كثافة التيار يجب ان تقل ابتداءً من سطح السلك باتجاه مركزه وكذلك فان عدم التساوي في كثافة التيار

تزداد اكثر كلما ازداد معدل تغير الزمن لتغير الفيض بزيادة التردد . هذا بالإضافة الى انه يلاحظ من المعادلة (3.3) انه بزيادة في قيمة ϕ لا يمكن معادلة هذه الزيادة بمجرد النقصان في r_1 من غير ان تحصل ازاحة زاوية في كلتا الكييتين وذلك لان احد الحدين من المعادلة (3.3) هو مشتقة في حين الاخر ليس بمشتقة . ان هذا التعقيد لا يمكن تتبعه الا بالتحليلات الرياضية ولكن ما يمكن اعتقاده من الصورة النوعية هو ان التيارات عند انصاف اقطار مختلفة سوف لن تكون الطور نفسه مع بعضها وعندما نتكلم عن تيار متناوب في موصل نقصد به تكامل كثافة التيار على مساحة المقطع آخذين بنظر الاعتبار الازاحة بالطور في انصاف الاقطار المختلفة .

عندما يكون التردد عالٍ بمقدار كافٍ فان الاجزاء المركزية للموصل سوف لن تحمل قدراً من التيار يمكن قياسه بسبب ان الحد $d\phi/dt$ وحده يكون كافياً لتحقيق المعادلة (3.3) لتلك المسارات ، عندما يكون التيار غير موزع بانتظام في المقطع العرضي للموصل فان حرارة السلك تزداد مما يسبب مقاومة فعالة اعلى . ان مقاومة التردد العالي للموصل يمكن ان تكون عدة مرات اكثر من مقاومة التيار المستمر ومع ازدياد المقاومة للتيار المتناوب سيكون هنالك نقصاً في ذلك الجزء من المحاثية المتسببة من الفيض الداخلي لان هذا الفيض يضمحل كلما تحرك التيار بعيداً عن مركز السلك .

للموصلات غير المغناطيسية المفصولة عن بعضها بعدة أنصاف اقطار فان أكثرية المحاثية متسببة من الفيض الذي هو خارجي بالنسبة الى هذه الموصلات وتُمثل هذه الخطوط فان النقصان في المحاثية ليس بالكثير . في الجزء (3.4) بينا أنه يمكن حساب مقاومة التردد العالي لموصل بطريقة بسيطة جداً بشرط أن يكون الفيض المغناطيسي منتظماً حول السطح الخارجي . تصور بأن الموصل الفعلي استبدل بموصل خيالي مجوف له الشكل السطحي نفسه له سمك يساوي عمق الاختراق الاسمي . اذا فالمقاومة للتيار المستمر لهذا الموصل الخيالي هي بالضبط تساوي مقاومة السلك الحقيقية للتردد العالي .

في ترددات اوطاً عندما يكون اختراق التيار عميقاً في الموصل يجب استعمال تحليلات أكثر دقة كما في التحليلات لموصل اسطواني في الجزئين 3.5 و 3.6 ، ان نتائج مقاومة التيار المتناوب والمحاثية المتسببة من الفيض الداخلي قد مثلت بالرسوم في الشكلين 3.10 و 3.11 .

ان مركز الموصل الصلب في الترددات العالية قليل الفائدة ماعدا للدعم الميكانيكي وتستعمل الموصلات المجوفة عادة بسبب صلابتها العالية (Rigidity) ومحيطها الاوسع لكمية معينة من المادة .

يمكن جعل التيار يسري خلال الجزء الأعظم من مساحة مقطع الموصل بواسطة صنع السلك من جذائل (Strands) منسوجة مع بعضها حتى تحتل كل جذيلة على التعاقب مواقع عند أنصاف اقطار مختلفة .

تدعى موصلات كهذه لتزيندراحت (Litzendraht) او سلك لتز (Litz Wire) وهذه الاسلاك تستعمل ربما الى حدود 1 أو 2 ميكا هرتز اي عندما يصبح عمق الاختراق مساو تقريباً لنصف قطر الجذيلة المنفردة . وتستعمل عادة الموصلات الصلبة والمجوفة خارج هذا المدى .

3.2 التأثير السطحي في موصل مسطح (1) :

Skin Effect in a Plane Conductor.

سوف نحلل أولاً حالة محددة من التأثير السطحي عندما يكون عمق الاختراق الفعلي في الموصل اصغر بكثير من وحدات مساحة مقطع الموصل ، هذه هي الحالة في الترددات الراديوية . في الجزء الآتي سوف نعطى تحليلات اكثر عمومية لموصلات دائرية المقطع ومتناظرة لكافة الترددات عندما يكون عمق الاختراق صغير جداً بالمقارنة مع نصف قطر انحناء السطح ، نستطيع ان نتصور ان ذلك السطح مسطح تماماً في منطقة صغيرة كما مبين في الشكل 3.3 . كذلك اذا كان سمك الموصل عدة مرات اكبر من عمق الاختراق فيمكن ان نفترض ان الموصل غير نهائي في العمق دون ارتكاب خطأ ملحوظ .

سوف نعبر عن كل الكميات في نظام الوحدات المنطقية (2) (متر . كيلوغرام . ثانية) ونستعمل مجموعة المصطلحات (Nomenclature) الآتية :

ϵ = كثافة المجال الكهربائي وحدتها هي فـولـت بدل متر .

ϕ = الفيض المغناطيسي وحدته هو الويبر (الويبر = 10^8 ماكسويل) .

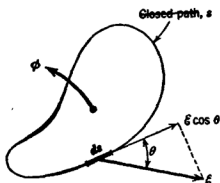
(1) الاجزاء من 3.2 الى 3.6 التي تشرح نظرية التأثير السطحي باسباب نوعاً ما يمكن اهمالها بدون التأثير على استمرار الموضوع مع ملاحظة النتائج المبينة في الشكلين 3.10 و 3.11 .

(2) يمكن الرجوع الى شرح نظام م . ك . ث للوحدات في عدة كتب بضمنها :

A. B. Bronwell and R. E. Beam, «Theory and Application of Microwaves», PP. 459- 461, McGraw-Hill Book Company, Inc., New York, 1947, and MIT Staff, «Elec- tric Circuits, » Appendix C, John Wiley & Sons, Inc., New York, 1940.

B = كثافة الفيض المغناطيسي وحدتها هي ويبر لكل متر مربع .
 H = شدة المجال المغناطيسي وحدتها هي امبير - لفة لكل متر (امبير - لفة لكل متر)
 r = كثافة التيار وحدتها هي امبير لكل متر مربع .
 μ = الانفاذية المغناطيسية (القيمة للفراغ المطلق في نظام الوحدات متر كيلوغرام . ثانية (م . ك . ث) هي $4\pi \times 10^{-7}$ هنري لكل متر) .
 ρ = المقاومة وحدتها اوم - متر .
 z = المسافة من سطح الموصل مقامة بصورة عمودية الى داخل الموصل وحدتها هي المتر .

لهذه التحليلات يستعمل قانونان اساسيان الاول قانون الحث لفراداي والذي ينص على ان القوة الدافعة الكهربائية حول مسار مغلق تساوي $d\phi/dt$ ، حيث ان ϕ هو الفيض المغناطيسي الوصلي للمسار ويمكن التعبير عن القوة الدافعة الكهربائية المحتثة بتكامل مركبة المماس لشدة المجال الكهربائي حول المسار . ان مركبة المجال الكهربائي باتجاه هذا المسار هي $\epsilon \cos \theta$. حيث ان θ هي الزاوية بين اتجاهي ϵ و s (كما في الشكل 3.2)



شكل 3.2 يوضح تكاملية المعادلة (3.4)

وهكذا فان القوة الدافعة الكهربائية هي :

$$\text{emf} = \oint \epsilon \cos \theta \, ds = - \frac{d\phi}{dt} \quad (3.4)$$

حيث ان ϕ هي الفيض المغناطيسي الوصلي للمسار وتبين الدائرة على اشارة التكامل ان التكامل يؤخذ حول المسار المغلق . القانون الثاني المراد هو ان القوة الدافعة المغناطيسية (mmf) حول اي مسار مغلق مساوية عددياً الى التيار الوصلي لذلك المسار (ان العامل 4π غير موجود في هذه المعادلة في نظام

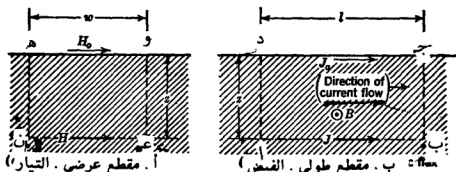
الوحدات الذي نستعمله). ان القوة الدافعة المغناطيسية يمكن كتابتها كتكامل لمركبة المماس لشدة المجال المغناطيسي حول المسار، وهكذا:

$$\text{mmf} = \oint H \cos \theta \, ds = I$$

حيث ان θ الان هي الزاوية بين اتجاهي H و s . (1).

في المعادلتين (3.4) و (3.5) اتجاه التكامل حول المسار والاتجاه الموجب للفيض والتيار على التعاقب يجب ان يكونا حسب قاعدة اليد اليمنى كذلك يوجد علاقتان سوف تكونان ضرورتين في تحليلاتنا:

الاولى هي العلاقة المعتادة التي تخص كثافة الفيض المغناطيسي بشدة الفيض المغناطيسي $B = \mu H$ والثانية هي قانون اوم التي تعبر عن كثافة التيار J وشدة المجال الكهربائي E اي $J = \sigma E$ حيث ان σ هي مقاومة الموصل.



خارج عمودياً على الورقة. b. conductor داخل عمودياً على الورقة.

شكل 3.3 موصل صلب محاط بسطح مستو.

بالرجوع الى الشكل 3.3 وباعتبار ان الحجم بعرض مقداره w وطول مقداره l محاط من الاعلى بسطح الموصل ومن الاسفل بمستوى عمق z .

اولاً سوف نكتب المعادلة (3.4) حول المسار أ ب ج د أ، ان شدة المجال الكهربائي على طول الخط أ ب وباستعمال قانون اوم هي Jl في حين على طول الخط ج د على السطح تساوي Jw . ان المجال الكهربائي له اتجاه التيار نفسه ومن ثم فليس هنالك مركبة على طول الخطين ب ج و د أ. ولهذا فان التكامل في المعادلة (3.4) يصبح $Jwl - Jwl$. يمكن ايجاد الفيض المغناطيسي الكلي

(1) القارئ الذي درس تحليل المتجهات بقدر ان يتعرف على ان تكاملات المعادلتين (3.4) و (3.5) تكونان حاصل الضرب غير الاتجاهي (Scalar Product) $\oint \mathbf{E} \cdot d\mathbf{s}$ و $\oint \mathbf{B} \cdot d\mathbf{s}$ بالتعاقب، وكذلك سوف يجد الطالب انه باستعمال المعادلة (3.5) سوف نهمل تيار الازاحة، وهذا ممكن في المعادن حتى في الترددات المتناهية الصغر بسبب ان الموصلية العالية تجعل تيار التوصيل اكبر بكثير من تيار الازاحة.

الوصلي في المسار أ ب ج د أ بتكامل كثافة الفيض المغناطيسي على المساحة :

$$\phi = l \int_0^s B dz$$

وعليه تصبح المعادلة (3.4) حول المسار أ ب ج د كالآتي :

$$J_p - J_{op} = -\frac{d}{dt} \int_0^s B dz \quad (3.6)$$

إذا مارغبنا في اعتبار كميات متغيرة جيبياً فقط فيمكن استعمال الرمز المركب في الجزء 2.1 وكتابة :

$$\left. \begin{aligned} J &= J_m e^{j\omega t} \\ J_0 &= J_{m0} e^{j\omega t} \\ B &= B_m e^{j\omega t} \end{aligned} \right\} \quad (3.7)$$

بتعويض هذه العلاقات في المعادلة (3.6) وبأخذ مشتقة الزمن المبينة وباختصار الكمية $e^{j\omega t}$ نحصل على :

$$J_{mp} - J_{mop} = -j\omega \int_0^s B_m dz \quad (3.8)$$

يمكن ازالة اشارة التكامل بأخذ المشتقة لهذه المعادلة بالنسبة الى z وبما ان J_m هي كمية ثابتة . يمكن الحصول على :

$$\rho \frac{dJ_m}{dz} = -j\omega B_m \quad (3.9)$$

وبما ان $B_m = \mu H_m$ فهذا مكافئ الى :

$$\rho \frac{dJ_m}{dz} = -j\omega \mu H_m \quad (3.10)$$

المعادلة (3.10) تحتوي على متغيرين مستقلين هم J_m و H_m ، ولهذا نحتاج الى معادلة اخرى ، هذه المعادلة يمكن الحصول عليها من قانون القوة الدافعة المغناطيسية (3.5) . بتأمل المسار ه و زع ه في الشكل (3.3) فان التكامل في المعادلة (3.5) يصبح :

$$H_0 w - H w$$

ويمكن كتابة الطرف اليمين كالآتي :

$$w \int_0^s J dz$$

اذن يكون لدينا :

$$H_0 - H = \int_0^s J dz$$

بافتراض ان التغير جيبي وباستعمال العلاقات $J = J_m e^{j\omega t}$ و $H = H_m e^{j\omega t}$ تصبح هذه كالآتي :

$$H_{m0} - H_m = \int_0^s J_m dz \quad (3.11)$$

وبأخذ المشتقة بالنسبة الى z نحصل على :

$$-\frac{dH_m}{dz} = J_m \quad (3.12)$$

لازالة H_m بين المعادلتين (3.10) و (3.12) ، نخذ مشتقة المعادلة (3.10)

بالنسبة الى z وثم عوض J_m هو مبين بالمعادلة (3.12) في محل $-dH_m/dz$.
هذا يعطينا المعادلة التفاضلية التي تبين تغير كثافة التيار مع العمق :

$$\frac{d^2 J_m}{dz^2} = \frac{j\omega\mu}{\rho} J_m \quad (3.13)$$

ان حل هذه المعادلة التفاضلية يجب ان يكون دالة عندما تشتق مرتين ينتج عنها الدالة الاصلية مضروبة بـ $j\omega\mu/\rho$. هكذا هي الحالة مع الدالة $C_1 e^{-z\sqrt{j\omega\mu/\rho}}$ او الدالة $C_2 e^{z\sqrt{j\omega\mu/\rho}}$ او مجموع هاتين الدالتين ، لكن الدالة الثانية تزداد قيمتها بازدياد z ونعرف ان هذا غير ممكن فيزيائياً في المسألة الحالية ولهذا فان الحل المناسب يجب ان يكون :

$$J_m = C_1 e^{-z\sqrt{j\omega\mu/\rho}}$$

يمكن التعبير عن الكمية الثابتة C_1 بدلالة كثافة التيار على السطح (سطح الموصل) وذلك باستبدال $J = J_m$ عند $z = 0$ ناتجاً $C_1 = J_m$ ، وعليه عند اي عمق z يكون لدينا :

$$J_m = J_m e^{-z\sqrt{j\omega\mu/\rho}} \\ = J_m e^{-\alpha(1+j)z/\sqrt{\rho\mu\omega}}$$

وبصورة عامة يمكن التعبير عنها بـ :

$$J_m = J_m e^{-\alpha/\delta} e^{-jz/\delta} \quad (3.14)$$

حيث ان δ تسمى عمق الاختراق الاسمي او التأثير السطحي الاسمي كما مبين في العلاقة الآتية :

$$\delta = \sqrt{\frac{2\rho}{\omega\mu}} = \sqrt{\frac{\rho}{\pi f\mu}} \quad (3.15)$$

ويمكن الحصول على معادلة لكثافة التيار الآتية بالطريقة المبينة في الجزء 2.1 . المعادلة (3.14) تعطي موقع المتجه الدوار (Rotating Vector) في زمن مقداره $t = 0$. يمكن الحصول على قيمة آتية باسقاط (Projecting) المتجه على الاحداثي الافقي بضرب المعادلة (3.14) بـ $e^{j\omega t}$ واخذ الجزء الحقيقي فنحصل على :

$$J = J_m e^{-\alpha/\delta} \cos(\omega t - z/\delta) \quad (3.16)$$

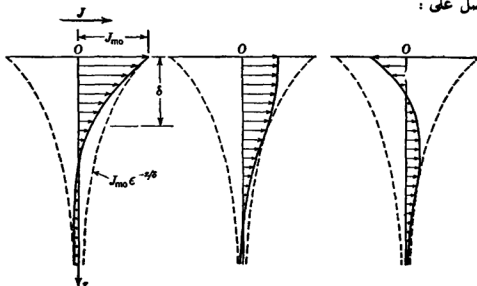
هذه العلاقة هي مشابهة بالشكل الى العلاقة التي حصلنا عليها من موجة تنتقل على خط نقل منتظم وبدون انعكاس (قارن مع المعادلة 2.36) .

ان التفسير الفيزيائي لهذا هو ان الموجة الموجودة على سطح الموصل التي تنتقل عمودياً الى داخل الموصل تتوهن بصورة سريعة كلما انتقلت . ان الموجة تتلاشى الى $1/e$ من قيمتها على السطح بمسافة تساوي عمق الاختراق الاسمي δ . ليس للتيار عمق محدد في الموصل ولكن التعاريف السابقة لـ δ توفر قياساً ملائماً للسلك النسبي .

على عمق مقداره 5δ تكون كثافة التيار هي ϵ^{-5} او 0.0067 من قيمته على سطح الموصل ولموصل سمكه اكبر فان يتصرف كما لو كان له عمق محدد .

لموجة متنقلة تكون قيمة كل من ثابت التوهين وثابت الطور مساوية بالتعاقب ل $1/\delta$ وهكذا فان طول الموجة يزاح درجة واحدة نصف قطرية كلما قل اتساع الموجة بمقدار $1/\epsilon = 0.368$ وان طول الموجة هو $2\pi/\beta = 2\pi\delta$ وسرعة الطور للموجة هو $\omega/\beta = 2\pi\delta f$ ، يبين الشكل (3.4) رسماً تخطيطياً لموجة تيار متنقلة وبسبب التوهين العالي فان شكل الموجة يتشوه كثيراً .

ان مقدار عمق الاختراق مهم بصورة خاصة ، للنحاس $\mu = \mu_0 = 4\pi \times 10^{-7}$ هنري لكل متر وان $m \approx 1.74 \times 10^{-8}$ اوم متر . ثم وباستعمال المعادلة (3.15) نحصل على :



شكل 3.4 يبين موجة متنقلة الى اسفل جسم معدني صلب في ثلاث لحظات متعاقبة من الزمن .

$$\delta = \sqrt{\frac{1.74 \times 10^{-8}}{\pi f \times 4\pi \times 10^{-7}}} = \frac{0.0664}{\sqrt{f}}$$

وحدة δ . هنا هي المتر .

$$= \frac{6.64}{\sqrt{f}}$$

وحدة δ هنا هي السنتيمتر .

وهكذا ففي تردد مقداره 60 هرتز لكل ثانية فان عمق الاختراق الاسمي في النحاس هو 0.857 سنتيمتر او حوالي 0.34 انجاً وفي تردد مقداره 10 كيلو هرتز لكل ثانية عمق الاختراق الاسمي هو 0.066 سنتيمتر وفي 10 ميكا هرتز لكل ثانية

يساوي حوالي 0.0021 سنتمتراً ، في الترددات الراديوية عمق الاختراق الاسمي هو في الحقيقة صغير جداً . يمكن الحصول على معادلة للتيار الكلي الذي يسري في موصل بتكامل كثافة التيار بالنسبة الى العمق . فلو كان العرض w فان التيار الكلي :

$$I_m = w \int_0^{\infty} J_m dz \quad \text{amp}$$

وحدته هي الامبير وبالتعويض في المعادلة (3.14) وبالتكامل نحصل على :

$$I_m = \frac{w\delta}{1+j} J_{m0} = \frac{w\delta}{\sqrt{2}} J_{m0} / -45^\circ \quad (3.17)$$

وهكذا تكون محصلة التيار المتناوب الذي يسري خلال مساحة مقطع موصل بعرض مقداره w لها ذروة قيمتها $w\delta J_{m0}/\sqrt{2}$ ومتخلفة عن كثافة التيار في السطح بمقدار 45° . ان محصلة التيار هذه هي التي تشير اليها في معادلات خطوط النقل .

ان معادلة شدة المجال المغناطيسي H في الموصل يمكن ايجادها بتعويض المعادلة (3.14) في المعادلة (3.10) وبأخذ المشتقة بالنسبة الى z ينتج ما يأتي :

$$H_m = \frac{\mu J_{m0}}{\mu\omega\delta} \frac{1+j}{j} e^{-(1+j)z/\delta}$$

باستعمال المعادلة (3.15) لـ δ يمكن ان نكتب :

$$H_m = \frac{\delta}{2} J_{m0} (1-j) e^{-(1+j)z/\delta} \quad (3.18)$$

تبين المقارنة مع المعادلة (3.14) انه في كل نقطة يرتبط شدة المجال المغناطيسي بكثافة التيار بالعلاقة الآتية :

$$H_m = \frac{\delta}{2} J_m (1-j) = \frac{\delta}{\sqrt{2}} J_m / -45^\circ \quad (3.19)$$

اذن تتناسب شدة المجال المغناطيسي في اية نقطة مع القيمة العددية لكثافة التيار في تلك النقطة ولكن تتخلف عنها بزاوية مقدارها 45° درجة او ثمن دورة كذلك بالمقارنة مع المعادلة (3.17) تبين ان محصلة تكامل التيار لكل وحدة عرض هي تساوي عددياً شدة المجال المغناطيسي على السطح ، او لعرض مقداره w فان :

$$I_m = w H_{m0} \quad (3.20)$$

يمكن برهان المعادلة (3.20) مباشرة من قانون القوة الدافعة المغناطيسية (3.5)

3.3 الممانعة الداخلية (Internal Impedance)

يبين الشكل 3.5 جزءاً صغيراً من خط نقل ، نحن نرغب في تثبيت الاسس لايجاد المحاثة والمقاومة لخط لاستعمالها في المعادلات الاساسية لخط .

خذ المسار أ ب ح أ في الشكل 3.5 حيث ان أ ب هو المسار الطولي خلال موصل واحد و ح د المسار المستعرض خلال الموصل الثاني . حول هذا المسار يمكن كتابة قانون القوة الدافعة الكهربائية كما في المعادلة (3.4) ومن هذه المعادلة يمكن فصل فولتية المحاثة وفولتية المقاومة .

يمكن كتابة المعادلة بصورة اسهل اذا كان الخطان أ ب و ج د هما على سطحي الموصلين حيث انه في هذه الحالة يوصل المسار فقط بالفيض الذي يكون خارجياً بالنسبة الى الموصلين وحول هذا المسار يمكن كتابة :

$$J_1 \rho_1 \Delta x + (E + \Delta E) + J_2 \rho_2 \Delta x - E = - \frac{d\phi_{ext}}{dt}$$

حيث ان ϕ_{ext} هو الفيض الخارجى للموصلين ، ويمكن كتابة هذه المعادلة بالصورة التالية :

$$-\Delta E = \frac{d\phi_{ext}}{dt} + (\rho_1 J_1 + \rho_2 J_2) \Delta x \quad (3.21)$$

الكمية $-\Delta E$ - تمثل النقصان في فولتية خط الى خط في المسافة Δx . قسم من هذا الهبوط هو نتيجة للفولتية $d\phi_{ext}/dt$ المستحثة من الفيض الخارجى للموصلين ، والباقي متسبب من الموصلين نفسيهما ويمكن القول بانه هبوط في الممانعة الداخلية .

ان هبوط الممانعة الداخلية لوحدة الطول لكل من الموصلين يساوي حاصل ضرب $J \rho$ عند سطح الموصل ووفق قانون اوم يساوي هذا شدة المجال الكهربائي الطولي E وحدته هي الفولت لكل متر على سطح الموصل .

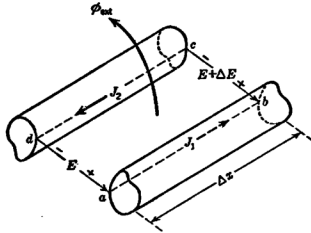
بتقسيم الهبوط بالفولت لكل متر على التيار الكلي المحمول في السلك نحصل على الممانعة الداخلية وهكذا باستعمال القيم القصوى : -

$$Z_{int} = \frac{E_{ms}}{I_m} = \frac{J_{ms} \rho}{I_m} \quad (3.22)$$

وحدتها هي اوم لكل متر طول .

حيث ان I_m هو التيار الكلي المحمول في الموصل و J_{ms} هو كثافة التيار على سطح الموصل .

وحيث ان كثافة التيار على السطح ليست بالطور نفسه مع التيار الكلي فان النسبة ستكون مركبة . القسم الحقيقي للمعادلة (3-22) سيعرف بالمقاومة الفعالة للموصل والقسم الخيالي سيعرف بالمفاعلة الداخلية وكلتا القيمتين لكل وحدة طول ، في هذه الحالة يجب التفكير في الفيض على انه اكبر من ϕ_{ext} وان كثافة التيارين J_1 و J_2 في هذا العمق تكونان اقل ، وان الزيادة في احدهما تتعادل بالضبط بالنقصان في الاخرى كما مبين في شرح الجزء 3-1 . سوف تشتق معادلات المعالجة المتسببة من الفيض الخارجي لهيئات عامة من خطوط النقل في اجزاء لاحقة .



شكل 3-5 مقطع من خط ذي موصلين .

3.4 . الممانعة الداخلية لموصل مسطح

(The Internal Impedance of a Plane Conductor.)

لايجاد الممانعة الداخلية لموصل مسطح نفوض المعادلة (3-17) في المعادلة (3-22) ولسمك قيمته w نحصل على :

$$Z_{int} = \frac{\rho}{ws} (1 + j) \quad (3.23)$$

وحدتها هي اوم لكل متر طول .

وان الجزء الحقيقي لهذه هو المقاومة الفعالة :

$$R = \frac{\rho}{ws} \quad (3.24)$$

وحدتها هي اوم لكل متر طول .

الجزء الخيالي هو المفاعلة الخيالية ، وبالتقسيم على $j\omega$ نحصل على المعالجة الداخلية وهي :

$$X_i = \frac{\rho}{j\omega ws} \quad (3.25)$$

وحدتها هي هنري لكل متر طول .

ليس من الصعب اثبات ان المقاومة الفعالة كما هي معرفة اعلاه عندما تضرب بمربع التيار الفعال نحصل على النتيجة الصحيحة لمعدل القدرة المبذولة في الموصل .

من المفيد ملاحظة ان المقاومة الفعالة لكل وحدة طول كما معطاة بالمعادلة (3.24) مساوية لتيار مستمر للوح (slab) مستطيل له سمك قيمته w وعمق قيمته δ . ان هذا يوفر طريقة بسيطة يمكن تذكرها لحساب مقاومة التردد العالي لموصل في الحالات البسيطة ولكي تكون تحليلاتنا صحيحة فان عمق الاختراق الاسمي يجب ان يكون اصغر من ابعاد مساحة مقطع الموصل واذا كانت كثافة الفيض السطحي منتظمة فان التيار حسب المعادلة (3.20) يكون موزعاً بصورة منتظمة على سطح الموصل وبهذه الشروط فان المقاومة الفعالة للموصل تكون مساوية لمقاومة التيار المستمر لموصل مجوف خيالي له الشكل السطحي نفسه ولكن له سمك مساو الى عمق الاختراق الاسمي . ان هذه الطريقة البسيطة لاتنطبق عندما يكون شكل الموصل مختلفاً بسبب عدم انتظام كثافة الفيض المغناطيسي على السطح ، لان التيار يكون حينئذ موزعاً بصورة غير منتظمة وهذا يزيد من فقد .

مثال :

جد مقاومة للتردد العالي والمحاثة الداخلية لموصل اسطوانى نصف قطره يساوي a ، افرض ان المجال المغناطيسي منتظم حول السطح وان $\alpha \ll \delta$ يمكن ان يمثل هذا موصلأ وسطياً لخط محوري او واحد من الاسلاك لخط ذي سلكين عندما تكون المسافة بين السلكين اكبر من نصف قطر السلك بكثير . باستعمال المعادلة (3.24) وجعل w يساوي محيط السلك يكون عندنا :

$$R = \frac{\rho}{2\pi a \delta} = \frac{1}{2a} \sqrt{\frac{\rho f \mu}{\pi}} \quad (3.26)$$

وحدتها اوم لكل متر طول .

حيث ان α هي نصف القطر بالامتار و ρ وحدتها اوم - متر و μ وحدتها هنري لكل متر . وبافتراضاتنا السابقة للتأثير السطحي فان مقاومة السلك تزداد بازدياد الجذر التربيعي للتردد .

فلو افترضنا ان سلكاً نحاسياً غير مطلي بالقصدير او الفضة وبأخذ قيمة $\rho = 1.74 \times 10^{-8}$ اوم - متر و $\mu = 4\pi \times 10^{-7}$ هنري لكل متر نحصل

على :

$$R = 4.17 \times 10^{-8} \frac{\sqrt{f}}{a} \quad (3.27a)$$

اوم لكل متر

إذا قيس قيمة a بالامتار فان :

$$R = 4.17 \times 10^{-8} \frac{\sqrt{f}}{a} \quad (3.27b)$$

اوم لكل متر .

حيث ان وحدة a هي السنتيمترات .

يمكن الحصول على المعادلة الداخلية للموصل من المعادلة (3.25) باستعمال

$$w = 2\pi a. \text{ ومن ثم فان :}$$

$$L_i = \frac{\rho}{2\pi a \omega \delta} = \frac{1}{4\pi a} \sqrt{\frac{\rho \mu}{\pi f}} \quad (3.28)$$

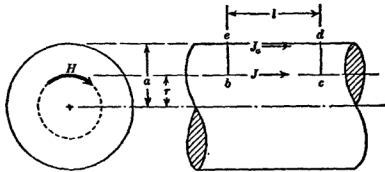
هنري لكل متر طول .

يمكن ملاحظة ان المعادلة الداخلية تقل بـ $1/\sqrt{f}$ عندما يكون التأثير السطحي واضح المعالم . يجب التأكيد مرة اخرى على ان الطرق السابقة لاتنطبق عندما يكون عمق الاختراق الاسمي مقارن مع احداثيات مساحة المقطع للموصل . ان التحليلات الاكثر عموماً لموصل اسطواني في اي تردد مطاة في الفقرة اللاحقة .

3.5 . التأثير السطحي في موصل اسطواني

(Skin Effect in a Cylindrical Conductor)

ان التحليلات لهذه الحالة تبدأ بالطريقة نفسها للموصل المسطح ، نفترض وجود تناظر اسطوانياً كما في القابلو المحوري ولكن لخط ذي سلكين سنفرض بأن الموصل المرجع (Return Conductor) هو على مسافة عدة انصاف القطر بعيداً عن الموصل الآخر حتى يكون المجالان الكهربائي والمغناطيسي منتظمين تقريباً حول الموصلين .



شكل 3-6 موصل اسطواني صلب .

الشكل 3.6 يبين جزءاً من موصل اسطواني . باستعمال قانون القوة الدافعة الكهربائية (المعادلة 3.4) على المسار ب ج د ه ب يكون عندنا :

$$J_{\rho l} - J_{\sigma \rho l} = -\frac{d\phi}{dt}$$

حيث ان ϕ هي الفيض الواصل في المسار ويعطى بالعلاقة الآتية .

$$\phi = l \int_r^a B dr$$

اذن يكون عندنا :

$$J_{\rho} - J_{\sigma \rho} = -\frac{d}{dt} \int_r^a B dr$$

وبفرض ان التغيرات جيبيية مع الزمن وباستعمال العلاقات : $B = B_m e^{j\omega t}$, $J = J_m e^{j\omega t}$

$$J_{m\rho} - J_{m\sigma\rho} = -j\omega \int_r^a B_m dr$$

بأخذ المشتقة لهذه المعادلة لازالة التكامل وملاحظة ان المتغير r هو الحد الأدنى وان ذلك يؤدي الى عكس الاشارة ومن ثم نحصل على :

$$\rho \frac{dJ_m}{dr} = j\omega B_m$$

باستعمال μH نحصل على :

$$\rho \frac{dJ_m}{dr} = j\omega \mu H_m \quad (3.29)$$

المعادلة المهمة الثانية نحصل عليها من قانون القوة الدافعة المغناطيسية (معادلة 3.5) ، بكتابة هذه المعادلة حول المسار الدائري عند نصف قطر مقداره r ووضع mmf مساوية للتيار المحصور يكون عندنا :

$$2\pi r H = \int_n J 2\pi r dr$$

باستعمال $H = H_m e^{j\omega t}$ و $J = J_m e^{j\omega t}$ نحصل على :

$$2\pi r H_m = \int_0^r J_m 2\pi r dr$$

بأخذ المشتقة بالنسبة الى r يصبح :

$$\frac{dH_m}{dr} + \frac{1}{r} H_m = J_m \quad (3.30)$$

لازالة H_m نحل المعادلة (3.29) لـ H_m ونعوض في المعادلة (3.30) ، ينتج من ذلك التفاضلية لكثافة التيار J_m :

$$\frac{d^2 J_m}{dr^2} + \frac{1}{r} \frac{dJ_m}{dr} = \frac{j\omega \mu}{\rho} J_m \quad (3.31)$$

المعادلة (3.31) تختلف عن المعادلة (3.13) لحالة الموصل المسطح بالحد الجديد $dJ_m/dr (1/r)$ وبسبب وجود المعامل المتغير $1/r$ فإن الحل هو ليس لدوال

ابتدائية ، المعادلة (3-31) نوع خاص من معادلة بسل التفاضلية حيث انها تكتب عادة بهذا الشكل :

$$\frac{d^2y}{dr^2} + \frac{1}{r} \frac{dy}{dr} + k^2 y = 0 \quad (3.32)$$

هذه المعادلة لها حلان مستقلان معروفان بدوال بسل من النوع الاول والنوع الثاني^(١). النوع الثاني يقترب من مقدار غير متناه كلما اقتربت r من الصفر ومن ثم هي ليست حل لمشكلتنا وليست بالاهمية هنا . قيمة k في المعادلة (3.32) هي حقيقية في اكثر الحالات الابتدائية . المشكلة الحالية تحتوي على قيمة مركبة لـ k حيث ان $k^2 = -j\omega\mu/\rho$.

بامكاننا الحصول على الحل المرغوب فيه بكتابة المعادلة بصورة متسلسلة غير نهائية (Infinite Series) وايجاد المعاملات بتعويض المتسلسلة في المعادلة التفاضلية . وهكذا نفترض حلاً بهذا الشكل :

$$y = a_0 + a_1 r + a_2 r^2 + a_3 r^3 + \dots + a_n r^n + \dots \quad (3.33)$$

بأخذ المشتقة الاولى والثانية والتعويض في المعادلة (3.32) نحصل على :

$$\begin{aligned} 2a_2 + 3 \cdot 2a_3 r + 4 \cdot 3a_4 r^2 + \dots + n(n-1)a_n r^{n-2} + \dots \\ + a_1 r^{-1} + 2a_2 + 3a_3 r + \dots + na_n r^{n-2} + \dots \\ = -k^2(a_0 + a_1 r + a_2 r^2 + \dots + a_{n-2} r^{n-2} + \dots) \end{aligned}$$

وهذه هي متطابقة ويجب ان تكون صحيحة لكل قيم r ولكي يكون هذا صحيحاً فان كل اس لـ r يجب ان يكون له المعامل نفسه على طرفي المعادلة . بمساواة المعادلات للاس المتشابهة لـ r ، اولاً لـ r^{-1} ثم r^0 (الحدود الثابتة) ثم لـ r نحصل على مجموعة من العلاقات :

$$\begin{aligned} a_1 &= 0 \\ 2a_2 + 2a_2 &= -k^2 a_0 \\ 3 \cdot 2a_3 + 3a_3 &= -k^2 a_1 \\ \dots \dots \dots \\ n(n-1)a_n + na_n &= -k^2 a_{n-2} \end{aligned}$$

نلاحظ أولاً ان المعاملات الفردية كلها لها علاقة بـ a_1 وتساوي صفرأ ولهذا فان كل المعاملات الفردية يجب ان تكون صفرأ ، المعاملات الزوجية لها علاقة بـ

a_0 :
(١) المعادلة (3.32) هي معادلة بسل يسمى حلها بالترتيب صفر ، معادلة بسل التي حلولها من الترتيب هي :

في مشكلتنا الحاضرة عندما $= 0$. لشرح اكثر عموماً لدوال بسل راجع :

N. W. McLachlan, «Bessel Functions for Engineers, « oxford University Press, New York, 1934.

$$a_2 = -\frac{k^2}{2^2} a_0$$

$$a_4 = -\frac{k^2}{2^4} a_2 = \frac{k^4}{2^4 \cdot 4^2} a_0$$

وهلم جرا . وبصورة شاملة فإن الصيغة المعادة (Recursion Formula) يمكن ان تستعمل لإيجاد أي a_n من سابقتها a_{n-2} :

$$a_n = -\frac{k^2}{n^2} a_{n-2} \quad (3.34)$$

يمكن كتابة حل المتوالية غير المتناهية بالشكل الآتي :

$$y = a_0 \left[1 - \frac{(kr)^2}{2^2} + \frac{(kr)^4}{2^2 \cdot 4^2} - \frac{(kr)^6}{2^2 \cdot 4^2 \cdot 6^2} + \dots \right] \quad (3.35)$$

في المعادلة (3.35) المحصورة بين قوسين هي متسلسلة تقاربية (Convergent) لكل القيم المحدودة لـ kr فيما اذا كانت حقيقية او خيالية . عندما تكون حقيقية فان المتسلسلة تعرف بدالة بسل من النوع الاول والرتبة صفر ويرمز لها بـ J_0 وقيمها مجدولة في كثير من المراجع . ان رسمها يشابه دالة جيبتمامية متضائلة (Damped Cosine Function)، على كل في مشكلتنا العاضرة يكون عندنا :

$$k^2 = \frac{-j\omega\mu}{\rho}$$

ومن الفقرات السابقة نتذكر ان عمق الاختراق الاسمي هو :

$$\delta = \sqrt{\frac{2\rho}{j\omega\mu}}$$

ونستطيع كتابة k^2 هكذا :

$$k^2 = -j\frac{2}{\delta^2}$$

ان الحل لكثافة التيار بدلالة نصف القطر يمكن كتابته من المعادلة (3.35) كما يلي :

$$J_m = a_0 \left[1 + j \frac{(\sqrt{2}r/\delta)^2}{2^2} - \frac{(\sqrt{2}r/\delta)^4}{2^2 \cdot 4^2} - j \frac{(\sqrt{2}r/\delta)^6}{2^2 \cdot 4^2 \cdot 6^2} + \dots \right]$$

الحدود على التناوب حقيقية وخيالية وبفصلها الى متتايلتين يصبح عندنا :

$$J_m = a_0 \left\{ \left[1 - \frac{(\sqrt{2}r/\delta)^4}{2^2 \cdot 4^2} + \frac{(\sqrt{2}r/\delta)^8}{2^2 \cdot 4^2 \cdot 6^2 \cdot 8^2} - \dots \right] + j \left[\frac{(\sqrt{2}r/\delta)^2}{2^2} - \frac{(\sqrt{2}r/\delta)^6}{2^2 \cdot 4^2 \cdot 6^2} + \dots \right] \right\} \quad (3.36)$$

ان الجزئين لهذا الشكل الخاص من دالة بسل يعطيان اسماء خاصة وان القيم للمتسلسلات المحصورة بالاقواس مجدولة بدلالة الازاحة الزاوية (Argument) $\sqrt{2r}/\delta$. الاسماء مشتقة من الكلمات دالة بسل الحقيقية ودالة بسل الخيالية وهكذا يكون عندنا :

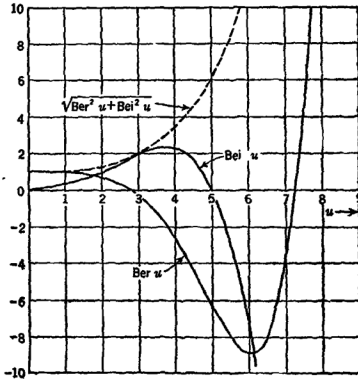
$$\left. \begin{aligned} \text{ber } u &= 1 - \frac{u^4}{2^2 \cdot 4^2} + \frac{u^8}{2^2 \cdot 4^2 \cdot 6^2 \cdot 8^2} - \dots \\ \text{bei } u &= \frac{u^2}{2^2} - \frac{u^6}{2^2 \cdot 4^2 \cdot 6^2} + \frac{u^{10}}{2^2 \cdot 4^2 \cdot 6^2 \cdot 8^2 \cdot 10^2} - \dots \end{aligned} \right\} \quad (3.37)$$

الدالتان ومشتقتهما الاولى في شكل 3.7 وشكل 3.8 (1).

يمكن الآن كتابة التيار بدلالة نصف القطر كالآتي :

$$J_m = a_0 \left(\text{ber} \frac{\sqrt{2r}}{\delta} + j \text{bei} \frac{\sqrt{2r}}{\delta} \right) \quad (3.38)$$

$$J_{ma} = a_0 \left(\text{ber} \frac{\sqrt{2a}}{\delta} + j \text{bei} \frac{\sqrt{2a}}{\delta} \right)$$



شكل 3-7 دالتا بسل الحقيقية (Beru) والخيالية (Beiu)

(١) يمكن ايجاد جداول معينة ومفيدة في :

H. B. Dwight, «Mathematical Tables,» PP. 214-221, McGraw-Hill Book Company, Inc., New York, 1941.

الكمية a_0 هي ثابت التكامل ويمكن إيجاد قيمتها بواسطة الشروط الحدودية (Boundary Conditions). إذا رمزنا للتيار في نصف القطر الخارجي للسلك بـ J_m وعوضناه في المعادلة (3-38) نحصل على :

يمكن حل المعادلة لـ a_0 ثم كتابة الحل الشامل للمعادلة (3-38) كالآتي :

$$J_m = J_{m0} \frac{\text{ber } \sqrt{2r/\delta} + j \text{bei } \sqrt{2r/\delta}}{\text{ber } \sqrt{2a/\delta} + j \text{bei } \sqrt{2a/\delta}} \quad (3.39)$$

ان القيمة المطلقة للمعادلة (3-39) تعطي القيمة العددية لكثافة التيار عند نصف القطر r وزاويته تعطي طور التيار. الرسوم البيانية للقيمة العددية لكثافة التيار وتغيرها مع نصف القطر معطاة في الشكل (3-9) لقيم متعددة من a/δ لغرض المقارنة فان المنحنيات المتقطعة تبين التوزيع الاسي كما حسبت من حالة الموصل المسطح .

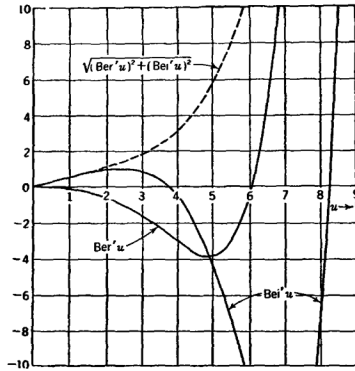
وسوف تلاحظ انه عندما يكون نصف القطر اكبر بكثير من عمق الاختراق الاسمي فان التوزيع كما حسب في حالة الموصل المسطح دقيق جداً . ان الرسم البياني لـ $a/\delta = 2$ يوافق تردد قيمته حوالي 10,500 هرتز لكل ثانية لسلك نحاسي قطره 0.102 انجاً (No. 10 AWG) والرسم لـ $a/\delta = 5$ تقريباً يوافق تردداً مقداره 66,000 هرتز لكل ثانية للسلك نفسه .

3-6 الممانعة الداخلية لموصل اسطواني

The Internal Impedance of a Cylindrical Conductor

كما مبين في المعادلة (3-22) بإمكاننا إيجاد الممانعة الداخلية لموصل اسطواني لكل وحدة طول وذلك بإيجاد كثافة المجال الكهربائي الطولية على سطح الموصل وتقسيمها على التيار المحمول في السلك .

يمكن حساب التيار بتكامل المعادلة (3-39) على مساحة مقطع الموصل ، وعلى كل فان اسهل طريقة هي ملاحظة قانون القوة الدافعة المغناطيسية من المعادلة (3-5) . ان تكامل المجال المغناطيسي H حول محيط السلك يساوي التيار المحصور .



شكل 3-8 المشتقة الاولى لدالتي بسل الحقيقية (ber) والخيالية (bei) F

باستعمال القيم القصوى فان :

$$2\pi a H_{m0} = I_m \quad (3.40)$$

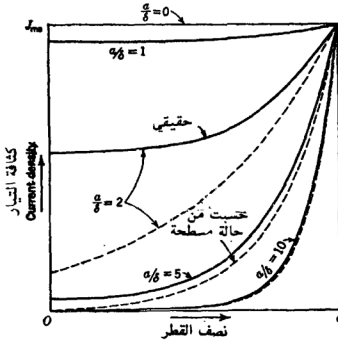
ان كثافة المجال المغناطيسي على سطح السلك من المعادلة (3.29) هي :

$$H_{m0} = \frac{\rho}{j\omega\mu} \left[\frac{dJ_m}{dr} \right]_{r=a} \quad (3.41)$$

ويمكن الحصول على المشتقة dJ_m/dr من المعادلة (3.39) . سوف نستعمل الفتحات (Primes) لنرمز لمشتقتي بسل الحقيقية وبسل الخيالية بالنسبة الى ازاحتهما وكمثال :

$$\frac{d}{dr} \text{ber} \frac{\sqrt{2}r}{\delta} = \frac{\sqrt{2}}{\delta} \frac{d}{du} \text{ber} u = \frac{\sqrt{2}}{\delta} \text{ber}' u$$

$$\frac{d}{dr} \text{bei} \frac{\sqrt{2}r}{\delta} = \frac{\sqrt{2}}{\delta} \frac{d}{du} \text{bei} u = \frac{\sqrt{2}}{\delta} \text{bei}' u$$



شكل 3-9 توزيع التيار المتناوب في موصل اسطواني صلب . المنحنيات الاسية المتقطعة حسب من الحالة المسطحة ورسنت لغرض المقارنة .

باستعمال هذا الرمز ، نعوض المعادلة (3-39) في المعادلة (3-41) ومن ثم نستعمل المعادلة (3-40) لحساب I_m ، بعد التبسيط ينتج :

$$I_m = \sqrt{2\pi a \delta} J_m \left(\frac{\text{ber}' q - j \text{ber}' q}{\text{ber } q + j \text{ber } q} \right) \quad (3.42)$$

حيث ان $q = \sqrt{2a/\delta}$

الآن من المعادلة (3-22) فان الممانعة الداخلية تعطى كالآتي :

$$Z_{int} = \frac{J_m \rho}{I_m}$$

بالتعويض عن I_m من المعادلة (3-42) ينتج :-

$$Z_{int} = \frac{\rho}{\sqrt{2\pi a \delta}} \left(\frac{\text{ber } q + j \text{ber } q}{\text{ber}' q - j \text{ber}' q} \right) \quad \text{اوم لكل متر} \quad (3.43)$$

بحذف جذور هذه المعادلة لايجاد القسم الحقيقي والخيالي نحصل على المقاومة الفعالة والمحاثة الفعالة لموصل اسطواني :

$$R = \frac{\rho}{\sqrt{2\pi a \delta}} \frac{\text{ber } q \text{ber}' q - \text{ber } q \text{ber } q}{(\text{ber}' q)^2 + (\text{ber}' q)^2} \quad \text{اوم لكل متر} \quad (3.44)$$

$$\omega L_i = \frac{\rho}{\sqrt{2\pi a \delta}} \frac{\text{ber } q \text{ber}' q + \text{ber } q \text{ber}' q}{(\text{ber}' q)^2 + (\text{ber}' q)^2} \quad \text{هنري لكل متر} \quad (3.45)$$

من معادلات المتسلسلات التي تُعرّف دالتي بسل الحقيقية والخيالية يمكن اثبات انه كلما قرب التردد من صفر ($q \rightarrow 0$) فان المعادلتين (3-44) و (3-45)

$$\left. \begin{aligned} R_0 &= \frac{\rho}{\pi a^2} \quad \text{ohm/meter} \\ L_{10} &= \frac{\mu}{8\pi} \quad \text{henry/meter} \end{aligned} \right\} \begin{array}{l} \text{اوم لكل متر} \\ \text{هنري لكل متر} \end{array} \quad (3.46)$$

ان معادلة المقاومة R_0 اعلاه طبعاً هي التي فيما لو حسبت من الصيغة الابتدائية نفسها التي هي المقاومة \times المساحة

سوف نبرهن ان الصيغة للمحاثة الداخلية للتردد الواطيء سوف تبرهن بطريقة مختلفة في الفقرة 3-8 . المعادلات السابقة اشتقت لموصل منفرد ويجب ان تضرب بـ 2 لخط ثنائي السلك .

من المناسب ايجاد نسبة قيمة المقاومة والمحاثة الداخلية لاي تردد الى قيمتهما في تردد قيمته صفر .

من المعادلات (3-44) الى (3-46) يمكن كتابة هذه النسب كالآتي :

$$\frac{R}{R_0} = \frac{q \operatorname{ber} q \operatorname{bei}' q - \operatorname{bei} q \operatorname{ber}' q}{2 (\operatorname{bei}' q)^2 + (\operatorname{ber}' q)^2} \quad (3.47)$$

و

$$\frac{L_i}{L_{10}} = \frac{4 \operatorname{bei} q \operatorname{bei}' q + \operatorname{ber} q \operatorname{ber}' q}{q (\operatorname{bei}' q)^2 + (\operatorname{ber}' q)^2} \quad (3.48)$$

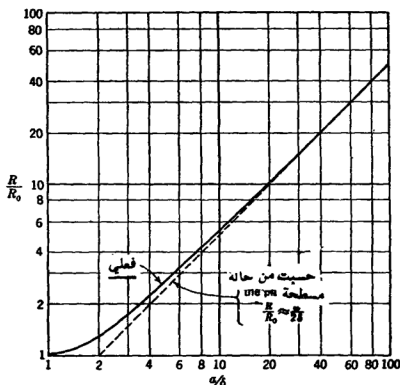
حيث ان $q = \sqrt{2}a/\delta$

ان النسب R/R_0 و L_i/L_{10} رسمت في المعادلتين 3-10 و 3-11 بدلالة النسبة بين نصف القطر الى عمق السطح الاسمي وهو a/δ . عندما يكون عمق الاختراق اقل بكثير من نصف قطر السلك فان المقاومة والمحاثة الداخلية تقترب من القيم التي حسبت من قواعد الحالة المسطحة (انظر المعادلات (3-26) و (3-28) .

لايجاد المحاثة لكل وحدة طول لخط نقل ذو سلكين فان المحاثة الداخلية L_i يجب ان تضرب بـ 2 لاختذ السلكين بنظر الاعتبار وتضاف النتيجة الى المحاثة المتسببة من الفيض الخارجي للسلكين . ان المحاثة المتسببة خارجياً هي على

الأكثر تساوي تقريباً الجزء الرئيسي من المعائة ، وكلما ازداد التردد فإن المعائة الداخلية تقترب من الصفر .

$$\left. \begin{aligned} R &\approx \frac{\rho}{2\pi a \delta} = R_0 \frac{a}{2\delta} && \text{اوم لكل متر} \\ L_i &\approx \frac{\rho}{2\pi a \omega \delta} = L_0 \frac{2\delta}{a} && \text{هنري لكل متر} \end{aligned} \right\} \quad (3.49)$$



شكل 3-10 نسبة المقاومة لموصل اسطواني ، بافتراض مجال مغناطيسي منتظم حول محيط الموصل ، $R_0 = \rho/\pi a^2$ لموصل واحد ، $\delta = \sqrt{\rho/\pi f \mu}$ متر ، حيث ان a هو نصف قطر الموصل .

3.7 المجال حول موصل اسطواني طولي

(The Field about a Long Cylindrical Conductor)

في التحضير لاشتقاق معادلات المتسعة والمعائة الخارجية للخط المتوازي وللخطوط المحورية سوف نراجع باختصار اشتقاق المجال المغناطيسي حول موصل اسطواني يحمل تياراً وكذلك المجال الكهربائي حول موصل مشحون .

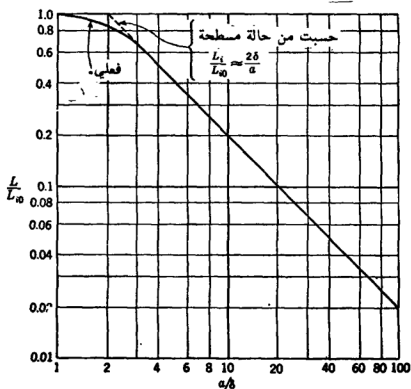
يبين شكل 3-12 موصلًا أسطوانيًا معزولاً وافترض هذا الموصل طويل جداً لحد انه يمكن اهمال نهايتي الخط وان الموصل يحمل تياراً مقداره I في الاتجاه المحوري . من اعتبارات التناظر فان الفيض المغناطيسي سيكون دائرياً حول السلك ، أولاً سوف نجد الفيض خارج الموصل ، ان القوة الدافعة المغناطيسية المؤثرة حول مسار مغلق يحيط بالموصل تساوي عددياً التيار I بغض النظر عن توزيع التيار على مساحة المقطع (ان العامل 4π غير موجود في نظام الوحدات المنطقية) وعليه حول دائرة نصف قطرها r يكون :

$$H = \frac{mmf}{2\pi r} = \frac{I}{2\pi r} \quad (3.50)$$

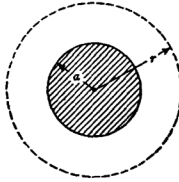
كثافة الفيض خارج السلك تكون اذن :

$$B = \mu H = \frac{\mu I}{2\pi r} \quad \text{for } r > a \quad (3.51)$$

حيث ان a هو نصف قطر السلك و μ هي الانفاذية المطلقة للوسط العازل ، وبصورة عامة تكون الانفاذية تقريبا جداً مساوية الى القيمة في الفراغ المطلق ، $\mu_0 = 4\pi \times 10^{-7}$ هنري لكل متر ، بعد ذلك خذ بنظر الاعتبار الفيض داخل السلك سوف نفترض هنا ان التردد واطيء بصورة كافية كي نتسكن من اهمال التأثير السطحي وان التيار موزع بصورة منتظمة .



شكل 3-11 النسبة بين المعاللة الداخلية الفعلية والمعاللة الداخلية للتردد واطيء لموصل أسطوانى $L_{i0} = \mu/8\pi$ هنري لكل متر لموصل واحد .



شكل 3.12 مقطع عرضي لموصل اسطواني .

ثم في دائرة نصف قطرها r في الموصل تكون قيمة التيار المحصور $I r^2/a^2$ حول هذه الدائرة :

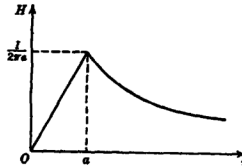
$$H = \frac{I r^2/a^2}{2\pi r} = \frac{I r}{2\pi a^2}$$

ثم لقيمة $r < a$ تكون :

$$B = \frac{\mu_0 r}{2\pi a^2} I \quad (3.52)$$

حيث ان μ_0 هي الانفاذية المطلقة للموصل .

ان العلاقات السابقة بالطبع لا تكون صحيحة عندما يكون التأثير السطح كبيراً كلما ازداد التردد فان التيار سوف يجبر على السريان في سطح الموصل وان كثافة الفيض المغناطيسي الداخلي ستقل ، هذا التأثير على المعادلة المبين في الشكل 3.11 . يبين الشكل 3.13 مخططاً لكثافة الفيض المغناطيسي H لموصل منعزل (Isolated) يحمل تياراً . ان التغير الخطي المبين في داخل الموصل في الشكل (3.13) افترض بان التيار موزع بانتظام على نصف قطر مقطعه .



شكل 3-13 كثافة الفيض المغناطيسي حول موصل اسطواني منعزل. التغير الخطي المبين لـ H المبين داخل الموصل يفرض ان كثافة التيار منتظمة .

في حساب المتسعة نحتاج الى صيغة للمجال الكهربائي المحيط بموصل اسطواني منزول والذي يحمل شحنة كهربائية مقدارها q كولوم لكل متر. من اعتبارات التناظر فان الفيض الكهربائي سوف يمتد باتجاه القطر من الموصل وان الفيض الكهربائي الكلي يساوي عددياً الشحنة بالكولوم (العامل 4π هو ايضاً غير موجود في نظام الوحدات المنطقية).
اذن كثافة الفيض الكهربائية لنصف قطر مقداره r يكون :

$$D = \frac{q}{2\pi r}$$

حيث ان q هي الشحنة بالكولوم لكل متر طول .
وهكذا فان كثافة الفيض الكهربائي تكون :

$$\epsilon = \frac{D}{\epsilon} = \frac{q}{2\pi r \epsilon} \quad (3.53)$$

وحدتها فولت لكل متر .

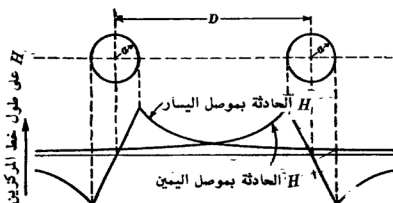
حيث ان ϵ هو ثابت العزل المطلق للعازل المحيط بالسلك. للفراغ المطلق :
 $\epsilon_0 = \frac{1}{36\pi} \times 10^{-9}$ فراد لكل متر .

3.8 الثوابت للخطوط المتوازية الاسلاك

The Constants of Parallel- wire Lines

يبين الشكل 3-14 مقطعاً عرضياً لخط متوازي الاسلاك ، ومخطط المجالين الكهربائي والمغناطيسي حول هذا الخط مبين في الشكل 1.1 أ .

سنفرض ان البعد بين السلكين هو D وانه اكبر بكثير من قطر السلك a ، حتى يمكن اهمال تأثير التقارب .



شكل 3-14 منظر لمساحة المقطع لخط متوازي الاسلاك. التغير في H المبين في الموصليين لتيار موزع بصورة منتظمة .

نتأمل طولاً مقداره متر واحد من دائرة كاملة مكونة من هذين السلكين ، سوف نستخدم التراكب (Superposition) وسنجد الفيض الوصلي المتكون من الدائرة بواسطة التيار الساري في موصل واحد فقط وسنضرب النتيجة بـ 2 لنأخذ بنظر الاعتبار التيار في كلا الموصلين ، وسنتبصر على جدى المحاطة المتسببة من الفيض اي (خارج الموصلين) والمحاطة المتسببة من الفيض اي (داخل الموصلين) (المحاطة الداخلية) . شاهد أولاً الفيض الخارجى المتسبب من التيار في الموصل الذي على يسار الشكل . ان جزء هذا الفيض الموجود بين السلكين يصل الدارة قاطبة ، في حين يوصل الجزء الذي يقطع خلال الموصل على يمين الشكل بجزء من الدارة الكاملة واخيراً فان الفيض خارج الموصل الذي على يمين لا يسبب اي وصليات (Linkages) مع الدائرة بتاتاً .

سوف نعتبر بصورة تقريبية ان الفيض الى وسط السلك الذي هو على اليمين وصلي للدارة الكلية وباقي الفيض كأنه غير وصلي للدائرة بتاتاً . كثافة الفيض الخارجى عند نصف قطر مقداره a $r > a$ معطى بالمعادلة (3.51) . في دائرة حلقيه بسلك dr ووحدة طول محوري يكون الفيض المغناطيسي كما يلي :

$$d\phi = B dr = \frac{\mu I}{2\pi r} dr$$

وحدته ويبر لكل متر طول .

بين $r = D$ و $r = a$ هذا الفيض يصل لفه واحدة وعليه يكون الفيض الخارجى الوصلي :

$$\int_a^D \frac{\mu I}{2\pi r} dr$$

وبتكامل هذا مع ضربه بـ 2 لالاخذ الموصلين بنظر الاعتبار نحصل على الفيض الخارجى الوصلي :

$$\psi_s = \frac{\mu I}{\pi} \log_e \frac{D}{a} \quad (3.54)$$

وحدته هي ويبر - لفه لكل متر طول .

محاطة الدائرة تساوي الفيض الوصلي لكل أمبير وعليه ، بتقسيم ψ_s بـ I نحصل على المحاطة لكل متر طول المتسببة من الفيض الخارجى :

$$L_s = \frac{\mu}{\pi} \log_e \frac{D}{a} \quad (3.55)$$

هنري لكل متر .

يفرض ان قيمة μ للعازل تساوي قيمتها في الفراغ المطلق $4\pi \times 10^{-7}$ هنري لكل متر تصبح المعادلة (3.55) كالآتي :

$$L_s = 4 \times 10^{-7} \log_e \frac{D}{a} \quad (3.56)$$

هنري لكل متر .

ان المحاثة المتسببة من الفيض الداخلي لسلك اسطوانى وجدت في الجزء 3.6 .
المحاثة الداخلية عند اي تردد L_i اعطيت بالمعادلة (3.45) ، والصيغة المبسطة
للمحاثة الداخلية في الترددات الواطئة جداً L_{∞} اعطيت في المعادلة الثانية من
(3.46) . ان نسبة L_i/L_{∞} رسمت بيانياً في الشكل 3.11 بدلالة النسبة بين
نصف قطر السلك وعمق الاختراق الاسمي .

في هذا الجزء سوف نستخدم طريقة مختلفة لاشتقاق المحاثة الداخلية لتردد
واطيء L_{∞} . واذا كان التردد واطئاً لحد كافٍ بحيث تكون كثافة التيار منتظمة
تقريباً فانه يمكن ايجاد كثافة الفيض الداخلية من المعادلة (3.52) . بعدئذ يكون
الفيض في دائرة حلقية لها وحدة طول وسلك dr كالآتي :

$$d\phi = B dr = \frac{\mu_c r I}{2\pi a^2} dr$$

حيث ان μ_c هي الانفاذية المطلقة للموصل . هذا الفيض يصل جزءاً ممداره
 r^2/a^2 من التيار الكلي واذن فان الفيض الداخلي الوصلي هو :

$$d\psi_{\infty} = \frac{r^2}{a^2} d\phi = \frac{\mu_c r^3 I}{2\pi a^4} dr$$

وبالتكامل من $r = 0$ الى $r = a$. والضرب بـ 2 لاختذ الموصلين بنظر الاعتبار
يكون لدينا الفيض الداخلي الوصلي للتردد الواطيء :

$$\psi_{\infty} = \frac{\mu_c I}{4\pi}$$

ويبر - لفة لكل متر طول .
وبتقسيم ψ_{∞} بـ I نحصل على المحاثة الداخلية للتردد الواطيء للسلكين :

$$L_{\infty} = \frac{\mu_c}{4\pi} \quad (3.58)$$

هنري لكل متر طول .

ان هذا يتحقق مع النتيجة في المعادلة (3.46) التي تعطي المحاثة لسلك واحد
تساوي $\mu/8\pi$ هنري لكل متر .

يمكن وضع النتيجة الأتفة الذكر بصورة اكثر ملائمة بضربها وتقسيمها
بانفاذية الفراغ المطلق $10^{-7} \times 4\pi = \mu_0$ هنري لكل متر :-

$$L_{\infty} = \left(\frac{\mu_c}{\mu_0} \right) \times \left(\frac{\mu_0}{4\pi} \right) = \left(\frac{\mu_c}{\mu_0} \right) \times 10^{-7}$$

هنري لكل متر

حيث ان نسبة (μ_c/μ_0) هي الانفاذية النسبية لمادة الموصل (وتساوي
واحداً تقريباً للمواد غير المغناطيسية) .

اذا ازداد التردد فان التيار سيندفع الى سطح الموصل وان الفيض الداخلي
والمحاثة الداخلية سيقلان .

يمكن كتابة المعادلة الداخلية في أي تردد كالآتي :

$$L_i = (L_i/L_{i0})L_{i0} \quad \text{او بالتعويض من المعادلة (3.59) :} \\ L_i = \left(\frac{L_i}{L_{i0}} \right) \left(\frac{\mu_c}{\mu_0} \right) \times 10^{-7} \quad \text{هنري لكل متر}$$

المعادلة الكلية للخط لكل متر طول ستكون مجموع المعادلتين الداخلية والخارجية ، باستعمال المعادلتين (3.56) و (3.60) يمكن كتابة ما يأتي :

$$L = \left[4 \log_e \frac{D}{a} + \left(\frac{\mu_c}{\mu_0} \right) \left(\frac{L_i}{L_{i0}} \right) \right] \times 10^{-7} \quad \text{هنري لكل متر} \quad (3.61)$$

في الترددات الواطئة تساوي نسبة المعادلة الداخلية L_i/L_{i0} واحداً تقريباً ، ويمكن الحصول على النسبة في أي تردد من الشكل 3.11 . عندما يكون التأثير السطحي ظاهراً بصورة جيدة فإن L_i/L_{i0} يقترب من الصفر ويمكن إهمال المعادلة الداخلية .

لتحويل العلاقات اعلاه الى الميل اضرب هذه العلاقات بـ 1,609 متر لكل ميل .

بعد ذلك سنجد السعة لكل وحدة طول تحت شرط ان $D \gg a$.

يمكن الحصول على فرق الجهد بين الاسلاك بتكامل قوة المجال الكهربائي المسبب من موصل منفرد ومشحون (معادلة 3.53) من $r = a$ الى $r = D$ ومن ثم ضرب النتيجة بـ 2 لاختذ المجال للموصلين بنظر الاعتبار :

$$\text{فولت} \quad \text{فرق الجهد} = 2 \int_a^D \epsilon \, dr = \frac{q}{\pi \epsilon} \log_e \frac{D}{a}$$

حيث ان q هي الشحنة لكل متر طول على كل موصل (الشحنتان على الموصلين متساويتان ومتعاكستان في الإشارة) ان تعريف السعة هو الشحنة لكل وحدة فرق جهد وعليه بتقسيم q على فرق الجهد واستعمال :

$$\epsilon = \left(\frac{\epsilon}{\epsilon_0} \right) \epsilon_0 = \left(\frac{\epsilon}{\epsilon_0} \right) \frac{10^{-9}}{36\pi} \quad \text{فراذ لكل متر}$$

يمكن كتابة :

$$C = \frac{(\epsilon/\epsilon_0)}{36 \log_e (D/a)} \times 10^{-9} \quad \text{فراذ لكل متر} \quad (3.62)$$

ان المقدار ϵ/ϵ_0 في المعادلة اعلاه هو ثابت العازل النسبي للمحيط العازل . ان اكثرية الخطوط المتوازية الاسلاك تستعمل الهواء كعازل اي ان $\epsilon/\epsilon_0 = 1$.

لحالة التردد العالي قليل الفقد فان الممانعة المميزة (Characteristic impedance) هي $Z_0 = \sqrt{L/C}$ وان سرعة الطور هي $v \approx 1/\sqrt{LC}$. وباستعمال المعادلتين (3.61) و (3.62) وإهمال المعادلة يكون لدينا خط ثنائي السلك :

$$Z_0 = \frac{120}{\sqrt{\epsilon/\epsilon_0}} \log_e \frac{D}{a} \quad \text{اوم} \quad (3.63)$$

$$v = \frac{3 \times 10^8}{\sqrt{\epsilon/\epsilon_0}} \quad \text{متر لكل ثانية} \quad (3.64)$$

التحليلات السابقة تفترض ان قطر السلك اصغر بكثير من المسافة بين الاسلاك وان المعادلات الناتجة صحيحة بالقدر الكافي لاکثر الاغراض ، التحليل الاكثر دقة والذي لايفرض هذا الافتراض يبين ان السعة تعطي بصورة ادق كما في العلاقة الآتية : (١)

$$C = \frac{(\epsilon/\epsilon_0) \times 10^{-9}}{36 \cosh^{-1}(D/2a)} \quad \text{فراد لكل متر} \quad (3.65)$$

في الترددات العالية عندما يكون التأثير السطحي ملحوظاً فالتعبير عن المعادلة يكون كالآتي (١)

$$L = 4 \times 10^{-7} \cosh^{-1} \frac{D}{2a} \quad (3.66) \quad \text{هنري لكل متر}$$

ان سرعة $1/\sqrt{LC}$ تبقى كما هي معطاة في المعادلة (3.64) ولكن المعاندة المميزة في التردد العالي تعطي كما يلي :

$$Z_0 = \frac{120}{\sqrt{\epsilon/\epsilon_0}} \cosh^{-1} \frac{D}{2a} \quad (3.67) \quad \text{اوم}$$

يمكن وجدان مقاومة الغلط في الترددات الواطئة من جداول الاسلاك او من صيغة التيار المستمر $\frac{\text{الطول}}{\text{المساحة}} \times \rho$. عندما يكون التأثير السطحي اكثر فانه يمكن ايجاد المقاومة من الشكل 3.10 . في الترددات العالية جداً يكون عمق الاختراق اقل بكثير من نصف قطر السلك ويمكن استعمال الطريقة التي في الجزء 3.4 . ان مقاومات الاسلاك للتيار المتناوب تساوي مقاومة التيار المستمر لزوج من انايبب اسطوانية لها نصف قطر وسمك يساوي عمق الاختراق الاسمي $\sqrt{\rho/\pi f \mu}$.

ومن ثم نحصل لخط ثنائي السلك على ما يأتي :

$$R = \frac{2\rho}{2\pi a\delta} = \frac{1}{a} \sqrt{\frac{\rho f \mu}{\pi}} \quad \text{اوم لكل متر من طول الخط} \quad (3.68)$$

(١) لاحظ مثلاً :

¹ See, for example, G. P. Harnwell, "Principles of Electricity and Electromagnetism," p. 40, McGraw-Hill Book Company, Inc., New York, 1938. The function abbreviated \cosh is the hyperbolic cosine, which we will discuss in Sec. 4.3.

الدالة المختصرة \cosh هي جيبتام زائدي القطع والتي سنناقشها في الجزء 3.4 .

حيث ان a هو نصف قطر السلك بالمتر و m هي المقاومة ووحدتها اوم لكل متر وللنحاس تصبح المعادلة اعلاه كالآتي :

$$R = 8.34 \times 10^{-8} \frac{\sqrt{f}}{a} \quad (3.69) \text{ اوم لكل متر طول}$$

حيث ان a الان هي نصف قطر السلك بالسنتيمترات .

3.9 . الثوابت للخطوط المحورية (The Constants of Coaxial Lines)

سوف نكشف عن الثوابت لخطوط محورية للحالة التي يكون فيها التأثير السطحي ظاهراً وسوف نهمل كلياً المحاكاة الداخلية للموصلات . بسبب التناظر في السلك الاسطواني فان المجال في الفراغ الحلقي للموصل يكون له هيئة المجال نفسها في الموصل الاسطواني المنعزل نفسه (كما في الشكل 1.1 حـ) . ان كثافة المجال المغناطيسي عند نصف قطر مقداره r تعطى في المعادلة (3.51) $\mu I / 2\pi r$ بالرجوع الى شكل 3.15 فان الفيض في حلقة لها وحدة طول وسمك dr هي :

$$d\phi = \frac{\mu I}{2\pi r} dr$$

وبتكامل هذه العلاقة من $r = a$ الى $r = b$ نحصل على الفيض المغناطيسي الكلي في الفراغ الحلقي :

$$\phi = \frac{\mu I}{2\pi} \log_e \frac{b}{a}$$

هذا الفيض يوصل لفة واحدة ومن ثم يمكن الحصول على المحاكاة بتقسيم ϕ ب I وينتج :

$$L = \frac{\mu}{2\pi} \log_e \frac{b}{a}$$

(3.70) هنري لكل متر

بفرض قيمة الفراغ المطلق μ_0 فان :

$$L = 2 \times 10^{-7} \log_e \frac{b}{a}$$

(3.71) هنري لكل متر

ان شدة المجال المغناطيسي في الفراغ الحلقي في المعادلة (3.53) وتساوي $q/2\pi r\epsilon$ حيث ان q هي الشحنة لكل وحدة طول .

وبتكامل شدة المجال بدلالة نصف قطر من $r = a$ الى $r = b$ نحصل على فرق

الجهود (Potential Difference) :

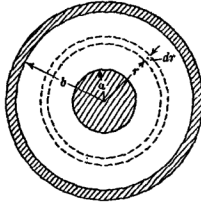
$$\text{فرق الجهد} = \frac{q}{2\pi\epsilon} \log_e \frac{b}{a}$$

لايجاد السعة لكل وحدة طول تقسم الشحنة q على فرق الجهد ونحصل على :

$$C = \frac{2\pi\epsilon}{\log_e (b/a)} \quad (3.72) \text{ فراد لكل متر}$$

ويمكن كتابة المعادلة (3.72) بدلالة قيمة ϵ_0 في الفراغ المطلق كالآتي :

$$C = \frac{1}{18 \log_e (b/a)} \left(\frac{\epsilon}{\epsilon_0} \right) \times 10^{-9} \quad (3.73) \text{ فراد لكل متر}$$



شكل 3.15 مقطع عرضي لقابلو محوري .

حيث ان ϵ/ϵ_0 هي ثابت العزل النسبي للعازل ،
في حالة التردد العالي فان قيمة الممانعة المميزة هي قريبة جداً من $\sqrt{L/C}$
وباستعمال المعادلات السابقة لـ L و C نحصل على :
(3.74) اوم $Z_0 \approx \frac{60}{\sqrt{\epsilon/\epsilon_0}} \log \frac{b}{a}$
للخطوط التي يكون العازل بينهما هو الهواء فان ثابت العزل النسبي ϵ/ϵ_0 بالطبع له قيمة عملية تساوي واحداً .

في حالة التردد العالي فان سرعة الطور تساوي تقريباً $1/\sqrt{LC}$ ومن ثم :
(3.75) متر لكل ثانية $v \approx \frac{3 \times 10^8}{\sqrt{\epsilon/\epsilon_0}}$
يجب ملاحظة انه عندما يكون ثابت العزل لعازل صلب عالٍ نسبياً فانه يقلل
سرعة الطور بصورة يمكن ملاحظتها وتكون سرعة الطور اقل من قيمتها في الفراغ
المطلق ولذا فانه يقصر من طول الموجة في تردد معين .

ان المقاومة في التردد العالي لقابلو محوري تساوي المقاومة لتيار مستمر في
دائرة تتكون من موصلين مجوفين لهما أنصاف القطار قيمتهما a و b وسلك
الجدارين لهما الموصلين يساوي عمق الاختراق الاسمي ، النتيجة هي كالتالي :

$$R = \frac{1}{2} \sqrt{\frac{\rho_f \mu}{\pi}} \left(\frac{1}{a} + \frac{1}{b} \right) \quad (3.76) \text{ اوم}$$

حيث ان وحدة ρ هي اوم متر و μ هي هنري لكل متر و a و b تقاس
بالامتار وبفرض ان الموصلين مصنوعان من النحاس فان المعاداة (3.76)

$$R = 4.2 \times 10^{-8} \sqrt{f} \left(\frac{1}{a} + \frac{1}{b} \right) \quad \text{تصبح :}$$

$$(3.77) \text{ اوم لكل متر}$$

حيث ان وحدتي a و b هي السنتيمترات .

ان القابلو المحوري المرن يصنع من موصل خارجي تشابكي وعازل صلب عادة من البولثين (نوع من البلاستيك) حتى يعطي متانة للقابلو ولدعم الموصل الداخلي. في الترددات العالية جداً فان فقد العازل في العازل الصلب قد يتسبب في ان تكون قيمة التوصيلية عالية. هذا الفقد يتسبب من تأثير التخلفية (Hysteresis Effect) للجزيئات عندما تستقطب نتيجة مجال التيار المتناوب (a. c. Field)، ولكن على الخط تكون النتيجة هي التوصيلية الحقيقية نفسها. فكر لحظة بمتسعة اعتيادية وبأي شكل كانت وقد ملئت هذه المتسعة بموازل كهربائي متسرب، فان المسيرة لهذه المتسعة تكون بهذا الشكل :

$$Y = G + j\omega C = j\omega C \left(1 - j \frac{G}{\omega C}\right) \quad (3.78)$$

ان الزاوية في العدد المركب داخل القوسين في المعادلة (3.78) تبين القيمة النسبية لمركبة الفقد للتيار وهو المقدار الذي تتخلف به زاوية الطور بين الفولتية والتيار عن الـ 90 درجة وتسمى احياناً بزاوية الفقد (Loss Angle).

ان ظل هذه الزاوية الذي يسمى بظل الفقد يستعمل عادة لتحديد خواص الفقد في العوازل الكهربائية. لقيم صغيرة من زاوية الفقد فان ظل الفقد وعامل القدرة هما متساويان عملياً ان ظل الفقد من المعادلة (3.78) هو $G/\omega C$ وهكذا فلنخط نقل له عازل صلب يكون عندنا :

$$G = T_{\omega C} \quad (3.79)$$

حيث ان $T_{\omega C}$ ترمز الى ظل الفقد للمادة العازلة.

ان ثابت التوهين للتردد العالي للخط هو تقريباً $\alpha \approx R/2Z_0 + GZ_0/2$. لنصف القطر الخارجي b . يوجد نسبة معينة b/a بحيث يخفض التوهين الى الحد الأدنى.

ان التوهين المتسبب من فقد العازل الكهربائي لا يعتمد على ابعاد الخط وبالإمكان كتابة ما يأتي :

$$\frac{G}{2} \sqrt{\frac{L}{C}} = \frac{T_{\omega C}}{2} \sqrt{\frac{L}{C}} = \frac{T_{\omega C} \sqrt{LC}}{2}$$

ان \sqrt{LC} هو مقلوب سرعة الطور التي لا تعتمد على ابعاد الخط. على كل فان جزءاً من ثابت التوهين يتسبب من الفقد في الموصل وهي $R/2Z_0$ ولا يعتمد على ابعاد الموصل. اذا كان الموصل الداخلي صغيراً فان قيمة R تكون عالية ومن ناحية اخرى اذا كان الموصل الداخلي بكبير الموصل الخارجي تقريباً

فان Z_0 تكون صغيرة . عندما تخفض قيمة α الى الحد الأدنى بالطرق المعتادة ينتج ان $b/a = 3.6$ يعطي ادنى توهين وتكون قيمة Z_0 الموافقة هي $77/\sqrt{\epsilon/\epsilon_0}$ أوم تقريباً على كل فان اوطأ قيمة ليست في قيمة واحدة لـ b/a وانما لعدة قيم من b/a حيث لن هذه القيمة ليست حرجة بنقطة واحدة .

ان ارسال أقصى قدرة بواسطة خط محوري تتحدد بقوة العازل (Deilectric Strength) او في حالة عازل صلب في الترددات العالية فان أقصى قدرة تتحدد بالحرارة المتولدة من الفقد في العازل^(١). لكثافة مجال كهربائي معينة ولنسبة معينة لـ b/a فان سعة تحمل القدرة لخط محوري تتغير مع مربع قطره ، ولهذا فان قيماً عالية من القدرة الآتية تتطلب قابلاً له قطر كبير نسبياً .

في انواع الموجات التي حللناها فان المجال الكهربائي والمجال المغناطيسي يكونان مستعرضين على اتجاه الانتشار . اما اذا كان قطر القابلو المحوري كبيراً بالقدر الكافي بالمقارنة مع طول الموجة فبالامكان ارسال موجات غير مستعرضة بالاسلوب نفسه كما في الموجة ذات الانبوب المجوف .

ان تحليلات هذه الموجات هي خارج نطاق هذا الكتاب وعلى كل فهناك قاعدة تقريبية هي ان هنالك احتمالاً لوجودهما اذا كان متوسط المحيط للفراغ الحلقي اكبر من طول الموجة اي عندما يكون $(2\pi a + 2\pi b)/2 = \pi(a + b)$ اكبر من طول الموجة^(٢) .

في الارسال على القابلو المحوري تكون الموجة الكهرومغناطيسية المستعرضة النسق الاساسي عادة مرغوبة بدون نسق اعلى ، وهذا يحدد النهاية العليا لنصف قطر الخط ، وهذا الحد يمكن ان يكون معرقلاً في الترددات المتناهية الصغر (Microwave) خصوصاً اذا اريد ان تبقى قيمة التوهين واطئة او اذا كانت القدرة المستعملة عالية .

١ . يمكن قراءة

Willis Jackson, «High-Frequency Transmission Lines, » PP. 53--58, Methuen & Co., Ltd., London. Distributed in the United States by the Sherwood Press, Cleveland, Ohio.

(2) يمكن قراءة :

* See S. Ramo and J. R. Whinnery, "Fields and Waves in Modern Radio," Chap. 9, John Wiley & Sons, Inc., New York, 1944.

3.10 الثوابت لخطوط متوازية الشرائح

(The Constants of Parallel-strip Lines.)

يبين شكل 3.16 مقطعا عرضياً لخط متوازي الشريحة . اذا كان $b \gg a$ وكان التردد عالياً بصورة كافية لكي يكون التأثير السطحي ملموساً فان معظم التيار سوف يسري على السطوح الداخلية للشرائح ، يمكن اهمال تأثيرات الحافة وانه يمكن افتراض ان المجالات تكون منتظمة بين الموصلات ، ان هذا الافتراض هو مشابه الى الافتراض المستخدم عادة لحساب السعة لمتسعة مسطحة اللوح . تحت هذه الشروط . علاوة على افتراض ان للعازل انفاذية مساوية الى الانفاذية في الفراغ المطلق فان المعادلات لثوابت الخط يمكن ان تكون كما يلي :

$$L = 4\pi \times 10^{-9} \text{ هنري لكل متر} \quad (3.80)$$

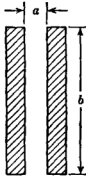
$$C = \frac{1}{36\pi} \times 10^{-9} \frac{b}{a} \left(\frac{\epsilon}{\epsilon_0} \right) \text{ فراد لكل متر} \quad (3.81)$$

$$Z_0 = \frac{120\pi}{\sqrt{\epsilon/\epsilon_0}} \frac{a}{b} \text{ اوم} \quad (3.82)$$

$$R = \frac{Z_0}{b} \sqrt{\pi \rho f \mu} \text{ اوم لكل متر} \quad (3.83)$$

ان برهان هذه المعادلات ترك الى الطالب .

يمكن رؤية انه عندما تكون قيمة $a \ll b$ فان الممانعة المميزة تكون واطئة نسبياً وان ثابت التوهين يزداد كلما قل البعد .



شكل 3.16 مقطع عرضي لخط نقل متوازي الشرائح .

مسائل

1. احسب عمق الاختراق الاسمي عند تردد مقداره 60 هرتز لكل ثانية ل :
 أ - فضة لها انفاذية $10^{-7} \times 4\pi = \mu_0 = \mu$ هنري لكل متر ومقاومية $\rho = 1.63 \times 10^{-8}$ اوم - متر .
 ب - نحاس اصفر Brass له انفاذية ، $\mu = \mu_0$ و $\rho = 6.41 \times 10^{-8}$ اوم - متر
 ج - المنيوم له انفاذية $\mu = \mu_0$ و $\rho = 2.83 \times 10^{-8}$ اوم - متر .
 د - حديد له انفاذية $\mu = 250 \mu_0$ و $\rho = 10.7 \times 10^{-7}$ اوم - متر .
 (الانفاذية النسبية 250 هي الانفاذية التزايدية التي تطبق في حالة كثافات الفيض القليلة وهي اقل بكثير من الانفاذية القصوى للحديد)
2. احسب عمق الاختراق الاسمي للنحاس ويوحدة جزء من الالف من الانج (Mils) للترددات التالية : 1000 هرتز و 100 كيلوهرتز و 10 ميكاهرتز و 1000 ميكاهرتز .
3. برهن لتيار مستمر ان الهبوط IR في الجهد خلال سلك منتظم طوله l يساوي $J\rho l$ حيث ان J هو كثافة التيار في السلك وان ρ هي المقاومة لمادة الموصل .
4. احسب دالة بسل الحقيقية 2 ودالة بسل الخيالية 2 من المعادلة المتسللة (3.78) .
5. سلك من النحاس قطره 0.128 انجاً سيستعمل عند تردد مقداره 15,000 هرتز ، احسب النسبة بين كثافة التيار في مركز السلك وكثافة التيار عند سطح السلك ، كذلك جد الفرق في الطور بينهما .
 - جد النسبة بين كثافة التيار عند 0.032 انجاً وكثافة التيار عند السطح واحسب الفرق في الطور بينهما .
6. خط ذو سلكين مصنوعان من النحاس ، قطره يساوي 0.128 انجاً جد النسبة بين مقاومته لتيار متناوب ومقاومته لتيار مستمر للترددات 1000 هرتز و 10,000 هرتز .

7 . سلك نحاسي قطره 0.128 انجاً ومقاوميته 1.74×10^{-8} اوم - متر يستعمل عند تردد مقداره 15,000 هرتز .

أ- احسب الممانعة الداخلية لكل متر طول من المعادلة (3.43) والشكلين 3.7 و 3.8 . احسب المقاومة والمحاثة لهذه الممانعة .

ب - جد R' و L' من الشكلين 3.10 و 3.11 وقارن النتائج مع نتائج الفرع أ .

8 . خط ذو سلكين العازل بينهما هواء يتكون هذا الخط من سلكين من النحاس قطر كل منهما 0.104 انجات والمسافة بين السلكين هي 8 انجات . اوجد قيم R_0 و L_0 و C_0 لهذا الخط عند تردد مقداره 10,000 هرتز .

9 . خط ذو سلكين بينهما هواء يتكون من سلكين من النحاس قطر كل منهما 0.064 انجاً والمباعدة بين مركزي السلكين هي 1 انج . احسب R و L و C و Z_0 للخط عند تردد مقداره 50 ميكا هرتز .

10 . أ . خط ذو سلكين يستعمل في التردد العالي ، يتكون من موصلين اسطوانيين من النحاس قطر كل موصل هو 0.125 انجاً والمسافة بين مركزي السلكين هي 1 انج . احسب الممانعة المميزة من المعادلة اللوغارتمية (3.63) وكذلك من المعادلة زائدية المقطع (3.67) وقارن النتائج .

11 . خط محوري بعازل من الهواء يتكون من موصلات نحاسية وله الابعاد الآتية ، القطر الداخلي للسلك الخارجي = 0.795 انجاً و القطر الموصل الداخلي = 0.250 انج . لتردد مقداره 100 ميكا هرتز احسب Z_0 و R وثابت التوهين (بفرض ان المحاثة المتسربة تساوي صفراً) والتوهين بالديسبل لكل متر طول .

12 . خط محوري مرن مليء بمادة عازلة لها ثابت عزل نسبي قيمته 2.25 وظل فقد يساوي 5×10^{-4} عند 300 ميكا هرتز .

الموصلات النحاسية لها الابعاد الآتية $\alpha = 0.039$ انج و $\delta = 0.143$ انج . التردد مقداره 300 ميكا هرتز جد السعة لكل وحدة طول لهذا القابلو . كذلك احسب Z_0 و R و G وثابت التوهين بكلتا الوحدتين نيبر لكل متر طول والديسبل لكل متر طول . احسب سرعة الطور .

13. برهن المعادلات (3.80) الى (3.83) التي تعطي الخواص لخطوط متوازية الشريحية .

14. خط متوازي الشريحية سيصنع من شرائح نحاسية لها عرض مقداره 2.50 انجاً والمسافة بين الشرائح تكون 0.200 أنج والتردد مقداره 200 ميكا هرتز . العازل سيكون هواء .

احسب Z_0 و R_1 وثابت التوهين بفرض ان التوصيلية المتسربة تساوي صفراً .

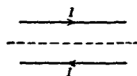
15. بعض خطوط الهاتف تكون احادية السلك وطرف الدائرة الآخر هو الارض . اذا كانت الارض موصلاً جيداً فان يمكن اعتبار سطحه متساوي الجهد (Equipotential) لحساب ثوابت الخط . بالاضافة الى ذلك (كما هو مبين في شكل P15) يمكن استبدال هذا السطح بموصل صوري (Image Conductor) دون التأثير على هيئة المجال . برهن انه اذا اهمل الفقد (Losses) والمحاثة الداخلية للأسلاك فان الممانعة المميزة لخط كهذا هي كما معطاة بالعلاقة :

$$Z_0 = 60 \log_e \frac{2h}{a}$$



(a) Single-wire line

(أ) خط ذو سلك منفرد اوم



شكل P15 خط احادي مع الارض كخط رجوع .

(ب) الأرض بدل بموصل صوري .

حيث ان a هو نصف قطر السلك و h هو ارتفاع السلك فوق الارض .

16. برهن المعادلة (3.76) التي تعطي المقاومة لخط محوري عند التردد العالي .

17 برهن انه فيما اذا كانت سعة تحمل القدرة لقابلو محوري محددة بالقيمة

القصوى لكثافة المجال الكهربائي واذا كانت النسبة بين b/a ثابتة فان القدرة

القصوى المسموحة تتناسب مع مربع b .

18. جد علاقة بين ثابت التوهين للتردد العالي لقابلو محوري بدلالة الابعاد a و b افرض ان قيمة b ثابتة وخفض التوهين الى الحد الادنى بالنسبة الى a . برهن انه ادنى قيمة للتوهين تكون عندما $b/a \approx 3.6$ وان قيمة Z_0 المناظرة هي $77/\sqrt{\epsilon/\epsilon_0}$ اوم .

19. استعمل المعادلات المتسلسلة لدالة بسل الحقيقية ودالة بسل الخيالية لاثبات انه في حالة اقتراب التردد من صفر فان المعادلات العامة للمقاومة والمحاثة الداخلية المعطاة بالمعادلتين (3.44) و (3.45) تصبحان بالتعاقب $R_0 = \rho/\pi a^2$ و $L_{i0} = \mu/8\pi$.

20. استعمل المتسلسلتين لدالة بسل الحقيقية ودالة بسل الخيالية لاثبات انه في الترددات الواطئة المقاومة لموصل اسطوانى هي تقريباً :

$$R = R_0 \left[1 + \frac{1}{48} \left(\frac{a}{\delta} \right)^4 \right]$$

حيث ان R_0 هي المقاومة عند تردد مقداره صفر و a هو نصف قطر الموصل و δ هو عمق الاختراق الاسمي .

21. ارسم مخططاً للممانعة المميزة لخط قليل الفقد ثنائى السلك ، العازل بين السلكين هو الهواء كما معطى في المعادلة (3.63) مع النسبة D/a لمدى $200 < D/a < 2$ استخدام ورقة نصف لوغارتمية (Semilog) بحيث ان D/a على التقسيم اللوغارتمى . ركب على هذا رسماً بيانياً للممانعة المميزة كما معطاة في المعادلة (3.67) وقارن . لاحظ ان الاسلاك تكون متلامسة عند $D/a = 2$

الفصل الرابع خطوط بانعكاسات LINES WITH REFLECTIONS

4.1. هيئات اسية مختلفة لحل الحالة المستقرة للتيار المتناوب :

Various Exponential Forms of the A-C steady State Solution:

في الجزء 2.2 حللنا المعادلات التفاضلية للحالة المستقرة لخط نقل منتظم وبيننا انه من الممكن كتابة الفولتية والتيار بالشكل الآتي :

$$E = A_1 e^{-\gamma z} + A_2 e^{\gamma z} \quad (4.1)$$

$$I = \frac{1}{Z_0} (A_1 e^{-\gamma z} - A_2 e^{\gamma z}) \quad (4.2)$$

حيث ان A_1 و A_2 ثابتان لهما وحدات فولتية و z هي المسافة المقاسة من جانب الارسال و Z_0 هي الممانعة المميزة و γ هو ثابت الانتشار للخط :

$$Z_0 = \sqrt{\frac{R + j\omega L}{G + j\omega C}}$$

$$\gamma = \sqrt{(R + j\omega L)(G + j\omega C)}$$

ولاحظنا بأن الجزء الحقيقي والجزء الخيالي لـ γ لهما ادوار مختلفة في انتشار الموجات وان الجزء الحقيقي هو ثابت التوهين α والجزء الخيالي هو ثابت الطور β

$$\gamma = \alpha + j\beta$$

للحصول على القيم الانية للفولتية والتيار نضرب المعادلتين (4.1) و (4.2) بـ $\sqrt{2}e^{j\omega t}$ ونأخذ الجزء الحقيقي للنتيجة وعليه فمن الممكن كتابة الفولتية الانية بالشكل الآتي :

$$e = \sqrt{2} \operatorname{Re} [A_1 e^{-\alpha z} e^{j(\omega t - \beta z)} + A_2 e^{\alpha z} e^{j(\omega t + \beta z)}]$$

ان الحد الاول بين الاقواس يمثل موجة متنقلة بالاتجاه الموجب لـ z وبسرعة طور مقدارها ω/β (كما رأينا في الجزء 2.4) وبالتشابه فان الحد الثاني بين الاقواس يمثل موجة متنقلة باتجاه z السالب بالسرعة نفسها . ان الموجة المتنقلة الى اليمين تتوهن بالعامل $e^{-\alpha z}$ والموجة المتنقلة الى اليسار تتوهن بصورة مشابهة باتجاه انتقالها ففي الحالة الاخيرة فان عامل التوهين يجب ان يظهر $e^{+\alpha z}$ لان الموجة تنتقل بالاتجاه المتناقص لـ z .

في الجزء (1.6) درسنا الانتشار وانعكاس الموجات على خط عديم الفقد وحسبنا الحالات العابرة المتسببة عن قوة دافعة كهربائية لتيار مستمر وكما سنبين في الجزء القادم انه من الممكن حساب الحالة المستقرة والتيار المتناوب بطريقة مشابهة : تحسب الموجة البدائية الخارجة من المولد ثم تعتبر الانعكاسات والانعكاسات المعادة (Re-reflections) لهذه الموجة والنتائج المحصلة بهذه الطريقة مشابهة لحلول الحالة المستقرة (4.1) و (4.2) . ان الحد $A_1 e^{-\gamma z}$ يمثل محصلة مجموع الموجات المنفردة التي تنتقل الى اليمين في حين يكون $A_2 e^{\gamma z}$ مجموع الموجات المتنقلة الى اليسار .

نسمي الحد الاول للمعادلة (4.1) بالفولتية الساقطة (Incident) ونرمز لها بالرمز E^+ ونسمي الحد الثاني بالفولتية المنعكسة (Reflected) ونرمز لها بالرمز E^- . وعليه نستطيع كتابة مايلى :

$$E = E^+ + E^-$$

واذا كتبنا بطريقة مشابهة التيار الكلي كمجموع للمركبات الساقطة المنعكسة على التوالي بـ I^+ و I^- نحصل على :

$$I^+ = \frac{E^+}{Z_0} \quad \text{وبالمقارنة مع المعادلتين (4.1) و (4.2) يظهر ان :}$$

$$I^- = -\frac{E^-}{Z_0}$$

ان الممانعة المميزة بصورة عامة لها زاوية طور صغيرة . وعليه فان I^+ له تقريباً طور (Inphase) E^+ نفسه بينما I^- يصنع تقريباً 180° مع E^- ولقد شاهدنا هذه العلاقة اولاً عندما حللنا الحالات العابرة على خطوط عديمة الفقد . ان التفسير الفيزيائي للاشارة السالبة في المعادلة (4.6) هو نفس التعبير المعطى في الجزء (1.5) والشكل (1.7) نفسه اي التيار المتسبب من الشحنات المتحركة الى اليمين هو عكس التيار المتولد من الشحنات المشابهة والمتحركة الى اليسار ورغم ان الفولتيتين لهما الاشارة نفسها . بعد ذلك نحسب الثابتين A_1 و A_2 في الحلين (4.1) و (4.2) ، هنالك عدة هيئات مكافئة لهذا الحل تعتمد على الكميات الطرفية (Terminal-Quantities) المستعملة وأكثر الهيئات التي تستعمل هي الاتي (لاحظ الشكل 4.1) : I_R و Z_R او I_s و Z_s وممانعة جانب الارسال Z_L او Z_R و E_s و Z_s ومن المناسب غالباً قياس المسافة من جانب الاستلام بدلاً من القياس من جانب الارسال $d = l - x$ كما مبين في الشكل (4.1) .

للتعبير عن الثوابت بدلالة كميات جانب الارسال ، ضع $E = I Z_0$ و $I = I_0$ عند $x = 0$ في المعادلتين (4.1) و (4.2) وعليه عندنا :

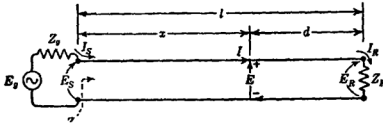
$$I_0 Z_0 = A_1 + A_2$$

$$I_0 Z_0 = A_1 - A_2$$

وبحل المعادلتين لاييجاد A_2 و A_1 نحصل على :

$$A_2 = \frac{I_0}{2} (Z_0 - Z_R) \quad \text{و} \quad A_1 = \frac{I_0}{2} (Z_0 + Z_R)$$

وبالتعويض في المعادلة (4.1) و (4.2) نحصل على الحل بدلالة كميات جانب الارسال :



شكل 4.1 رسم تخطيطي يبين الرموز .

$$E = \frac{I_0}{2} [(Z_0 + Z_R)e^{-\gamma x} + (Z_0 - Z_R)e^{\gamma x}] \quad (4.7)$$

$$I = \frac{I_0}{2Z_0} [(Z_0 + Z_R)e^{-\gamma x} - (Z_0 - Z_R)e^{\gamma x}] \quad (4.8)$$

انه من المناسب ولاغراض عدة التعبير عن الثوابت بدلالة كميات جانب الاستلام I_R و Z_R . لهذا سنرجع الى المعادلتين (4.1) و (4.2) ونعوض عن $E = I_R Z_R$ و $I = I_R$ عند $x = l$ ، ثم نحل المعادلتين لاييجاد A_1 و A_2 ونحصل على :

$$A_1 = \frac{I_R}{2} (Z_R + Z_0)e^{\gamma l} \quad \text{and} \quad A_2 = \frac{I_R}{2} (Z_R - Z_0)e^{-\gamma l}$$

بتعويض هاتين العلاقتين في المعادلتين (4.1) و (4.2) وباستعمال $d = l - x$ للتبسيط ، نحصل على الحل بالشكل الآتي :

$$E = \frac{I_R}{2} [(Z_R + Z_0)e^{\gamma d} + (Z_R - Z_0)e^{-\gamma d}] \quad (4.9)$$

$$I = \frac{I_R}{2Z_0} [(Z_R + Z_0)e^{\gamma d} - (Z_R - Z_0)e^{-\gamma d}] \quad (4.10)$$

ان المسافة d مقاسة من جانب الاستلام كما هو مبين في الشكل 4.1 .

ومن الممكن اشتقاق الحل بدلالة E_s و Z_s و Z_R بطريقة مشابهة

باستعمال $E = E_s - I_s Z_s$ عند $x = 0$ و $E_R = I_R Z_R$ عند $x = l$

ولكن عوضاً عن ذلك سيشقق الحل بطريقة مغايرة في الجزء القادم .

لكل هيئات الحلول المختلفة ، يمثل الحد الاول الموجه الساقطة المستقرة

E^+ و I^+ يمثل والحد الثاني الموجه المنعكسة المستقرة E^- و I^-

لاحظ ان العلاقتين (4.5) و (4.6) تطبق على كل واحدة .

نسبى النسبة بين الفولتية المنعكسة والفولتية الساقطة معامل الانعكاس (Reflection Coefficient) من المعادلة (4.9) فان هذه النسبة عند أية مسافة من جانب الاستلام هي :

$$\begin{aligned} k &= \frac{E^-}{E^+} = \frac{Z_R - Z_0}{Z_R + Z_0} e^{-2\gamma d} \\ &= \frac{Z_R - Z_0}{Z_R + Z_0} e^{-2\alpha d} e^{-j2\beta d} \end{aligned} \quad (4.11)$$

ان معامل الانعكاس بصورة عامة هو عدد مركب وعند جانب الاستلام يكون :

$$k_R = \frac{E_R^-}{E_R^+} = \frac{Z_R - Z_0}{Z_R + Z_0} \quad (4.12)$$

هذا هو التعبير الذي استعملناه في الجزء (1.6) للحالة العابرة على خط عديم الفقد نفسه ومن الممكن التعبير عن معامل الانعكاس عند أية نقطة بدلالة k_R وذلك بقسمة المعادلة (4.11) على (4.12) اي ان :

$$k = k_R e^{-2\gamma d} = k_R e^{-2\alpha d} e^{-j2\beta d} \quad (4.13)$$

بملاحظة المعادلة (4.10) يظهر بأن معامل انعكاس التيار هو سالب معامل انعكاس الفولتية بعكس الاشارة اي بمعنى آخر في أية لحظة :

$$\frac{I^-}{I^+} = -k = \frac{Z_0 - Z_R}{Z_0 + Z_R} e^{-2\gamma d} \quad (4.14)$$

ان الممانعة لخط نقل في أية نقطة تعرف كالنسبة المركبة لـ E^+ الى I^+ عند تلك النقطة ، بتقسيم المعادلة (4.9) على المعادلة (4.10) نحصل على :

$$Z = \frac{E}{I} = Z_0 \frac{(Z_R + Z_0)e^{\gamma d} + (Z_R - Z_0)e^{-\gamma d}}{(Z_R + Z_0)e^{\gamma d} - (Z_R - Z_0)e^{-\gamma d}} \quad (4.15)$$

عند النقطة $d = 0$ هذه الممانعة تختصر (بالطبع) الى Z_R وممانعة جانب الارسال للخط Z_0 يحصل عليها بجعل $d = l$.

الممانعة الانتقالية (Transfer Impedance) للخط تعرف كنسبة فولتية جانب الارسال الى تيار جانب الاستلام، باستعمال (4.9) وجعل $E = E_s$ ونحصل على :

$$Z_{tr} = \frac{E_s}{I_r} = \frac{1}{2} [(Z_R + Z_0)e^{\gamma l} + (Z_R - Z_0)e^{-\gamma l}] \quad (4.16)$$

يمكن الحصول على نسبة تيار جانب الارسال الى تيار جانب الاستلام من المعادلة (4.10) وهي :

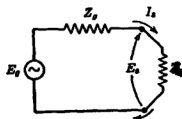
$$\frac{I_s}{I_r} = \frac{(Z_R + Z_0)e^{\gamma l} - (Z_R - Z_0)e^{-\gamma l}}{2Z_0} \quad (4.17)$$

باستعمال العلاقات الاسمية السابقة على الطالب ان يتذكر بأن :

$$e^{\pm \gamma d} = e^{(\alpha + j\beta)d} = e^{\pm \alpha d} e^{\pm j\beta d} = e^{\pm \alpha d} (\cos \beta d \pm j \sin \beta d)$$

عندما ينتهي خط النقل بممانعته المميزة ($Z_R = Z_0$) فالعلاقات العامة المشتقة اعلاه تختصر الى تلك المذكورة في الجزء (2.3)، اولاً في الممانعة (4.15) تختصر الى $Z = Z_0$ على كل نقاط الخط وعليه فان $Z_s = Z_0$ والعلان (4.7) و (4.8) يصبحان $E = E_s e^{-\gamma x}$ و $I = I_s e^{-\gamma x}$ ونسبة التيار (4.17) تختصر الى $I_r/I_s = e^{-\gamma l}$

وكما هو مبين بالشكل (4.1) يشتغل المولد في ممانعة مقدارها Z_s عند طرفيه ومن وجهة نظر المولد فان الدائرة المكافئة لجانب الارسال هي المبينة في الشكل 4.2 وعندما تكون معلومة (ربما باستعمال المعادلة (4.15) مع $d = l$) فالدائرة المكافئة لجانب الارسال يمكن حلها لـ E_s و I_s وقدرة جانب الارسال، ويمكن استعمال الحلين (4.7) و (4.8) لايجاد التيار والفولتية عند أية نقطة على الخط او من الممكن استعمال الحلين (4.16) و (4.17) لايجاد تيار جانب الاستلام .



شكل 4.2 الدائرة المكافئة لجانب الارسال .

مثال : خط هاتف نموذجي طوله 100 ميل مع $92 - j = Z_0 = 685$ اوم و $\alpha = 0.00497$ نيبر لكل ميل و $\beta = 0.0352$ زاوية نصف قطرية لكل ميل عند تردد 1000 هرتز . الخط منته ب $0 + j = Z_L = 2000$ اوم والمولد له ق . د . ك مقدارها 10 فولت ج . م . ت وممانعة داخلية مقدارها 700 اوم مقاومة بحتة . اوجد ممانعة وتيار وفولتية وقدرة جانب الارسال ، وفولتية وتيار وقدرة جانب الاستلام . لهذا الخط 202° =زاوية نصف قطرية $\beta l = 3.52$ وعليه :

$$\begin{aligned} e^{\gamma l} &= e^{0.497 + j3.52} = e^{0.497} / 202^\circ \\ &= 1.64(\cos 202^\circ + j \sin 202^\circ) \\ &= -1.52 - j0.615 \end{aligned}$$

ايضا

$e^{-\gamma l} = e^{-0.497} / -202^\circ = -0.566 + j0.229$
وباستعمال المعادلة (4.15) فان ممانعة جانب الارسال للخط هي :

$$\begin{aligned} Z_s &= (685 - j92) \frac{(2,685 - j92)e^{\gamma l} + (1,315 + j92)e^{-\gamma l}}{(2,685 - j92)e^{\gamma l} - (1,315 + j92)e^{-\gamma l}} \\ &= (691 / -7.65^\circ) \frac{5,060 / 14.4^\circ}{3,810 / 27.45^\circ} = 919 / -20.7^\circ \\ &= 861 - j325 \text{ اوم} \end{aligned}$$

من الممكن تلافي جزء كبير من العمليات الحسابية المعقدة والضرورية للحسابات المذكورة فوق وذلك باستعمال خارطة خط النقل (Transmission Line chart) المشروحة في الفصل 5 (بالطبع في هذه الحالة هنالك فقد في الدقة) .

من الممكن ايجاد تيار جانب الارسال بحل الدائرة المكافئة لجانب الارسال المبينة في الشكل (4.2) واذا اريد ايجاد الاتساعات (Magnitudes) فقط ،

نحصل على :

$$\begin{aligned} |I_s| &= \left| \frac{E_s}{Z_s + Z_L} \right| = \left| \frac{10}{700 + 861 - j325} \right| \\ &= \frac{10}{1596} = 6.26 \times 10^{-3} \end{aligned}$$

امبير ج . م . ت

ان اتساع فولتية جانب الاستلام هي :

$$|E_s| = |I_s| \cdot |Z_s| = 6.26 \times 10^{-3} \times 919 = 5.75$$

فولت ج . م . ت

وقدرة جانب الارسال هي $|I_s|^2 R_s$ ، حيث ان R_s هي المركبة المقاومة لممانعة جانب الارسال وعليه فان :

$$P_s = (6.26 \times 10^{-3})^2 \times 861 = 33.8 \times 10^{-3}$$

واط

من الممكن الآن كتابة التغير في الفولتية والتيار على طول الخط من المعادلتين (4.7) و (4.8) ومن الممكن ايجاد تيار جانب الاستلام اما من (4.16) او

(4.17) وباستعمال الاخيرة واخذ القيم المطلقة لكل من البسط والمقام يكون :

$$\frac{6.26 \times 10^{-3}}{|I_R|} = \frac{3,810}{2 \times 691}$$

حيث اننا استعملنا النتائج العددية السابقة وعليه :

$$|I_R| = 2.28 \text{ ملي امبير}$$

وهذا التيار يسري خلال حمل مقاومي مقداره 2000 اوم ومن ثم $P_R = 10.4$ ملي واط و $|E_R| = 4.56$ فولت .

4.2. الحل بدلالة E_o و Z_o و Z_R :

Solution in Terms of E_o , Z_o , and Z_R .

من الممكن التعبير عن معادلات E و I على طول الخط بدلالة E_o و Z_o و Z_R وذلك بتطبيق العلاقات الطرفية $E_o = E_o - I_o Z_o$ و $E_R = I_R Z_R$ على المعادلتين (4.1) و (4.2) وعلى اية حال بدلاً من ذلك سنحاول اشتقاق هذه الهيئة من الحل بطريقة مشابهة لتلك التي استعملت في الجزء (1.6) للحالات العابرة على خط عديم الفقد ، في هذا التحليل سنهمل احتمالية الحالات الموضعية العابرة (Local Transients) في المولد والحمل ويمكن لحالات عابرة كهذه ان تؤثر على كيفية الوصول للحالة المستقرة على الخط ولكن سوف لا تؤثر على النتيجة النهائية او الصورة الفيزيائية العامة للعملية .

عندما يربط المولد لأول مرة بالخط فانه يرى ممانعة مساوية لـ Z_o الى حين وصول اول انعكاس من الحمل وعليه فلبضع لحظات اولى فان فولتية جانب الارسال للخط ستكون $E_o Z_o / (Z_o + Z_o)$ وهذه الموجة (التي تخيلناها تتدفق خارجة الى الابد من المولد وتنتشر على الخط) عند المسافة x سيكون لها قيمة :

$$\frac{E_o Z_o}{Z_o + Z_o} e^{-\gamma x} \quad (4.18)$$

وعند وصول هذه الموجة الى الحمل فانها ستنعكس بمعامل انعكاس مساوٍ لـ (راجع المعادلتين (1.25) و (4.12)) :

$$k_R = \frac{Z_R - Z_o}{Z_R + Z_o} \quad (4.19)$$

وهكذا تنتقل موجة ثانية راجعة الى المولد . لايجاد تعبير للموجة الثانية نأخذ (4.18) ونضع $x = l$ لايجاد قيمة الموجة عند جانب الحمل ، ثم نضربها بـ k_R لايجاد الفولتية المنعكسة عند تلك النقطة وفي النهاية نضربها بمعامل الانتشار $e^{-\gamma x} = e^{-\gamma(l-x)}$ للأخذ بنظر الاعتبار انتقالها الى الورا وتكون النتيجة :

$$\frac{E_0 Z_0}{Z_0 + Z_g} e^{-\gamma l} k_R e^{-\gamma(l-x)} \quad (4.20)$$

وهذه الموجة تصل المولد بالسعة الناتجة من وضع $x = 0$ في التعبير اعلاه وتنعكس هنالك بمعامل مساوٍ :

$$k_g = \frac{Z_g - Z_0}{Z_g + Z_0} \quad (4.21)$$

والانعكاس الجديد ينتشر الى اليمين كما مبين بعامل الانتشار $e^{-\gamma x}$ وبجمع هذه العوامل نحصل على تعبير للانعكاس الجديد :

$$\frac{E_0 Z_0}{Z_0 + Z_g} e^{-2\gamma l} k_R k_g e^{-\gamma x} \quad (4.22)$$

وبالاستمرار بهذه الطريقة نحصل على متسلسلة غير منتهية (Infinite Series) للانعكاسات وكل واحدة اصغر من سابقتها والمجموع متقارب (Convergent) ويمثل الحالة المستقرة المتكونة في النهاية ويمكن كتابة المتسلسلة غير المنتهية كالآتي :

$$E = \frac{E_0 Z_0}{Z_0 + Z_g} [\epsilon^{-\gamma x} + k_R \epsilon^{-2\gamma l} \epsilon^{\gamma x} + k_R k_g \epsilon^{-2\gamma l} \epsilon^{-\gamma x} + \dots]$$

او

$$E = \frac{E_0 Z_0}{Z_0 + Z_g} \left\{ (\epsilon^{-\gamma x} + k_R \epsilon^{-2\gamma l} \epsilon^{\gamma x}) [1 + (k_R k_g \epsilon^{-2\gamma l}) + (k_R k_g \epsilon^{-2\gamma l})^2 + \dots] \right\}$$

تمثل الاجزاء بين الاقواس متسلسلة هندسية غير منتهية (Infinite Geometric Series) بالشكل $1 + a + a^2 + a^3 + \dots$ والتي تعرف بانها تقترب (Convergence) من القيمة $(1 - a)$ $|a| < 1$ وعليه نستطيع كتابة مايلي :

$$E = \frac{E_0 Z_0}{(Z_0 + Z_g)(1 - k_R k_g \epsilon^{-2\gamma l})} (\epsilon^{-\gamma x} + k_R \epsilon^{-2\gamma l} \epsilon^{\gamma x}) \quad (4.23)$$

هذا التعبير يجب ان يقارن مع هيئات الحل السابقة حيث ان كلها متماثلة بالهيئة وبالفنى .

المعادلة التي اشتققناها الآن تعطي بصورة واضحة قيمتي ثابت التكامل A_1

و A_2 بدلالة E_0 و Z_0 و Z_R والنتيجة مرة اخرى هي بيئة $E^+ + E^-$ حيث ان E^+ هي محصلة الموجة الساقطة المتكونة من حاصل جمع كل الموجات

المنفردة التي تنتقل نحو الحمل و E^- هي محصلة الموجة المنعكسة المتكونة من حاصل جمع الموجات المنفردة والتي تنتقل نحو المولد . وان نسبة الحالة المستقرة E^-/E^+ سبق ان عرفت في المعادلة (4.11) كعامل انعكاس k وهي مساوية لـ $k_R e^{-2\gamma l} e^{2\gamma d} = k_R e^{-2\gamma d}$ وهذه النسبة تتحدد فقط بالحمل والخط ليس بالمولد ولا تتأثر كلياً بالكمية $(Z_0 - Z_0)/(Z_0 + Z_0)$ والتي هي معامل الانعكاس المشاهد من موجة منفردة تنتقل الى الراء عند وصولها الى طرفي المولد ، وكما هو مبين بالمعادلة (4.23) فان الاخيرة تؤثر على حل الحالة المستقرة فقط من خلال تأثيرها على فولتية جانب الارسال اي خلال تأثيرها على الاتساع للحل الكلي (ايضاً لاحظ المسألة 14 الفصل 2) .

ان الموجة المنعكسة بالقرب من جانب الارسال ستكون صغيرة جداً طالما k_R صغير (من الممكن رؤية ذلك من المعادلة (4.23)) او بدون اعتبار لـ k_R طالما ان التوهين الكلي هو كبير جداً بحيث ان $k_R e^{-2\gamma l} \ll 1$ ومن وجهة نظر جانب الارسال فان الخط سيكون مكافئاً لخط غير نهائي الطول .

في اشتقاق المعادلة السابقة فرضنا بأن المولد ممكن تمثيله بدقة بقوة دافعة كهربائية على التوالي مع ممانعة داخلية فعالة واذا كان الخط مساقاً بشبكة معقدة فمن الممكن استعمال نظرية ثيفنن لاييجاد دائرة مكافئة على التوالي . وعلى اية حال يجب ان يكون مفهوماً بانه من غير الممكن تمثيل كل المصادر بدقة بقوة دافعة كهربائية ذات اتساع ثابت على التوالي مع ممانعة ثابتة وهذا يكون صحيحاً بصورة خاصة عندما يكون الخط مساقاً بصورة مباشرة من مذبذب (Oscillator) حيث ان التأثير الحلي (Loading Effect) للخط قد يؤثر على كل من شدة التذبذب (Intensity of oscillation) والتردد ، التمثيل المتوالي البسيط المبين في الشكلين (4.1) و (4.2) يجب ان يعد اقرب مكافئ خطي لاي مولد حقيقي مستعمل .

من الملائم (عادة) التعبير عن المعادلة (4.23) بدلالة المسافة d . مقاسة من الحمل وبالتعويض عن $x = l - d$ نحصل على :

$$E = \frac{E_0 Z_0 e^{-\gamma l}}{(Z_0 + Z_0)(1 - k_R k_0 e^{-2\gamma l})} (e^{\gamma d} + k_R e^{-\gamma d}) \quad (4.24)$$

ومن الممكن الحصول على تعبير للتيار مطابق المعادلة (4.24) وذلك باستعمال المعادلتين (4.5) و (4.6) : - تقسم الفولتية على Z_0 وتنعكس اشارة المركبة المنعكسة ثم نحصل على :

$$I = \frac{E_0 e^{-\gamma l}}{(Z_0 + Z_L)(1 - k_0 k_L e^{-2\gamma l})} (e^{\gamma l} - k_0 e^{-\gamma l}) \quad (4.25)$$

ومرة أخرى فإن معامل الانعكاس للتيار هو معامل انعكاس الفولتية بعكس الإشارة

4.3 دالات زائدية: Hyperbolic Functions

في الجزء القادم سنعتبر عن حلول خط النقل بدلالة الدالات الزائدية . اما في هذا الجزء فسنستعرف باختصار على هذه الدالات .

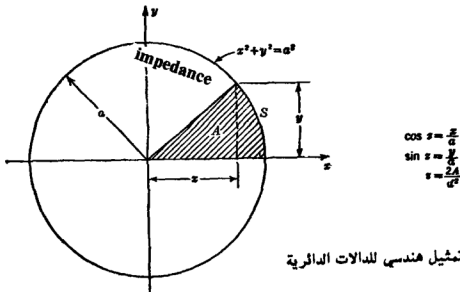
صيفتا اويلر (Euler's Formula) الاسية مع اس خيالي هما :

$$\left. \begin{aligned} e^{jz} &= \cos z + j \sin z \\ e^{-jz} &= \cos z - j \sin z \end{aligned} \right\} \quad (4.26)$$

بجمع وطرح هاتين المعادلتين نحصل على تعبير اسى معروف للجيب وجيب التمام :

$$\left. \begin{aligned} \cos z &= \frac{e^{jz} + e^{-jz}}{2} \\ \sin z &= \frac{e^{jz} - e^{-jz}}{2j} \end{aligned} \right\} \quad (4.26)$$

وكما هو معروف جيداً فإن الجيب وجيب التمام ممكن تعريفهما لقيم z الحقيقية بواسطة دائرة كما مبين في الشكل (4.3) ، ولهذا السبب فإن هاتين الكميتين في بعض الاحيان تسميان الدالات الدائرية (Circular Functions) والزاوية z من الزوايا نصف القطرية وهي مساوية للقوس s مقسومة على نصف القطر a او هي مساوية لـ $2A/a^2$ حيث ان A هي المساحة المخططة للقطاع الدائري (Circular Sector) المبين في الشكل 4.3 .



شكل 4.3 تمثيل هندسى للدالات الدائرية

من الملائم عادةً تعريف مجموعة مختلفة من الاسيات التي تدعى بجيب التمام الزائدي المقطع (Hyperbolic Cosine) او بالجيب الزائدي المقطع (Hyperbolic Sine) والمختصرين بـ \cosh و \sinh :

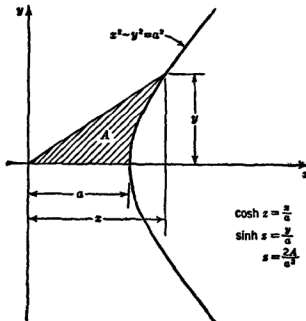
$$\left. \begin{aligned} \cosh z &= \frac{e^z + e^{-z}}{2} \\ \sinh z &= \frac{e^z - e^{-z}}{2} \end{aligned} \right\} \quad (4.28)$$

ولقيم z الحقيقية فان الاسس (Exponents) تكون حقيقية والتعابير الاسية للدالات الزائدية تكون ايسر من تلك التي للدالات الدائرية واذا اضيفت وطرحا المعادلتان (4.28) فنحصل على علاقات زائدية مشابهة لـ (4.26):

$$e^{\pm z} = \cosh z \pm \sinh z \quad (4.29)$$

هذه الدالات سميت زائدية المقطع لانه لقيم z الحقيقية من الممكن تمثيل هذه الدالات هندسياً على قطع زائد قائم (Rectangular Hyperbola) كما مبين في الشكل (4.4) والازاحة الزاوية (Argument) مساوية لـ z حيث ان A هي المساحة المخططة للقطاع الزائدي (Hyperbolic Sector) تعرف الدالات الزائدية الاخرى بطريقة مشابهة للدالات الدائرية وكمثال

$$\tanh z = \frac{\sinh z}{\cosh z} \quad (4.30)$$



شكل 4.4 تمثيل هندسي للدالات الدائرية على قطع زائد قائم $x^2 - y^2 = a^2$ *Pro: 4.4. Geometrical representation of the hyperbolic functions*

ان الجيب وجيب التمام والظل براندو استقطع مع الاسيتين e^z و e^{-z} رسمت في الشكل (4.5) لقيم الازاحة الزاوية الحقيقية (١) . وبصورة خاصة يجب

ملاحظة علاقة الدالات الزائدية بالاسيات . ومن الممكن البرهنة من التعاريف الاسية على ان الصيغ التفاضلية الآتية تطبق :

$$\left. \begin{aligned} \frac{d}{dz} \sinh z &= \cosh z \\ \frac{d}{dz} \cosh z &= \sinh z \\ \frac{d}{dz} \tanh z &= \operatorname{sech}^2 z \end{aligned} \right\} \quad (4.31)$$

واكثر من ذلك فانه من الممكن برهان متطابقات (Identities) مشابهة لتلك الدالات الدائرية ومثال ذلك :

$$\cosh^2 z - \sinh^2 z = 1 \quad (4.32)$$

$$\sinh (x \pm y) = \sinh x \cosh y \pm \cosh x \sinh y \quad (4.33)$$

$$\cosh (x \pm y) = \cosh x \cosh y \pm \sinh x \sinh y \quad (4.34)$$

وبمقارنة المعادلتين (4.27) و (4.28) يظهر لنا بان الدالات الزائدية لازاحة زاوية خيالية ترتبط بعلاقة بسيطة بالدالات الدائرية ذات الازاحة الزاوية الحقيقية اي ان :

$$\begin{aligned} \cosh (jx) &= \cos x \\ \sinh (jx) &= j \sin x \end{aligned} \quad (4.35)$$

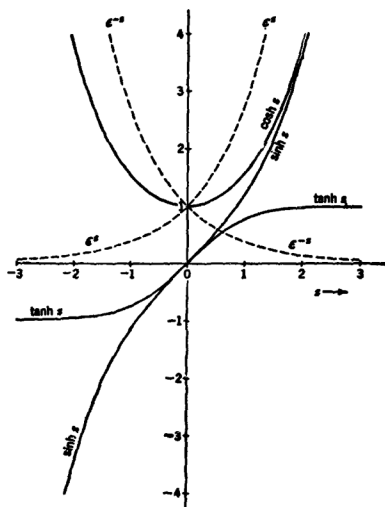
$$\begin{aligned} \cos (jx) &= \cosh x \\ \sin (jx) &= j \sinh x \end{aligned} \quad (4.36)$$

ولازاحة زاوية مركبة $z = a \pm jb$ نستطيع اما استعمال التعريف (4.28) مباشرة او التعبير عن النتيجة بدلالة الدالات ذات الازاحة الزاوية الحقيقية وذلك بوضع $x = a$ و $y = jb$ في (4.33) او (4.34) ثم يستعمل (4.35) ، والصيغ الناتجة هي :

$$\left. \begin{aligned} \sinh (a \pm jb) &= \sinh a \cos b \pm j \cosh a \sin b \\ \cosh (a \pm jb) &= \cosh a \cos b \pm j \sinh a \sin b \end{aligned} \right\} \quad (4.37)$$

(١) جداول الدالات الزائدية متوفرة في كتب مختلفة وكمثال لذلك راجع :

H.B. Dwight, «Mathematical Tables,» pp. 148-178, McGraw-Hill Book Company, Inc., New York. 1941.



شكل 4.5 الدالات الزائدية $\cosh z$ و $\sinh z$ و $\tanh z$.

4.4 . الهيئة الزائدية للحل: Hyperbolic Form of the Solution:

ان هيئات حلول خط النقل سهلت نوعاً ما باستعمال الدالات الزائدية والنتائج الموجزة ، ومن الممكن معالجتها جبرياً وعلى اية حال فان الازاحة الزاوية بصورة عامة مركبة وان الهيئة الزائدية ليس ضرورياً ان تكون اسهل استعمالاً في الحسابات العددية ماعدا في حالة استعمال الغارطة او توفر الجداول للدالات الزائدية ذات الازاحة الزاوية المركبة (١) .

(١) لاحظ ،

¹ See A. E. Kennelly, "Tables of Complex Hyperbolic and Circular Functions," Harvard University Press, Cambridge, Mass., 1927; also, "Chart Atlas of Complex Hyperbolic and Circular Functions," Harvard University Press, Cambridge, Mass., 1924

من الممكن كتابة المعادلتين (4.7) و (4.8) بالشكل الآتي :

$$E = E_s \left[\left(\frac{\epsilon^{\gamma x} + \epsilon^{-\gamma x}}{2} \right) - \frac{Z_0}{Z_s} \left(\frac{\epsilon^{\gamma x} - \epsilon^{-\gamma x}}{2} \right) \right]$$

$$I = I_s \left[\left(\frac{\epsilon^{\gamma x} + \epsilon^{-\gamma x}}{2} \right) - \frac{Z_s}{Z_0} \left(\frac{\epsilon^{\gamma x} - \epsilon^{-\gamma x}}{2} \right) \right]$$

الكميات المحصورة بالاقواس الداخلية هي جيب التمام الزائد المقطع والجيب الزائد المقطع على التوالي مع ازاخة زاوية مركبة $\gamma x = \alpha x + j\beta x$ وعليه من الممكن كتابة :

$$E = E_s \left(\cosh \gamma x - \frac{Z_0}{Z_s} \sinh \gamma x \right) \quad (4.38)$$

$$I = I_s \left(\cosh \gamma x - \frac{Z_s}{Z_0} \sinh \gamma x \right) \quad (4.39)$$

حيث ان المسافة x مقاسة من جانب الارسال .

وبطريقة مشابهة فان المعادلتين (4.9) و (4.10) ممكن التعبير عنهما بدلالة :

$$E = E_R \left(\cosh \gamma d + \frac{Z_0}{Z_R} \sinh \gamma d \right) \quad (4.40)$$

$$I = I_R \left(\cosh \gamma d + \frac{Z_R}{Z_0} \sinh \gamma d \right) \quad (4.41)$$

حيث ان d مقاسه من جانب الاستلام .

ومن الممكن الحصول على ممانعة الخط بتقسيم E على I والتعبير عن

النتيجة كالآتي :

$$Z = Z_0 \frac{Z_R + Z_0 \tanh \gamma d}{Z_0 + Z_R \tanh \gamma d} \quad (4.42)$$

عندما تصبح d مساوية لطول الخط فان هذا التعبير هو ممانعة جانب الارسال Z_s .

يمكن كتابة الممانعة الانتقالية (Transfer Impedance) من المعادلة (4.16)

$$Z_{tr} = \frac{E_s}{I_R} = Z_R \cosh \gamma l + Z_0 \sinh \gamma l \quad (4.43)$$

من الممكن كتابة نسبة تيار جانب الارسال الى تيار جانب الاستلام من المعادلة (4.17) :

$$\frac{I_s}{I_R} = \cosh \gamma l + \frac{Z_R}{Z_0} \sinh \gamma l \quad (4.44)$$

التعبير السابق هو مركب بصورة عامة والعلاقة (4.37) مفيدة في الحسابات العددية .
مثال :

خذ الخط المحدد في مثال الجزء (4.1) والذي تطبق عليه المعلومات التالية :

$$l = 100 \text{ ميل}$$

$$f = 1000 \text{ هرتز}$$

$$Z_0 = 685 - j 92 \text{ اوم}$$

$$\gamma = 0.00497 + j 0.0352 \text{ لكل ميل}$$

$$Z_R = 2,000 + j 0 \text{ اوم}$$

$$E_s = 10 \text{ فولت ح . م . ت}$$

$$Z_s = 700 + j 0 \text{ اوم}$$

جد ممانعة جانب الارسال للخط وتياره وفولتية جانب الاستلام وذلك باستعمال الهيئة الزائدية لمعادلات الخط .

اولاً منحسب $\sinh \gamma l$ و $\cosh \gamma l$ وباستعمال المعادلة (4.37) يكون عندنا :

$$\sinh \gamma l = \sinh (0.497 + j3.52) = \sinh 0.497 \cos 3.52 + j \cosh 0.497 \sin 3.52$$

وبما ان 3.52 من الزوايا نصف القطرية مكافئة لـ 202° نحصل على :

$$\sinh \gamma l = -0.518 \times 0.927 - j1.126 \times 0.375$$

$$= -0.480 - j0.422$$

من المعادلة (4.37) لدينا ايضاً :

$$\cosh \gamma l = \cosh 0.497 \cos 3.52 + j \sinh 0.497 \sin 3.52$$

$$= -1.126 \times 0.927 - j0.518 \times 0.375$$

$$= -1.042 - j0.194$$

وبحساب $\tanh \gamma l$ تكون :

$$\tanh \gamma l = \frac{\sinh \gamma l}{\cosh \gamma l} = \frac{-0.480 - j0.422}{-1.042 - j0.194}$$

$$= 0.523 + j0.311$$

يمكن حساب ممانعة جانب الارسال الآن من المعادلة (4.42) ، باستعمال $d = l$ وعليه :

$$Z_s = (685 - j92) \left[\frac{2,000 + (685 - j92)(0.523 + j0.311)}{685 - j92 + (2,000)(0.523 + j0.311)} \right] = 859 - j325 \text{ اوم}$$

وهذا يتحقق تماماً مع القيمة المحسوبة باستعمال الهيئة الآتية للمعادلات (325 - j 861) اوم .

ان تيار جانب الارسال سيكون :

$$|I_s| = \left| \frac{E_s}{Z_s + Z_r} \right| = \frac{10}{700 + 859 - j325} = 6.26 \times 10^{-3} \text{ امبير}$$

ومن الممكن ايجاد تيار جانب الاستلام باستعمال المعادلة (4.44) :

$$\frac{6.26 \times 10^{-3}}{|I_R|} = \left| -1.042 - j0.194 + \left(\frac{2,000}{685 - j92} \right) (-0.480 - j0.422) \right|$$

ومنها

$$\frac{6.26 \times 10^{-3}}{|I_R|} = 2.76$$

$$|I_R| = 2.27 \times 10^{-3} \text{ امبير}$$

وفولتية جانب الاستلام هي :

$$|E_R| = |I_R| \cdot |Z_R| = 2.27 \times 10^{-3} \times 2,000$$

$$= 4.54 \text{ فولت}$$

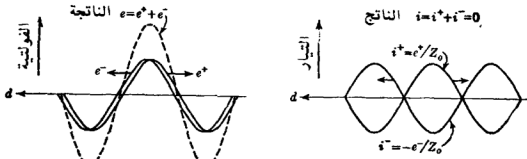
4.5. التداخل ونماذج الموجات المتوقفة :

Interference and Standing-wave Patterns.

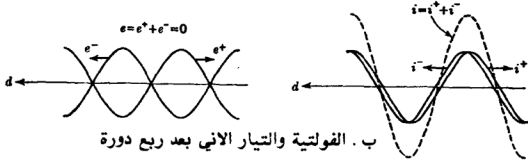
تتعلق الاجزاء السابقة بمعادلة الحالة المستقرة للتيار المتناوب والفولتية على خط نقل بصورة عامة حيث ان جزءاً من الطاقة الساقطة تنعكس من الحمل . وبرهنا من الفصل الثاني بأنه عندما لا يكون هنالك انعكاس من الحمل فان فولتية وتيار ج. م. ت يتناقصان اسياً من المولد نحو الحمل ، وعلى اية حال عندما يعكس الحمل جزء من الطاقة الساقطة فان فولتية وتيار ج. م. ت. يتغيران دورياً على طول الخط تقريباً وهذا التأثير يحدث نتيجة تداخل الموجات الساقطة والمنعكسة ومحصلة التغير تسمى بالموجات المتوقفة (Standing Wave) .

ان هذا التأثير مبين باسلوب نوعي في الشكلين (4.6) و (4.8) للحالة القصوى لخط نقل محمل بطريقة بحيث يكون هنالك انعكاس تام ، اي ان الموجة المنعكسة مساوية بالاتساع للموجة الساقطة ، ويحدث هذا اذا لم تمتص الطاقة من قبل الحمل اي انه عندما يكون الانتهاء دائرة قصر (Short Circuit) او دائرة مفتوحة (Open Circuit) او مفاعلة بحيث .

الشكل (4.6) يبين موجات متنقلة للتيار والفولتية في لحظتين متعاقبتين من الزمن الفرق بينهما ربع دورة ومركبتا الموجة لها هيئة جيبية . وعلى أية حال فانهما ينتقلان بعكس الاتجاه بحيث ان كل واحدة تقوي الاخرى عند لحظة بينما يتضاربان وتتحذفان بعد ربع دورة . ان المحصلة الانية للفولتية او التيار هي مجموع المركبات الساقطة والمنكسة كما مبينة بالمنحنيات المقطعة لاحظ بان e^+ و e^- لهما الطور نفسه وان i^+ و i^- متعاكسان بالطور .

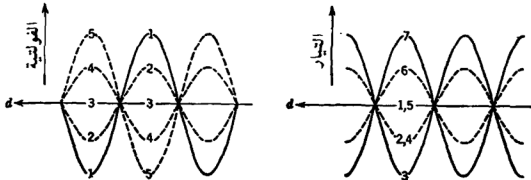


أ . الفولتية الانية والتيار عند لحظة واحدة من الزمن



ب . الفولتية والتيار الانية بعد ربع دورة

شكل 4.6 التيار والفولتية الانية لخط عندما يعطى الحمل انعكاساً تاماً ($|k_R| = 1$) مع اهمال التوهين .

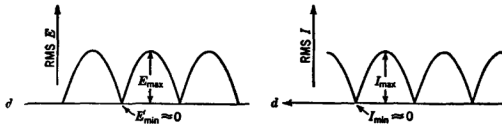


شكل 4.7 المحصلة الانية لقيم الفولتية والتيار مرسومتان للحظات متعاقبة من الزمن ولتسلسل 1 و 2 و 3 ... الخط البياني 1 مطابق للشكل 4.6 أ الخط البياني ٢ للشكل 4.6 ب

الشكل (4.7) يبين بان محصلة الفولتية والتيار مرسومة مع المسافة للحظات متعاقبة من الزمن ، لاحظ بانه عند اية نقطة معينة فان الفولتية والتيار يتغيران جيبياً مع الزمن ولكن اتساع التذبذب مختلف عند النقاط المختلفة على الخط هذا اضافة الى ان هنالك نقاط تتباعد بنصف طول الموجة التي عندها (في هذه الحالة القصوى) الفولتية صفر دائماً (باهمال الفقد) . هذه النقاط تسمى نقاط التقاء (Nodes) الموجات المتوقفة كما تسمى نقاط اعلى تذبذب ببطون الموجة (Antinodes) والنموذج بين نقطتي التقاء تسمى بالدائرة (Loop) والدائرتان المتجاورتان في هذه الموجة المتوقفة القصوى تكونان مختلفين بالطور بـ 180° ، في اية نقطة على الخط تبين مقارنة الاعداد على الرسوم البيانية بان التيار والفولتية متعامدان بالزمن (Time Quadrature) وهذا يتطابق مع توقعاتنا لممانعة مفاعلة مرادفة مع سريان معدل قدرة (Avarage Power) مقداره صفر .

الشكل 4.8 يبين ان فولتية والتيار ج . م . ت مرسومتان مع المسافة لحالة انعكاس تام والفولتية في اية نقطة تتذبذب جيبياً مع الزمن وعليه فان قيمة ج . م . ت تساوي السعة في تلك النقطة (كما مبين بالشكل 4.7) مقسوماً على $\sqrt{2}$ وعند حدوث انعكاس تام فان ج . م . ت لنموذج الموجة المتوقفة تحتوي على دارات جيبيية متعاقبية مع فولتية نقاط الالتقاء واقعة عند تيار بطون الموجة والتيار الالتقاء مع فولتية بطون الموجات .

ان طريقة ايجاد نماذج الموجات المتوقفة بواسطة القيم الآنية كما مبين في الشكل 4.6 الى 4.8 غير دقيقة وغير متقنة والطريقة العملية الاحسن هي باستعمال المتجهات لتمثيل التيار الساقط والمنعكس وكذلك الفولتية الساقطة والمنعكسة عند اية نقطة على الخط وهذه الطريقة موضحة في الشكل 4.9 . ان اي



شكل 4.8 نماذج الموجات المتوقفة لفولتية والتيار ج . م . ت مرسومة مع المسافة لخط ذي انعكاس تام

طول اختياري يرسم لتمثيل الفولتية الساقطة عند جانب الاستلام E_R^+ وعندها يحسب معامل الانعكاس لجانب الاستلام كالاتي لاحظ المعادلة (4.12) :

$$k_R = \frac{Z_R - Z_0}{Z_R + Z_0}$$

ثم يحسب طول واتجاه E_R^- من العلاقة :

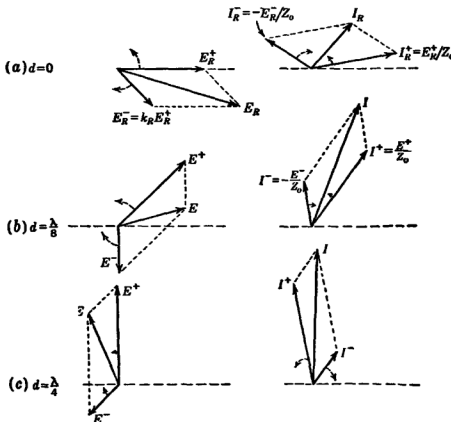
$$E_R^- = k_R E_R^+$$

ويرسم E_R^- بمقياس وتمثل فولتية جانب الاستلام بمجموع المتجهين $E_R^+ + E_R^-$ (عادةً بمقياس غير معروف بالطبع) والتركيب مبين في الشكل (4.9) للحالة الخاصة ، $k_R = 0.6 / -45^\circ$ الذي يمثل حملاً له مقاومة وسعة

$$Z_R = (1.25 - j1.66)Z_0$$

من الممكن رسم مركبتي التيار الساقط والمنعكس لجهة الاستلام بصورة مشابهة ومن المعادلة (4.5) :

$$I^+ = \frac{E^+}{Z_0}$$



شكل 4.9 رسم بياني لمتجهات الفولتية والتيار عند ثلاثة مواقع مختلفة على خط نقل ومروسة ل $k_R = 0.6 / -45^\circ$ واخذت زاوية Z_0 مساوية لـ 10° . ان الاسهم المنحنية تبين الاتجاهات التي تجعل المتجهات تتراح بالطور كلما ازدادت d

وعليه فان الزاوية بين E_z^+ و I_z^+ يجب ان تكون زاوية الممانعة المميزة Z_0 . في الشكل (4.9) رسمت الزاوية عند 10° والتيار يسبق (Leading) . غالباً من الملائم اختيار طول I_z^+ مساوٍ لطول E_z^+ . ومن الممكن ايجاد مركبة التيار المنعكس من العلاقة (4.6) التي كانت :

$$I^- = - \frac{E^-}{Z_0}$$

ان مجموع المتجهين $I_z^+ + I_z^-$ يمثل تيار جانب الاستلام كما هو مبين بالرسوم التوضيحية .

من الممكن ايجاد الفولتية النسبية والتيار النسبي عند اية نقطة على الخط وكلما ازدادت المسافة من جهة الاستلام كلما ازيح المتجهان المنعكسان E^- و I^- باتجاه متخلف (Lagging) وبزاوية مساوية لـ 360° لكل طول موجي وبالإضافة الى ذلك فانهما يتوهنان بالاتساع وبعامل مقداره $e^{-\alpha z}$ وبالعكس فان المتجهين الساقطين E^+ و I^+ يزاخان باتجاه متقدم (Leading) كلما ازدادت المسافة من جهة الارسال وكذلك يكبر اتساعهما بالعامل $e^{+\alpha z}$ وفي اية نقطة فان المتجهين الممثلين لفولتية الخط الحقيقي وتياره هما :

$$E = E^+ + E^-$$

و

$$I = I^+ + I^-$$

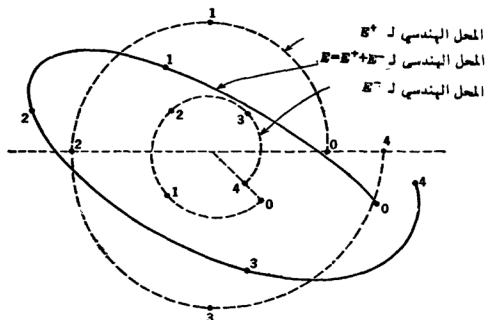
ان التركيب موضح في الشكل (4.9) لـ $d = \lambda/8$ و $d = \lambda/4$ وبافتراض توهين مقداره 0.4 نبيهر لكل طول موجي او 3.47 ديسبل لكل طول موجي . وهذا يمكن ان يمثل خط هاتف مفتوح السلك ويشغل عند تردد مساوٍ لعدة آلاف من الهرتز .

ان المحلات الهندسية E^+ و E^- و I^+ موضحة في الشكل (4.10) لطول موجي واحد من الخط الموضح سابقاً والشكل (4.11) يبين نماذج الموجات المتوقفة للفولتية والتيار لعدة اطوال موجية ومن الممكن ان نرى ان التوهين بالموجات المتنقلة ينهي تأثير التداخل كلما ازدادت المسافة من الحمل وعند مسافة كافية فان الفولتية المنعكسة تهمل وان تغير الفولتية والتيار على طول الخط هما في جوهرهما أسيان كما في حالة خط بدون انعكاس .

من الممكن ايجاد سعة ممانعة الخط وزاويتها عند اية نقطة من الرسوم البيانية للمتجهان للشكل (4.9) وطالما ان E و I مرسومان بعلاقتيهما

الطورية الصحيحة فان الزاوية بينهما هي زاوية ممانعة الخط ، واذا جعل الطولان الممثلان لـ E_z^+ و I_z^+ متساويين في البداية فعندها يمكن ايجاد سعة ممانعة الخط من العلاقة :

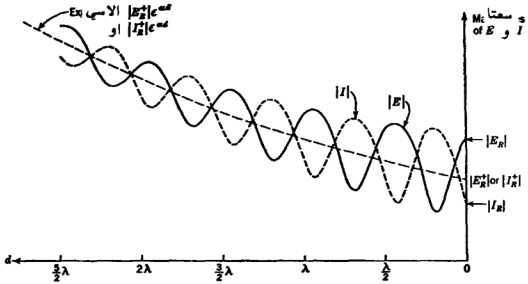
$$|Z| = \frac{\text{طول يمثل } E}{\text{طول يمثل } I} \times |Z_0| \quad (4.45)$$



شكل 4.10 رسم قطبي يبين المحلات الهندسية E^+ و E^- ولفولتية الخط على امتداد طول الموجة واحد ، ان الاعداد تبين عدد الارباع الموجية من الحمل ، مرسومة $k\lambda = 0.6$ (-45°) ولتوهين مقداره 0.4 نبيير لكل طول موجة .

والنااتجة من الحقيقة : $E^+ = I^+ Z_0$ و $E^- = -I^- Z_0$ (راجع المسألة 10) بالرجوع الى الشكل (4.9) فان المتجه I_z يرى في هذه الحالة اصغر من E_z ويسبقه بالطور ، وعليه فان Z_z هي سعوية (Capacitive) وسعتها اكبر من Z_0 وهذا بالطبع يتطابق مع افتراض ممانعة الحمل : $Z_z = (1.25 - j1.66)Z_0$ والرسوم البيانية لـ $d = \lambda/8$ و $\lambda/4$ تبين أن الممانعة تصبح اقل من $|Z_0|$ وتتحول حثية :

رسوم بيانية اخرى ستبين ان الممانعة تزداد مرة اخرى لتصبح سعوية ومتكررة دورياً . ان التغير في ممانعة الخط مبين في الشكل (4.12) لبيانات المثال السابق وهذا التغير نموذجي (Typical) لتأثير التداخل على كل خطوط النقل وبسبب التوهين فان ممانعة الخط تقترب من Z_0 عند مسافة كافية من الحمل .

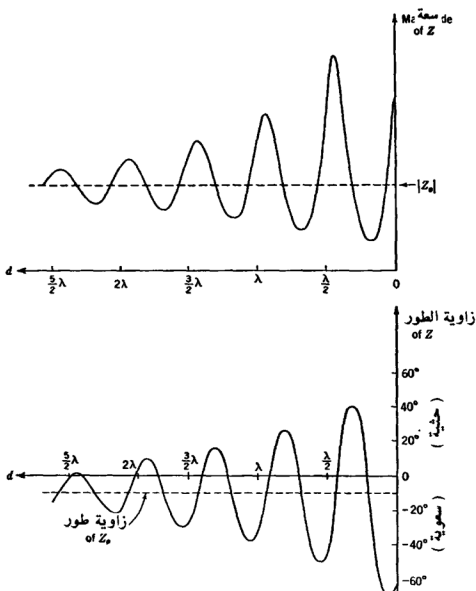


شكل 4.11 اتساعاً E و I كدالتين للمسافة من الحمل وهما يطابقان الشكلين 4.9 و 4.10

4.6. رسم كرانك البياني : The Crank Diagram.

في حالة خط قليل الفقد بالامكان ايجاد نماذج الموجات المتوقفة للفولتية او التيار على طول الخط بسهولة وذلك باستعمال الرسم البياني لكرانك الموضح في الشكل 4.13 وهذا الرسم البياني يتطابق مع الرسوم البيانية للمتجهات المبينة في الشكل (4.9) ماعدا اختلافين : (1) الرسم البياني لكرانك اكثر فائدة عندما $ad \ll 1$ وفي هذه الحالة فان المتجهات لاتتغير كثيراً بالطول . و (2) في الرسم البياني لكرانك المتجه الساقط يبقى اختيارياً ثابتاً ولكي يحافظ على الموضع النسبي الصحيح للطورين E^+ و E^- المتجه الساقط يجب ان يدور مرتين بقدر الزاوية βd .

لعمل الرسم البياني فان خطاً افقياً ذا طول اختياري يجب ان يرسم اولاً ليمثل متجه الفولتية الساقطة E^+ ثم يحسب معامل انعكاس الفولتية لجانب الاستلام ويرسم المتجه $E_R^- = k_R E_R^+$ من نهاية E^+ . ان مجموع الكميتين المتجهتين $E^+ + E_R^-$ يمثل فولتية جانب الاستلام E_R . ولايجاد الفولتية عند المسافة d من جانب الاستلام فان المتجه E^- يدور وباتجاه عقرب الساعة وبزاوية مقدارها $2\beta d$ وان المجموع الجديد للكميتين المتجهتين $E^+ + E^-$ يمثل بصورة صحيحة السعة النسبية للفولتية عند تلك النقطة وان المتجه الذي يمثل فولتية جانب الارسل يحصل عليه بجعل $d = l$ واذا كان اتساع E_0 كمية معروفة فان هذا سيثبت مقياس الفولتية للرسم البياني الداخلي .



شكل 4.12 اتساع وطور زاوية ممانعة خط المطابقين للشكلين 4.9 و 4.11

الممانعة المميزة لخط قليل الفقد قريبة جداً من مقاومة بحتة وعليه فإن I^+ له طور E^+ نفسه و I^- هو مختل الطور بـ 180° مع E^- . وهذا يؤدي الى الرسم البياني للشكل 4.13 ب الذي يمثل التيار وكذلك الفولتية. ان طولي I^+ و I^- جملاً مساويين لطولي E^+ و E^- على التوالي بحيث ان المعادلة (4.45) لممانعة الخط تطبق وكلما زادت المسافة من الحمل فإن « الكرانك » يدور مرة لكل نصف طول موجي والمتجهات المرسومة من نقطة الأصل الى الجانبين المتقابلين للقطر الدائر تمثل على التوالي تياراً وفولتية ج. م. ت على الخط ومن الممكن ايجاد اتساع وزاوية الخط بواسطة المعادلة (4.45) ومن الممكن أيضاً (بالطبع) قياسها من الرسم البياني بواسطة المنقلة .

$$Z_{s(o)} = Z_0 \tanh \gamma l \quad (4.47)$$

ومع النهاية البعيدة مفتوحة :

$$Z_{s(o)} = \frac{Z_0}{\tanh \gamma l} \quad (4.48)$$

ان ملاحظة المعادلتين السابقتين تبين أن من الممكن حساب Z_0 من قياسات دائرة القصر والفتح باستعمال العلاقة :

$$Z_0 = \sqrt{Z_{s(o)} Z_{o(o)}} \quad (4.49)$$

ان طول الخط لا يؤدي الى اي اختلاف نظري وعلى اية حال فانها لا تؤدي الى اختلاف عملي في القياسات المنفردة لـ $Z_{s(o)}$ و $Z_{o(o)}$ وخاصة عندما يكون التوهين الاجمالي صغيراً ولدراسة هذا خذ حالة لتوهين مهمل ، حيث ان $\alpha = 0$ ثم باستعمال (4.37) عندما $\frac{\sinh \gamma l}{\cosh \gamma l} = j \sin \beta l$ و $\frac{1}{\cosh \gamma l} = \cos \beta l$ وعليه $\tanh \gamma l = j \tan \beta l$ ، ان ممانعتي دائرتي القصر والفتح هما الآن مفاعلتان :

$$Z_{s(o)} \approx j Z_0 \tan \beta l \quad (4.50)$$

$$Z_{o(o)} \approx \frac{-j Z_0}{\tan \beta l} \quad (4.51)$$

واذا كان طول الخط عدد فردي من الارباع الموجبة تقريباً فان الزاوية ستكون عدداً فردياً من الاعداد الصحيحة تقريباً مضروباً في $\pi / 2$ من الزاوية نصف القطرية ثم $Z_{s(o)}$ من دائرة مفتوحة و $Z_{o(o)}$ ستقترب من دائرة قصر وهذا يجعل القياسات الدقيقة صعبة ومن جهة اخرى فاذا كان طول الخط عدداً زوجياً من الارباع الموجبة تقريباً فان $Z_{s(o)}$ ستكون كبيرة جداً وستكون $Z_{o(o)}$ صغيرة وانه من الملائم ان يكون اتساعا الممانعتين بالرتبة نفسها وعندما يكون اختيار طول الخط حسب الرغبة ممكناً فاننا سنرتب بحيث يكون $\tan \beta l \approx 1$ مساوياً تقريباً لـ $1/\tan \beta l$. وهذا يحدث عندما يكون طول الخط عدداً فردياً من الاثمان الموجبة واذا كان التوهين الاجمالي عالياً فان تغير الممانعة مع طول الخط لا يكون كبيراً وانه من غير الضروري اختيار الطول بعناية .

اذا قسمنا المعادلة (4.47) على المعادلة (4.48) فنحصل على تعبير ثابت الانتشار :

$$\tanh \gamma l = \sqrt{\frac{Z_{s(o)}}{Z_{o(o)}}} \quad (4.52)$$

$$\alpha l + j \beta l = \tanh^{-1} \sqrt{\frac{Z_{s(o)}}{Z_{o(o)}}} \quad (4.53)$$

هنالك عدة طرق مكافئة لحساب γl من المعادلة (4.53) واسهل طريقة هي استعمال المتطابقة :

$$\tanh^{-1} u = \frac{1}{2} \log_e \frac{1+u}{1-u} \quad (4.54)$$

ثم نستخدم التعبير الآتي للوغاريتم العدد المركب :

$$\log_e A/\theta = \log_e A + j(\theta + n2\pi) \quad (4.55)$$

حيث ان A هو اتساع العدد المركب و θ زاويته و n اي عدد صحيح وبما ان الجزء الخيالي للتعبير الأخير له مالا نهاية من القيم فسنظل في شك في اختيار أية قيمة لـ βl ومن الممكن تسوية هذه القضية فقط اذا كان لدينا معلومات اضافية ، كمثال اذا استطعنا ان نخمن بصورة تقريبية قيمة سرعة الانتشار فاننا نستطيع تخمين β ومن ثم اختيار القيمة الصحيحة .

لقد وجد بأن الطريقة السابقة لايجاد γl سوف لا تنتج عنها نتائج مضبوطة عندما يكون الفقد الاجمالي للخط كبيراً بحيث ان كل من $Z_{s(o)}$ و $Z_{e(o)}$ هما تقريباً مساويان لـ Z_0 .

من الممكن ايجاد الثوابت R و L و G و C بتطبيق قياسات ممانعة الدائرة المفتوحة ودائرة القصر على مقطع من الخط اقصر جداً من ربع طول الموجة ولـ $1 \ll \gamma l$ عندنا $\tanh \gamma l = \gamma l$ وباستعمال (4.47) لممانعة جانب الارسال ومع دائرة قصر للجانب البعيد سنحصل لطول قصير من الخط على :

$$Z_{s(o)} = Z_0 \gamma l = \sqrt{\frac{Z}{Y}} \sqrt{ZY} l$$

$$Z_{s(o)} = Zl = (R + j\omega L)l \quad (4.56)$$

هذه النتيجة هي التي توقعناها لدائرة سلك قصير جداً بحيث ان نظرية الدائرة الصغيرة (Small Circuit Theory) تطبق .

وبطريقة مشابهة وباستعمال (4.48) لممانعة الدائرة المفتوحة سنحصل لطول قصير على مايلي :

$$\frac{1}{Z_{e(o)}} = Yl = (G + j\omega C)l \quad (4.57)$$

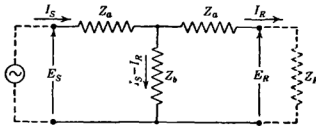
ومرة اخرى فان هذه النتيجة هي التي توقعناها من نظرية الدائرة الصغيرة حيث عندنا هنا سلكان قصيران جداً بالنسبة الى ربع طول الموجة ومتباعدين بوساط عازل ان التأثير هو كتأثير متسعة (Condenser) لها بعض التسرب .

4.8 الشبكات الرباعية الاطراف المكافئة :

Equivalent Four-terminal Networks

من المناسب في بعض الاحيان وجود دائرة مكافئة ذات ثابت مكتل التي تشابه الخواص الطرفية لخط عند تردد معين وعندما يكون الخط طويلاً كهربائياً فان قيم العناصر في الدائرة المكافئة تتغير بسرعة مع التردد وعليه فان دائرة كهذه تكون مفيدة غالباً عند اعتبار الحالة المستقرة لتردد واحد. ان خط النقل اساساً هو شبكة رباعية الاطراف وفي الامكان ولاغلب التطبيقات تسميتها بدقة اكثر بـ « زوج ثنائي الطرف » (Two Terminal Pair) حيث ان طرفين من الاطراف صمما كطرفي ادخال والاخران كطرفي اخراج ولا يوجد اتصال خارجي بين النهايتين .

لشروط الحالة المستقرة عند تردد واحد سنبرهن انه من الممكن تمثيل خط النقل اما الزوج ثنائي الطرف اما بشكل T أو π



شكل 4.14 شبكة رباعية الاطراف مربوطة كشكل التي تكون مكافئة لخط نقل في الحالة المستقرة عند تردد واحد .

يبين الشكل (4.14) زوجاً ثنائي الطرف مربوط على شكل T خواصه الطرفية (اذا كان ممكناً) مساوية لخواص خط نقل معين . وحيث انه من الممكن تبديل نهايتي خط نقل منتظم بدون التأثير على النتائج فاننا نتوقع بان الشبكة ستكون متناظرة وبان ذراعي التوالي سيكون لهما ممانعتان متساويتان وسنضع الان معادلات زوج ثنائي الطرف وسنبرهن بانه من الممكن ان تكون هذه المعادلات مكافئة لمعادلات خط النقل المنتظم . ان ازاحة الطور خلال الشبكة ستكون الازاحة بالطور الناتجة من موجة متنقلة على خط نقل نفسها وان التوهين في الخط سيمثل بالفقد في الشبكة .

اذا كتبنا معادلة الفولتية حول كل شبكتين (Two Meshes) في الدائرة المكافئة سنحصل على :

$$(Z_a + Z_b)I_s - Z_b I_R = E_s \quad (4.58)$$

$$-Z_0 I_s + (Z_s + Z_0) I_R = -E_R \quad (4.59)$$

وللحصول على المعادلة المطابقة لخط النقل استعمال المعادلة (4.39) مع $x = l$ والمعادلة (4.41) مع $d = l$ لكي نحصل على :

$$I_s = I_R \cosh \gamma l - \frac{E_R}{Z_0} \sinh \gamma l \quad (4.60)$$

$$I_s = I_R \cosh \gamma l + \frac{E_R}{Z_0} \sinh \gamma l \quad (4.61)$$

ومن الممكن اعادة ترتيب هاتين المعادلتين بهيئة (4.58) و (4.59) مباشرة والنتيجة هي :

$$(Z_0 \coth \gamma l) I_s - \left(\frac{Z_0}{\sinh \gamma l} \right) I_R = E_s \quad (4.62)$$

$$-\left(\frac{Z_0}{\sinh \gamma l} \right) I_s + (Z_0 \coth \gamma l) I_R = -E_R \quad (4.63)$$

وبالمقارنة مع المعادلتين (4.58) و (4.59) سنحصل على :

$$Z_0 = \frac{Z_0}{\sinh \gamma l} \quad (4.64)$$

$$Z_s + Z_0 = Z_0 \coth \gamma l \quad (4.65)$$

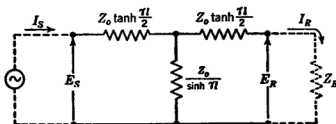
ويحذف Z_0 من المعادلتين (4.64) و (4.65) واستعمال المتطابقة $(\cosh z - 1)/\sinh z = \tanh z/2$ نجد ان :

$$Z_s = Z_0 \tanh \frac{\gamma l}{2} \quad (4.66)$$

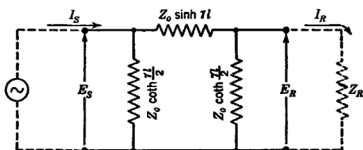
وبالرجوع الى الشكل (4.14) واستعمال المعادلتين (4.64) و (4.66) نحصل على الدائرة المكافئة في الشكل (4.15) ويجب التأكيد مرة اخرى على ان الشبكة المعطاة مكافئة لخط النقل الحقيقي عند تردد واحد فقط حيث ان التغير بالتردد سيبدل قيمة γ تتغير ايضا Z_0 نوعاً ما .

الزوج الثنائي الطرف المطابق والمربوط بشكل π من الشبكة المربوطة على شكل T وذلك باستعمال تحويلتي $T-\pi$ او $Y-\Delta$ المعروفين جيداً وان النتيجة مبينة في الشكل 4.16 .

من المرغوب فيه رسم دائرة مكافئة تقريبية لخط نقل أقصر جداً من ربع طول الموجة (عندما $\gamma l \ll 1$)، عليه في المعادلة 4.64 نستطيع كتابة $\sinh \gamma l \approx \gamma l$ وفي المعادلة (4.66) عندنا بطريقة مشابهة $\tanh \gamma l/2 \approx \gamma l/2$ والتذكير بأن $Z_0 = \sqrt{(R + j\omega L)/(G + j\omega C)}$ و $\gamma = \sqrt{(R + j\omega L)(G + j\omega C)}$ نستطيع كتابة ما يأتي:



شكل 4.15 شبكة T المكافئة.



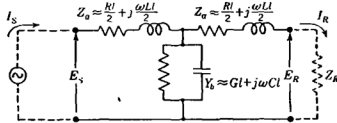
شكل 4.16 هيئة π لشبكة مكافئة.

$$Z_a \approx \frac{(R + j\omega L)l}{2} \quad (4.67)$$

$$Y_b = \frac{1}{Z_b} \approx (G + j\omega C)l \quad (4.68)$$

ان الدائرة المكافئة المطابقة مبينة في الشكل (4.17) وكما نتوقع لخط قصير فان هذه الدائرة مطابقة لمقطع واحد من الخط المكتل (Lumpy Line) والذي بدأنا به في الفصل الاول (قارن شكل 1.3) وان خط قدرة تردده 60 هرتز أقصر جداً من ربع الموجة يمكن تحليله بطريقة مشابهة كما انه من الممكن اعتبار مقطع صغير لخط تردد عالي بالطريقة نفسها وبالإضافة الى انه من الممكن غالباً اهمال الفقد تاركين فقط المحاثة والسعة. في دوائر الممانعة العالية فان تأثير السعة الموازية هو أكثر اهمية ويمكن اهمال المحاثة غالباً وكمثال على هذا ربط مرسمة أشعة المهبط

(Cathod Ray Oscilloscope) بمضخم خلال مقطع قابلو محوري ففي هذه الحالة المتسعة الموازية للقابلو قد تحمل الدائرة عند ترددات اعلى وفي دوائر الممانعة الواطئة جداً يكون تأثير المتسعة الموازية مهمل ويصبح وهبوط الفولتية (Voltage Drop) عبر المحاثة مهماً .



شكل 4.17 دائرة مكافئة تقريبية لخط القصر من ربع طول الموجة بكثير .

4.9 نسبة الادخال وفقد الادخال :

Insertion Ratio and Insertion Loss.

الكميتان المسميتان نسبة الادخال وفقد الادخال تستعملان لوصف تأثير ادخال شبكة رباعية (قد يكون خط نقل) بين المولد والحمل ، كمقارنة مع الربط المباشر بين الاثنتين . اعتبر الشكل 4-18 أ الذي له ، مع ادخال شبكة رباعية الاطراف ، فولتية جانب الاستلام E_R وفي الجانب الآخر اذا استعمل ربط مباشر بين المولد والحمل كما في الشكل 4-18 ب ففولتية جانب الاستلام ستكون E_R' وعندها تُعرف :

$$\frac{E_R'}{E_R} = \text{نسبة فولتية الادخال} \quad (4.69)$$

وطالما اننا نعتبر فولتيتين عبر نفس الممانعة فان نسبة الادخال للتيار يجب ان تكون نفسها للفولتية ونسبة الادخال للقدرة (في بعض الاحيان تدعى نسبة فقد القدرة (Power Loss Ratio) ستكون مساوية لمربع الاتساع للمعادلة (4.69) . ان مصطلح فقد الادخال يرمز لاتساع تأثير الادخال كما يعبر عنه بنسبة او ديسبل اي ان :

$$\log_e \left| \frac{E_R'}{E_R} \right| = \text{فقد الادخال} \quad (4.70)$$

$$\text{فقد الادخال} = 20 \log_{10} \left| \frac{E_R'}{E_R} \right| \quad \text{ديسبل}$$

وبالرجوع الى الشكل (4-18 ب) فان فولتية الحمل مع ربط مباشر هو :

$$E_R' = \frac{Z_R}{Z_R + Z_0} E_s \quad (4.71)$$

من الممكن الحصول على فولتية جانب الاستلام لخط نقل منتظم من المعادلة

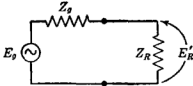
$$(4.24) \text{ مع } d = 0, \text{ ان النتيجة هي :}$$

$$E_R = \frac{E_0 Z_0 \epsilon^{-\gamma l} (1 + k_R)}{(Z_0 + Z_g)(1 - k_R k_g \epsilon^{-2\gamma l})} \quad (4.72)$$

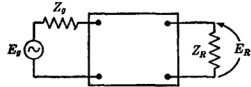
حيث ان :

$$k_R = \frac{Z_R - Z_0}{Z_R + Z_0} \quad (4.73)$$

$$k_g = \frac{Z_g - Z_0}{Z_g + Z_0} \quad (4.74)$$



(ب) مع ربط مباشر .



(أ) شبكة رباعية الاطراف مدخلة بين مولد وحمل

شكل 4.18 توضيح المعنى لنسبة فولتية الادخال E'_R/E_R

بقسمة (4-71) على (4-72) نحصل على نسبة فولتية الادخال لخط نقل منتظم :

$$\frac{E'_R}{E_R} = \epsilon^{\gamma l} \left[\frac{Z_R(Z_0 + Z_g)}{Z_g(Z_R + Z_0)(1 + k_R)} \right] (1 - k_R k_g \epsilon^{-2\gamma l}) \quad (4.75)$$

من الممكن تبسيط العامل الوسطي من هذا التعبير وذلك بالتعبير عن Z_R و Z_g بدلالة k_R و k_g على التوالي وبحل المعادلة (4-73) والمعادلة

$$Z_R = \frac{1 + k_R}{1 - k_R} Z_0 \quad (4-74) \quad \text{نحصل على :}$$

و

$$Z_g = \frac{1 + k_g}{1 - k_g} Z_0$$

وبتعويض هذه العلاقات فان العامل الوسطي للمعادلة (4-75) يتبسط الى $1/(1 - k_R k_g)$ وبالمقابل فانه من الممكن كتابة نسبة الادخال كالآتي :

$$\frac{E'_R}{E_R} = \epsilon^{\gamma l} \left(\frac{1}{1 - k_R k_g} \right) (1 - k_R k_g \epsilon^{-2\gamma l}) \quad (4.76)$$

ان العامل الاخير سيكون واحداً تقريباً لخط طويل كثير الفقد هذا بالإضافة الى انه اذا كان كل من $Z_R = Z_0$ او $Z_g = Z_0$ ، فان العاملين الآخرين كليهما يختصران الى واحد ونسبة فقد الادخال تصبح $\epsilon^{\alpha l} \epsilon^{\beta l} = \epsilon^{\gamma l}$ اي ان : له اتساع α ، وزاوية طور βl من الزوايا النصف قطرية .

ان اتساع (4-76) هو :

$$\left| \frac{E'_R}{E_R} \right| = \epsilon^{\alpha l} \left| \frac{1 - k_R k_g \epsilon^{-2\gamma l}}{1 - k_R k_g} \right| \quad (4.77)$$

ان فقد الادخال هو لوغاريتم (4.77) وبالنسبة يكون :

$$(4.78) \text{ نيدر } |1 - k_R k_o e^{-\alpha l}| + \log_e |1 - k_R k_o e^{-\alpha l}| + \log_e |1 - k_R k_o e^{-\alpha l}| = \alpha l - \log_e |1 - k_R k_o| + \log_e |1 - k_R k_o| + \log_e |1 - k_R k_o|$$

والتعبير المطابق بالديسيل هو :

$$(4.74) \text{ ديسبل } |1 - k_R k_o e^{-\alpha l}| + 20 \log_{10} |1 - k_R k_o| + 20 \log_{10} |1 - k_R k_o| = 8.686 \alpha l - 20 \log_{10} |1 - k_R k_o| + 20 \log_{10} |1 - k_R k_o|$$

فقد الادخال

أن الحد الاخير هو صفر تقريبا لخط طويل كثير الفقد واذا كانت $Z_i = Z_o$ او

$Z_o = Z_o$ يبقى الحد الاول فقط يصبح فقد الادخال ببساطة نيدر او 8.686 ديسبل .

مسائل

1. خط هاتف مفتوح نسلك له $Z_0 = 717 - j139$ أوم و $\gamma = 0.00718 + j0.0358$ لكل ميل عند التردد 1,000 هرتز. طول الخط 100 ميل ومنتبه $Z_L = 2,000 + j0$ أوم .
أ. احسب القيم المركبة لـ V_1 و I_1
ب. احسب الممانعة الانتقالية $Z_{in} = R_{in} + jX_{in}$
ج. إذا كانت $B_0 = 10.0/\underline{0^\circ}$ فولت ج. م. ت. اوجد اتساع وطور I_2 .
2. احسب ممانعة جانب الارسال للخط المذكور في السؤال 1 واوجد اتساع تيار جانب الارسال وقدرة جانب الارسال.
3. خط هاتف مفتوح السلك له $Z_0 = 649 - j82.9$ أوم و $\gamma = 0.0353 + j0.0539$ لكل ميل عند التردد 1000 هرتز. الخط مساق بمولد له $B_0 = 10.0$ فولت ج. م. ت. و $Z_L = Z_0$ ومنتبه بدائرة مفتوحة تبعد 125 ميلاً من جانب الارسال. احسب اتساع الفولتية عند جانب الاستلام.
4. من التعاريف الاسية للدالات الزائدية احسب قيم $\sinh 0.6$ و $\cosh 0.6$ و $\tanh 0.6$.
5. برهن على ان $\cosh^2 z - \sinh^2 z = 1$
6. من التعاريف الاسية للدالات الزائدية برهن على ان :
 $\sinh(x+y) = \sinh x \cosh y + \cosh x \sinh y$ and that $\cosh(x+y) = \cosh x \cosh y + \sinh x \sinh y$.
7. بين من التعاريف الاسية ان $\tanh j b = j \tan b$.
8. برهن المعادلتين (4.40) و (4.41) من المعادلتين (4.9) و (4.10) .
خط طوله 100 ميل له $Z_0 = 717 - j139$ أوم و $\gamma = 0.00718 + j0.0358$ لكل ميل عند التردد 1000 هرتز .
أ - احسب $\sinh \gamma l$ و $\cosh \gamma l$ و $\tanh \gamma l$.
ب. احسب ممانعة جانب الارسال عند فتح جانب الاستلام .
ج. احسب ممانعة جانب الارسال عند قصر دائرة الاستلام .

10. افرض في رسم بياني مشابه للشكل 4.9 ان طول اي متجه فولتية يرمز له ب l_r وطول متجه التيار المطابق ب l_t وارمز لعوامل القياس (Scale Factor) للرسم البياني ب $S_r =$ مقياس فولتية بفولت لكل وحدة طول و $S_t =$ مقياس تيار بامبير لكل وحدة طول :

$$\text{برهن على انه اذا كان } l_r^+ = l_t^+ \text{ فان } S_r/S_t = |Z_0| \quad \text{فان } |Z| = (l_r/l_t) |Z_0|$$

11. خط نقل له $-11.8^\circ / 690 \text{ } Z_0 =$ اوم و $0.0351 + j 0.0075 = \gamma$ لكل ميل عند 1000 هرتز والخط منتهٍ بدائرة قصر عند جانب الاستلام .

أ . ارسم رسماً بيانياً اتجاهي vector diagrams مشابهاً للشكل 4.9 وللمسافات الآتية من جانب الاستلام : $d = 0$ و $d = 65$ ميل .
 ب . اذا كان اتساع تيار جانب الاستلام هو 5.0×10^{-2} امبير جد مقياس الفولتية والتيار للرسم البياني بالفولت لكل انج والامبير لكل انج على التوالي .

ح . من الرسم البياني جد كلاً من اتساع وزاوية طور الممانعة عند $d = 65$ ميل وجد فولتية وتيار الخط عند هذا الموقع .

12. خط نقل تردد عالٍ له $Z_0 = 400 + j 0$ اوم و $Z_R = 150 - j 200$ اوم وطوله $8 / 11$ طول موجة وفولتية جانب الارسل هي 100 فولت جـ . م . ت اھمل الفقد :

أ . احسب معامل الانعكاس المركب عند جانب الاستلام
 ب . ارسم رسم كرانك البياني للخط وأشر النقاط التي تمثل الفولتية والتيار عند نهايتي الخط وجد مقياس الفولتية والتيار بالفولت لكل سم والامبير لكل سم على التوالي .
 جـ . باستعمال رسم كرانك البياني ارسم نماذج الموجات المتوقفة للفولتية والتيار على طول الخط وجد اتساعاً تيار وفولتية جانب الاستلام .

13. خط تردد عالي، قليل الفقد له $Z_0 = 400 + j 0$ اوم انھي ب $Z_R = -j 400$ اوم، ارسم كرانك البياني لهذا الخط وجد ممانعة الخط عند المسافات التالية من جانب الاستلام :

$$\lambda/2, d = \lambda/16, \lambda/8, 3\lambda/16, \lambda/4, 3\lambda/8$$

14 . خط قليل الفقد له $Z_0 = 400 + j 0$ اوم يشتغل عند طول موجة مقدارها

3 امتار ، باستعمال رسم كرانك البياني خطط نماذج الموجات المتوقعة

للفولتية والتيار على مسافة 3 أمتار من جانب الاستلام للشرطين التاليين :

أ . جانب استلام دائرة قصر ، $|I_R| = 1.0$ امبير ج . م . ت

ب . جانب استلام مفتوح الدائرة ، $|E_R| = 400$ فولت ج . م . ت

15 . برهن المعادلة (4.46) التي تعطي تغير $|E|^2$ على طول خط قليل الفقد .

16 . احسب اتساع معامل الانعكاس وزاويته لكل من ممانعات جانب الاستلام الانية

وأشر النقاط على صفحة ذات احداثيات قطبية :

Z_0 ، $3 Z_0$ ، $Z_0 / 3$ ، $Z_R = 0$ ، وغير نهائية وكذلك $-j2Z_0$ ،

jZ_0 ، $Z_R = -jZ_0$ و $2Z_0$.

17 . قيس الممانعات الآتية عند جانب الارسل لخط هاتف مفتوح السلك طوله

70 ميل :

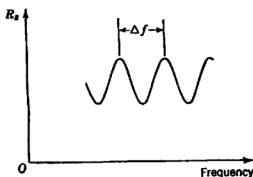
(أ) مع جانب الاستلام دائرة قصر كانت ممانعة جانب الارسل $469 / -66.9^\circ$ اوم

عند تردد 1000 هرتز .

(ب) ومع جانب الاستلام مفتوح الدائرة كانت ممانعة جانب الارسل

$681 / 55.1^\circ$ اوم عند تردد 1000 هرتز . استخراج الممانعة المميزة للخط وكذلك

ثابتي التوهين والطور لكل ميل .



شكل P 18 تأثير عدم الانتظام

18. إذا كان هنالك عدم انتظام (Irregularity) على خط نقل فان ممانعة المدخل للخط ستتماوج الى الاعلى والأسفل كلما ازداد التردد يبين الشكل 18. P خطأ بيانياً نموذجياً (Typical Graph) للمركبة المقاومة لممانعة المدخل برهن على ان المسافة الى نقطة عدم الانتظام هي :

$$x = \frac{v}{2\Delta f}$$

حيث ان v هي سرعة الطور و Δf هو التردد بالهرتز بين ذروقتين متجاورتين للممانعة .

19. ابتدء بالشبكة T المكافئة في الشكل 4.15 وباستعمال تحويل Δ برهن على ان شبكة π في الشكل (4.16) هي تكافؤ صحيح (صيغ التحويل موجودة في الجزء 10.9) . لاحظ المتطابقات الزائدية الآتية :

$$\tanh \frac{z}{2} = \frac{\sinh z}{\cosh z + 1} = \frac{\cosh z - 1}{\sinh z}$$

20. اوجد شبكة T المكافئة عند التردد 1,000 هرتز . لخط النقل المحددة ثوابته في مثال الجزء (4.4) باستعمال هذه الدائرة المكافئة ، احسب ممانعة المدخل للخط يكون جانب الاستلام دائرة مفتوحة ثم جد اتساع الفولتية عبر الجانِب المفتوح اذا كانت فولتية جانب الارسال 4.5 فولت ج . م . ت .

21. اوجد شبكة π المكافئة عند التردد 1,000 هرتز بخط النقل المحددة ثوابته في مثال الجزء 4.4 باستعمال هذه الدائرة المكافئة ، احسب اتساع تيار جانب الاستلام اذا كان جانب الاستلام دائرة قصر وقد سلطت فولتية مقدارها 5 فولت على جانب الارسال .

22. احسب نسبة الادخال وفقد الادخال بالديسيبل لمثال الجزء 4.1 .

23. خط نقل انهي بحيث يكون له انعكاس كلي عند جانب الاستلام .
 $(|E_z^+| = |E_z^-|)$

أ . برهن على ان منحنى الغلاف (Envelop Curves) لنماذج الموجات المتوقفة للفولتية هما ،

$$2|E_z^+| \cosh \alpha z = \text{Upper envelope} \quad \text{الغلاف العلوي}$$

$$2|E_z^+| \sinh \alpha z = \text{Lower envelope} \quad \text{الغلاف السفلي}$$

- حيث أن ϵ هي المسافة مقاسة من جانب الاستلام .
 ب . برهن على أن منحني الغلاف لنماذج الموجات المتوقفة للتيار هما ماثلان للفولتية ماعدا انهما مقسومان على $|Z_0|$.
 ح . اشتق منحني الغلاف لاتساع ممانعة الخط .

- 24 . استعمل نتائج المسألة 23 لتخطيط (Sketch) نماذج الموجات المتوقفة لـ I و B مع d لمسافة 300 ميل من جانب الاستلام ولخط يشتغل تحت الشروط التالية :
 $\alpha = 0.00576$ نيبير لكل ميل ، $\lambda = 90$ ميل ، $|Z_0| = 7.0$ فولت جد .
 م . ت و $|Z_0| = 700$ اوم ومع :
 أ . جانب الاستلام دائرة قصر .
 ب . جانب الاستلام مفتوح الدائرة .

- 25 . مضخم تردد راديوي موالف (Tuned R. F Amplifier) له دائرة متوازية مكونة من LC ، $L = 125$ مايكروهنري وسعة تجعل الدائرة ترن عند 2.0 ميكا هرتز . لاغراض القياس ربط احد طرفي قابلو محوري عبر دائرة الـ LC وربط الطرف الآخر للقابلو بجهاز قياس ممانعة مدخله الفعالة غير نهائية . وفقاً لمواصفات المصنع فان القابلو له ممانعة مميزة مقدارها 52 اوم وسعة 28.5 مايكروفراد لكل قدم وطول القابلو $2\frac{1}{2}$ قدم . ماهي كمية التغير في تردد الرنين للدائرة الناتجة من ربط القابلو ؟

- 26 . خط نقل طوله 75 ميلاً يشتغل على تيار مستمر ثوابته : $R = 86.0$ اوم لكل ميل و $G = 2.5 \times 10^{-6}$ سيمنس لكل ميل وفولتية جانب الارسال 24.0 فولت وجانب الاستلام دائرة قصر ، باستعمال هيئة زائدية لحل الخط ، اوجد ممانعة جانب الارسال والتيار جانب الاستلام .

- 27 . اذا كان خط المسألة 26 مفتوح الدائرة عند جانب الاستلام جد ممانعة جانب الارسال وفولتية جانب الاستلام باستعمال الهيئة الزائدية لحل الخط .

الفصل الخامس خرائط خطوط النقل

TRANSMISSION-LINE CHARTS

5.1 مقدمة :

ان الطالب الذي حسب الخواص لبعض خطوط النقل باستعمال العلاقات المشتقة في الفصل السابق يعرف اهمية القول بان الحسابات تكون نوعاً ما متعبة ، علاوة على ذلك فبعد حساب مجموعة واحدة من الحسابات يلاقى صعوبة في رؤية كيفية تأثير النتائج عند التغير في النظام . وبمحاولة جعل الحسابات اسهل ، فان عدة خرائط ظهرت وبالرغم من ان دقة الحسابات الناتجة من استعمال هذه الخرائط بصورة عامة ليست بدقة استعمال الحاسبة الالكترونية الصغيرة فهي جيدة نوعاً ما لاغراض عديدة ويمكن استعمال هذه الخرائط لخطوط ذات فقد (lossy) ولخطوط عديمة الفقد (lossless) فهي تختصر عدة حسابات تكون صعبة جداً بطرق اخرى .

تم عمل اوائل الجداول المحضرة لمسائل خطوط النقل من قبل A. E. Kennely (راجع الملاحظة على صفحة 106) ، هذه الخرائط تعطي القيم للدوال الهندسية الدائرية والزائدية المقطع على مدى الازاحات الزاوية (Arguments) المركبة واستعملت في الحلول الزائدية المقطع في المعدلات (4.38) و (4.44) ، الا ان هذه الخرائط كانت كبيرة ولا تطبع الان تلك الخرائط والجداول .

في الفقرة الثانية سوف نطور نوعين من الخرائط البسيطة المستعملة والتي تكون متوفرة عموماً .

5.2 معامل الانعكاس وممانعة الخط :

The Reflection Coefficient and the Line Impedance

في المعادلة (4.11) عرفنا معامل الانعكاس لأية نقطة على خط نقل بأنه النسبة بين حالة الاستقرار للفتولية المنعكسة والفتولية الساقطة على تلك النقطة :

$$k = \frac{E^-}{E^+} \quad (5.1)$$

هذه النسبة تتحدد كلياً بواسطة الحمل والخط ، وفي نقطة الاستلام تعطى بالرقم المركب :

$$k_R = \frac{Z_R - Z_0}{Z_R + Z_0} \quad (5.2)$$

وكما برهن في المعادلة (4.13) فإن التغير في النسبة على الخط هو :

$$k = k_R e^{-2\gamma d} = k_R e^{-2\alpha d} e^{-2j\beta d} \quad (5.3)$$

حيث أن d هي المسافة من جانب الاستلام ، وإذا رمزنا للاتساعات بـ K وزوايا الطور بـ θ فإنه يمكن كتابة الكمية k_R كالآتي :

$$k_R = K_R e^{j\theta_R} = K_R / \theta_R$$

ويمكن كتابة المعادلة (5.3) كالآتي :

$$k = K / \theta \quad (5.4)$$

حيث أن :

$$K = K_R e^{-2\alpha d} \quad (5.5)$$

$$\theta = \theta_R - 2\beta d \quad (5.6)$$

كلما ابتعدنا عن الحمل فإن اتساع K يقل بالمعامل $e^{-2\alpha d}$ ، وإن هذا المضاعف الاسمي متسبب من النقصان بـ E^- والزيادة المقابلة بـ E^+ . تقل الزاوية θ أو تزداد بالاتجاه المتأخر بمقدار $2\beta d$ من الزوايا نصف القطرية والتي تبلغ 360° في كل نصف موجة ، يمكن توقع هذا من الحقيقة أن E^+ و E^- ترجعان بالطور نفسه مع بعضهما عند هذه المسافة .

على خط عديم الفقد (حيث أن $\alpha = 0$) فإن اتساع k يبقى ثابتاً وزاوية الطور تتغير فقط . بعد ذلك سنبين الترابط بين معامل الانعكاس وممانعة الخط وكما عرفنا فإن ممانعة الخط في أي نقطة هي النسبة المركبة بين الفولتية إلى التيار في تلك النقطة :

$$Z = \frac{E}{I} \quad (5.7)$$

وباستعمال العلاقات: $E = E^+ + E^-$ ، $I = I^+ + I^- = E^+/Z_0 - E^-/Z_0$ نستطيع أن نكتب :

$$Z = \frac{E^+ + E^-}{E^+/Z_0 - E^-/Z_0}$$

$$\frac{Z}{Z_0} = \frac{1 + E^-/E^+}{1 - E^-/E^+} \quad (5.8)$$

ونميز ان النسبة E^-/E^+ هي معامل الانعكاس المركب k ، ان النسبة Z/Z_0 ستتكرر في الصفحات القادمة ومن الملائم ان نعتبرها كمية بعد ذاتها ونسميها المعيارية (Normalized) او لكل وحدة ممانعة وسنرمز لها بـ z بقسميها الحقيقي r والخيالي x

$$\frac{Z}{Z_0} = z = r + jx \quad (5.9)$$

ان تعبير (Normalizing) ممانعة (وذلك بتقسيمها على Z_0) ينتج تغيراً في المقياس بحيث ان وحدة الممانعة هي Z_0 اوم وليست 1 اوم .
ان العلاقات المعطاة بالمعادلة (5.8) يمكن التعبير عنها بدلالة ممانعة الخط المعيرة ومعامل الانعكاس كما يأتي :

$$z = \frac{1 + k}{1 - k} \quad (5.10)$$

يمكن التعبير عن هذه المعادلة بحلها بالنسبة الى k :

$$k = \frac{z - 1}{z + 1} \quad (5.11)$$

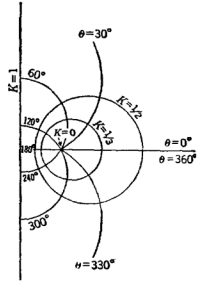
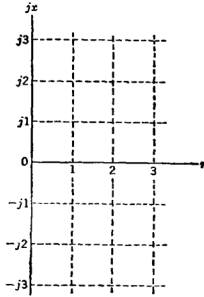
ان الترابط بين معامل الانعكاس المركب من ناحية والممانعة المركبة المعيارية من ناحية اخرى (كما هو مبين في المعادلتين السابقتين) ممثل بطريقة بيانية بالخارطتين التي سوف نشرحها في الفقرة الآتية . هذه العلاقة مع التغير المعروف لـ k على الخط تبسط الحسابات الى حد كبير .

5.3 . خرائط الاحداثيات المتعامدة والدائرية لخط نقل :

The Rectangular and Circular Transmission-line Charts.

ان واحدة من خرائط النقل الاكثر شيوعاً هي رسم للممانعة المعيارية z على احداثيات متعامدة مع خطوط تمثل k متراكبة عليها (كما في الشكل 5.1) وهناك رسم تخطيطي اكثر استعمالاً يسمى عادة بخارطة سميث⁽¹⁾ (Smith Chart) ، في هذه الخارطة يرسم k باحداثيات قطبية ويحتوي على خطوط لـ z متراكبة عليها (شكل 5.2) . ان خارطة سميث هي فعلاً شكل عام لرسم كرائك التخطيطي المبين في الشكل 4.13 . هنالك خرائط مرسومة بدقة اكثر كما في الشكلين 5.3 و 5.4 ، وهنالك خرائط مطبوعة ودقيقة متوفرة تجارياً

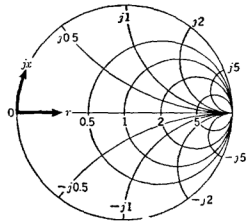
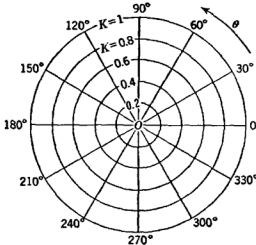
P. H. Smith, Transmission Line Calculator, Electronics, January, 1939, P. 29, and An Improved Transmission Line Calculator, Electronics, January, 1944, p. 130. (131)



(ب) الخطوط لـ K الثابت

(أ) يبين الاحداثيات المتعامدة للممانعة والتي
تركب على الاحداثيات المميارية $z = Z/Z_0$ at
المبينة الى اليسار the left.

شكل 5.1 مجموعتان من الخطوط لخارطة الممانعة المتعامدة . الخارطة الكاملة معطاة في الشكل 5.3



(ب) الخطوط لـ k الثابت و x الثابت (أ) يبين الاحداثيات القطبية لمعامل الانعكاس
reflection coefficient $k = K e^{j\theta}$.

والتي تركب على الاحداثيات المبينة الى

Fig. 5.2. The two sets of lines which compose the circular θ (the $k = K e^{j\theta}$)

شكل 5.2 مجموعتان من الخطوط التي تكون خارطة خط النقل الدائرية (سميث) .
القسم ب فوق يقارن مع شكل 5.1 أ والقسم أ يقارن مع الشكل 5.1 ب . الخارطة الكاملة مبينة
في الشكل 5.4 .

ترسم الخارطة الدائرية بنصف قطر خارجي يمثل وحدة اتساع لمعامل الانعكاس. الخارطة المتعامدة ترسم لقيم موجبة من الجزء الحقيقي r للمانة المعيارية وهكذا فمبدأياً سوف يمثل نصف سطح غير نهائي والمدى (Ranges) الانف الذكر يأخذ بنظر الاعتبار اغلب المسائل العملية ، وعلى كل يمكن ملاحظة انه في خطوط الققد يقع قسم من النقاط خارج هذه المناطق ويحصل هذا عندما يكون الفرق بالزوايا بين Z و Z_0 اكثر من 90° .

كمثال لـ $Z = j1$ و $Z_0 = 0.866 - j0.500$ لدينا $Z = -0.500 + j0.866$ و $k = j1.73 = 1.73 \angle 90^\circ$ وعلى كل فان هذه الصعوبة تظهر نادراً .

خارطة الاحداثيات المتعامدة Rectangular Chart:

خارطة الشكل 5.1 تبين الاحداثيات المتعامدة للمانة المعيارية z مع الخطوط التي تمثل قيماً ثابتة للاتساع K وزاوية الطور θ لمعامل الانعكاس ، يحصل على الكميتين السابقتين باستعمال المعادلة (5.10) التي يمكن كتابتها كالآتي :

$$z = \frac{1 + K/\theta}{1 - K/\theta} = \frac{1 + K \cos \theta + jK \sin \theta}{1 - K \cos \theta - jK \sin \theta} \quad (5.12)$$

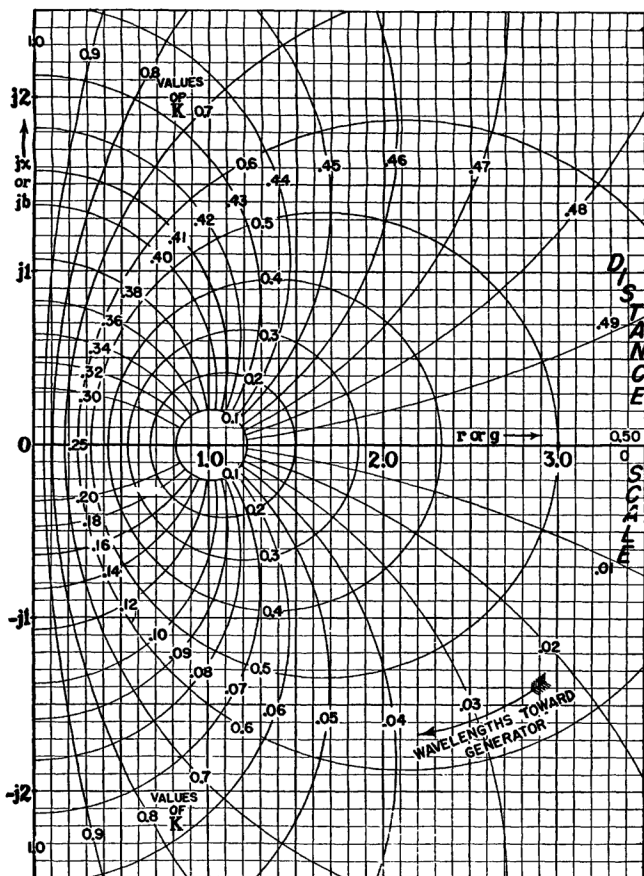
كمثال لقيم $K = 0.5$ و $\theta = 30^\circ$ يكون لدينا :

$$z = \frac{1 + 0.5 \times 0.866 + j0.5 \times 0.5}{1 - 0.5 \times 0.866 - j0.5 \times 0.5} = 1.95 + j1.31$$

اذا ماثبتت قيمة K في حين تغيرت θ فان المحل الهندسي لـ z سيكون دائرة تحتوي النقطة $1 + j0$ ، من ناحية اخرى اذا ثبتت θ في حين تغير K ، فان المحل الهندسي المائل هو دائرة اخرى والتي تقطع الدائرة السابقة بزوايا قائمة وتمر من النقطة $1 + j0$. يقودنا هذا الى نوعين من الدوائر على المستوى z ، دائرة لقيم ثابتة لـ K واخرى بزوايا قائمة على الاولى وتكون في كل مكان لقيم ثابتة لـ θ .

التقاطعات على المحور r يمكن الحصول عليها بوضع θ تساوي 0° و 180° وينتج :

$$\left. \begin{aligned} r_s &= \frac{1 + K}{1 - K} \\ r_i &= \frac{1 - K}{1 + K} \end{aligned} \right\} \quad (5.13)$$



شكل 5.3 خارطة خط النقل المتعامدة. $|B^-/B^+| = K = K_{ge}^{-1}$

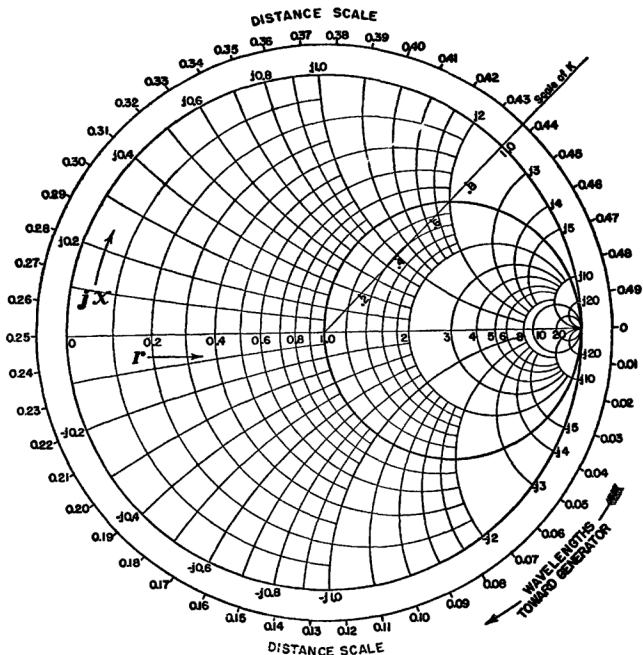


Fig. 5.4 chart. شكل 5.4 خارطة خط النقل الدائرية

ومن البديهي ان التقاطعين هما مقلوب بعضهما ، كمثال اذا قطعت دائرة لقيمة معينة من K الاحداثي r في $\frac{1}{2}$ فان التقاطع القطري المقابل سيقع على $r=3$ ان التقاطعات لدوائر θ على الاحداثي x يمكن الحصول عليها بوضع $K = 1$ في المعادلة (5.12) ويحذف الجذور تكون النتيجة هي :

$$z = \frac{(1 + \cos \theta + j \sin \theta)(1 - \cos \theta + j \sin \theta)}{(1 - \cos \theta - j \sin \theta)(1 - \cos \theta + j \sin \theta)} = \frac{j \sin \theta}{1 - \cos \theta}$$

وباستعمال المتطابقة المثلثية ، $(1 - \cos \theta)/\sin \theta = \tan \theta/2$ نحصل على التقاطع على الاحداثي x :

$$x_i = \frac{1}{\tan \theta/2} \quad (5.14)$$

يمكن الاثبات (من هندسة الشكل) على ان استمرارية اي دائرة لـ θ بعد مرورها خلال النقطة $1 + j0$ لها ارتباط مع الزاوية $\theta + 180^\circ$.

وعليه بالاستعاضة عن θ بـ $\theta + 180^\circ$ في المعادلة (5.14) نحصل على التقاطع الآخر :

$$x_i' = \frac{1}{\tan (\theta/2 + 90^\circ)} = \frac{1}{\cot \theta/2} = -\tan \frac{\theta}{2} \quad (5.15)$$

في الخارطة الكاملة للشكل (5.3) مقياس θ بَدَل بمقياس للمسافات على الخط المعبر عنه بدلالة طول الموجة وكما هو مبين في المعادلة (5.6) فان الزاوية θ تبدأ من القيمة θ_π ، وتنقص على الخط بمقدار $2\theta_d$ او 360° لكل نصف موجة .

وهكذا فان تغيراً مقداره 7.2° على مقياس θ يماثل دائماً تغيراً مقداره 0.01λ على مقياس المسافة وعلى كل حال لانستطيع ترتيب الصفر على مقياس المسافة بحيث يبدأ من موقع على الخارطة يناظر الحمل ، لان θ_π يمكن ان يكون لها اي قيمة وعليه يوضع الصفر اختياريّاً ويجب استعمال مقياس المسافة بصورة نسبية اي بعبارة اخرى تعطى المسافات على الخط تعطى بالفرق بين قراءتين على المقياس . في خارطة الشكل (5.3) الصفر على المقياس عين اختياريّاً عند $\bar{\theta} = 0$ والمقياس تعرض لقفزة من $\bar{d} = 0.5\lambda$ الى $\bar{d} = 0$ ويجب ان يؤخذ هذا بنظر الاعتبار عند عبور هذا الجزء من المقياس .

ان قيمة θ المناظرة لاي قراءة مطعاة على مقياس المسافة يمكن ايجادها باستعمال المعادلة (5.6) بوضع θ_π مساوية لمقدار القيمة المختارة للصفر . اذا عبرنا عن هذه المعادلة بالدرجات (وللسهولة خذ θ_π تساوي 360° بدلا من صفر) تكون عندنا العلاقة :

$$\theta = \left(1 - 2 \frac{d}{\lambda}\right) \times 360^\circ \quad (5.16)$$

حيث ان d/λ تمثل القراءة على مقياس المسافة .
الخارطة الدائرية (Circular Chart).

ان معامل الانعكاس الدائري (أو خارطة سميث) رسم بياني ضمن دائرة ذات وحدة نصف قطر (انظر شكل 5.2). ان الاتساع K لمعامل الانعكاس مثل بنصف القطر من المركز وتراكبت على هذه الخريطة خطوط تمثل قيماً ثابتة لـ r و x على التوالي كما حصل عليهما من المعادلة (5.1) .¹

ان النقطة $z = 1 + j0$ هي في مركز الخارطة ($k = 0$) والخطوط لقيم ثابتة من x و r يكونان نوعين من الدوائر المتعامدة (Orthogonal). ان الفائدة من خارطة سميث هي ان الخطوط غير محتشدة في منطقة الممانعة الواطئة وكذلك فان كل القيم المعتادة لـ z و k هي ضمن مساحة محدودة ومن ناحية اخرى فان قيم z يمكن قراءتها بسهولة اكثر عندما ترسم بيانياً على احداثيات متعامدة وان انشاء خطوط بيانية معينة سوف نشرحها فيما بعد تكون متابعتها اسهل على الخارطة المتعامدة .

في الخارطة الكاملة للشكل 5.4 استبدل مقياس θ بمقياس للمسافة بدلالة اطوال الموجات ، وهذا حصل عليه من مقياس θ بالطريقة نفسها التي حصلنا على مقياس المسافة للخارطة المتعامدة ويستعمل بالطريقة نفسها .

عين الصفر لمقياس المسافة نفسها اختياريّاً عند $\theta = 0$ في الشكل 5.4 ، وبعض اشكال هذه الخارطة يكون لها صفر عند $\theta = 180^\circ$ ، وبما ان المقياس يستعمل نسبياً (المسافات الحقيقية تمثل الفرق بين قراءتين) فان موقع الصفر لا يكون له اهمية .

ان قيمة θ التي تناظر اي قيمة معينة على مقياس المسافة يمكن حسابها باستعمال المنقلة او باستعمال المعادلة (5.16) .

5.4 حساب ممانعة الخط: (Computation of Line Impedance)

ان الخرائط التي وضعت تبين العلاقة بين ممانعة الخط المعيارية والنسبة المركبة لفولتية الانعكاس الى الفولتية الساقطة k . ان مقياس θ عوض عنه (1) القاريء الذي درس نظرية الدالة المركبة سيميز بان احدى الخارطتين هي خريطة مطابقة للآخرى مع المعادلتين (5.10) و (5.11) كدالتي تحويل .

بمقياس للمسافات ولكن اتساع معامل الانعكاس استبقى وكما مبين بالمعادلة (5.5) فان هذا الاتساع تتغير كالاتي :

$$K = K_R e^{-2\alpha d} \quad (5.17)$$

واذا رغبنا فيمكن استبدال مقياس K بمقياس L بالنيبر او الديسبل ، كاستبدال مقياس θ بمقياس اطوال الموجات .

ان حساب (5.17) ليس بالمجهود وعلى كل سوف نستمر في استعمال K . اذا علمت ممانعة الحمل وثوابت الخط فانه يمكن ايجاد الممانعة في اي نقطة باستعمال اي من الخارطتين كالاتي :

- 1 - احسب ممانعة طرف الارسل المعيارية Z_R/Z_0 وادخل اي من الخارطتين في هذه النقطة . لاحظ القراءات المناظرة على مقياس المسافة ومقياس K .
- 2 - لايجاد الممانعة على مسافة d مقاسة باتجاه المولد اخفض قيمة K بالعامل $e^{-2\alpha d}$ وزد قراءة مقياس المسافة بالعدد المناسب من الموجات ، هذه تعين نقطة جديدة على الخارطة (اذا امكن اهمال الفقد فان الكمية K تبقى على قيمتها الاصلية وان القراءة على مقياس المسافة تتغير) . ان مقياس المسافة يعيد نفسه كل نصف طول موجة وان اي مضاعفات λ 0.5 يمكن طرحها بدون تغير في النتيجة .

- 3 - في النقطة المعينة على الخارطة كما شرحت اعلاه اقرأ قيمة الممانعة المعيارية z وحولها الى ممانعة مركبة باستعمال العلاقة $Z = zZ_0$. ان ممانعة طرف الارسل يحصل عليها باستعمال d يساوي طول الخط .
- ان بعض الخرائط المتعامدة المتوفرة لاتؤثر عليها قيم K ولكن يمكن ايجاد قيمة K لاي دائرة من تقاطع الجهة اليمنى . r_i باستعمال المعادلة (5.13) والتي تصبح :

$$K = \frac{r_i - 1}{r_i + 1}$$

على الخارطة الدائرية يمكن قراءة اتساع K على المسافة النصف قطرية بأخذ نصف قطر الخارطة مساوياً لواحد .
مثال :

احسب ممانعة طرف الارسل المركبة لخط هاتق طوله 100 ميل وله $Z_0 = 685 - j92$ اوم ، $\alpha = 0.00497$ نيبر لكل ميل و $\beta = 0.0359$ زوايا نصف قطرية لكل ميل عند تردد 1,000 هرتز . ان الخط منته بـ $Z_R = 2,000 + j0$ اوم .

اولا احسب ممانعة طرف الارسال المعيارية :

$$z_R = \frac{2,000 + j0}{685 - j92} = 2.87 + j0.385$$

ادخل اياً من الخارطتين بهذه النقطة لـ z و $K_R = 0.491$ و اقرأ أيضاً 0.492λ على مقياس للمسافة (انظر الشكل 5.5)

ثم احسب K في طرف الارسال وطول الخط باطوال الموجات :

$$K_s = K_R e^{-2\alpha l} = 0.491 e^{-0.994} = 0.182$$

$$\frac{l}{\lambda} = \frac{\beta}{2\pi} l = \frac{0.0352 \times 100}{2\pi} = 0.561$$

باضافة طول الخط الى القراءة الابتدائية لمقياس طول الموجة نجد ان النقطة

تمثل ممانعة طرف الارسال وتقع عند $\lambda' = 1.053$ ($0.492 + 0.561$) .

ان مقياس المسافة يتكرر كل نصف طول موجة وهكذا بطرح نصف طول

الموجة نقرأ ممانعة طرف الارسال على الخارطة عند 0.053λ و $K_s = 0.182$.

كما موضح في الشكل 5.5 فان النتيجة هي 0.31 ز ، 1.30 ، وبوحدة الاوم

$$Z_s = (1.30 - j0.31)(685 - j92)$$

$$= 861 - j332 \text{ ohms}$$

اوم

وهذه النتيجة تقارن بالنتيجة 325 ز - 861 اوم المحصل عليها باستعمال

الحل الاسي في مثال الجزء 4.1 والثانية حصل عليها بجهد اقل .

5.5 . الحساب للتيارات والفولتيات :

The Calculation of Currents and Voltages.

كما بينا في الفقرات السابقة بأن الخرائط تسهل حسابات ممانعة الخط . عندما

تكون Z_s معلومة فانه يمكن حساب فولتية وتيار وقدرة طرف الارسال باستعمال

دائرة طرف الارسال المكافئة في الشكل 4.2 .

ان حساب التيارات والفولتيات على الخط يمكن السير بها بأية واحدة من عدة

طرائق : فيمكن استعمال العلاقة الاسية وعلاقة زائد المقطع المعطاة في الفصل

الرابع ، او اذا كان للخط فقد مهمل فانه يمكن استعمال حفظ القدرة اي انه يمكن

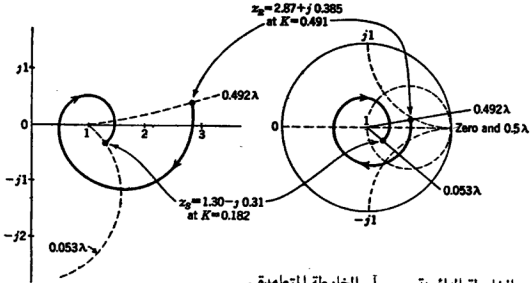
حساب قدرة طرف الارسال وتكون هذه القدرة مساوية للقدرة على اية نقطة

مختارة . من هذا ومن الممانعة على النقطة الثانية فانه يمكن حساب الفولتية

والتيار ، وهذه الطريقة ستوضح في المثال 2 في هذا الجزء . هنالك طريقة اخرى

بايجاد مركبة الموجة المتنقلة المتقدمة للفولتية في طرف الارسال وبعدئذ حساب

التوهين وإزاحة الطور لهذه الموجة عند انتقالها على الخط حيث تنعكس عند وصولها الى الحمل وتنتقل راجعة مرة أخرى ويتم الحصول على الفولتية الكلية في أية نقطة من المتجه الذي هو محصلة المركبة الساقطة والمنعكسة .
سنوضح هذه الطريقة في المثال 1 من هذا الجزء ، ولكن أولاً سوف نشق علاقة بواسطتها يمكن فصل المركبة المتنقلة المتقدمة للفولتية من المحصلة الكلية .



ب . الخارطة الدائرية أ . الخارطة المتعامدة .

شكل (5.5) المحلات الهندسية لممانعة خط هذا المثال .

نريد ايجاد تمثيل ملائم للنسبة E^+/E^- ولهذا نكتب :

$$\begin{aligned}\frac{E^+}{E^-} &= \frac{E^+}{E^+ + E^-} \\ &= \frac{1}{1 + (E^-/E^+)} \\ &= \frac{1}{1 + k}\end{aligned}$$

بتمويض قيمة k من المعادلة (5.11) وبالتبسيط نحصل على :

$$\frac{E^+}{E^-} = \frac{1}{2} \left(1 + \frac{1}{z} \right) = \frac{1}{2} \left(1 + \frac{Z_0}{Z} \right) \quad (5.18)$$

هذه المعادلة تكون ملائمة وعلى الاخص عند استعمال خارطة خط النقل حيث يمكن قراءة الممانعة المعيارية $z = (Z/Z_0)$ مباشرة من الخارطة . بالطريقة نفسها يمكن اثبات ان النسبة بين الفولتية المتنقلة المتقدمة الى محصلة التيار في اي نقطة هي :

$$\frac{E^+}{I} = \frac{1}{2} (Z + Z_0) \quad (5.19)$$

عندما تكون قيمة الفولتية او التيار معلومة في اي نقطة (عند طرف الارسال مثلاً) فان المعادلة (5.18) او (5.19) يمكن استعمالهما لايجاد B^+ في تلك النقطة . ان الفولتية المتنقلة المتقدمة يمكن تتبعها على الخط بتقليص المتجه بالعامل $e^{-\alpha x}$ وتدويره في الاتجاه المتأخر بالزاوية βx . في طرف الاستلام المتجه E_R^+ ينعكس بالعامل k_R حيث يولد المركبة المتنقلة المتأخرة (Backward Travelling) E_R^- . ان مجموع $E_R^+ + E_R^-$ يعطي محصلة الفولتية في طرف الارسال ومن E_R و Z_R يمكن حساب تيار طرف الارسال . واذا رُغب فان المركبة المنعكسة E^- يمكن تتبعها رجوعاً على الخط لحساب الفولتية والتيار في اي نقطة .

مثال 1 :

خط فقد : خط هاتف طوله 100 ميل معطى مثلاً في الجزء (5.4) —
 $Z_0 = 685 - j92$ اوم و $\gamma = 0.0497 + j0.0352$ لكل ميل $Z_R = 2,000 + j0$ اوم .

ممانعة طرف الارسال حسب $Z_R = 1.30 - j0.31$ لكل وحدة او
 $Z_R = 861 - j332$ اوم .

افترض الان بأن الخط زود بمولد في طرف الارسال ، فولتية دائرته المفتوحة 10 فولت ومقاومته الداخلية 700 اوم مقاومة بحتة ، سنحسب فولتية والتيار وقدرة طرف الارسال بايجاد سعات الموجات المتنقلة للفولتية وببتيء حساباتنا من طرف الارسال .

المولد يشتغل في الممانعة Z_L ومن ثم فان اتساع تيار الارسال هو :

$$|I_s| = \left| \frac{E_s}{Z_0 + Z_L} \right| \\ = \left| \frac{10}{1,561 - j332} \right| = \frac{10}{1,597} \\ = 6.26 \times 10^{-3}$$

امبير ج . م . ت

ان فولتية طرف الارسال هي :

$$|E_s| = |I_s| \cdot |Z_s| \\ = 6.26 \times 10^{-3} \sqrt{(861)^2 + (332)^2} \\ = 5.79$$

فولت ج . م . ت

نستعمل الان المعادلة (5.18) لحساب اتساع مركبة الفولتية المتنقلة المتقدمة في طرف الارسال :

$$E_s^+ = \frac{E_s}{2} \left(1 + \frac{1}{z_s} \right)$$

$$|E_s^+| = \frac{5.79}{2} \times \left| 1 + \frac{1}{1.30 - 5.03} \right| = \text{فولت ج. م. ت}$$

ومن ثم نحسب اتساع الفولتية الساقطة على طرف الارسال ونأخذ بنظر الاعتبار

$$|E_R^+| = |E_s^+| e^{-\alpha l} \quad \text{عامل التوهين} \quad \alpha =$$

$$= 5.03 \times 0.608$$

$$= 3.06$$

فولت ج. م. ت

نستطيع ان نحسب معامل الانعكاس في طرف الارسال من العلاقة

$$k = (z - 1) / (z + 1) \quad \text{او يمكن ان نحصل عليها من الخارطة وبالرجوع الى اي}$$

$$\text{من الخارطتين يتبين ان } k = 2.87 + j0.385 z_R = 0.491 \text{ تناظر}$$

ان زاوية k_R يمكن قياسها على الخارطة الدائرية بمنقلة وهي 6° ولهذا فان :

$$k_R = 0.491 / 6^\circ$$

واختيارياً بأخذ E_R^+ لتكون افقية ، نحسب :

$$E_R^- = k_R E_R^+$$

$$= (0.491 / 6^\circ) (3.06 / 0^\circ)$$

$$= 1.50 / 6^\circ$$

فولت

ولهذا فان محصلة الفولتية في طرف الارسال هي :

$$E_R = E_R^+ + E_R^- = 3.06 / 0^\circ + 1.50 / 6^\circ \\ = 4.55 + j0.157 \text{ volts}$$

$$|E_R| = 4.55$$

فولت ج. م. ت

ان الاتساع لتيار طرف الارسال هو :

$$|I_R| = \left| \frac{E_R}{Z_R} \right| = \frac{4.55}{2,000} = 2.28 \times 10^{-3}$$

امبير ج. م. ت

هذا التيار له طور فولتية طرف الارسال نفسه حيث ان الحمل هو مقاومة بحتة

، وان القدرة الممتصة للحمل هي :

$$P_R = |I_R|^2 R_R = (2.28 \times 10^{-3})^2 \times 2,000$$

$$= 10.4 \times 10^{-3}$$

واط

للمقارنة سنحسب القدرة الداخلة الى طرف الارسال للخط ، ان اتساع تيار طرف

الارسال هو :

$$|I_s| = \left| \frac{E_s}{Z_s} \right| = \frac{5.79}{|861 - j332|} = 6.26 \times 10^{-3}$$

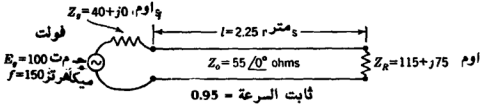
امبير ج. م. ت

قدرة طرف الارسال هي :

$$P_s = |I_s|^2 R_s = (6.26 \times 10^{-3})^2 \times 861 = 33.8 \times 10^{-3} \text{ واط}$$

ان الاجوبة السابقة مطابقة للأجوبة المحسوبة في مثال الجزء 4.1 .

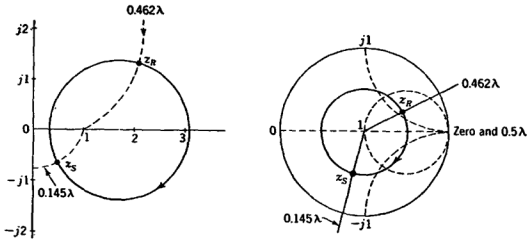
ان الفرق بين P_s و P_R هو بوضوح القدرة المفقودة في الخط وإذا ما انهبى الخط ب Z_0 في طرف الارسال فان القدرة المفقودة تكون مكافئة لـ αl بالنسبة او $\alpha l = 8.686$ بالديسبل ، على كل فان الفقد اعلاه هو نوعاً ما اكثر من هذا بسبب ان القدرة المفقودة للموجة المنعكسة التي تنتقل باتجاه المولد .



شكل 5.6 دائرة للمثال 2 . افترض ان الفقد مهمل ($\alpha l \ll 1$) .

مثال 2 :

خط عديم الفقد : في هذا المثال سنجد فولتية و تيار و قدرة طرف الارسال للخط المبين في الشكل 5.6 باستعمال خارطة خط النقل . ان الفقد الكلي قليل ($\alpha l \ll 1$) ولذلك يمكننا استعمال مبدأ حفظ القدرة .



شكل 5.7 يوضح استعمال الخرائط لخط عديم الفقد في المثال 2 .

اولاً سنمبر عن طول الخط بدلالة طول الموجة . ان ثابت السرعة معطى في التوضيح وهكذا فان سرعة الطور هي :

$$v = 0.95 \times 3 \times 10^8 = 2.85 \times 10^8$$

متر / ثانية

طول الموجة هو :

$$\lambda = \frac{v}{f} = \frac{2.85 \times 10^8}{150 \times 10^6} = 1.90$$

متر

طول الخط باطوال الموجات هو :

$$\frac{l}{\lambda} = \frac{2.25}{1.90} = 1.183$$

ثم نغير ممانعة طرف الارسال ونحصل على :

$$z_R = \frac{Z_R}{Z_0} = \frac{115 + j75}{55} = 2.09 + j1.36$$

والآن ندخل في احدى خريطتي خط النقل بهذه القيمة للممانعة المعيارية التي وجدناها تناظر قراءة 0.462 على مقياس المسافة (انظر شكل 5.7) .
(5.7) .

لايجاد z ندور مقدار λ 1.183 باتجاه عقرب الساعة ونبقى على الدائرة لـ K نفسها بسبب ان الفقد هو مهمل . الآن دوران مقداره $\lambda/2$ يرجعنا الى نقطة الابتداء على الخارطة ، ومن ثم فان محصلة الدوران على الخارطة سيكون λ 0.183 ، ولهذا فان الدوران يقف عند $\lambda = 0.645$ (0.462 + 0.183) . وعندما نأخذ بنظر الاعتبار التوقف على مقياس المسافات عند λ 0.5 ، يكون هذا مكافئاً لـ λ 0.145 (0.645 - 0.5) على الخارطة .

عند هذه النقطة كلا من الخارطتين يوفران النتيجة الآتية لممانعة جانب الارسال :

$$z_s = 0.49 - j0.65$$

او

$$Z_s = (0.49 - j0.65) \times 55 = 27 - j35.8$$

اوم

هذه الممانعة هي التي يشغل عليها المولد ومن ثم فان تيار طرف الارسال هو :

$$I_s = \frac{E_g}{Z_g + Z_s} = \frac{100}{67 - j35.8}$$

هو :

$$|I_s| = \frac{100}{75.8} = 1.32$$

امبير ج . م . ت

وقدرة طرف الارسال هي :

$$P_s = |I_s|^2 \times R_s = (1.32)^2 \times 27$$

$$= 47$$

واط

وبما ان الفقد في الخط مهمل فان قدرة طرف الاستلام تساوي قدرة طرف
الارسال ولهذا يمكننا حساب تيار طرف الارسال كالآتي :

$$P_R = |I_R|^2 R_R$$

$$47 = |I_R|^2 \times 115 \quad \text{ومنه :}$$

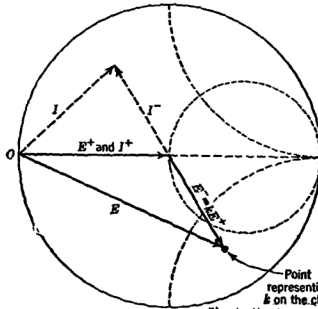
$$|I_R| = 0.639 \quad \text{امبير ج. م. ت}$$

فولتية طرف الارسال هي :

$$\begin{aligned} |E_R| &= |I_R| \times |Z_R| \\ &= 0.639 \times |115 + j75| \\ &= 0.639 \times 137 \\ &= 87.5 \end{aligned}$$

فولت ج. م. ت .

ان الخارطة الدائرية تفي بكل شروط الرسم التخطيطي لكرانك المشروح في
الجزء 4.6 والشكل 4.13 ويمكن استعمالها كشكل عام لهذا الرسم التخطيطي لايجاد
نماذج الموجات المتوقعة للفولتية والتيار على خط قليل الفقد . على الخارطة
الدائرية معامل الانعكاس المركب k يقاس من الوسط بأخذ نصف القطر الخارجي
مساو لوحد . ان الكمية المناظرة في الرسم التخطيطي لكرانك هو متجه
 $E^- = kE^+$ والذي رسم من نهاية المتجه E^+ . لاستعمال الخارطة الدائرية
كالرسم التخطيطي لكرانك نعتبر ان نصف القطر يمتد من $z = 0$ الى مركز
الخارطة كمتجه يمثل E^+ و I^+ كما مبين في الشكل 5.8 .



نقطة تمثل K على الخارطة

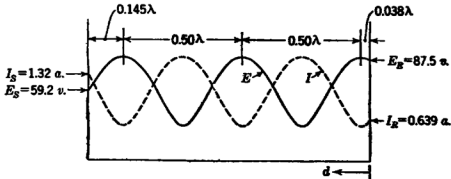
شكل 5.8 استعمال الخارطة الدائرية كالرسم التخطيطي لكرانك للخطوط قليلة الفقد .

ان المتجه الممثل لـ k اصلاً على الخارطة يمثل الآن kE^+ الذي هو فولتية الانعكاس E^- وان التيار المنعكس I^- هو سالب E^- .
 ان الفولتية الكلية والتيار الكلي مقاسان من الحافة القصوى اليسرى للخارطة الى نهاية E^- و I^- وكلما ازدادت المسافة d فان النقطتين اللتين تمثلان E^- و I^- يدوران باتجاه عقرب الساعة خلال الزاوية $2\pi d$ من الزوايا نصف القطرية او 360° لكل نصف موجة .

يتبع مثال 2 : لايجاد التغير في E و I على خط عديم الفقد للمثال 2 فانه يمكننا استعمال الخارطة الدائرية للشكل 5.7 كالرسم التخطيطي لكرانك بالطريقة المبينة في الشكل 5.8 . ان فولتية طرف الاستلام ممثلة في الشكل 5.7 بخط يصل النقطة $z=0$ والنقطة المبينة لـ z ، وتيار طرف الاستلام مثل بخط يمتد من $z=0$ الى نقطة على الدائرة K قطعياً مقابلة لـ z . كلما زادت المسافة من الحمل فان نهايتي المتجهين E و I يدوران بانتظام حول مركز الخارطة دورة واحدة لكل نصف طول موجة .

لهذا الخط نلاحظ بان نهاية المتجه E تعبر الاحداثي الافقي (عنـد $r_0 + z = 3.1$) على مسافة مقدارها $\lambda = 0.038$ ($0.462 - 0.500$) من طرف الارسال وهذا هو موقع الفولتية القصوى والتيار الادنى واذا زادت d برقع طول موجة اخرى فان نهاية المتجه E تعبر الاحداثي الافقي عند $z = 1 / 3.1$ وهذا هو موقع الفولتية الادنى والتيار الاقصى . بزيادة d برقع موجة اخرى نجد قيمة قصوى اخرى للفولتية ، ان طرف الارسال يقع على بعد $\lambda = 0.645$ عن القيمة القصوى الثانية .

ان نماذج الموجة الواقعة لـ E و I مبينة في الشكل 5.9 .



5.6 مسايرة الخط وقلب الاعداد المركبة .

إذا رجعنا الى المعادلة (5.12) التي تعبر عن الممانعة المعيارية z بدلالة معامل الانعكاس في أي نقطة نرى ان :

$$z = \frac{1 + K/\theta}{1 - K/\theta} \quad (5.20)$$

سنرى الآن ان العدد المركب المرتبط مع قيمة K نفسها ولكن بزاوية جديدة هي $\theta' = \theta \pm 180^\circ$ هو المقلوب المركب لـ z . لاثبات هذا استبدل θ بـ $\theta \pm 180^\circ$ في المعادلة (5.20) واختبر النتيجة :

$$\frac{1 + K/\theta \pm 180^\circ}{1 - K/\theta \pm 180^\circ}$$

ان اضافة 180° الى زاوية طور عدد مركب مكافئ لاختلاف العدد ومن ثم يمكننا ان نكتب العلاقة السابقة s :

هذا هو مقلوب المعادلة (5.20) ويجب ان تمثل العدد المركب $1/z$ والذي برهن . اذا عرفنا :

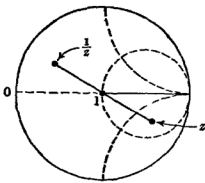
$$\frac{1}{z} = Y \text{ و } \frac{1}{z_0} = Y_0 \quad (5.21)$$

فان مقلوب الممانعة المعيارية هو :

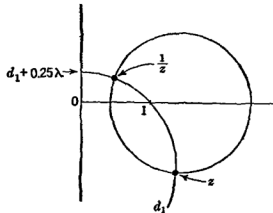
$$\frac{1}{z} = \frac{Z_0}{z} = \frac{Y}{Y_0}$$

والذي يعرف بالمسايرة المعيارية :

$$y = \frac{1}{z} = \frac{Y}{Y_0} \quad (5.22)$$



(ب) على خارطة دائرية



(أ) على خارطة عمودية

شكل 5.10 الحصول على مقلوب عدد مركب من خرائط النقل .

ان التطورات السابقة تبين انه عندما نعين ممانعة على خارطة خط النقل فانه يمكن ان نجد المسيرة المناظرة بالتدوير على دائرة ثابتة لـ K الى قيمة جديدة لـ θ والتي تكون اما 180 او اقل من القيمة التي بدأنا بها .

ان هذا يناظر تغييراً مقداره $\lambda \cdot 0.25$ على مقياس طول الموجة ، وعلى خارطة خط النقل الدائرية فان النقطة الثانية هي مقابلة قطرياً للاولى كما مبين في الشكل 5.10 . على الخارطة المتعامدة يقع المقلوب المركب على امتداد دائرة θ خلال النقطة $0^\circ + 1$ كما في الشكل (5.10 ب)

بما انه يصعب متابعة الدوائر خلال هذه النقطة فمن الاضمن ملاحظة القراءة الاصلية على مقياس طول الموجة واطراف $\lambda \cdot 0.25$. عند هذه النقطة يجب ان يكون واضحاً ان الممانعة على خط فقد تدور حلزونياً كما مبين في الشكل 5.5 ، او تدور حول دائرة لها نصف قطر ثابت في الخط عديم الفقد ، ان مسيرة الخط المعيارية تتبع الممانعة دائرياً بقيمة K نفسها ولكن بقيمة لـ θ اكبر بمقدار 180° . على الخارطة الدائرية تقع النقطتان y و z هما على نهايتين متقابلتين قطرياً وهكذا فان كل الطرائق لاستعمال خرائط للممانعات تطبق على المسائرات ايضاً . يمكننا ايجاد المسيرة المميزة للخط Y_0 وتحسب مسيرة طرف الاستلام المعيارية باستعمال المعادلة (5.22) وبعد ذلك ندخل خارطة خط النقل بقيمة المسيرة المعيارية هذه وتدور حول الخارطة بالطريقة نفسها تماماً . عندما كنا نستعمل الممانعة المعيارية ، نقلل قيمة K بالعامل $\sqrt{2}$ وذلك لاختلاف الفقد في الخط بنظر الاعتبار .

ان مسائل معينة تحتوي على احوال متوازية من السهولة حلها بدلالة المسائرات ويجب ان يكون واضحاً بانه يمكن استعمال اي من الخارطتين لقلب اي عدد مركب ، ولجعل العدد يقع على اي جزء ملائم من الخارطة فان من الضروري عادة ازالة بعض العوامل البسيطة $\sqrt{2}$ قوى لـ 10^{-10} power of 10 ثم ندخل الدائرة بعدد مركب ندور حول الدائرة بقيمة ثابتة لـ K الى نقطة جديدة على مقياس المسافة الذي هو اما $\lambda \cdot 0.25$ اكبر او اصغر من القراءة الاولى ، وان النتيجة هي مقلوب العدد المركب الذي دخل به الى الدائرة ، ويجب ادخال اي عامل ازيل سابقاً . على الخارطة الدائرية يمكن تعيين العدد الاصيل ثم الانتقال الى نقطة مقابلة على القطر نفسه لايجاد مقلوب العدد المركب .

مسائل

1. خط نقل معين له ممانعة مميزة مقدارها $70 + j0$ اوم منتهٍ بممانعة $Z_R = 90 + j65$ اوم . طول الخط هو 1.2 طول موجي وله $\alpha = 0.35$ نيبير . احسب ممانعة طرف الارسال لهذا الخط .
2. خط هاتف طوله 200 ميل له $Z_0 = 645 - j95$ اوم و $\gamma = 0.00525 + j0.0351$ لكل ميل . تردد 1000 هرتز . طرف الاستلام دائرة مفتوحة وفولتية طرف الارسال هي 10 فولت ج م ت . احسب ممانعة طرف الارسال . اتساع فولتية طرف الاستلام .
3. انتهى الخط في المسألة 2 بدائرة قصر (Short Circuit) . ان فولتية طرف الارسال هي 10 فولت ج م ت . احسب ممانعة طرف الارسال واتساع تيار طرف الاستلام .
4. نوع من القابلو المحوري صنع من مادة عالية التوهين باستعمال سلك من النيكروم للموصل الوسطي . الممانعة المميزة هي 53 اوم وسرعة الطور هي 1.98×10^8 متر لكل ثانية . ان ثابت التوهين عند تردد مقداره 120 ميكا هرتز هو 0.061 نيبير لكل متر . جزء طوله $2\frac{1}{2}$ طول موجة انهي بدائرة مفتوحة وفولتية طرف الارسال هي 100 فولت ج م ت . احسب ممانعة طرف الارسال واتساع فولتية طرف الاستلام .
5. خط لتردد عالٍ ممانعته المميزة 70 اوم انهي بـ $Z_R = 300 + j0$ اوم وتوهينه الكلي مهمل . ربط الخط بمولد له $E_s = 10$ فولت و $Z_s = 70$ اوم . اوجد ممانعة طرف الارسال واتساع فولتية طرف الارسال والقدرة عند طرف الاستلام للاطوال الآتية من الخط .
 - أ . $l = \lambda$
 - ب . $l = 1\frac{1}{2}\lambda$
 - ج . $l = 1\frac{3}{4}\lambda$

6. خط معين لتردد عالٍ ممانعته المميزة 52 اوم وسرعة طوره $10^8 \times (2.00 \pm 0.02)$ متر لكل ثانية . طوله 10.0 ± 0.1 متر . التردد هو 300 ميكا هرتز . اهلل الفقد ، احسب ممانعة طرف الارسال لهذا الخط ، لممانعات طرق الاستلام الآتية :

$$أ . Z_R = Z_0$$

$$ب . Z_R = 4Z_0 \quad \text{اشرح الصعوبات التي قد تلاقيها .}$$

7. برهن المعادلة 5.19 .

8. احسب الكميات الآتية للمثال (في الفقرة 5.5) : الكفاءة لنقل قدرة للخط نفسه عند الشروط المعطاة في المثال ، الفقد بالقدرة للخط بالديسل (اعتماداً على القدرة الداخلة والقدرة الخارجة للخط) ، والكمية α بالديسل وفقد الادخال للخط بالديسل . لاحظ الفرق بالمعاني بين الكميات الثلاث الاخيرة .

9. خط لتردد عالي فقده مهمل وله $Z_0 = 70$ اوم . انهي هذا الخط بدائرة مفتوحة . اوجد ممانعة طرف الارسال لاطوال الخط الآتية :

$$5\lambda/8, \lambda/2, 3\lambda/8, \lambda/4, \lambda/8$$

10. خط لتردد عالي فقده مهمل وله $Z_0 = 70$ اوم . انهي الخط بـ $Z_R = -j140$ اوم . ماهو اقصر طول للخط بحيث تساوي Z_0 صفراً وبحيث تكون $Z_0 = j70$ اوم وبحيث تكون Z_0 غير نهائية .

11. للخط المعطى في المثال 2 في الفقرة 5.5 . احسب ج . م . ت للفولتية والتيار عند الفولتية الادنى .

12. خط لتردد عالٍ له $Z_0 = 150$ اوم انهي بـ $Z_R = 70 + j0$ اوم . طول الخط هو 0.680 بقدر طول موجة . اهلل الفقد ، وباستعمال خارطة النقل بدلالة المسايرة ، جد المفاعلة التي اذا ربطت على الخط في طرف الارسال تجعل ممانعة مدخل المسموعة مقاومة بحتة . تحت هذه الشروط ماهي ممانعة المدخل للمجموع ؟

13 . خطا نقل ربطا على التوازي في طرف الارسال . طول احدهما $5\lambda/8$ وله $Z_0 = 400$ اوم وانهى بمقاومة مقدارها 800 اوم .
 وطول الآخر $3\lambda/8$ وله $Z_0 = 400$ اوم وانهى بممانعة مقدارها $400 + j400$ اوم . باستعمال خارطة خط النقل للمسايرة احسب ممانعة المدخل عندما يكون الخطان مربوطين على التوازي .

14 . استعمل احد خرائط خطوط النقل لقلب الاعداد المركبة الآتية :

أ . $1.0 - j$. 2 .

ب . $156 + j100$.

ج . $2.05 - j1.47$.

د . $0.12 - j0.062$.

الفصل السادس

اعتبارات خاصة لخطوط الترددات الراديوية

SPECIAL CONSIDERATIONS FOR RADIO-FREQUENCY LINES

6.1 مقدمة :

هذا الفصل مخصص لدراسة مسائل خاصة لخطوط قليلة الفقد (الخطوط التي يكون توهينها أقل جداً من 1 نيبير لكل طول موجي). أغلب خطوط الترددات الراديوية هي ضمن هذا التصنيف وعليه فان النظرية المبينة على هذا التقريب لها فوائد كثيرة اضافة الى ان هنالك عدة ظواهر مهمة لعلاقتها بخطوط قليلة الفقد وهذه الظواهر برزت الى الوجود عند دراسة الخطوط الصغيرة الفقد .

في الجزء (2.7) أشتقنا العلاقات الآتية لخطوط الترددات العالية (حيث ان

$$R \gg \omega L \text{ و } G \gg \omega C \text{ : -}$$

$$Z_0 \approx \sqrt{\frac{L}{C}} \quad (6.1) \text{ اوم}$$

$$\alpha_0 = \frac{R}{2Z_0} + \frac{G}{2} Z_0 \quad (6.2) \text{ نيبير لكل وحدة طول}$$

و

$$\beta = \omega \sqrt{LC} \quad (6.3) \text{ زوايا نصف قطرية لكل وحدة طول}$$

وعليه فان سرعة الطور ω/β هي :

$$v = \frac{1}{\sqrt{LC}} \quad (6.4)$$

واذا عزل الخط بصورة منتظمة بمادة لها ثابت عزل نسبي (Relative dielectric) ϵ/ϵ_0 وانفاذية مساوية لانفاذية الفراغ المطلق فان

المعادلة (6.4) تختصر الى :

$$v = \frac{3 \times 10^8}{\sqrt{\epsilon/\epsilon_0}} \quad \text{متر لكل ثانية}$$

وطول الموجة على الخط هو :

$$\lambda = \frac{v}{f} \quad (6.5)$$

منبين الآن بأن الخط الذي فيه $R \gg \omega L$ و $G \gg \omega C$ له توهين واطيء

لكل طول موجة والتوهين مساوٍ $\alpha \lambda$ بالنيبير لكل طول موجة وباستعمال

المعادلات (6.2) و (6.4) و (6.5) يمكن التعبير عنه كالآتي :

$$\alpha\lambda = \left(\frac{R}{2Z_0} + \frac{G}{2} Z_0 \right) \left(\frac{1}{f\sqrt{LC}} \right)$$

$$= \frac{R}{2fL} + \frac{G}{2fC}$$

$\alpha\lambda = \pi \left(\frac{R}{\omega L} + \frac{G}{\omega C} \right)$ نمبر لكل وحدة طول
 وعليه فان الشرطين $\omega L \gg R$ و $\omega C \gg G$ مكافئان لتوهين قليل لكل طول موجة. وبصورة عامة فان هذين الشرطين يتحققان في خطوط النقل العملية، عند الترددات الراديوية وعندما يظهر التأثير السطحي (Skin Effect) بصورة جيدة، تردد المقاومة الفعالة للموصلات مع $\sqrt{\omega}$ ، وعندها تردد المتباينة $\omega L \gg R$ (Inequality) مع التردد وكما مبين في الفصل 3. ان التوصيلية لخط منتظم العزل يمكن التعبير عنها كـ $G = \omega C T_L$ ، حيث ان T_L هو ظل الفقد (Tangent Loss) للمادة العازلة والمتباينة $\omega C \gg G$ عندها تستوجب $T_L \ll 1$ فقط (الشرط المتحقق في المواد المعزولة بصورة جيدة).

نوقش استخدام خرائط (Charts) خط النقل لحساب ممانعة الخط في الفصل 5 وقد اوضح المثال في الجزء (5.5) استخدام الخرائط للخطوط المهمة الفقد. عندما $\alpha l \ll 1$ فان اتساع معامل الانعكاس K يبقى ثابتاً على طول الخط والمحل الهندسي لممانعة الخط هو دائرة ذات K ثابت لاغير وهذه تبسط حسابات الممانعة (والمسايرة (Admittance)). واذا ما علم التيار والممانعة عند نقطة فان اتساع التيار عند نقطة اخرى يمكن ايجادها من حفظ القدرة:

$$|I_1|^2 R_1 = |I_2|^2 R_2$$

حيث ان I_1 و I_2 هما التياران عند النقطتين و R_1 و R_2 هما المركبتان المقاوميتان (Resistive) للممانعة عند النقطتين يمكن ايجاد الفولتية عند اية نقطة من التيار والممانعة، وعليه يمكن استخدام الخرائط لتبسيط حسابات التيار والفولتية وستظهر استخدامات اخرى للخرائط في الاجزاء القادمة.

حتى عندما يكون الفقد صغيراً فان التغير في K مع المسافة قد يكون مهماً اذا كان K قريباً من واحد (اذا كان اتساع الموجة المنعكسة مساوياً تقريباً لاتساع الموجة الساقطة). ان دائرة K ستقطع احداثي المقاومة قرب الصفر على جهة

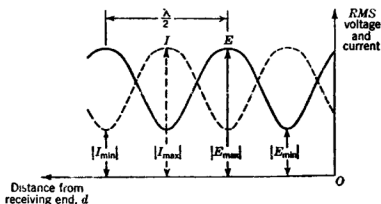
واحدة وعند مقاومة كبيرة جداً في الجهة الأخرى وإذا أريد دقة جيدة عند هاتين النقطتين (الاقصى والأدنى Max. and Min.) فإن الخارطة لا تكون ملائمة بصورة عامة وستظهر علاقات مناسبة لهذا الشرط في الجزء 6.8 .

6.2. نسبة الموجة المتوقفة (Standing-wave Ratio):

يعبر بصورة عامة عن الاتساع النسبي لموجة منعكسة على خط قليل النقص بدلالة نسبة الموجة المتوقفة ρ وتعرف كالاتي (١) :

$$\rho = \frac{|E_{\max}|}{|E_{\min}|} \quad (6.6)$$

حيث أن $|E_{\max}|$ قيمة ج.م. ت للفولتية عند أقصى نقطة على نموذج الموجة المتوقفة و $|E_{\min}|$ هي قيمة ج.م. ت للموجية عند أدنى نقطة على النموذج (لاحظ الشكل 6.1) . أن نسبة الموجة المتوقفة تستعمل بصورة واسعة لأنها واحدة من الكميات التي تقاس بسهولة على خط . أن الخط المسطح (Flat Line) الذي ليس له موجة منعكسة له $|E_{\max}| = |E_{\min}|$ وله نسبة موجة متوقفة تساوي واحداً وإن النسبة تصبح أكبر بدون حدود عند الاقتراب من الانعكاس الكامل .



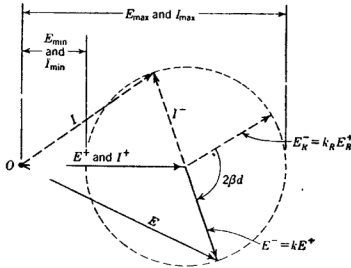
أن الأجهزة المستعملة لقياس نماذج الموجات المتوقفة عند الترددات العالية هي عادة من النوع الذي تعطي إشارة متناسبة مع مربع الفولتية ولهذا السبب فإن النسبة التي تكون مربع المعادلة (6.6) تستعمل عادة لملائمتها ، ولتمييز الاثنين فإن التعريف (6.6) يسمى عادة نسبة فولتية الموجة المتوقفة

(١) هذا الرمز هو مصطلح أيضاً للمقاومية وقد استعمل في الفصل (1.3) . سيجعل الشرح الاستعمال واضحاً وعندها يجب أن لا يحدث أي التباس .

(Voltage Standing Wave Ratio) ومختصرها VSWR في حين يسمى مربعها نسبة قدرة الموجة المتوقفة (Power Standing Wave Ratio) ومختصرها PSWR .

الاسم الاخير هو مضلل الى حد ما وعلى اي حال فان القدرة المنتقلة هي نفسها على كل نقاط الخط ، لا يرجع الاسم الى القدرة المنتقلة بل الى القدرة الممتصة من الجهاز الكاشف (Detecting Device) حيث ان هذا يتناسب مع مربع الفولتية عبر الكاشف (Detector) المربوط .

لا يمكن تعريف نسبة الموجة المتوقفة عندما تغير نماذج الموجات المتوقفة شكلها بصورة محسوسة من دائرة (Loop) الى اخرى كما يحدث عندما يكون الفقد كبيراً وفي الخط قليل الفقد تبقى النسبة ثابتة على الاقل لعدة اطوال موجبة وقد تعرف لمنطقة واحدة وعندما يكون الفقد مهماً فان نسبة الموجة المتوقفة تبقى نفسها على طول الخط . ان نسبة الموجات المتوقفة للتيار $|I_{max}|/|I_{min}|$ هي نفسها للفولتية ويمكن رؤية هذا هندسياً من مخطط كرانك البياني للشكل (6.21) (لاحظ ايضاً الجزء 4.6) ، ان الكميتين E_{max} و E_{min} تمثلان بالطول نفسه على المخطط البياني بالرغم من انهما يحدثان بمبعدة مقدارها ربع طول الموجة بالاضافة الى ان E_{min} و I_{min} يمثلان الطول نفسه وعليه فإن $|E_{max}|/|E_{min}| = |I_{max}|/|I_{min}|$



شكل 6.2 مخطط كرانك البياني لخط قليل الفقد .

نسبة فولتيات الموجات المتوقفة تحمل علاقة بسيطة مع اتساع معامل الانعكاس وهذه القيمة ممكن قراءتها مباشرة من خارطة خط النقل ، نلاحظ من مخطط كرانك البياني بأن القيمة القصوى للفولتية تحدث عندما تضاف قيمة E^+ و E^- الى بعضهما مباشرة ويحدث ادنى متجه عندما تطرح E^- مباشرة من E^+ . وعليه نستطيع كتابة :

$$|E_{\max}| = |E^+| + |E^-| \quad (6.7)$$

$$|E_{\min}| = |E^+| - |E^-| \quad (6.8)$$

ويمكن بعدئذ التعبير عن نسبة الموجة المتوقفة كالآتي :

$$\rho = \frac{|E_{\max}|}{|E_{\min}|} = \frac{|E^+| + |E^-|}{|E^+| - |E^-|} = \frac{1 + |E^-/E^+|}{1 - |E^-/E^+|}$$

ولكن $|E^-/E^+|$ هي معامل الانعكاس K ولذا فان :

$$\rho = \frac{1 + K}{1 - K} \quad (6.9)$$

ان هذه العلاقة مفيدة بحد ذاتها وتؤثر ايضاً طريقة حساب نسبة الموجات المتوقفة من خرائط خط النقل ، لاحظ بأن المعادلة (6.9) هي المعادلة (5.13) نفسها بالضبط وهي تعطي القيمة المعيارية (Normalized) التي عندها تقطع دائرة K الاحداثي r الى يمين النقطة $0 + j1$ ، وعليه لايجاد نسبة الموجات المتوقفة من الخرائط تتبع دائرة K الى نقطة تقاطع الجهة اليمنى منها مع الاحداثي الافقي ، والمقاومة المعيارية عند هذه النقطة مساوية عددياً الى نسبة فولتية الموجة المتوقفة .

اذا كان جانب الاستلام منتهياً بمقاومة بحتة ($Z_R = R_R + j0$) فالممانعة المعيارية المطابقة هي عدد حقيقي $R_R/Z_0 + j0$ واذا كان هذا أكبر من واحد فانها تمثل تقاطع الجهة اليمنى المذكور اعلاه وتساوي نسبة الموجة المتوقفة ولكن اذا كانت R_R/Z_0 أصغر من الواحد فانها تتطابق تقاطع الجهة اليسرى للدائرة K مع الاحداثي الافقي والجزء المحصور الى اليمين الذي هو ρ هو مقلوب هذه القيمة او Z_0/R_R ومن ثم لحمل مقامي بحت فان نسبة الموجات المتوقفة هي اما R_R/Z_0 او Z_0/R_R (أيهما أكبر من واحد) .

ان مخطط كرانك البياني لخط قليل الفقد يبين أن E_{\max} و E_{\min} يحدثان عند الموقع نفسه على الخط هذا اضافة الى ان لهما نفس الطور عند هذه النقطة وهذا يعطي اعلى ممانعة وتكون مقاومة بحتة وهي تتطابق مع تقاطع

الجهة اليمنى من المحل الهندسي للممانعة مع الاحداثي r والمقاومة المعيارية هنا مساوية لنسبة الموجة المتوقفة p وعليه فان :

$$Z_{\max} = pZ_0 + j0 \quad (6.10)$$

وبطريقة مشابهة E_{\min} و I_{\max} يحدثان معاً وعلى بعد ربع طول موجة من E_{\max} و I_{\min} وهذا هو موقع اوطأ ممانعة (مرة اخرى مقاومة) وهي تتطابق مع تقاطع الجهة اليسرى للمحل الهندسي للممانعة مع الاحداثي r .
المقاومتان المعيارتان عند هذين التقاطعين احدهما مقلوب الاخرى والاعلى هي p وعليه فان الاوطأ هي $1/p$ وهذا يعطى :

$$Z_{\min} = \frac{Z_0}{p} + j0 \quad (6.11)$$

ان نسبة Z_{\max}/Z_{\min} مساوية لـ p^2 والتي هي تفسير آخر لما يسمى بـ « نسبة قدرة الموجة المتوقفة » .

مثال :

خط قليل الفقد له $Z_0 = 70$ اوم منتبه بممانعة $j.80$ - $Z_R = 115$ اوم . طول الموجة على الخط هو 2.5 متر . جد نسبة الموجة المتوقفة واعلى واوطأ ممانعتين للخط . ثم جد المسافة بين الحمل واول ادنى فولتية ايضاً .

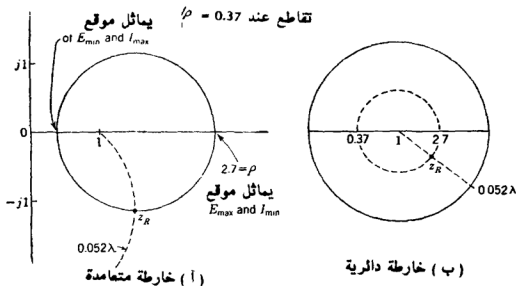
ممانعة جانب الاستلام المعيارية هي :

$$z_R = \frac{115 - j80}{70} = 1.64 - j1.14$$

وكما هو واضح في الشكل (6.3) ندخل كلا خريطتي خط النقل عند هذه الممانعة ونجد بأنها تطابق القراءة λ 0.052 على مقياس المسافة وبالدوران على دائرة ذات K ثابت (مساو الى 0.46) ، المحل الهندسي يقطع الاحداثي الافقي عند $z = 0.37 + j$ وهذا هو موقع اول اوطأ ممانعة وأدنى فولتية وأقصى تيار .
المسافة من الحمل (0.052 - 0.250) $\lambda = 0.495$ $\lambda = 0.198 \times 2.5$ وعلى امتداد يبعد ربع طول الموجة فان المحل الهندسي يقطع الاحداثي الافقي عند $z = 2.7 + j0$ وهذا هو موقع اول اعلى ممانعة وأقصى فولتية وأدنى تيار ونسبة الموجة المتوقفة تعطى بالمقاومة المعيارية عند هذا التقاطع :-

$$p = 2.7 \text{ والمسافة من الحمل الى اول أقصى فولتية هي } 1.12 = 0.495 + \lambda / 4$$

$$Z_{\max} = pZ_0 = 2.7 \times 70 = 189 + j0 \text{ هذه النقطة هي } 0 \text{ فولتية و } 189 \text{ اوم .}$$



6.3. قيم قصوى على نموذج الموجة المتوقفة . القدرة :

Extreme Values on the Standing-wave Pattern. Power.

لخط قليل الفقد فان العلاقة بين الحدود القصوى للتيار والفولتية على نموذج الموجة المتوقفة بصورة خاصة بسيطة بالرغم من ان الكيتين تحدان بمباعدة مقدارها ربع طول موجة وكما في المعادلة (6.7) نكتب :

$$|E_{\max}| = |E^+| + |E^-|$$

ولكن $|E^+| = |I^+| Z_0$ و $|E^-| = |I^-| Z_0$ وعليه عندنا :

$$|E_{\max}| = [|I^+| + |I^-|] Z_0$$

ان الجزء بين الاقواس هو اتساع I_{\max} وهكذا يكون عندنا علاقة بسيطة :

$$|E_{\max}| = |I_{\max}| Z_0 \quad (6.12)$$

وبطريقة مشابهة يمكن البرهنة على ان القيم الدنيا للتيار والفولتية ، تكون بالرغم من حدوثهما بمباعدة مقدارها ربع طول الموجة ، يرتبطان بالعلاقة البسيطة الآتية :

$$|E_{\min}| = |I_{\min}| Z_0 \quad (6.13)$$

من الممكن التعبير عن القدرة المرسلة بواسطة خط بعدة طرق مكافئة وان تكون الحسابات أبسط عند نقطة اقصى وأدنى فولتية حيث ان الممانعة عندها هي مقاومة بحتة . عند نقطة اقصى فولتية او أدنى تيار يكون عندنا $E_{\max} = I_{\min} Z_{\max} = I_{\min} \rho Z_0$ وعليه يمكن التعبير عن القدرة بـ :

$$P = |E_{\max}| \cdot |I_{\min}| = \frac{|E_{\max}|^2}{\rho Z_0} \quad (6.14)$$

ويمكن كتابة تعبير مكافئ للقدرة عند نقطة أدنى فولتية وأقصى تيار حيث ان
وهنا عندنا : $E_{\min} = I_{\max} Z_{0/p} = I_{\max} Z_0 / \rho$

$$P = |E_{\min}| \cdot |I_{\max}| = \rho \frac{|E_{\min}|^2}{Z_0} \quad (6.15)$$

ويحصل على تعبير أكثر تناظر بحل (6.13) لـ $|I_{\min}|$ وتعويضه في المعادلة
(6.14) :

$$P = \frac{|E_{\max}| \cdot |E_{\min}|}{Z_0} \quad (6.16)$$

وإذا استعملنا المعادلة (6.16) وعبرنا عن E_{\max} و E_{\min} بدلالة E^+ و E^- فيمكن كتابة القدرة كالآتي :

$$P = \frac{(|E^+| + |E^-|)(|E^+| - |E^-|)}{Z_0}$$

$$P = \frac{|E^+|^2}{Z_0} - \frac{|E^-|^2}{Z_0} \quad (6.17)$$

ونستطيع اعتبار الحد الاول من هذا التعبير كقدرة مرتبطة مع الموجة المنتقلة الى الامام والحد الثاني كقدرة منتقلة منعكسة وهذا الفصل البسيط للقدرة الى مركبتين ، كل واحدة مرتبطة مع احدى الموجتين المنتقلتين ، يكون صحيحاً فقط عندما تكون الممانعة المميزة هي مقاومة بحتة وما عدا ذلك فان التفاعل بين الموجتين يؤدي الى ظهور مركبة ثالثة للقدرة وعليه فان هذا المفهوم يطبق فقط على الخطوط القليلة الفقد والخطوط العديمة التشوه distortionless . ولكن بصورة عامة ليس على خطوط ذات فقد .

مثال :

الخط في مثال الجزء السابق كان له $Z_0 = 70$ اوم و $80 - j 115$ اوم Z_R ووجد بأن له نسبة متوقفة 2.7 اذا ارسلت قدرة مقدارها 50 واط على هذا الخط جد اتساعاً أقصى وأدنى فولتية وتيار ، ثم جد اتساع فولتية جانب الاستلام ايضاً .
اعلى واوطاً ممانعتين هما مقاوميتان بحتتان وعليه تستطيع كتابة اعلى نقطة :

$$P = \frac{|E_{\max}|^2}{Z_{\max}} = \frac{|E_{\max}|^2}{\rho Z_0}$$

$$50 = \frac{|E_{\max}|^2}{2.70 \times 70}$$

او

والتي فيها نجد :

$$|E_{\max}| = 97.3$$

فولت

ولايجاد أقصى فولتية على امتداد نموذج الموجة المتوقفة نستعمل العلاقة :

$$|E_{\max}| = \rho |E_{\min}|$$

أو

$$97.3 = 2.7 |E_{\min}|$$

والتي منها :

$$|E_{\min}| = 36.0$$

فولت

ولأقصى حد للتيار وأدناه نستعمل المعادلتين (6.12) و (6.13) :

$$|I_{\max}| = \frac{|E_{\max}|}{Z_0} = \frac{97.3}{70} = 1.39$$

$$|I_{\min}| = \frac{|E_{\min}|}{Z_0} = \frac{36.0}{70} = 0.514$$

أمبير

يمكن إيجاد تيار جانب الاستلام من علاقة القدرة :

$$P = |I_R|^2 R_R$$

حيث أن R_R هي المركبة المقاومة لممانعة جانب الاستلام ، وعليه :

$$50 = |I_R|^2 \times 115$$

منها نحصل على :

$$|I_R| = 0.660$$

أمبير

وفولتية جانب الارسل عندها :

$$|E_R| = |I_R Z_R| = 0.660 \sqrt{(115)^2 + (80)^2} \\ = 92.5 \text{ فولت}$$

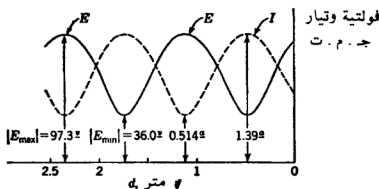
ان نموذج الموجة المتوقفة مبين الشكل 6.4 ، طول الموجة هو 2.5 متر والمسافة من الحمل الى اول ادنى فولتية وجدت في الجزء السابق وكانت 0.445 متراً .

6.4. الممانعة لخطوط عديمة الفقد :

The Impedance of Lossless Lines.

ان تغير الممانعة على طول خط عديم الفقد يمكن (بالطبع) ايجاده من خرائط خط النقل وقد برهننا سابقاً بأن المحل الهندسي لخط مهمل الفقد يتبع ببساطة دائرة ذات K ثابت ولبعض الاغراض فانه من المناسب ان تكون هنالك

صيغة للممانعة (ربما للحصول على نتائج أكثر دقة من تلك المحصلة بيانياً) ولكن بصورة عامة بسبب ان الصيغ لحالات خاصة معينة تصبح بسيطة وواضحة سنرجع الى المعادلة (4.42) التي تعطي الممانعة لخط فقد بصورة عامة بدلالة الدالات الزائدية وبوضع ثابت التوهين مساو الى الصفر (اي نستعمل $\tanh j\beta d = j \tan \beta d$) ، الان نلاحظ من المتطابقة (4.35) بأن $\gamma d = j\beta d$ وعليه نستطيع كتابة المعادلة (4.42) لحالة عدم الفقد كالآتي :



شكل 6.4 نموذج الموجة المتوقفة للمثال .

$$Z = Z_0 \frac{Z_R + jZ_0 \tan \beta d}{Z_0 + jZ_R \tan \beta d} = Z_0 \frac{Z_R + jZ_0 \tan 2\pi d/\lambda}{Z_0 + jZ_R \tan 2\pi d/\lambda} \quad (6.18)$$

ان الزاوية $\beta d = 2\pi d/\lambda$ معبر عنها بالزوايا نصف القطرية ونحصل على ممانعة جانب الارسال للخط Z_e من التعبير السابق بوضع $d = l$.

مثال :

جد ممانعة جانب الارسال لخط مهمل الفقد عندما

$$l = 1.183 \lambda \quad Z_0 = 55 \text{ اوم} \quad Z_R = 115 + j75 \text{ اوم} \quad \lambda = 1.183$$

تستعمل المعادلة (6.18) ونعبر اولاً عن الزاوية $2\pi d/\lambda$ بالدرجات ، الزاوية هي $2\pi \times 1.183 = 7.43$ من الزوايا نصف القطرية او 426° والتي هي مكافئة لـ 66° ثم :

$$Z_e = 55 \frac{(115 + j75) + j55 \tan 66^\circ}{55 + j(115 + j75) \tan 66^\circ} = 26.5 - j36.0 \text{ اوم}$$

وهذه تقارن مع 35.8 j - 27 اوم والتي حصلنا عليها من طريقة خط النقل ، باستعمال المعلومات نفسها في المثال 2 الجزء 5.5 .

6.5. خط نصف طول موجة وربع طول موجة :

Half-wavelength and Quarter-wavelength Lines.

ان مسافة نصف طول موجة على طول خط قليل الفقد تمثل على طريقة خط نقل بدوران كامل على دائرة K ثابت وعليه فان الممانعة نفسها ستتكرر عند الفواصل ذات نصف طول موجة ويمكن رؤية هذا ايضاً من المعادلة (6.18) حيث ان دالة الظل تتكرر عند فواصل مقدارها π من الزوايا نصف القطرية ، وبالرغم من ان الممانعة تتكرر عند فواصل مقدارها $\lambda/2$ فان كلاً من الفولتية والتيار يتعرضان الى ازاحة بالطور مقدارها 180° عند هذه المسافات . وبسبب تأثير تكرار الممانعة لمقاطع ذات نصف طول موجة فان العوازل من نوع الخرزة (Bead Type) في الخط المحوري يجب ان لاتوضع بمباعدة تساوي نصف موجة حيث ان هذا مكافئ لربطهما على التوازي اما اذا وضعت الخرزات بمباعدة ربع طول موجة فان الانعكاسات المتسببة منها ستحذف ماعدا مركبات فقدها .

ان مقطعاً ذا ربع طول موجي لخط قليل الفقد يعمل كعاكس ممانعة (Impe,dance Inverter) وكمثال اذا كانت ممانعة الانتهاء أكبر من Z_0 فان الممانعة في الجهة الاخرى ستكون أصغر من Z_0 وفضلاً عن ذلك فان حملاً حثياً سيجعل ممانعة جانب الارسال سعوية والعكس صحيح ايضاً وللبرهنة على هذه الخاصية استعمال المعادلة (6.18) وقسم البسط والمقام على $\tan 2\pi d/\lambda$ واجعل d تقترب من $\lambda/4$ وعندها تصبح ممانعة جانب الارسال لمقطع ذي ربع طول موجة .

$$Z_s = \frac{Z_0^2}{Z_R} \quad (6.19)$$

ويمكن كتابة هذا ل $Z_s/Z_0 = Z_0/Z_R$ او بدلالة الممانعة المعيارية :

$$z_s = \frac{1}{z_R} \quad (6.20)$$

وعليه فان الممانعة المعيارية المركبة عكست اي ان اتساعها قلب وعكست هزاوية طورها وهنالك تطبيق مهم لهذه الخاصية وهو ما يسمى بـ « محول ربع الموجة (Quarter Wave Transformer) وسيوصف في الجزء 7.8 . باعتماد المعادلة (6.18) يظهر بان اي مقطع ذي عدد فردي من ارباع الطول الموجي سيكون له خاصية عكس الممانعة نفسها على شرط ان يكون الفقد الاجمالي صغيراً » . ويمكن

اعتبار هذا نتيجة لاضافة واحد او اكثر من المقاطع المكررة من ممانعة نصف طول الموجة الى مقطع ذي ربع طول موجي .

6.6. مقاطع قصيرة كعناصر دائرة :

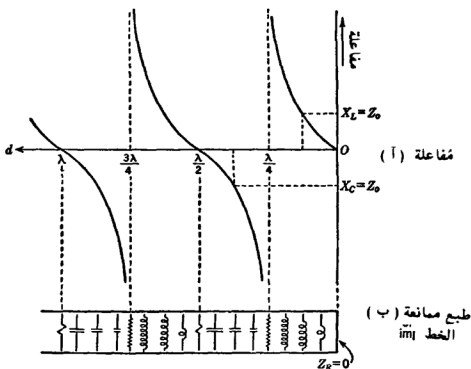
Short Sections as Circuit Elements.

كلما ازداد التردد وصغر طول الموجة فان ملفات المحاثة المألوفة والمتسعات (Condensers) تصبح اقل واقل فائدة كعناصر دائرة ، ا.ب. السعة الموزعة والموجودة بين لفات الملف تعطي ممانعة اقل كلما ارتفع التردد وفي النهاية فان الملف لا يتصرف كعنصر مكتل مع محاثة ثابتة بل يتصرف اكثر كخط نقل معقد وغير متوقع بالاضافة الى ذلك وبخلاف مامتوقع فان الفقد يكون عالياً دونما حاجة بسبب التأثير السطحي والقرب (Proximity) وعلى الاغلب بسبب انبعاث الطاقة. كما ان للمتسعات صعوبات مشابهة مرتبطة مع سريان التيار بالرغم من ان المدى النافع للمتسعات ممكن تمديده بصورة كبيرة باستعمال صفائح صغيرة ذات شكل هندسي بسيط وكلما اصبح التأثير الموزع للعناصر المكتلة المقترحة متعباً يصبح استعمال الثوابت الموزعة ذات الاشكال الهندسية البسيطة مرغوباً فيه وحيث تسمح بتوقع التأثير بشكل ايسر ويجعل الفقد اقل مايمكن وهذا يؤدي الى استعمال المقاطع القصيرة لخطوط النقل مع انتهاء كامل الانعكاس ويستفاد منها كمفاعلات حثية او سعوية او كدوائر رنانة (Resonant Circuits) عند الاطوال الموجية تحت بضع امتار حيث يصبح الخط المطلوب ملائماً لان مقطعه قصير الى درجة كافية بحيث يصبح ملائماً . هذه الخطوط القصيرة غالباً تدعى بتر* (Stubs). ان الخطوط المتوازية الانبواب والمتوازية الشريحة تستعمل غالباً ولكن عند اطوال موجية اقصر يفضل منها المحوري لانه مدرع ذاتياً (Self Shielded) وعلى اية حال يجب الحذر عند الانتهاءات لحفظ الطاقة ضمن الفراغ الحلقي ومنعه من الانتقال الى خارج الموصل الخارجي وعند الاطوال الموجية ذات 10 سم او اقل تستعمل صناديق معدنية مجوفة كمرنان (Resonator).

يمكن النظر الى بعض الانواع المتطرفة من التجويفات الرنانة (Cavity Resonators) كخطوط نقل اعتيادية ولكنها بصورة عامة خارج نطاق الدائرة الموزعة ويجب تحليلها بطرق النظرية الكهرومغناطيسية العامة وهذا يجعل الصندوق المجوف الرنان (Resonator Hollow-box) خارج مجال هذا الكتاب وسنعالج هنا فقط الاجهزة المفاعلة والرنانة التي يمكن تحليلها بواسطة نظرية خط النقل المألوفة .

* بتر جمع ابتر

ان الانتهاء الكامل الانعكاس اللازم لتكوين عنصر قليل الفقد ممكن الحصول عليه بواسطة دائرة قصر او دائرة فتح او مفاعلة بحتة ويستعمل انتهاء دائرة قصر على الاغلب لانه من الاسهل احداث انعكاس كامل بهذه الطريقة عندما يكون الطول الموجي صغيراً . ان الخطوط المفتوحة الدائرة قد تشع طاقة من الاطراف المفتوحة مالم تكن المباعدة بين الموصلات صغيرة الى درجة كافية بالمقارنة مع ربع طول الموجة وعلى خط مفتوح السلك فان صفيحة موصلة مقاومة عمودياً على الخط وموصلة كهربائياً الى السلكين هي عاكس ممتاز ومن الممكن جعل القابلو المحوري دائرة قصر بصورة كلية وذلك بغلق الفراغ الحلقى بسداد موصل .



شكل 6.5 التغير في مفاعلة على طول خط عديم الفقد مقصر الدائرة

انتهاء دائرة قصر :

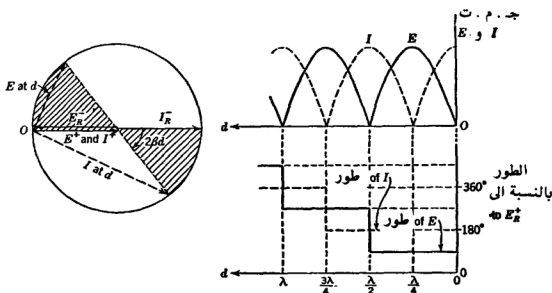
لايجاد الممانعة لخط دائرة قصر عديم الفقد ، استعمل المعادلة (6.18) مع $\bar{Z}_R = 0$ ، والنتيجة هي :

$$Z = jZ_0 \tan \frac{2\pi d}{\lambda} \quad (6.21)$$

حيث ان الزاوية $2\pi d/\lambda$ هي بالزوايا نصف القطرية ومع الزاوية معبر عنها بالدرجات عندنا :

$$Z = jZ_0 \tan \left(\frac{d}{\lambda} 360^\circ \right) \quad (6.22)$$

وهذه الممانعة هي مفاعلة بحتة وتغيرها مع d مخطط في الشكل 6.5 المسافة من الحمل d تظهر في ازدياد الى اليسار لجعلها مطابقة مع تخطيطنا الاعتيادي للخط وعندما يكون طول الخط العديم الفقد عدداً صحيحاً من انصاف الاطوال الموجية فان ممانعة جانب الارسال تكون صفراً وان فقد الخط هنا يجعل الممانعة في الحقيقة مقاومة صغيرة جداً ويقال عن خط بهذا الطول بأنه رنان ويمكن مقارنته مع دائرة LC المتوازية المكتلة في حالة الرنين، وعندما يكون طول الخط العديم الفقد عدداً فردياً من ارباع الاطوال الموجية فان ممانعة جانب الارسال تكون غير نهائية نظرياً (مقلوب ممانعة جانب الاستلام) والممانعة الحقيقية (باعتبار الفقد) هي مقاومة كبيرة جداً ويقال عن الخط انه غير رنان (Antiresonant) ويمكن مقارنته مع دائرة LC المتوازية المكتلة عندما $\omega L = 1/\omega C$ ان تأثير الفقد سيشرح في الجزء 6.8. بالرجوع إلى الشكل 6.5 يتضح بان مفاعلة ابتر مقصر الدائرة (Short Circuited Stub) حثية لاطوال اصغر من $\lambda/4$ وسعوية لاطوال بين $\lambda/4$ و $\lambda/2$ ومن الممكن ضبط اتساع الممانعة بتغيير طول الابتر وعندما $2 = \lambda/8$ $\beta l = \pi/4$ من الزوايا نصف القطرية او 45° نحصل على مفاعلة حثية مساوية عددياً للممانعة المميزة: $Z = jZ_0$ وبطريقة مشابهة عندما $\lambda/8$ $\beta l = 3\pi/4$ من الزوايا نصف القطرية او 135° نحصل على $Z = -jZ_0$.



شكل 6.6 مخطط كرانك البياني وانموذج الموجة المتوقفة والرسم البياني للطور لخط عديم الفقد مقصر الدائرة .

من الممكن الحصول على النموذج الموجة المتوقفة على طول خط مقصر الدائرة من رسم كرائك البياني كما مبين في الشكل 6.6 ويساوي معامل الانعكاس للفولتية عند جانب الاستلام (1 -) يحتوي الانموذج على دارات جيبية متعاقبة مع $E_{min} (=0)$ و I_{max} تحدثان على جانب الاستلام وهذا الرسم البياني يمكن مقارنته مع الرسم البياني في الشكل 4.8 ومن الممكن رسم انموذج من الذاكرة مبتدءاً بـ $E = 0$ و $I = I_{max}$ عند دائرة القصر .

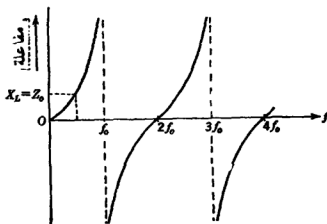
نتذكر من الجزء 4.6 بأن مخطط كرائك البياني رسم مع ابقاء E^+ اختيارياً ثابتاً في حين ان E^+ حقيقية يجب ان يدور بعكس عقارب الساعة خلال زاوية مقدارها βd و E^- كما يجب ان يدور بالعكس الزاوية نفسها ، وعليه للحصول على زوايا طور E و I بالنسبة الى مرجع ثابت E_{ref}^{+} فانه من الضروري تدوير كل رسم كرائك البياني بالزاوية βd ، ان زوايا الطور الناتجة -المسألة العالية مبينة في الشكل 6.6 . وان ازاحة بالطور (Phase Shift) مقدارها 180° تحدث فجأة عند نقاط الالتقاء (Nodes) (الدارات المتجاورة مختلفة الطور بـ 180° كل مع الاخرى) في اول ربع طول موجة I يتخلف عن E بـ 90° وفي ربع طول موجة لاحق I يسبق الفولتية بـ 90° وهكذا يستمر التغير الدوري (Cyclic) .

يبين الشكل 6.5 التغيير في الممانعة مع المسافة من الحمل الا ان التغير مع التردد لطول معين من خط لا يقل عن ذلك الاهمية واذا رجعنا الى المعادلة (6.21) واستعملنا $\lambda = v/f$ نحصل على ممانعة جانب الارسال لا يتر مقصر الدائرة ذي طول l :-

$$Z_L = jZ_0 \tan \frac{2\pi l}{v} f$$

$$= jZ_0 \tan \frac{\pi f}{2f_0}$$

(6.23)

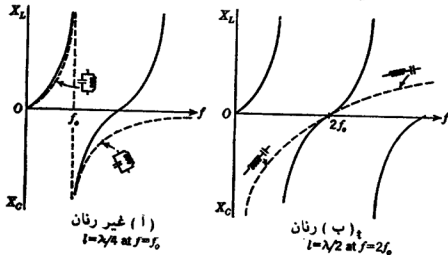


شكل 6.7 تغير ممانعة الدخل مع التردد (الخط عديم الفقد مقصر الدائرة)

حيث أن f_0 هو التردد الذي يجعل طول الخط مساوياً لربع طول الموجة وهذا مرسوم في الشكل (6.7) وهو مشابه بالهيئة للشكل 6.5 ، ان خطاً منتظماً يكون جانب استلامه دائرة مقصرة له عدد غير نهائي من الترددات الرنانة وغير الرنانة تتباعد عند فواصل منتظمة .

ان التطبيقات المختلفة للخطوط قليلة الفقد مقصرة الدائرة مبنية على الخواص التي شرحت الآن . ان الاوتر مع دائرة قصر متحركة شائع الاستعمال كضابط للمفاعلة ويستخدم بكثرة كعنصر موائمة ممانعة (Impedance Matching).

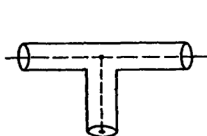
ان الخط قليل الفقد يتصرف بجوار التردد غير الرنان بالطريقة نفسها التي تتصرف بها دائرة رنانة متوازية ذات Q عالي ومن الممكن استعماله لاجراض مشابهة . قورن التغير بالمفاعلة مع التردد للنظامين في الشكل (6.8) وبطريقة مشابهة يتصرف الخط قليل الفقد بجوار التردد الرنان كدائرة رنانة متوالية ذات Q عالي كما هو موضح في الشكل (6.8 ب) وسيشرح لـ Q لخط رنان او غير رنان مقصر الدائرة في الجزء 6.9 .



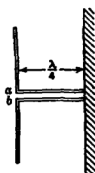
شكل 6.8 الخط عديم الفقد قصر الدائرة كدائرة رنانة . المنحنيات المنقطعة تبين مفاعلة دارتري LC المكنتلة للمقارنة .

غالباً ما يستعمل اوتر طوله ربع موجة مقصر الدائرة كعازل قليل الفقد عند الاطوال الموجية القصيرة ، مثالان لهذا التطبيق موضحان في الشكل 6.9 كما يستعمل اوتر ربع موجة (Quarter Wave Stub) أحياناً كعامل لموصل المركز لقابلو محوري صلب حيث انه عند الاطوال الموجية القصيرة يحدث انعكاساً أقل من العوازل الخزوية . ان حامل الاوتر هو تركيب غير رنان وحساس

جداً الى التغير في التردد وبشكله البسيط ملائم فقط للحزم الضيقة (Narrow-Bands) وعلى أية حال فانه من الممكن توسيع الحزمة (Broad-Banded) بتطوير بسيط في تركيبه^(١).



(١) قابلو محوري

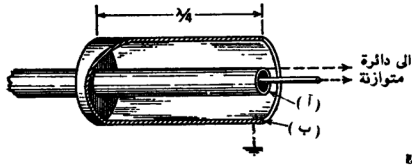


(ب) هوائي ثنائي القطب

شكل 6.9 خطان مقصرا الدائرة - ربع موجة يستعملان كحاملين عازلين .

هناك تطبيق مشابه الى حد ما هو مغير الخط المتوازن (Line Balance Converter) ويدعى متوازن - غير متوازن (Balun) والذي يستعمل كناقل بين نظام محوري غير متوازن وخط ذو سلكين متوازن او هوائي ثنائي القطب (Dipole Antenna) وعند الترددات الاوطأ فان انتقال المتوازن الى غير المتوازن قد تم بواسطة محول مألوف الى حد ما اذا اعتبرت تيارات التردد العالي المتناوبة فان الموصل الخارجي للقابلو المحوري هو بصورة عامة عند جهد اي سطوح كبيرة موصلة مجاورة او قريباً من ذلك ، اما بسبب ربط متعمد بين الاثنين او بسبب السعة الموجودة بينهما ، في حين في الجهة الاخرى يجب ان يكون الخط ذو السلكين متوازناً بالنسبة الى الارض بحيث يحمل تياران متساويان ومتعاكسان وسينتج عدم التوازن تيارات محتثة على السطوح الموصلة المتجاورة ، بالاضافة الى ذلك ، اذا ربط القابلو الى خط ذي سلكين فان الموجة ستنتقل الى خارج القابلو المحوري والتيار المتولد لا يخدمان اي غرض مفيد ويؤديان الى فقد عال وغير ضروري . المتوازن - غير المتوازن البسيط مبين في الشكل 6.10 ويدعى عادة كم فك تقارن (Decoupling sleeve) او بازوكا وهي تحتوي على عدد من ارباع الموجة عند نهاية القابلو المحوري والنهية عند هذه النقطة من الانتقال وهي تكون مفتوحة وتكون النهاية الاخرى مغلقة ، ان الكم والسطح الخارجي للقابلو يكونان خط قابلو محوري ربع موجة والذي يكون

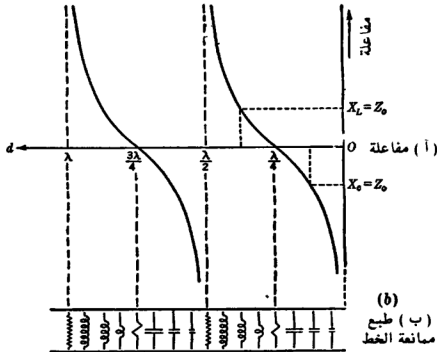
¹ See G. L. Ragan, "Microwave Transmission Circuits," Sec. 4.4, McGraw-Hill Book Company, Inc., New York, 1948, and T. Moreno, "Microwave Transmission Design Data," pp. 88-93, McGraw-Hill Book Company, Inc., New York, 1948.



شكل 6.10 منظر لجزء مقطوع من غم فلك تقارن .

مقصر الدائرة عند احدى نهايتيه وعليه يحدث ممانعة عالية بين النقطتين أ و ب . ان نقطة أ الآن معزولة عن الارض ومن الممكن ربطها الى دائرة متوازية .

المتوازن - غير المتوازن المبين في الشكل 6.10 مفيد على مدى ضيق (Narrow-Range) من الترددات وقد ابتكرت انواع اخرى لهرض حزمة اكبر^(١) . اذا استعمل حمل مكث في نهاية خط تردد عال فمن الممكن تمديد الخط بربع طول موجة خارج الحمل وهنالك ينهى بدائرة قصر ستكون لهذا الامتداد كبيرة جداً كما يرى من الحمل ولا يغير ذلك من اداء النظام حسب نظرية الدائرة ، وعلى



شكل 6.11 تغير المفاعلة على طول خط عديم الفقد مفتوح الدائرة

"Very High-frequency Techniques." by the Radio Research Laboratory Staff of Harvard University, Vol. I, Secs. 3-13 to 3-16, McGraw-Hill Book Company, Inc., New York, 1947.

اية حال من وجهة نظر المجال فإن دائرة القصر ستمعكس اية طاقة تعبر خلف الحمل وترسل هذا الانعكاس الى الحمل بحيث انها تصل مع علاقة طور لتتقوى نصف دورة الموجة الثانية الواصلة من المولد .

انتهاء دائرة فتح : Open Circuit Termination :

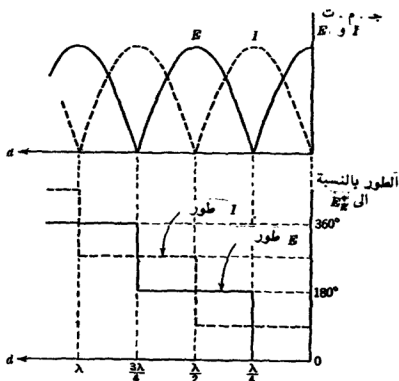
من الممكن ايجاد الممانعة لخط عديم الفقد مفتوح الدائرة من المعادلة (6.18) وذلك بجعل Z_L تقترب من مقدار غير متناه ثم نحصل على :

$$Z = \frac{-jZ_0}{\tan 2\pi d/\lambda} \quad (6.24)$$

او مع ازاحة الزاوية بالدرجات :

$$Z = \frac{-jZ_0}{\tan [(d/\lambda)360^\circ]} \quad (6.25)$$

وهذا له تغير مخطط في الشكل (6.11) . طبيعة ممانعة الخط مبينة رمزيا عند نقاط مختلفة وتكون الممانعة صغيرة جداً على بعد ربع طول موجة من الانتهاء (رئيس) وكبيرة على بعد نصف طول موجة من النهاية المفتوحة للدائرة (غير رنان) وتحدث مفاعلة سعوية مع ابتر مفتوح النهاية واقصر من ربع طول الموجة وتحصل مفاعلة حثية عندما يكون الطول بين $\lambda/4$ و $\lambda/2$. وهكذا دورياً .



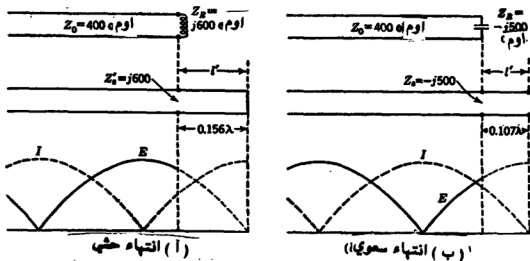
شكل 6.12 رسم بياني لـ نموذج الموجة المتولفة والطور لخط عديم الفقد مفتوح الدائرة

الشكل 6.12 يبين النموذج الموجة المتوقفة والتغير بالطور لكل من E و I على طول الخط ومن الممكن الحصول عليهما من رسم كرائك البياني وكما عمل في الشكل 6.6. من الممكن ومرة أخرى وببساطة رسم الانموذج من الذاكرة لـ $I = 0$ و $E = E_{\text{max}}$ عند النهاية المفتوحة.

الانتفاء مفاعل : Reactive Termination :

من الممكن احداث انعكاس تام ليس فقط بدائرة فتح او بدائرة قصر ولكن ايضاً بأي انتفاء مفاعل لايمتص اية طاقة ومن الممكن ايجاد التغير في الممانعة على طول الخط (بالطبع) من المعادلة 6.16 ومن الممكن استعمال مخطط كرائك البياني لايجاد انموذج الموجة المتوقفة وعلى اية حال فانه من المناسب لاجراض شتى تصور تأثير الحمل المفاعل بتبديله مع امتداد خط مفترض ممتد مفتوح او مقصر الدائرة ، ان طول هذا الامتداد المفترض يختار بحيث ان المفاعلة الحقيقية عند نهاية الاستلام هي نفسها كالسابق ومن الممكن عندها ايجاد انموذج الموجة المتوقفة عند تقاطع مختلفة للنظام الجديد المتكون من الخط الحقيقي زائداً الامتداد وبمدها يمكن اهمال الجزء المفترض .

الشكل 6.13 يبين مثالين لهذه الطريقة مع انموذج الموجتين المتوقفتين الناتجتين ففي الشكل 6.13 أُبدِل الحمل الحثي بـدِل مع امتداد دائرة قصر واختير الطول بحيث يجهز ممانعة مقدارها 600 Ω اوم عند طرفيه ولايجاد طول الامتداد استعمال المعادلة (6.22) مع ($Z_L' = j 600$ اوم) ثم عندها :



شكل 6.13 مثالان لحملين مفاعلين على خط عديم الفقد .

$$j600 = j400 \tan\left(\frac{l'}{\lambda} 360^\circ\right)$$

وعليه :

$$\tan\left(\frac{l'}{\lambda} 360^\circ\right) = 1.50$$

$$\frac{l'}{\lambda} 360^\circ = 56.3^\circ$$

ومنها

او

$$l' = 0.156\lambda$$

ان الطول المكافئ لامتداد الدائرة المفتوحة في الشكل (6.13 ب) يستخرج باستعمال المعادلة (6.25) :

$$-j500 = \frac{-j400}{\tan\left(\frac{l'}{\lambda} 360^\circ\right)}$$

ومنها نحصل على :

$$l' = 0.107\lambda$$

ان المكافئ لامتداد دائرة قصر مع طول اصغر من $\lambda/4$ هو حمل حثي ان E هي صفر عند النهاية المقصرة للامتداد المفترض ، هذا يجعل موقع اقصى فولتية على بعد اقل من $\lambda/4$ من حمل حثي وتكافئ المحاثاة الاكبر لامتدادات اطول . وتتحرك فولتية نحو الحمل اي انه عند محاثاة غير نهائية يكون التأثير مشابهاً لتأثير دائرة مفتوحة .

بالتشابه فان حملاً سعويًا يكون مكافئاً لامتداد دائرة مفتوحة مع طول اقل من $\lambda/4$ وهذا يؤدي الى ادنى موقع فولتية هو على بعد اقل من $\lambda/4$ من الحمل وتكون السعات الاكبر مكافئة لامتدادات اطول جاعلة ادنى فولتية تقترب من الحمل او تعطى السعة الكبيرة جداً تأثير دائرة قصر مع $E = 0$ عند الحمل .

6.7 . نظم رنانة أخرى . Other Resonant Systems.

نوقشت الصفات الرنانة وغير الرنانة لمقطع قصير من خط قليل الفقد في الجزء السابق من وجهة نظر الممانعة الظاهرة للمولد ووجهاً النظر الاخرى غالباً ماتكون مفيدة وهذه ستناقش بالترابط مع نظم درجة تعقيدها اكبر قليلاً . ان كلمة « رنان » تستعمل عادةً كحد شامل للدلالة على حالة نظام عندما يساق عند الترددات الطبيعية لذبذبته وعليه عندما تستعمل هذه الكلمة بهذه الطريقة فانها

تعني الظاهرتين سابقاً الرنين والرنين العكسي (Resonance and Antiresonance) وسيوضح المعنى من سياق الكلام .

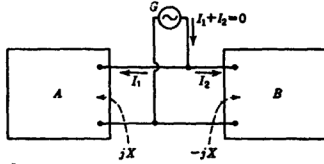
اعتبر الشكل 6.4 والذي فيه الصندوقان A و B يمثلان شبكتين عديمتي الفقد ممانعة مدخلهما عند تردد معين مفاعلتان متساويتان بالاتساع ولكن مختلفتان بالاشارة وعندما يساقان بمولد G يسלט فولتية مقدارها E بين طرفيه فان التيارين المارين في الشبكتين هما على التوالي $I_1 = E/jX$ و $I_2 = -E/jX$ ان تيار المولد (مجموع هذين التيارين) هو صفر والممانعة المشاهدة من المولد غير نهائية والشبكتان تمثلان نظاماً غير رنان عند هذا التردد .

من جهة اخرى اذا ربط هذا المولد على التوالي مع احد الاسلاك الذي يوصل مابين الشبكتين فان المولد سوف يرى مجموع الممانعتين او ممانعة مقدارها صفر عند هذا التردد وسيكون النظام رناناً لتمييزه عن النظام غير الرنان وفي هذا الجزء سنركز بصورة رئيسة على صفات النظم غير رنانة ومن الآن فصاعداً سنستعمل الكلمة « رنان » بمعناها العام .

في الحالة العملية فان شبكتي الشكل (6.14) سيكون لهما بعض الفقد وسيكون المولد قادراً على تجهيز تيار دوار بين الشبكتين وذلك بتجهيز تيار بالطور نفسه ليوافق الفقد وبصورة عامة فانه يمكن الحفاظ على النظام متذبذباً وذلك بتجهيزه عند نقطة معينة بطاقة ذات تردد ملائم ، ان اتساع التذبذب في الحالة المستقرة سيضبط نفسه بحيث ان كل الطاقة المجهزة تصرف كفقد .

عندما يكون الفقد صغيراً فان تيار المولد في الشكل 6.14 سيكون اصغر جداً من التيار الساري I_1 او I_2 بكثير والممانعة المشاهدة من قبل المولد ستكون سعتها اكبر بكثير جداً من X اوم وعليه فمالم يربط المولد عبر جزء من النظام ذي ممانعة صغيرة جداً بحيث يكون جزءاً للنظام فان ممانعة المدخل ستكون عالية جداً .

الشكل 6.15 يبين نظاماً رناناً متكون من خط مقصر الدائرة عند نهايته واذا سبق هذا النظام بمولد له فولتية متغيرة جيبياً فانه سيحدث موجة متوقفة كبيرة على النظام عند التردد الذي يجعل طول الخط مساوياً الى $\lambda/2$ وهذا هو التردد

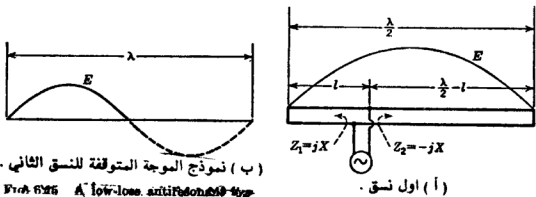


شكل 6.14 ممانعتان مفاعلتان متساويتان ومتعاكستان وصلتا لتشكلا نظاماً غير رنان .

الطبيعي للذبذبة النظام حيث انه يسمح للموجة المتوقفة لكي تحقق الشروط الحدودية وذلك لانها تملك فولتية عقدة voltage node عند كل من النهايتين المقصرتي الدائرة كما مبين في الشكل (6.15 أ) ان النتيجة مشابهة لاهتزاز خيط مرن موتر ومثبت في نهايته ويستطيع الفرد تخيل موجتين منتقلتين متعاكستين واحدة تنعكس باستمرار من الطرف الذي تسقط عليه وحين انعكاس تكون مصدراً للموجة الاخرى وهذا التذبذب الحادث من الانعكاس المستمر الى الامام والخلف ممكن ان يبقى عند اتساع ثابت وذلك بتجهيزه بطاقة كافية من الخارج ليتعادل مع الفقد واذا ربط مولد عبر الخط كما في الشكل 6.15 فان الخط وفولتية المولد يجب ان يكونا متساويين عند نقطة الربط واذا لم يوضع المولد قريباً جداً من نقطة التقاء فان هذه الفولتية ستكون رتبة اقصى فولتية على الخط نفسها وعليه فالمولد سيكون قادراً على تجهيز القدرة اللازمة وبتيار قليل فقط وسيبقى النظام غير رنان ، اما في الجهة الاخرى فان المولد المربوط على التوالي مع خط سيرى ممانعة واطئة وسيظهر النظام كأنه رنان بدلاً من غير رنان .

باعتبار الموجة المتوقفة بصورة عامة فان التيار يكون اعلى مايمكن في اللحظة التي تكون الفولتية في كل مكان صفراً وفي هذه اللحظة فان كل الطاقة في النظام ستخزن كمجالاً مغناطيسياً وبعد ربع دورة فان التيار يكون صفراً في كل مكان والفولتية اعلى مايمكن وبذا انتقلت الطاقة الى المجال الكهربائي .

واذا ازداد تردد المولد المساق خارج اول رنين فان ثاني تردد رنان سيكون عند ضعف التردد الاول وهذا التردد سيجعل طول الخط مساوياً لطول موجي ومرة اخرى يسمح للموجة المتوقفة لتحقيق الشروط الحدودية بامتلاك نقطة التقاء النهايتين المقصرتي الدائرة ونموذج الموجة المتوقفة الناتج للذبذبة النسق الثاني مبين في الشكل (6.15 ب) وهذا النسق له فولتية نقطة التقاء في منتصف



شكل 6.15 نظام قليل الفقد غير رنان ونموذجان للموجة المتوقفة لاول نسقين .

الخط . ان المولد المربوط عبر الخط في نقطة الالتقاء لا يكون قادراً على تجهيز الطاقة الى النسق ولا يكون قادراً على اثارة او ابقاء التذبذب .

من الممكن ايجاد نسق تذبذب اعلى عند المضاعفات الصحيحة لاول تردد رنان واذا احتوت فولتية المولد على توافقيات (Harmonics) فان من الممكن ان يثار نسقان او اكثر مرة واحدة وعندها عدة ترددات ستظهر على النظام في الوقت نفسه وسيكون انموذج الموجة المتوقفة (مقاساً بمؤشر فولتية ج . م . ت Rms Voltage Indicator) سيكون له شكلاً معقداً .

ان الاستدلال وفق اساسيات الطاقة تبين بأن مولداً مربوطاً على التوازي سيرى ممانعة عالية ولكن سنستعرض ذلك مع معادلات خط النقل للنسق الاول للشكل (6.15 أ) ، وباهمال الفقد واستعمال المعادلة (6.21) فان ممانعة مقطع الجبهة اليسرى كما يرى من طرفي المولد هي :

$$Z_1 = jZ_0 \tan \frac{2\pi l}{\lambda}$$

وممانعة مقطع الجبهة اليمنى كما يرى من الطرفين نفسيهما :

$$\begin{aligned} Z_2 &= jZ_0 \tan \frac{2\pi}{\lambda} \left(\frac{\lambda}{2} - l \right) \\ &= jZ_0 \tan \left(\pi - \frac{2\pi l}{\lambda} \right) \\ &= -jZ_0 \tan \frac{2\pi l}{\lambda} \end{aligned}$$

والتي هي سالبة Z_1 ، ان المولد سيرى ممانعتين على التوازي والنتاج هو ممانعة غير نهائية لاتعتمد على الطول وعملياً (بالطبع) فان الممانعة محدودة عند

الرئين بالرغم من انها اكبر جداً من Z_1 ، واذا حركت نقطة اتصال المولد نحو نقطة التقاء الفولتية فان الممانعة Z_1 تقل وفي النهاية تصبح صفراً عند نقطة الالتقاء ($l = 0$) . بالتشابه فان الممانعة الظاهرة للمولد تقل نحو الصفر كلما اقتربت نقطة الالتقاء الى حد (عند نقطة الالتقاء) لا يمكن تجهيز طاقة الى المولد .

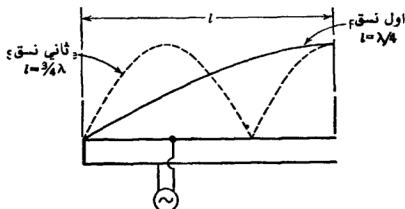


Fig. 6.16. Another anti

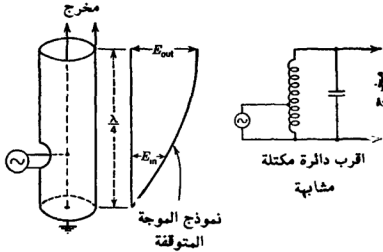
شكل 6.16 نظام غير رنان آخر .

مثال آخر لنظام خط نقل غير رنان مبين في الشكل 6.16 ، ان النسق الطبيعية لذبذبة هذا النظام يجب ان يكون لها اقصى فولتية عند الطرف المفتوح ونقطة التقاء عند الدائرة المقصورة ، النسق الاول سيجعل طول الخط مساو لربع طول الموجة كما تبين نموذج الموجة المتوقفة بالمنحني المستمر والنسق الثاني تردد يعادل ثلاث مرات بقدر الاول ويجعل طول الخط $3\lambda/4$ وانموذج موجته المتوقفة مبين بالمنحني المنقط . هذا النظام يشغل عند اوطاً نسق وغالباً ما يستعمل عملياً . وعندما يربط المولد في النهاية المفتوحة للخط فان النظام سيختصر الى ذلك النظام البسيط الذي نوقش في الجزء السابق (الاشكال من 6.5 الى 6.8) وعندما يساق الخط في نقطة وسطية فان من الممكن استعماله محولاً ذاتياً موافقاً (Tuned Auto Transformer) كما هو مبين في الشكل 6.17 . انموذج الموجة المتوقفة الظاهرة بجانب الخط يفترض بان المخرج يشغل في ممانعة عالية جداً .

ان الترتيب الموضح في الشكل 6.18 غالباً ما يصادف في التطبيقات العملية ، المتسعة C ، ممكن ان تمثل السعة بين الالواح الداخلية (Interelectrode) لصبام مفرغ (Vacuum Tube) سيسبب النظام عندما تكون ممانعة مدخل الخط Z مفاعلة مساوية ومعاكسة لمفاعلة المتسعة . باستعمال المعادلة (6.21) مع الزاوية $2\pi l/\lambda$ معبرة عنها كـ $\omega l/v$. هذا الشرط هو :

$$Z_0 \tan \frac{\omega}{v} = \frac{1}{\omega C} \quad (6.26)$$

ان الترددات غير الرنانة تعطى بتقاطع القطع الزائد $1/\omega C$ (Hyperbola) مع الدالة $Z_0 \tan \omega/v$. كما هو مبين في الشكل 6.18 ب. وهذه لا ترتبط توافقياً كل بالآخر، ان نماذج الموجة المتوقفة للفولتية لاول نسقين مخططة تقريباً في الشكل 6.18 أ.



شكل 6.17 خط ربع موجة مستعمل محولاً ذاتياً .

6.8. الممانعة قرب الرنين والرنين العكسي :

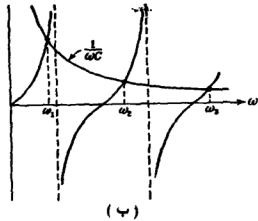
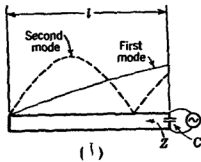
The Impedance Near Resonance and Antiresonance:

بسبب اهمال الفقد فان المعادلات المشتقة في الجزء 6.6 تبين بان ممانعة المدخل هي غير نهائية عند الرنين العكسي وصفر عند الرنين ، في هذا الجزء سنأخذ الفقد بنظر الاعتبار ونلاحظ صفات الممانعة قرب الترددات الحرجة او نأخذ بنظر الاعتبار مقطع النظم الرنانة البسيطة التي تساق عند احدى النهايتين وتربط النهاية الاخرى الى انتهاء انعكاس تام .
مسايرة مدخل قرب رنين عكسي : اذا كان الانتهاء عاكساً تاماً فان مركبتى الفولتية المنعكسة والساقطة ستكونان متساويتين بالاتساع عند جانب الاستلام ، ارمز لهذه الاتساع بالحرف A اي ان :

$$|E_s^+| = |E_s^-| = A \quad (6.27)$$

لذا فان اتساع مركبة التيار وعند جانب الاستلام سيكون :

$$|I_s^+| = |I_s^-| = \frac{A}{Z_0} \quad (6.28)$$



شكل 6.18 خط غير رنان محمل بسعة عند احدى نهايتيه .

عند جانب الارسال الفولتية والتيار المنعكسان سينزاحان بـ βl - من الزوايا نصف القطرية من موقعي طوريهما عند جانب الاستلام ويتقلصان بالعامل $e^{-\alpha l}$ (لاحظ الشكل 6.19) حيث ان αl اقل جداً من 1 نيزر، هذا العامل سيكون مساوياً $1 - \alpha l$ بصورة قريبة جداً وبالتشابه فان المركبتين الاماميتين المتنقلتين متسبقان موقعي طوريهما عند الحمل βl من الزوايا نصف القطرية وسيكونان اكبر بالعامل $e^{\alpha l}$ والذي يساوي تقريباً $1 + \alpha l$.

عند تردد غير رنان فان متجهتي الفولتيتين سيكونان باتجاه واحد تقريباً مركبتا التيارين سيكونان متعاكسين في الطور تقريباً كما مبين في الشكل 6.19. الكمية التي تختلف بها βl عن القيمة غير الرنانة سيرمز لها بـ $\Delta\theta$.

الان سنضيف مركبتي الفولتية للحصول على فولتية جانب الارسال، ان المركبتين العموديتين للمتجهين صغيرتان جداً وسينعذهان تقريباً ويمكن اهمالها مقارنة مع المركبتين الافقيتين الكبيرتين وعليه (طالما $1 \approx \cos \Delta\theta$) يكون عندنا :

$$E_s = E_s^+ + E_s^- = A(1 + \alpha l) + A(1 - \alpha l) = 2A \quad (6.29)$$

وبتحليل متجهتي التيار الى جزء حقيقي وآخر خيالي واستعمال $\cos \Delta\theta = 1$ و $\Delta\theta = \Delta\theta$ يكون عندنا :

$$I_s = I_s^+ + I_s^- \approx \frac{A(1 + \alpha l)}{Z_0} (1 + j \Delta\theta) + \frac{A(1 - \alpha l)}{Z_0} (-1 + j \Delta\theta)$$

$$I_s = \frac{2A}{Z_0} (\alpha l + j \Delta\theta) \quad (6.30)$$

وبتقسيم I_s بـ E_s نحصل على المسايرة قرب الرنين العكسي :

$$Y_s = \frac{I_s}{E_s} = \frac{1}{Z_0} (\alpha l + j \Delta\theta) \quad (6.31)$$

والكمية $\Delta\theta$ هي مقدار اختلاف βl عن القيمة غير الرناتية وبما ان $\beta = \omega/v$ نستطيع كتابة الزاوية كالآتي :

$$\beta l = \frac{\omega}{v} \quad (6.32)$$

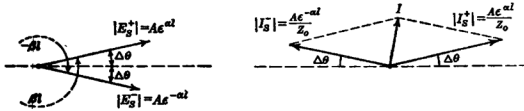
وإذا كان طول الخط ثابتاً والتردد متغير فعندها :

$$\Delta\theta = \frac{l}{v} \Delta\omega \quad (6.33)$$

حيث $\Delta\omega$ هو المقدار الذي به يكون التردد الزاوي ω اكبر من القيمة غير الرناتية ، من جهة اخرى فاذا كان التردد ثابتاً والطول متغيراً عندها :

$$\Delta\theta = \frac{\omega}{v} \Delta l = 2\pi \frac{\Delta l}{\lambda} \quad (6.34)$$

حيث Δl هو المقدار الذي يتعدى به الطول اللازم للرنين العكسي .



شكل 6.19 المركبتان الساقطتين والمنعكستين للفولتية والتيار قرب الرنين العكسي

إذا فرضنا ان الطول ثابت ورغبنا رؤية تأثير تغير صغير بالتردد قرب الرنين العكسي فنستعمل المعادلة (6.33) لـ $\Delta\theta$ ونكتب المعادلة (6.31) كالآتي :

$$Y_s = \frac{1}{Z_0} \left(\alpha l + j \frac{l}{v} \Delta\omega \right) \quad (6.35)$$

ان المسايرة عند الرنين العكسي ببساطة هي $Y_s = \alpha l / Z_0$ والممانعة هي مقاوم واكبر جداً من Z_0 :

$$Z_{\max} = \frac{Z_0}{\alpha l} \quad (6.36)$$

تبين المعادلة (6.35) أن مسايرة المدخل ستكون لها تقبلية (susceptance) (سعوية) موجبة عند تردد فوق الرنين العكسي وتقبلية سالبة (حثية) تحت الرنين العكسي وعليه فأي زيادة في التردد ستغير التقبلية في الاتجاه الموجب .

ممانعة مدخل قرب رنين : - عندما يكون الخط قليل الفقد مع انتهاء عاكس تام قرب الرنين فإن الفولتية المنعكسة والساقطة ستحدان تقريباً عند جانب الارسال في حين ستضاف مركبتا التيارين مباشرة تقريباً وهذه هي عكس الحالة العاصلة قرب الرنين العكسي الموصوف في الشكل 6.19 والتحليل مشابه للحالة السابقة ماعدا انعكاس متجهي التيار والفولتية والتعبير الناتج لممانعة المدخل يمكن توقعه من النتيجة المعطاة في المعادلة (6.31) وهي :

$$Z_e = Z_0(al + j \Delta\theta) \quad (6.37)$$

واذا كان طول الخط ثابتاً ورغبنا في رؤية تأثير تغيير صغير $\Delta\omega$ من التردد الرنان نستعمل المعادلة (6.33) لـ $\Delta\theta$ ونكتب :

$$Z_e = Z_0 \left(al + j \frac{l}{v} \Delta\omega \right) \quad (6.38)$$

عند الرنين تكون ممانعة المدخل مقاومة صغيرة :

$$Z_{min} = Z_0 al \quad (6.39)$$

فوق الرنين تكون للممانعة مركبة حثية وتحت الرنين لها مركبة سعوية وان اية زيادة في التردد ستغير المركبة المفاعلية بالاتجاه الموجب .

مثال :

خط هوائي العزل مصنوع من انبوبيين نحاسيين متوازيين نصف قطر كل انبوب 0.15 انج ومركزيهما متباعدين بـ 1 انج . يساق الخط عند احدى نهايتيه بمولد تردده 200 ميكا هرتز ومنته بالنهاية الاخرى بدائرة قصر قابلة للتعديل (Adjustable Short Circuit) . جد ممانعة المدخل كدالة للطول اخذاً بنظر الاعتبار تأثير فقد المقاومة . اهلل فقد الاشعاع من الموصلين ومن النهاية المقصورة للدائرة .

ان الممانعة المميزة هي تقريباً :

$$Z_0 = 120 \log_e \frac{D}{a} = 120 \log_e \frac{1}{0.15} = 228 \quad \text{اوم}$$

(الصيغة المضبوطة اكثر هي $Z_0 = 120 \cosh^{-1} D/2a$ وتعطي 225 اوم) .

ان صيغة الفقد (6.21) ستطبق بدقة جيدة ماعدا قرب النقاط الرنانه

$$Z_e = j228 \tan \frac{2\pi l}{\lambda} \quad \text{اوم}$$

نستعمل المعادلتين (6.31) و (6.37) للممانعة قرب النقاط الحرجة : اولاً نحسب ثابت التوهين . المقاومة لكل وحدة طول لخط متوازي السلك مكون من موصلات نحاسية هي (لاحظ الفصل 3) :

$$R = 8.34 \times 10^{-6} \frac{\sqrt{f}}{a_{cm}} = 8.34 \times 10^6 \frac{\sqrt{200 \times 10^6}}{0.15 \times 2.54}$$

$$= 0.309$$

اوم / متر

وبعد اھمال فقد الاشعاع والمواصلة الترسية يكون لدينا :

$$\alpha = \frac{R}{2Z_0} = \frac{0.309}{2 \times 228} = 6.78 \times 10^{-4} \quad \text{نمبر لكل متر}$$

وبافتراض سرعة مقدارها 3×10^8 متر لكل ثانية فان طول الموجة هو :

$$\lambda = \frac{v}{f} = \frac{3 \times 10^8}{200 \times 10^6} = 1.5 \quad \text{متر}$$

في جوار اول نقطة غير رنانة فان طول الخط سيكون تقريباً $\lambda/4$ او 0.375 متر وعليه من المعادلة (6-31) ومع $\Delta l/\lambda = 2\pi \Delta l/\lambda$ يكون لدينا :

$$Y_s = \frac{1}{228} \left(6.78 \times 10^{-4} \times 0.375 + j2\pi \frac{\Delta l}{\lambda} \right) \quad \text{سيمنس}$$

او :

$$Z_s = \frac{898,000}{1 + j24,700 \Delta l/\lambda} \quad \text{اوم}$$

حيث ان Δl هو المقدار الذي يتعدى به الطول القيمة غير الرنانة . عند الرنين العكسي ، فان ممانعة المدخل مقاومة بحتة مقدارها 898,000 اوم واذا تغير الطول من القيمة الرنانة بحيث ان $\Delta l/\lambda = 1/24,700$ اي بمعنى آخر اذا $\Delta l = 0.061$ ملم فانه سيولد زاوية طور مقدارها 45 ويقل اتساع الممانعة الى $1/\sqrt{2}$ 89,8000 وكما ظهر فان الرنين العكسي حاد جداً وتربط عملياً متعة متغيرة صغيرة في الغالب عند جانب المولد لخط غير رنان لغرض توفير ضبط دقيق .

واذا ضبط طول الخط ليصبح $\lambda/2$. او 0.75 متر فانه سيشتغل في نسقه الاول الرنان (من المعادلة 3-39) ستكون ممانعة جانب الارسال :

$$Z_{min} = Z_0 \alpha l = 228 \times 6.78 \times 10^{-4} \times 0.75 = 0.116 \quad \text{اوم}$$

واخيراً افرض بان الخط يشتغل في نسقه الثاني غير الرنان والذي له $l = 3\lambda/4$

او 1.125 متر ، ستكون الآن ممانعة جانب الارسال عند الرنين العكسي

$$Z = \frac{Z_0}{\alpha l} = \frac{228}{6.78 \times 10^{-4} \times 1.125} = 299,000 \quad \text{اوم}$$

ان ممانعة جانب الارسال مرسومة كدالة للطول في الشكل 6-20 باستعمال مقياس لوغاريتمي ، ان الذروات عالية جداً بحيث لو ان المنحني رسم على مقياس خطي وسمح لاعلى النقاط بالسقوط على الرسم فان المخطط سيحتوي على مجموعة من نتوءات (Spikes) غير مميزة العرض واقعة عند نقاط ربع الموجة الفردية . فالمخطط في الواقع مماثل بالاتساع لتفرد دالة الظل كما حُبت لفقد مقداره صفر في ماعدا النقاط القريبة من الاطوال الحرجة .

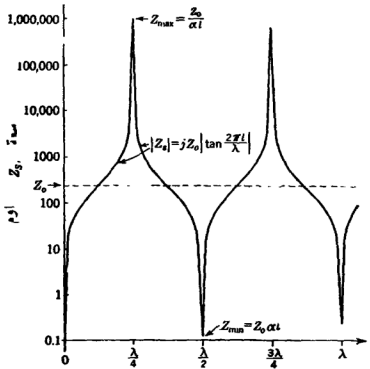
6.9. ال Q لخطوط رنانة وغير رنانة :

The Q of Resonant and Antiresonant Lines.

قبل اعتبار ال Q لخط قليل الفقد نستعرض معنى ال Q وعرض الحزمة (Band width) كما تطبق لدوائر رنانة مكتلة .

ال Q لدوائر مكتلة : ان عامل الجودة (Quality Factor) لمحاثة ملف مكتل ، غالباً ما يعرف ك $\omega L/R$ ، حيث ان \bar{R} هي مقاومة التوالي الفعالة للملف واذا ربط الملف على التوالي مع متسعة عديمة الفقد فان ال Q هو مقياس حدة الرنين (Sharpness of Resonance) لقيم كبيرة ومعقولة ل Q يمكن البرهان على ان الممانعة قرب الرنين هي تقريباً :-

$$Z = R \left(1 + j2Q \frac{\Delta\omega}{\omega_0} \right) = R \left(1 + j2Q \frac{\Delta f}{f_0} \right) \quad (6.40)$$



شكل 6.20 التغير في اتساع ممانعة جانب الارسل لخط مقصر الدائرة متغير الطول .

إذا سقت الدائرة بمولد فولتية ثابتة فإن التيار عند كلا الترددين سيكون $1/\sqrt{2}$ من اتساعه عند الرنين والقدرة عندها ستكون نصف قيمتها عند الرنين وعليه فإن هذان الترددان يعرفان بـ نقطتي نصف القدرة . ان عرض حزمة دائرة الرنين هو (كاصطلاح) عدد الدورات بالثانية بين ترددي نصف القدرة وعليه سيكون لدينا العلاقة :

$$\frac{BW}{f_0} = \frac{f_2 - f_1}{f_0} = \frac{1}{Q} \quad (6.42)$$

حيث ان f_0 هي التردد الرنان و Δf هو المقدار الذي يزيد به التردد المسلط فوق الرنين (١) وهذه هي متشابهة بالهيئة للمعادلة (6.38) لممانعة خط قليل الفقد قرب الرنين . ملاحظة المعادلة (6.40) تبين بأن مفاعلة الدائرة ستكون مساوية للمقاومة عند ضبط التردد اما فوق الرنين او تحته بحيث ان $\Delta f/f_0 = \pm 1/2Q$ وهذان الترددان هما :

$$\left. \begin{aligned} f_1 &= f_0 \left(1 - \frac{1}{2Q} \right) \\ f_2 &= f_0 \left(1 + \frac{1}{2Q} \right) \end{aligned} \right\} \quad (6.41)$$

حيث ان الحرف BW يدل على عرض الحزمة . يتناسب عرض الحزمة الجزئية BW/f_0 (Fractional BW) عكسياً مع Q للملف .

ان دائرة التوازي غير الرنانة في دوائر الموصلات شائعة اكثر من دائرة التوالي الرنانة واذا ربطت محاثه ملف ذي Q عالية لحد معقول على التوازي مع متسعة فإن المسايمة للمجموعة قرب الرنين العكسي هي تقريباً :

$$Y = \frac{1}{Q} \sqrt{\frac{C}{L}} \left(1 + j2Q \frac{\Delta\omega}{\omega_0} \right) = \frac{1}{Q} \sqrt{\frac{C}{L}} \left(1 + j2Q \frac{\Delta f}{f_0} \right) \quad (6.43)$$

هنا (وكما سبق) فان $Q = \omega_0 L/R$. واذا جهزت هذه الدائرة بتيار متناوب ذي اتساع ثابت فان القدرة المأخوذة بواسطة الدائرة ستكون نصف القدرة عن الرنين العكسي عندما $\Delta f/f_0 = \pm 1/2Q$ ونسبة عرض الحزمة الى التردد الرنان هي مرة اخرى :

(١) لمناقشة الرنين والـ Q . لاحظ كمثال :

M. I. T. Staff, «Electric Circuits,» pp. 319-331, John Wiley & Sons, Inc., New York, 1940. and R. H. Frazier, «Elementary Electric-circuit Theory,» pp. 229-234, McGraw-Hill Book Company, Inc., New York, 1945.

$$\frac{BW}{f_0} = \frac{1}{Q}$$

والتعريف $Q = \omega L/R$ لا يزال مفيداً لهذه الحالة .

وأخيراً افترض بان المحاثة عديمة الفقد L ربطت مع سعة C على التوازي ومقاومة R_p (هذه قد تكون المكافئ المتوازي لمقاومة على التوالي مع مصحاة والذي رمز له بـ R) ، عندما تكون R_p كبيرة فالمسايرة قرب العكسي يمكن ان تبرهن على انها تقريباً :

$$Y = \frac{1}{R_p} \left(1 + j2 \frac{R_p}{\omega_0 L} \frac{\Delta\omega}{\omega_0} \right) \quad (6.44)$$

الان عندما مشكلة في تعريف الـ Q . التعريف الاصلي كان $\omega L/R$ حيث ان R كانت مقاومة التوالي للملف وهذا يعطي نتيجة منبهة بدلالة عرض الحزمة لاول دائرتين ولكن الفقد في الدائرة الاخيرة يجهز بواسطة مقاومة التوازي بدلاً من التوالي وكنتيجه لذلك لا يبقى عرض الحزمة الجزئي $\omega_0 L/R$ ولكن هو $R_p/\omega_0 L$ ، وعليه قررنا توسيع التعريف الاصلي لـ Q واسناده الان لعرض الحزمة واذا عرفنا الـ Q من جديد كـ f_0/BW فان الدائرتين سيبتى لها Q مساوي لـ $\omega_0 L/R$ والاخير سيكون $Q = R_p/\omega_0 L$ والمعادلة (6.44) سيكون لها الهيئة نفسها كالمعادلتين (6.40) و (6.43) والـ Q سيكون له السمنى نفسه بالنسبة الى عرض الحزمة وحدة الرنين لكلا الدائرتين وعليه فالتعريف الجديد اشمل واكثر فائدة من القديم .

الـ Q لخطوط على اسس عرض الحزمة : من الممكن تطبيق تعريف عرض الحزمة لـ Q مباشرة على الخطوط الرناتة وغير الرناتة والذي يساق عند احدى نهايتيه وينتهي بعكس تام في النهاية الاخرى ، المعادلتان (6.35) و (6.38) تبينان بأن المسايرتين قرب الرنين العكسي والمسانة قرب الرنين يتضمنان الدالة الآتية للتردد :

$$\alpha l + j \frac{l}{v} \Delta\omega$$

ان نقاط نصف القدرة يحصل عليها عندما يكون الجزء الخيالي لهذا مساو الى الجزء الحقيقي اي بمعنى آخر عندما $\Delta\omega = \pm \alpha v$ او $\Delta f = \pm \alpha v/2\pi$ ، ان عرض الحزمة هو ضعف الاتساع لهذا ، او :

$$BW = \frac{\alpha v}{\pi} \quad (6.45)$$

وبصورة عامة فان $\beta = \omega/v$ وكذلك $\omega = \beta v$ والذي منها :

$$f = \frac{\beta v}{2\pi} \quad (6.46)$$

وعليه فإن الـ Q عند الرنين والرنين العكسي هو :

$$Q = \frac{f}{BW} = \frac{\beta}{2\alpha} \quad (6.47)$$

وبما أن $\alpha \approx R/2Z_0 + GZ_0/2$ و $\beta = \omega\sqrt{LC}$ فإن استخراج تأثير متغيرات (Parameters) الخط على الـ Q وعرض الحزمة غير صعبة .

مثال :

خذ الخط الهوائي العزل المستعمل مثلاً في الجزء السابق الذي يتكون من أنبوبين نحاسيين متوازيين نصف قطرهما 0.15 أنج ويتباعد مركزاهما بأنج واحد، كان الخط مقصر الدائرة عند إحدى نهايتيه ويساق بمولد 200 ميكا هرتز عند النهاية الأخرى، باهمال الموصلة التسريبية والاشعاع فإن التوهين حسب ليكون :

$$\alpha = 6.78 \times 10^{-4} \text{ nepers/meter} \quad \text{نيبر لكل متر}$$

وبفرض أن السرعة مساوية لسرعة الضوء في الفراغ المطلق يكون عندنا :

$$\beta = \frac{\omega}{v} = \frac{2\pi \times 200 \times 10^6}{3 \times 10^8} = 4.19 \text{ rad/meter} \quad \text{زوايا قطرية لكل متر}$$

وعليه باستعمال المعادلة (6.47) عندنا :

$$Q = \frac{\beta}{2\alpha} = \frac{4.19}{2 \times 6.78 \times 10^{-4}} = 3,090$$

أن الـ Q الحقيقي قد يكون أصغر من هذا نوعاً ما بسبب الفقد الذي لم نأخذه بنظر الاعتبار ولكنه أكبر بصورة واضحة من تلك الناتجة من عناصر الدائرة المكتلة ، أن عرض الحزمة بين نقطتي نصف القدرة ستكون :

$$BW = \frac{f}{Q} = \frac{200 \times 10^6}{3,090} = 64,700 \quad \text{هرتز}$$

وعليه فإن الرنين حاد جداً وأن الـ Q وعرض الحزمة ستكون متساوية لمختلف الترددات الرنانة وغير الرنانة المؤشرة في الشكل 6.20 إلى أن تنهار في النهاية (عندما يكون الطول كبير جداً) فرضية الفقد الإجمالي الصغير جداً والعلاقات التي اشتقناها على هذه القواعد لا تطبق .

تعريف الطاقة لـ Q : - أن تعريف الـ Q على أسس عرض الحزمة بين نقطتي نصف القدرة (حيث أن $Q = f_0/BW$) تحتاج إلى معرفة ممانعة المدخل كدالة للتردد ، للنظم الأكثر تعقيداً مازال التعريف الأكثر عمومية لـ Q هو المرغوب فيه والتعريف المفيد الذي يختصر إلى التعريف السابق في حالات أكثر بساطة يبني على الطاقة ويمكن تطبيقه ليس فقط على الدوائر المكتلة وخطوط

النقل فحسب بل ايضا على التجويفات الرنانة والنظم الميكانيكية الرنانة ،
التعريف هو :

$$(6.48) \quad \text{عامل الجودة } Q = 2\pi \times \frac{\text{الطاقة المخزونة}}{\text{الطاقة الممتصة لكل دورة}}$$

ان الطاقة الممتصة لكل دورة مضروبة في عدد الدورات بالثانية هي الطاقة
المفقودة لكل ثانية والتي تتبدد كقدرة ، يضرب البسط والمقام بالتردد f نحصل
على تعبير مكافئ لـ Q :

$$(6.49) \quad Q = \omega \times \frac{\text{معدل امتصاص الطاقة}}{\text{معدل امتصاص الطاقة}}$$

ان الطاقة المخزونة تحسب بصورة عامة باهمال الفقد كلياً وللسهولة تختار
لحظة للحسابات عندما تكون كل الطاقة المخزونة اما في المجال المغناطيسي
(التيار في ذروته والفولتية صفر) او كل الطاقة في المجال الكهربائي (التيار صفر
والفولتية في ذروتها) ثم يستعمل نموذجاً الموجة المتوقفة للتيار او الفولتية
لحالة عدم الفقد لايجاد $I^2 R$ او $E^2 G$.

كمثال لاستعمال تعريف الطاقة ، افترض خطأً قليل الفقد طول ربيع موجة
ومقصر الدائرة في جانب الاستلام ، ان الـ Q (على اسس عرض الموجة) بين على
انه يكون $\beta/2\alpha$ ، عند اللحظة التي تكون الفولتية صفر على طول الخط والتيار
يكون في ذروته في كل مكان ويتوزع كدالة جيبية :

$$i = \sqrt{2} I_R \sin \frac{\pi x}{2l}$$

حيث ان x مقاسه من جانب الارسل و I_R هو قيمة ج.م. ت لتيار جانب
الاستلام . ان الطاقة المخزونة في المجال المغناطيسي وفي طول dx هي
 $(L dx) i^2 / 2$ وعليه فلكل الخط :

$$\text{الطاقة المخزونة} = \int_0^l L I_R^2 \sin^2 \frac{\pi x}{2l} dx$$

$$= \frac{1}{2} L I_R^2 \quad \text{جول}$$

ان النتائج نفسها سيحصل عليها من حساب الطاقة المخزونة في المجال الكهربائي
عند لحظة يكون فيها التيار صفراً والفولتية اعلى مايمكن ، بعد ذلك نحسب معدل
الطاقة الممتصة من قبل الخط . تيار ج.م. ت عند اية نقطة هو :

$$I = I_R \sin \frac{\pi x}{2l}$$

والفقد $I^2 R$ (تكامله على طول الخط) هو :

$$P_1 = \int_0^l R I_R^2 \sin^2 \frac{\pi x}{2l} dx = \frac{1}{2} R I_R^2 \quad \text{واط}$$

ان فولتية ج.م. ت عند اية نقطة هي :

$$E = I_R Z_0 \cos \frac{\pi x}{2l}$$

والفقد في العازل هو :

$$P_2 = \int_0^l E^2 G \, dx = \frac{1}{2} G l Z_0^2 I_R^2 = \frac{G l L}{2 C} I_R^2$$

حسب التعريف (6.49) فإن الـ Q للخط هو :

$$Q = \omega \frac{\text{الطاقة المخزنة}}{P_1 + P_2} = \frac{\omega L C}{R C + L G}$$

ويعطينا عرض الحزمة تعبيراً مشابهاً :

$$Q = \frac{\beta}{2\alpha} = \frac{\omega \sqrt{L C}}{2 \left(\frac{R}{2} \sqrt{\frac{C}{L}} + \frac{G}{2} \sqrt{\frac{L}{C}} \right)} = \frac{\omega L C}{R C + L G}$$

حيث ان اعتبار قيمة 200 لـ Q هو جيد جداً لملف محاثة مكتمل ويمكن الحصول قيم تبلغ عدة الآف لـ Q في خطوط النقل عند اطوال موجية اقصر .

مسائل

1 . خط قليل الفقد له ممانعة مميزة 400 اوم . استخرج نسبة الموجة المتوقفة لممانعات جانب الاستلام الآتية :

أ . اوم $Z_R = 70 + j0$.

ب . اوم $Z_R = 800 + j0$.

ج . اوم $Z_R = 650 - j475$.

2 . خط نقل له ممانعة مميزة مقدارها 70 اوم انهي عند جانب استلامه بمقاومة مقدارها 0.50 اوم ، طول الموجة هو 1.5 متر وتيار جانب الاستلام 2.0 امبير ج . م . ت . -

أ . ارسم مخططاً لنماذج الموجة المتوقفة لل فولتية والتيار مع المسافة مقاسة من الحمل لـ $0 < d < 1.5$ متر .
ب . باهمال فقد الخط احسب ممانعة الخط عند $d = \lambda/4$.

3 . خط نقل قليل الفقد له ممانعة مميزة مقدارها 52 اوم انهي في جانب الاستلام بممانعة (61 - j75) اوم ، طول الموجة هو 3 متر واقصى فولتية على الخط تبلغ 100 فولت ج . م . ت . :

أ . ارسم مخططاً لنماذج الموجة المتوقفة لل فولتية والتيار ضد d لطول موجي واحد . استخرج نسبة الموجة المتوقفة .
ب . احسب القدرة المرسله بواسطة الخط ، ايضاً استخرج $|E_{min}|$ و $|I_{max}|$ و $|I_{min}|$ و $|I_p|$.

4 . خط قليل الفقد له ممانعة مميزة مقدارها 475 اوم يتحمل قدرة مقدارها 250 واط . استخرج اقصى فولتية ج . م . ت عبر الخط لنسب الموجة المتوقفة الآتية :

أ . $\rho = 1$.

ب . $\rho = 2$.

ج . $\rho = 10$.

5 . برهن المعادلة (6.13) :

$$|E_{min}| = |I_{min}| Z_0$$

6. من الممكن ايجاد الممانعة التي تنهي خطأ من نسبة الموجة المتوقفة ρ والممانعة المميزة للخط Z_0 والمسافة من الحمل الى ادنى اول فولتية . من المعادلة (6.18) برهن على ان :

$$Z_R = Z_0 \left(\frac{1 - j\rho \tan 2\pi d_{\min}/\lambda}{\rho - j \tan 2\pi d_{\min}/\lambda} \right)$$

7. خط قليل الفقد له ممانعة مميزة مقدارها 70 اوم منتبه بدائرة قصر ويشغل عند طول موجي مقداره 50 سم . استعمل احدى خرائط النقل على اسس المسايرة لاستخراج اقصر الاطوال التي تجعل مسايرة جانب الارسال :-

$$Y_e = - j 7.15 \times 10^{-3} \text{ سيمنس}$$

$$Y_e = j 7.15 \times 10^{-3} \text{ سيمنس}$$

8. برهن ان معدل القدرة قليل الفقد ممكن التعبير عنها كالآتي :-

$$P = P^+(1 - K^2)$$

حيث ان P^+ هي قدرة الموجة الساقطة و K هو اتساع معامل الانعكاس .

9. خط ربع موجة قليل الفقد منتبه بمقاومة مقدارها 140 اوم . الممانعة المميزة هي 70 اوم وفولتية جانب الارسال 100 فولت ج . م . ت . استخراج اتساع فولتية جانب الاستلام .

10. خط قليل الفقد ذو طول قابل للتغير (Adjustable Length) انهي بدائرة فتح . سيق بمولد له فولتية داخلية E_0 وممانعة داخلية مساوية للممانعة المميزة للخط . برهن على ان الفولتية عبر النهاية المفتوحة للخط مساوية للفولتية الداخلية للمولد ولا تعتمد على طول الخط ، اهل الفقد الداخلي للخط .

11. خط ذو طول قابل للتغير منتبه بدائرة قصر ، عند جانب الارسال سيق بمولد فولتيته الداخلية E_0 وممانعته الداخلية مساوية للممانعة المميزة للخط . برهن على ان تيار جانب الاستلام له اتساع مقداره E_0/Z_0 ولا تعتمد على طول الخط اذا اهل فقد الخط .

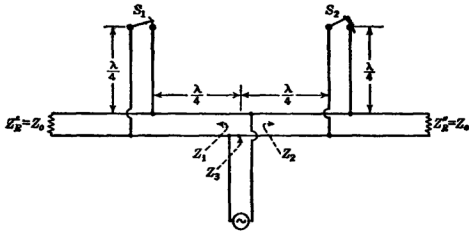
12 . اوجد ممانعة جانب الارسال لكل من الخطوط القليلة الفقد الاتية (لكل خط ممانعة مميزة مقدارها 400 اوم) :-

ا - الطول $5\lambda/4$ وربطت مقاومة 800 اوم عبر جانب الاستلام وربطت مقاومة اخرى 800 اوم عبر الخط عند $d = \lambda/2$

ب - الطول الكلي λ ربطت مقاومة 400 اوم عبر جانب الاستلام وربطت مقاومة اخرى 400 اوم عبر الخط عند $d = \lambda/4$

ج - الطول الكلي λ ربطت مقاومة 200 اوم عبر جانب الاستلام وربطت مقاومة اخرى 800 اوم عبر الخط عند $d = \lambda/4$

١٣ - خط قليل الفقد له ممانعة مميزة 77 اوم أنهي بحمل ممانعة $j50 - 50$ اوم . يربط ابتر مقصر الدائرة ($Z_0 = 77$ اوم) على التوازي مع الحمل ويضبط طوله بحيث ان محصلة الممانعة للخط هي مقاومة بحتة . كم يجب ان يكون طول الابتر وما هي قيمة محصلة الممانعة المنتهية ؟ طول الموجة هو 30 سم ويقترح استعمال المسايرة .



شكل P.14 نظام فتح وغلق

14 . الشكل P.14 يبين نظام خط نقل مع حاملين ومولد واحد . اهمل فقد الخط :
أ . مع المفتاح S_1 مغلق و S_2 مفتوح ، اوجد Z_1 و Z_2 و Z_3 . اين مستشري القدرة ؟

ب . مع S_1 مفتوح و S_2 مغلق كيف بيتغير جواب الجزء أ ؟
ج . اذا كان كلا المفتاحين مفتوحين ، ماذا سيحدث لسريان القدرة ؟

15. خط ذو سلكين هوائي العزل له ممانعة مميزة مقدارها 400 اوم وطوله 0.75 متر وممتد في جانب الاستلام بممانعة مقدارها $Z_R = -j400$ اوم ، التردد هو 150 ميكا هرتز وفولتية جانب الارسال 50 فولت ج. م. ت .
أ. احسب ممانعة جانب الارسال .

ب. ارسم مخططاً لنماذج الموجة المتوقفة للفولتية والتيار .

ج. جد E_{max} و E_{min} و I_{max} و I_{min} .

16. خط قليل الفقد له ممانعة مميزة مقدارها 400 اوم ، مقصر الدائرة عند جانب الاستلام . الخط يساق عند النهاية الاخرى بمولد له ممانعة داخلية 400 اوم وفولتية داخلية معطاة كالاتي :

$$e_s = 141 \sin \omega t + 141 \sin 2\omega t \quad (\text{فولتية أنية})$$

طول الخط $\lambda/2$ عند التردد ω . جد وارسم مخطط الفولتية ج. م. ت على الخط .

17. خط ابتر مفتوح الدائرة عند احدى نهايتيه ومقصر الدائرة عند النهاية الاخرى ، طول الابتر $\lambda/4$ عند التردد الاساسي (Fundamental). ربط مولد (كما في الشكل 6.16) عند نقطة معينة بحيث ان التوافقية الثالثة (Third Harmonics) في فولتية المولد ستكون دائرة مقصرة . عند اي جزء من طول الموجة من النهاية المفلقة يجب ان يربط المولد ؟

18. ربط خط كما مبين في الشكل 6.18 ، يستعمل دائرة غير رنانة ، اذا كانت $Z_0 = 200$ اوم والطول هو 30 سم واذا كانت $C = 2.5 \times 10^{-12}$ فراد . جد اول ترددين رنانين . افرض سرعة مساوية لسرعة الضوء في الفراغ المطلق .

19. خط يستعمل دائرة غير رنانة كما في الشكل 6.18 . اذا كان اول تردد غير رنان هو 250 ميكا هرتز $C = 2.5 \times 10^{-12}$ فراد ، جد الطول اللازم . $Z_0 = 200$ اوم وافرض سرعة مساوية لسرعة الضوء في الفراغ المطلق .

20. خط محوري مقصر الدائرة عند جانب الاستلام ويساق بمولد عند النهاية الاخرى ، الخط يتكون من موصلين نحاسيين وهو هوائي العزل طوله 20 سم وقطر الموصل الداخلي 1.15 مم والقطر الداخلي للانبوب الخارجي 3.80 مم ،

- أ . احسب ثابت التوهين عند اول تردد رنان . اهلل التوصيلة التسريبية .
 ب . احسب ممانعة جانب الارسال عند التردد المذكور فوق . اهلل ممانعة دائرة القصر عند جانب الاستلام .
 ج . اذا ازداد طول الخط الى 40 سم وبقي التردد نفسه كالمذكور فوق فماذا ستكون ممانعة جانب الارسال ؟

21 . احسب ال Q للخط في المسألة 20 عند اول تردد غير رنان (الطول = 20 سم) .

22 . احد الانواع القياسية للقابلوات المحورية الكبيرة المرنه له $Z_0 = 52$ اوم و $\alpha = 9.05 \times 10^{-3}$ نيبير لكل متر عند 500 ميكا هرتز ، سرعة الطور تبلغ 0.670 مرة بقدر سرعة الضوء في الفراغ المطلق . مقطع طوله ربع موجة مقصر الدائرة من هذا القابلو يراد استعماله كدائرة غير رنانة عند 500 ميكا هرتز . احسب ال Q وعرض الحزمة بالهرتز بين نقطتي نصف القدرة وممانعة جانب الارسال عند الرنين العكسي .

23 . برهن على ان الخط المقصر الدائرة عند كلا نهايتيه ويستعمل في نسقه الاول (لاحظ الشكل 6.15 أ) له Q معطى بـ $\omega L/R$ اذا كان فقد الطاقة بالوسط العازل مهماً .

24 . خط محوري هوائي العزل مقصر الدائرة عند كلا نهايتيه ويستعمل في نسقه الاول الرنان . الموصلان مطلبيان بالفضة (مقاومته النوعية = 10^{-8} سيمنس - متر و $\mu_0 = 4\pi \times 10^{-7}$ هنري لكل متر) ، نصف القطر الخارجي للموصل الداخلي هو 0.540 سم ونصف القطر الداخلي للانبوب الخارجي هو 1.270 سم : -
 أ . احسب المقاومة لكل متر عند 600 ميكا هرتز
 ب . احسب ال Q باستعمال المسألة 23 .

الفصل السابع

خطوط الترددات الراديوية - قياسات ومواءمة ممانعة

RADIO-FREQUENCY LINES—MEASUREMENTS AND IMPEDANCE MATCHING

7.1. قياسات التردد الراديوي : Radio-frequency Measurements.

التقنية المستعملة للقياس خلال جزء كبير من طيف الترددات الراديوية لا يختلف بصورة كبيرة عن تلك المستعملة عند الترددات السمعية (Audio Frequencies) ، ان التردد يمكن قياسه بالمقارنة مع مذبذب معلوم التردد او بترنين دائرة معلومة الخواص ، الملي اميترات بمزدوجة حرارية (Thermocouple milliammeters) متوفرة والتي تكون مفيدة الى مئات الميكاهرتز والفولتميترات الصمامية المفرغة الهواء (Vacuum-Tube Voltmeter) التجارية التصميم متوفرة لحوالي المدى نفسه وملائمة اجزاء القياس هذه تجعلها ذات فائدة لعدة انواع من القياسات . يمكن استعمال قناطر التردد الراديوي لقياس ممانعة على مدى واسع من الترددات وفي الحقيقة يمكن استعمال المكافئ لقنطرة في منطقة الموجات الدقيقة (Microwaves) . تُحسب القدرة عند الترددات الراديوية المتوسطة بصورة عامة من معرفة الممانعة والفولتية او التيار .

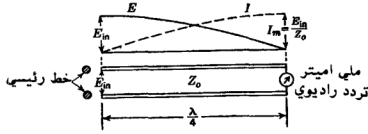
كلما ازداد التردد اصبحت المهارة والاعتناء ضروريان للقياسات المضبوطة ، فالتقارن الشارد (Stray Coupling) والتأثيرات الحملية والانعكاسات المتسببة من الاجهزة ووجود الموجات المتوقفة على اسلاك موصلة ممتدلة الطول كلها تصبح اكثر تعقيداً عند ترددات اعلى وهذه تؤدي الى تغير في الطريقة والتي فيها تحل تقنية خط النقل محل تلك التي للدائرة المكتملة ، وهذه التقنية وصلت الى درجة عالية من التطور في منطقة الموجات الدقيقة بسبب الحافز الذي اعطاه الرادار . ان كلمة « موجة دقيقة » تستعمل بصورة عامة لتردد الموجات الراديوية في المنطقة التي فيها طول موجة ربما تحت $1/2$ او $1/3$ متر وهنا يتقارن ابعاد الاجهزة العلمية بطول الموجة وغالباً تكون كل دائرة خط نقل كهربائياً طويل .

في هذا الفصل ستكون اغلب التأكيدات على طرق القياس الذي تستعمل في تقنية خط النقل . يعتمد عدد كبير من هذه الطرق على استعمال مقاطع الخط التي تكون متقاربة في المدى مع طول الموجة وعليه تكون قيد الاستعمال كلما كان هذا الطول غير كبير بصورة غير ملائمة .

7.2. القياس لموجات متوقفة : The Measurement of Standing Waves.

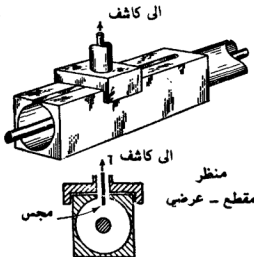
من الممكن قياس نسبة الموجة المتوقفة بجهاز القياس الذي يعطي تأثيراً نسبياً للفولتية بدون احداث انعكاسات كبيرة عند نقطة تقاربها (Point of Coupling) مع الخط يستطيع الحركة على طول الخط وعلى مسافة اكبر من نصف طول الموجة . عند الترددات الراديوية الاوطأ فان اجهزة القياس ذات الممانعة العالية تربط غالباً بصورة مباشرة الى سلكن الخط ، ولكن عند الاطوال الموجية الاقصر فان جهاز القياس غالباً يكون ضعيف التقارن (Loosely Coupled) وذلك بجعل طرفي مدخله عند مسافة ثابتة من السلكن ، ان التقارن السعوي الناتج يحدث فولتية مدخل متناسبة مع فولتية الخط .

ان انواعاً مختلفة من الفولتميترات الصمامية المفرغة الهواء المتوفرة تجارياً مفيدة لقياسات الفولتية الى حد ترددات لمئات الميكا هرتز ، ولكن السعة العالية الموجودة بين احد طرفي المدخل والارض يجعل الخط ذا السلكن غير متوازن عند الترددات العالية . ان قياسات الفولتية على خطوط متوازية السلك تتم عادة بواسطة ملي اميتر بمزدوج حراري مربوط عند نهاية ابتر ربع موجة (Quarter Wave Stub) كما مبين في الشكل (7.1) وكما وضع بالمعادلة (6.19) فان الممانعة عند مدخل ابتر ربع موجة ستكون Z_0^2/R_m ، حيث ان R_m هي ممانعة جهاز القياس (Meter) (فرض بانه مقاومة) واذا كانت R_m اصغر جداً من Z_0 فان ممانعة المدخل ستكون عالية جداً والجهاز لا يحدث انعكاساً كبيراً عند نقطة التقارن مع الخط ، وستحدث موجة متوقفة على ابتر ربع موجة مع جهاز القياس عند موقع أقصى تيار (كما موضح بالمعادلة 6.12) ويكون وتيار جهاز القياس E_{in}/Z_0 ويتناسب مع فولتية الخط . هذا النهج ممكن تمديده الى ترددات اعلى وذلك بابدال جهاز المزدوج الحراري مع مقوم بلوري (Crystal Rectifier) ومايكرواميتر تيار مستمر .



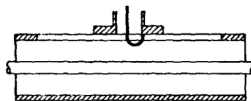
شكل 7.1 فولتميتر تردد - راديوي .

ان قياسات الفولتية على خطوط محورية تجري بصورة عامة بواسطة مقطع لخط له خز (slot) طولى محفور لمسافة لاتقل عن نصف طول موجة في الموصل الخارجى ويُسقط مجس (probe) لمسافة قصيرة داخل الخط المحوري ويستطيع الحركة طولياً كما موضح بشكل تخطيطي أكثر في الشكل 7.2 ، المجس يعترض جزءاً من المجال الكهربائي الموجود بين السلكين الداخلى والخارجى وعليه فالفولتية بين المجس والموصل الخارجى تكون متناسبة مع فولتية الخط . ان الشكل 7.3 يبين مجساً من نوع ثانٍ والذي يجهز اشارة متناسبة مع المجال المغناطيسى ومن ثم متناسباً مع تيار الخط . يفضل المجس الكهربائي المبين في الشكل 7.2 غالباً حيث انه من الصعب تركيب مجس مغناطيسى لا يستجيب كلياً للمجال الكهربائي . ان مجمع المجس والكاشف (Probe and detector Assembly) يثبت على حامل متحرك يجعل المجس في وسط الحز وعلى مسافة ثابتة من الموصل المركزي والخطوط المحورية ذات الحز (Slotted Coaxial Lines) من هذا النوع متوفرة تجارياً ، الممانعة المميزة للمقطع ذي الحز يجب (بالطبع) ان تواءم الممانعة المميزة للخط الرئيس بحيث ان انموذج الموجة المتوقفة لا يتغير مع الانعكاسات عند مكان الاتصال .



شكل 7.2 خط محوري ذو حز ومجس متنقل .

يمكن استعمال انواع عديدة من الكاشفات (Detectors) والمؤشرات (Indicators) يمكن استعمالها مع الخط ذي الحزائي . يتكون جهاز بسيط من مقوم بلوري ومايكرواميتر مبين في الشكل 7.4 . التوضيح الاول يبين مجسا غير موالف (Untuned) والذي يكون ملائماً لقياسات الحزم العريضة والتركيب الثاني له ابتر دائرة قصر ذو طول متغير يسمح بموافقة التقبلية التي احدثت في الخط بواسطة المجس . المجس الموالف له ثان يوفر طريق رجعة للتيار المستمر لجهاز القياس وبدون ذلك سينشأ فرق جهد مستمر بين المجس والموصل الخارجي كاف لعدم تحييز (Bias off) مقوم التوالي . اما المجس الموالف الايثر والمقصر الدائرة فانه يوفر طريق رجعة ضروري للتيار المستمر . ان طاقة التردد الراديوي تقصر الدائرة بمتسعة مربوطة مباشرة بعد العناصر المقومة والمايكرواميتر يقرأ التيار المستمر المقوم ولحساسية اكبر فان مصدر التردد الراديوي في بعض المرات يضمن (Modulated) والمضخم الموالف لتردد التضمين يستعمل لتضخيم مخرج الكاشف .



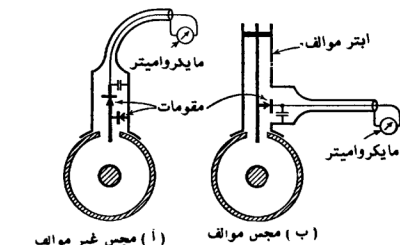
شكل 7.3 مقطع طولي يبين مجساً من النوع المغناطيسي .

هناك نوع ثان من الكاشف هو البولوميتر (Bolometer) وهو عنصر مقاومي صغير يرتب بحيث يمتص قدرة التردد الراديوي ويغير مقاومته بسبب الزيادة في درجة الحرارة والبولوميتر يستعمل في الاصل في هيئة شرائح من البلاتين مسودة (Blackened platinum strips) لقياس مقدار صغير من الحرارة المشعة وهذه الهيئة المستعملة (بصورة عامة) في قياسات الموجة المتوقفة عبارة عن سلك بلاتيني رفيع يعطى اسماً خاصاً هو الباريتير (Barretter) والتركيب الاعتيادي مبين في الشكل 7.5 . اذا ضمن مصدر التردد الراديوي فان مقاومة عنصر البولوميتر سيتغير دورياً عند تردد التضمين ، وعليه اذا سلطت فولتية مستمرة على البولوميتر من مصدر خارجي فان التيار الناتج سينبض (Pulsate)

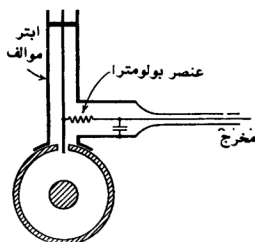
(١) المعلومات اضافية على قياس الموجة المتوقفة لاحظ :

Montgomery, «Technique of Microwave Measurements,» Chap. 8, McGraw-Hill Book Company, Inc., New York, 1947, and Radio Research Laboratory Staff, «Very High Frequency Techniques» Chap.2, McGraw-Hill Book Company, Inc., New York, 1947.

عند تردد التضمين ومن الممكن تسليط هذه الإشارة على مضخم موالف وإذا كان التضمين في درجة الحرارة صغيراً فإن استجابة البولوميتر (Bolometer Responce) سيتبع القانون التربيعي (Square Law) بدقة



شكل 7.4 مجس متقلان يستعملان كاشفتين بلوريتين مبيانان تخطيطياً

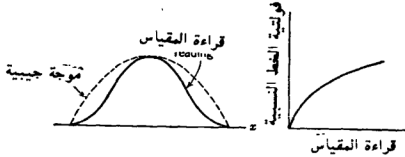


شكل 7.5 استعمال عنصر البولوميتر كاشفاً

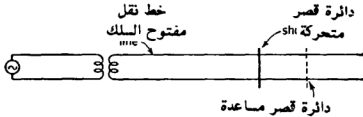
ان البلورة هي تقريباً جهاز القانون التربيعي (Square Law Device) لتيارات صغيرة ولكن للحصول على دقة جيدة يجب تعيير calibrate الكاشف الذي يستخدم بلورة . ويمكن عمل هذا بقصر دائرة الخط المحوري الرئيسي خارج المقطع ذي الحز وحساب قراءة جهاز القياس عند حركة المجس على طول الخط . ان انموذج الموجة المتوقفة لانتفاء له دائرة قصر معروف بأنه وسيوفر مقارنة قراءات جهاز القياس مع الموجة الجيبية سيوفر التعبير اللازم كما مبين في الشكل . 7.6

7.3. قياس طول موجة : - The Measurement of Wavelength.

عند اطوال موجية اقصر ، فان قياس طول موجة بصورة عامة يحل محل قياس تردد والمسافة بين ادنى نقطتين متعاقبتين على نموذج الموجة المتوقفة هو نصف طول الموجة واذا استعمل الكاشف المتنقل (Travelling Detector) لقياس نموذج الموجة المتوقفة فبالامكان استخراج طول الموجة بدقة مقبولة اذا كانت نسبة الموجة المتوقفة عالية بدرجة كافية لتوفير نقاط حادة .



شكل 7.6 تعبير الكاشف البلوري



شكل 7.7 نظام سلك ليشر لقياس طول موجة

الخطوط الرنانة التي يكون العازل بينها هواً غالباً ماتستعمل لقياس طول الموجة : يرتب الخط مع دائرة قصر متحركة عند احدى طرفيه ويضعف تقارنه مع المولد عند الطرف الاخر وعندما يضبط لطول رنان فان الطاقة المقرنة من المولد لها القابلية على احدث تدبذب ذي اتساع كبير على الخط . في التشغيل تحرك الدائرة المقصرة على امتداد الخط ويتم قياس المسافة بين الموقعين المتعاقبين اللذين يحدثان الرنين وهذه المسافة هي نصف طول الموجة . الخط المتوازي

السلك المستعمل لهذا الغرض يدعى نظام سلك ليشر (System Lecher-Wire)

وهو موضح في الشكل 7.7 . يمكن استخراج الرنين من قراءات مؤشر التيار المربوط في دائرة القصر المنزلة او من الممكن ملاحظته من التأثير على المولد ، ان حدة رنين نظام سلك مفتوح ربما تقل بسبب ان بعض الطاقة تعبر دائرة القصر

وتدخل الى الجزء المفترض غير المستعمل من الخط ويمكن تحاشي هذا بوضع دائرة قصر او اكثر من دائرة اضافية خلف الدائرة الرئيسة ويفضل مباعدة مقدارها حوالي ربع طول موجة ، ان مباعدة نصف طول موجة بين دوائر القصر غير مؤثرة حيث ان هذا سيضع دائرة القصر المساعدة عند نقطة التقاء الفولتية .

عند الاطوال الموجية الاقصر ، يستخدم المبدأ السابق مع خط محوري وقد صنع جهاز قياس خاص لهذا الغرض ويدعى مقياس الموجة المحوري (Coaxial Wavemeter) : هو يحتوي على خط محوري عازله هواء يكون مغلقاً عند نهاية وله دائرة قصر متحركة عند النهاية الاخرى . مصدر الطاقة مربوط بمقياس الموجة بواسطة دارة تقارن من النوع المبين في الشكل 7.3 والواقع عند النهاية المغلقة وهو موجب بحيث يوصل (Linked) بواسطة الفيض المغناطيسي في الفراغ الحلقي ، وكما نوقش في الجزء 6.7 فان خط مقصر الدائرة في نهايته سيرن عندما يكون طوله عدد صحيح من انصاف الاطوال الموجية وعندما يضبط مقياس الموجة المحوري لاحد من هذه الاطوال فان التيار في الدارة المقارنة يكون له القابلية على احداث تذبذب ذي اتساع كبير ضمن مقياس الموجة ، ان المسافة التي يجب ان يتحركها الكابس القاصر للدائرة يجب ان تكون بين رنينين متعاقبين (نصف طول الموجة) . ان مقياس الموجة له Q عالٍ والرنين حاد ويمكن الحصول على دقة كبيرة اذا بني الجهاز بصورة جيدة .

7.4 قياس الممانعة بواسطة خط نقل :

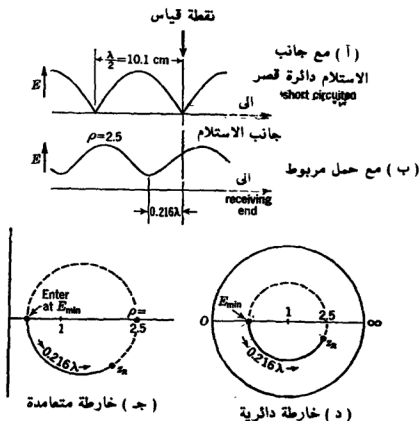
The Measurement of Impedance with a Transmission Line.

هنالك طرائق عديدة لاستعمال الخطوط لقياس الممانعات عند الاطوال الموجية القصيرة ومن الممكن استخراج الممانعة التي تنتهي خطأ وذلك من نسبة الموجة المتوقفة والمسافة بين الحمل واقصى او ادنى فولتية ، ان صيغة عدم الفقد لممانعة الخط (المعادلة 6.18) ممكن ترتيبها لتعبر عن ممانعة جانب الاستلام بدلالة هاتين الكميتين (لاحظ المسألة 6 للفصل 6) ومن الممكن ايضاً اجراء الحسابات بواسطة خارطة خط النقل . ان قيمة نسبة الموجة المتوقفة تحدد تقاطع دائرة K الملائمة مع الاحداثي الحقيقي : تدخل الخارطة على دائرة K هذه وعند اقصى او ادنى فولتية ويتبع محلاً هندسياً دائري الى الخلف على مقياس طول الموجة الى ان يصل الموقع الذي يمثل الحمل وعند هذه النقطة تقرأ ممانعة الحمل المعيارية . تقاس المسافة المقاسة عادة الى ادنى فولتية بدلاً من اقصى فولتية ، حيث ان ادنى فولتية تعرف بدقة اكثر .

عندما يستعمل مقطع ذو حز لاجراء قياسات الموجة المتوقفة على قابلو محوري فمن الممكن تحديد الموقع الادنى بدقة ضمن المقطع ذي الحز ولكن لايمكن معرفة عدد اطوال الموجة الى الحمل بدقة ، وهذه الصعوبة ممكن التغلب عليها بتحديد نقطة قياس اولا ضمن المقطع ذي الحز والذي بالتعويض يمثل الحمل، ويعمل هذا بوضع دائرة قصر عبر الحمل. ان نموذج الموجة المتوقفة الناتج هكذا له ادنى نقاط عند الاعداد الصحيحة لنصف اطوال الموجة من جانب الاستلام وعند كل من هذه النقاط تتكرر ممانعة جانب الاستلام ، يحدد موقع واحد من هذه النقاط الدنيا ضمن المقطع ذي الحز وهذه هي نقطة القياس وعندما تكون ممانعة الخط مساوية لممانعة جانب الاستلام . ثم ترفع دائرة القصر عبر الحمل وتستخرج ممانعة الخط عند نقطة القياس بالطريقة الموصوفة في الفقرة الاولى من هذا الجزء .

مثال :

ممانعة غير معروفة ربطت بقابلو محوري 50 اوم واستعمل مقطع ذو حز لقياس الموجة المتوقفة على الخط وكما موضح في الشكل 7.8 عينت نقطة قياس ضمن المقطع ذي الحز وذلك بتقصير دائرة جانب الاستلام واستخراج موقع



شكل 7.8 ايجاد ممانعة غير معروفة لجانب الاستلام .

فولتية صفر. عندما ربطت الممانعة المجهولة لطرف الاستلام وجد بان نسبة الموجة المتوقفة هي 2.5 وادنى فولتية هي عند $\lambda = 0.216$ على جهة المولد لنقطة القياس .

المحل الهندسي الملائم للممانعة هو دائرة K . تقطع الاحداثي الحقيقي عند $p = 2.5$ كما مؤشر في الشكل 7.8 : الخارطة دخلت على دائرة K هذه عند النقطة التي تمثل ادنى فولتية (عند نقطة ادنى ممانعة) وهي تؤثر $\lambda = 0.25$ على مقياس المسافة . يتبع المحل الهندسي مبتعداً عن المولد الى الموقع المائل لنقطة القياس وتبعد 0.216 من المولد وعليه عينت عند $\lambda = 0.34$ ($0.25 - 0.216$) على مقياس المسافة والممانعة عند هذه النقطة مساوية لممانعة جانب الاستلام وهي :

$$Z_R = (2.02 - j0.89) \quad Z_0 = 101 - j445$$

7.5 قياس القدرة . The Measurement of Power.

في مدى الترددات يمكن عندها ربط فولتميتر الصمام المفرغ مباشرة الى الخط بدون انعكاسات كبيرة او عدم توازن . يمكن استخراج القدرة المحملة بواسطة خواص الفولتية وممانعة الخط كما مبين في الجزء 6.3. هنالك طريقة اخرى مفيدة وبسيطة هي استعمال القدرة لتسخين فتيلة مصباح متوهج ثم حساب كمية قدرة تردد واطي لازمة للحصول على الكمية نفسها من الضوء .

تقاس القدرة غالباً في منطقة الموجات الدقيقة في حدود واط واحد او اكثر بطريقة قياس الحرارة (Calorimetric) : يستعمل مائع (بصورة عامة الماء) كحمل لامتصاص القدرة وتحويلها ، تستعمل الزيادة في درجة الحرارة الناتجة للمائع لاستخراج القدرة الممتصة ولكن لقدرة اصغر من واط واحد فان الزيادة في درجة حرارة مسعر المائع تصبح صغيرة جداً لحد يصعب قياسها بدقة . البولوميتر (الذي ذكر اولاً في الجزء 7.2 ككاشف للموجة المتوقفة) يستخدم عادة في مستويات القدرة الواطئة وهذا الجهاز هو عنصر مقاومي يستعمل كحمل لامتصاص القدرة من الخط وتحويلها الى حرارة ، ان مقاومة عنصر البولوميتر تزداد بزيادة درجة الحرارة وهذا يعطي قياساً للقدرة المبددة . هنالك نوعان من البولوميترات شائعا الاستعمال هما الباريتتر (Barretter) والمقاومة الحرارية

(Thermistor) ^(١). الباريتر هو طول قصير من سلك رفيع جداً يصنع عادةً من البلاتين بسبب مقاومته للتآكل ونقطة انصهاره العالية وكذلك بسبب خواصه الميكانيكية المرغوبة ، ان مقاومة الباريتر تزداد مع درجة الحرارة . المقاوم الحراري (Thermistor) من الناحية الاخرى هو عنصر مقاومي صغير مصنوع من مزيج من اوكسيدات معدنية وهي اشباه موصلات ولها مقاومة ذات معامل حراري سالب ، هذا الجهاز عادة مصنوع على شكل محز صغير يفمر فيه سلكان صغيران . المقاوم الحراري له فائدة حيث يمكن تغيير مقاومته على مدى اوسع من تلك التي للباريتر وهو اقل تعرضاً للتحميل الزائد والاحتراق .

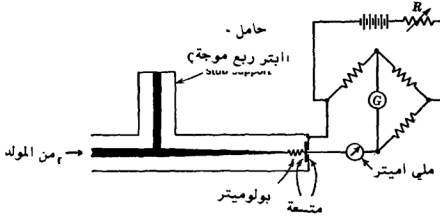
يبين الشكل 7.9 حامل باريتر ملائم لترددات الموجات الدقيقة وقنطرة لقياس الترددات الراديوية الممتصة بواسطة عنصر البولوميتر . الموصل المركزي للخط يسند ببارتر ربع موجة ويوفر ايضاً رجعة للتيار المستمر للقنطرة ، الموصل المركزي للخط هو مستدق (Tapered) في قطره . الاستدقاق يُغير بالتدريج الممانعة المميزة من تلك للخط الرئيس الى قيمة اعلى مساوية لمقاومة البولوميتر وعليه يواءم البولوميتر الخط بدون انعكاس كما موضح بشكل تفصيلي في الجزء 7.11 . احدى نهايتي البولوميتر مربوط بالموصل الداخلي والاخرى مربوط خلال متسعة بالموصل الخارجي وعليه يشكل البولوميتر حملاً في نهاية الخط ، ان المتسعة هي دائرة قصر لتردد راديوي ولكن تسمح لقنطرة التيار المستمر لقياس مقاومة البولوميتر . عند التشغيل : توازن القنطرة اولاً بدون قدرة تردد راديوي وتستخرج قدرة التيار المستمر الداخلة الى عنصر البولوميتر وعند تسليط قدرة التردد الراديوي تتغير مقاومة البولوميتر وتجعل القنطرة غير متوازنة ، تتوازن القنطرة مرة اخرى بزيادة المقاومة المتوالية مع البطارية وعليه يقل التيار في البولوميتر الى النقطة التي تكون عندها القدرة الكلية للبولوميتر هي نفسها كالسابقة ، ثم ترجع مقاومة البولوميتر الى القيمة السابقة وتصبح القنطرة مرة اخرى في حالة توازن ويكون النقص اللازم في قدرة التيار المستمر للبولوميتر مساوية لقدرة التردد الراديوي .

(١) المعالجة شاملة لقياسات القدرة في منطقة الموجات الدقيقة راجع :

Montgomery, op.cit, chap.3

7.6 القارن الاتجاهي : The Directional Coupler.

هو جهاز يقرن جهاز قياس او خط ثانوي فقط الى موجة متنقلة في اتجاه واحد على طول الخط الرئيس ويتجاهل كلياً الموجة المتنقلة في الاتجاه الآخر ، القارن الاتجاهي له عدد من الاستعمالات المهمة ولكن تطبيقه الرئيس هو مراقبة القدرة المرسلة على طول خط والذي قد يربط (كمثال) جهاز ارسال الى هوائي .



شكل 7.9 حامل البولوميتر وقنطرة لقياس القدرة. bolometer-mr

ان قياس فولتية عند نقطة واحدة لا يكون مؤشراً كلياً كافياً للقدرة مالم تكن نسبة الموجة المتوقفة صغيرة جداً ، حيث ان ازاحة في نموذج الموجة المتوقفة يحدث تغيراً خاطئاً في التأشير ، ان عدم التأكد بسرعة كبيرة مع زيادة نسبة الموجة المتوقفة وفي الجهة الاخرى فان القارن الاتجاهي له فائدتان : البساطة والحجم الصغير ولكن بالاستجابة فقط الى الموجة المتنقلة الى الامام فانه يعطي دلالة لاتعتمد على موضعه عبر انموذج الموجة المتوقفة . ان القدرة المنعكبة يجب ان تطرح طبعاً من القدرة الساقطة للحصول على القدرة الصحيحة الممتصة من الحمل ولكن الخطأ الحادث لقياس القدرة الساقطة لايزداد بسرعة مطردة مع نسبة الموجة المتوقفة . ولتوضيح الفرق الفرض ان نسبة الموجة المتوقفة هي 2 بحيث ان $|E_{\max}| = 2|E_{\min}|$ والذي يماثل معامل انعكاس $K = |E^-|/|E^+| = 1/3$ ، ثم ان القدرة الممتصة من قبل الحمل هي :

$$P_L = \frac{|E^+|^2}{Z_0} - \frac{|E^-|^2}{Z_0} = \frac{|E^+|^2}{Z_0} \left(1 - \frac{1}{3^2}\right) = \frac{8}{9} P^+$$

حيث ان P^+ هي القدرة الساقطة وهكذا فان القارن الاتجاهي سيدل على قدرة مساوية لـ $9P_L/8$ وفي الناحية الاخرى فان جهازاً لقياس فولتية معير لخط مسطح سيدل (اذا ربط عند الفولتية القصوى) على قدرة مساوية لـ :

$$P' = \frac{|E_{\max}|^2}{Z_0} = \frac{(|E^+| + |E^-|)^2}{Z_0} = \frac{|E^+|^2}{Z_0} \left(1 + \frac{1}{3}\right)^2 = \frac{16}{9} P^+ = 2P_L$$

وإذا ربط عند ادنى فولتية فانه سيدل على قدرة مساوية لـ $P_L/2$ وعليه فان القارن الاتجاهي يعطي دلالة تكون اقرب لقياس قدرة الحمل من تلك المحصل عليها مع قياس الفولتية عند نقطة واحدة .

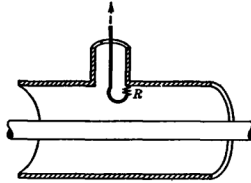


شكل 7.10 شكل تخطيطي لاجزاء القارن الاتجاهي .

من الممكن انشاء جهاز يتقارن خط ثانوي الى الخط الرئيس خلال وحدتين متقارنتين متماثلتين موضوعتين على بعد مقداره ربع طول موجة او بطريقة اخرى بالتقارن عند نقطة واحدة خلال كل من المجالين الكهربائي والمغناطيسي . الطريقة الاولى من هاتين الطريقتين موضحة تخطيطياً في الشكل 7.10 : افترض موجة متنقلة الى اليمين على الخط الرئيس ، عند النقطة 1 فان جزءاً صغيراً من طاقته قرنت الى الخط الثانوي وادت الى تكوين موجتين متنقلتين متعاكستين أ و ب وعند النقطة 2 (ابعد برقع طول موجة) تؤدي وحدة تقارن مطابقة الى تكوين موجتين ج و د ولكن الموجة ح بانتقالها على المسار 1 - 2 - 3 - 4 انتقلت نصف طول موجة ووصلت عند النقطة 4 بطور معاكس لطور الموجة أ وعليه فان أ و ج يحذفان ولا يكون هنالك موجة متنقلة الى يسار النقطة 4 وبالعكس هذا فان الموجة ب تنتقل مسافة مقدارها ربع طول موجة على المسار 1 - 4 - 3 والموجة د تنتقل المسافة نفسها على المسار 1 - 2 - 3 وعليه فان هاتين الموجتين تقوي احدهما الاخرى ويستلم الكاشف على اليمين طاقتيهما وبالتناظر نرى بانه : اذا عكسنا اتجاه الموجة على الخط الرئيس فان الموجتين المتنقلتين نحو الكاشف سيحذفان بسبب نصف دورة تخلف في احدهما والموجتان المتنقلتان نحو الحمل المؤائم في النهاية اليسرى ستقوي احدهما الاخرى ولكن الحمل سيتمصها بدون انعكاس ولا يصلان الكاشف اذن سيستلم الكاشف الطاقة فقط من الموجة المتنقلة الى اليمين من الخط الرئيس . احدى طرائق الحصول على التقارن اللازم بين خطوط محورية تكون بتمديدها بصورة متوازية مع بعضها ووصل الموصلين الخارجيين بفتحتين موضوعتين بمباعدة مقدارها ربع طول موجة ، طريقة اخرى تتم باثشاء الخط الثانوي ضمن الموصل المركزي للخط الرئيس ويتم التقارن مرة اخرى بواسطة ثقبين يوصلان الخطين .

الطريقة الثانية للحصول على جهاز اتجاهي بتقارن الخط الثانوي كهربائياً (متناسب مع الفولتية) ومغناطيسياً (متناسب مع التيار) عند نقطة واحدة ، الجهاز المستعمل لهذا الغرض هو القارن المقاومي في الدارة المبينة في الشكل 7.11 واذا كانت المقاومة R غير نهائية فان المجس سيكون من النوع الكهربائي وسيجيز اشارة متناسبة مع فولتية الخط واذا كانت المقاومة صفراً فان الدائرة الناتجة هي مجس مغناطيسي ويعطي اشارة متناسبة مع تيار الخط وان قيمة المقاومة بين هاتين الحالتين القصويتين يجعل المجس يستجيب لكل من الفولتية والتيار ومن الممكن ضبط كمية التقارن المغناطيسي بتدوير المجس والذي يغير كمية الفيض المغناطيسي الذي يوصل الدارة . ان اشتغال الجهاز يعتمد على حقيقة طور تيار الموجة المتنقلة الى الخلف قد انعكس وهذه الاشارة المنعكسة ممكن استخدامها لحذف الاشارة الناتجة من الفولتية المتنقلة الى الخلف . ان الفولتية الخارجة من القارن هي :

$$E_e = C_1 E + C_2 I \quad (7.1)$$



شكل 7.11 النوع المقاومي الدارة للقارن الاتجاهي .

حيث ان E و I هما الفولتية والتيار للخط الرئيسي و C_1 و C_2 و هما ثابتان ولكن $E = E^+ + E^-$ و $E = E^+ - E^-/Z_0$ و $I = E^+/Z_0 - E^-/Z_0$ وعليه يمكن كتابة المعادلة

$$E_e = C_1(E^+ + E^-) + C_2 \left(\frac{E^+}{Z_0} - \frac{E^-}{Z_0} \right) \quad : S \quad (7.1)$$

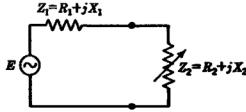
واذا ضبطنا التقارن بحيث ان $C_1 = C_2/Z_0$ فان الحدين المحتويين على E^- سيحذفان تاركين فقط :-

$$E_e = 2C_1 E^+ \quad (7.3)$$

والقارن يستجيب للموجات المتنقلة في اتجاه واحد فقط
7.7 . مواعمة ممانعة : Impedance Matching.

اعتبر مولداً مع فولتية داخلية E وممانعة مركبة داخلية $Z_1 = R_1 + jX_1$ كما مبين في الشكل 7.12 ومن الممكن ان يكون هذا مكافئ ثيفنن لأية شبكة مركبة خطية وفي هذه الحالة E هي فولتية الطرف المفتوح الدائرة للشبكة و Z_1 هي ممانعة الدائرة كما ترى من الطرفين . الفرض ان ممانعة متغيرة $Z_2 = R_2 + jX_2$ ربطت كحمل والقدرة الممتصة من قبل الحمل مساوية لـ $I^2 R_2$ والذي يمكن التعبير عنها كالآتي :

$$P_2 = \frac{E^2 R_2}{(R_1 + R_2)^2 + (X_1 + X_2)^2} \quad (7.4)$$



شكل 7.12 مولد مع ممانعة ثابتة يشتغل في حمل متغير .

واذا فرضنا بأن R_1 و X_1 ثابتان وان R_2 و X_2 متغيران فيمكن الحصول على شروط لاعلى قيمة لـ P_2 بتحقيق العلاقتين الآتيتين أنياً :

$$\frac{\partial P_2}{\partial R_2} = 0 \text{ and } \frac{\partial P_2}{\partial X_2} = 0 \quad (7.5)$$

إذا طبق اول هذين الشرطين على المعادلة (7.4) ستعطي النتيجة :

$$R_1^2 - R_2^2 + (X_1 + X_2)^2 = 0 \quad (7.6)$$

بينما الثاني يعطي :

$$X_2 = -X_1 \quad (7.7)$$

النتيجة الاخيرة تبين بأنه لانتقال القدرة القصوى يجب ان تكون مفاعلة الحمل مساوية ومعاكسة لمفاعلة المولد اضافة الى ذلك فانه عند تعويض النتيجة في المعادلة (7.6) تعطي الشرط الثاني :

$$R_2 = R_1 \quad (7.6)$$

وعليه يحصل على أكبر قدرة في الحمل عندما تكون ممانعة الحمل هي المرافقة المركبة (Complex Conjugate) لممانعة المولد وهذا الشرط يعرف في بعض المرات / « مواعمة مرافقة » (Cojugate Match) .

افرض بأن مولداً ربط الى حمل بخط نقل عديم الفقد واجهزة مواعمة عديمة الفقد ، فانه لا يوجد فقد بالقدرة في نظام النقل وعليه اذا جعل مخرج المولد أقصى ما يمكن بواسطة مواعمة مرافقة عند طرفيه فان القدرة السارية عند كل اجزاء النظام يجب ان تكون اعلى شيء واذا ففتح النظام عند أية نقطة فالممانعتان في الاتجاهين المتعاكسين يجب ان تكونا مترافقتين ويمكن ان يكون هذا هو الاساس لحساب عناصر المواعمة التي تحدث اكبر انتقال للقدرة .

في نظم خط النقل هنالك عدد من الاسباب المهمة لمواعمة الممانعات ، تختلف كثيراً عن اعتبارات انتقال القدرة . ان خطأ منتبهاً بممانعته المميزة له نسبة فولتية متوقفة مساوية لواحد ويرسل قدرة معينة بفولتية ذات ذروة أقل ومن ثم هنالك خطورة أقل للشرارة عرضية (Flash Over) عند قيم كبيرة للقدرة وكما أن كفاءة النقل هي اكبر عندما لا تكون هنالك موجة منعكسة واخيراً فان خطأ مسطحاً هو غير رنان (ممانعة مدخله تبقى عند القيمة Z_0 عندما يتغير التردد) ، فالتغير في التردد سوف لا يغير من حمل المولد وقدرته الخارجة وايضاً فان الخط غير الرنان لا يحاول سحب تردد المولد بعيداً عن قيمته الاعتيادية وبخلاف ذلك فان خطأ طوله عدة أطوال موجية يكون حساساً جداً للتردد اذا كانت الموجة المنعكسة كبيرة حيث ان طور الموجة المنعكسة عند وصولها لجانب الارسال يتغير بسرعة مع التردد . اذا كان طول الخط $\lambda/2$ من الاطوال الموجية ، نستطيع ان نكتب $l = n\lambda = nv/f$ او :

$$n = \frac{l}{v} f \quad (7.9)$$

واذا تغير التردد بمقدار Δf فان عدد الاطوال الموجية سيتغير بـ :

$$\Delta n = \frac{l}{v} \Delta f$$

والذي بعد حذف l/v بواسطة المعادلة (7.9) تصبح :

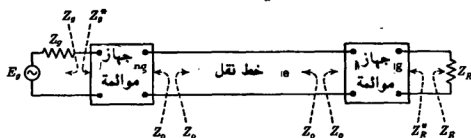
$$\Delta n = n \frac{\Delta f}{f} \quad (7.10)$$

واذا كان طول الخط عدة اطوال موجية ، فان Δn قد تكون جزءاً كبيراً من طول الموجة حتى وان كان التغير الجزئي في التردد صغيراً ومثال ذلك اذا كان طول الخط 250 طولاً موجي فان تغيراً في التردد مقداره واحد من الألف سيحدث $\Delta n = 250 \times 0.001 = 0.25$. او بمعنى آخر تغير الطول الكهربائي للخط بربع طول موجة كاملة . يمثل ذلك على خارطة خط النقل ازاحة في ممانعة جانب الارسال تساوي نصف المسافة حول المحل الهندسي للممانعة وعليه فان الممانعة ستتغير بمقدار كبير مالم تكن نسبة الموجة المتوقفة قريبة من الواحد .

للاسباب السابقة يُدخل جهاز موامة (Matching Device) بالقرب من الحمل لكي ينتهي الخط بممانعته المميزة في هذه النقطة وإذا صمم المولد لكي يوائم الممانعة المميزة للخط فإن هذا الجهاز الموائم سيحدث أكبر انتقال للقدرة الى الحمل ولكن اذا كانت المقاومة الداخلية للمولد مختلفة بصورة كبيرة عن Z_0 فإن اشتغال الموامة عند الحمل قد تجعل موامة الممانعة عند طرف المولد أحسن او اسوأ (تعتمد على ممانعة المولد) وعليه فإن الحاجة الى جهاز موامة اضافي عند جانب المولد للخط لكي يجهز اكبر انتقال للقدرة . يبين الشكل 7.13 نظام نقل قليل الفقد موائم كلياً . عند كل نقطة تكون الممانعات في الاتجاهين المتعاكسين مترافقتان (Conjugates) وإذا كانت الممانعة المميزة حقيقية تكون مرافقة نفسها بالطبع وعند ضبط أجهزة الموامة بالتجربة فإن جهاز الموائمة القريب من الحمل يجب ان يضبط للحصول على خط مسطح ثم بعد ذلك فقط يجب ضبط الوحدة القريبة من المولد للحصول على أكبر سريان للقدرة .

قد يشتغل خط التردد العالي القصير جداً بدون توائم (Unmatched) قد يكون له عنصر موالف وحيد (Single Tuning Element) للحصول على موامة مرافقة وأكبر انتقال للقدرة بدون الاهتمام بنسبة الموجة المتوقفة .

عند الترددات السمعية فإن المحول ذا القلب الحديدي يستعمل بصورة شاملة كجهاز لموامة الممانعة وان المحول ذا القلب الحديدي غالباً ما يستعمل في الترددات الراديوية وخاصة عندما يراد عزل دائرتين عن بعضهما بسبب عدم توازن احدهما بالنسبة الى الارض . ان عرض الحزمة الجزئية المراد امرارها بصورة عامة تكون صغيرة في الترددات الراديوية ومن الممكن موائمة (Tuned) المحول ذي القلب الحديدي للرنين (Resonance) بواسطة متسعة على التوازي ، عندما لا يكون تحول المتوازن - غير المتوازن ضرورياً فإنه غالباً ما تستخدم الشبكات الرباعية الاطراف المتكونة من عناصر مفاعلة كأجهزة لموامة الممانعة عند الترددات الراديوية . وهذا سيناقش في الجزء 12.6 .



شكل 7.13 توضيح نظام نقل موائم كلياً .

كلما قصر طول الموجة أصبحت العناصر المكتلة للمحول ذي القلب الحديدي وشبكة مواعة الممانعة اقل فائدة بسبب التقارن المتناثر والتأثيرات الموزعة التي غالباً ماتكون غير متوقعة تزيد الفقد ، في الوقت نفسه فان مقطعاً طوله ربع طول موجة من خط نقل يصبح قصيراً ما فيه الكفاية ليكون عملياً كعنصر دائرة . سيخصص باقي هذا الفصل لاعتبارات اجهزة المواعة المبينة على مقاطع خط نقل (محول ربع موجة والموالف الاوتر الاحادي والثنائي والثلاثي والخط المستدق) .

7.8 محول ربع الموجة : The Quarter-wave Transformer.

برهنا في الجزء 6.5 على ان مقطع ربع موجة من خط قليل الفقد يقلب ممانعة الانتهاء المعيارية او بعبارة اخرى $z_r = 1/z_L$ او بالاموات الحقيقية :

$$Z_0 = \frac{Z_L^2}{Z_R} \quad (7.11)$$

اذا كانت ممانعة الحمل مقاومة بحتة فان ممانعة المدخل لخط ربع طول الموجة ستكون مقاومة بحتة ايضاً :

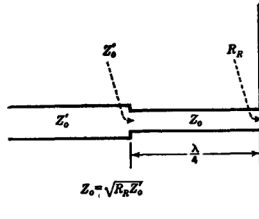
$$Z_0 = \frac{Z_0^2}{R_R} + j0 \quad (7.12)$$

اذا لم يكن لحمل مقاومي معين الاتساع المطلوب لتطبيق خاص فانه من الممكن تعديته بقدرة بواسطة خط نقل طوله ربع موجة والذي ممانعته المميزة قد اختيرت بحيث تجعل مقاومة جانب الارسال مساوية للقيمة المطلوبة . ان مقطع الخط المستعمل في هذا التطبيق يدعى عادة بمحول ربع موجة (Quarter Wave Transformer)، والممانعة المميزة المطلوبة لهذا المقطع ممكن الحصول عليها من المعادلة (7.12) وهو الوسط الهندسي (Geometric Mean) بين مقاومة الانتهاء ومقاومة جانب الارسال المطلوبة :

$$Z_0 = \sqrt{R_R Z_L}$$

$$(7.13) \text{ (مقاومة الحمل) (مقاومة جانب الارسال المطلوبة) } = \sqrt{\quad}$$

احدى هذه التطبيقات مبينة في الشكل 7.14 ، حيث ان هوائي ثنائي القطب (Dipole Antenna) بممانعة مدخل مقاومة R_R تمت مواعته الى الخط نقل رئيسي (ممانعة مميزة Z_0') بواسطة محول ربع موجة له الممانعة المميزة $Z_0 = \sqrt{R_R Z_0'}$. الصيغة المشتقة في الفصل 3 يمكن استعمالها لتصميم المقطع

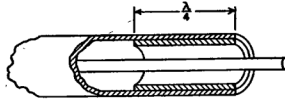


شكل 7.14 محول ربع موجة يوائم هوائياً ثنائياً القطب الى خط نقل .

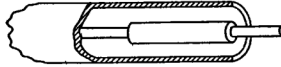
الموائم للقيمة المناسبة Z_0 . المقاطع الموائمة لخط متوازي السلك يمكن صنعها من موصلات لها اقطار مختلفة او مبادعة عن تلك التي للخط الرئيسي . في القابلو المحوري ذات الاكمام الموصلة (Conducting Sleeves) التي تناسب جداً الموصل الداخلي او الخارجي تستعمل غالباً كما مبين في الشكل 7.15 . من الواضح في هذا الترتيب ان الممانعة المميزة تكون أقل فقط وليس اكبر من القيمة الاعتيادية . هنالك طريقة اخرى تتم بادخال قطعة من مادة عازلة في الفراغ الحلقي وعليه تتغير الممانعة المميزة لمسافة ربع طول الموجة . ان سرعة الطور وطول الموجة هما أسفر في المنطقة المملوءة بالعازل وطول القطعة (Slug) يجب ان يكون $\lambda/4$ عند السرعة القليلة .

من الممكن موائمة الحمل المحتوي على مفاعلة الى خط بوضع مقطع صغير من الخط الرئيس بين الحمل ومحول ربع الموجة .

ان الحسابات باستعمال خارطة الاحداثيات المتعامدة (Rectangular Chart) لخط النقل موضحة في الشكل 7.16 : الخارطة دخلت عند ممانعة حمل معيارية ، وباتباع المحل الهندسي للممانعة الى النقطة التي عندها تكون ممانعة الخط مقاومة بحتة ، هذا هو الموقع لجانب استلام لمحول الموجة، ويمكن قراءة المسافة من الحمل r يمكن قراءتها وهي الفرق بين القراءة البدائية والنهائية على مقياس المسافة والمقاومة عند جانب الاستلام لمقطع ربع موجة تقرأ عند تقاطع المحل الهندسي مع الاحداثي r ، وتدخل في المعادلة (7.13) لاييجاد Z_0 المطلوبة لمقطع ربع الموجة . وكما هو مؤشر في الشكل 7.16 فان تقاطعين مختلفين ينتجان الحلول الممكنة . واحد هذين الحلين يجعل $Z_0 < Z_0'$ والآخر يجعل $Z_0 > Z_0'$ ويتم الاختيار حسب الامكانية العملية .

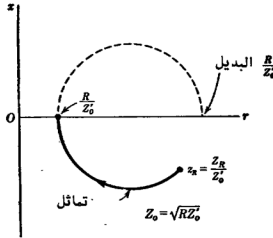
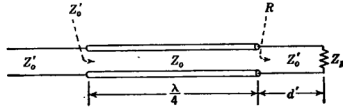


(a)



(b)

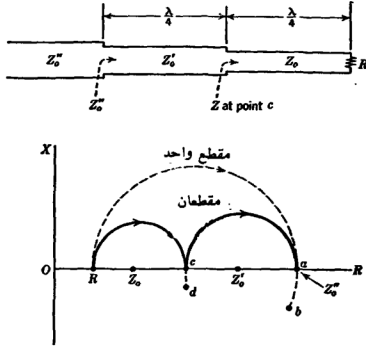
شكل 7.15 اكمام ربع موجة استعملت كمحولات ممانعة في القابلو المحوري .



شكل 7.16 مواءمة حمل مركب باستعمال محول ربع موجة على التناوب مع مقطع صغير من خط رئيس .

ان محول ربع الموجة البسيط يعاني من حساسيته للتغير في التردد حيث انه : عند طول الموجة الجديد لا يبقى طول المقطع $\lambda/4$. في بعض التطبيقات ينحصر التردد في حزمة ضيقة تكون حساسية التردد ليست ذات ضرر كبير . بينما في تطبيقات اخرى ، قد يكون التشغيل لحزمة واسعة مطلوباً . ان الانتقال من مستوى ممانعة الى اخرى يكون اقل تحسناً للتغير في التردد اذا صنع من

مرحلتين (مقطعين) او أكثر . يبين الشكل 7.17 محولاً من مقطعين ويواء حملاً ذا مقاومة R الى خط بممانعة مميزة Z_0'' . ان سبب النقص في حساسية التردد ممكن تصويره في المحلات الهندسية للممانعة في الشكل 7.17 وقد رسمت على نمط خارطة الاحداثيات المتعامدة لخط النقل ماعدا ان الممانعات هي غير معيارية (مرسومة بالاوام) .

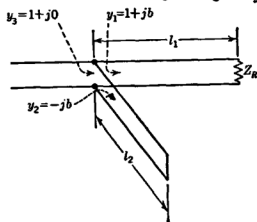


شكل 7.17 محول من مقطعين

عندما يتم الرسم هذا فان المحل الهندسي للممانعة يتأرجح حول الممانعة المميزة للمقطع المأخوذ بنظر الاعتبار عند اللحظة حيث ان له مركزاً يماثل النقطة $1 + j0$ على الخارطة المعيارية. المحل الهندسي لمقطع واحد طوله $\lambda/4$ يبدأ عند R وينتهي عند Z_0'' . على اية حال فان الزيادة في التردد تجعل طول المقطع اكبر من $\lambda/4$ وتتحرك نهاية المحل الهندسي الى النقطة b مسببة عدم تواءم عند مدخل المحول ، وبمقطعين فان المحل الهندسي يحتوي على قوسين مع نقطة c ممثلة للممانعة عند الملتقى بين المقطعين . ان اية زيادة في التردد ستزيد من طول قوسي المحلين الهندسيين . ان نهاية القوس الاول ستتحرك الى الاسفل الى نقطة d والقوس الثاني سيبدأ من نقطة d وبسبب الزيادة في الطول سيبقى منتصباً تقريباً عند Z_0 . يمكن البرهنة على ان : احسن النتائج يمكن الحصول عليها اذا اختيرت الممانعات المميزة بحيث ان :

$$\left(\frac{Z_0}{Z_0''}\right)^2 = \frac{Z_0}{Z_0''} = \left(\frac{Z_0''}{R}\right)^2 \quad (7.14)$$

عرضياً فان هذا الاختيار يجعل الممانعة عند الملتقى بين المقطعين مساوية لـ $\sqrt{RZ_0}$ وهي القيمة الواجب اختيارها للممانعة المميزة لمقطع موالم واحد اضافة مقاطع اخرى يقلل حساسية التردد اكثر⁽¹⁾.



شكل 7.18 موالم منفرد أبتر

7.9 . موالم منفرد أبتر : The Single-stub Tuner.

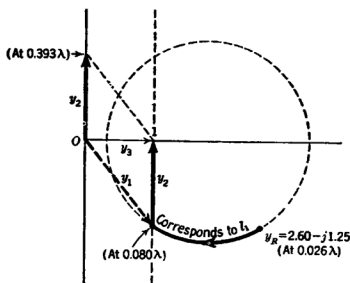
الموالم المنفرد الابتر يحتوي على خط ابتر مفتوح او مقصر الدائرة يمكن ضبط طوله ويربط على التوازي مع الخط الرئيس كما مبين في الشكل 7.18 . المسافة من الحمل l_1 يجب ان تكون متغيرة . يمكن عمل ذلك الخط المتوازي السلك بزلق (Slide) الابتر على طول الخط ويمكن استعمال « مطول الخط » (Line Stretches) (وهو مقطع تلسكوبي من الخط) على القابلو المحوري بين الابتر والحمل .

ان الحسابات لموالم منفرد ابتر تكون اسهل بمساعدة خارطة خط النقل وتوضيح الحسابات على خارطة الاحداثيات العمودية لانها تبسط عملية اضافة المسابير ولكن سيكون واضحاً بأن العمليات نفسها يمكن اجراؤها على الخارطة الدائرية . ان المسابير ستستعمل بدلاً من الممانعات لان الربط هو توازي بين الابتر والخط وكما وضع في الجزء 5.6 المسابير تعامل بالطريقة نفسها كالممانعات على الخارطة .

(1) لمعلومات اكثر على المحولات المتمتدة المقاطع (Multiple- Sections Transformers) راجع :

J. C. Slater. "Microwave Transmission," pp. 57-62, McGraw-Hill Book Company, Inc., New York, 1942, and G. L. Ragan, "Microwave Transmission Circuits," See 6.2, McGraw. Hill Book Company, Inc., New York, 1948.

كما مؤشر في الشكل 7.18 فإن الطول \vec{l}_1 اختير بحيث ان المسيرة المعيارية يكون لها جزءاً حقيقياً مساوياً لوحدة واحدة عند نقطة ربط الابر. وبالنظر نحو الحمل فإن المسيرة المعيارية عند هذه النقطة يمكن التعبير عنها بـ $y_1 = 1 + jb$ حيث ان b هي تقبلية غير مرغوبة ولكن لا يمكن تجنبها. يضبط طول الابر بحيث تكون مسيرة مدخله المعيارية $y_2 = -jb$ ومجموع المسيرتين. كما يشاهد من الخط الرئيس عند هذه النقطة يعادل $y_3 = y_1 + y_2 = 1 + j0$ اي ان المسيرة هي $1/Z_0$ سيمنس والممانعة هي Z_0 اوم. عند هذه النقطة ينتهي الخط الرئيس بممانعته المميزة وهذه هي النتيجة المطلوبة.



شكل 7.19 حسابات الموالف المنفرد الابر على خارطة الاحداثيات المتعامدة .

ان الحسابات باستعمال الخارطة هي حسابات مباشرة وقد تتوضح افضل من ذلك بمثال: خذ خطا له $\lambda = 1.50$ متر و $Z_0 = 400$ اوم و $60 + j125$ $Z_R =$ اوم ، ممانعة جانب الاستلام المعيارية هي :

$$z_R = \frac{125 + j60}{400} = 0.313 + j0.150$$

ومسيرة جانب الاستلام المعيارية هي مقلوب هذه . ويمكن حسابها بالطرق المألوفة للجبر المركب او يمكن ايجادها بدخول الخارطة عند z_R والتأرجح حول المحل الهندسي بمقدار مكافئ لـ $\lambda/4$. على اية حال النتيجة هي :

$$y_R = \frac{1}{z_R} = 2.60 - j1.25$$

كما مبين في الشكل 7.19 ، الخارطة دخلت عند هذه القيمة لـ y_2 (عند $\lambda = 0.026$ على مقياس المسافة). تتبع المحل الهندسي للمسايرة باتجاه المولد الى ان يتقاطع مع الخط العمودي المار خلال وحدة توصيلية (Unit Conductance) (عند $\lambda = 0.080$ على مقياس المسافة) . هنا يجب ان يربط الابر على مسافة من الحمل هي

$$l_1 = (0.080 - 0.026) \lambda = 0.054 \times 1.50 = 0.081 \text{ متر}$$

المسايرة عند هذه النقطة هي 1.26 ز - $y_1 = 1$ وكما مبين بالمتجه المخطط الممتد من نقطة الانزال ، عند نهاية هذا المتجه اضيفت مسايرة الابر y_2 ويجب ان تكون ذات طول كافٍ لتجعل المتجه مساو $z_0 + 1$. على خارطة الاحداثيات العمودية (حيث ان مقياس المسايرة هو نفسه) يمكن نقل المتجه y_2 بدون تغير في الطول بحيث تتطابق نقطة اصله مع نقطة اصل مقياس المسايرة . ان مقياس المسافة للخارطة رتب بحيث يمكن قراءة طول الابر المقصر الدائرة اللازم مباشرة عند نهاية المتجه وهذا صحيح لأن ابراً مقصر الدائرة ذا طول قصير جداً له تقبلية سالبة كبيرة جداً (حثية) ولهذا ينطبق مع قراءة مقياس المسافة الصغيرة جداً في الجهة السفلى البعيدة من الاحداثي العمودي . ان زيادة طول الابر تجلب مسايرة اعلى للاحداثي العمودي . وعند طول $\lambda = 0.25$ تكون مسايرة مدخله صفراً ، ان طولاً اكبر يحدث تقبلية موجبة (سعوية) وفي هذه المسألة فإن رأس المتجه محدد عند 1.26 ز وفي هذه النقطة تقرأ طول مقداره $\lambda = 0.393$ وعليه لابر مقصر الدائرة :

$$l_2 = 0.393 \times 1.50 = 0.590$$

من الممكن الحصول على المسايرة نفسها بواسطة ابر مفتوح النهاية مع طول اما اكبر او اصغر من هذا بـ 0.25λ او بعبارة اخرى الابر المفتوح النهاية المناسب يكون له طول $0.215 = 1.50/4 - 0.590$ متر . على اية حال الابر المقصر الدائرة يستعمل بصورة عامة .

لاحظ في الشكل 7.19 بأن حلاً ثانياً يمكن الحصول عليه بزيادة l_1 الى ان يصل الى نقطة على المحل الهندسي مباشرة فوق (بدلاً من تحت) وحدة التوصيلية . الابر المطلوب عندها سيكون له تقبلية سالبة . بالاضافة الى ذلك ممكن الحصول على اي عدد من الحلول الاضافية من الحلين السابقين وذلك باضافة المضاعفات لـ $\lambda/2$ الى l_1 . ان اقصر قيمة لـ l_1 تقلل حساسية التردد للانتهاز الى اقل مايمكن ، الاعتبارات الاخرى تكون مساوية وعليه يجب ان يكون هذا هو الحل المختار .

7.10. موالف ثنائي ابتر وثلاثي ابتر :

Double-stub and Triple-stub Tuners.

ان ضبط الموالف المنفرد الابتر يحتاج الى تغيير المسافة من الحمل وهذا قد لا يكون ملائماً مع القابلو المحوري ، الطريقة البديلية تكون باستعمال ابترين ثابتين في الموقع ولكن يضبطان بالطول . المباعدة الشائعة الاستعمال بين البتر (Stubs) هي $\lambda/4$ و $3\lambda/8$ و $5\lambda/8$. ولا تستعمل مباعدة نصف طول الموجة حيث ان لها تأثيراً مشابهاً لوضع البتر على التوازي . ان عدداً فردياً من اثمان اطوال الموجة مفضل بصورة عامة حيث ان هذا يوائم ممانعات على مدى اوسع ايضاً ويؤدي الى ضبط اسرع عندما يضبط بالتجربة والخطأ⁽¹⁾.

الشكل 7.20 يبين موالف ثنائياً ابتر ويوضح الحسابات لمباعدة ابتر بـ $3\lambda/8$. وقد عملت الحسابات بمساعدة دائرة ثانوية ذات وحدة نصف قطر (Unit Radius) مركزها عند $z = 1$ على الرسم البياني . اذا ابتدأ الواحد عند اية نقطة على هذه الدائرة وتبع المحل الهندسي للمسايرة $\lambda/8$ نحو المولد فان نقطة النهاية لهذا الطريق ستقع على الخط العمودي المار خلال الواحد . الان خذ الشكل 7.20 او اتبع المسايرة بترتيب عكسي (نرغب ان يكون $y_4 = 1 + j0$ ان يكون ابتر المربوط هنا يمكنه ان يجهز اية تقبلية مطلوبة وعليه يجب ان يكون الجزء الحقيقي لـ y_4 واحداً لاغير اي بمعنى آخر انه يقع في اي مكان على الخط العمودي المار خلال الواحد على الخارطة المسايرة y_4 تقع $3\lambda/8$ اقرب الى الحمل من y_5 وعليه يجب ان تقع على الدائرة المساعدة ، الابتر على اليمين يمكن ان يجهز اية تقبلية مطلوبة وعليه يمكن ان تقع في اي مكان من المنطقة غير المخططة . المساحة المخططة (حيث ان المسايرة المعيارية هي اكبر من 2) هي منطقة محطورة للمسايرة y_1 (اذا وقعت y_1 ضمن هذه المنطقة فان الموالف لا يمكن ان يجهز ممانعة التحويل المطلوبة) .

تتبع الحسابات كالآتي : تدخل الخارطة مع مسايرة الحمل المعيارية y_R كما مبين في الشكل 7.20 ب وينبع المحل الهندسي نحو المولد الى ان تصل النقطة الممثلة لموقع الابتر الواقع الى اليمين ، وسيكون الحل ممكنناً اذا كان للمسايرة (y_1) جزء حقيقي اقل من 2 . يتم اختيار مسايرة الابتر (y_{11}) بحيث y_2 تقع

(1) ان تأثيرات المباعدات المختلفة قد نوقشت من قبل :

الموالم الشائى الابتر بمباعدة $3\lambda/8$ لا يأخذ بنظر الاعتبار كل مسائل المواءمة المحتملة حيث ان المسائرة $\lambda/4$ يجب ان يكون لها جزء حقيقى أقل من 2. من الممكن البرهنة على ان مباعدة مقدارها $\lambda/4$ تؤدي الى دائرة مساعدة تمتد فقط لمسائرة مقدارها وحدة كما مبين فى الشكل 7.21. وعليه فان موالمأ بهذه المباعدة تكون له قابلية محدودة ومباعدة مقدارها $5\lambda/8$ لها دائرة تشابه تلك لـ $3\lambda/8$ ولكن تقع فوق الاحداثى الافقى وعليه فان حدودها هى مسائرة مقدارها 2. هذه التحديدات يمكن تلافيها بجعل المسافة الى الحمل متغيرة (ربما بواسطة مقطع ربع موجة اضافى لخط يمكن ادخاله بين الموالم والحمل عند الضرورة).

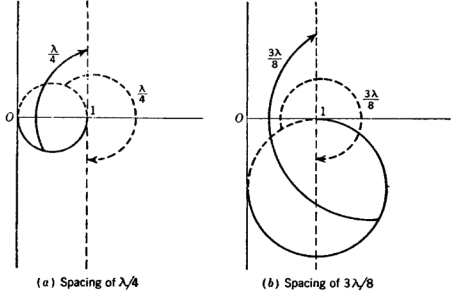
الطريقة الاخرى للتغلب على التحديدات السابقة تتم بإضافة ابتر ثالث ومن الممكن البرهنة على ان موالم ثلاث ابتر بمباعدة ربع موجة بين البتر قادر على مواءمة كل الاحمال ماعدا الاحمال المفاثلة البحتة (Purely Reactive) طبعاً. وبصورة عملية فان الابترين الخارجين يرتبطان سوية ميكانيكياً عادة لتسهيل الضبط.

7.11 الخط المستدق : The Tapered Line.

الخط المستدق هو الذى تكون ممانعته المميزة متغيرة باستمرار على امتداد طوله. ان الغرض الاعتيادى هو توفير تحويل من مستوى ممانعة الى اخرى. اذا كان تغير الممانعة لكل طول موجى غير كبير فان التحويل المستدق لا يكون له حساسية التردد وهذه خاصية من خواص الاجهزة التى تستخدم تأثيرات الانعكاس والموجات المستوقفة. ان محول مقطع متعدد ارباع الموجة (Multiple-Quarter-Wave Section) المشروح فى الجزء 7.8 هو مقرب نحو التحويل المنتظم وهذا الجهاز له حساسية تردد اصغر من محول مقطعاً واحد من ربع موجة. ان مقطعا مستدقاً من خط محوري مبين فى الشكل 7.22 (لاحظ ايضاً الشكل 7.9).

لحد الآن افترض فى تحليلنا لخط النقل على ان له خواصاً منتظمة وهذا سيتغير الآن. تبقى المعادلات (2.23) منطبقة حيث انها تعود الى الشروط عند نقطة منفردة على الخط واذا اهمل الفقد فان هذه المعادلات تصبح :

$$\frac{dE}{dz} = -j\omega LI \quad (7.15)$$



شكل 7.21 الدائرتان المساعدتان لمؤلف ثنائي ايترب بمباعدة $\lambda/4$ و $3\lambda/8$

$$\frac{dI}{dx} = -j\omega CE \quad (7.16)$$

هنا L هي محاثة التوالي لكل وحدة طول من الخط عند النقطة في المسألة و C هي سعة التوازي لكل وحدة طول عند النقطة نفسها ، الخط المنتظم له قيم ثابتة لـ L و C في حين على الخط المستدق تتغير L و C باستمرار مع x الآن سنتابع لحذف التيارين بين المعادلتين السابقتين . بأخذ المشتقة لـ 7.15 بالنسبة الى x يكون عندنا :



شكل 7.22 مقطع مستدق لقابلو محوري

$$\frac{d^2 E}{dx^2} = -j\omega L \frac{dI}{dx} - j\omega \frac{dL}{dx} I \quad (7.17)$$

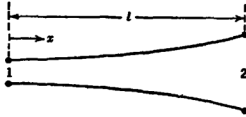
الحد الاخير لايساوي صفراً بسبب التغير في L على طول الخط ، وبالتعويض عن I من (7.15) وعن dI/dx من (7.16) نحصل على المعادلة التفاضلية للفتولية :

$$\frac{d^2 E}{dx^2} - \left(\frac{1}{L} \frac{dL}{dx} \right) \frac{dE}{dx} + (\omega^2 LC) E = 0 \quad (7.18)$$

إذا حذفنا الفولتية بين المعادلتين (7.15) و (7.16) تكون النتيجة معادلة تفاضلية للتيار :

$$\frac{d^2 I}{dx^2} - \left(\frac{1}{C} \frac{dC}{dx} \right) \frac{dI}{dx} + (\omega^2 LC) I = 0 \quad (7.19)$$

إذا كان C و L ثابتين على طول الخط فإن الحدود الوسطية ستختفي ونحصل على المعادلات الاعتيادية لخط منتظم عديم الفقد . في الحالة العامة فإن المعادلات هي دالات لـ x ولا يمكن الحصول على الحل العام ، ولكن هنالك حالة خاصة بسيطة بدرجة كافية وهي الخط باستدقاق اسي (Exponential Taper) . يمكن كتابة معاملات الحدود الوسطية $d(\log C)/dx$ و $d(\log L)/dx$ وهذان سيكونان ثابتين إذا تغير L و C اسياً مع x . سيكون معامل الحد الاخير $\omega^2 LC$ ثابتاً ايضاً إذا تغير L عكس C ومن ثم فإن المعادلات التفاضلية لها معاملات ثابتة ويمكن حلهم بدون صعوبة .



شكل 7.23 شكل تخطيطي لخط مستدق

ارجع الى الشكل 7.23 واكتب المحاذية والسعة لكل وحدة طول عند اية نقطة

$$\left. \begin{aligned} L &= L_1 e^{\alpha x} \\ C &= C_1 e^{-\alpha x} \end{aligned} \right\} \quad (7.20)$$

حيث ان L_1 و C_1 هما القيمتان عند النهاية الضيقة والثابت α يدل على معدل الاستدقاق (Rate of Taper) ، ليس ضرورياً الآن ان نحدد اي طرف من الخط هو جانب الاستلام حيث ان تحليلنا سيطبق بالتساوي على كلا الطريقتين .

حاصل الضرب $LC = L_1 C_1$ ثابت ولكن لدينا :

$$\sqrt{\frac{L}{C}} = \sqrt{\frac{L_1}{C_1}} e^{\alpha x} \quad (7.21)$$

إذا كان الخط منتظماً فالكمية $\sqrt{L/C}$ ستكون الممانعة المميزة ولكن هذا التعبير سيعدل بوجود الاستدقاق . وعلى اية حال اذا كان الاستدقاق لكل طول موجة صغيراً فإن الخط سيتصرف كما لو كان منتظماً على مسافات قصيرة وفستطيع ان نشابه هذا مع الخط المنتظم . ان سرعة الطور ستكون ثابتة ومساوية لـ $1/\sqrt{LC}$ بصورة قريبة جداً ، وستكون الممانعة المميزة قريباً $\sqrt{L/C}$ عند كل

نقطة وهذه ترددات اسياً مع ω والنتيجة هي تحويل الممانعة من طرف الى الآخر . عندما ينتهي الخط بدون انعكاس فانه سيتصرف كمحول مثالي ويمكن استعماله كمحول رفع (Step-UP) او كمحول خفض (Step-Down) . نتوقع فيزيائياً بأن الفولتية ستتغير $\propto \eta^{1/2}$ والتيار سيتغير $\propto \eta^{-1/2}$ مع خارج القسمة (الممانعة) متناسب مع η وحاصل الضرب (القدرة) ثابتاً . تحويل الممانعة يجب ان يعتمد على التردد طالما ان التردد عالٍ بمقدار كافٍ بحيث يحفظ الاستدقاق لكل طول موجة صغيراً وعملياً تؤدي تحديدات المكان عادة تؤدي الى استدقاق لا يكون صغيراً لكل طول موجة ولا يعتمد الاستنتاج السابق عليه . سنحلل هذه الحالة بمساعدة المعادلتين (7.15) و (7.19) .

انه من السهل عملياً عمل مستدق خطي غير المستدق المبين في المعادلة (7.20) . اذا كان التغير في مستوى الممانعة ليس بالكثير فان الاثنين سيكونان الشيء نفسه تقريباً وستطبق تحليلاتنا على كليهما . بعد تعويض المعادلة 7.20 في 7.18 نحصل على معادلة فولتية ذات معاملات ثابتة :

$$\frac{d^2 E}{dx^2} - \eta \frac{dE}{dx} + \omega^2 LCE = 0 \quad (7.22)$$

ان الحل لهذه المعادلة التفاضلية هو :

$$E = A_1 e^{\eta x/2} e^{-\beta x} + A_2 e^{\eta x/2} e^{+\beta x} \quad (7.23)$$

$$\beta = \sqrt{\omega^2 LC - \frac{\eta^2}{4}} \quad (7.24)$$

ان اثبات الحل السابق يمكن فحصه بتعويضه في المعادلة التفاضلية والتي يجب ان تختصر الى متطابقة .

يحتوي الحل (7.23) على موجتين ، الاولى بعامل طور $e^{-\beta x}$ وتنقل نحو الطرف الواسع الشكل (7.23) والثانية بعامل $e^{+\beta x}$ وتنقل نحو الطرف الضيق . بسبب الاستدقاق فان كلاً من موجتي الفولتية اكبر عند طرف الممانعة العالية بالعامل $\eta^{1/2}$. حتى الآن لم نحدد ايها هو طرف الحمل والسؤال هو ايها هي الموجة الساقطة وايها هي الموجة المنعكسة وهو امر غير مهم .

ان ثابت الطور المعطى بالمعادلة 7.24 له اهمية خاصة حيث انه سيكون حقيقياً فقط اذا كان التردد فوق قيمة حرجة معينة . تحت هذا التردد ستكون β خيالية ثم ان العاملين $e^{\pm \beta x}$ في المعادلة 7.23 سيكون لهما اس حقيقي وسيكون التأثير مشابهاً ذلك لثابت التوهين .

هذه الخاصية مشابهة لمرشح عالي الامرار (High-Pass Filter) ، الذي يمرر الطاقة بطلاقة فوق تردد معين ولكن يوهنها عند تردد اوطأ ، النقطة الحرجة يعطى لها اسم تردد قطع (Cutoff- Frequency) ولكن هذا قد يكون غامضاً « حيث ان الخط لا يقطع بحدة والطاقة ستصل الحمل تحت التردد الحرج مالم يكن الخط طويلاً جداً » ، ان التردد الحرج يحصل عليه عندما $\omega^2 LC = \eta^2/4$ وعليه :

$$\omega_c = \frac{\eta}{2\sqrt{LC}} \quad (7.25)$$

ويمكن كتابة ثابت الطور (7.24) الان كالآتي :

$$\beta = \omega\sqrt{LC} \sqrt{1 - \frac{\eta^2}{4\omega^2 LC}} \quad \text{او} \quad (7.26)$$

$$\beta = \omega\sqrt{LC} \sqrt{1 - \left(\frac{\omega_c}{\omega}\right)^2}$$

وهذا سيكون اوطأ من قيمة الخط المنتظم $\omega\sqrt{LC}$ بخمسة بالمائة عندما $\omega_c = 3.21$ و سيكون اوطأ بواحد بالمائة فقط عندما $\omega_c = 7.10$ ، ان سرعة الطور ω/β وطول الموجة $2\pi/\beta$ سيكونان مشابهين تقريباً لقيم خط منتظم . ان الخطوط المستدقة العملية بصورة عامة تشتغل عند تردد اعلى من القيمة الحرجة حيث β و λ هما تقريباً نفسيهما للخط المنتظم .

لوجدان الحل للتيار ، عوض تغير الفولتية (7.23) في المعادلة (7.15) . باستعمال العلاقة $L = L_1 e^{j\pi}$ يمكن كتابة النتيجة كالآتي :

$$I = B_1 e^{-\eta z/2} e^{-j\beta z} - B_2 e^{-\eta z/2} e^{j\beta z} \quad (7.27)$$

حيث ان :

$$\left. \begin{aligned} B_1 &= \frac{\beta + j\eta/2}{\omega L_1} A_1 \\ B_2 &= \frac{\beta - j\eta/2}{\omega L_1} A_2 \end{aligned} \right\} \quad (7.28)$$

ن شخص حدي (7.27) كموجتي تيار ينتقلان نحو طرفي الممانعة العالية والممانعة الواطئة بالتعاقب . كلا من موجتي التيار هما اصغر عند طرف الممانعة العالية بالعامل $e^{-\eta/2}$.

ان الممانعتين المميزتين المرئيتين بالموجتين المتنقلتين بالعكس يمكن الحصول عليها من التعبير السابق للتيار والمعادلة (7.23) للفولتية . بعكس الخط المنتظم فان الممانعتين في الاتجاهين هما مختلفان بسبب الاستدقاق ، الممانعة المرئية من الموجة المنتقلة نحو طرف الممانعة العالي سيرمز لها بـ Z_{up} ويحصل عليها بتقسيم الحد الاول لـ (7.23) بالحد الاول لـ (7.27) ثم :

$$Z_{up} = \frac{\omega L_1 e^{j\pi}}{\beta + j\eta/2} = \frac{\omega L}{\beta + j\eta/2}$$

وهذا يوضح بهيئة مناسبة أكثر وذلك بالتعويض عن β في المعادلة (7.25) وعن η من المعادلة (7.25) ومن ثم حذف الجذور النتيجة هي :

$$\begin{aligned} Z_{up} &= \sqrt{\frac{L}{C}} \left[\sqrt{1 - \left(\frac{\omega_c}{\omega} \right)^2} - j \frac{\omega_c}{\omega} \right] \\ &= \sqrt{\frac{L_1}{C_1}} \left[\sqrt{1 - \left(\frac{\omega_c}{\omega} \right)^2} - j \frac{\omega_c}{\omega} \right] e^{j\pi} \end{aligned} \quad (7.29)$$

وبطريقة مشابهة يمكن البرهنة على أن الممانعة المرئية بالموجة المنتقلة نحو طرف الممانعة الواطئة هي :

$$\begin{aligned} Z_{down} &= \sqrt{\frac{L}{C}} \left[\sqrt{1 - \left(\frac{\omega_c}{\omega} \right)^2} + j \frac{\omega_c}{\omega} \right] \\ &= \sqrt{\frac{L_1}{C_1}} \left[\sqrt{1 - \left(\frac{\omega_c}{\omega} \right)^2} + j \frac{\omega_c}{\omega} \right] e^{j\pi} \end{aligned} \quad (7.30)$$

المركبتان المقاومتان لهاتين الممانعتين هما مساويتان $\sqrt{L/C}$ تقريباً عندما يكون التردد هو عدة مرات بقدر القيمة الحرجة ولكن الحد المفاعل فقط متناسب عكسياً لـ ω/ω_c ويبقى كبيراً لحد قيم أعلى جداً لهذه النسبة . وكمثال عند $\omega = 7.10 \omega_c$ عندنا $Z_{up} = (0.99 - j0.14) \sqrt{L/C}$ ولكن المركبة المفاعلة بقيت 14 بالمائة .

لكي ينتهي الخط بدون انعكاس عند طرف الممانعة العالية فانه يجب استعمال ممانعة حمل مساوية Z_{up} (المعادلة (7.29) مع $x = 0$) .

أن ممانعة المدخل عند طرف الممانعة الواطئة ستكون عندها مساوية لـ Z_{up} عند ذلك الطرف (المعادلة (7.29) مع $x = 0$) وهذا سيجب تحويل ممانعة مخفضة بعامل مساوٍ لـ $e^{-j\pi}$. إذا ربطت الحمل عند طرف الممانعة الواطئة فانه يجب أن يكون مساوياً لـ Z_{down} عند $x = 0$ حتى لا يكون هنالك انعكاس ، وفي الطرف الآخر ستكون ممانعة المدخل مساوية لـ Z_{down} مع $x = l$ وسترتفع ممانعة الحمل بالعامل $e^{j\pi}$ ولتقييم ω/ω_c غير القريبة جداً من القطع ممكن أن يعطى حمل مقاومي المركبة المفاعلة المطلوبة وذلك بربط متسعة على التوالي لموائمة Z_{up} او بربط محاثة على التوازي لموائمة Z_{down} . يمكن اشتقاق شبكات انتهاء أخرى لموائمة أحسن على مدى واسع (١)

(١) لاحظ :

Harold A. Wheeler, Transmission Lines with Exponential Taper, Proc. IRE, Vol. 27, pp. 65-71, January, 1939. (214)

ان المطلوب لممانعة حمل مركبة بدون انعكاس امر غير ملائم ويؤدي (بالطبع) الى ممانعة مدخل لها مركبة مفاعلة . يمكن تجنب الصعوبة بتشغيل الخط بعيداً فوق تردده الحرج يكون لدينا وبصورة تقريبية جداً :

$$Z_{up} \approx Z_{down} \approx \sqrt{\frac{L}{C}} = \sqrt{\frac{L_1}{C_1}} e^{j\pi/4}$$

الان يمكن استعمال حمل مقاومي بحت والحصول على تحويل الممانعة $e^{j\pi/4}$ بدون الاعتماد على التردد طالما ان $\omega \gg \omega_c$ وهذا يتطلب ان يحتفظ بالاستدقاق لكل طول صغير . سنرمز لطول موجة على خط منتظم بـ $\lambda_0 = 2\pi/\omega\sqrt{LC}$ عندئذ يمكن التعبير عن مقدار الاستدقاق لكل موجة بمساعدة المعادلة (7.25) كالآتي :

$$\eta\lambda_0 = (2\omega_c\sqrt{LC})\left(\frac{2\pi}{\omega\sqrt{LC}}\right) = 4\pi\frac{\omega_c}{\omega} \quad (7.31)$$

إذا اريد حفظ المركبة المفاعلة لـ Z_{up} او Z_{down} بـ 2 بالمائة فيجب ان يكون عندنا $\omega = 50\omega_c$ وعليه فإن الاستدقاق لكل طول موجة هو :

$$\eta\lambda_0 = \frac{4\pi}{50} = 0.252$$

لكل طول موجة فان الممانعة حولت بالعامل $e^{0.252} = 1.287$ في تطبيقات عديدة فان متطلبات الفراغ لاتسمح بطول الاستدقاق كما اشير اليه في الاعتبارات السابقة . يستعمل الحمل المقاومي غالباً في نهاية الخط المستدق الذي يشتغل فقط عند تردد اكبر عدة مرات من القيمة الحرجة . الانعكاس الناتج بسبب عدم الموازنة عند الحمل يسبب مركبة مفاعلة لممانعة المدخل تتغير مع التردد . يناظر ذلك لخط حيث سيكون له ازاخعة ممانعة جانب الارمال حول محل هندسي دائري على خارطة خط النقل . يمكن البحث عن التغير في الممانعة بتقسيم الفولتية (7.23) بالتيار (7.27) وعليه يحصل :

$$Z = \frac{E}{I} = \frac{A_1 + A_2 e^{-j\beta z}}{B_1 - B_2 e^{-j\beta z}} e^{j\pi/4} \quad (7.32)$$

حيث ان B_1 و B_2 عبر عنهما بدلالة A_1 و A_2 خلال المعادلة (7.28) . لا يكتمل التحليل لتغير الممانعة بالتفصيل ماعدا حالة واحدة بسيطة ومهمة (١) .

(١) لمعلومات اكثر لاحظ :

Chas. R. Burrows, The Exponential Transmission Line, Bell System Techn. J., Vol. XVII, pp. 555-573, October, 1938.

ويمكن ايجاد تأثير الانعكاسات كما حسب لاستدقاق خطي فيزيائي بطريقة اكثر عمومية يمكن وجدانها في :

«Microwave Transmission Design Data,» by

Theodore Moreno, pp. 53-55, McGraw-Hill Book Company, Inc., New York, 1948.

ان خط نصف الموجة الاسي مشابه لنظيره المنتظم حيث له خاصية ممانعة متكررة معدلة فقط بنسبة التحويل ϵ^{zz} ومن الممكن رؤية هذا حالاً من المعادلة (7.32) حيث ان زيادة βx بـ π من الزوايا نصف القطرية سيغير الازاحة $2\beta x$ بـ 2π من الزوايا نصف القطرية وتبقى الممانعة كالسابق ماعدا نسبة التحويل ϵ^{zz} والسبب هو ان الانعكاس يصل جانب الارسال بطور مناسب بالنسبة للموجة الخارجة . وعليه فالخط الذي يكون طوله عدد كامل من انصاف طول الموجة ومنتبه بمقاومة حمل R سيكون له ممانعة مدخل مساوية لـ $R\epsilon^{zz}$ او $R\epsilon^{zz}$ (يعتمد ذلك على هل ان الخط استعمل كرافع او كخافض) . هذا بالضبط هو تحويل الممانعة المطلوبة ولكنها حساسة للتغير في التردد . حيث ان تغيراً في التردد سيغير λ ولا يبقى طول الخط عدد كامل من انصاف طول الموجة . تصل الموجة المنعكسة بأسوأ ما يمكن من طور عندما يكون طول الخط عدداً فردياً من ارباع طول الموجة .

يمكن تقليل التغير مع التردد الى ادنى ما يمكن بجعل الموجة المنعكسة صغيرة اي بمعنى آخر جعل R تقريباً مساوية لـ Z_{up} او Z_{down} كلما امكن . وعليه (أ)

يجب ان تكون مقاومة الحمل مساوية لـ $\sqrt{L/C}$ عند النهاية التي تربط بها و (ب) يجب ان يشتغل الخط عند اعلى من تردده الحرج كلما سمحت العوامل الاخرى (طول الخط يجب ان يكون عدداً من انصاف طول الموجة وبحدود ماتسمح به الامكان العملية) . واخيراً اذا كان ممكناً جعل الخط طويل بدرجة كافية بحيث يشتغل عند تردد اعلى من تردده الحرج فان $Z_{up} \approx Z_{down} = \sqrt{L/C}$ وليس هنالك موجة منعكسة كبيرة لذا فلا يهم الطول المضبوط .

مسائل

- 1 . خط قليل الفقد منتبهممانعته المميزة التي تساوي 400 اوم . ربط عبر هذا الخط فولتميتر تردد راديوي من النوع المبين في الشكل 7.1 يحتوي على خط ربع موجة له $Z_0 = 400$ اوم ومنتبهمجهاز قياس له مقاومة 10 اوم :
أ . احسب ممانعة المدخل لفولتميتر التردد الراديوي واستخرج نسبة الموجة المتوقفة التي يحدثها على الخط الرئيس .
ب . جهاز القياس يحتاج الى 50 ملي امبير لتأثير كلي على المقياس (Full Scale Deflection) وتأثيره يتناسب مع مربع التيار . ماهي فولتية المدخل التي تحدث تأثيراً كلياً على المقياس ؟ ماهي الفولتية التي تحدث ربع التأثير الكلية على المقياس ؟
- 2 . خط له $Z_0 = 400$ اوم منتبهممانعة حمل غير معروفة . نسبة الموجة المتوقفة 5.7 وادنى فولتية تحدث عند الحمل . ماهي ممانعة الحمل ؟
- 3 . خط نقل له $Z_0 = 427$ اوم منتبهممانعة جانب استلام غير معروفة . نسبة الموجة المتوقفة 3.2 واول ادنى فولتية تحدث على بعد 0.79 متر من الحمل . المسافة بين ادنى فولتيتين متعاقبتين على انسودج الموجة المتوقفة 2.52 متر . ماهي ممانعة الحمل ؟
- 4 . خط نقل قليل الفقد له $Z_0 = 60$ اوم . استعمل لقياس اربعة ممانعات حمل مختلفة . في كل حالة كانت نسبة الموجة المتوقفة 3.0 :
لحمل (أ) وجدت اقصى فولتية بالضغط على الحمل . للحمل (ب) اول اقصى فولتية كانت $\lambda / 8$ من الحمل ، للحمل (جـ) ادنى فولتية وجدت بالضغط على الحمل . مع حمل (د) مربوط فان ادنى فولتية وجدت $\lambda / 8$ من الحمل . استخرج ممانعات الاحمال الاربعة .
- 5 . خط محوري ذو حز له $Z_0 = 52$ اوم استعمل لقياس ممانعة حمل . اولاً قصرت دائرة الاستلام للخط ووجد بأن الفولتيات الدنيا متباعدة بمسافة 20.5 سم . اشرت واحدة من الفولتيات الادنى لاستعمالها كنقطة قياس . بعد ذلك ربطت الممانعة غير معروفة الى جانب استلام الخط . نسبة الموجة المتوقفة وجدت بأنها 2.75 وادنى فولتية وجدت ، بأنها 8.6 سم من نقطة القياس على الجهة نحو الحمل . استخرج ممانعة الحمل غير المعروفة .

6. قارن اتجاهي مربوط في خط نقل أثر قدرة ساقطة مقدارها 20 واط . نسبة الموجة المتوقعة هي 3.0 . ماهي القدرة الممتصة من قبل الحمل ؟

7. خط قليل الفقد متغير الطول مربوط بين مولد وحمل . الخط له $Z_0 = 70$ اوم . ممانعة الحمل هي $Z_R = 210 + j 0$ اوم . المولد له فولتية داخلية مقدارها 100 فولت ج . م . ت وممانعة داخلية مقدارها 70 اوم وهي مقاومة بحتة . ا رسم القدرة المستلمة كدالة الخط ل $0 < l < \lambda/2$

8. مقطع من خط محوري ذي حز يستعمل لاستخراج سرعة الانتشار لقابلو محوري مرّن له عازل صلب . احد جانبي المقطع ذي الحز مربوط بالمولد والاخر مربوط الى القابلو اللين . النهاية البعيدة من القابلو اللين مفتوحة الدائرة والممانعة المميزة للمقطع ذي الحز يوائم ذلك للخط اللين :

أ. نقاط التقاء الفولتية (Voltage Nodes) وجدت بمباعدة 30 سم في المقطع ذي الحز . ماهو طول الموجة في المقطع ذي الحز وماهو تردد المولد ؟
 ب. عندما قطع مقطع من 5 سم من الجانب المفتوح من القابلو اللين ، تحركت الفولتيات الدنيا في المقطع ذي الحز بمسافة 7.35 سم نحو المولد . ماهو طول الموجة في القابلو اللين ؟ ماهي سرعة الانتشار ؟

9. خط ذو سلكين العازل بينهما هواء له ممانعة مميزة 400 اوم يشتغل في مقاومة حمل مقدارها 105 اوم . التردد هو 100 ميكا هرتز . يراد استعمال محول ربع موجة لمواءمة الحمل للخط . اذا اريد تركيب المحول من انبوبين لهما قطر 0.250 انج فماذا يجب ان تكون المباعدة من المركز الى المركز ؟

10. خط قليل الفقد له ممانعة مميزة مقدارها 340 اوم يجهز قدرة لممانعة حمل مقدارها $280 + j 210$ اوم . يراد استعمال محول ربع موجة كما مبين في الشكل 7.16 ليوائم الحمل الى الخط . طول الموجة 5.0 امتار :

أ. اذا كانت الممانعة المميزة لمقطع ربع الموجة اصغر من 340 اوم فماذا يجب ان تكون المسافة d' (لاحظ الشكل 7.16) ؟ ماهي القيمة الواجب استعمالها في مقطع ربع الموجة ؟ ماهي مباعدة السلك اذا كان قطر السلك 0.102 انج ؟
 ب. اعد الجزء أ ولكن اجعل الممانعة المميزة لمقطع ربع الموجة اكبر من 340 اوم .

11 . قابلو محوري العازل بينه هواء له الابعاد الآتية : قطر الموصل الداخلي يساوي 0.250 انج ، القطر الداخلي للأنبوب الخارجي يساوي 0.875 انج التردد هو 300 ميكاهرتز والخط منته بمقاومة مقدارها 30 اوم . يراد استعمال محول ربع الموجة من النوع المبين في الشكل 7.15 ب. لمواءمة الحمل الى الخط . ماذا يجب ان يكون قطر الموصل الداخلي لمقطع ربع الموجة وماذا يجب ان يكون طوله ؟ .

12 . قابلو محوري هوائي العزل له ممانعة مميزة مقدارها 75 اوم ويشغل عند التردد 1,200 ميكاهرتز . انهي بمقاومة مقدارها 30 اوم . قطعة (Slug) ربع موجة من مادة عازلة يراد ادخالها في الخط لكي يملأ الفراغ الحلقي كلياً (هذا سيشتغل كمحول ربع موجة ليوائم الحمل الى الخط) . ماذا يجب ان يكون ثابت العزل النسبي للمادة ؟ كم سنتمتراً يجب ان يكون طول القطعة ؟

13 . محول ممانعة ذو مقطعين من النوع المبين في الشكل 7.17 يراد استعمالها لمواءمة خط 300 اوم وحمل مقاومي 70 اوم . اوجد الممانعتين المميزتين المناسبيتين للمقطعين .

14 . محول ربع موجة صمم ليوائم خط 400 اوم الى حمل مقاومي 100 اوم عند طول الموجة 3.0 متر . عند تغير طول الموجة الى 3.5 متر . استخراج نسبة الموجة المتوقفة على الخط 400 اوم .

15 . موالف منفرد ابتر من النوع المبين في الشكل 7.18 يوائم خط 400 اوم لحمل 300 ز + 800 اوم . الموجة 150 متر . جد المسافة من الحمل الى الموالف الابتر والطول المناسب للابتر . عين الابتر اقرب ما يمكن من الحمل .

16 . موالف منفرد ابتر استخدم ليوائم خط 400 اوم الى حمل 100 ز - 200 اوم . طول الموجة هو 3.00 متر . استخراج اقصر مسافة من الحمل الى الموالف الابتر والطول المناسب للابتر .

17 . موالف ثنائي ابتر من النوع المبين في الشكل 7.20 ليوائم خط 60 الى حمل 0
 $\bar{z} + 28$ اوم . المسافة من الحمل الى اول ابتر $\lambda / 8$. المباعدة بين الابترين
 $\frac{3\lambda}{8}$. استخرج الطولين المناسبين للابترين (معبرا عنهما بدلالة طول
 الموجة) .

18 . اعد المسألة 17 واستعمل المسافة $\lambda / 8$ بين الحمل واول ابتر .

19 . خط 70 اوم مربوط الى حمل مقاومي 22.0 اوم . موالف ثنائي ابتر يراد
 ادخاله ليوائم الحمل الى الخط . ضمن اول طول موجة من الحمل ، اين يجب ان
 لايدخل الموالف ؟ مباعدة الابتر هي $\lambda / 8$ 3 .

20 . خط مستدق يراد استعماله كمحول ممانعة بين 75 اوم قابلو محوري وحمل
 مقاومي 150 اوم . نصف القطر الداخلي للانبوب الخارجي 1.50 سم والموصل
 الداخلي يجب ان يكون مستدقا والخط هوائي العزل :
 أ . عين نصف الموصل الداخلي لكلا طرفي المقطع المستدق .

ب . اذا اريد اشتغال المقطع المستدق عند تردد يبلغ 50 مرة بقدر التردد الحرج
 ماذا يجب ان يكون طوله بدلالة طول الموجة ؟ ماذا سيكون Z_{up} عند كلا
 الطرفين ؟ كيف سيقارن ثابت الطور مع $\omega\sqrt{LC}$ ؟

ح . اذا جعل المقطع المستدق مساويا لنصف طول موجة عند كم مرة بقدر تردده
 الحرج سيشغل ؟ ماذا ستكون Z_{up} عند كلا الطرفين ؟ كيف سيقارن ثابت
 الطور مع $\omega\sqrt{LC}$ ؟

الفصل الثامن

اعتبارات خاصة لخطوط البرق والهاتف

SPECIAL CONSIDERATIONS FOR TELEPHONE AND TELEGRAPH LINES

انواع خطوط البرق والهاتف : Types of Telephone and Telegraph Lines.

من الممكن ان تكون خطوط البرق والهاتف مفتوحة السلك او قابلو ، وتستعمل بعض انظمة البرق الارض كجانب واحد للدائرة ، على حين تستعمل الانظمة الاخرى مساراً معدنياً كاملاً كما تستعمل انظمة الهاتف الحديثة دوائر معدنية كاملة . ان الموصلات للخطوط المفتوحة السلك تثبت على اعمدة بواسطة عوازل منفصلة كما مبين في شكل 8.9 و 8.10 . ومن ناحية اخرى فان قابلو الهاتف يصنع من عدد كبير من اسلاك مزدوجة معزولة وتشغل الغلاف الواقي نفسه ، وتكون السلكين لكل زوج مبرومة (Twisted) ، وفي قابلات المسافات الطويلة تتألف كل مجموعة من زوجين يبرمان لشكل مجموعة تعرف بالرباعي (Quad) ويمكن للقابل ان يمتد معلقاً على اعمدة او ان يدفن في الارض . ان لخط القابلو محاذة واطئة بصورة غير اعتيادية بسبب التقارب بين الموصلين ولوجود العازل الصلب تتحسن خواص القابلو كثيراً باستعمال التحميل الحثي ، كما نوقش في الجزء 2.9 . التحميل الحثي يستعمل في قابلات الهاتف للترددات الصوتية لمسافات طويلة .

8.2 . الترددات المستعملة في المواصلات الهاتفية والبرقية :

Frequencies Used in Telephone and Telegraph Communication.

ان الترددات الضرورية لنقل الصوت تقع تقريباً بين 250 - 2700 هرتز وان اجهزة الهاتف مصممة لهذا المدى ، يكون التردد لنقل البرامج الراديوية على خطوط الهاتف من 50 الى اعلى من 2700 هرتز بنوعية جيدة وهناك خطوط تمتد لمسافات طويلة واجهزتها مصممة لهذه الخدمات .

يمكن نقل عدد من المكالمات الهاتفية بصورة انية على زوج واحد من الخطوط باستعمال نظام الحاملة (Carrier System) وفي هذا النظام تنقل الرسالة الهاتفية على الخط بواسطة موجة حاملة ذات تردد عالٍ وباستعمال عدد من الموجات الحاملة بترددات مختلفة وفصلها في نهاية الخط الهاتفي بواسطة مرشحات يمكن الحصول على عدة قنوات للموصلات وبصورة انية على خط واحد . تسلط اشارة

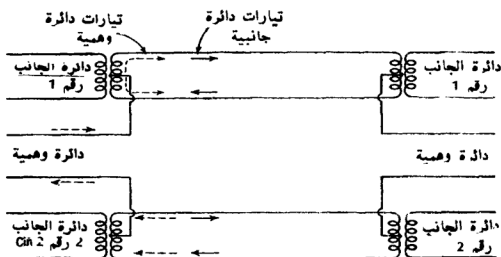
(Simplex) السلكين في دائرة الهاتف كموصل واحد للبرق ، ويتم الرجوع خلال الارض ، يسري تيار البرق انياً في الاتجاه نفسه على الخط وطالما ان النظام متوازن فلا يوجد تداخل (Interference) هنالك طريقة ثانية تدعى التركيب (Compositing) وتستغل حقيقة ان الترددات الضرورية لاشارة البرق التي تكون اقل تردداً ضرورياً للاشارة الهاتفية . ان المركبات ذات التردد العالي للاشارة البرقية المتسببة من القطع او الغلق المفاجيء للدائرة تزال اولاً بواسطة متسعة على التوازي وملف على التوالي وان الاشارة ذات التردد الواطيء الناتجة يمكن ارسالها على خط الهاتف بدون تداخل . باستعمال الارض كخط رجوع فان السلكين لدائرة الهاتف يمكن استعمالهما كقناتين برقيتين .

ان نظام الحاملة يمكن استعماله ايضاً للمواصلات البرقية ، والحاملة للتردد الصوتي تستعمل ترددات حاملة في مدى 400 الى 2500 هرتز ، ان الخط المستعمل بهذه الطريقة لا يمكن طبعاً ان يستعمل انياً لنقل الصوت . وان خطوط الهاتف ذات السلك المفتوح يمكن ان تستعمل لحمل اشارات برقية انياً باستعمال تردد حاملة برق أعلى نوعاً ما من الترددات الصوتية .

8.3 الدائرة الوهمية : The Phantom Circuit.

الزوجان من الاسلاك اللذان يجهزان قناتين منفصلتين للهاتف يمكن استعمالهما لتوفير دائرة ثالثة بواسطة مايسمى بالتوصيل الوهمي . الدائرتان الرئيسيتان او الجانبيتان مجهزة بمحولات ذات نقاط وسطية كما في الشكل 8.1 . ربطت الدائرة الوهمية الى النقاط الوسطية للمحولات وتياراتها مبينة بالاسهم المنقطعة . تستعمل السلكان لدائرة جانبية واحدة كموصل واحد للدائرة الوهمية واذا كانت الدوائر متوازنة بعناية فلا يكون هنالك تداخل بين القنوات الثلاث المستعملة للمواصلات . تستعمل الدوائر الوهمية على السلك المفتوح ودوائر القابلو ، ففي القابلو تستعمل الاسلاك الاربعة التي تشكل رباعي (Quad) للدائرة الوهمية .

عند استعمال محول خصيصاً لاغراض العزل او لتجهيز نقطة وسطية كما مبين في الشكل 8.1 فانها تعرف في لغة الهاتف بملف اعادة (Repeating Coil) ومن ثم فان الاسم « محول » يطلق لتلك الاستعمالات التي يكون فيها الفرض الاساسي للجهاز تحويل فولتية او تيار او ممانعة .



شكل 8.1 اشتقاق دائرة وهمية من دائرتين جانبيتين .

8.4 مضخمات الهاتف والمقويات

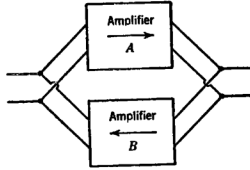
Telephone Amplifier and Repeaters.

قبل ظهور المضخم الصمامي ، كان الاتصال الهاتفي لمسافات طويلة يتم باستعمال موصلات ذات اقطار كبيرة فقط او تحميل حثي كبير لتقليل التوهين ، وكانت النتائج بالقياسات الحالية غير مرضية نسبياً ولكن المضخمات الصمامية جعلت بالامكان ازالة التحميل من الخطوط المفتوحة وتحسين نوعية الارسال ، كما جعلت استعمال خطوط القابلو لمسافات طويلة ممكن عملياً والتي كان التوهين فيها سابقاً كبيراً جداً .

انه من الضروري وضع المضخمات متقاربة بالقدر الكافي على الخط لمنع انخفاض الاشارة الى مستوى الضوضاء حيث عند ذلك لايمكن استغلالها . وكمثال قابلو نموذجي محمل له توهين ربما 0.3 ديسبل لكل ميل عند 1,000 هرتز ، ففي مسافة مقدارها 500 ميل التوهين يصل الى 150 ديسبل والتي تناظر نسبة قدرة مقدارها 10^{15} .

وكمثال بدون استعمال مضخمات : تحتاج قدرة خارجة من جانب الاستلام مقدارها 1 ميكرواوط الى قدرة داخلية مقدارها 1,000 ميكواوط من طرف الارسال وبكسبة عملية من قدرة داخلية الى جانب الارسال فان القدرة الخارجة من جانب الاستلام تكون صغيرة جداً بحيث لايمكن لاي كمية من التضخيم ان تفصل الاشارة من الضوضاء العشوائية المتأصلة في كل الدوائر . على كل الفرض ان المسافة بين

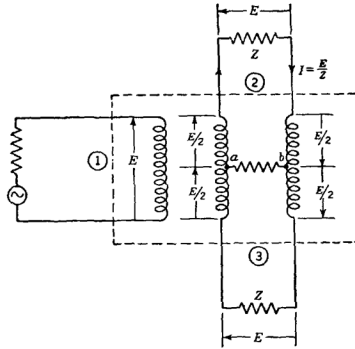
لمضخمات على الخط تبلغ 50 ميلاً ، فان التوهين بين مضخمين متتاليين يبلغ 15 ديسبل والذي يناظر نسبة قدرة مقدارها $10^{1.5}$ والتي تساوي 31.6 ولاشارة معقولة داخلية لجانب واحد من مقطع طوله 50 ميلاً ينتج عنه اشارة خارجة اعلى من مستوى الضوضاء وان اضافة كسب مقداره 15 ديسبل ليس بالصعب الحصول عليه من مضخمات صمامية ودون التعرض الى خطر عدم الاستقرار .



شكل 8.2 محاولة غير مرضية لتجهيز تضخيم ثنائي الاتجاه .

ان المضخم الصمامي هو مضخم احادي الاتجاه (One Way) ولكي يضخم اشارات في كلا الاتجاهين في دائرة هاتف ثنائية السلك فانه يجب استعمال ترتيب خاص . الشكل 8.2 يبين ترتيباً لايمكن استعماله حيث ان كل صندوق يمثل مضخماً باتجاه السهم ، اي ان اضطراباً في مدخل الوحدة A سيضخم ويخرج باتساع اكبر حيث يسلط على مدخل الوحدة B ، ان المضخم الثاني B سيضخم الاضطراب اكثر ويسلط على مدخل الوحدة A ثانية ، وهكذا فان الاضطراب سوف يستمر بالدوران خلال المضخمين ويزداد اتساعه حتى يتشبع المضخمان نتيجة العلاقة غير الخطية ، ولنتيجة تذبذب مستديم (Sustained Oscillation) يؤدي الى عدم اشتغال الجهاز بالصورة الصحيحة . من الواضح ان المشكلة هي توفير ترتيب لكي يكون مخرج احد المضخمات مسلطاً على الخط وليس على مدخل المضخم الثاني ويمكن انجاز هذا بواسطة محول ذي ثلاثة ملفات يسمى بالملف الهجينى (Hybrid Coil) ان مبدأ الملف الهجينى واستعماله في المضخم ذو الاتجاهين موضح في الشكلين 8.3 و 8.4 وللسهولة افرض ان الملفات الثلاثة لها العدد نفسه من الملفات ، ولأثنين من الملفات نقاط وسطية (Centre tapped) كما مبين في A و B وبذا نحصل على اربع دوائر خارجية هي 1 و 2 و 3 والتوصيل بين النقطتين A و B .

الدائرتان 2 و 3 منتهيتان بالممانعة Z نفسها . افرض الان ان فولتية مقدارها E سلطت عل الدائرة 1 حيث ينتج عنها الفولتيات المبينة في الشكل 8.3 ، ويدور تيار مقداره E/Z يدور باتجاه عقرب الساعة في الدائرتين 2 و 3 . وسوف تكون الفولتية بين أ و ب مساوية لصفر ، وهي النتيجة المطلوبة هنا .



شكل 8.3 الملف الهجينى المجهز بالطاقة من دائرة 1 .

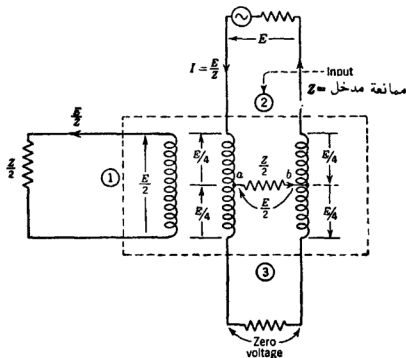
ستبدد نصف القدرة في ممانعة الانتهاء Z للدائرة الثانية والنصف الثاني سوف يبدد في ممانعة الانتهاء Z للدائرة الثالثة .

ثانياً افرض ان الفولتية E جهزت للدائرة 2 كما في الشكل 8.4 ، فاذا كانت ممانعة الانتهاء للدائرة 1 تساوي $Z/2$ كانت الممانعة المربوطة بين النقطتين أ و ب تساوي ايضاً $Z/2$ فان التيار والفولتية سيكونان كما مبين في الشكل ، ان ممانعة المدخل للدائرة 2 تساوي Z وهي النتيجة المرغوبة . ان نصف القدرة الداخلة تصرف في ممانعة الانتهاء للدائرة 1 ، والنصف الثاني سيذهب الى الممانعة المربوطة بين النقطتين أ و ب .

استعمال ملفين هجينيين ومضخمين الى مكبر ذي اتجاهين مبين في الشكل 8.5 والجهاز الناتج يسمى بالمقوى (Repeater) .

إذا ما كانت العلاقة بين الممانعات للملفين الهجينيين ثابتة كما في الشكل 8.4 فإن الخططين 1 و 2 سوف ينتهيان بممانعة تساوي Z_0 وان الإشارة الآتية من الخط 1 تحقق الشروط للشكل 8.4 ، حيث ان نصف طاقتها سوف تبديد في دائرة الاخراج للمضخم B حيث تفقد كحرارة والنصف الثاني من طاقة الإشارة سوف تنتقل الى دائرة الادخال للمضخم A والتي تناظر الممانعة المربوطة بين النقطتين أ و ب في الشكل 8.4 ، هذه الإشارة سوف تضخم وتخرج من الملف الهجيني الثاني ، حيث تحقق هنا الشروط في الشكل 8.3 ، ان نصف القدرة سوف يبديد في الممانعة المتوازية Z_r والنصف الثاني سيذهب الى الخط 2 ولا تظهر إشارة عبر مدخل المضخم B وهكذا تحل مشكلة الإشارة الدوارة واحتمال تذبذبات .

توائم الممانعة المتوازية Z_0 في الشكل 8.5 ممانعة الخط عند كل الترددات فان تماثل الربط للملف الهجيني سوف ينعدم وان جزءاً من الإشارة الخارجة من احد المضخمات سوف تظهر في مدخل المكبر الثاني . ان مقدار عدم التوازن الممكن احتماله يعتمد على كسب المضخمين ولهذا السبب فان كسبا عالياً جداً غير مرغوب فيه في مقوى منفرد .



شكل 8.4 الملف الهجيني مزود بالطاقة من الدائرة 2 .

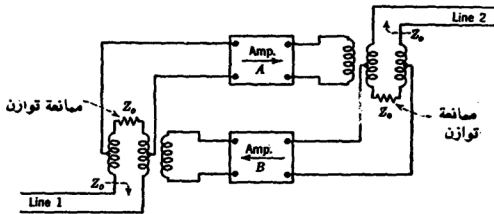
يستعمل في دوائر القابلات الطويلة عادةً زوج واحد من الاسلاك لحمل مكاملة واحدة في اتجاه واحد فقط ، او يستعمل زوجان اثنان من الاسلاك لنقل مكاملة باتجاهين ، وطبعاً فان هذا يزيل مشكلة التضخيم في اتجاهين ويمكن استعمال مضخم لاتجاه واحد في كلا الاتجاهين وكذلك في نقل البرامج الراديوية على خط الهاتف فان مشكلة التضخيم في اتجاهين لا تكون موجودة . ويجب ان تصمم مضخمات البرامج (طبعاً) لحزم ترددات اكبر من الحزم اللازمة لدوائر الصوت الاعتيادية .

8.5 ضوضاء وتداخل الكلام . Noise and Crosstalk.

يشغل خط الهاتف بمستوى قدرة واطئة وهو معرض الى ضوضاء من الدوائر الكهربائية القريبة وخصوصاً من خطوط القدرة التي يمكن ان تكون موازية لخطوط الهاتف . ان هذه المشكلة تكون حساسة خاصة اذا كانت خطوط القدرة تحمل تيارات توافقية (Harmonic Currents) ذات اتساعات كبيرة حيث ان هذه الترددات تقع في منطقة تكون فيها كل من اجهزة الهاتف للأذن البشرية ذات حساسية اكثر وهناك مشكلة مشابهة هي تقارن الاشارة من خط هاتف الى خط آخر مجاور وهذا يسمى بتداخل الكلام

اذا كان تداخل الكلام اتياً انياً من عدد من دوائر الهاتف فتكون النتيجة اصوات كلام مختلفة غير مفهومة تدعى الهذيان (Babble) .

ان التقارن بين خط الهاتف ودائرة كهربائية اخرى يحدث عادة باحد او كلتا طريقتين : من خلال تقارن حثي حيث ان الفيض المغناطيسي لدائرة يصل الدائرة الاخرى او من خلال تقارن سعوي حيث ان المجال الكهربائي لدائرة يسبب



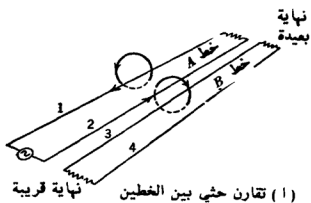
شكل 8.5 دائرة تقوية ذات اتجاهين لنظام هاتف ثنائي السلك .

فولتية في دائرة ثانية ، هذان النوعان من التقارن موضحان في الشكلين 8.6 و 8.7 ، وكذلك فانه من الممكن ان يحدث تقارن توصيلي بين مجموعتين من الخطوط من خلال عزل خاطيء . ولكن ذلك لا يحدث عادة على انظمة مصانة جيداً .

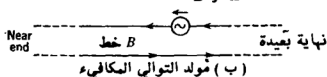
يبين الشكل 8.6 بصورة تخطيطية الفولتية المحتثة من الخط A الى الخط B من خلال التقارن المغناطيسي ، وهذا يكافئ وضع مولد على التوالي مع الخط B . ان التشويش الذي يظهر عند نهاية الخط B الاقرب الى المصدر الاصلي للاشارة يدعى تداخل الكلام للنهية القريبة ويظهر عند النهاية البعيدة من مصدر الاشارة تداخل يدعى تداخل للنهية البعيدة .
في حالة التقارن الحثي يكون اتجاه التيار في اي خط نفسه على الجانب القريب والبعيد من نقطة التقارن .

يبين الشكل 8.7 حث الفولتية من الخط A الى الخط B من خلال تقارن سعوي ، والدائرة المكافئة عند نقطة التقارن مبينة في الشكل 8.7 ب وهو دائرة قنطرة . وبما ان C_{12} هي اكبر من C_{11} فان القنطرة غير متوازية وتظهر فولتية عبر الخط B وكما مؤشر في الشكل 8.7 هـ فالتيارات الناتجة من التقارن السعوي تكون باتجاهات متعاكسة على الجانبين المتعاكسين من نقطة التقارن . ان الموجة التي تنتقل على خط هاتف طويل تتوهن كثيراً لحين وصولها الى جانب الاستلام ، وعندما يكون جانب الارسل لدائرة قريباً من جانب الاستلام لدائرة اخرى يكون احتمال التداخل في الكلام اكبر في دائرة القدرة الواطئة ، ولهذا فان دوائر القدرات المختلفة يجب ان تعتمد عن بعضها قدر الامكان .

الطريقة الرئيسة لتقليل الضوضاء وتداخل الكلام الى قيمة واطئة على خطوط مفتوحة السلك تتم بواسطة تبديل وضع اسلاك كل دائرة من جانب الى آخر . وفي تبديل وضع الاسلاك فان كل موصلين لكل دائرة يبدل موقعهما على مسافات مختلفة على الخط حتى تتوازن الفولتيات المستحثة من الدوائر المجاورة ، كما موضح في الشكل 8.8 ، وبالطبع يجب عدم تبديل موقع الدائرتين عند النقاط نفسها على امتداد طولها حيث انه بهذه الطريقة لا يمكن موازنة الفولتيات المحتثة ويجب ان يكون هنالك عدة تبديلات لكل طول موجة للحصول على نتائج فعالة .

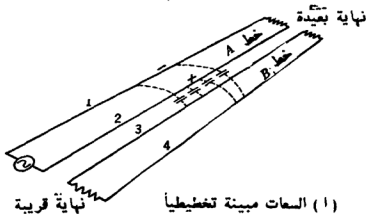


(أ) تقارن حثي بين الغطين
" B و A "

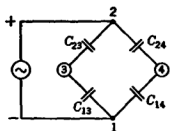


(ب) مولد التوالي المكافئ

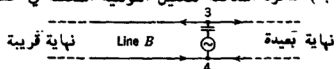
شكل 8.6 التقارن الحثي للقولية في الخط B, بواسطة التقارن الحثي مع الخط A .



(أ) السعات مبينة تخطيطياً



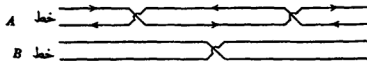
(ب) الدائرة المكافئة لتحليل القولية المحتشة في خط B .



(ح) مولد ثيفنن المكافئ في الخط B .

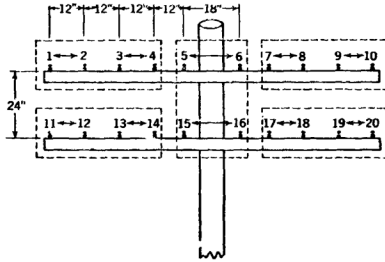
شكل 8.7 التقارن الحثي للقولية في خط B, بواسطة التقارن السعوي مع خط A .

ان تبديل وضع الاسلاك الملائم مع التناظر في المقاومة بين السلكين لدائرة (لا يوجد اتصال خاطيء) . تسمح للدوائر بأن تكون متقاربة نسبياً على جانبي العمود . يبين الشكل 8.9 ترتيباً قياسياً لاسلاك عل خط تردد صوتي مفتوح السلك . الدوائر الجانبية مبنية بالاسهم ذات الرأسين والمجموعة الوهمية تلك المحاطة بخطوط مقطعة . هنالك ترتيب قياسي آخر ركبت فيه تيارات حاملة ذات ترددات عالية على اشارات تردد صوتية كما مبين في الشكل 8.10 هنا يكون البعد بين اسلاك الدائرة اصغر من البعد بين الدوائر بسبب الصعوبة الكبيرة في تلافى تداخل الكلام بين الدوائر عند ترددات الحاملة ، ان مشكلة تداخل الكلام صعبة نوعاً ما في قابليات الهاتف بسبب قرب عدة دوائر من بعضها والافتقار الى التناظر الميكانيكي المضبوط والتي تؤدي الى عدم التوازن في الساعات . ان هذه المشكلة تقل نوعاً ما بسبب حقيقة ان سلكي الدائرة متباعدة فقط بطبقة من العازل حيث ان هذا التباعد الصغير في الاسلاك يجعل الجزء الرئيس من الفيض المغناطيسي محصوراً في منطقة صغيرة قرب الموصلات . يبدل موضع السلكين بليهما **Quad** على بعضها اضافة الى ذلك فأن الزوجين من الاسلاك اللذان يشكلان رباعي تلوي على بعضها لغرض تبديل الموضع للدائرة الوهمية وكنتيجة فان تداخل الكلام المتسبب من الفيض المغناطيسي يكون مهماً في الترددات الصوتية ويأتي التقارن الرئيسي نتيجة عدم التوازن في الساعات وعلاج مرض ربط متسعات صغيرة لتصحيح عدم الموازنة . في القابليات الطول والتي تستعمل عدداً من المقويات يمكن ازالة تداخل الكلام من الجانب القريب افتراضياً باستعمال دوائر منفصلة لكلا اتجاهي النقل كما موضح في الشكل 8.11 . ان تداخل الكلام الذي يحدث من الدائرة *A* الى الدائرة *B* كالمبين في نقطة *A* لا يمكن ان ينتقل الى الجانب القريب من الدائرة بسبب عمل المضخم في اتجاه واحد .

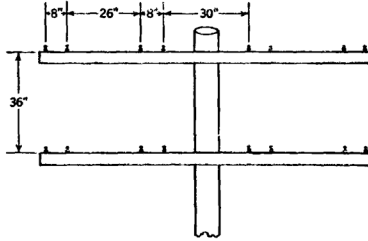


شكل 8.8 خطوط تتبادل .

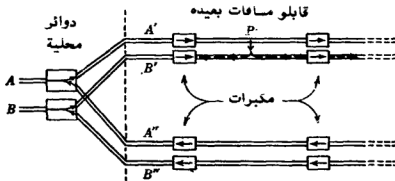
ان البعد بين الدوائر في كلا الاتجاهين ايضاً يقلل احتمالية الاشكال كان يكون اخراج مضخم ذي مستوي عالٍ قريباً من خطوط قدرة ذات مستوي واطيء آتية من الاتجاه الآخر .



شكل 8.9 ترتيب الموصلات على خط هاتف مفتوح السلك لحمل اشارات تردد صوتية .
المجاميع الوهمية محاطة بخطوط مقطعة



شكل 8.10 ترتيب الموصلات على خط هاتف مفتوح السلك يحمل اشارات تردد صوتية مركبة
على اشارات حاملة ذات تردد عالٍ ولا يستخدم دوائر وهمية .



شكل 8.11 استعمال دوائر منفصلة للنقل في كلا الاتجاهين على خط قابلو طويل .

في القابليات التي تستخدم لترددات حاملة، نجد أن التقارن المغناطيسي والتقارن الكهربائي كلاهما مهمان. تستعمل القابليات المدرعة للنقل في كلا الاتجاهين وهكذا يزال تداخل الكلام في الطرف القريب كما شرح في الفقرة السابقة ويقل التأثير المتسبب من قرب الخطوط والتي تحمل مستويات قدرة مختلفة من بعضها.

عند استعمال الدوائر الوهمية هنالك احتمال آخر لتداخل الكلام لم يذكر بعد سبب وجوده هو عدم التوازن في المقاومات كالذي يتسبب نتيجة وصل خاطيء كما موضح في الشكل 8.1. يعتمد استقلال الدوائر الوهمية والدوائر الجانبية على تقسيم التيارات الوهمية بصورة متساوية بين ملكي الدائرة الجانبية فاذا كان لاهذين المسارين مقاومات مختلفة فان التيارات الوهمية ستقسم بصورة غير متساوية وللفرق بينهما التأثير نفسه كما في التيار الحقيقي للدائرة الجانبية وتكون النتيجة تقارن بين الدائرة الوهمية والدائرة الجانبية. ان حل ذلك يتم طبعاً بموازنة كلا طرفي الدائرة الجانبية قدر الامكان.

ان الخطوط نفسها التي تقلل تداخل الكلام بين خطوط الهاتف فعالة ايضاً لتقليل الضوضاء التي تحدث في نظم متجاورة من خطوط القدرة على كل وبما ان مستوى القدرة في خطوط القدرة اكبر بكثير مما عليه في خطوط الهاتف فان مستوى بالغ للضوضاء يمكن ان يحدث حتى في نظام الهاتف الموازن جيداً. الحل البديهي هو بابعاد النظامين عن بعضهما جيداً، ولكن هذا لا يمكن تحقيقه دائماً. الطرق الاخرى الفعالة لتقليل الضوضاء موجودة ومنها تبديل موضع موصلات خطوط القدرة والسيطرة على المحتويات التوافقية لتيار وفولتية القدرة وربط المحولات الملائمة ووضع المرشحات. تدعى الخطوات لابعاد التداخل الحثي بين خطوط القدرة وبين خطوط الموصلات التنسيق الحثي

• (Inductive Coordination)

الفصل التاسع

أعتبارات خاصة لخطوط القدرة

SPECIAL CONSIDERATIONS FOR POWER LINES

9.1. الفقد والكفاءة : Losses and Efficiency.

في نظام المواصلات ، توأم ممانعة الحمل عادة المصدر وذلك للحصول على أعلى قدرة من الأجهزة المتوفرة ، وتكون كفاءة نقل القدرة 50 بالمئة ، ولكن كمية القدرة الكلية هي مقارنة صغيرة ، وعليه فإن السعر المدفوع لاجراج أعلى ليس عاليا جداً . ومن ناحية أخرى ، فإن نظام القدرة يجب أن يتحمل كمية كبيرة من الطاقة ومن ثم فإنه من الضروري أن تكون كفاءته عالية في الإرسال لتجنب تسخين مفرط وضياح غير اقتصادي لكميات من الطاقة . لهذا فإن نظام القدرة يشغل بممانعة حمل أكبر بكثير من الممانعة الداخلية للمصدر .

أن الفقد في العوازل لخط نقل القدرة عموماً أصغر بكثير من الفقد I^2R للموصلات ، ويمكن أن يتلاشى فقد النقل بتقليل التيار وهذا يعني ولمقدار معين من القدرة بأن الفولتية يجب أن ترفع وأن خطوط النقل الأطول (حيث أن الفقد يصبح ذا أهمية كبيرة) تشتغل بفولتيات أعلى من الخطوط القصيرة .

9.2. الخطوط الطويلة والقصيرة : Long and Short Lines.

بما أن طول الموجة على خط هوائي العزل عند 60 هرتز يبلغ 3,000 ميل فإن أطول خط نقل طوله جزء من طول الموجة فقط ، أما على الخطوط الأطول فإن توزع المتغيرات (Parameters) يجب أن يؤخذ في الاعتبار في الحسابات . للخطوط القصيرة فإن طرقاً تقريبية أبسط تكون ملائمة .

أن خط النقل يسمى قصيراً إذا كان بالإمكان إهمال سعته الموزعة نهائياً وهذا ممكن لأطوال ربما تصل 25 أو 30 ميل . على خطوط قصيرة الطول كهذه ، يدعى التيار المأخوذ من سعة الخط بتيار الشحن وفي هذه الحالة ويكون مهملاً يمكن حساب خواص الخط بأخذ المقاومة المتوالية والمحاثة فقط .

لنظام الثلاثة اطوار المتوازن تجري الحسابات لطور منفرد باستعمال تيار الخط والفولتية بين الخط والمتعادل (Neutral) وهذا موضح في الشكل 9.1 .

تتكون الدائرة المكافئة للخط من مقاومة مكتلة على التوالي مع محاثة مكتلة والحسابات تتسلسل متطابقة مع نظرية الدائرة الابتدائية، في الدائرة المكافئة المقاومة تساوي R_0 حيث ان \hat{R} هي المقاومة لكل ميل لموصل واحد l ، هو طول الخط بالميل، ان المحاثة في الدائرة المكافئة تساوي Ll حيث ان L هي المحاثة لكل ميل ولطور واحد من خط ذي ثلاثة اطوار . وكلما ازداد طول الخط فأن تأثير السعة الموزعة يزداد بسرعة حيث ان التيار لايزداد فقط ولكن يسري ايضاً في ممانعة توالي اكبر . ان الحسابات لخطوط طويلة يمكن عملها من العلاقات الاساسية لخط النقل في الفصل 4 ، هناك وطريقة ملائمة باستعمال الهيئة π للشبكة المكافئة من الفقرة 4.8 والموضحة في الشكل 9.2 . هذه الشبكة تستعمل على قاعدة طور واحد (Per-Phase) باستعمال تيار الخط وفولتية الخط الى المتعادل وبما انه يوجد تردد واحد ، فان عناصر الدائرة المكافئة هي ثوابت لخط معين ، وتهمل الموصلية المتوازية للخط G بصورة عامة .

$$Z_0 = \sqrt{\frac{R + j\omega L}{j\omega C}}$$

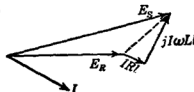
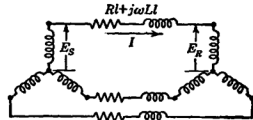
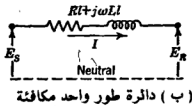
وبعدئذ فأن الممانعة هي كالاتي :

$$\gamma = \sqrt{(R + j\omega L)(j\omega C)}$$

اوم

وان ثابت الانتشار هو

لكل ميل



9.1 دوائر مكافئة ورسم بياني اتجاهي لخط قدرة قصير

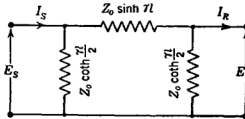
9.3 المحاثية والسعة لخطوط ثلاثية الاطوار :

The Inductance and Capacitance of Three-phase Lines.

سنفرض ان الخط يتكون من ثلاثة موصلات وضعت بصورة متناظرة في زوايا مثلث متساوي الاضلاع كما مبين في الشكل 9.3 سوف يهمل تأثير الارض وسيفرض بأن تيارات الاطوار الثلاثة تكون متوازنة . يمكن ايجاد المحاثية لطور واحد من الخط الثلاثي الاطوار باستعمال التراكم (Superposition) والنتائج المحصل عليها من خط ذي سلكين في القفزة 3.8 . في نظام ثلاثي الطور ، يكون لدينا $I_a + I_b + I_c = 0$. لذا فان التيار في خط a هو $I_a = -I_b - I_c$. الان نتأمل تأثير التيار I_b في الخط b ومركبة التيار المعاكسة والمساوية $I'_b = -I_b$ التي تسري في الخط a كما في الشكل 9.4 ، ان الفيض المتسبب من هذه التيارات هو نفسه المتسبب من خط ثنائي السلك ومن المعادلة (3.54) فأن الفيض الخارجي الواصل لهذه الدائرة هو :

$$\psi = \frac{\mu I'_a}{\pi} \log_e \frac{D}{a} \quad \text{ويبر لكل متر طول}$$

حيث ان μ هي انفاذية الوسط العازل ووحدتها هنري لكل متر ، D هي البعد بين الاسلاك و a هو نصف قطر السلك .



شكل 9.2 شبكة المكافئة لخط نقل طويل

وان نصف هذا الفيض محيط بالسلك a وهكذا فان للطور a وللمركبة التيار I'_a

يكون لدينا الفيض الخارجي الواصل :

$$\psi'_a = \frac{\mu I'_a}{2\pi} \log_e \frac{D}{a} \quad (9.1) \quad \text{ويبر لكل متر}$$

وبطريقة مشابهة نتأمل تأثير التيار I_c في الموصل c والمركبة المناظرة للتيار

$$I''_c = -I_c \quad \text{في الموصل } c$$

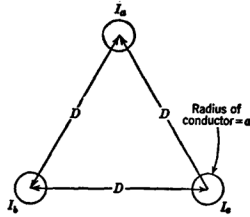
ان الفيض الخارجي الواصل للطور المتسبب من هذا التيار هو :

$$\psi''_c = \frac{\mu I''_c}{2\pi} \log_e \frac{D}{a} \quad (9.2) \quad \text{ويبر لكل متر}$$

ان الفيض الكلي الواصل للموصل a هو مجموع المعادلتين (9.1) و (9.2)

وهكذا نحصل على :

$$\psi_a = \psi'_a + \psi''_c = \frac{\mu (I'_a + I''_c)}{2\pi} \log_e \frac{D}{a}$$



شكل 9.3 خط ثلاثي الطور البعد بين اسلاكه
lateral spacing . متساوية .

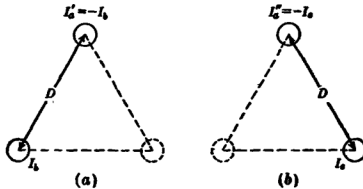
$$= \frac{\mu I_a}{2\pi} \log_e \frac{D}{a} \quad (9.3) \text{ ويبر لكل متر}$$

المحثة تساوي الفيض الواصل لكل أمبير ويتقسيم المعادلة (9.3) على I_a وتعويض انفاذية الفراغ المطلق (هنري / ميل $= 4\pi \times 10^{-7}$) نحصل على المحثة المرتبطة بطور واحد المتسببة من الفيض الخارجي الى الموصل .

$$L_{ext} = 2 \times 10^{-7} \log_e \frac{D}{a} \quad (9.4) \text{ هنري لكل متر طول}$$

المحثة المتسببة من الفيض داخل الموصل تعتمد على تركيب الموصل وكمثال فإن الموصل المجوف يكون له فيض داخلي اقل من موصل بسيط مجزول (Stranded) كذلك فإن ظاهرة التأثير السطحي يمكن ان يكون لها بعض التأثير حتى عند 60 هرتزاً . بافتراض الحالة الخاصة لموصل اسطواني صلب له انفاذية نسبية مقدارها واحد وتأثير سطحي مهمل ، فإن الفيض داخل الموصل يضيف محاثته مقدارها 0.5×10^{-7} هنري لكل متر (انظر المعادلة 3.58) . ومن ثم فإن المحثة الكلية لطور واحد هي :

$$L = \left(2 \log_e \frac{D}{a} + \frac{1}{2} \right) \times 10^{-7} \quad (9.5) \text{ هنري لكل متر}$$



شكل 9.4 لايجاد المحثة المرتبطة بالطور .

يمكن تحويل المعادلة (9.5) الى هنري لكل ميل بضربها بـ 1,609 متر لكل ميل . بمقارنة المعادلتين (9.5) و (3.61) يتبين ان المحاثه لسلك واحد في خط ثلاثي الطور البعد بين اطواره متساو ، هي نصف المحاثه لخط ذي سلكين له حجم الموصل نفسه البعد بين السلكين نفسه .

يمكن ان نجد تعبيراً للسعة المتلازمة مع طور واحد باستعمال حقيقة انه ، في الهواء ، لخط افتراضي عديم الفقد سرعة الطور هي $v = 1/\sqrt{LC} = 3 \times 10^8$ متر لكل ثانية ، حيث ان \sqrt{LC} هنا تمثل المحاثه المتسببة من الفيض الخارجى فقط ، ويكون لدينا :

$$C = \frac{1}{9 \times 10^{18} L_{ext}} \quad \text{فراذ لكل متر}$$

بالتعويض من المعادلة (9.4) نحصل على :

(9.6) فراذ لكل متر

$$C = \frac{10^{-9}}{18 \log_e D/a}$$

ان البعد المتساوي بين الاسلاك غير ملائم للاستعمال العملي ، وعلى كل فان الخط الذي يكون البعد بين اسلاكه غير متناظر ويمكن موازنته بتبديل موضع الموصلات عند مسافات منتظمة ، ويمكن ايجاد البعد المتساوي المكافئ من الخط المتوازن الناتج . عند تبديل الموضع فان الموصلات تتبادل المواضع عند مسافات منتظمة على طول الخط بحيث ان كل موصل يحتل كل موضع ولمسافات متساوية .

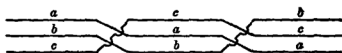
ان ترتيب تبديل الموضع لدورة واحدة مبين في الشكل 9.5 ، وان البعد المتساوي المكافئ يمكن اثباته بأنه يساوي المعدل الهندسي للابعاد الثلاثة :

$$D = \sqrt[3]{D_{ad} D_{bd} D_{cd}} \quad (9.7)$$

حيث ان D_{ad} ، D_{bd} ، D_{cd} هي المسافات بين الموصلات المنفردة كما مبينة بالرموز التدلالية (1) .

L. F. Woodruff, «Principles of Electric Power Transmission,» 2d., John Wiley & Sons, Inc., New York, 1938; J. G. Tarboux, «Introduction to Electric Power Systems,» International Textbook Company, Scranton, Pa., 1944; and M. P. Weinbach «Electric Power Transmission,» The Macmillan Company, New York, 1948.

الموصلات المستعملة عادةً لنقل القدرة اما من النحاس المجداول (Stranded) . او المنيوم مجداول بقلب حديدي لغرض النقوية ، او نحاس مجوف وان جداول المقاومة والمفاعلة متوفرة من الصانع (Manufacturers) . المحاثه الداخلية المبينة في المعادلة (9.5) لسلك اسطواني صلب لاتنطبق بالضبط لهذه الموصلات الاكثر تعقيداً .



شكل 9.5 تغير الموضع لموازنة خط ثلاثي الطور غير متناظر .

ان تأثير الفيض الداخلي في هذه الجداول على المحاثه مبين بالكمية المسماة نصف قطر المعدل الهندسي (Geometric Mean Radius) للموصل ، وهذا يأخذ شكل الموصل وجدولته بنظر الاعتبار ، ويمكن فهم معناه بتأمل الحالة الخاصة حين اشتقاق المعادلة (9.5) لموصل اسطواني صلب انفاذيته النسبية واحد باهمال تأثيره السطحي . المعادلة (9.5) يمكن ترتيبها كما يلي :

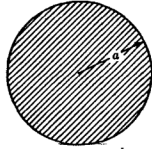
$$L = 2 \left(\log_e \frac{D}{a} + \frac{1}{4} \log_e \epsilon \right) \times 10^{-7}$$

$$= 2 \left(\log_e \frac{D}{a} + \log_e \epsilon^{1/4} \right) \times 10^{-7}$$

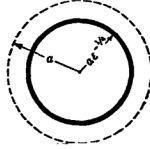
$$L = 2 \times 10^{-7} \log_e \left(\frac{D}{a\epsilon^{-1/4}} \right) \text{ هنري لكل متر } (9.8)$$

ان المعادلة (9.8) لها هيئة المعادلة (9.4) نفسها والتي تأخذ الفيض الخارجي للموصل بنظر الاعتبار فقط . الكمية $a\epsilon^{-1/4}$ يمكن اعتبارها نصف قطر الموصل الافتراضي الجديد المجوف ومن ثم فليس له فيض داخلي ، ولكن يعطى المحاثه الكلية نفسها كالموصل الحقيقي كما مبين في الشكل 9.6 واذا كان الموصلان يحملان التيار نفسه فيكون لهما الفيض نفسه خارج القطر a وهذا هو الفيض الخارجي الكلي للموصل الصلب ، اضافة الى ان الموصل له فيض داخلي واصل والذي يضاف لمحاثته .

الموصل المجوف ليس له فيض داخلي ولكن فيضه الخارجي بين نصفي القطرين a و $a\epsilon^{-1/4}$ يعطيه محاثه اضافية تساوي بالضبط المحاثه الداخلية لاسطوانة صلبة ، وهكذا فإن المحاثه الكلية هي نفسها لكل من الموصلين .



(أ) موصل صلب حقيقي



(ب) موصل مجوف افتراضي

شكل 9.6 نصف القطر الهندسي لاسطوانة صلبة . ١

ان صيغة المعادلة الكلية لموصل منفرد في ترتيب ثلاثي الطور يمكن التعبير عنها كالآتي :

$$L = 2 \times 10^{-7} \log_e \frac{D}{GMR} \quad (9.9) \text{ هنري لكل متر}$$

حيث ان D هو البعد المتساوي المكافئ لكل خط و GMR هو نصف القطر الهندسي للموصل وكما مبين بالمعادلة (9.8) فان الاسطوانة الصلبة لها $GMR = ae^{-1/4}$ لموصلات اخرى يجب الأخذ بمواصفات المصنعين .

9.4 مثال : خط طويل :

خط ثلاثي الطور طوله 225 ميلاً . البعد متساو بين اسلاكه ويساوي 24 قدم . الموصلات مصنوعة من نحاس بقطر 0.811 إنج . من معلومات المصنع لكل موصل مقاومة 0.120 اوم لكل متر (هذه هي 2 % اعلى من قيمته بالنسبة للتيار المستمر) وله نصف قطر معده الهندسي 0.0256 قدم . منحسب خواص الخط لطور واحد ونجد شبكة π المكافئة .

يمكن الحصول على المعادلة من المعادلة (9.9) وستحول الى وحدة الميل ، ثم لكل موصل :

$$L = 1,609 \times 2 \times 10^{-7} \log_e \left(\frac{24}{0.0256} \right)$$

$$= 2.20 \times 10^{-3} \text{ هنري لكل ميل}$$

ويحصل على السعة من المعادلة (9.6) باستعمال نصف قطر الموصل الفعلي الذي هو 0.4055 إنج = 0.0338 قدم ، وبوحدة الميل :

$$C = \frac{1,609 \times 10^{-9}}{18 \log_e (24/0.0338)}$$

$$= 0.0136 \times 10^{-9}$$

فراد لكل ميل

ان الممانعة على التوالي لطور واحد لكل ميل هي :

$$Z = R + j\omega L = 0.120 + j377 \times 2.20 \times 10^{-4}$$

$$= 0.120 + j0.830$$

اوم لكل ميل

ان الصايرة المرتبطة بطور واحد باهمال الموصلية المتسربة هي :

$$Y = j\omega C = j377 \times 0.0136 \times 10^{-6}$$

$$= j5.12 \times 10^{-4}$$

سيمنس لكل ميل

الصانعة المميزة لكل طور هي :

$$Z_0 = \sqrt{\frac{Z}{Y}} = \sqrt{\frac{0.120 + j0.830}{j5.12 \times 10^{-4}}}$$

$$= 401 - j29$$

اوم

وثابت الانتشار هو :

$$\gamma = \sqrt{ZY} = \sqrt{(0.120 + j0.830)(j5.12 \times 10^{-4})}$$

لكل ميل

$$= 1.48 \times 10^{-4} + j2.06 \times 10^{-3}$$

وهكذا فان ثابت التوهين هو 1.48×10^{-4} نيبير لكل ميل ثابت الطور هو

$$v = \omega/\beta = 183,000 \text{ ان سرعة الطور}$$

$$\text{ميل لكل ثانية وطول الموجة } \lambda = v/f = 3,050 \text{ ميل}$$

لايجاد شبكة π المكافئة للخط الذي طوله 225 ميلاً نرجع الى الشكل 9.2

حيث عندنا :

$$\alpha l = 1.48 \times 10^{-4} \times 225 = 0.0333 \text{ neper}$$

نيبير

وزوايا نصف قطرية

$$\beta l = 2.06 \times 10^{-3} \times 225 = 0.464 \text{ rad} = 26.6^\circ$$

وتساوي 26.6

باستعمال المتطابقة الزائدية (4.37) نحسب :

$$\sinh \gamma l = \sinh \alpha l \cos \beta l + j \cosh \alpha l \sin \beta l$$

$$= \sinh 0.0333 \cos 26.6^\circ + j \cosh 0.0333 \sin 26.6^\circ$$

$$= 0.0298 + j0.450$$

ان فرع التوالي للشبكة المكافئة له ممانعة :

$$Z_0 \sinh \gamma l = (401 - j29)(0.0298 + j0.450)$$

$$= 25.0 + j179.8$$

اوم

ولفرعي التوازي نستعمل المتطابقات الزائدية (4.37) ونحسب :

$$\sinh \frac{\gamma l}{2} = 0.0163 + j0.231$$

و

$$\cosh \frac{\gamma l}{2} = 0.976 + j0.004$$

وبعدها يكون لدينا :

$$Z_0 \coth \frac{\gamma l}{2} = (401 - j29) \left(\frac{0.976 + j0.004}{0.0163 + j0.231} \right)$$

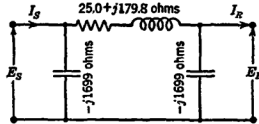
اوم

$$= 4 - j1,699 \text{ ohms}$$

اوم

$$\approx -j1,699$$

ان فرع التوازي هو مفاعلة حثية صرفة تقريباً وأن الشبكة المكافئة الناتجة مبيّنة في الشكل 9.7 .



شكل 9.7 شبكة π المكافئة للمثال

بما ان طول الخط اصغر من عشر طول الموجة ، فيتصرف تقريباً كما لو ان عناصره كانت مكتلة ولا يختلف فرع التوالي للدائرة المكافئة كثيراً عن ممانعة الخط الكلي على التوالي ويكون فرع التوازي تقريباً ما يحصل عليه من سعة التوازي للخط ، وهذا يوفر لنا تحقيقاً بسيطاً للنتائج .
ان ممانعة التوالي الكلية للخط هي :

$$Zl = (0.120 + j0.830) \times 225 = 27.0 + j187$$

اوم

ومسايرة التوازي الكلية للخط هي :

$$Yl = j5.12 \times 10^{-6} \times 225 = j1.52 \times 10^{-3}$$

واذا ماربطنا نصف هذا بجانب الخط ، فإن المحاثّة لكل نصف ستكون $-j1,736$.

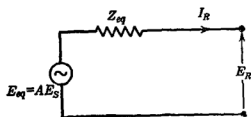
اوم ، ولا تختلف الممانعات كثيراً عن ممانعات الدائرة المكافئة .

اذا كان طول الخط جزءاً كبيراً من طول الموجة ، فإن عناصر الشبكة المكافئة سوف لن تكون مساوية تقريباً لممانعة التوالي الكلية او مسايرة التوازي للخط .

9.5 الرسوم البيانية الدائرية : Circle Diagrams.

في هذا الجزء سنكون طريقة بيانية مناسبة لحساب علاقات الطرف لخط قدرة تحت ظروف حمل متغيرة حيث تكون النتيجة دائرة بيانية ترسم بدلالة القدرة .

يمكن رسم الدوائر البيانية لجانب الارسال وجانب الاستلام ، ولكن هنا ستكون المناقشة لجانب الاستلام ، ويمكن الحصول على معلومات اضافية من المصادر في الجزء 9.3 .



شكل 9.8 مكافئ ثيفنن لخط نقل كما يرى من طرف الاستلام

سيعتمد الاشتقاق على نظرية ثيفنن ، وهذه النظرية تقول انه عند النظر من طرفي الاخراج فان أية شبكة خطية تتصرف كمولد فولتية منفرد مربوط على التوالي بممانعة منفردة (شاهد الجزء 10.7) ، وكما موضح في الشكل 9.8 ، دائرة الفولتية المكافئة E_{eq} تساوي فولتية الدائرة المفتوحة للشبكة ، ولنظام النقل هذا سوف تتناسب مع فولتية جانب الارسال E_s ، ويرمز لها بـ $E_{eq} = AE_s$ في الشكل 9.8 حيث ان A هو عدد مركب ، وان الممانعة المكافئة Z_{eq} تساوي الممانعة التي تقاس بين طرفي الاخراج حيث تكون المصادر الداخلية للقوة الدافعة الكهربائية (emf) دائرة قصر .

يمكن حساب كل من E_{eq} و Z_{eq} من شبكة π المكافئة في شكل 9.2 ، وسوف تعتبر هذه الكميات معلومة في الاشتقاق القادم . يمكن كتابة معادلة الفولتية من دائرة ثيفنن المكافئة لشكل 9.8 :

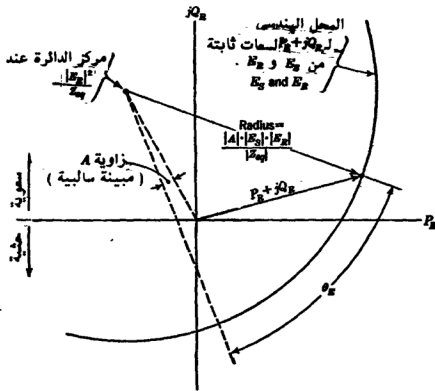
$$AE_s - I_R Z_{eq} = E_R$$

وبالحل لتيار جانب الاستلام نحصل على هذه العلاقة :

$$I_R = -\frac{E_R}{Z_{eq}} + \frac{AE_s}{Z_{eq}} \quad (9.10)$$

ان الشكل الاتجاهي المطابق لهذا مبين في شكل 9.9 حيث ان فولتية جانب الاستلام تقع على الاحداثي الحقيقي ، وتساوي قيمة متجه التيار I_R يساوي مجموع المتجهين $-E_R/Z_{eq}$ و AE_s/Z_{eq} والزاوية بين فولتيتي جانبي الخط هي نفسها كالزاوية بين AE_s/Z_{eq} و AE_R/Z_{eq} اول هذين المتجهين يظهر على الشكل البياني الاتجاهي (Vector Diagram) وتختلف زاوية الثاني

إذا ما عبر عن E_R و E_S بفولتيات خط الى متعاذل فإن احداثيات الشكل 9.10 تتمثل عدد الواط لكل طرف والفولت امبير المفاعل لكل طور. لكن اذا ما عبر عن \bar{E}_R و \bar{E}_S كفولتيات خط الى خط والتي تعادل $\sqrt{3}$ مضروبة في فولتيات الطور فان القدرة ستكون اكبر بعامل مقداره 3 وتمثل الواط الكلية والفولت امبير لاطوار الثلاثة. ان مكافئ ثيفنن المبين في شكل 9.8 ينتج عنه نتائج صحيحة بالنسبة الى علاقات الاطراف للشبكة ولكن فقد القدرة في الممانعة المكافئة لدائرة ثيفنن ليست هي الفقد في قدرة الشبكة الحقيقية التي عوضتها نفسه. دائرة ثيفنن صممت لانتاج العلاقات الخارجية الصحيحة وليس لانتاج ظاهرة داخلية واذا كانت الرغبة في حساب فقد القدرة لخط نقل طويل فان ذلك ممكن باستعمال شبكة \bar{E}_R لشكل 9.7 ولكن ليس من مكافئ ثيفنن ذي الاطراف الشائنية في شكل 9.8.



9.10 رسم بياني دائري لقدرة لجانب استلام لخط نقل.

مثال : ركب الرسم البياني الدائري لقدرة جانب الارسال للخط الموصوف في الجزء 9.4 الذي له شبكة المكافئة المعطاة في الشكل 9.7 .

استعمل $|E_s| = 250$ كيلوفولت خط الى خط line to line

و $|E_R| = 210$ كيلوفولت خط الى خط .

منحسب اولاً عناصر ثيفنن المكافئة من الشكل 9.7 كما ترى من جانب الاستلام . لحساب E_{eq} نتصور ان جانب الارسال دائرة مفتوحة وهكذا فان فولتية جانب الاستلام هي :

$$E_{eq} = \frac{-j1,699}{25 - j1,619} E_s = (1.12/-0.9^\circ) E_s$$

وبما ان $E_{eq} = A E_s$ يكون لدينا :

$$A = 1.12/-0.9^\circ$$

الممانعة Z_{eq} تساوي الممانعة المقاسة بين اطراف جانب الاستلام عندما تكون دائرة قصر ، وهذه هي :

$$Z_{eq} = \frac{-j1,699(25 + j179.8)}{-j1,699 + 25 + j179.8} = 31.3 + j200$$

في الرسم الدائري لقدرة جانب الاستلام فان مركز الدائرة هو عند :

$$- \frac{|E_R|^2}{Z_{eq}} = \frac{(210 \times 10^3)^2}{31.3 + j200}$$

$$= (-34 + j215) \times 10^6$$

وهذا هو الفولت امبير الكلي للاطوار الثلاثة .

ان نصف قطر الدائرة هو :

$$\frac{|A| \cdot |E_s| \cdot |E_R|}{|Z_{eq}|} = \frac{1.12 \times 250 \times 210 \times 10^3}{202}$$

$$= 291 \times 10^3$$

وهذا هو الفولت امبير الكلي للاطوار الثلاثة .

الرسم البياني الناتج مبين في الشكل 9.11 . اذا كان الاخراج المرغوب فيه هو 100,000 كيلو واط (100 ميكا واط) فان القدرة المفاعلة لهذه الفولتيات هي 43,000 كيلو فولت امبير في الاتجاه الحثي ، واذا كانت كمية الكيلو فولت امبير المفاعلة (Reactive Kva) المطلوبة للحمل تختلف عن هذه القيمة فيمكن استعمال متزامنة (Synchronous Condenser) لتجهيز الفرق، وان زاوية الطور بين E_s و E_R تحت الشروط المفروضة هي $\theta_s = 19.8^\circ$.

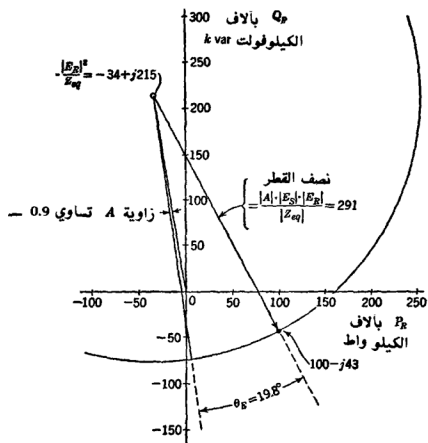


Fig. 9.11. Example of a power system diagram for the power factor correction.

مسائل

1 . خط قدرة ثلاثي الطور طوله 10 ميل ويشغل عند 60 هرتز الابعاد بين اسلاكه الثلاثة متساوية وتساوي 3 قدم . الموصلات ذات قيم $10 / 4$ نحاس مجذول وبقطر 0.522 أنج ومعدل نصف قطر هندسي مقداره 0.0175 قدم ، والمقاومة لموصل واحد هي 0.278 أوم لكل ميل .

أ . احسب محاثه الخط والممانعة الكلية لكل طور .

ب . يجهز الخط 2,400 كيلو واط عند عامل قدرة مقداره 80 بالمئة (تأخر تيار) . فولتية جانب الاستلام هي 13,200 فولت ج . م ت خط لخط . احسب فولتية جانب الارسال المطلوب (خط لخط) وجد الفقد في القدرة للخط وكفاءة النقل .

2 . وضعت الموصلات الثلاث لخط نقل معين ثلاثي الطور بحيث ان مركز الموصلات يقع على الخط المستقيم نفسه . المسافة بين الموصلات المتجاورة 30 قدم . اوجد البعد المتساوي المكافئ بين الموصلات .

3 . خط قدرة معين ثلاثي الطور له بعد متساوي مكافئ مقداره 8 قدم ويشغل عند 66 كيلو فولت خط لخط . الموصلات ذات $250,000 \text{ Ci-mil}$ نحاس مجذول وبقطر خارجي 0.574 أنج ، وبمعدل نصف قطر هندسي 0.0131 قدم عند 60 هرتزاً . المقاومة لكل موصل 0.235 اوم لكل ميل . احسب الممانعة على التوالي المرتبطة بطور واحد لكل ميل من الخط ، وكذلك المسايرة على التوالي لكل ميل ، الكل عند 60 هرتز .

4 . باستعمال المفكوك المتسلسل للدوال الزائدية ، يرد ان $\gamma l < 1$ فان فروع الدائرة المكافئة لشكل 9.2 يمكن التعبير عنها تقريباً كالآتي :

$$Z_0 \sinh \gamma l \approx Zl \left(1 + \frac{ZYl^2}{6} \right)$$

$$Z_0 \coth \frac{\gamma l}{2} \approx \frac{2}{Yl} \left(1 + \frac{ZYl^2}{12} \right)$$

حيث ان $Z = R + j\omega L$ هي الممانعة على التوالي لكل ميل

$Y = j\omega C$ هي المسايرة على التوازي لكل ميل .

(هذه التقريبات دقيقة بما فيه الكفاية لخطوط عند 60 هرتز وربما لطول مقداره 300 ميل . شاهد كتاب نقل وتوزيع الكهربائية لمهندسي المحطة الرئيسة لشركة واشنطن هارس الكهربائية صفحة 45) .

5 . خط نقل قدرة ثلاثي الطور ، 60 هرتزاً له بعد متساوي مكافئ مقداره 30 قدم . طول الخط 200 ميل ، والموصلات مصنوعة من سلك نحاسي مجوف 6000,000 *cir-mil* . ويقطر مقداره 0.558 انج ومعدل نصف قطر هندسي مقداره 0.0615 قدم . المقاومة لكل موصل 0.0960 اوم لكل ميل .

أ . احسب المحاثة والسعة للخط واوجد شبكة π المكافئة .

ب . جد مكافئ ثيفنن للخط كما يرى من جانب الاستلام وارسم الرسم البياني لدائرة القدرة لجانب الاستلام . بحيث تكون فولتية جانب الاستلام 190,000 فولت خط لخط ، وفولتية جانب الارسل تكون 230,000 فولت خط لخط .

ج . استعمل الرسم البياني الدائري السابق وجد الفولت امبير المفاعل والزاوية بين E_R و E_s لقدرة جانب استلام مقدارها 150,000 كيلواط ، وكذلك جد القدرة القصوى الخارجة والزاوية الناتجة بين E_R و E_s .

د . استعمل شبكة π المكافئة ونتائج الفرع لحساب فقد الخط وكفاءة النقل عند قدرة خارجة مقدارها 150,000 كيلواط .

الجزء الثاني شبكات رباعية الاطراف

FOUR-TERMINAL NETWORKS

الفصل العاشر

مراجعة في التحليل الابتدائي للشبكات

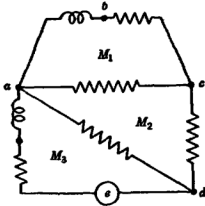
A REVIEW OF ELEMENTARY NETWORK ANALYSIS

المادة المعطاة في هذا الفصل هي للرجوع اليها كمصدر ويمكن ايجاد معلومات اوسع في كتب عديدة على نظرية الدوائر البسيطة⁽¹⁾.

10.1 . تعريفات للشبكة . Network Definitions.

تحتوي الشبكة الكهربائية على مجموعة من المالحات والمقاومات والامتعات مع مصادر قوة دافعة كهربائية . ويقال عن الشبكة بأنها غير فعالة (Passive) اذا كانت لاتعوي على مصادر او احواض للقدرة الكهربائية داخل حدودها وبعكس هذا تسمى الشبكة فعالة (Active) . اذا كانت المقاومة او المالحاة او المتسعة لعنصر معلوم لاتعتمد على التيار المار فيها فان العنصر يسمى خطياً ومن ثم ، وعند تردد معين فان التيار المار خلال عنصر الدائرة سوف يتناسب خطياً مع الفولتية عبر اطرافها . ان العنصر غير الخطي هو عنصر له علاقة غير خطية بين الفولتية والتيار عند تردد معين وهكذا يولد صعوبة أكثر في التحليلات . سوف تقتصر في تحليلاتنا هنا على الدوائر الخطية .

الشكل 10.1 يوضح بعض الاصطلاحات المستعملة لوصف هندسة الشبكة . ان نقطة الاتصال بين عنصرين في شبكة كتلك التي عند نقطة أ او نقطة ج تسمى عقدة (Node) او ان العنصر المرتبط بين عقدة كالعنصر أ ج يسمى بالفرع



(1) كمثال انظر

«Electric Circuits,» by the M. I. T. Staff, John Wiley & Sons, Inc., New York, 1940; «Elementary Electric-circuit Theory,» by R. H. Frazier, McGraw-Hill Book Company, Inc., New York, 1945; «Alternating-current Circuit Theory,» by Myril B. Reed, Harper & Brothers, New York, 1948.

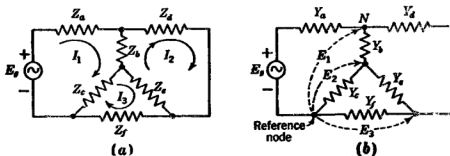
(Branch). في بعض الاحيان يكون ملائماً التفكير بأن نقطة ب هي عقدة وان العنصرين أ ب ، ب ج هما فرعان منفصلان ولاغراض اخرى فانه من الملائم اعتبار المجموعة أ ب ج فرعاً واحداً وفي هذه الحالة فان نقطة ب لا تعتبر عقدة . ان اي مسار مغلق خلال الشبكة يسمى دائرة (Loop) ، وهكذا فإن المساران أ ب ج أ و أ ب ج د أ هما دارتان . ان الكلمة شبيكة (Mesh) لها معناها الاعتيادي وترمز الى الفراغات المفتوحة التي تظهر في رسم الشبكة وهكذا فان الفراغات M_1 ، و M_2 و M_3 هي شبكات للشبكة في الشكل 10.1 . ان اقصر المسارات المغلقة خلال الشبكة تشكل كنتورات (Contours) للشبكات وان موقع الشبكات يعتمد على كيفية رسم الدائرة ومثال ذلك فانه ستتغير العناصر المحيطة بالشبكتين M_1 و M_2 بتغير مواقع الفرعين أ ب ج و أ ج في الشكل 10.1 ، وهكذا فبالرغم من ان الشبيكة مصطلح ملائم فهي ليس كياناً اساسياً للدائرة . تسمى الشبكة الممكن رسمها على سطح مسطح بدون تقاطعات (Crossovers) بالشبيكة المسطحة (Flat Network) كمثال فان الشبكة المبينة في شكل 10.2 سوف لاتبقى مسطحة عند توصيل عنصر اضافي بين منتصف نقاط الفروع Z_1 و Z_2 ان مفهوم الشبيكة يفقد بساطته وأكثر فوائده في الشبكات غير المسطحة .

10.2 . معادلات الدارة العقدة :

Loop and Node Equations:

يستعمل قانونا كرشوف كقاعدتين لوضع المعادلات التي توضح تصرف الشبكة وهذان القانونان ينصان على انه في اية لحظة : (١) المجموع الجبري للتيارات المقترية من اي عقدة يساوي صفراً و (2) ان المجموع الجبري للفولتيات حول دائرة مغلقة يساوي صفراً . هذان القانونان يطبقان على تحليلات الحالة المستقرة لدوائر التيار المتناوب الخطية وذلك بجمع التيارات المركبة او متجهات التيارات عند كل عقدة والفولتيات المركبة حول كل دائرة (انظر الجزء 2.1) . التيارات والفولتيات تُعطى اتجاهات موجبة بواسطة أسهم او اشارات قطبية (Polarity Mark) كما في الشكل 10.2 . ان القيمة الانية للتيار تتناوب في الاتجاه (بالطبع) وهكذا تكون موجبة في نصف دورة (تسري باتجاه السهم) وسالبة في نصف الدورة الاخرى (تسري بعكس اتجاه السهم) .

هنالك طريقتان خاصتان ملائمتان لتطبيق قانوني كرشوف على شبكة معينة ، الاولى تستعمل التيارات كمجاهيل وتدعى بتيار الدارة (Loop Current) او بطريقة تيار الشبيكة (Mesh Current) . والاخرى تستعمل الفولتيات كمجاهيل



الشكل 10.2 يوضح تيارات الشبكات وفولتيات العقد

تستخدم بطريقة فولتية العقدة (Node Voltage)، في طريقة تيار الشبكة تختار الجاهيل كتيارات سارية حول دارات مغلقة في الشبكة. للشبكات المسطحة فإن الدارات المختارة هي بصورة كنتورات للشبكات كما موضح في الشكل 10.2 وإذا تكون عنصر حدود متبادلة (Mutual Boundary) بين شبكتين Z_b في الشكل الموضح، فإن كل من تيارى الشبكتين يشاركان في التيار الحقيقي في العنصر، وهكذا فإن التيار الساري الى أسفل خلال Z_b هو $I_1 - I_2$ وهذه تلقائياً تحقق قانون التيار لكروشوف عند كل عقدة.

لدائرة غير مسطحة (حيث ان تعيين الشبكات يكون غير واضح) فإن عدد الجاهيل للتيارات التي يجب ان تعيين يمكن ايجادها من العلاقة:

(10.1) عدد الدارات المستقلة = عدد الأفرع - عدد العقد + 1.

إذا كان للشبكة جزءان مستقلان أو أكثر والتي تقرر بواسطة معادلة متبادلة فقط، فإن عدد الدارات المستقلة يمكن ايجادها بصورة منفصلة من كل قسم وبإضافتها يحصل على العدد الكلي وفي شبكة مسطحة يساوي عدد الدارات المستقلة يساوي عدد الشبكات أو الفراغات المفتوحة في الرسم التخطيطي للدائرة وعندما تعيين التيارات المجهولة فإنه يمكن كتابة عدد مساو من معادلات الفولتيات حول الدارات مع التأكيد على احتواء أي عنصر مرة على الأقل في مجموعة المعادلات، ولشبكة مسطحة هذا ما يعمل به عادة وذلك بكتابة معادلة واحدة للفولتية حول الكنتور لكل شبكة وكمثال في الشكل 10.2 أ نكتب لاول شبكة:

$$E_s - I_1 Z_a - (I_1 - I_2) Z_b - (I_1 - I_3) Z_c = 0$$

ويجمع الحدود:

$$(Z_a + Z_b + Z_c) I_1 - Z_b I_2 - Z_c I_3 = E_s$$

(10.2) (1)

بالطريقة نفسها فانه يمكن كتابة معادلتين مستقلتين ، واحدة حول كل من الشبكتين الاخريتين ، وهذه المعادلات هي :

$$-Z_8 I_1 + (Z_8 + Z_d + Z_8) I_2 - Z_8 I_3 = 0 \quad (10.3)$$

$$-Z_8 I_1 - Z_8 I_2 + (Z_8 + Z_8 + Z_f) I_3 = 0 \quad (10.4)$$

بعدئذ يمكن حل المعادلات الثلاث للتيارات الثلاثة المجهولة ، وبسبب العلاقة الخطية للدائرة ، فان الممانعات Z_8 تعتمد على التيار وتكون المحصلة هي مجموعة من المعادلات الجبرية الخطية بمعاملات مركبة .

لاحظ في المعادلة (10.2) (التي كتبت لاول شبكة) بأن المعامل لـ I هو الممانعة الكلية حول الدارة و معامل I_2 هو الممانعة المتبادلة بين الشبكة 1 و 2 وقد اعطيت اشارة سالبة بسبب الاتجاهات الموجبة لـ I_1 و I_2 المتعاكسين خلال العنصر المتبادل . معامل لـ I_3 هو الممانعة المتبادلة بين الشبكتين 1 و 3 مرة أخرى باشارة سالبة بسبب ان I_1 و I_3 يريان متعاكسين خلال الوصل المتبادل ، اعتبارات مشابهة تصح للمعادلات المكتوبة للشبكتين الاخريتين .

هناك طريقة اخرى لتطبيق قانوني كرشوف على شبكة باعتبار الفولتيات بين العقد كمجاهيل وكتابة المعادلات المطلوبة من قانون كرشوف للتيار عند العقدة . ويمكن اختيار احدى العقد مرجعاً كما مبين في الشكل 10.2 ب ثم قياس فولتيات الاخرى من العقدة تلك ومن الواضح ان عدد الفولتيات المجهولة اقل بواحد من عدد العقد وقد كتبت معادلة تيار واحدة لكل عقدة عند الفولتية التي عينت ومكشال تأمل العقدة N في الشكل 10.2 ، وبناء على قانون كرشوف للفولتية فان الفولتية عبر Y_8 والمؤشرة الى الاسفل هي $E_1 - E_2$ ، والتيار المتدفق خلال هذا العنصر بعيداً من العقدة N يساوي $(E_1 - E_2)Y_8$ حيث ان Y_1 هي المسائرة للفرع وتساوي $1/Z_8$ وبالطريقة نفسها فان التيارات المتدفقة خلال المسائرتين Y_8 و Y_d هي بالتعاقب ، $(E_1 - E_d)Y_d$ و $(E_1 - E_2)Y_8$ وبناء على قانون كرشوف للتيار يمكن ان نكتب المجموع الجبري للتيارات المتدفقة بعيداً عن العقدة N كالآتي :

$$(E_1 - E_d)Y_d + (E_1 - E_2)Y_8 + (E_1 - E_3)Y_8 = 0$$

يمكن ترتيب هذه المعادلة بصورة اكثر ملائمة بالهيئة :

$$Y_d + Y_8 + Y_8 E_1 - Y_8 E_2 - Y_8 E_3 = Y_d E_1$$

$$\begin{aligned} -Y_b E_1 + (Y_b + Y_c + Y_d) E_2 - Y_c E_3 &= 0 & (10.6) \\ -Y_d E_1 - Y_c E_2 + (Y_d + Y_e + Y_f) E_3 &= 0 & (10.7) \end{aligned}$$

لدينا هنا ثلاث معادلات خطية مستقلة يمكن حلها للفولتيات الثلاثة المجهولة وعندما تعرف الفولتيات فإن التيار خلال أى عنصر يمكن حسابه .

ان طريقة تيار الشبكة هي اقدم الطريقتين وربما تستعمل اكثر من طريقة فولتية العقدة ولكن ليس لاي منهما ميزة اساسية على الاخرى . الدائرة في الشكل 10.2 لها ثلاثة مجاهيل في كل من الطريقتين ولكن لشبكة اخرى قد يكون لها فائدة من ناحية وجود مجاهيل اقل لطريقة واحدة او لآخرى اعتماداً على الشكل العام للشبكة .

ان طريقة تيار الشبيكة كافية لاغلب الاغراض في هذا الكتاب وسوف نؤكد عليها هنا .

ان معادلات الفولتيات لشبكة لها n من الشبكات يمكن كتابتها كالاتي :

$$\begin{aligned} z_{11}I_1 + z_{12}I_2 + \dots + z_{1n}I_n &= E_1 \\ z_{21}I_1 + z_{22}I_2 + \dots + z_{2n}I_n &= E_2 \\ &\vdots \\ z_{n1}I_1 + z_{n2}I_2 + \dots + z_{nn}I_n &= E_n \end{aligned}$$

حيث ان z_{11} تمثل الممانعة الكلية حول الكنتور للشبكة 1 .

الكمية z_{12} هي الممانعة المتبادلة بين الشبكتين 1 و 2 وتعطى إشارة موجبة او سالبة اعتمادا على ماذا كان التياران للشبكتين يتدفقان بالاتجاه نفسه او فعكس الاتجاه خلال العنصر المتبادل. وبالطريقة نفسها للممانعات الاخرى؛ رمزاً سفلين متشابهان يعبران عن الممانعة الكلية حول الشبكة ورمزان غير متشابهين يعبران عن الممانعة المتبادلة بين الشبكتين والفولتيات. E_1, E_2, \dots تمثل القوى الدافعة الكهربائية المؤثرة في الشبكات المتعاقبة. الاشارات الموجبة المرافقة للقوى الدافعة الكهربائية في المعادلات (10.8) صحيحة اذا كان لكل قوة دافعة كهربائية اتجاه موجب بحيث تساعد على تدفق التيار في تلك الشبكة ، وبخلافه يجب ان تؤخذ الاشارة سالبة. الممانعة المتبادلة z_{12} التي تظهر في المعادلة الاولى هي الممانعة المرقمة z_{21} نفسها في المعادلة الثانية وبصورة عامة لنوع النظام الذي ندرسه يكون لدينا $z_{21} = z_{12}$

10.3 ممانعات نقطة السوق والانتقالية :

Driving-point and Transfer Impedances.

ان حل معادلات النظام الخطي كما في (10.8) يمكن تنظيمه باستعمال المحددات (Determinats) وهذه الطريقة ليست بالضرورة تقتصر الحل اللازم للحسابات العددية لمسألة معينة ولكن وبصورة عامة تساعد على ايجاد خواص مختلفة مهمة للشبكات ، للتبسيط سوف نفترض ان كل القوى الدافعة الكهربائية المساقاة هي صفر ماعدا E_1 . ان نظرية المحددات تبين ان الحلول للتيار في الشبكة الاولى وللتيار في الشبكة k يمكن وصفه وبالتعاقب كالاتي .

$$I_1 = \frac{A_{11}}{D} E_1$$

$$I_k = \frac{A_{1k}}{D} E_1$$

حيث ان D هو المحدد المتكون من المعاملات في جهة اليسار من المعادلة (10.8) وهي :

$$D = \begin{vmatrix} z_{11} & z_{12} & \cdots & z_{1n} \\ z_{21} & z_{22} & \cdots & z_{2n} \\ \cdots & \cdots & \cdots & \cdots \\ z_{n1} & z_{n2} & \cdots & z_{nn} \end{vmatrix}$$

الكميات المؤشرة بـ A هي محدّدات اشتقت من المحدد D وتسمى (العوامل المساعدة) (Cofactors) . العامل المساعد A_{1k} هو المحدد الذي يبقى اذا حذف الصف الاول والعمود k من المحدد D وهذا المحدد يرمز له بالاشارة $(-1)^{1+k}$ (العامل المساعد الذي لا يحمل اشارة يدعى الثانوي (Minor) والاسم اللاحق يستعمل عادة وبقلة لكلا الكميتين) . بما انه لدينا $z_{jk} = z_{kj}$ فان المحدد (10:11) يبقى متناظراً حول القطر الرئيس .

ان ممانعة المدخل التي ترى من مصدر القوة الدافعة الكهربائية بدعى عادـ ممانعة نقطة السوق (Driving Point Impedance) ومن المعادلة (10.9) يمكن تمثيل هذه الممانعة بصيغة محددة كالاتي :

$$Z_{11} = \frac{E_1}{I_1} = \frac{D}{A_{11}} \quad (10.12)$$

ان النسبة بين فولتية السوق في شبكة واحدة الى التيار الناتج في شبكة اخرى تسمى بالممانعة الانتقالية (Transfer impedance) بين الشبكتين . الممانعة الانتقالية من الشبكة 1 الى الشبكة k يمكن تمثيلها بواسطة المعادلة

(10.10) كالاتي :

$$Z_{1k} = \frac{E_1}{I_k} = \frac{D}{A_{1k}} \quad (10.13)$$

في بعض الاحيان يكون من الاسهل استعمال مقلوب الممانعات السابقة الذكر ، هذه المقلوبات تدعى مسايرات نقطة السوق والانتقالية بالتعاقب .
هناك لسوء الحظ احتمال للارباك باستعمال الاسم الممانعة الانتقالية حيث يمكن استعماله بطريقتين مختلفتين ، في التعريف السابق اعتبرنا فولتية النقطة المساقة هي المسبب والتيار في جزء آخر من الشبكة هو النتيجة ، في بعض الاحيان (وعلى كل) يكون من الملائم اعتبار التيار الداخل الى اطراف النقطة المساقة هو المسبب والفولتية عبر قسم داخلي في الشبكة هي النتيجة ان النسبة بين هاتين الكميتين هي كمية انتقال ولها وحدات ممانعة ولكنها لاتساوي المعادلة (10.13) وفي الحقيقة لها معنى مختلف كلياً ولازالة الارباك فأن كلمات مفسرة يجب ان تستعمل او ان المحتوى يجب ان يجعل المعنى واضحاً .

10.4 مبدأ التراكب : The Principle of Superposition.

ان المبدأ العام للتراكب يطبق على النظم الخطية ولكل الانواع ، ومطبّقاً على الشبكات الكهربائية يمكن كتابته كالآتي : اذا كان عدد من مصادر كهربائية موجودة في شبكة خطية فالتيار الناتج والفولتية الناتجة في اي جزء من النظام يساوي مجموع التيارات او الفولتيات الناتجة من كل مصدر حينما يشتغل لوحده . ويمكن تمثيل المبدأ بنظام من المعادلات (10.8) ، افرض ان الفولتية E_1 متكونة من مركبتين E_1 و E_1'' بحيث ان $E_1 = E + E_1''$ وكذلك افرض ان كل القوى الدافعة الكهربائية الاخرى هي صفر ماعداً واحدة اخرى في الشبكة E_j . من نظرية المحددات فأن الحل للتيار في الشبكة I_k معطى بـ :

$$I_k = \frac{A_{1k}}{D} E_1' + \frac{A_{1k}}{D} E_1'' + \frac{A_{jk}}{D} E_j \quad (10.14)$$

كل من هذه الحدود هو التيار الناتج من واحدة من الفولتيات المشتغلة لوحدها في الشبكة ، التيار الكلي هو مجموع المساهمات المختلفة .

ان مبدأ التراكب مفيد ليس فقط لحساب التيار الكلي المتسبب من مصادر واقعة في دارات مختلفة ولكن ايضاً لايجاد محصلة التأثير لمصادر ذات ترددات مختلفة والتي تسلط في آن واحد في دارة واحدة واذا كانت الفولتية المسلطة غير جيبية فيمكن تحليلها بواسطة تحليلات فوريير (Fourier) الى مركبات جيبية ولترددات مختلفة في النظام الخطي يمكن حساب تأثير كل مركبة بصورة منفصلة ويمكن ايجاد محصلة التأثير كمجموع التأثيرات الانفرادية .

ان طرق المصفوفات تطبق على المعادلات الخطية فقط اما اذا كان النظام غير خطي فمحصلة التيار الناتج من مصدرين او أكثر مختلفة كلياً عن مجموع التيار الذي ينتج من كل مصدر يشتغل لوحده .

10.5 . نظرية التبادل : The Reciprocity Theorem.

افرض ان كل القوى الدافعة الكهربائية في شبكة صفر ماعدا E_1 ، أن التيار في الشبكة k سيكون :

$$I_k = \frac{A_{1k}}{D} E_1 \quad (10.15)$$

من ناحية أخرى اذا اشتغلت E_k في الشبكة k ، وكل القوى الدافعة الكهربائية الأخرى تساوي صفراً فالتيار في الشبكة الأولى هو :

$$I_1 = \frac{A_{k1}}{D} E_k \quad (10.16)$$

الآن العامل المساعد A_{1k} يحصل عليه بحذف الصف الأول والعمود k من المحدد (10.11) الذي يرمز له بالعلامة $(-1)^{1+k}$ العامل المساعد الآخر A_{k1} يحصل عليه بحذف الصف k والعمود الأول ثم يرمز له بالعلامة $(-1)^{k+1}$ ولكن هاتين العمليتين ينتجان نتائج مطابقة ، ولعلاقة عامة فإن $Z_{jk} = Z_{kj}$ تجعل عناصر اي عمود منفرد تساوي تلك العناصر في الصف المائل ومن ثم فإن الممانعة الانتقالية من شبكة الى أخرى هي نفسها في كلا الاتجاهين . يفسر الناتج عادة كالآتي : اذا سلطت فولتية E في شبكة واحدة وتسبب تدفق تيار I في الشبكة k ، فإن الفولتية E المسلطة في الشبكة k تسبب تياراً مشابهاً I يتدفق في الشبكة الأولى .

10.6 . مصادر التيار والفولتية المكافئة :

(Equivalent Voltage and Current Sources)

ان المفهوم المثالي لمصدر بلا ممانعة وبقوة دافعة كهربائية هو مفهوم شائع ، وكذلك مفيد في فهم مصدر تيار يجهز تياراً باتساع ثابت بغض النظر عن الفولتية التي تشتغل به . ان قوة دافعة كهربائية على التوالي مع ممانعة مكافئة بالضبط عند طرفيها الى مصدر تيار على التوازي مع ممانعة كما مبين في الشكل 10.3 . في تحليلات الدائرة وبالاخص في استعمال الدوائر المكافئة من الملائم عادة ابدال احدي هذين التمثيلين بالآخر .

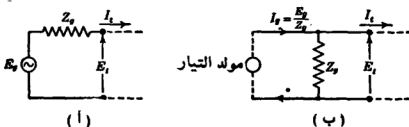
المكافئ الطرفي للمصدرين في الشكل 10.3 يمكن تمثيله بسهولة ، وفولتية الطرف في الشكل 10.3 أ يمكن التعبير عنها كالآتي :

$$E_s = E_g - I_s Z_g \quad (10.17)$$

حيث ان I_s هو التيار المتدفق عند الاطراف ومن ناحية اخرى فالعلاقة تتحقق بواسطة الدائرة في شكل 10.3 ب ويمكن وضعها بكتابة قانون كرشوف للتيار في العقدة :

$$I_s = \frac{E_g}{Z_g} - \frac{E_s}{Z_g} \quad (10.18)$$

ولكن اذا ضربت هذه المعادلة بـ Z_g ورتبت ، تكون مطابقة مع المعادلة (10.17) ولهذا فان الشروط الطرفية للدائرتين تفسر بمعادلات متطابقة وان الدائرتين متكافئتان . وبالرغم من انه ينتج من الدائرتين نتائج خارجية متطابقة ، فان العلاقة بين قدرتيهما مختلفة تماماً في الداخل ، ولتوضيح ذلك لاحظ ان مولد الفولتية سيبدد قدرة مقدارها صفر في الممانعة الداخلية عندما تشتغل في دائرة مفتوحة ، من ناحية اخرى ، سيبدد مولد التيار قدرة مقدارها صفر في داخله عندما يكون طرفه دائرة مقصورة .

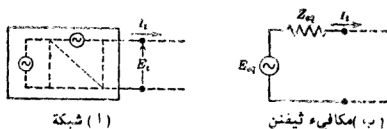


شكل 10.3 مصادر التيار والفولتية المتكافئة .

10.7 نظرية ثيفنن : (Thevenin's Theorem)

في عدة تطبيقات عملية فان الشبكة الخطية المسلط عليها طاقة من قوة دافعة لمصدر او أكثر تستخدم بالربط بين طرفي مخرجها ، تنص نظرية ثيفنن على ان (عند طرفيها) شبكة كهذه لا يمكن تمييزها عن مصدر منفرد بقوة كهربائية لها قيمة تساوي فولتية الدائرة المفتوحة بين طرفيها ، والممانعة المكافئة هي الممانعة التي تقاس بين الاطراف اذا مازيلت مصادر الطاقة الداخلية (القوى الدافعة الكهربائية مقصورة الدائرة ومصادر التيار مفتوحة الدائرة) . واذا ما رُغب ببدل مصدر الفولتية المكافئة في شكل 10.4 ب بمصدر تيار مكافئ كما مبين في الجزء السابق .

بالرغم من ان مكافئ ثيفن ينمذج عنه النماذج الخارجية الصحيحة فإن علاقات قدرته الداخلية يمكن ان تكون مختلفة كلياً عن الشبكة التي بدلت مكانها . ان تبدد الطاقة في الممانعة المكافئة لدائرة ثيفن ليست الطاقة نفسها المبددة في مقاومات الشبكة الحقيقية .



شكل 10.4. ا. يوضح نظرية ثيفن

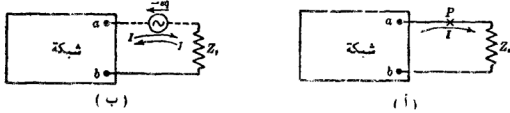
ان نظرية ثيفن تتبع مباشرة وبدأ التراكب . افترض ان الشبكة منتجة بممانعة Z_L عبر الاطراف كما مبين في الشكل 10.5 ، التيار I سيزري خلال Z تصور الآن ان التوصيل قطع عند النقطة أ ، عبر هذا المقطع متظهر فولتية الدائرة المفتوحة للشبكة . ان اي مولد له هذه الفولتية يمكن ادخاله في هذا القطع ولا يسبب سريان تيار (انظر شكل 10.5 ب) . نطبق الآن نظرية التراكب ونتصور ان هذا التيار الذي قيمته صفر هو مجموع لمركبتين متساويتين ومتعاكستين ، الاولى هي التيار الاصلي I المسبب من المولدات الداخلية للشبكة والثانية مسببة من المولد المُدخل في القطع ويساوي I ايضاً . لكن التيار الثاني هو معطى ب :

$$I = \frac{E_{eq}}{Z_L + Z_{eq}} \quad (10.19)$$

حيث ان Z_{eq} هي الممانعة المشاة بالشبكة عند الطرفين ab وهذا يلاوي التيار الذي يسري في الدائرة الاصلية للشكل 10.5 أ ومعبر عنه بدلالة فولتية الدائرة المفتوحة وممانعة الشبكة كما ترى من الطرفين وبالإضافة الى ذلك فهو التعبير نفسه بالضبط الذي حسبناه من مكافئ ثيفن في الشكل 10.4 ب ، وبـ $Z_{eq} = Z_{ab}$ ، ولهذا فإن مكافئ ثيفن في الشكل 10.4 يعطي الناتج الصحيح .

مسألة : نظرية التعويض (The Compensation Theorem) توفر طريقة لحساب التغير في التيار في اي قسم من الشبكة المتسبب من ادخال ممانعة اضافية ΔZ في احد الفروع . ان التيار المتدفق اصلاً في الفرع المغير سيرمز له بـ I ، وبناء

على النظرية ، فإن التغير في التيار يساوي التيار الذي ينتج من قوة دافعة كهربائية تساوي $-I \cdot \Delta Z$ - وتشغل على التوالي مع الفرع المغير . استعمل نظرية ثيغفن لتبيان ان نظرية التعادل تعطى التغير الصحيح للتيار في الفرع المغير .



شكل 10.5 اشتقاق نظرية ثيغفن من نظرية التراكم .

10.8 . انتقال القدرة القصوى : Maximum Power Transfer.

ان الشروط لانتقال القدرة القصوى من المصدر الى الحمل شرحت في الجزء 7.7 دافترض ان المصدر مكون من قوة دافعة كهربائية ثابتة على التوالي مع ممانعة ثابتة ، وان الحمل له ممانعة يمكن ضبط كل من اتساعها وزاوية طورها ويبين أيضاً بأن القدرة القصوى تتمتع من قبل الحمل عندما تكون ممانعتها هي المرافق المركب (Complex Conjugate) لممانعة المصدر وبالموائم المرافق (Conjugate Match) ، الممانعتان لهما مركبتان مقاوميتان متساويتان والمفاعلتان متكونان متساويتين ولكن اشارتهما متعاكستين . ان كفاءة انتقال القدرة هي 50 بالمئة فقط تحت هذه الظروف وهذه خسارة لا يمكن التسامح بها عند نقل طاقة وبكميات كبيرة ، ونتيجة لهذا فإن انظمة القدرة تشتغل بممانعات حمل اكبر بكثير من ممانعة المصدر وهكذا تتحسن الكفاءة الى قيمة عالية ، ولا يوجد محاولة لسحب قدرة قصوى من المصدر ، ولكن اذا كانت القدرة صغيرة كما في نظم الموصلات فمن الممكن ان يكون اكثر اهمية الحصول على قدرة قصوى من الاجهزة المتوفرة اكثر اهمية ان يُقتصد بالفقد ، لذا تستخدم الشروط التي تقرب من انتقال القدرة القصوى عادة .

في بعض الاحيان تكون زاوية الطور للحمل ثابتة ويمكن تغيير اتساعه (مثلاً بواسطة المحولة) ، في هذه الحالة يحصل اعظم انتقال قدرة عندما يكون اتساع الحمل مساوياً الى اتساع ممانعة المصدر .

ارمز للقوة الدافعة الكهربائية للمصدر بـ \sqrt{E} ولممانعة المصدر بـ $Z_1 = R_1 + jX_1$ وممانعة الحمل بـ $Z_2 = Z_2 (\cos \theta + j \sin \theta)$ حيث أن θ هي زاوية الطور لـ Z_2 . القدرة الممتصة في المقاومة $Z_2 \cos \theta$ هي :

$$P_2 = |I|^2 |Z_2| \cos \theta \quad \text{أو} \quad P_2 = \frac{E^2 |Z_2| \cos \theta}{(R_1 + Z_2 \cos \theta)^2 + (X_1 + Z_2 \sin \theta)^2} \quad (10.20)$$

وهذا يكون له أكبر قيمة عند وضع $dP_2/d|Z_2| = 0$ والنتائج في العلاقة :

$$|Z_2|^2 = R_1^2 + X_1^2 \quad \text{والتي هي الشيء نفسه كـ :}$$

$$|Z_2| = |Z_1| \quad (10.21)$$

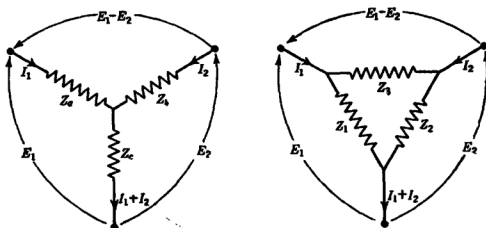
هذه هي النتيجة التي اريد برهانها .

10.9 تحويل واي - دلتا أو تى - باي :

The Wye-Delta, or $T-\pi$, Transformation.

يقال عن شبكتين بأنهما متكافئتان عند تردد معين اذا اجريت الاختبارات الكهربائية بين الاطراف عند هذا التردد بحيث لا يمكن التمييز بين الشبكتين . ان الشبكات الثلاثية الاطراف واي (Wye) ودلتا (Delta) المبينة في شكل 10.6 يمكن جعلهما مكافئتين لبعضهما بواسطة اختبار ممانعات احداهما بعلاقة صحيحة مع الممانعات الاخرى . لايجاد العلاقات المطلوبة ، نفرض ان فولتيات الاطراف E_1 و E_2 مسلطة كما مبين في الشكل ، ثم نكتب معادلات التيارات التي تدخل الاطراف لشبكة واي (Wye) يكون لدينا :

$$\left. \begin{aligned} E_1 &= (Z_a + Z_c)I_1 + Z_c I_2 \\ E_2 &= Z_c I_1 + (Z_b + Z_c)I_2 \end{aligned} \right\} \quad (10.22)$$



شكل 10.6 شبكتا واي ودلتا المكافئتان .

في شبكة دلتا التيار المتدفق الى اسفل خلال Z_1 هو E_1/Z_1 ، والتيار المتدفق الى اليمين خلال Z_2 هو $(E_1 - E_2)/Z_2$ ، ولهذا فعند نقطة الالتقاء في اعلى اليسار يكون لدينا :-

$$\frac{E_1}{Z_1} + \frac{E_1 - E_2}{Z_2} = I_1 \quad (10.23)$$

وبالتشابه عند نقطة الالتقاء في اعلى اليمين يكون لدينا :

$$\frac{E_2}{Z_2} - \frac{E_1 - E_2}{Z_2} = I_2 \quad (10.24)$$

ولغرض المقارنة مع معادلات شبكة دلتا نحل المعادلات (10.23) و (10.24) لـ

$$\left. \begin{aligned} E_1 &= \frac{(Z_1 Z_2 + Z_1 Z_3) I_1 + Z_1 Z_2 I_2}{Z_1 + Z_2 + Z_3} \\ E_2 &= \frac{Z_1 Z_2 I_1 + (Z_2 Z_3 + Z_1 Z_3) I_2}{Z_1 + Z_2 + Z_3} \end{aligned} \right\} \quad (10.25)$$

بمقارنة معادلات (10.22) و (10.25) يتبين ان معادلات الاطراف للشبكتين متطابقة اذا كان :

$$\left. \begin{aligned} Z_a &= \frac{Z_1 Z_2}{Z_1 + Z_2 + Z_3} \\ Z_b &= \frac{Z_2 Z_3}{Z_1 + Z_2 + Z_3} \\ Z_c &= \frac{Z_1 Z_3}{Z_1 + Z_2 + Z_3} \end{aligned} \right\} \quad (10.26)$$

عندما تكون الممانعات لفروع دلتا معلومة فأن المعادلات السابقة يمكن استعمالها لايجاد واي المكافئة ويمكن ايجاد معادلات التحويل المعاكس من حل المعادلات (10.22) للتيار I_1 و I_2 وبمقارنة النتائج مع المعادلات (10.23) و (10.24) يتبين ان التكافؤ يحصل عليه عندما :

$$\left. \begin{aligned} Z_1 &= \frac{N}{Z_a} \\ Z_2 &= \frac{N}{Z_b} \\ Z_3 &= \frac{N}{Z_c} \end{aligned} \right\} \quad (10.27)$$



شكل 10.7 الواي والدلتا رسمتا ثنائية بالتعاقب ك T و π .

حيث ان $N = Z_a Z_b + Z_b Z_c + Z_c Z_a$
 اذا محقت النتائج السابقة فإن الشبكتين ستكون لهما علاقات طرفية
 متطابقة عند التردد المعين وسيتصرفان بالطريقة نفسها اذا وضعتا في اي دائرة
 تشتغل عند هذا التردد .

ان الفائدة الرئيسية لدائرة مكافئة هي تبسيط الحسابات . بصورة عامة لاتوجد
 محاولة لتشيد المكافئة فيزيائياً وفي الحقيقة فإن تشيد المكافء من عناصر غير
 فعالة غير ممكن بسبب انه في بعض الاحيان تحتاج الى مقاومات سالبة وكذلك فإن
 فروع المكافء يمكن ان تكون دالات للتردد لايمكن تشيدها من شبكة واي غير
 فعالة والتي تستنتج الخواص الفيزيائية لدلتا معينة عند كل الترددات (ملاحظة
 مفيدة وشاذة هي شبكة تتكون كلياً من عناصر من النوع نفسه وفي هذه الحالة
 يمكن تشييد مكافء جيد عند كل الترددات من عناصر غير فعالة) .

بالرغم من ان الفرائب السابقة تُخذ من التشيد الفعلي للدوائر المكافئة فهي
 ليست بالعقبات عند اجراء الحسابات .

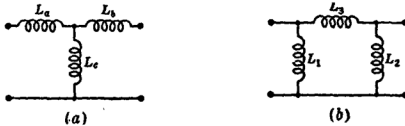


Fig. 10.8 شبكتان يمكن جعلهما متكافئتين عند كل الترددات (مثال 1) .

عند تردد واحد فان ممانعات الدائرة المكافئة ستكون ثابتة ومن ثم فإن
 المكافء هو مساعد خصوصي ملائم للحسابات ولبعض الاغراض يكون من الملائم
 اكثر رسم شبكتي الواي والدلتا بالاشكال المبينة في شكل 10.7 و يدعيان هنا
 بشبكتي "T" و "و" والعلاقات المعبر عنها بالمعادلات (10.26) و (10.27)
 تسمى عادة تحويل T- π

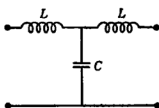
مثال 1 .

الشبكة T للشكل 10.8 أ لها $Z_b = j\omega L_b$ $Z_a = j\omega L_a$ و
 $Z_c = j\omega L_c$ وبطبيق المعادلات (10.27) يتبين ان شبكة π للشكل
 10.8 ب بالضبط مكافئة لـ T وعند كل الترددات فيما اذا كان

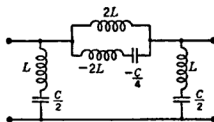
$$L_1 = \frac{P}{L_b}, \quad L_2 = \frac{P}{L_a}, \quad L_3 = \frac{P}{L_c}$$

حيث ان

$$P = L_a L_b + L_b L_c + L_c L_a$$



(a)



(b)

شكل 10.9 ان π المكافئة يمكن تحقيقها فيزيائياً بعناصر غير فعالة وعند تردد ثابت (مثال 2) .

مثال 2 .

الشبكة T لشكل 10.9 أ لها $Z_a = Z_b = j\omega L$ و $Z_c = -j/\omega C$

وباستعمال المعادلات (10.27) يتبين ان π المكافئة يكون لها :

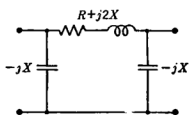
$$Z_1 = Z_2 = j\omega L - \frac{j}{\omega C/2} .$$

$$Z_3 = j(2\omega L - \omega^3 L^2 C)$$

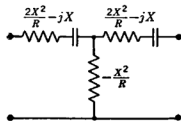
ان الحد الثاني لـ Z_3 هو مفاعلة سعوية سعتها تتغير مع مكعب التردد هذه لايمكن الحصول عليها فيزيائياً بعناصر غير فعالة فقط ، ولكن ان كان التردد ثابتاً فإن المفاعلات ستكون ثابتة ويمكن استنساخها بمحاثة وسعة اعتياديتين .

التغيرات المناسبة مع التردد يمكن الحصول عليها بشبكة الشكل 10.9 ب والتي تحتوي على محاثة سالبة ومتسعة سالبة .

ان المحاثة السالبة توفر مفاعلة (سعوية) سالبة وتناسب سعتها طردياً مع التردد ، وتوفر المتسعة السالبة مفاعلة (حثية) موجبة والتي تتغير سعتها عكسياً مع التردد . لهذا نستنتج ان هذا المكافئ π يمكن الحصول عليه فيزيائياً من عناصر غير فعالة فقط ولتردد ثابت .



(a)



(b)

(مثال 3) . شكل 10.10 هذه المكافئة T تحتاج الى مقاومة سالبة (مثال 3) .

مثال 3 .

يبين الشكل 10.10 أ شبكة π التي تشتغل عند تردد ثابت ، ان استعمال المعادلات (10.26) يبين ان T المكافئة هي المبينة في الشكل 10.10 ب ، الفرع على التوازي لـ T هو ممانعة حقيقية مألبة (مقاومة مألبة) وهكذا فإن π المكافئة لا يمكن تحقيقها فيزيائياً من عناصر غير فعالة حتى عند تردد ثابت .

الفصل الحادي عشر

الخواص لشبكات رباعية الاطراف غير فعالة

THE CHARACTERISTICS OF PASSIVE FOUR-TERMINAL NETWORKS

11.1 . مقدمة :

التحليل والتأليف (Synthesis) لكل من شبكتي القدرة والمواصلات (Communication) تعتمد لحد كبير على خواص الشبكة غير الفعالة والتي لها طرفاً دخول وطرفاً خروج ، تدعى شبكة كهذه باسماء متعددة كشبكة نقل وشبكة رباعية الاطراف او قطب رباعي (Quadripole) او شبكة تقارن او زوج ثنائي الطرف . المحول الاعتيادي الثنائي الليفيات (Two- Windings) هو شبكة رباعية الاطراف وعليه هو خط نقل ، شبكة اخرى رباعية الاطراف ومهمة هي المرشح (Filter) والذي يصمم لامرار حزم من التردد بصورة طليقة . معادل التوهين (Attenuation Equalizer) هو شبكة يوفر توهيناً بحيث يتغير بطريقة معينة مع التردد ليصحح خواصاً غير مرغوبة للتوهين مع التردد في اجزاء من نظام ، معادل الطور (Phase Equalizer) له خواص مشابهة في احداث خواص طور مرغوبة والموهن (Attenuator) هو شبكة رباعية الاطراف يوفر كمية من التوهين لجميع مديات الترددات . وشبكة موائمة ممانعة توائم ممانعة مصدر الى ممانعة حمل لكي تجعل الانعكاسات اقل مايمكن وتحدث انتقالاً جيداً للقدرة .

كل من الاجهزة السابقة هي رباعية الاطراف ، اضافة الى ذلك فان سلسلة من اثنين او اكثر منها مبربوطة على التعاقب تكون شبكة رباعية الاطراف اكبر وبصفات كلية ترتبط مع صفات الشبكات المنفردة التي تكون الكل . في نظرية الشبكة الرباعية الاطراف هنالك طرقاً ملائمة لتمثيل خواص الطرف استخلصت اولاً وبعد ذلك استنبطت القواعد لربط سلسلة من شبكات رباعية الاطراف بحيث ان الخواص لكل واحدة تساهم منفصلة وبطريقة متوقعة لاداء الكل . يسمح هذا لدالات مختلفة لكي تصمم في وحدات منفصلة وهذه هي اكثر ميزة مرغوبة في نظام معقد واخيراً هنالك طرق انشأت لتأليف شبكات منفردة لتكوين الدالات المختلفة ، وأدى هذا الى مجال واسع وفيه معالجات كبيرة باقية لكي تعرف . من الفروع المختلفة لهذا الموضوع شبكة المرشح الذي من المحتمل ان تكون معروفة

بصورة جيدة وأكثر واحدة ذات فائدة . وسنعتبر شبكات المرشح بعد ذلك ببعض التفصيل .

تشغل دوائر النقل دائماً وابدأ في اول او ثاني علاقيتين حديتين بالنسبة الى جهد الارض . واحدة منها يرجع الى ما يسمى بالتشغيل المتوازن (Balanced Operation) والآخرى الى التشغيل غير المتوازن (Unbalanced Operation) في النظام المتوازن جانبي دائرة النقل دائماً لهما جهد متساو ومتعاكس بالنسبة الى الارض ولكي يحافظ على هذه العلاقة المتناظرة فان اي جهاز مربوط يجب ان يدخل ممانعة متساوية في كلا الخطين ويجب ان يظهر ممانعتين متساويتين للارض . الهوائيات الشائبة القطب وخطوط النقل المتوازي السلك الاعتيادية ودوائر النقل المبينة تخطيطياً في الشكلين 11.1 ب و د هي دوائر متوازنة . دائرة غير متوازنة (وكمثال القابلو المحوري) تشغل مع جانب مؤرض (Grounded) ، الطريق على هذا الجانب (مثالاً) له الجهد نفسه على امتداد طوله . الشكلان 11.1 أ و ج يبينان شبكتي نقل غير متوازنتين . التحويل من نظام متوازن الى نظام غير متوازن يتم عادة بمحول عند الترددات الواطئة .

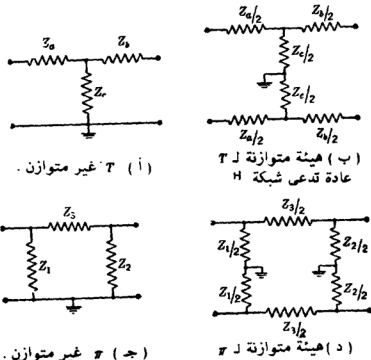


Fig. 11.1 شكل شبكات نقل متوازنة وغير متوازنة .

تستعمل اطراف شبكات النقل بصورة عامة كازواج (Pairs) ، زوج يكون مدخلاً وزوج يكون مخرجاً / فإن الشبكات لا تكون عامة دائماً كالشبكة الرباعية الاطراف وهذا هو السبب للاسماء المختلفة الاخرى التي تستعمل غالباً وكمثال شبكة الشكل 11.1 أ هي شبكة نقل حقيقية ولكن تستطيع ان تكون جيدة بثلاثة اطراف فقط وبالرغم من هذا فان الاسم « شبكة رباعية الاطراف » يستعمل غالباً لشبكات النقل بصورة عامة ونستعمل كل الاسماء بدون تمييز .

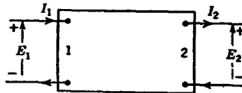
عندما تستعمل الاطراف لشبكة كأزواج فان العلاقات بين فولتية و تيار المدخل والمخرج هي نفسها سواء كانت الشبكة متوازنة او غير متوازنة ، حيث ان هذا بصورة عامة لا يؤدي الى اي اختلاف في النتائج المحسوبة ومعظم حساباتنا (والسهولة) ستكون لدائرة من النوع غير المتوازن .

11.2 شبكات متكافئة : Equivalent Networks.

ايسر طريقة لتمثيل خواص الاطراف لشبكة رباعية الاطراف بواسطة دائرة مكافئة مبسطة ، في هذا الجزء سنبين بأنه عند تردد معين فان شبكة T او π هي مكافئة مناسبة .

في الشكل 11.2 الصندوق المعد يؤثر شبكة مخفية وهي خطية غير فعالة ولكن يمكن ان تكون بأية درجة من التعقيد . سترقم النهايتان بـ 1 و 2 وفولتية وتيار الطرفين سترقمان حسب ذلك .

اذا عرفنا تفاصيل الشبكة ، نستطيع كتابة مجموعة من المعادلات مشابهة للمعادلات (10.8) لنربط التيارات في الشبكة وعناصر الممانعة المختلفة والفولتيتين E_1 و E_2 والفولتية الاخيرة يجب ان تكتب كـ $-E_2$ في هذه المعادلات ، حيث ان الاتجاه الموجب للفولتية مبين في الشكل 11.2 كمعكس سريان التيار I_2 حول الشبكة (Mesh) . اذا حللنا المعادلات الناتجة للتيارين I_1 ، I_2 سنحصل على علاقات مشابهة لتلك في الجزء 10.3 :



شكل 11.2 شبكة رباعية الاطراف

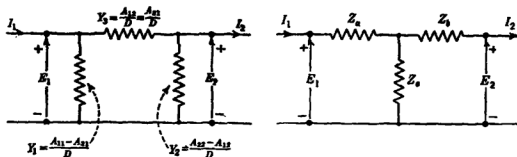
$$I_1 = \frac{A_{11}}{D} E_1 - \frac{A_{21}}{D} E_2 \quad (11.1)$$

$$I_2 = \frac{A_{12}}{D} E_1 - \frac{A_{22}}{D} E_2 \quad (11.2)$$

هنا ، كما في الجزء 10.3 ، الرمز D يمثل المحدد (Determinant) المكون من معاملات الممانعة في المعادلات وكل A يمثل العامل المساعد (Cofactor) للصف (Row) والعمود (Column) المؤشر بالرمزين الدليلين . ايضاً سنتذكر بأنه (باستعمال نظرية التبادل (Principle of Reciprocity) العالمين المساعدين تكون A_{21} و A_{12} متساويتان ان الممانعات لعناصر الشبكة ستتغير مع التردد وعليه فان المحدد وعامله المساعد سيتغيران مع التردد في كل من اتساعيهما وزاويتيها ، وسيكونان ثابتين عند تردد واحد . في هذه اللحظة لايهمنا بصورة خاصة المحددات نفسها او تفاصيل العناصر التي تكونها ولكنها توفر نقطة بداية مناسبة في وصف الخواص الطرفية للشبكة .

في التشغيل الاعتيادي لنظم الموصلات ستنتج الفولتية E_1 عن ق . د . ك مسلسلة ولكن E_2 هي الفولتية التي ستنتج من سريان التيار I_2 خلال ممانعة الحمل غير معروفة لحد الآن ، $E_2 = I_2 Z_R$ حيث ان Z_R هي الممانعة التي تشتغل فيها الشبكة . في نظام قدرة كل من E_1 و E_2 قد يكونان ناتجين عن تسليط ق . د . ك .

لاحظ الآن بأنه في المعادلتين (11.1) و (11.2) الكميات A/D لها وحدات مسايرة وان ثلاثة فقط من هذه الكميات ضرورية لوصف العلاقات الطرفية لشبكة . وبذلك ، اعتبر شبكة π المبينة في الشكل (11.3) ، التيار I_1 يقترب من نقطة التقاء في الجهة اليسرى يساوي مجموع التيارين اللذين يسريان بعيداً عن نقطة الالتقاء خلال المايترتين Y_1 و Y_2 . التيار الساري خلال Y_1 هو :



شكل 11.3 شبكة المكافئة

شكل 11.4 شبكة المكافئة

$$Y_1 E_1 = \frac{A_{11} - A_{21}}{D} E_1$$

والساري خلال Y_2 هو :

$$Y_2(E_1 - E_2) = \frac{A_{21}}{D} (E_1 - E_2)$$

بمساواة I_1 بمجموع هذين التيارين نحصل على :

$$I_1 = \frac{A_{11}}{D} E_1 - \frac{A_{21}}{D} E_2 \quad (11.3)$$

معاملة مشابهة للتيارات الى نقطة التقاء الجهة اليمنى تؤدي الى العلاقة :

$$I_2 = \frac{A_{12}}{D} E_1 - \frac{A_{22}}{D} E_2 \quad (11.4)$$

هاتان الكميتان هما بالضبط كالمعادلتين (11.1) و (11.2) وعليه فان شبكة π

في الشكل 11.3 هي مكافئة عند طرفيها لشبكة الشكل (11.2) .

المساريات Y_1 و Y_2 و Y_3 ستكون بصورة عامة دالات للتردد وربما دالات معقدة اذا كانت شبكة الشكل (11.2) معقدة وعليه قد لا يكون ممكناً جمع مجموعة من العناصر الفيزيائية في هيئة π بحيث ان الـ π تعيد الخواص الطرفية للشبكة الحقيقية عند كل الترددات ، ولكن عند اي تردد ستكون العناصر لـ π ثابتة وعندها تصبح الشبكة المكافئة ملائمة لكي تحل محل الشبكة الحقيقية في الحسابات . الفائدة المناسبة للدائرة المكافئة هي السهولة النسبية لتخيل علاقات الدائرة .

من الانسب لبعض الاغراض ان تكون الشبكة المكافئة على هيئة T كما مبين في الشكل 11.4 ومن الممكن ايجاد العناصر لـ T من تلك لـ π بواسطة تحويل π -T او Δ -Y . هذا التحويل نوقش في الجزء 10.9 .

التكافؤ بين T او π والشبكة الحقيقية محدد بطريقة بحيث انها بصورة عامة لا تؤثر في الشبكات التي سنعتبرها . تخيلنا الشبكة في الشكل (11.2) كواحدة لها طرفان داخليان وطرفان خارجيان بدون ربط مشترك (Interconnection) خارجي بين الزوجين واذا وجد الربط المشترك الخارجي فانه ليس ضرورياً ان يحدث المكافئين T' و π النتائج الصحيحة وكمثال هو شبكتا الشكلين (11.3) و (11.4) لهما ممانعة صفر بين الاطراف السفلية حيث انه ليس ضرورياً ان يكون صحيحاً لشبكة الشكل (11.2) ، ولكن طالما ان الاطراف استعملت في الزوجين المعرفين فان اي اختبار كهربائي يتم عند تردد معين لا يكون قادراً على التمييز بين الشبكة الحقيقية ومكافئها T و π

11.3 ممانعتا دائرة مفتوحة ودائرة قصر :

Open- circuit and Short-circuit Impedances.

أكثر طريقة ملائمة للحصول على معلومات عن العلاقات الطرفية لشبكة رباعية الاطراف هي قياس او حساب ممانعتي دائرته المفتوحة او دائرته المقصورة وهذا يوفر معطيات (Data) منها يمكن ايجاد الدائرة المكافئة . الممانعات التي يرجع اليها هي الآتية :-

(1) الممانعة المقاسة عند الجانب 1 عندما يكون الجانب 2 دائرة فتح وهذه سيرمز لها بـ Z_{1o} حيث ان الرمز السفلي 1 راجع الى الاطراف التي عندها تقاس الممانعة والرمز السفلي o راجع الى الدائرة المفتوحة عند الجانب الاخر .
(2) الممانعة المقاسة عند الجانب 1 عندما يكون الجانب 2 دائرة قصر وهذه سيرمز لها بـ Z_{1s} حيث ان الرمز السفلي الثاني راجع الى دائرة القصر عند الجانب البعيد .

(3) الممانعة المقاسة عن الجانب 2 عندما يكون الجانب 1 دائرة فتح ، Z_{2o}

(4) الممانعة المقاسة عند الجانب 2 عندما يكون الجانب 1 دائرة قصر ، Z_{2s}

في اغلب شغلنا القادم سنجد بأنه من الملائم الرجوع الى شبكة T المكافئة وعليه سنعتبر الآن عن العناصر للمكافئ T بدلالة ممانعات طرف دائرة فتح ودائرة قصر . اذا رجعنا الى الشكل (11.4) وبالنظر الى الرسم البياني نستطيع ان نكتب :

$$Z_{1o} = Z_a + Z_c \quad (11.5)$$

$$Z_{2o} = Z_b + Z_c \quad (11.6)$$

$$Z_{1s} = Z_a + \frac{Z_b Z_c}{Z_b + Z_c} \quad (11.7)$$

و

$$Z_{2s} = Z_b + \frac{Z_a Z_c}{Z_a + Z_c} \quad (11.8)$$

بما ان هنالك ثلاث كميات مستقلة يراد ايجادها ، واحدة من هذه المعادلات الاربع يجب ان تكون زائدة (اي انه يجب ان يكون هنالك علاقة بين اربع ممانعات دائرة فتح وقصر) .

بالنظر الى المعادلات يتبين بأن $Z_{1s} Z_{2s} = Z_{1o} Z_{2o}$ وعليه يكون عندنا العلاقة :

$$\frac{Z_{10}}{Z_{11}} = \frac{Z_{20}}{Z_{21}} \quad (11.9)$$

يمكن استعمال هذه العلاقة للتحقق من المعطيات (المقاسة او المحسوبة) على ممانعتي الدائرة المفتوحة ودائرة القصر .

الآن باستعمال اول ثلاث معادلات (11.5) الى (11.7) نستطيع ان نحل لعناصر Z_c , L , T نحصل على :

$$Z_c = \sqrt{Z_{20}(Z_{10} - Z_{11})} \quad (11.10a)$$

ويمكن الحصول على هيئة بديله لهذه المعادلة باستعمال العلاقة (11.9) لحذف Z_{11} ، والنتيجة هي :

$$Z_c = \sqrt{Z_{10}(Z_{20} - Z_{21})} \quad (11.10b)$$

للعناصر الاخرى نستعمل :

$$Z_a = Z_{10} - Z_c \quad (11.11)$$

$$Z_b = Z_{20} - Z_c \quad (11.12)$$

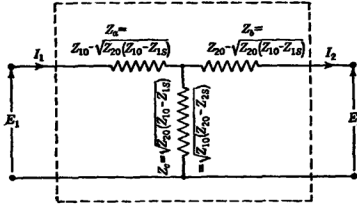
الدائرة المكافئة الناتجة مبينة في الشكل 11.5 واذا عرفت ممانعات اندائرة المفتوحة والمقصرة لشبكة رباعية الاطراف من القياسات او الحسابات فانه يمكن ايجاد المكافئ T ثم يستعمل في الحسابات اللاحقة .

في استخلاص الجذر التربيعي المؤشر في المعادلة (11.10) ، قد يكون هنالك شك في هل تضاف اشارة موجبة او سالبة الى النتيجة فكلالهما سينتجان دائرة مكافئة لها ممانعتا دائرة مفتوحة ومقصرة مناسبتان (واحدة منهما ربما تنتج مقاومة سالبة في الفرع المتوازي ولكن هذا ليس غير اعتيادي في الدوائر المكافئة كما نوقشت في الجزء 10.9) الفرق موجود في حقيقة ان طرفي الاخراج لشبكة ممكن تبديلها بدون التأثير على ممانعتي الدائرة المفتوحة والمقصرة ولكن تغير الموقع (Transposition) سيعكس طور المخرج بالنسبة الى المدخل ، ترجع قيمتا Z_c لهذين الاحتمالين وسوف لانغير اهمية لاشارة Z_c ولكن (في حالة اي شك) يمكن تسوية المسألة باختيار اشارة Z_c بحيث ان الدائرة المكافئة تنتج موقع الطور الصحيح لفولتية اخراج دائرة فتح .

من المناسب لبعض الاغراض ان يكون هنالك علاقات طرفية مكتوبة على هيئة معادلة . بالرجوع الى (11.5) هذه المعادلات هي :

$$Z_{10}I_1 - \sqrt{Z_{20}(Z_{10} - Z_{11})}I_2 = E_1 \quad (11.13)$$

$$-\sqrt{Z_{20}(Z_{10} - Z_{11})}I_1 + Z_{20}I_2 = -E_2 \quad (11.14)$$

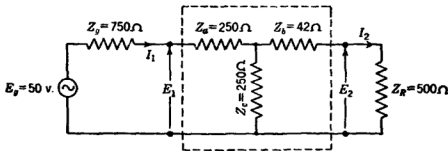


شكل 11.5 مكافئ T مع العناصر معبر عنها بدلالة ممانعات الدائرة المفتوحة والمقصرة للشبكة .

في كل ماتقدم ، الممانعات الوسطية (Parameters) الثلاث المستقلة مطلوبة لوصف العلاقات الطرفية لكل من الشبكة الحقيقية او مكافئها . ان تبسيطاً أكثر ينتج اذا كانت الشبكة متناظرة بطريقة بحيث يمكن قلبها جانباً بدون تغير صفاتها ، وعندها يكون $Z_{1o} = Z_{2o}$ و $Z_{1e} = Z_{2e}$ ويبقى متغيران مستقلان فقط . المكافئ T عندها سيكون له $Z_o = Z_e$

مثال : الممانعات الطرفية لدائرة مفتوحة ومقصرة لشبكة رباعية الاطراف قيست بواسطة قنطرة ، فأعطت النتائج الآتية :

$Z_{1o} = 500 + j0$ ، $Z_{1e} = 285.5 + j0$ اوم ، $Z_{2e} = 292 + j0$ اوم و $Z_{2o} = 167 + j0$ اوم . (1) تحقق فيما اذا كانت المعطيات غير متناقضة (Self Consistent) (2) استخرج مكافئاً T لهذه الشبكة (3) احسب التيار الذي سيسري خلال حمل مقاوم 500 اوم مربوط عبر الجانب 2 اذا كانت الشبكة مساقاة عند الجانب الاخر بمولد له مقاومة داخلية 750 اوم وفولتية دائرة مفتوحة مقدارها 50 فولت .



شكل 11.6 شبكة مكافئة للمثال .

لايجاد عدم التناقض للمعطيات ، نحسب $Z_{10}/Z_{10} = 500 / 285.5 = 1.751$ ونقارن هذا مع $Z_{20}/Z_{20} = 292 / 167 = 1.749$ وهذا هو انطباق مقنع .

لايجاد شبكة T المكافئة ، نعوض المعطيات في المعادلات (11.10) الى (11.12) او نستعمل الشكل 11.5 ، الشبكة الناتجة مبينة في الشكل 11.6 ومحصورة بين مستطيل منقطع .

التيار الذي يسري خلال الحمل ممكن ايجاده بتطبيق نظرية الدائرة البدائية على الشبكة في الشكل (11.6) او ممكن ايجاده باستعمال المعادلتين (11.13) و (11.14) الطريقة الاخيرة تستعمل لفرض التوضيح ومن الواضح ان $E_1 = E_0 - I_1 Z_0$ و $E_2 = I_2 Z_R$ باستعمال هاتين العلاقتين وبالتعويض عن المعطيات العددية ، المعادلتان (11.13) و (11.14) تصبحان :

$$\begin{aligned} 500I_1 - 250I_2 &= 50 - 750I_1 \\ -250I_1 + 292I_2 &= -500I_2 \end{aligned}$$

يحل هاتين المعادلتين أنياً لـ I_2 نحصل على :

$$I_2 = 0.0135 \text{ امبير}$$

11.4 ممانعة جانب الارسال ونسبة تيار المدخل الى المخرج :

Sending-end Impedance and Input-Output Current Ratio.

افرض أن الدائرة المكافئة للشكل 11.5 منتهية على الجهة اليمنى بممانعة Z_R وعندها ممكن ايجاد ممانعة جانب الارسال عند الجانب 1 اما باستعمال العلاقة $E_2 = I_2 Z_R$ في المعادلتين (11.13) و (11.14) ونحل للنسبة E_1/I_1 أو ببساطة بجمع الممانعات على التوالي والتوازي في الشكل 11.5 وباستعمال الطريقة الاخيرة عندنا :

$$Z_s = Z_0 + \frac{Z_0(Z_0 + Z_R)}{Z_0 + Z_0 + Z_R} \quad (11.15)$$

بتعويض التعابير لـ Z_0 و Z_0 و Z_0 من المعادلات (11.10) الى (11.12) والتخلص من الكسور ، وجدت نتيجة بأنها :

$$Z_s = Z_{10} \frac{Z_R + Z_{20}}{Z_R + Z_{20}} \quad (11.16)$$

انه لمن المرغوب ملاحظة كيف ان هذه العلاقة تطبق على خط نقل منتظم .

$$Z_{1o} = Z_{2o} = Z_0 / \tanh \gamma l \quad \text{و} \quad Z_{1e} = Z_{2e} = Z_0 \tanh \gamma l$$

بتعويض هذه العلاقات في المعادلة (11.16) تنتج نتائج متطابقة مع المعادلة

$$Z_o = Z_0 \frac{Z_R + Z_0 \tanh \gamma l}{Z_0 + Z_R \tanh \gamma l} \quad (4.42)$$

بما ان التيار ينقسم بين الفرعين المتوازيين بنسبة عكسية مع ممانعتيهما ، يحصل على نسبة تيار المدخل الى المخرج للشبكة بالنظر للشكل 11.5 كالآتي

$$\frac{I_2}{I_1} = \frac{Z_o}{Z_b + Z_c + Z_R}$$

او بتعويض التعابير لـ Z_c و Z_b :

$$\frac{I_2}{I_1} = \frac{\sqrt{Z_{2o}(Z_{1o} - Z_{1e})}}{Z_R + Z_{2o}} = \frac{\sqrt{Z_{1o}(Z_{2o} - Z_{2e})}}{Z_R + Z_{2o}} \quad (11.17)$$

المعادلات السابقة لـ Z_o ولنسبة التيار ستستعمل في الفصل القادم عندما نناقش الربط المشترك لشبكة رباعية الاطراف .

11.5 طرق مختلفة للتعبير عن العلاقات الطرفية :

Various Methods of Expressing Termina Relations.

يمكن تحديد العلاقات الطرفية لشبكة رباعية الاطراف باعطاء العناصر لشبكته المكافئة (كما في مثال الشكل 11.6) وفي بعض الاحيان يكون مناسباً التعبير عن العلاقات الطرفية بهيئة جبرية ، وهذا ما عمل به في المعادلتين (11.13) و (11.14) وللتين كررتا هنا للتذكير :

$$E_1 = Z_{1o}I_1 - \sqrt{Z_{2o}(Z_{1o} - Z_{1e})}I_2 \quad (11.18)$$

$$-E_2 = -\sqrt{Z_{2o}(Z_{1o} - Z_{1e})}I_1 + Z_{2o}I_2 \quad (11.19)$$

هنا الفولتيتان الطرفيتان عبر عنهما بدلالة التيارين I_1 و I_2 وممانعتي دائرة الفتح Z_{1o} و Z_{2o} ويدعى ممانعة ثالثة $\sqrt{Z_{2o}(Z_{1o} - Z_{1e})}$ الاخير في بعض الاحيان بممانعة انتقال الدائرة المفتوحة (Open-Circuit Transfer Impedance) بسبب (مع جانب 2 مفتوح الدائرة) انها نسبة فولتية المخرج E_2 الى تيار المدخل I_1 .

العلاقتان (11.18) و (11.19) يمكن وضعهما بهيئات مختلفة أخرى ، كل من هذه الهيئات تحتوي عل المعلومات نفسها وستعطى هنا واحدة اضافية فحسب لكي يلم القارئ بمظهرها . الهيئة الثانية تنتج من حل ا (11.18) و (11.19) للتيارين وهي تعطي النتيجة الآتية :

$$I_1 = \frac{E_1}{Z_{1s}} - \frac{1}{Z_{1s}} \sqrt{\frac{Z_{1o} - Z_{1s}}{Z_{2o}}} E_2 \quad (11.20)$$

$$I_2 = \frac{1}{Z_{1s}} \sqrt{\frac{Z_{1o} - Z_{1s}}{Z_{2o}}} E_1 - \frac{E_2}{Z_{2s}} \quad (11.21)$$

هذه المعادلات تعبر عن تيارى الطرفين بدلالة الفولتين E_1 و E_2 وممانعتي دائرة القصر Z_{1s} و Z_{2s} ومعامل ممانعة ثالثة $Z_{1s} \sqrt{Z_{2o}/(Z_{1o} - Z_{1s})}$ ويدعى الاخير بصورة عامة ممانعة انتقال دائرة قصر بسبب انه عندما تكون اطراف المخرج دائرة قصر مساوية للنسبة بين فولتية المدخل الى تيار المخرج . ان المعادلات السابقة غالباً ماتكتب بدلالة المساربات بدلاً من الممانعات .

الهيئة الثالثة المعروفة تعبر عن E_1 و I_1 بدلالة E_2 و I_2 . اذا حذف التيار I_1 بين المعادلتين (11.18) و (11.19) ممكن كتابة النتيجة كالآتي :

$$E_1 = \frac{Z_{1o}}{\sqrt{Z_{2o}(Z_{1o} - Z_{1s})}} E_2 + \frac{Z_{1s}Z_{2o}}{\sqrt{Z_{2o}(Z_{1o} - Z_{1s})}} I_2 \quad (11.22)$$

المعادلة الثانية حصل عليها نتيجة كتابة المعادلة (11.18) بالهيئة :

$$I_1 = \frac{1}{\sqrt{Z_{2o}(Z_{1o} - Z_{1s})}} E_2 + \frac{Z_{2o}}{\sqrt{Z_{2o}(Z_{1o} - Z_{1s})}} I_2 \quad (11.23)$$

هذه العلاقات اختصرت الى الشكل :

$$E_1 = AE_2 + BI_1 \quad (11.24)$$

$$I_1 = CE_2 + DI_2 \quad (11.25)$$

بما انه يمكن لثلاثة عوامل ان تكون مستقلة فانه يجب ان تكون هنالك علاقة بين المعادلات الاربعة A و B و C و D وبالرجوع الى المعادلتين (11.22) و (11.23) يتبين لنا بأن :

$$AD - BC = 1 \quad (11.26)$$

المعادلتان (11.24) و (11.25) بصورة عامة ملائمتان عندما تتحدد قيمتا E_2 و I_2 المرغوبتين وعندما يراد ايجاد قيمة E_1 الضرورية والتيار الناتج I_1 وهذا هو الوضع الشائع في حسابات نظام قدرة .

11.6. المحول (1) : The Transformer.

المعالجة المعطاة في هذا الجزء تفرس بأن القارئ ملم بالنظرية الاعتيادية لدائرة التقارن وللمحول وقد بحثنا بعض الاحتمالات للدائرة المكافئة بضمنها استعمال دائرة مكافئة كوسيلة لتخيل وحساب الحالات العابرة .

المحول هو شبكة رباعية الاطراف مهمة جداً حيث انه يخدم اغراض تغير مستوى الفولتية وتحويل مستوى الممانعة وتوفير عزل تيار مستمر بين جزئين لدائرة . يستخدم لب مغناطيسي حديدي (Ferromagnetic Core) بصورة عامة عند الترددات خلال المدى السمي وهذا يحدث اللاخطية (Non-linearity) كذلك فان السعات الموزعة للمحول تحدث تأثيرات مهمة عند الترددات السمية الاعلى وكل من هذه التأثيرات صعبة التحليل بدقة لسببين ، الاول بسبب الصعوبات الاعتيادية في التحليل اللاخطي والثاني بسبب التعقيد الهندسي للدائرة الموزعة الحقيقية وكلا التأثيرين سيهملان عند بداية التحليل . ومن الممكن رؤية تأثير اللاخطية بعد ذلك بطريقة نوعية و (لحسن الحظ) في التطبيقات الاعتيادية المحول الجيد التصميم لا يكون لذلك اهمية رئيسة ويمكن ان يضاف تأثير السعات بعد ذلك بطريقة تقريبية .

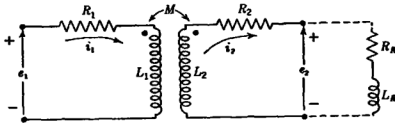
الدائرة المكافئة للمحول مفيدة في تخيل وحساب الحالات العابرة اضافة الى تطبيقه الاعتيادي لحسابات الحالة المستقرة ولتوضيح هذا سنبدأ التحليل من المعادلات التفاضلية للدائرة واستعمال القيم الانية للفولتية والتيار وسنبدأ بالرسم البياني التخطيطي المبين في الشكل (11.7) والذي يبين اصطلاحات الاتجاه الموجب للفولتية والتيار . القطبية النسبية للملفين مؤشرة بالنقطتين (Dots) ، واذا ازداد التيار في الملف نحو الطرف المنقطع على ذلك الجانب فان الفولتية المحتثة في الملف الآخر ستجعل نقطته موجبة بالنسبة الى الطرف غير المنقطع . الآن سنعتبر الفولتية والتيار الانية للمحول ونكتب معادلتها الفولتية حول الدارتين : -

$$\left. \begin{aligned} R_1 i_1 + L_1 \frac{di_1}{dt} - M \frac{di_2}{dt} &= e_1 \\ -M \frac{di_1}{dt} + R_2 i_2 + L_2 \frac{di_2}{dt} &= -e_2 \end{aligned} \right\} \quad (11.27)$$

هنا L_1 و R_1 هما على التوالي المقاومة والمحاثة الذاتية (Self-Inductance) للملف الاول R_2 و هما الكميّتان المماثلتان للملف الثاني ، الكمية هي

(١) هذا الجزء قد يهمل بدون التأثير على استمرارية الكتاب

المحاثة المتبادلة (Mutual Inductance) بين الملفين وإذا اشتغل ملف الجبهة اليمنى في حمل غير فعال فإن العلاقة بين الفولتية e_2 والتيار i_2 مستخرج من خواص (Character) الحمل . هناك نوع واحد لحمل مبدى بربط منقط فى (11.7) .

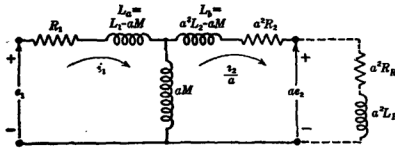


شكل (11.7) رسم بيانى لمحول ذو ملفين .

الآن افرض ان الرمز a يمثل اى رقم (احد اختيارا تنا ل a ستكون نسبة اللفات (Turns Ratio) N_1/N_2 ولكن لا يتقيد بهذه القيمة والاختيارات الأخرى عادة تكون اكثر فائدة) اضرب وقسم المعادلتين السابقتين بالعدد a بحيث نكتب د :

$$\left. \begin{aligned} R_1 i_1 + L_1 \frac{di_1}{dt} - (aM) \frac{d}{dt} \left(\frac{i_2}{a} \right) &= e_1 \\ -(aM) \frac{di_1}{dt} + (a^2 R_2) \left(\frac{i_2}{a} \right) + (a^2 L_2) \frac{d}{dt} \left(\frac{i_2}{a} \right) &= -ae_2 \end{aligned} \right\} \quad (11.28)$$

النقطة الآن هي ان هاتين هما بالضبط المعادلتان اللتان يجب ان تكتبنا لشبكة الشكل (11.8) والتي تحتوي فقط على رابط ممانعة تقارن موصلية وعليه فان هذه الشبكة هي دائرة مكافئة للمحول . وبالطبع التكافؤ هو تكافؤ مباشر فقط اذا نظر من الطرفين الى اليسار حيث ان الرقم a هو داخل فى التيار والفولتية الثانوية وهذه ستصحح بعد ذلك باستعمال محول مثالى مع الدائرة المكافئة ولكن



شكل (11.8) دائرة مكافئة للمحول .

«Electric Circuits,» by the MIT Staff, p. 385, John Wiley & Sons, Inc., New York, 1940.

سيهمل هنا . الشكل (11.7) يبين نوعاً خاصاً من حمل لغرض التوضيح . الحمل المطابق لربطه في الدائرة المكافئة ممكن ايجاده كالآتي : مرة أخرى باستعمال المعادلة التفاضلية وبحيث يطبق الاستنتاج للحالات العابرة كما للحالة المستقرة . للحمل الخاص في الشكل (11.7) عندنا $e_2 = R_R \dot{i}_2 + L_R di_2/dt$ بضرب وتقسيم هذه بالرقم a ، العلاقة بين i_2/a و \dot{i}_2/a وجدت بانها :

$$ae_2 = (a^2 R_R) \left(\frac{\dot{i}_2}{a} \right) + (a^2 L_R) \frac{d}{dt} \left(\frac{\dot{i}_2}{a} \right)$$

هذا يكون قيمتي الحمل الفعاليين $a^2 L_R$ و $a^2 R_R$ اللتان تستعملان لهذا الحمل الخاص في الدائرة المكافئة للشكل (11.8) .

الآن المعادلات التي كتبناها توأ هي عامة جداً وتطبق لاشكال موجات بأية هيئة للحالة العابرة كما للحالة المستقرة ، كذلك فإن الرقم a يظل غير محدد ويمكن ان يأخذ اية قيمة . هناك خاصية ملائمة هي نسبة اللفات N_1/N_2 حيث ان هذه ستضمن بأن العنصر على التوالي لها محاثات موجبة ، ومن الممكن البرهنة على ان $M = k_1 L_1 N_2 / N_1$ حيث ان k_1 هو جزء من فيض الملف الاول الذي يوصل الملف لثاني (١) .

اعتبارات مشابهة بالنسبة الى الملف الثاني تبين بأن $M = k_2 L_2 N_1 / N_2$ حيث ان k_2 هو جزء من فيض الملف الثاني الذي يوصل الملف الاول . (بضرب هاتين العلاقتين ببعضهما ينتج $\dot{M} = k \sqrt{L_1 L_2}$ حيث ان $k = \sqrt{k_1 k_2}$ هو معامل التقارن [(Coefficient of Coupling)] . المحاثة على التوالي في الدارة الاولى ممكن التعبير عنها كالآتي :

$$L_a = L_1 - aM = L_1 \left(1 - k_1 a \frac{N_2}{N_1} \right) \quad (11.29)$$

بالتشابه ممكن كتابة المحاثة على التوالي في الدارة الثانية كالآتي :

$$L_b = a^2 L_2 - aM = a^2 L_2 \left(1 - \frac{k_2 N_1}{a N_2} \right) \quad (11.30)$$

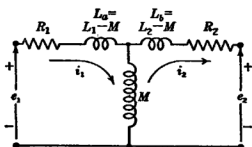
ان قيمة الجزئين k_1 و k_2 يمكن ان يقتربا من الواحد وعليه فان الاختيار الوحيد لـ a والذي يضمن عدم وجود محاثة سالبة في كلا الموضعين على التناوب هو $a = N_1/N_2$ وعليه عندنا $L_a = L_1(1 - k_1)$ و $L_b = L_2(1 - k_2)$ مع هذا الاختيار لـ a ، المحاثة L_a و L_b تدعيان المحاثتين التسربيتين (Leakage Inductances) بسبب انهما يتلازمان مع حقيقة ان جزءاً فقط من فيض كل ملف يوصل الآخر ، ويتقارن مثالي وبدون فيض متسرب فان k_1 و k_2 يجب

(١) كمثال لاحظ :

¹ For example, see "Electric Circuits," by the MIT Staff, p. 385, John Wiley & Sons, Inc., New York, 1940.

ان يكون كلاهما واحداً والمحاثة الترسية يجب ان تكون صفراً والفيض الملازم مع المحاثة المربوطة على التوازي (aM) يمثل الفيض المتبادل الذي يوصل كلا الملفين وفي محول ذي قلب حديدي يكون هذا الطريق اكثر خلال اللب ، وعليه فأن هذا الفراغ المتوازي هو عنصر لاطخي في الدائرة الواحدة ومن الواضح انه اذا كان التيار المأخوذ من عنصر التوازي صغيراً بالمقارنة مع ذلك الساري رأساً خلال الدائرة المكافئة فان تأثير اللاطخية سيكون مهملأ ، وهكذا فان اختيار $\alpha = N_1/N_2$ له فائدة اضافية باعطاء معنى فيزيائي واضح لكل من العناصر ويسمح للواحد بتمثيل تأثير المحول على الدوائر التي يلازمها . الدائرة المكافئة على هذه القاعدة يقال احياناً بأنها تختصر المحول الى مكافئ نسبة لفاته واحد الى واحد .

الاختيار $\alpha = \frac{N_1}{N_2}$ مفيد ومنطقي ولكنه هو ليس الوحيد الممكن عمله ، وكمثال نستطيع اختيار α نوعاً ما اكبر من N_1/N_2 بحيث يصبح L_e بالمعادلة (11:29) صفراً بالضبط وهذا الاختيار يزيد L_e ويضع كل المحاثة الترسية على الجانب الايمن من الدائرة المكافئة كما يمكن اختيار α اصغر نوعاً ما من N_1/N_2 يجعل L_e بالضبط صفراً وعليه وضع كل المحاثة الترسية على اليسار ، الفائدة من وجهة النظر هذه ستناقش في فقرة قادمة .

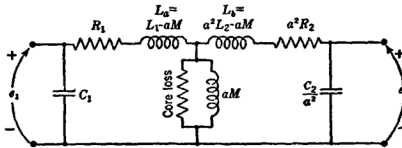


شكل 11.9 دائرة مكافئة مع العدد α اختير مساوياً الى الواحد .

الاختيار المدهش لقيمة α هو واحد ، وهو الذي يـسر الدائرة المكافئة لتلك المبينة في الشكل 11.9 وهنا الفولتية والتيار عند طرفي الخروج مساويان بدقة لفولتية وتيار المحول الحقيقي ، والدائرة هي مكافئ حقيقي من اي جانب . هذه الدائرة المكافئة مفيدة بصورة خاصة في المحولات التي يكون تقارنها ضعيفاً بدرجة كافية بحيث ان الممانتين M و M و L_1 و L_2 موجبتان ولمحولات تقارنها اكثر وخاصة عندما لاتكون نسبة اللفات غير قريبة من الواحد ، فان واحداً من

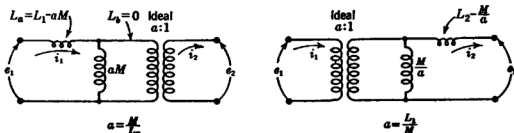
هذه المحاثات او كلها ستصبح سالبة وهذا لا يعرض أية صعوبات نظرية للحسابات النظرية ولكن تجعل التخييل صعباً وفيزيائياً فإن تأثير المحاثة السالبة ممكن الحصول عليه عند تردد منفرد باستعمال مفاعلة حثية ولكن الممانعة لمحاثة سالبة حقيقية يجب ان تتغير مع التردد كـ $-j\omega L$ في حين تلك للسعة هي $-j/\omega C$ وعليه فإن استعمال متسعة لا يوفر تكافؤاً صحيحاً لتشغيل غير جيبي (Nonsinusoidal) او للحالات العابرة .

سعات اللقيطات الموزعة (التي اهملت لحد الآن) ممكن اخذها بنظر الاعتبار الآن بطريقة تقريبية وذلك باظهارها كسعات مكتلة عبر كل ملف وهذا مشابه لتمثيل خط نقل بدائرة قصر بدائرة LC متوازية بسيطة (التقريب المقنع جيداً الى الترددات لحد او ابعد نوعاً ما من رنين عكسي) . بالاضافة الى ان فقد القلب ممكن تمثيله تقريباً بمقاومة مربوطة عبر فرع التوازي في الدائرة المكافئة والدائرة المكافئة الناتجة مبينة في (11.10) . ممانعة السعة الثانوية حولت بالعامل a^2 وعليه فالسعة نفسها حولت بالعامل $1/a^2$ السعة الموجودة بين لفيفة واخرى غير ظاهرة وهذا قد يعدل نوعاً ما من التشغيل بتوفير طريق غير المحاثة المتبادلة والذي بواسطته تسري الطاقة خلال المحول واذا كان هذا الطريق ضرورياً فمن الممكن ان يحول الى الارض وذلك بوضع درع موصل مؤرض حول كل لفيفة .



شكل (11.10) دائرة مكافئة مع تأثير سعات اللفيفة وفقد القلب ممثل بصورة تقريبية .

المحولات في مدى التردد السمعى بصورة عامة لها قلوب مغلقة كلياً من مادة حديد مغناطيسي ، واذا استعملنا الدائرة المكافئة للشكل (11.10) مع $a = N_1/N_2$ فان العناصر المختلفة في الدائرة تصبح مهمة في مدىات الترددات المختلفة وعند الترددات الواطئة فإن المحاثات التسريبية والسعات لها تأثير مهم ولكن التيار الساري في فرع التوازي يصبح كبيراً بدرجة كافية ليصبح مهماً وفي مدى الترددات الوسطية يمكن اعتبار المحول مثالياً بتقريب جيد جداً . عند



شكل (11.11) مثالان لرباعي أطراف حقيقي مكافئان للمحول .

ترددات اعلى يمكن اهمال التيار المأخوذ بفرع التوازي ولكن السعات والمحااثات التسريبية تصبح مهمة ويحدث التأثير الاساسي هو الرنين الذي غالباً بين السعة الثانوية والمحااثات التسريبية وكلما ارتفع التردد فوق الرنين فأن السعة الثانوية تقصر دائرة طرفي الاخراج بسرعة في ماعدا الحالة عندما يختار العدد a مساوياً الى الواحد فأن الدوائر المعطاة سابقاً متكافئة فقط عند طرفي الابداء (Primary Terminals) حيث ان فولتية الاخراج والتيار للشبكة يجب (على التوالي) ان يقسمان وينضربان بـ a للحصول على كميات الاخراج الحقيقية للمحول الحقيقي ويمكن الحصول على تكافؤ رباعي الاطراف حقيقي باستعمال محول مثالي في مجموعة مع شبكة مكافئة . المحول المثالي هو الذي له فقد مساو للصفر وله تقارن تام وعليه محاثة تسريبية ومحاثة متبادلة غير نهائيتين والمحول المثالي له صفات معروفة جيداً لتحويل الفولتية والتيار بالعكس بعامل مساو لنسبة اللفات ولتحويل الممانعة بمربع هذه النسبة ، ان الدائرة المكافئة في الشكل (11.10) ممكن تقسيمها الى جزئين بخط عمودي عند اية نقطة وادخال محول مثالي بنسبة لفات $a : 1$ بين الجزئين والممانعة الى اليمين من المحول المثالي يجب ان تضرب بالعامل $1/a^2$ للحصول على التكافؤ ، وعندها تكون الدائرة مكافئة للمحول الحقيقي من كلا الطرفين .

هنالك مثالان مفيدان لهذا هما المبيانان في الشكل (11.11) . المقاومات والسعات حذفت من هذين التوضيحين للسهولة (اذا رغب في ذلك) مقاومات اللفيقات يمكن اضافتها بعد ذلك على التوالي مع الاطراف ، في اول دائرة مكافئة المحول المثالي وضع على اليمين والكمية اعطيت لها قيمة خاصة :

$$a = \frac{M}{L_2} = k_2 \frac{N_1}{N_2}$$

حيث ان k_2 هو جزء من الفيض الثانوي الذي يصل الابتدائي ، وكما مبين بالمعادلة (11.30) هذا الاختيار لـ a يجعل I_2 مساوياً الى الصفر ويضع المفاعلة

التسربية كلها على اليسار من فرع التوازي . واذا اشتغل المحول خارج شبكة النقل الذي (في تصميمه) يجعل استعمال المحاثتين L_0 و aM_0 ممكناً فأن التأثير الوحيد الباقي للمحول هو لمحول مثالي . انه لمن المثير ملاحظة ان القيمة السابقة لـ a هي بالضبط نسبة دائرة الفتح E_1/E_2 عندما يجهز الجانب 2 بالطاقة وهذه النسبة تقترب من القيمة N_1/N_2 كلما اقترب k_2 من الواحد .

في الدائرة الثانية للشكل (11.11) ووضع المحلول المثالي على اليسار والكمية اعطيت القيمة :

$$a = \frac{L_1}{M} = \frac{1}{k_1} \frac{N_1}{N_2}$$

حيث ان k_1 هو الجزء من الفيض الابتدائي الذي يوصل الثانوي وهذه القيمة لـ a هي نسبة دائرة الفتح E_1/E_2 عندما يجهز الجانب 1 بالطاقة وحسب المعادلة (11.29) هذا الاختبار لـ a يجعل L_0 مساوياً للصفر ويضع كل المفاعلة التسربية على اليمين . والان اذا اشتغل المحول في شبكة اخرى تستطيع استعمال المحاثتين في اداء عمله فأن التأثير الباقي هو لمحول مثالي .

مسائل

1. ممانعات دائرة الفتح والقصر الآتية قيست على شبكة رباعية الاطراف :

$$Z_{10} = 2,590 + j0 \text{ اوم} , Z_{12} = -2,015 + j0 \text{ اوم} , Z_{20} = 1,300 + j0 \text{ اوم}$$

$$Z_{22} = 1,010 + j0 \text{ اوم و } Z_{11} = 1,010 + j0 \text{ اوم}$$

أ. تحقق من عدم تناقض المعطيات .

ب. استخرج شبكة T المكافئة .

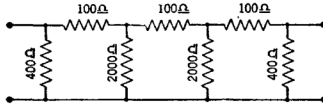
ج. ربطت مقاومة 1500 اوم عبر الجانب 2 وسبق الجانب 1 بمولد ق. د. ك داخلية 50 فولت ج. م. ت وله مقاومة داخلية 1,000 اوم ، احسب تيارى المدخل والمخرج للشبكة .

2. اعطيت شبكة المقاومة المبينة في الشكل P2 :

أ. احسب ممانعات دائرة الفتح والقصر للشبكة واستخرج المكافئ T .

ب. مقاومة 460 اوم ربطت عبر الجانب 2 . الشبكة مساقطة عند الجانب 1 بمولد

له ق. د. ك داخلية 25 فولت ج. م. ت ومقاومة داخلية 460 اوم احسب تيارى المدخل والمخرج للشبكة .



شكل P2 شبكة مقاومة .

3. شبكة مفاعلة لها ممانعات دائرة الفتح والقصر الآتية :

$$Z_{10} = Z_{20} = j425 \text{ اوم} , Z_{12} = Z_{21} = j378 \text{ اوم} , \text{ مع الجانب 2 دائرة}$$

مفتوحة وفولتية مسلطة على الجانب 1 E_1 هي مختلة الطور مع E_1 بـ 180° .

أ. استخرج الدائرة T المكافئة .

ب. مقاومة 400 اوم ربطت عبر الجانب 2 واذا كانت $E_1 = 10\angle 0^\circ$ فولت جد

اتساع وطور I_1 و I_2 .

ج. احسب ممانعة جانب الارسال للشبكة للشروط في الجزء ب .

د. احسب الممانعة الانتقالية بين فولتية جانب الارسال والحمل لشروط

$$\text{الجزء ب } (Z_{tr} = E_1/I_2) .$$

4. أ. جد الثوابت A و B و C و D للشبكة في المسألة 1 وأكتب معادلات A و B و C و D

عددياً لهذه الشبكة .

ب. إذا كانت $Z_0 = 400 + j0$ اوم و $Z_2 = 2.00$ فولت ماذا يجب ان تكون قيمتا E_1 و I_1 ؟

5. الاختبارات الآتية اجريته: على شبكة رباعية الاطراف (راجع الشكل 11.2 والمعادلتان (11.24) و (11.25) « ، مع الجانب 2 مفتوح و $E_1 = 10.0$ فولت ، $I_1 = 0.166$ امبير و $E_2 = 6.73$ فولت وكلا الكيميتين لهما الطور نفسه مع E_1 . مع الجانب 2 دائرة قصر و $E_1 = 10.0$ فولت ، $I_1 = 0.199$ امبير و $I_2 = 0.0486$ امبير كلا الكيميتين لهما طور E_1 نفسه .

أ. جد الثوابت A و B و C و D للشبكة واكتب معادلات A و B و C و D عددياً . حقق معطيات الاختبار باستخراج هل ان الثوابت تتوفر علاقة ملائمة بينها .

ب. $I_2 = 0.025$ امبير و $Z_0 = 300 + j0$ اوم ماذا يجب ان تكون قيمتا E_1 و I_1 ؟

6. الاختبارات الآتية اجريت على شبكة رباعية الاطراف يعرف بأنها تحتوي على مقاومات فقط : مع كلا الجانبين دائرة قصر فإن الممانعة المقاسة عند الطرف الآخر 7.5 اوم . سلطت فولتية 10 فولت على الجانب 1 وحدثت تيار دائرة قصر مقداره 0.167 امبير عند الجانب 2 . استخرج شبكة π المكافئة .
7. أ. استخرج الشبكة المكافئة T للمسألة 6 .

ب. مقاومة 10 اوم ربطت عبر احد جانبي الشبكة وربط مولد مع $E_s = 5.0$ فولت و $Z_s = 20 + j0$ اوم الى الجانب الاخر . باستعمال المكافئ T ، احسب تيارى المدخل والمخرج للشبكة .

8. محول هوائي القلب له الثوابت الآتية : $N_1 \wedge N_2 = 120$ لفه ، $N_2 = 240$ لفه ، $R_1 = 1.2\epsilon$ اوم و $R_2 = 2.52$ اوم و $L_1 = 0.0410$ هنري و $L_2 = 0.164$ هنري ، ارسم الدائرة المكافئة ، أولاً استعمل $a = 1$ ومن ثم استعمل $a = N_1/N_2$.

9. اعد المسألة 8 مستعملاً $M = 0.0736$ هنري . ماهو معامل التقارن لهذه القيمة ؟ M ؟

10. اعد المسألة 8 مع $M = 0.0368$ هنري ولكن اختر الكمية a بحيث يجعل $\alpha = 0$ ،

11. محول له $L_1 = 0.20$ هنري ، $L_2 = 1.80$ هنري و $N_2/N_1 = 3$ ومعامل التقارن $k = 0.950$. خطط الدائرتين المكافئتين المشابهتين للشكل 11.11 معطياً قسم كل العناصر .

الموصل الثاني عشر التشغيل الصوري والمتكرر لشبكات رباعية الاطراف

THE IMAGE AND ITERATIVE OPERATION OF FOUR- TERMINAL NETWORKS

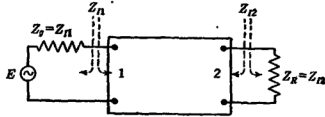
12.1 . الممانعتان الصورية والمتكررة :

The Image and Iterative Impedances.

تربط شبكات النقل عادة على التعاقب كما مبين في الشكل 12.2 حيث ان مخرج احداها يغذي مدخل التاليه ومن المهم في هذا الربط ان تشتغل في ممانعات ملائمة حتى تغطي شروط انتقال اعلى قدرة تقريباً على مدى الترددات المرسله ويجب اختيار ممانعات الاطراف بطريقة منسجمة حتى يمكن التنبؤ بالعلاقات الطرفية لكل شبكة بصورة منفصلة ولكي تساهم بصورة بسيطة في اداء سلسلة الشبكات بصورة كلية .

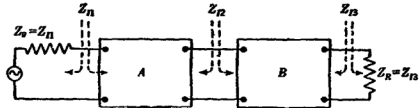
من الضروري من وجهة نظر القدرة تبديل قيمة الممانعة في السلسلة عند الضرورة لمواءمة الممانعات وهذه الشروط تتحقق بواسطة مايسمى ربط الممانعة صورياً (Image - Impedance) وهذا الربط مبين لشبكة واحدة في الشكل 12.1 وهنا تشتغل الشبكة في ممانعة Z_0 والى ممانعة Z_R والتي تم اختيار كل منها بحيث ان (لكل زوج من الاطراف) "ممانعة نفسها عند النظر من كلا الاتجاهين ، تدعى ممانعة احد الاتجاهين بصورة الآخر وهذه الممانعات سيرمز لها بحرف سفلي I « للصورة » وبحرف سفلي اضافي لتبيان الاطراف عند الحاجة . ان نظام الموصلات يشتغل عادة بحيث تكون الممانعات الصورية حقيقية تقريباً على مدى التردد الذي يرسل وتحت هذه الظروف فان الانتهاء الصوري (Image Termination) هي المواءمة المرافقة (Conjugate Match) نفسها والتي تؤدي الى انتقال قدرة قصوى وازافة الى ذلك وبتصميم مناسب للشبكات فانه يمكن تغيير الممانعات الصورية كما يرغب من مجموعة اطراف الى اخرى لاغراض مواءمة الممانعة . يبين الشكل 12.2 شبكتين غير متشابهتين مربوطتين على التعاقب على اساس صوري وممانعة الحمل والمولد ثابتا القيمة . صممت الشبكة A ليكون لها ممانعة صورية $Z_{I1} = Z_0$ عند اليسار وعند الربط بين الشبكتين فان الممانعتين الصورتين جعلتا متساويتين وصممت الشبكة B ليكون لها ممانعة صورية $Z_{I2} = Z_0$ على اليمين .

هذه الطريقة للربط يمكن تمديدها لسلسلة من اي عدد من الشبكات الرباعية الاطراف. هناك طريقة اخرى لانهاء شبكات رباعية الاطراف هي التي تدعى على الاساس المتكرر (Iterative Basis). بعض من الشبكات المتعددة المقطع تصمم على هذا الاساس، وكمثال لذلك موهنات نوع π . ان مفهوم الربط المتكرر مفيد ايضاً للحالات التي تختزل فيها ممانعة الصورة الى ممانعة متكررة.



شكل 12.1 شبكة منفردة رباعية الاطراف منتبئية على اساس الصورة.

الشكل 12.3 يبين سلسلة من شبكتين متطابقتين منتهيتين عند كلتا النهايتين على الاساس المتكرر، ممانعة جانب الاستلام لها قيمة معينة هي Z_{K1} . وقد اختيرت بحيث ان ممانعة المدخل للشبكة \bar{A} بالنظر الى اليمين تساوي بالضبط Z_{K1} وتشغل الشبكة A بالممانعة نفسها (ولكونها مطابقة في التركيب مع A) وكذلك تقدم الممانعة Z_{K1} عند طرفي مدخلها (الممانعة اعيدت او كررت).



شكل 12.2 شبكتان مرتبطتان بالتعاقب على اساس الصورة.

في التوضيح فإن السلسلة هي مربوطة ايضاً بطريقة متكررة بالنظر في كلا الاتجاهين حيث ان ممانعة المولد لها قيمة معينة Z_{K2} تجعل الممانعة معادة (متكررة) عند النظر باتجاه اليسار من اي زوج من الاطراف ويمكن تمديد الربط المتكرر لسلسلة تتكون من اي عدد من الشبكات على شرط (بالطبع) لها خواص طرفية متطابقة.

اذا كانت الشبكات متناظرة بحيث يمكن تبديل نهاية اي واحدة منها مكان الاخرى بدون تغيير في ادائها عندما تكون الممانعتين المتكررتين Z_{K1} و Z_{K2} متساويتين.

الآن وبانتهاء مناسب عند كلا النهايتين فأن الممانعات من أي ملتقى (Junction) تكون متساوية في كلا الاتجاهين وهذا هو الربط الصوري لهذه الشبكات وفي هذه الحالة فأن الاسم المستعمل عادةً هو الممانعة المميزة .

ان خط النقل المنتظم هو مثال معروف لهذا النوع من التركيب ويمكن التعبير عن ممانعات الصورة لشبكة بدلالة ممانعة دائرتها المقصورة والمفتوحة ، ونستعمل لهذا المعادلة (11.16) التي تعبر عن ممانعة المدخل لشبكة بدلالة ممانعة الانتهاء عند الطرف الآخر وهذه العلاقة كانت :

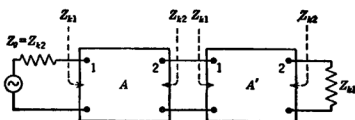
$$Z_e = Z_{1o} \frac{Z_R + Z_{2o}}{Z_R + Z_{2o}} \quad (12.1)$$

نرجع الآن الى الشكل 12.1 ونستعمل $Z_e = Z_{1n}$ و $Z_o = Z_{2n}$ وعليه (12.1) تصبح :

$$Z_{1n} = Z_{1o} \frac{Z_{1n} + Z_{2o}}{Z_{1n} + Z_{2o}} \quad (12.2)$$

المعادلة (12.1) يمكن استعمالها ايضاً للحصول على الممانعة التي ترى الى اليسار من النهاية 2 ، ولهذا نعتبر الحمل Z_e ونبدل الرموز السفلية 1 و 2 في المعادلة ، وبعبء وبالنظر من النهاية 2 يكون لدينا لانتهاه صوري :

$$Z_{2n} = Z_{2o} \frac{Z_{1n} + Z_{1o}}{Z_{1n} + Z_{1o}} \quad (12.3)$$



شكل 12.3 سلسلة لشبكتين منتهيتين بممانعتهما المتكررة عند جانبيهما .

المعادلتان (12.2) و (12.3) يمكن حلها أنياً للممانعتين الصورتين وبملاحظة انه من المعادلة (11.9) $Z_{1o}Z_{2o} = Z_{12}Z_{21}$ ، فأن النتائج تبسط الى :

$$Z_{1n} = \sqrt{Z_{1o}Z_{2o}} \quad (12.4)$$

$$Z_{2n} = \sqrt{Z_{2o}Z_{1o}} \quad (12.4)$$

وهكذا فأن الممانعة الصورية عند كلتا النهايتين هي ببساطة المعدل الهندسي بين ممانعة القصر والفتح عند تلك النهاية ويمكن تذكر علاقة مشابهة اخرى لخط النقل المنتظم الذي كان متناظراً وله ممانعة صورية مساوية للممانعة المتكررة

ويمكن التعبير عن الممانعات المتكررة لشبكة بطريقة مشابهة . نرجع الى الشبكة A في الشكل 12.3 ومرة اخرى نستخدم (12.1) ويكون لدينا هنا $\bar{Z}_s = \bar{Z}_{K1}$ عندما $Z_s = Z_{K1}$ وعندها :

$$Z_{K1} = Z_{1s} \frac{Z_{K1} + Z_{2s}}{Z_{K1} + Z_{2s}} \quad (12.5)$$

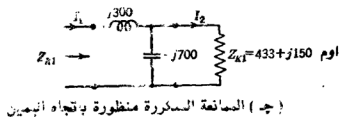
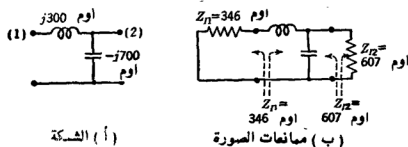
بالحل للممانعة المتكررة المرئية باتجاه اليمين نحصل على :

$$Z_{K1} = \frac{1}{2}[(Z_{1s} - Z_{2s}) \pm \sqrt{(Z_{2s} - Z_{1s})^2 + 4Z_{1s}Z_{2s}}] \quad (12.6)$$

بالتشابه وباستعمال المعادلة (12.1) وتبديل الرمزین السفليين 1 و 2 ومع \bar{Z}_s و Z_s الآن كلاهما مساويان لـ \bar{Z}_{K2} نحصل على الممانعة المتكررة المرئية باتجاه اليسار :

$$Z_{K2} = \frac{1}{2}[(Z_{2s} - Z_{1s}) \pm \sqrt{(Z_{1s} - Z_{2s})^2 + 4Z_{2s}Z_{1s}}] \quad (12.7)$$

بسبب العلاقة $Z_{1s}Z_{2s} = Z_{2s}Z_{1s}$ فإن الكمية تحت الجذر هي نفسها في المعادلتين السابقتين وتوفر الاشارتان \pm ناتجين لكل ممانعة متكررة ويجب اختيار الاشارة التي تجعل المركبة المقاومة موجبة .



شكل 12.4 شبكة للمثال

شبكة متناظرة لها $Z_{1s} = Z_{2s}$ و $Z_{1s} = Z_{2s}$ فإن الممانعات الاربعة (المتكررة والصورية) تصبح متساوية .

مثال : الشكل 12.4 يبين مثالا لشبكة رباعية الاطراف بسيطة من نوع I، وقد سميت كذلك لان عناصرها ربطت لتكون I، مقلوبة وبالتعميم في الشكل نرى ان ممانعتي دائرة القصر والفتح هما $Z_{1s} = 300 - j700 = -j400$ ام و $Z_{2s} = j300$ ام و $Z_{2s} = -j700$ ام وعندما تكون النهاية 1 دائرة قصر ندمج العنصرين على

التوازي ونحصل على $Z_{20} = 525 \text{ } \Omega$ اوم وباستعمال العلاقة $Z_{10}Z_{20} = Z_{10}Z_{20}$ 16 للتحقيق ، نجد ان كلا حاصل ضرب يساوي $210,000$ اوم تربيع ومن المعادلة (12.4) نجد ممانعتي الصورة للشبكة وهما :

$$Z_{11} = \sqrt{(-j400)(j300)} = 346 \text{ اوم}$$

$$Z_{12} = \sqrt{(-j700)(j525)} = 607 \text{ اوم}$$

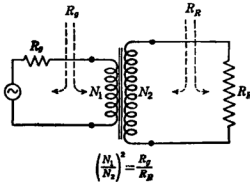
الشبكة منتية كما مبين بممانعتيها الصورية في شكل 12.4 ب وعلى كل جهة تكون الممانعات المرئية عند النظر في الاتجاهات المتعاكسة متساوية ويحصل على الممانعة المتكررة المنظورة باتجاه اليمين من المعادلة (12.6) :

$$Z_{K1} = \frac{1}{2} [(-j400 + j700) \pm \sqrt{(j300)^2 + 4(-j400)(j525)}]$$

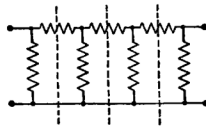
في الشكل 12.4 ج الشبكة منتية بممانعتيها المتكررة المنظورة باتجاه اليمين ، وهكذا تنتج ممانعة تساوي بالضبط ممانعة المدخل عند الاطراف في جهة اليسار وبالتشابه فان التعويض في المعادلة (12.7) يبين ان الممانعة المتكررة المنظورة باتجاه اليسار هي $Z_{K2} = 433 - 150 \text{ اوم}$.

ان توضيحاً بسيطاً ومفيداً لمفهوم الممانعة المتكررة معطى باستعمال محول عند مواعمة مقاومة الحمل الى مقاومة المصدر ، وهذا مبين في الشكل (12.5)

حيث ان المحول فرض ليكون مثالياً وله نسبة لفات $N_1/N_2 = \sqrt{R_1/R_2}$. من طرفي المدخل او المخرج تكون الممانعات المنظورة باتجاهات متعاكسة متساوية . ان المحول يعتبر شبكة رباعية الاطراف منتية على اساس صوري وبسبب ان الممانعات هي مقاومات بحتة وهذا هو ايضاً شرط انتقال اقصى قدرة . المحول المثالي يختلف عن اكثرية الشبكات الرباعية الاطراف لان ممانعتيها الصوريتين ليست كميتين ثابتتين ولكن يمكن ان تأخذ اية قيمة مادام ان لهما نسبة $Z_{11}/Z_{22} = (N_1/N_2)^2$ والمحول المثالي له ممانعتان متكررتان غير مهمتين هما لدارته المفتوحة ودائرته المقصورة .



شكل 12.5 محول مثالي مربوط على اساس ممانعة متكررة .

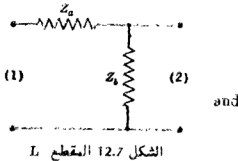


شكل 12.6 شبكة سلمية تكونت من مقطعي L ومقطعي T .

The Impedances of the L, T, and sections.

في تصميم أنظمة الطاقة، يتم استخدام نماذج مختلفة لتمثيل خطوط النقل. أحد هذه النماذج هو نموذج L، والذي يتكون من دعامتين (1) و (2) متصلة بممانعة Z_a على الدعامتين. هذا النموذج يستخدم عادةً في تصميم أنظمة الطاقة، حيث يتم ربط دعامتي الخطوط على أسس صورية.

في الشكل 12.7، يُظهر نموذج L، ويمكن أن يُستخدم هذا الشكل في تصميم أنظمة الطاقة، حيث يتم ربط دعامتي الخطوط على أسس صورية.



$$Z_{11} = Z_a + Z_b$$

$$Z_{12} = Z_a$$

$$Z_{22} = Z_b$$

and

$$Z_{12} = \frac{Z_a Z_b}{Z_a + Z_b}$$

$$Z_{11} = \sqrt{Z_a(Z_a + Z_b)} = \sqrt{Z_a Z_b} \sqrt{1 + \frac{Z_a}{Z_b}}$$

وبالتالي، فإن الممانعة Z_{11} في الشكل 12.4 (1.4.4) تعطي ممانعات الصورة:

$$Z_{12} = \frac{\sqrt{Z_a Z_b}}{\sqrt{1 + Z_a/Z_b}}$$

وبالتالي، فإن الممانعة Z_{12} في الشكل 12.7 (1.4.7) تعطي على الممانعات المتكررة لكل من الاتجاهين:

$$Z_{K1} = \frac{Z_a}{2} \left(1 \pm \sqrt{1 + \frac{4Z_b}{Z_a}} \right)$$

(12.11a)

$$Z_{K2} = \frac{Z_a}{2} \left(-1 \pm \sqrt{1 + \frac{4Z_b}{Z_a}} \right)$$

(12.11b)

والآن نفرض أنه بإمكاننا أن نستخدم نموذج L، ونربطها مؤخرًا إلى مؤخرًا في الشكل 12.8 أ. في الشكل 12.8 أ، الشبكة الناتجة بممانعتها الصورية في كلا الاتجاهين.

هاتان الممانعتان تسميان عادة بممانعتي وسط التوالي ووسط التوازي بالتعاقب .
شكل 12.9 يبين الشبكة T المتناظرة والشبكة π المتناظرة والشبكة L (نصف
المقطع) وتبين ممانعتها الصورية . ان الـ L يمكن بالطبع اعتبارها اي من
الحالتين وخاصيتها هي تحويل من ممانعة صورية لوسط التوالي الى وسط
التوازي وتستعمل عادة في تصميم المرشحات

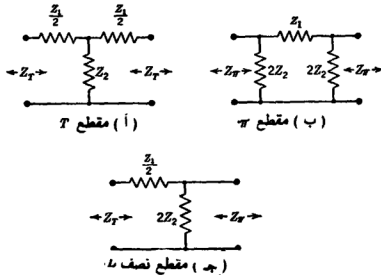
مثال :

مقطع T ، عند تردد معين له $Z_1 = j600$ اوم $Z_2 = -j350$ اوم . الممانعة
المميزة للمقطع يحصل عليها من المعادلة (12.12) وهي :

$$\begin{aligned} Z_T &= \sqrt{(j600)(-j350)} \sqrt{1 + \frac{j600}{4(-j350)}} \\ &= \sqrt{210,000} \sqrt{1 - 0.429} \\ &= 346 \text{ اوم} \end{aligned}$$

مقطع T هذا هو نفسه الذي يحصل عليه من توصيل مقطعين لـ L لهما الثوابت
المبينة في الشكل 12.4 أ والقيمة لـ Z_T التي حسبناها الآن مطابقة للممانعة
الصورية Z_{in} وقد حسبت للمقطع L و اذا جرى فرع التوازي لـ T الى جزئين
متوازيين متساويين فإن الممانعة الصورية بين النصفين المتوازيين (الممانعة
'لصورية لوسط التوازي) ستكون :

$$Z_T = \frac{\sqrt{(j600)(-j350)}}{\sqrt{1 - 0.429}} = 607 \text{ اوم}$$



شكل 12.9 مقاطع T و π و L

هذه هي الممانعة للصورية Z_{12} لـ Z_1 في الشكل 12.4 .
 1. عمل المقطع π ب $Z_1 = j600$ اوم و $Z_2 = -j350$ اوم فالممانعة المميزة لهذا
 المقطع ستكون $Z_0 = 697$ اوم والممانعة الصورية لوسط التوالي ستكون نفسها
 كتلك Z_r او 346 اوم .

12.3 ثابتا الانتقال الصوري والمتكرر :

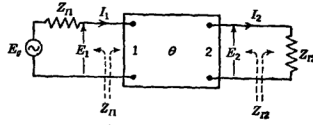
The Image and Iterative Transfer Constants.

عند دراسة خطوط النقل المنتظمة عرّفنا انتشار الطاقة على خط بدلالة ثابت
 الانتشار γ الذي قيس لكل وحدة طول ، الجزء الحقيقي رمز له ب α ويعطي
 التوهين للموجة المنتشرة والجزء الخيالي β يحدد الطور النسبي للموجة عند
 اية نقطة . ان ثابت الانتشار يدخل التحليلات بصيغة اسية ، بأخذ حالة بسيطة
 فإن خطأ منتهياً بممانعته المميزة له فولتية تتغير على الخط $E_0 e^{-\gamma x}$ ،
 حيث ان x كانت المسافة مقاسة من جانب الارسل . ان خطأ طوله وحدة طول
 ومنتهياً بممانعته المميزة تكون له نسبة $e^{-\gamma}$ بين فولتية الادخال والمخرج وان
 خطين متطابقين ذو وحدة طول مربوطين بالتعاقب وبانتهاء مناسب تكون لهما
 نسبة فولتية كلية $e^{-\gamma} = e^{-\gamma} = e^{-\gamma} = e^{-\gamma}$ لاحظ خاصية جمع الاسس لربط
 التعاقب .

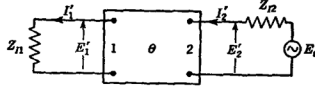
بطريقة مشابهة سوف نعرف ثابت الانتشار او كما يسمى غالباً بثابت الانتقال
 للشبكة رباعية الاطراف ويسمى هذا في بعض الاحيان بدالة الانتقال لتبيان انه
 بصورة عامة دالة للتردد .

ان اداء الشبكة يعتمد بالطبع على انتهائها وان كلاً من نظامين مضبوطين
 لانتهاء صوري او متكرر يمكن عملهما كاساس لتعريف ثابت الانتقال وان
 الاشتقاق من الحالة المثالية المعينة يمكن التعبير عنها بدلالة الانعكاسات . اولا
 سنناقش ثابت الانتقال على اساس النوع المهم وهو الانتهاء الصوري ، ثم سنناقش
 نوعاً آخرأ يرتكز على الربط المتكرر .

الشكل 12.10 أ يبين شبكة تنتهي بممانعتها الصورية وترسل قدرة من النهاية
 1 الى النهاية 2 .



(أ) الارسل باتجاه اليمين



(ب) الارسل باتجاه اليسار

شكل 12.10 شبكة منتهية بممانتيها الصورية

بما ان مستوى الممانعة يمكن ان يختلف عند النهايتين فأن اكثر الاسس فائدة لتعريف ثابت الانتقال هو ليس الفولتية او التيار على حدة ولكن على اسس الفولت - امبير ، ان ثابت انتقال الصورة (Image Transfer Constant)

سيعرف كالآتي :

$$\epsilon' = \sqrt{\frac{E_1 I_1}{E_2 I_2}}$$

حيث ان الفولتيات E 's والتيارات I 's هي المحصلة عند استعمال الانتهاء الصوري . وبما ان $E_1 = I_1 Z_{11}$ و $E_2 = I_2 Z_{22}$ فالمعادلة (12.14) يمكن

كتابتها كالآتي :

$$\epsilon' = \frac{I_1}{I_2} \sqrt{\frac{Z_{11}}{Z_{22}}} = \frac{E_1}{E_2} \sqrt{\frac{Z_{11}}{Z_{22}}} \quad (12.15)$$

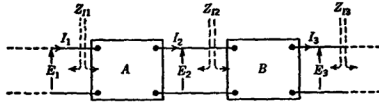
لاي شبكة متناظرة حيث ان $Z_{11} = Z_{22}$ فالمعادلة (12.15) تتقلص الى نسبة فولتية او تيار . ان تعريفنا عند تطبيقه على خط نقل منتظم هو التعريف نفسه لثابت الانتشار على الخط ماعدا اننا عرفنا θ ، هنا على اساس لكل شبكة بدلاً من لكل وحدة طول والمعادلات السابقة يمكن حلها لـ θ معطية :

$$\theta = \log_e \sqrt{\frac{E_1 I_1}{E_2 I_2}} = \log_e \frac{I_1}{I_2} \sqrt{\frac{Z_{11}}{Z_{22}}} \quad (12.16)$$

بصورة عامة ثابت الانتقال الصوري يكون عددا مركباً :

$$\theta = \alpha + j\beta \quad (12.17)$$

حيث ان α هو ثابت التوهين الصوري للشبكة بالنيبر و β هي ثابت الطور الصوري من الزوايا نصف القطرية .



شكل 12.11 مقاطع مربوطة على التعاقب على اساس صوري .

انه ليس من الصعب البرهان بواسطة نظرية التبادل على ان ثابت الانتقال الصوري يطبق على نقل القدرة في كلا الاتجاهين ولعمل هذا نعتبر الاتجاهين لخط النقل المبيينين في شكل 12.10 أ و ب وبمقارنة النسبة $E_1 I_1 / E_2 I_2$ للنقل باتجاه اليمين مع النسبة $E_2' I_2' / E_1' I_1'$ للنقل نحو اليسار ومن الشكل 12.10 أ عندنا $E_2 = I_2 Z_{11}$ و $E_1 = I_1 / 2Z_{11}$ وعليه :

$$\frac{E_1 I_1}{E_2 I_2} = \frac{E_1^2}{4 Z_{11} Z_{11} I_2^2}$$

وبازاحة المولد الى جهة اليمين كما في الشكل 12.10 ب عندنا $E_1' = E_2 / 2Z_{11}$ و $E_2' = E_2 / 2$ وعليه للنقل في هذا الاتجاه عندنا النسبة :

$$\frac{E_2' I_2'}{E_1' I_1'} = \frac{E_2^2}{4 Z_{11} Z_{11} (I_1')^2}$$

ولكن من نظرية التبادل فالتيار I_2 في شكل 12.10 أ يساوي التيار I_1' في شكل 12.10 ب وهكذا فإن نسبتي القوت امبير متساويتان .

التعريف الاسمي لـ θ يجهز خاصية اضافية لثوابت الانتقال للشبكات المربوطة على التعاقب على الاساس الصوري وفي الشكل 12.11 ثابت الانتقال الصوري للشبكة A يعرف بـ :

$$\theta_A = \sqrt{\frac{E_1 I_1}{E_2 I_2}}$$

وللشبكة B, يعرف بـ :

$$\theta_B = \sqrt{\frac{E_2 I_2}{E_1 I_1}}$$

حاصل ضرب $\theta_A \cdot \theta_B$ هو :

$$\theta_A \theta_B = \sqrt{\frac{E_1 I_1}{E_2 I_2}}$$

وهو التعريف المضبوط المطلوب لثابت الانتقال الكلي للشبكتين A و B مربوطين على التعاقب وطالما ان الربط حفظ كلياً على الاساس الصوري فان ثابت الانتقال الصوري لمجموعة من شبكات النقل على التعاقب هو مجموع انتقالها بصورة فردية :

$$\theta = \theta_A + \theta_B + \theta_C + \dots \quad (12.18)$$

وفصل هذا ان نفس حثيفي + ... ياتي كما مؤشر في (12.17) ويمكن ملاحظه ان ثابت التوهين الكلي هو مجموع ثوابت التوهين السفردة وكذلك لثوابت الطور :

$$\left. \begin{aligned} \alpha &= \alpha_A + \alpha_B + \alpha_C + \dots \\ \beta &= \beta_A + \beta_B + \beta_C + \dots \end{aligned} \right\} \quad (12.19)$$

كما ويمكن التعبير عن ثابت الانتقال الصوري ببساطة اكثر بدلالة الممانعة المفتوحة والممانعة المقصورة ، ويعمل هذا بملائمة اكثر بحساب مربع المعادلة (12.15) . ان نسبة التيار الخارج الى التيار الداخل اعطيت (11.17) لشبكة منتهية بممانعة Z_R في جانب الاستلام وباستعمال $Z_R = Z_{12}$ لالنتهاء الصوري ، فان مربع هذه النسبة يصبح :

$$\left(\frac{I_2}{I_1} \right)^2 = \frac{Z_{10}(Z_{20} - Z_{22})}{(Z_{20} + Z_{12})^2}$$

في داخل الاقواس في المعادلة (12.15) نعوض هذه النسبة والعلاقات $Z_{12} = \sqrt{Z_{10}Z_{20}}$ و $Z_{11} = \sqrt{Z_{10}Z_{20}}$ ونحصل على :

$$\epsilon^{20} = \frac{(1 + \sqrt{Z_{20}/Z_{10}})^2}{1 - Z_{22}/Z_{20}} \sqrt{\frac{Z_{20}Z_{10}}{Z_{10}Z_{20}}}$$

الآن نستعمل المتطابقة $Z_{12}Z_{22} = Z_{20}Z_{10}$ ونجد ان الكمية تحت الجذر هي واحد ، وكذلك نلاحظ ان المقام (1 - Z_{22}/Z_{20}) يمكن فكه الى :

$$\left(1 - \sqrt{\frac{Z_{22}}{Z_{20}}} \right) \left(1 + \sqrt{\frac{Z_{22}}{Z_{20}}} \right)$$

والعامل الثاني في البسط يمكن حذفه ولهذا فان النتيجة تبسط الى :

$$\epsilon^{20} = \frac{1 + \sqrt{Z_{20}/Z_{10}}}{1 - \sqrt{Z_{22}/Z_{20}}} = \frac{1 + \sqrt{Z_{11}/Z_{10}}}{1 - \sqrt{Z_{11}/Z_{10}}} \quad (12.20)$$

هذا يعبر عن ثابت الانتقال الصوري بدلالة الممانعة المفتوحة والمقصورة في كلتا النهايتين ، وعلى الرغم من ان النتيجة مفيدة كما فان تعبيراً اكثر اختصاراً يمكن وجدانه بالحل $\sqrt{Z_{12}/Z_{10}}$ والنتيجة تكون :

$$\begin{aligned} \sqrt{\frac{Z_{12}}{Z_{10}}} &= \frac{\epsilon^{20} - 1}{\epsilon^{20} + 1} \\ &= \frac{\epsilon^{\theta} - \epsilon^{-\theta}}{\epsilon^{\theta} + \epsilon^{-\theta}} \end{aligned}$$

التعبير الاخير يمكن التعرف عليه كظل زائد القطع وهكذا يكون لدينا :

$$\theta = \sqrt{\frac{Z_{12}}{Z_{10}}} = \sqrt{\frac{Z_{22}}{Z_{20}}} \quad (12.21)$$

ان تعبيراً مطابقاً اشتق سابقاً لخط النقل .

ان الاساس المتكرر للربط الموضح في الشكل 12.3 يمكن استعماله ايضاً لتعريف ثابت الانتقال لشبكة . ان الربط المتكرر ينتج عنه الممانعة نفسها منظورة

باتجاه اليمين عند كل الاطراف وهكذا فان التعريف لثابت الانتقال المتكرر مقارن مع المعادلة (12.15) وهو :

$$e^* = \frac{E_1}{E_2} = \frac{I_1}{I_2} \quad (12.22)$$

حيث ان P هي ثابت الانتقال المتكرر للنقل الى اليمين وان ال E^*_{18} وال I^*_{18} هي المحصلة بواسطة التوصيل المتكرر ويمكن استعمال نظرية التراكب لاثبات ان ثابت الانتقال المتكرر هو نفسه لكلا اتجاهي النقل خلال الشبكة ، وبسبب تعريفه الاسي فان ثابت الانتقال الكلي لسلسلة من الشبكات يساوي مجموع ثوابت الانتقال المتكررة المنفردة . ولشبكة متناظرة فان الممانعة المتكررة والصورية متطابقة وثابت الانتقال هو نفسه لكلا الاساسين .

مثال :

ثوابت الانتقال الصوري المتكرر : ان الممانعات الصورية والمتكررة لشبكة L المفاعلة وجدت في مثال الجزء 12.1 والنتائج في الشكل 12.4 وسوف نجد الثوابت الصورية والمتكررة لهذه الشبكة . ان ممانعات الدائرة المفتوحة والمقصرة للشبكة كما تقاس من النهاية 1 هي $Z_{1o} = j400 \Omega$ و $Z_{1s} = j300 \Omega$ اوم ولثابت انتقال الصورة نستعمل المعادلة (12.20) :

$$e^* = \frac{1 + \sqrt{Z_{1s}/Z_{1o}}}{1 - \sqrt{Z_{1s}/Z_{1o}}} = \frac{1 + j0.866}{1 - j0.866} = 1.00/82.0^\circ$$

وبما ان $\frac{E_1}{E_2} = e^* = 1.00$ ولدينا $2\theta = 82.0^\circ$ فان $\alpha = 0$ و $\beta = 41.0^\circ$ وتساوي 0.715 من الزوايا نصف القطرية . ان ثابت الانتقال الصوري هو 0.715 و $\theta = j\beta$ ولتوضيح معنى ثابت الانتقال الصوري ارجع الى الشكل 12.4 ب وافرض ان النهاية 2 منتهية بحمل صوري وهو 607 اوم وان النهاية 1 جهزت من مولد له مقاومة داخلية تساوي ممانعة الصورة عند تلك النهاية (346 اوم) وبناء على تعريف الفولت - امبير ل e^* المعطى بالمعادلة (12.14) يكون لدينا :

$$\frac{E_1 I_1}{E_2 I_2} = e^* = 1/82.0^\circ$$

ان الفولت امبير الخارج يساوي بالاتساع الفولت - امبير الداخل وباستعمال المعادلة (12.15) يكون لدينا لنسبة التيار :

$$\frac{I_1}{I_2} = e^* \sqrt{\frac{Z_n}{Z_n}} = (1.00/41.0^\circ) \sqrt{\frac{607}{346}} = 1.325/41.0^\circ$$

وهكذا فإن تيار المخرج هو اصغر من تيار المدخل بالعامل : $1.325 / 1$ ويتخلف بزواية 41° وبالتشابه يمكن استعمال المعادلة (12.15) لتبيان ان فولتية المخرج اكبر من فولتية المدخل بالعامل 1.325 وتختلف بزواية 41° .

ولثابت الانتقال المتكرر للشبكة فرجع الى الشكل 12.4 جـ ثم باستعمال نظرية الدائرة البسيطة لنسبة التيار يكون لدينا ،

$$m = \frac{I_1}{I_2} = \frac{433 + j150 - j700}{-j700} = 1.00 / 38.2^\circ$$

بالانتهاء المتكرر فإن تيار المخرج له اتساع تيار المدخل نفسه ولكنه مزاح باتجاه التخلف بـ 38.2° . ان ثابت التوهين المتكرر هو صفر وازاحة الطور المتكررة هي 38.2° .

12.4 ثوابت الانتقال وقوانين التصميم لشبكات L و T

Transfer Constants and Design Formulas for the L, T, and

و π :

بسبب الضرورة العملية للمقطع L، ولشبكات T و π المتناظرة سوف نشترك صيفاً مفصلة لثوابت الانتقال شبيهة بتلك الصيغ للممانعات الصورية والمتكررة المشتقة في الجزء 12.2 وسوف يعبر عنها بدلالة ممانعات الفروع المنفردة وعادة و لاغراض التصميم من الملائم ان نعبر عن النتائج بطريقة عكسية اي بالحل لممانعة كل فرع بدلالة ثابت الانتقال والممانعات الصورية والمتكررة وهذه الصيغ للتصميم سوف تشتق في هذا الجزء .

شبكة L - انتهاء صوري :

سوف نستعمل رموز الشكل 12.7 حيث ان فرع التوالي رمز له بـ Z_o وفروع التوازي بـ Z_s . من النهاية 1 لذا فان ممانعتي الدائرة المفتوحة والمقصرة للدائرة هما بالتعاقب :

$Z_{1o} = Z_o$ و $Z_{1s} = Z_o + Z_s$ وباستعمال المعادلة (12.20) نحصل حالاً على ثابت الانتقال الصوري :

$$\epsilon^{2\theta} = \frac{\sqrt{1 + Z_s/Z_o} + 1}{\sqrt{1 + Z_s/Z_o} - 1}$$

وبشكل آخر يمكن الحصول عليه من المعادلة (12.21) :

$$\tanh \theta = \sqrt{\frac{Z_s}{Z_o + Z_s}} = \sqrt{\frac{Z_o/Z_s}{1 + Z_o/Z_s}}$$

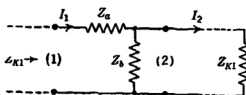
عند التصميم لشبكة L فإن القيم المرغوبة لممانعات الصورة تكون معلومة عادة ويطلب وجدان قيم العناصر Z_a و Z_b وبالرجوع الى الصيغ للممانعات الصورية لشبكة L « المعادلات (12.9) و (12.10) » نرى بأن :

$$\left. \begin{aligned} Z_a &= Z_{R1} \tanh \theta \\ Z_b &= \frac{Z_{R1}}{\tanh \theta} \\ \tanh^2 \theta &= 1 - \frac{Z_{R1}}{Z_{R2}} \end{aligned} \right\}$$

وهكذا

اثنتان من الكميات Z_{R1} و Z_{R2} و θ يمكن تحديدها وبهاتين الكميتين نجد الكمية الثالثة وقيم للعناصر :

شبكة L - انتهاء متكرر : شكل 12.12 يبين مقطع L منتهياً بممانعته المتكررة Z_{R1} . تيار المدخل ينقسم عكسياً بالنسبة للممانعات الى وهكذا فإن :



شكل 12.12 شبكة L منتهية بممانعتها المتكررة

$$\epsilon^{\theta} = \frac{I_1}{I_2} = \frac{Z_b + Z_{R1}}{Z_b} \quad (12.26)$$

حيث ان ϵ^{θ} هو ثابت الانتقال المتكرر للمقطع وبالحل لـ Z_b نحصل على :

$$Z_b = \frac{Z_{R1}}{\epsilon^{\theta} - 1} \quad (12.27)$$

إذا عوضت هذه في الصيغة لـ Z_{R1} المعطاة بالمعادلة (12.11) وحلت النتيجة

لـ Z_a نحصل على :

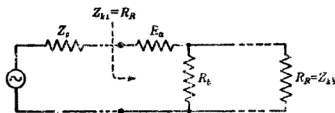
$$Z_a = Z_{R1}(1 - \epsilon^{-\theta}) \quad (12.28)$$

المعادلتان السابقتان يمكن استعمالهما لوجدان القيم للعناصر عندما تكون الممانعة المتكررة وثابت الانتقال معلومين وإذا عكس المقطع ، فإن القدرة تسري من النهاية 2 الى 1 ، والصيغ الآتية يمكن اشتقاقها من العناصر :

$$\left. \begin{aligned} Z_a &= Z_{R1}(\epsilon^{\theta} - 1) \\ Z_b &= \frac{Z_{R1}}{1 - \epsilon^{-\theta}} \end{aligned} \right\} \quad (12.29)$$

حيث ان Z_{R1} هي ممانعة الحمل المنهية للنهاية 1 .

$$\left. \begin{aligned} Z_1 &= \frac{Z_r(\epsilon^2 - 1)}{2\epsilon^2} \\ Z_2 &= \frac{Z_r(\epsilon^2 + 1)}{2(\epsilon^2 - 1)} \end{aligned} \right\} \quad (12.36)$$



شكل 12.13 . موهن نوع L .

12.5. الموهنات : Attenuators.

الموهن هو شبكة مقاومة رباعية الاطراف صممت لتجهيز كمية معينة من التوهين بين أطراف مخرجها ومدخلها بحيث تبقى مستوى الممانعة عند قيمة معينة ، بعض الموهنات ثابتة واخرى قابلة للضبط وان الأكثر استعمالاً وهو الـ T و L المتناظرة والسلمية⁽¹⁾ ان الموهن نوع L يشغل على الاساس المتكرر ، والنوع الشائع هو المبين في الشكل 12.13 وهنا مقاومة جانب الاستلام R_b جعلت مساوية للممانعة المتكررة Z_{11} وهكذا فإن المولد يشغل في ممانعة بهذه القيمة بغض النظر عن التوهين ولكن في موهن من هذا النوع الممانعة المراثية تتغير مع التوهين . ان صيغ التصميم للاشتغال المتكرر حصلت من المعادلات (12.27) و (12.28) وهي :

$$\left. \begin{aligned} R_a &= R_b(1 - \epsilon^2) \\ R_b &= \frac{R_a}{\epsilon^2 - 1} \end{aligned} \right\} \quad (12.37)$$

حيث ان P هو التوهين بالنيبر و ϵ هو نسبة تيار (او فولتية) الدخل الى المخرج للموهن ، ان التوهين يمكن ان يغير بتبديل R_b و R_a أنياً وهناك طريقة اخرى توفر تغييراً بخطوات محددة يتم بترتيب عدد من المقاطع بحيث ان يمكن ربط اي عدد منها على التعاقب بين المولد والحمل .

(1) للمعلومات لتصميم هذه الانواع وانواع اخرى من الموهنات لاحظ ،

P.K. Mc Elroy, «Designing Resistive Attenuating Networks,» Proc. IRE, vol. 23, pp. 213-233, March, 1935.

هذه الورقة ايضاً تناقش موهن مقنطرة T وموهنات T و غير المتناظرة لاشتغال بين ممانعات غير متساوية .

هناك تغييرات أخرى للموهن I_L ممكنة وكمثال فإن I_L يمكن أن يشتغل في الاتجاه المعاكس بحيث أن الحمل يجعل مساوياً إلى الممانعة المتكررة الأخرى Z_{X2} ، وكذلك فإذا أريد للمقاومة المرئية من الحمل أن تبقى ثابتة فإن شبكة الشكل 12.13 يمكن أن تصمم بحيث أن Z_{X2} توائم ممانعة المولد، وبعد ذلك فإن الحمل يشاهد الممانعة Z_{X2} ولكن الممانعة المرئية من قبل المولد الآن ستتغير مع التردد، إضافة إلى أن الكمية Z_{X2} لا تساوي نسبة تيار المدخل إلى المخرج.

مثال :

صمم موهناً من نوع I_L ، كما مبين في الشكل 12.13 ليشتغل في مقاومة 500 أوم ويجهز توهين 15 ديسيبل. ثابت التوهين المتكرر بالنيبرات هو $P = 15 / 8.68 = 1.727$ وكذلك فإن نسبة تيار المدخل إلى المخرج المطلوبة هي $e = 5.624$ ومن ثم باستعمال المعادلات (12.37) نحسب :

$$R_o = 500 \left(1 - \frac{1}{5.624} \right) = 411 \text{ أوم}$$

و

$$R_b = \frac{500}{5.624 - 1} = 108 \text{ أوم}$$

أن ممانعة مدخل الموهن ستكون 500 أوم بسبب الانتهاء المتكرر على اليمين وتعتد الممانعة المشاهدة من قبل الحمل على ممانعة المولد.

أن شبكة I_L لها عنصران فقط ولهذا فإنها تعاني من عيب اختيار خاصيتين فقط بصورة مستقلة، وبصورة عامة هاتان الخاصيتان هما : ممانعة المدخل والتوهين تاركة الممانعة المشاهدة من قبل الحمل لتكون على ما تكون عليه.

من جهة أخرى فإن شبكة T المتناظرة يمكن استعمالها لتجهيز ممانعة مدخل بحيث تساوي ممانعة المخرج، أن تناظر هذه الشبكة يجعل الاشتغال الصوري هو الاشتغال المتكرر نفسه ولتصميم الموهن T المتناظر المبين في الشكل 12.14 نستعمل المعادلات (12.34) و (12.35) وب $Z_T = R$ وعليه :

$$\left. \begin{aligned} \frac{R_1}{2} &= R \left(\frac{e' - 1}{e' + 1} \right) \\ R_2 &= \frac{2Re'}{e' - 1} \end{aligned} \right\} \quad (12.38)$$

حيث أن e' هي ثابت التوهين الصوري (والمتكرر) بالنيبرات و e' هي نسبة تيار المدخل إلى المخرج وكما في الموهن نوع I_L ، فإن T المتناظرة يمكن ترتيبها بمقاومات قابلة للتغير لتجهيز توهين متغير، أو تربط عدة مقاطع ثابتة على

التعاقب لتجهيز توهين خطوي (Steps of Attenuation) . المقطع .π. يمكن جعله أيضاً أساساً لموهن ولكن الـ T تكون عادةً مفضلة بسبب إمكانية تغيير العناصر بخطوات بواسطة مفاتيح وكل اذرع المفاتيح يمكن ربطها الى نقطة كهربائية مشتركة . ان موهناً من نوع سلمي يعمل من مقاطع متناظرة مربوطة على التعاقب وينهى الحمل احدى النهايتين بممانعته المميزة والنهاية الاخرى تنتهي بمقاومة موازنة تساوي ايضاً الممانعة المميزة .

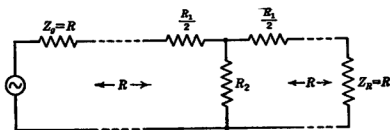


Fig. شكل 12.14 موهن "T" المتناظر

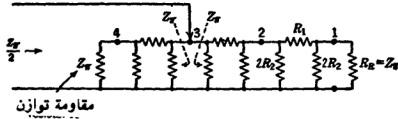
وكمثال :

استعمال ثلاث مقاطع π، مبين في شكل 12.15 أ ، المصدر مربوط الى احدى النقاط المرقمة (اعتماداً على التوهين المطلوب) وعند كل نقطة من هذه النقاط (مثال عند النقطة المرقمة 3) الممانعة المرئية من كلا الاتجاهين على السلسلة تساوي Z_0 . لهما الماران هما على التوازي كما يشاهدان من المصدر ومن ثم فإن ممانعة المدخل تساوي $Z_0/2$. عند اي موضع . في التركيب الحقيقي تجمع العناصر المتوازية لتصبح عنصراً واحداً كما مبين في الشكل 12.15 ب والموهن السلمي يمكن ايضاً ان يعتمد على المقطع T ولكن يحتاج الى عناصر اكثر بعد التجميع . ان صيغ التصميم الملائمة لكل مقطع يحصل عليها من المعادلة (12.36) باستعمال $Z_0 = R_0$ ثم :

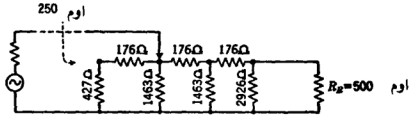
$$\left. \begin{aligned} R_1 &= R_0 \left(\frac{e^{2\theta} - 1}{2e^{\theta}} \right) \\ 2R_2 &= R_0 \left(\frac{e^{\theta} + 1}{e^{\theta} - 1} \right) \end{aligned} \right\} \quad (12.39)$$

حيث ان θ هي ثابت التوهين لكل مقطع من الشبكة وبسبب ان تيار المدخل ينقسم الى جزئين متساويين حيث يسري احد التيارين يذهب الى اليسار والآخر الى اليمين فان نسبة تيار المدخل الى المخرج هي : $2e^{N\theta}$.

(12.40)



(a)



(b)

شكل 12.15 موهن سلمي .

حيث ان N هو عدد المقاطع الموجودة بين الحمل والمولد ، والنسبة لتيارات المخرج عند موقعين متتاليين هي e^{π} .

يبين الشكل 12.15 مثلاً عددياً لموهن سلمي صمم لحمل مقاومته 500 اوم لتوهين مقداره 3 ديسبل لكل خطوة ، صيغ التصميم تعطي $R_{11} = 176$ اوم و $2R_2 = 2,926$. جمعت العناصر المتوازية المتجاورة والمقاومة 427 اوم على اليسار هي مجموع التوازي للمقاومة الموازنة 500 اوم وانفرع الموازي المجاور 2,926 اوم

12.6 . شبكات مواءمة الممانعة : Impedance-matching Networks.

المحول ذو اللب المتعدد هو واسط مألوفة لمواءمة ممانعات الترددات العالية فإن المحول ذي اللب الهوائي يمكن ان يستعمل ويؤلف عادة الى الرنين وهكذا يصبح مناسباً فقط عند حزمة ضيقة من الترددات ، طريقة اخرى للمواءمة عند هذا المدى من التردد تتم باستعمال شبكة رباعية الاطراف تتكون من عناصر مفاعلة لتجنب التبديد بالطاقة ويمكن ان تصمم الشبكة على اسس صورية لتوائم مقاومة المصدر الى مقاومة الحمل وبما ان الممانعات المفاعلة في الشبكات تكون صحيحة عند تردد واحد فإن هذا النوع من الشبكات يكون ملائماً للتشغيل عند حزمة ضيقة معقولة .

ان ابسط شبكة مؤاممة الممانعة تحتوي على تركيب L المفاعل ، وبعنصرها يمكن ان توائم اي مقاومة واحدة الى اخرى ولكن ازاحة الطور يجب ان يسلم بما ستكون عليه . ان شبكة T غير المتناظرة او شبكة π غير المتناظرة وبثلاثة عناصر يمكن اختيارها لتجهيز اية ازاحة طور مرغوبة بين المدخل والمخرج بالاضافة الى مواممة المقاومتين . ان T' و π غير المتناظرتين سوف لانشرجهما هنا ولكن يمكن ايجادها في الشرح (١) .

ان شبكة نوع L لموamمة الممانعة مبينة في الشكل 12.16 والمقاومة المربوطة للنهاية 2 يجب ان تكون اكبر من تلك التي تربط عند النهاية 1 ، ولكن هذا بالطبع هو ليس تحديداً حقيقياً حيث ان كلاً من النهايتين يمكن ان تربطا الى المولد واذا كانت ممانعة المولد اعلى من ممانعة الحمل فأن الحمل يربط في النهاية 1 والمولد يربط للنهاية 2 .

نحصل على الصيغ الملائمة للتصميم من المعادلات (12.25) للاشتغال الصوري لشبكة L وثابت توهين مقداره صفر يكون لدينا :

$$\tanh \theta = \tanh j\beta = j \tan \beta$$

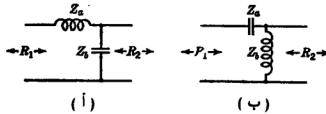
ثم من آخر معادلة من المعادلات (12.25) :

$$j \tan \beta = \pm \sqrt{1 - \frac{R_2}{R_1}}$$

$$\tan \beta = \pm \sqrt{\frac{R_2}{R_1} - 1}$$

(12.41)

حيث ان β هي ازاحة الطور بين المدخل والمخرج (موجب اذا كان المخرج يتخلف عن المدخل) . ثم تصبح المعادلات (12.15) :



شكل 12.16 هيئة بديلة لشبكة مؤاممة ممانعة نوع L .

(١) صيغ وخرائط لتصميم T و π غير المتناظرة يمكن ايجادها في :

F. E. Terman, "Radio Engineers' Handbook," PP. 210-215, McGraw-Hill Book Company, Inc., New York, 1943.

$$\left. \begin{aligned} Z_o &= \pm jR_1 \sqrt{\frac{R_2}{R_1} - 1} \\ Z_o &= \frac{\mp jR_2}{\sqrt{R_2/R_1} - 1} \end{aligned} \right\} \quad (12.42)$$

الاشارات يجب ان تختار معكوسة وكمثال Z_o و Z_i يجب ان تكونا مفاعلتين بسوءين متعاكسين . دائرة الشكل 12.16 أ تفضل عادة بسبب ان محاثه التوالي ومتسعة التوازي تساعدان على منم مرور التوافقيات غير المرغوبة واذا كانت الممانعات التي يراد مواعمتها ليست مقاومات بحتة ، فان مركباتها المفاعلة يجب ان نحذف اولاً بربط عناصر مفاعلة ملائمة والممانعات المقاومية الباقية يمكن ان توائم بشبكة L .

مثال :

صمم شبكة نوع L للمواصلة بين مقاومة 500 اوم و 100 اوم (اي منها يمكن ان تكون الحمل والاخرى هي المولد) .

اي كان العمل الذي تقوم بها هذه الشبكة فان المقاومة الاعلى يجب ان تربط في النهاية 2 في الشكل 12.16 ، نستعمل المعادلات (12.42) ونجد ان :

$$Z_o = \pm j100\sqrt{5-1} = \pm j200 \text{ اوم}$$

$$Z_o = \frac{\mp j500}{\sqrt{5-1}} = \mp j250 \text{ اوم}$$

من المعادلة (12.41) :

$$\tan \beta = \pm \sqrt{5-1} = \pm 2$$

$$\beta = \pm 63.4^\circ$$

وهكذا بإمكاننا ان نستعمل 200 $Z_o =$ اوم و 250 $Z_o = -$ اوم وفي هذه الحالة سيتأخر المخرج عن المدخل بـ 63.4 ، او نقدر ان نستعمل 200 $Z_o =$ اوم و 250 $Z_o =$ اوم والمخرج يسبق المدخل بـ 63.4 وان ثابت التوهين الصوري هو صفر وهكذا فان $\theta = 0$ و $1.00/\pm 63.4^\circ = e^{j\theta}$

ان نسبة اتساع الفولت - امبير للشبكة هي واحد لاشتغال صوري وقدرة المخرج تساوي قدرة المدخل .

مسائل

1. شبكة رباعية الاطراف لها الممانعات الطرفية الآتية حين تكون النهاية 2 دائرة مفتوحة ، الممانعة عند النهاية 1 هي $0 + j600$ اوم حينما تكون النهاية 2 دائرة مقصورة تكون الممانعة عند النهاية 1 هي $0 + j466.7$ اوم بالنهاية 1 دائرة مفتوحة . الممانعة عند النهاية 2 هي $0 + j300$ اوم . حينما كانت النهاية 1 دائرة مقصورة الممانعة عند النهاية 2 هي $0 + j233.3$ اوم .
 أ . جد الممانعتين الصورييتين للشبكة .
 ب . جد الممانعتين المتكررتين في كلا الاتجاهين .
2. شبكة L (شاهد الشكل 12.7) لها $Z_o = -j500$ اوم و $Z_0 = j1,000$ اوم .
 جد الممانعة الصورية والممانعة المتكررة للشبكة
3. شبكة T (شاهد الشكل 12.9) لها $Z_1 = j\omega L$ و $Z_2 = -j/\omega C$
 أ . اكتب معادلة Z_T كدالة للتردد .
 ب . ل $L = 0.100$ هنري و $C = 2.0 \times 10^{-6}$ فراد ، ارسم مخططاً للمركبة المقاومة والمركبة المفاعلة لـ Z_T على مدى التردد $0 < f < 1500$ هرتز .
4. استعمل معلومات المسألة 3 لشبكة π جد وارسم مخططاً لـ Z_T
5. شبكة L (شاهد شكل 12.7) لها $0 + j707 = Z_o = Z_0$ اوم
 أ . احسب الممانعتين الصورية للشبكة .
 ب . جد ثابت الانتقال الصوري .
 جـ . انييت الشبكة عند النهاية 2 بـ $Z_R = Z_{R1}$ وعند النهاية 1 سيقث بمولد له $E_s = 10$ فولت جـ . م . ت و $Z_{R1} = Z_{R2}$. احسب القيمة الناتجة لـ E_1 و I_1 و E_2 و I_2 ، احسب نسبة فولتية تيار المدخل الى المخرج وحقق بواسطة الكمية "م"
6. أ . احسب الممانعة المتكررة Z_{R1} للشبكة في المسألة 5 .
 ب . اذا كانت $Z_R = Z_o = Z_{R1} = 10 \angle 0^\circ$ فولت ، احسب E_1 و I_1 و E_2 و I_2 .
 جـ . احسب ثابت الانتقال المتكرر P

7. شبكة رباعية الاطراف لها ممانعتا الدائرة المفتوحة والمقصرة الآتية :
 $Z_{11} = -j400 \Omega$ ، $Z_{12} = j267 \Omega$ ، $Z_{21} = j600 \Omega$ و $Z_{22} = j400 \Omega$.
 أ . حقق فيما اذا كانت المعلومات صحيحة .

ب . احسب الممانعتين الصورية وثابت الانتقال الصوري .
 ج . انهيت الشبكة عند النهاية 2 بـ $Z_E = Z_N$ ، سيقت عند النهاية 1 بمولد له $E_g = 10$ فولت ج . م . ت و $Z_N = Z_g$. احسب E_1 و I_1 واحسب E_2 و I_2 من م . م .

8. شبكة L (شاهد الشكل 12.7) لها $Z_g = j500 \Omega$ و $Z_E = -j1,000 \Omega$.
 أ . احسب الممانعتين الصورية وثابت الانتقال الصوري .
 ب . انهيت الشبكة عند النهاية 2 بـ $Z_E = Z_N$. سيقت بمولد له $E_g = 20$ فولت ج . م . ت و $Z_N = Z_g$.
 احسب E_1 و I_1 واحسب E_2 و I_2 من م . م .

9. برهن على ان ثابت الانتقال المتكرر P هو نفسه لكلا اتجاهي النقل خلال الشبكة .

10. برهن على ان العلاقات الآتية تنطبق على شبكة رباعية الاطراف
 $Z_{12} = Z_{21} \tanh \theta$ و $Z_{22} = Z_N / \tanh \theta$ و $Z_{11} = Z_N \tanh \theta$ ومن ثم برهن انه اذا
 انهيت الشبكة بممانعة نهاية الاستلام Z_E فإن ممانعة نهاية الارسال معطاة بـ :
 $Z_g = Z_N \frac{Z_E + Z_N \tanh \theta}{Z_N + Z_E \tanh \theta}$
 قارن هذا التعبير مع المعادلة (4.42) التي تعطي الممانعة لخط نقل منتظم .
 كذلك قارن التعبير اعلاه لممانعتي الدائرة المفتوحة والمقصرة مع منازيرتها
 لخط نقل .

11. استعمل نتائج المسألة 10 للبرهان على انه اذا كان $\alpha > 1$ فإن ممانعة نهاية
 الارسال للشبكة مساوية تقريباً لـ Z_N بغض النظر عن قيمة Z_E .

12. شبكة L (شاهد الشكل 12.7) لها $Z_N = 500 \Omega$ و $Z_E = 100 \Omega$.
 احسب Z_g و Z_E كلاهما مقاومة (. جد القيم للعناصر Z_g و Z_E وكذلك احسب ثابت
 الانتقال الصوري .

13. اعد المسألة 12 ، باستعمال $Z_{T1} = 100$ اوم و $Z_{T2} = 500$ اوم (كلاهما مقاومة) .

14. شبكة متناظرة (\hat{T} او π ، شاهد الشكل 12.9) لها $Z_1 = 400 + j0$ اوم و $Z_2 = 500 + j0$ اوم . احسب Z_T و Z وثابت الانتقال الصوري .

15. موهن نوع L (شاهد الشكل 12.13) يراد تصميمه ليشتغل على اساس التكرار بحمل مقاومي مقداره 500 اوم . تكون نسبة تيار المدخل الى المخرج 1 : 10 . جد القيم لعناصر الموهن .

16. اعد المسألة 15 ولكن بـ L معكوسة من الموضع المبين في الشكل 12.13 .

17. موهن نوع L كال المبين في الشكل 12.13 ، يشتغل بحمل مقاومي مقداره 70 اوم . ممانعة المدخل للموهن 70 اوم ايضاً ، جد قيم عناصر الموهن لتوهين مقداره : (أ) 3 db ، (ب) 6 db و (ج) 9 db . اذا كانت ممانعة المولد 70 اوم ، جد الممانعة المشاهدة من الحمل عندما يكون التوهين 3 ديسبل كذلك عندما يكون التوهين 9 ديسبل .

18. موهن T متناظر يراد تشغيله بحمل مقاومي مقداره 650 اوم . جد القيمة الملائمة لعناصر الموهن لتوهين مقداره (أ) 3 ديسبل ، (ب) 6 ديسبل ، (ج) 9 ديسبل . اذا كانت ممانعة المولد 650 اوم ، ماهي الممانعة المشاهدة من قبل الحمل .

19. صمم موهناً سليماً له اربع خطوات كل منها 3 ديسبل ، الحمل مقاومة مقدارها 70 اوم . ارسم مخطط للموهن وبين قيم العناصر عليه .

20. شبكة مواءمة ممانعة نوع L يراد ان تشتغل بحمل مقاومي مقداره 700 اوم . المقاومة الداخلية للمولد 5,000 اوم والتردد 1 ميكا هرتز . ارسم مخطط الدائرة واعط قيم العناصر بالهنري والميكروفراد :
أ . لدائرة تساعد على ازالة توافقيات الاشارة التي ترددها 1 ميكا هرتز .
ب . لدائرة تساعد على ازالة اشارة دخيلة (Interfering) ترددها 120 هرتز . احسب الازاحة في الطور لكل من هذه الشبكات .

21. شبكة موازنة ممانعة نوع π يراد ان ثوائم بين حمل مقاومي مقداره 700 اوم ومصدر 70 اوم عند تردد 500 كيلو هرتز . ارسم مخططاً للدائرة واعطى قيماً للعناصر بالهنري والميكروفراد :

(أ) لدائرة تساعد على ازالة توافقيات الاشارة التي ترددها 500 كيلو هرتز .

(ب) لدائرة تساعد على ازالة اشارة دخيلة ترددها 120 هرتز .

احسب الازاحة في الطور لكل من هذه الشبكات .

22. (أ) برهن على ان العلاقات الآتية صحيحة لشبكة رباعية الاطراف (شاهد كذلك المسألة 10) :

$$Z_{1o} = Z_{1i} \tanh \theta \quad \text{و} \quad Z_{2o} = Z_{2i} / \tanh \theta \quad \text{و} \quad Z_{1o} = Z_{1i} / \tanh \theta \quad \text{و} \quad Z_{2o} = Z_{2i} \tanh \theta$$

(ب) ارجع الى الشكل 11.5 والمعادلات (11.10) الى (11.12) .

برهن على ان شبكة T يكون لها ممانعات الصورة Z_{1i} و Z_{2i} ولها ثابت انتقال صوري θ . اذا كانت الممانعات في الاطراف هي :

$$Z_1 = \frac{\sqrt{Z_{1i} Z_{2i}}}{\sinh \theta}$$

$$Z_a = \frac{Z_{1i}}{\tanh \theta} - Z_o$$

$$Z_b = \frac{Z_{2i}}{\tanh \theta} - Z_o$$

الشبكة T هذه يمكن ان تكون مكافئة لشبكة اخرى رباعية الاطراف عند تردد معين ، او يمكن ان تصمم لتوفير قيم معينة لـ Z_{1i} و Z_{2i} و θ

(ج) اكتب المعادلات السابقة للحالة الخاصة لشبكة متناظرة لها

$Z_{1i} = Z_{2i} = \bar{Z}_o$ ، وقارن النتائج بالنتائج المحصلة لخط نقل منتظم (شكل 4.15) .

الفصل الثالث عشر

فقد الإدخال وعوامل الانعكاس

INSERTION LOSS AND REFLECTION FACTORS

13.1 فقد الإدخال :

Insertion Loss.

في الجزء 4.9 وصفنا تأثير شبكة رباعية الأطراف بين مصدر وحمل بدلالة نسبة الإدخال (Insertion Ratio) وفقد الإدخال وهذه الكميات تقارن فولتية (او تيار) جانب الاستلام بشرطين : (1) بربط مباشر بين مصدر وحمل و (2) بإدخال الشبكة . تعريف نسبة الإدخال هو .

$$(13.1) \quad \frac{E_2}{E_0} = \frac{I_2}{I_0} = \text{نسبة الإدخال}$$

حيث أن E_2 و I_2 هما الفولتية والتيار على جانب الحمل للشبكة و E_0 و I_0 هما الكميتان المماثلتان اللتان يحصل عليهما إذا وضع ربط مباشر بدل الشبكة . يدل الاسم فقد الإدخال، على اتساع التأثير اعلاه معبراً عنه بالنسبة او الديسبل اي ان :

$$\text{نسبة} \quad \log_e \left| \frac{I_2'}{I_2} \right| = \text{فقد الإدخال}$$

(13.2) او

$$\text{ديسبل} \quad 20 \log_{10} \left| \frac{I_2'}{I_2} \right| = \text{فقد الإدخال}$$

قد يكون فقد الإدخال سالباً وفي هذه الحالة هو كسب ادخال (Insertion Gain). وزاوية الطور لنسبة الإدخال تسمى ازاحة طور الإدخال (Insertion Phase Shift) ، حيث، انها الكمية التي يتراوح بها تيار جانب الاستلام في الاتجاه المتخلف عند وضع الشبكة .

ان اداء شبكة يعتمد على الممانعتين اللتان تشغل بينهما وعليه فان فقد الإدخال ليس خاصية الشبكة فقط ولكنه خاصية لمجموع الشبكة والحمل وممانعة المولد مأخوذة مع بعضهما .

13.2. شبكة منتهية بممانعتيها الصورييتين :

Network Terminated in Its Image Impedances

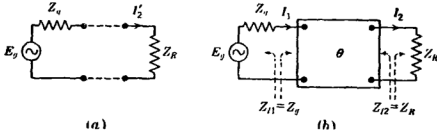
لشبكة مشغلة بين ممانعتيها الصورييتين ، يمكن التعبير عن فقد الإدخال ببساطة اكثر بدلالة الممانعتين الصورييتين وثابت الانتقال ، واذا ازيلت الشبكة

وعوض عنها بربط مباشر كما في الشكل 13.1 أ فان تيار جانب الاستلام سيكون :

$$I_2' = \frac{E_g}{Z_i + Z_R} \quad (13.3)$$

الآن ندخل الشبكة التي افترض بأن لها $Z_{11} = Z_g$ و $Z_{12} = Z_R$ كما مبين في الشكل (13.1 ب). ان فولتية المولد تشتغل في ممانعة $2Z_g$ وعليه وحسب المعادلة (12.15) فان نسبة التيار لانتهااء صوري هي :

$$\frac{I_2}{I_1} = \epsilon^{-\theta} \sqrt{\frac{Z_{11}}{Z_{12}}} \quad (13.4)$$



شكل 13.1 لحسابات فقد الادخال لشبكة مشتغلة بين ممانعتها الصورية

وعليه فان تيار المخرج هو :

$$I_2 = \frac{E_g \epsilon^{-\theta}}{2\sqrt{Z_g Z_R}} \quad (13.5)$$

لشبكة ربط صوري يكون عندنا الان (باستعمال المعادلتين (13.3) و

$$\frac{I_2'}{I_2} = \frac{2\sqrt{Z_g Z_R}}{Z_g + Z_R} \epsilon^{\theta} \quad (13.6)$$

زاوية الطور لهذه هي ازاحة طور الادخال ولو غاريتم اتساعه « كما مبين بالمعادلة (13.2) » هو فقد الادخال .

ولاسباب سنشرح فيما بعد فان العامل الذي يضرب ب ϵ^{θ} في المعادلة السابقة يسمى عامل عدم تواؤم (Mismatch Factor) او عامل الانعكاس

— : (Reflection Factor)

$$F_r = \frac{2\sqrt{Z_g Z_R}}{Z_g + Z_R} = \frac{2\sqrt{Z_g/Z_R}}{1 + Z_g/Z_R}$$

افرض بأن الممانعتين Z_g و Z_R ربطتا مباشرة وانهما متساويتين بالاتساع والطور . انهما تتوائمان بضرورة نواؤم خط نقل ولا يكون هناك انعكاس عندما يساوي الحمل Z_0 (ان هذه بالبيع ليست « الموائمة المرافقة » نفسها اذا كانت الممانعات مقاومات بحتة) .

ان عامل عدم التواءم (13.7) هو الان واحد وفقد الادخال (13.6) يختصر الى E_0 حيث ان الشبكة لاتستطيع ان تحسن المواءمة الصورية الموجودة سابقاً ويمكن ببساطة ادخال ثابت انتقاله ومن ثم يكون فقد الادخال/هينبر، ولكن اذا كانت الممانعتان غير متساويتين فان الشبكة يجب ان تدخل ممانعة تحويل لتحث تواءماً صورياً وعامل عدم المواءمة سيختلف عن الواحد وهذا يغير فقد الادخال .

ان اسم « عامل الانعكاس » جاء من التشابه مع خطوط النقل ولتبيان التشابه بوضوح اكثر، سنحسب فولتية الحمل للربط المباشر للشكل (13.1 أ) ونرتب النتيجة كالآتي :

$$E_2' = \frac{E_0 Z_R}{Z_0 + Z_R} = \frac{E_0}{2} \left(1 + \frac{Z_R - Z_0}{Z_R + Z_0} \right) = E_0 (1 + k) \quad (13.8)$$

حيث ان $E_0 = E_0/2$ هي فولتية الحمل التي يحصل عليها اذا كانت ممانعة الحمل تساوي Z_0 وان معامل الانعكاس k مشابه لذلك المعرف لانعكاس عند نهاية خط نقل بالرغم من ان مفهوم الانعكاس مبني على فكرة موجة متحركة وقد يظهر اصطناعياً اذا طبق على ممانعات مكتلة والعلاقات الرياضية متشابهة في المسألتين وعامل الانعكاس للمعادلة (13.7) مساو لـ $\sqrt{1 - k^2}$.

ان عامل الانعكاس هو الوسط الهندسي للممانعتين مقسوماً على وسطهما الحسابي (Arithmetic Mean) واذا كان للممانعتين زوايا طور مختلفتين فالعامل قد يكون اما اكبر او اصغر من الواحد، ولكن اذا كان لهما زاوية الطور نفسها ولكن اتساعهما مختلفين فان عامل الانعكاس يكون دائماً اقل من الواحد ويقدم فقد ادخال سالب (كسب ادخال) . (بالطبع هذا قد يفوق وزناً (Out Weight) بقيمة كبيرة " ناتجاً فقد ادخال للشبكة) . مثال مهم هو محول مثالي يستعمل لمواءمة مقاومتين ، نسبة الفولت - امبير للمحول هي واحد وعليه ومن التعريف (12.14) فان $k = 1$ " وعندما تختار نسبة الفولت لتوفير تواءم مواءمة صورية فان النتائج هي عامل انعكاس اقل من الواحد وكسب ادخال .

مثال :

في مثال الجزء (12.6) صممت شبكة مواءمة ممانعة لتشتغل بين مقاومتين 100 و 500 اوم ، هذه الشبكة تشتغل بين ممانعتيها الصورتين كما مبين في الشكل

(13.2) وفي الجزء (12.6) وجد بأن ثابت انتقالها الصوري معطى بـ 63.4° ،
 $\Gamma = 1$ ، سنحسب الان نسبة الادخال وفقد الادخال للشبكة .
 باستعمال المعادلة (13.7) نحسب أولاً عامل الانعكاس .

$$\Gamma_r = \frac{2\sqrt{100 \times 500}}{100 + 500} \approx 0.741$$

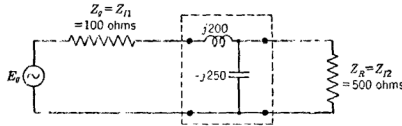
وعليه تكون نسبة الادخال (13.6) :

$$\frac{I_1'}{I_2} = \Gamma_r \epsilon^{\theta} = 0.741/63.4^\circ$$

ان ادخال الشبكة احدث تياراً خارجاً متخلفاً بـ 63.4° وراء موقع الطور الذي كان له مع ربط مباشر وفقد الادخال هو :

ديسيبل $20 \text{ Log}_{10} 0.741 = -2.6$ = فقد الادخال

ان ادخال الشبكة حسن قدرة الاخراج بـ 2.6 ديبل يمثل نسبة قدرة بـ
 $(1/0.741)^2 = 1.82$



شكل 13.2 لمثال الجزء (13.2)

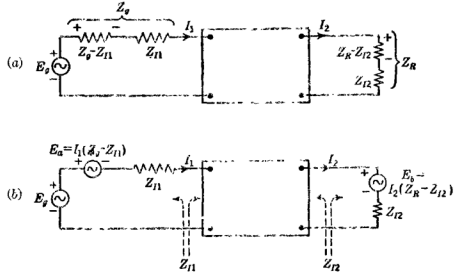
13.3 شبكة بانتهائين غير متوائمين :

Network with Mismatched Terminations.

ربما أكثر طريقة توضيحية لمعاملة حالة شبكة مع انتهاء غير متوائمين اتبعت بواسطة ⁽¹⁾ Shea . الشبكة التي تشتغل خارجاً من ممانعة Z_g وفي ممانعة Z_R مبينة في الشكل (13.3 أ) ولغرض تحليل جزء ممانعة المصدر الى جزئين $Z_g - Z_{I1}$ و $Z_g - Z_{I2}$.

وبالتشابه ممانعة جانب الاستلام عبر عنها كمجموع Z_{I2} و $Z_R - Z_{I2}$.
 وبعدها استبدل هبوط الفولتية عبر الممانعة $Z_g - Z_{I1}$ بمولد خيالي له فولتية صحيحة $E_a = I_1(Z_g - Z_{I1})$. كما مبين في الشكل (13.3 ب) ومولد مع فولتية $E_b = I_2(Z_R - Z_{I2})$ حل محل الممانعة الزائدة (بالتشابه) في دائرة

T. E. Shea, «Transmission Networks and Wave Filters», pp. 114-120, D. Van Nostrand Company, Inc., New-York. 1929.



شكل 13.3 شبكة باثنتانين غير متوائمتين ومكافئتها (ا) (ب) لاحظ F_1

الاخراج كما مبين في التوضيح . بعد ذلك فان تيار المخرج الحادث من كل الدورات الثلاث وجد على حده وبنظرية التراكب مجموع هذه التيارات الثلاث هو تيار المخرج الصحيح وهذه الطريقة هي ابسط من الحسابات المباشرة بسبب انه لكل مولد من هذه المولدات الثلاث فان الشبكة متوائمة صورياً وازافة الى ذلك فان الدائرة المكافئة للشكل (13.3 ب) اظهرت الفولتيتان المتسببتان من عدم توازن الممانعات والتي « بالتشابه مع خطوط النقل » يمكن تنسيبهما الى الانكسارات الحادثة عند الاطراف، وفي الحقيقة ان التعبير لنسبة الادخال الذي يجب ان نشنقه يطبق جيداً على حط نقل غير موازن وبوضع $Z_{N1} = Z_{N2} = Z_0$ ، ويمكن اختصاره الى التعبير المشتق للخط المنتظم في الفصل 4

الفولتية E_0 و E_a في الشكل (13.3 ب) تشتغل في ممانعة مساوية لـ $2Z_N$ ، وعليه عندنا :

$$I_1 = \frac{E_0 - E_a}{2Z_N}$$

وبسبب ان الشبكة المكافئة هي متوائمة صورياً ، نستطيع استعمال ذبة التيار

$$(13.4) \quad I_2 = \frac{(E_0 - E_a) \epsilon^{-\theta}}{2\sqrt{Z_N Z_{N2}}}$$

الفولتية E_a تشتغل في الممانعة $2Z_{N2}$ وعليه بأخذ اتجاهها بنظر الاعتبار يكون

عندنا :

$$I_2 = -\frac{E_a}{2Z_{N2}}$$

مثال :

سنعتبر مثال الجزء السابق (لاحظ الشكل 13.2) بافتراض ان مقاومة جانب الاستلام اختصرت الى $Z_R = 200$ اوم و سنحسب فقد الادخال تحت هذا الشرط : عامل الانعكاس لـ Z_0 و Z_R هو الآن :

$$F = \frac{2\sqrt{100 \times 200}}{100 + 200} = 0.941$$

عامل الانعكاس لـ Z_0 و Z_{I1} هو واحد بسبب ان هاتين الكميتين لاتزالان متساويتين . (بالطبع ممانعة المدخل للشبكة لاتساوي Z_{I1}) . عامل الانعكاس لـ Z_{I2} و Z_R هو :

$$F_2 = \frac{2\sqrt{200 \times 500}}{200 + 500} = 0.903$$

عامل التفاعل هو واحد بسبب ان Z_0 توائم Z_{I1} . كانسابق $\theta = 1/63.4^\circ$ والان باستعمال المعادلة (13.11) نحصل على :

$$\text{نسبة الادخال} = \frac{0.941 \times 1/63.4^\circ}{1 \times 0.903 \times 1} = 1.042/63.4^\circ$$

ازاحة طور الادخال لايزال 63.4 ولكن الان عندنا :

ديسيبل $20 \log_{10} 1.042 = 0.36$ = فقد الادخال

ممانعة جانب الاستلام هي تحت القيمة التي صممت لها الشبكة بكثير بحيث ان النتيجة هي الآن فقد قدرة بدلاً من كسب قدرة .

المثال ٥

1. محول مثالي يستعمل ليوائم على أسس صورية بين 5 اوم حمل مقاومي ومولد مع مقاومة داخلية 500 اوم . نجد نسبة الادخال وكسب الادخال المجهز بواسطة المحول .
- 2 . شبكة مواعمة معازمة سمعت للمواعمة على أسس صورية بين مقاومة حمل 70 اوم ومولد له مقاومة داخلية 5,000 اوم وثابت الانتقال الصوري لهذه الشبكة هو $z = 1.45$ من الزوايا نصف القطرية . احسب نسبة الادخال وازاحة طور الادخال وكسب الادخال الموفر بهذه الشبكة . احسب نسبة قدرة الحمل بوجود الشبكة الى قدرة الحمل مع ربط مباشر .
- 3 . شبكة مواعمة الممانعة للمسالة 2 تشتغل بمقاومة حمل 70 اوم لكن المقاومة الداخلية للمولد هي الآن 1,500 اوم . استخرج فقد الادخال وازاحة طور الادخال لهذا الشرط من التشغيل
- 4 . شبكة توهين غير متناظرة سمعت مع ممانعتين صوريتين $Z_{11} = 5,000$ اوم و $Z_{12} = 977$ اوم . ثابت الانتقال الصوري $\theta = 2.19 + j0$ نيسب . الشبكة تشتغل في 977 اوم مقاومة حمل وتساق بمولد له مقاومة داخلية 5,000 اوم . استخرج نسبة الادخال وفقد الادخال بالنيسر والديسبل . لاحظ الفرق بين معنى فقد الادخال، وثابت التوهين الصوري لـ 2.19 نيسر
- 5 . شبكة التوهين في المسألة 4 تشتغل الآن بحمل مقاوم مقداره 200 اوم . المقاومة الداخلية للمولد هي 5,000 اوم ايضاً . احسب فقد الادخال لهذا الشرط من التشغيل .
- 6 . شبكة توائم ممانعة مع ممانعتين صورية Z_{11} و Z_{12} تشتغل من مولد قيمة مقاومته الداخلية صحيحة $Z_0 = Z_{11}$. وعلى أية حال فان مقاومة الحمل لها قيمة غير صحيحة $Z_R \neq Z_{12}$. برهن على ان مقاومة حمل مقداره $Z_R = \sqrt{Z_{11}Z_{12}}$ ستجعل اتساع نسبة الادخال بالضبط مساوية للواحد .
- 7 . برهن لخط نقل منتظم على ان نسبة الادخال المعطاة بالمعادلة (13.11) تختصر الى التعبير المعطى بالمعادلة (4.76) .

الفصل الرابع عشر

المرشحات

FILTERS

14.1 . انواع المرشحات : - Types of Filters.

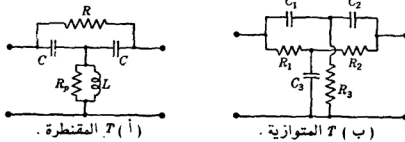
المرشح : شبكة رباعية الاطراف ترسل دافقة بصورة دقيقة في حزم معينة من التردد وتوهن خارج هذه الحزم والمرشحات تستعمل بصورة عامة لفصل الاشارات على اساس من التردد ، ولكن يوجد لها استعمالات لاغراض اخرى (وكمثال كشبكات تأخير (Delay Network) وكشبكات تقارن في مضخات الصمامات المفرغة) .

الاسم «مرشح» له معنى مختلفاً قليلاً بالنسبة الى المسائل المختلفة والاسم يطبق على ابسط دائرة (مرشح $R-C$) والتي يحتوي على مقاومة توالي ومتسعة توازي ، وفي بعض الاحيان يطلق على مقاطع متعددة رتبت لتكون شبكة سلمية وهذه الشبكة توهن الترددات العالية اكثر من الواطئة ولكن حزمة الامرار لا تكون معرفة بدقة وهذا المرشح يكون ملائماً فقط حينما تكون المتطلبات غير صارمة. الدائرة الموائفة البسيطة تستعمل عادة بسبب خواصها الانتقائية للتردد (Frequency Selective) تكون دائرة الرنين القارئة مفيدة بسبب امكانية تصميمها ليكون لها خاصية تسطح علوي (Flat Topped) في حزمة الامرار ، ولكن هذه الدوائر لاتدعى عادة بالمرشحات ويطبق الاسم في بعض الاحيان ايضا على دائرة π المقنطرة (Bridged-T) ودائرة T المتوازية المبيتتان في الشكل 14.1 والاخيرتان يمكن تصميمهما ليكون لها نقل مقداره صفر عند تردد منفرد ، ان دائرة T المتوازية تكون مفيدة وخاصة كدائرة ازالة حزمة (Band Elimination) عند الترددات الواطئة جداً ، حيث انها تتحاشى صعوبة الحصول على مفاعلة حثية ملائمة عند تردد واطيء وعند استعمالها كدائرة تقذية عكسية (Feed back) لمضخم ، فانه يمكن الحصول على فعل كلي لامرار حزمة (1) . المرشحات التي سنشرحها في هذا الفصل والفصل الآخر هي اقل

(1) لاحظ :

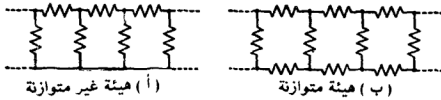
Leonard Stanton, Theory and Application of Parallel-T Resistance-capacitance Frequency-selective Networks, *Proc. IRE*, Vol. 34, pp. 447-456, July, 1946; also, W. N. Tuttle, "Bridged-T and Parallel-T Null Circuits for Measurement at Radio Frequencies," *Proc. IRE*, Vol. 28, pp. 23-29, January, 1940.

خصوصية واكثر مرونة من التي سبق ذكرها وهي تعطي حرية اكبر في الخواص الناتجة ، ان عدد وعرض حزم الامرار ، وحِدَة القطع والتوهين خارج حزم الامرار ومستوى الممانعة كل هذه الاشياء يمكن ان تختار بحدود عريضة على عكس دائرة الموالفة البسيطة . حيث عوامل الجودة Q 's للعناصر اقيت عالية ، والا فان قيماً واطئة لـ Q 's ليست ضرورية لغرض الحصول على حزم امرار عريضة وبالرغم من ان احد مرشحات الامرار الواطيء التي سوف نفسرها قريباً مشابهة في التركيب للمرشحات المستعملة لتعديل (Smooth) فولتية المخرج لمقوم مجهرات القدرة (Power Supplies rectifier) فان التصميم الاخيرة يتبع وجهة نظر مختلفة كثيراً وسوف لانناقش هنا المسائل الخصوصية للمرشحات المستعملة لمجهرات القدرة ولكن سوف نشير القارئ الى المرجع (١) .



شكل 14.1 دائرة \bar{T} المقنطرة و T المتوازية اللذان يجهزان انتقالاً مقداره صفراً عند تردد منفرد .

ان المرشح يمكن ان يكون له (مبدئياً) اي عدد من حزم الامرار مفصولة بحزم توهين ، وعلى كل حال ، يوجد اربعة انواع شائعة : امرار واطيء امرار عالي وامرار حزمة وازالة حزمة .



شكل 14.2 شبكات سلمية

ان اكثر المرشحات المستعملة عادة تتكون من مقطع T او مقطع π ومقاطع L نصفية مربوطة على اساس صوري لتكون شبكة سلمية ، كما مبين في الشكل 14.2 .

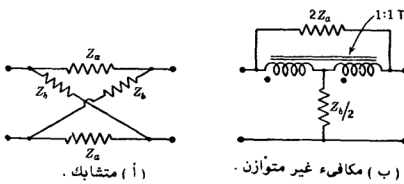
(١) لاحظ مثالا على ذلك :

r. E. Terman, "Radio Engineering," 3d ed., Chap. 11, McGraw-Hill Book Company, Inc., New York 1947.

التركيب الأكثر عموماً الذي يدعى المتشابك (Lattice) مبين في الشكل 14.3 وانه ليس بالامكان فقط استنساخ عمل اي T و π بمتشابك عند كل الترددات ولكن المتشابك يمكن ان يصمم ليجهز خواصاً لا يحصل عليها بواسطة T و π . ان دائرة غير متوازنة لمتشابك تستعمل محولاً نسبة لفاته تساوي واحداً مبينة في الشكل 14.3 ب.

ان الصعوبة المرتبطة باستعمال محول يمكن تحاشيها اذا امكن تبسيط المتشابك الى مكافئ T أو π . واذا كان هذا غير ممكن فمكافئ T المقنطر بلا محول يمكن ايجاده في بعض الاحيان والمتشابك اكثر عمومية ومرونة من تركيب النوع السلمي. فان المرشح السلمي يكون كافياً لاغلب الاغراض. قسم من خواص المتشابك سوف تناقش بايجاز في هذا الفصل ولكن مناقشة كاملة لنظريته هي خارج نطاق هذا الكتاب وعلى القارئ ان يرجع الى المراجع (١) وعلى الخصوص سوف نركز هنا على النوع السلمي.

ان وصل الممانعات المؤثرة بخطوط متعرجة في الاشكال هي مفاعلات صرفة قدر الامكان بحيث ان المرشح يمتص قدرة قليلة جداً في حزم الامرار، ان المرشح لا يشتغل على أساس امتصاص الطاقة وتبديدها عند الترددات غير المرغوبة ولكن يظهر ممانعة مدخل مفاعلية هذه الترددات وهكذا ترفض القدرة عند أطراف مدخله.



شكل 14.3 مقطع متشابك ومكافئ T المقنطرة باستعمال محول.

(١) مناقشة قصيرة وممتازة معطى في :

F.E. Terman, «Radio Engineers' Hape book,» pp. 238-244, McGraw-Hill Book Company, Inc., New York, 1943. A more

معالجة اكثر كمالاً مستندة الى بحوث Caur و Bode يمكن الرجوع اليها في :

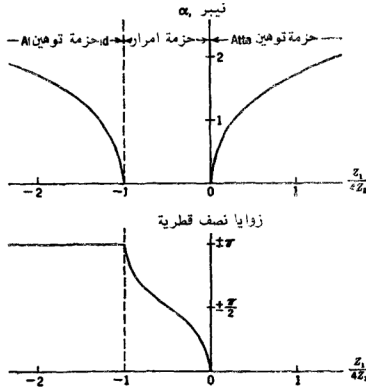
E.A. Guillemin, «Communication Networks,» Vol. II, Chap. X, John Wiley & Sons, Inc., New York, 1935.

ان الضرورة في ان يكون جيب التمام الزائدي اكبر من واحد يحدد $Z_1/4Z_2$ فيكون لها قيم سالبة اصغر من 1 - الشروط الثلاثة السابقة لخصت بيانياً في الشكل (14.5) الذي يبين ثابت التوهين وثابت الطور لكل مقطع لشروط الانتهاء الصوري (Image Termination) المرسوم مع النسبة $Z_1/4Z_2$ وباستعمال المعادلات (14.5) و (14.7) و (14.8) الاشارة الجبرية لـ β لا يمكن ايجادها من المعادلة 14.5 . على كل سيتبين في الجزء القادم ان β موجبة اذا كانت Z_1 هي مفاعلة حثية وسالبة اذا كانت β هي مفاعلة سعوية .

عندما يتغير التردد فإن المفاعلات المكونة لفروع التوالي والتوازي تتغير في القيم ولهذا فإن النسبة $Z_1/4Z_2$ تتغير مع التردد . سيقع قسم من مدى التردد في منطقة الارسال الحر (Free Transmission) في حين سيقع القسم الآخر في حزمة التوهين . ان ترتيب حزم الامرار والتوهين على طول تدرج التردد يعتمد على الهيئة الخاصة للعناصر المفاعلة المستعملة في الفرعين (فرع التوالي وفرع التوازي) وسوف توضح هذه بأمثلة . الترددات النحرية التي عندها ينتقل المرشح من حزمة امرار الى حزمة توهين تدعى بترددات القطع (Cutoff Frequencies) وهذا الاسم في بعض الاحيان تضاف له كلمة اسمية (Nominal) لأن المرشح لا يقطع فجائياً عند هذه النقطة ولكن كما مبين في الشكل (14.5) فإن التوهين يرتفع بدون تعرج خارج القطع الاسمي ويصل قيمة عالية فقط عندما تكون $Z_1/4Z_2$ داخل حزمة التوهين .

ان مفهوم حزمة الامرار اعطي بالمعادلة (14.6) : النسبة $Z_1/4Z_2$ يجب ان تقع بين 1 - و 0 ان الطريقة البيانية الملائمة لتطبيق هذا المفهوم هو تخطيط Z_1 و $4Z_2$ كدالتين للتردد (بصيغة ادق تخطط X_1 و $4X_2$ وسوف نفهم هذا ضمناً ولا نستعمل رموزاً اخرى)

لذا فلحزمة امرار Z_1 و $4Z_2$ يجب ان يكون لهما الاشارة نفسها وكذلك فإن اتساع Z_1 يجب ان تكون اصغر من اتساع $4Z_2$



شكل 14.5 ثابت التوهين الموري وثابت الطور لمقاطع سلمية رسمت كدوال α_r plotted as functions of the impedance ratio $Z_1/4Z_0$

نسبة الممانعة $Z_1/4Z_0$

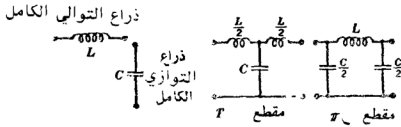
مثال 1 :

مقطع سلمي مكون من محاطة L في فرع التوالي ومنتسعة C في فرع التوازي، $Z_2 = -j/\omega C$ و $Z_1 = j\omega L$ ، المقطع يمكن ترتيبه بهيئة T أو π كما مؤشر في الشكل 14.6، أو يمكن أن يكون نصف مقطع L

بما أن تفصيلات هذا الترتيب لا تؤثر على موقع حزم الامرار والتوهين فإن الهيئة تبين عادة بصورة غامضة برسم فروع التوالي كاملاً وفرع التوازي كاملاً وبصورة منفصلة كما في الرسم التخطيطي الأول. الشكل 14.7 هو رسم لتغير Z_1 و $4Z_2$ مع التردد، الأول هو خط مستقيم يمر من نقطة الاصل، والثاني هو قطع زائد قائم (Rectangular-Hyperbola) ونطبق الآن المفهوم المعطى فوق، الممانعة Z_1 لها دائماً إشارة نفسها كتلك لـ $4Z_2$ نفسها ولكن لها اتساع اصغر فقط الى اليسار من تقاطع المنحنيين، ولذا فإن حزمة الامرار تقع بين تردد مقداره صفر وهذا التقاطع، لذا فالشبكة هي مرشح امرار واطء وتردد القطع ω_c ، يمكن ايجاده في التقاطع حيث يكون لدينا :

$$Z_1 = -4Z_2$$

$$\omega_c L = -4 \left(\frac{-j}{\omega_c C} \right)$$



شكل 14.6 مقطع مرشح للمثال 1 .

$$\omega_c = \frac{2}{\sqrt{LC}}$$

لنرى بأن تردد القطع الاسمي هو :

(14.9) زوايا نصف قطرية لكل ثانية

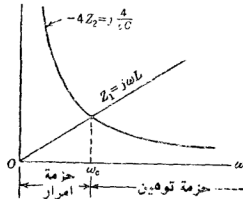
$$f_c = \frac{1}{\pi \sqrt{LC}}$$

أو :

(14.10) هرتز

نسبة الممانعة المستعملة في الشكل 14.5 هي :

$$\frac{Z_1}{4Z_2} = -\frac{\omega^2 LC}{4} = -\left(\frac{\omega}{\omega_c}\right)^2 = -\left(\frac{f}{f_c}\right)^2 \quad (14.11)$$



شكل 14.7 رسم المفاعلة للمثال 1 .

(14.11) بالرجوع الى شكل 14.5 ، يمكن ان نتصور نقطة تبدأ من نقطة الاصل

عند تردد مقداره صفراً

وهذه تتحرك باتجاه اليسار كلما ازداد التردد وتصل هذه النقطة الى حافة حزمة

الامرار عند تردد $f = f_c$ واعلى من هذا التردد تتحرك الى حزمة التوهين ، ان

النسبة $Z_1/4Z_2$ هي سالبة دائماً لهذا النوع من المرشح . وعليه لاتصل ابداً حزمة

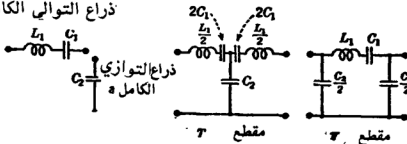
التوهين الواقعة الى اليمين من نقطة الاصل في الشكل 14.5 .

مثال 2 :

مثال ثان مبين في الشكل 14.8 والتوضيح يبين فروع التوالي وفروع التوازي

الكلية وكذلك هيئة T و π .

ان رسم المفاعلة لمقطع المرشح هذا معطى في الشكل 14.9 ، عند الترددات الواطئة المفاعلة لفرع التوازي تتبع تقريباً تغيراً زائداً المقطع في الاتساع فقط ، ويحصل الرنين عند ω_1 ، وعند الترددات العالية ، يقترب الاتساع من التغير الخطي المتسبب من المحاثة وحدها والممانعة Z_1 لها إشارة $-4Z_2$ نفسها عند تردد ذراع التوالي الكامل



شكل 14.8 مقطع مرشح للمثال 2

اعلى من ω_1 واتساعها أصغر من تلك لـ $-4Z_2$ قبل التقاطع عند ω_2 ، ولذا فهذا هو مرشح امرار حزمة . ان اوطاً تردد قطع يمكن ايجاده من $Z_1 = 0$ او :

$$\omega_1 L_1 - \frac{1}{\omega_1 C_1} = 0$$

$$\omega_1 = \frac{1}{\sqrt{L_1 C_1}}$$

(14.12) زوايا نصف قطرية لكل ثانية

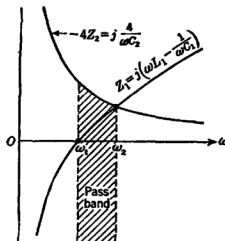
ويمكن وجدان اعلى تردد عند تقاطع المنحنيين البيانيين :

$$j\left(\omega_2 L_1 - \frac{1}{\omega_2 C_1}\right) = j \frac{4}{\omega_2 C_2}$$

والذي يعطى :

$$\omega_2 = \sqrt{\frac{4C_1 + C_2}{L_1 C_1 C_2}}$$

(14.13) زوايا نصف قطرية لكل ثانية



شكل 14.9 رسم مفاعلة للمثال 2

نسبة الممانعة $Z_1/4Z_2$ معطاة بـ :

$$\frac{Z_1}{4Z_2} = \frac{1}{4} \left(\frac{C_2}{C_1} - \omega^2 L_1 C_2 \right) \quad (14.14)$$

بالرجوع الى المنحنيات البيانية للشكل 14.5 فإن نسبة الممانعة تبدأ على جهة اليمين لحزمة التوهين وبالقائمة $Z_1/4Z_2 = C_2/4C_1$ عندما يكون التردد مقداره صفراً وكلما زاد التردد فإن النقطة التي تمثل نسبة الممانعة تتحرك الى اليسار خلال حزمة الامرار واخيراً تدخل حزمة التوهين التي الى اليسار .

14.3 الممانعات الصورية للمرشح السلمي :

The Image Impedances of the Ladder Filter.

سنختبر الآن الممانعات الصورية لمقاطع سلمية النوع (شاهد شكل 14.4) . ان الممانعة الصورية « وسط التوالي » اعطيت بالمعادلة (12.12) وهي :

$$Z_T = \sqrt{Z_1 Z_2} \sqrt{1 + \frac{Z_1}{4Z_2}} \quad (14.15)$$

وممانعة صورة « وسط التوازي » معطاة بـ :

$$Z_r = \frac{\sqrt{Z_1 Z_2}}{\sqrt{1 + Z_1/4Z_2}} \quad (14.16)$$

الان ولحزمة امرار ، النسبة $Z_1/4Z_2$ يجب ان تقع بين 0 و -1 ، وهذا يعني ان $1 + Z_2/4Z_1$ هو موجب وان جذره التربيعي حقيقي ، وكذلك النسبة السالبة $Z_1/4Z_2$ تعني ان Z_2 و Z_1 ممانعتان متعاكستا النوع ومن ثم فإن حاصل ضربهما موجب وان $\sqrt{Z_1 Z_2}$ حقيقي . ان حاصل ضرب هاتان القيمتان (Z_T) وخارج قسمتهما (Z_r) وهما ممانعتان حقيقيتان بعبارة اخرى مقاومات ، في حزمة الامرار .

في حزمة التوهين التي تقع الى اليمين من الشكل 14.5 تبقى الكمية $1 + Z_1/4Z_2$ موجبة ، ولكن Z_1 و Z_2 الآن هما مفاعلتان لهما النوع نفسه وحاصل ضربهما سالب وعليه فإن كلا من Z_T و Z_r هما مفاعلتان في هذه الحزمة وفي حزمة التوهين التي الى اليسار حاصل ضرب $Z_1 Z_2$ موجب ولكن $1 + Z_1/4Z_2$ سالب ومرة اخرى في هذه الحزمة كلا من Z_T و Z_r هما مفاعلتان . من الكلام السابق نستخلص مايلي :

ان الممانعات الصورية للمرشح تكون مقاومة في حزمة الامرار وتكن مفاعلية في حزمة التوهين .

ان بعض المرشحات تركيب من مقطع منفرد فقط اذا كانت المتطلبات غير دقيقة ولكن المرشحات المطلوبة لاجراض اكثر دقة لها عدد من المقاطع مربوطة

على التعاقب وان كل المقاطع تصمم بترددات القطع نفسها وتوصل بحيث ان الممانعات الصورية لها تتواءم بالضبط عند كل الترددات وعلى كل حال فان المقاطع المختلفة تقسم عادة ليكون لها خواص توهين مختلفة بحيث يكون احدها فعالاً في حين تكون البقية غير فعالة .

ان حمل الانتهاء للمرشح يقترب عادة من مقاومة ، وحيث ان ممانعات الصورة تتغير كثيراً مع التردد فليس بالامكان الحصول على انتهاء صوري عند كل الترددات ونتيجة لذلك تحدث انعكاسات عند النهايات ويختلف التوهين وازاحة الطور وفقد الادخال عن تلك المحسوبة على اساس الصورة وخلال جزء كبير من حزمة الامرار يمكن مواءمة الحمل الى الممانعة الصورية المقاومة بصورة جيدة نوعاً ما وكذلك عميقاً في حزمة التوهين ، حيث ان الانعكاسات توهن كثيراً عند مرورها خلال المرشح وهكذا فان تأثيرها لا يهم ولكن عند حافات حزم الامرار عندما تتحول ممانعة الصورة من حقيقية الى خيالية ويكون التوهين قليلاً فان الانعكاسات يمكن ان تغير الاداء الى درجة كبيرة ويمكن حساب تأثير الانعكاسات باسهاب باستعمال المعادلة (123.11) في الفصل السابق والتي تغطي نسبة الادخال لانتهاءات غير متوائمة لشبكة رباعية الاطراف ولاغراض متعددة فإنه ليس من الضروري الدخول في هذا وان التصرف المحسوب لانتهاء صوري يكون كافياً .

في الجزء السابق لم يستطع الحصول على اشارة β من العلاقة جيب التمامية المعطاة بالمعادلة (14.5) ويمكن ايجاد الاشارة الان بأخذ مقطع π او مقطع T مباشرة بنظر الاعتبار وباستعمال حقيقة ان الممانعة الصورية هي مقاومة في حزمة الامرار .

تخيل ان المقطع T للشكل 14.4 ينتهي بممانعته الصورية وبما ان في دائرة توازي ينقسم عكسياً بنسبة الممانعات فان نسبة تيار المدخل الى المخرج هي :

$$\frac{I_1}{I_2} = \frac{Z_2 + Z_1/2 + Z_T}{Z_2} = 1 + \frac{Z_1}{2Z_2} + \frac{Z_T}{Z_2} \quad (14.17)$$

لشبكة T المتناظرة ، النسبة I_1/I_2 تساوي $e^{\gamma/\beta}$ ، $e^{\gamma/\beta} = e^{\gamma/\beta}$ وعليه فان زاوية نسبة التيار هي طور الازاحة الصورية β . أستعمل الان الصيغة (14.17) لايجاد الربع الذي تقع فيه الزاوية β في حزمة الامرار ففي حزمة الامرار $Z_1/4Z_2$ هي حقيقية ويجب ان تقع بين 0 و 1 - ، ومن ثم فان مجموع الحدين الاولين في المعادلة (14.7) $1 + Z_1/2Z_2$ يجب ان يكون حقيقياً ويجب ان يقع

بين 1 + و 1- والحد الاخير Z_2/Z_1 يتكون من ممانعة مقاومة مقسمة على ممانعة مفاعلة ولهذا فإن هذا الحد خيالي وله اشارة معاكسة لشارة Z_2 وعليه فإن نسبة التيار (14.7) تحتوي على قسمين ، مركبة حقيقية تقع بين 1 + و 1- ، ومركبة خيالية لها اشارة معاكسة لشارة Z_2 واذا كانت Z_2 هي مفاعلة سالبة فإن نسبة التيار I_1/I_2 مستقيم في الربع الاول او الثاني واذا كانت Z_2 مفاعلة موجبة فإن النسبة ستقع في الربع الثالث او الرابع وهكذا تعتبر كزاوية اصغر من 180 وتكون β موجبة اذا كانت Z_2 مفاعلة سالبة وتكون سالبة اذا كانت Z_2 مفاعلة موجبة . لكن الممانعتين Z_1 و Z_2 لهما اشارتان متعاكستان في حزمة الامرار نستنتج ان الزاوية β سيكون لها اشارة المفاعلة Z_1 نفسها .

ذكر اعلاه بأن الممانعات الصورية لمرشح سلمي مفاعلات في حزمة التوهين ولكن اشارة الممانعة (او بعبارة اخرى هل هي حثية او سعوية) لم تؤثر . ان قضية الاشارة بصورة عامة ليست ذات قيمة عملية هنا ولم تجر محاولات لانهاء هذا المرحل بممانعته الصورية المفاعلية في حزمة التوهين ، وعلى كل قد يكون لها اهمية احياناً وهكذا سوف نتأمل القضية بصورة مختصرة . يمكن استعمال المعادلة (14.17) لتبيان ان انتهاء بممانعته الصورية المفاعلية يكون نسبة التيار I_1/I_2 لها اتساع اكبر من واحد اذا كان Z_2 نفس اشارة Z_1 في حزمة التوهين ومن ناحية اخرى اذا كانت Z_2 عكس الاشارة فإن سعة نسبة التيار I_1/I_2 ستكون اصغر من واحد والتوهين سالب وبعبارة اخرى لا يكون الجهاز مرشحاً حقيقياً^(١) .

الصيغة (14.7) او (14.8) للتوهين تبقى منطبقة ولكن α هي سالب القيمة المحصلة عندما Z_2 لها اشارة Z_1 نفسها (لاحظ ان $\cosh \alpha = \cosh (-\alpha)$) . وبطريقة مشابهة يمكن البرهنة على التوهين الموجب يحصل عليه بواسطة الانتهاء الصوري المفاعلي عندما يكون Z_2 اشارة Z_1 نفسها ، وخلافاً لذلك فإن سالب هذا التوهين يمكن الحصول عليه . ان توهيناً سالب هنا لا يخالف نظرية حفظ الطاقة لان الحمل مفاعلي والتوهين السالب يعني ان فولت - امبير المخرج اكبر من فولت امبير المدخل والقدرة تكون صفراً في كلا الحالتين .

عندما يراد فحص مرشح غير معلوم التصميم فإن خواصه يمكن ان تحصل بقياس ممانعة دائرته المفتوحة والمقصرة على مدى تردد عند اية نهاية من نهايتيه والممانعة الصورية عند تلك الاطراف معطاة بالمعادلة (12.4) :

(١) هذا الاشكال اوضح للمؤلف من قبل Preston R. Clement .

$$Z_T = \sqrt{Z_{open} Z_{short}}$$

(14.18)

يحصل على حزمة الامرار عندما تكون المفاعلتان المقاستان لهما اشارتان متعاكستان لان هذا يجعل Z_T حقيقية .

ان الاشارة نفسها لكلا المفاعلتين يبين حزمة توهين اوضحت في الجزء السابق فكرة لتعين حزم الامرار والتوهين لمرشح سلمي النوع وقد اشتقت قوانين لثابت التوهين وثابت الطور لانتهاء الصورة والجزء العالي حلل الممانعات الصورية وبين استعمال مادة الفصل 13 عند الاخذ بنظر الاعتبار الاختلاف عن الانهاء الصوري ويمكننا الآن تحليل اداء اي تركيب لمرشح سلمي معين ، ولحد الآن لم نبحت القضية المعاكسة لاختيار تركيب المرشح ليؤدي عملاً معين ولايجاد قيم عناصره بحيث يكون لترددات القطع ولممانعات الصورة القيم الصحيحة وسناقش هذا في الفصل القادم ، ان باقي هذا الفصل سيخصص لاعتبار خواص العناصر لشبكة مفاعلية ثنائية الطرف والتي تكون الفروع لهذا المرشح وكذلك لمعاملة مختصرة لخواص بعض المقاطع المتشابهة .

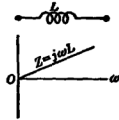
14.4 خواص الشبكات المفاعلية ثنائية الطرف :

The Properties of Two-terminal Reactive Networks.

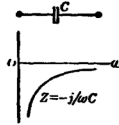
يعتمد تصميم المرشحات على خواص الفروع الثنائية الطرف المفاعلية التي تتكون منها شبكة المرشح ، وخصوصاً على التغير في ممانعة نقطة السوق (Driving Point Impedance) مع التردد وأكثر الفروع المستعملة عادة هي الفروع البسيطة المبينة في الشكل 14.10 . هذا التوضيح يبين ايضاً التغير في المفاعلة مع التردد لكل دائرة وفي الشكل 14.10 ج و 14.10 د الخطوط المتقطعة تبين مفاعلة المحاثات ومفاعلة السعة فقط . دائرة LC المتوالية تقترب من تغير سعوي عند ترددات واطئة بعيدة عن الرنين والممانعة تتحدد بالمحاثات فقط ودائرة LC المتوازية تتبع المفاعلة الحثية عند ترددات واطئة ، واعلى من الرنين المكسي (Antiresonance) تقترب من التغير الزائدي (Hyperbolic) للمتمسة .

للشبكات الاكثر تعقيداً لها نقاط رنين ورنين عكسي آضافية، وتسمى هذه بالتعاقب بالاصفار (Zeros) والاقطاب (Poles) . لدالة الممانعة ، ان الممانعة لشبكة مفاعلة صرفة تكون دائماً اما صفراً او غير نهائية عند كل من تردد صفر وتردد غير نهائي وهذه تدعى اصفار واطبات خارجية للممانعة والاصفار والاقطاب بين

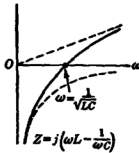
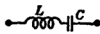
هاتين النقطتين تدعيان بـ « داخل » ، ان دائرة LC المتوالية لها صفر داخل (Internal Zero) وليس لها اقطاب داخلية (Internal Poles) ودائرة LC المتوازية لها قطب داخل واحد وليس لها اصفار داخلية .



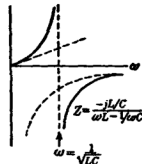
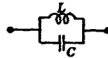
(أ) محاثة .



(ب) سعة .



(ج) دائرة L-C المتوالية .



(د) دائرة L-C المتوازية .

شكل 14.10 شبكات بسيطة ثنائية الطرف مفاعلية

هناك قاعدة عامة ومهمة لشبكة ثنائية الطرف غير فعالة ومفاعلة موضحة بالرسوم البيانية في الشكل 14.10 : يكون منحنى ميل المفاعلة مع التردد موجباً دائماً ، وبازدياد التردد تزداد المفاعلة دائماً بالاتجاه الحثي وعندما تصل الى قطب تنحدر بصورة غير مستمرة الى غير نهائية في المنطقة السعوية وتبدأ بالصعود بصورة منتظمة ثانية والبرهان العام لهذه الخاصية هو خارج نطاق هذا الكتاب وسوف نتحدد هنا بتبيان ان هذا صحيح للشبكات التي يمكن ان تبسط الى تجمع توالي وتوازي لعناصر مفاعلة (1)

(1) برهان عام يمكن ان يعتمد على اعتبارات الطاقة راجع :

See Guillemin, *op. cit.*, pp. 226-229; and H. W. Bode, "Network Analysis and Feedback Amplifier Design," Secs. 9.2-9.4, D. Van Nostrand Company, Inc., New York, 1945.

الرسوم البيانية للشكل 14.10 تبين ان الميل لدالة المفاعلة موجب دائماً لهذه الشبكات البسيطة واعتبر الآن ربط توالي شبكتين لهما دالة مفاعلة وميل موجب في كل مكان . بالرمز لهذه المفاعلات بـ X_1 و X_2 يكون لدينا للمفاعلة الكلية :

$$X = X_1 + X_2$$

او بأخذ المشتقة بالنسبة الى التردد :

$$\frac{dX}{d\omega} = \frac{dX_1}{d\omega} + \frac{dX_2}{d\omega}$$

كل الحدود التي على اليمين موجبة ولذا فإن $dX/d\omega$ يجب ان تكون موجبة ايضاً . وبالتشابه اعتبر دائرة متكونة من شبكتين على التوازي كل منهما لها دالة مفاعلة ميلها الى اعلى والمحصلة المفاعلية لهما هي :

$$X = \frac{X_1 X_2}{X_1 + X_2}$$

المشتقة بالنسبة الى التردد هي :

$$\frac{dX}{d\omega} = \frac{X_2^2 dX_1/d\omega + X_1^2 dX_2/d\omega}{(X_1 + X_2)^2}$$

ان المقام وكلا الحدين في البسط لها قيم موجبة دائماً ومرة ثانية فإن ميل دالة المفاعلة الناتجة موجبة في كل مكان ، وعليه اذا بدأنا بعناصر بسيطة للشكل 14.10 وبنينا شبكة بأي تعقيد بواسطة تجميعات توالي وتوازي تؤخذ بأي ترتيب فإن دالة مفاعلة نقطة السوق للتركيب الناتج سيكون لها ميل موجب في كل مكان وبالرغم من ان المناقشة السابقة تشمل اكثر الشبكات الشائعة الاستعمال فأنها ليست برهاناً عاماً لأن كل الشبكات يمكن تحليلها الى تجميع توالي وتوازي من العناصر (دائرة قنطرة هي مثال بسيط على ذلك) . على كل فإن البرهان العام المذكور في الملاحظ اسفل الصفحة السابقة يبين بأن النتيجة صحيحة لكل الشبكات المفاعلة .

استنتاج مهم يمكن الاستدلال عليه من الموجب لدالة المفاعلة هو ان الاصفار والاقطاب للدالة يجب ان تتناوب وكمثال لايمكن ان يوجد صفران متتاليان بدون وجود قطب بينهما وتسمى هذه « بخاصية الفصل (Separation Property) » للاقطاب والاصفار .

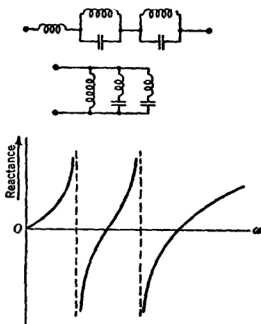
يبين الشكل 14.11 شبكتين مفاعلتين مختلفتين ، كل منهما لها نوع من دالة المفاعلة مخطط بالتوضيح وكل منهما له مفاعلة مقدارها صفر عند التردد صفر بسبب وجود مسار من احد الاطراف الى الآخر يتجنب كل المتسعات كذلك كل منهما له قطب عند تردد غير نهائي لانه لا يوجد مسار يتجنب المحاثة . الشبكة الاولى لها قطبان داخليين يحدثان عند ترددي الرنين العكسي لمجمع LC المتوازي والان وكما مبين في الشكل 14.11 نرسم رسماً يانياً لدالة المفاعلة التي لها :

(1) صفر عند التردد صفر .

(2) قطبان داخليان ،

(3) قطب عند تردد مقداره غير نهائي .

ولعمل هذا بميل موجب في كل مكان ان يكون هنالك صفران داخليان وبعدها نتأمل الشبكة الثانية . ويوجد هنا صفران داخليان يحدثان عند تردد الرنين لفروع LC المتواليه .



شكل 14.11 شبكتان مفاعلتان ودالتا مفاعليتهما .

سيلاحظ ان الرسم البياني للمفاعلة يمكن رسمه بوجود قطبين داخليين فقط وهكذا فكلتا الدائرتين لهما نوع التغير السعوي نفسه ويلاحظ انواع دوال المفاعلة التي يمكن الحصول عليها محدودة وسيشرح هذا بتفصيل اكثر في الجزء القادم .

14.5. نظرية المفاعلة لفوستر (1) : Foster's Reactance Theorem.

في بحث أصبح الآن كلاسيكياً (Classic) ، برهن فوستر على ان ممانعة نقطة السوق لشبكة مفاعلة ثنائية الطرف يمكن حسابها كليا كدالة لتردد بتعيين الاقطاب والاصفار الداخلة ، ماعدا عامل ثابت الضرب الذي يمكن ايجاده بتحديد الممانعة عند تردد واحد(2) ، وعليه اذا كان لشبكتين مفاعلتين الاقطاب والاصفار نفسهما وازافة الى ذلك لهما الممانعة نفسها عند تردد واحد فسيكون لهما ممانعتين متساويتين عند كل الترددات . كذلك اعطى فوستر طريقة لايجاد عناصر الدائرة التي لها اقل عدد من العناصر والتي لها اقطاب واصفار عند ترددات محددة كما اعطى فوستر ايضاً هيئات اخرى للشبكة كما مبين في الاشكال 14.12 و 14.13 وهذه الهيئات تدعى بالقياسية «Canonic» حيث انها تكون دليلاً اساسياً في التحليلات والتأليف (Synthesis) لشبكات مفاعلية ثنائية الطرف كما مبين في المعادلة (10.12) . ان ممانعة نقطة السوق لشبكة يمكن التعبير عنها كالآتي :

$$Z = \frac{D}{A_{11}} \quad (14.19)$$

حيث ان \bar{D} هو المحدد المتشكل من معاملات معادلات النظام و A_{11} هو العامل المساعد للصف الاول والعمود الاول وكل من فروع الشبكة لها ممانعة بالهيئة العامة $\left(j\omega L - \frac{1}{j\omega C} \right)$ ، وكل حد في مفكوك محدد درجة n ، n th-order ، يحتوي على حاصل الضرب لـ n من عناصره وكل عنصر اخذ من صف وعمود مختلف والعامل المساعد A_{11} يقل عند المحدد \bar{D} بالطبع لصف واحد وعمود واحد ومن هذا يمكن ان نخمن ان المفكوك للمعادلة

$$Z = \frac{j}{\omega} \left(\frac{a_0 + a_2\omega^2 + a_4\omega^4 + \dots + a_{2n}\omega^{2n}}{b_0 + b_2\omega^2 + b_4\omega^4 + \dots + b_{2n-2}\omega^{2n-2}} \right) \quad (14.20)$$

كل من متعددي الحدود (Polynomials) في البسط والمقام لهذه المعادلة يحتوي فقط على قوى زوجية لـ ω' وهكذا يمكن تحليلها الى :

$$Z = j\omega H \frac{(\omega^2 - \omega_1^2)(\omega^2 - \omega_2^2) \dots (\omega^2 - \omega_{m+1}^2)}{\omega^2(\omega^2 - \omega_2^2)(\omega^2 - \omega_4^2) \dots (\omega^2 - \omega_m^2)}$$

$$H = a_{2n}/b_{2n-2} \quad \text{حيث ان} \\ m = 2n - 2$$

(١) يمدن: ترك هذه الصيغة مع الحفاظ على استمرارية النص

(1) Ronald M. Foster, A Reactance Theorem, Bell System Tech. J., Vol. 3, pp.

(2) 259-267, April, 1924. Also see Guillemin, op. cit., Chap. V, and Bode. op. cit., Sec. 9.4.

والترددات ω_1 ω_2 هي مواقع الاصفار للممانعة والترددات ω_3 ، ω_4 هي مواقع الاقطاب .

وكما بين اعلاه فالممانعة لها قطب عند تردد صفر وبما ان البسط هو درجة اعلى لـ ω من المقام فالممانعة لها قطب عند تردد غير نهائي واذا كانت للشبكة صفر عند تردد غير نهائي فأن العامل الاخير في البسط $(\omega^2 - \omega_{\infty}^2)$ سوف يحذف ولهذا يجعل البسط درجة اقل من المقام والثابت \bar{H} في هذه الحالة سيكون عدداً سالباً .

مثال 1 :

اوجد الصيغة لممانعة نقطة السوق لشبكة مفاعلية لها اقطاب عند $\omega = 0$ ، $\omega = 2,000$ وغير نهائية والاصفار توضع عند $\omega = 1,000$ هرتز و $3,000$ هرتز ويراد ان تكون الممانعة 750Ω - اوم عند تردد 500 هرتز .
من المعادلة (14.21) يمكن ان نكتب :

$$Z = j\omega H \frac{(\omega^2 - 10^6)(\omega - 9 \cdot 10^3)}{\omega^2(\omega^2 - 4 \cdot 10^6)}$$

لايجاد \bar{H} نضع Z لتساوي 750Ω - عند تردد $\omega = 500$ ثم :

$$-j750 = j500H \frac{(0.250 - 1)(0.250 - 9)}{0.250(0.250 - 4)}$$

ومنها :

$$H = 0.214$$

$$Z = j0.214\omega \frac{(\omega^2 - 10^6)(\omega^2 - 9 \cdot 10^6)}{\omega^2(\omega^2 - 4 \cdot 10^6)} = 0,$$

مثال 2 :

شبكة مفاعلية لها اصفار ممانعة عند $\omega = 0$ و $\omega = 2,000$ وعند تردد غير نهائي . الاقطاب تعين عند $\omega = 1,000$ و $\omega = 4,000$ ويراد ان تكون الممانعة 700Ω عند $\omega = 500$. يمكن كتابة :

$$Z = j\omega H \frac{\omega^2 - 4 \cdot 10^6}{(\omega^2 - 10^6)(\omega^2 - 16 \cdot 10^6)}$$

لحساب H نعوض :

$$j700 = j500H \frac{0.25 - 4}{(0.25 - 1)(0.25 - 16) \cdot 10^6}$$

$$H = -4.41 \times 10^6$$

من هذا :

و

$$Z = -j4.41 \times 10^6 \omega \frac{\omega^2 - 4 \cdot 10^6}{(\omega^2 - 10^6)(\omega^2 - 16 \cdot 10^6)}$$

كخطوة اولى لايجاد شبكة مفاعلة بسيطة تجهز هيئة معينة لممانعة نقطة السوق سنحاول تبسيط المعادلة (14.21) الى مجموع من المركبات البسيطة . اولاً نلاحظ انه كلما تقترب ω من مقدار غير متناه فان Z تقترب من $j\omega H$ ثم نكتب Z كحاصل جمع $j\omega H$ زائداً كسور جزئية كل منها يقترب من صفر عندما تقترب من مقدار غير متناه ويعطينا هذا تعبيراً بسيطاً :

$$Z = j\omega H - j\omega \left(\frac{A_0}{\omega^2} + \frac{A_1}{\omega^2 - \omega_1^2} + \dots + \frac{A_m}{\omega^2 - \omega_m^2} \right) \quad (14.23)$$

حيث ان ال A 's هي معاملات لم توجد الى الآن .

الاشارة السالبة امام القوس استعملت لفائدة لاحقة ، وقد امتص العامل H في ال A 's .

نحاول الآن تمثيل كل من الحدود بدائرة بسيطة ، الحد الاول $j\omega H$ يمكن التعرف عليه حالياً بأنه ممانعة حثية والحد الثاني jA_1/ω يمثل متسعة على التوالي وكل من الحدود الباقية يمكن ان نأصلها بدائرة LC متوازية لان كل ممانعة لدائرة كهذه يمكن كتابتها كالاتي :

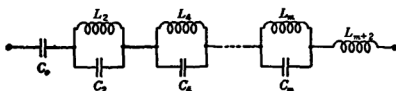
$$\frac{j\omega L(-j/\omega C)}{j(\omega L - 1/\omega C)} = \frac{-j\omega/C}{\omega^2 - 1/LC} = \frac{-j\omega/C}{\omega^2 - \omega_s^2}$$

حيث ان ω_s هو تردد الرنين العكسي .

يمكن الآن ان نكتب المعادلة (14.23) كحاصل جمع ممانعات :

$$Z = j\omega L_{m+1} - j\omega \left(\frac{1/C_0}{\omega^2} + \frac{1/C_1}{\omega^2 - \omega_1^2} + \dots + \frac{1/C_m}{\omega^2 - \omega_m^2} \right)$$

التي كتبنا فيها $j\omega L_{m+1}$ مكان $j\omega H$. الدائرة التي تناظر هذه الممانعة مبينة في الشكل 14.12 .



شكل 14.12 اول هيئة قياسية لممانعة نقطة السوق المفاعلية .

نستعمل الآن المعادلة السابقة لإيجاد صيغة للمتسع. اعتبر أي حد له الهيئة $j\omega/C_k(\omega^2 - \omega_k^2)$ ، إذا ضربنا طرفي المعادلة (14.24) بـ $(\omega^2 - \omega_k^2)$ ووضعنا $\omega = \omega_k$ فإن كل الحدود على يمين المعادلة ستصبح صفراً ما عدا $j\omega/C_k$ - ثم نحصل على الصيغة :

$$\frac{1}{C_k} = \left[\frac{(\omega^2 - \omega_k^2)}{\omega} jZ \right]_{\omega=\omega_k}$$

حيث أن ω_k هي موقع القطب للممانعة والتعبير لـ Z في هذه المعادلة سوف يستعمل بالهيئة المعطاة بالمعادلة (14.21) . لرتين عكسي عند التردد الملائم يجب أن يكون :

$$L_k = \frac{1}{\omega_k^2 C_k}$$

المتسعة C_0 يمكن اعتبارها تحديدا لدائرة LC متوازية لها رنين عكسي عند تردد صفر ولهذا وبواسطة المعادلة (14.26) لها محاث غير نهائية على التوازي مع C_0 . المحاث L_{m+2} يمكن اعتبارها تحديدا لدائرة LC المتوازية والتي لها رنين عكسي عند تردد غير نهائي ، ولهذا لها متسعة تساوي صفراً على التوالي مع L_{m+2} والصيغتان المعطيتان أخيراً يمكن استعمالهما لإيجاد عناصر دائرة فوستر ما عدا L_{m+2} وعلى كل لـ L_{m+2} نتذكر أن :

$$L_{m+2} = H$$

دائرة الشكل 14.12 لها اقطاب عند تردد صفر وعند تردد غير متناهٍ للحصول على صفر عند تردد صفر نبذل C_0 فقط بدائرة قصر للحصول على صفر عند مقدار غير نهائي نبذل L_{m+2} بدائرة قصر ، الصيغ (14.25) و (14.26) تبقى منطبقة للعناصر الباقية .

مثال 3 :

للمثال 1 في هذا الجزء ، المعادلة (14.22) عبرت عن المعادلة العتية التي تحدد الاقطاب والاصفار ، ولها ممانعة معينة عند تردد واحد . جد العناصر لدائرة فوستر التي تغطي هذه الممانعة .

للمتسع ، نعوض الصيغة لـ Z (المعادلة 14.22) في الصيغة (14.25) ونحصل :

$$\frac{1}{C_k} = \left[-0.214 \frac{(\omega^2 - \omega_k^2)(\omega^2 - 10^6)(\omega^2 - 9 \cdot 10^6)}{\omega^2(\omega^2 - 4 \cdot 10^6)} \right]_{\omega=\omega_k}$$

فرا د - 1

وتحسب هذه عند القطبين $\omega_1^2 = 0$ و $\omega_2^2 = 4 \cdot 10^6$ ولأول هاتين يكون لدينا :

$$\frac{1}{C_0} = -0.214 \frac{(-10^6)(-9 \cdot 10^6)}{(4 \cdot 10^6)} = 0.481 \times 10^6 \text{ farad}^{-1} \quad \text{فراد}^{-1}$$

$$C_0 = 2.08 \times 10^{-6} \text{ farad}$$

ل $\omega_2^2 = 4 \cdot 10^6$ يكون لدينا :

$$\frac{1}{C_2} = -0.214 \frac{(4 \cdot 10^6 - 10^6)(4 \cdot 10^6 - 9 \cdot 10^6)}{(4 \cdot 10^6)} = 0.803 \times 10^6 \text{ farad}^{-1} \quad \text{فراد}^{-1}$$

$$C_2 = 1.246 \times 10^{-6} \text{ farad}$$

باستعمال المعادلة (14.26) :

$$L_2 = \frac{0.803 \times 10^6}{4 \cdot 10^6} = 0.201 \text{ henry} \quad \text{هنري}$$

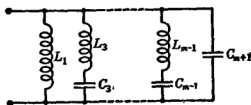
من المعادلة (14.27) فإن محاثة التوالي التي تعطى قطعاً عند مقدار غير نهائي :

$$L_4 = H = 0.214 \text{ henry}$$

هنري

الشبكة تتكون من العناصر الآتية على التوالي : C_0 و L_2 على التوازي

و L_4



شكل 14.13 هيئة قياسية ثانية لفoster لمحاكاة نقطة السوق المفاعلية .

الهيئة القياسية لشبكة فوستر مبينة في الشكل 14.13 . وهنا L_1 يُعطى صفراً عند تردد صفر ، و L_2 و C_2 ينتج عنهما صفر عند ω_2 ، إلى آخره ، و C_{m+1} تنتج صفر عند تردد غير نهائي ولاشتقاق هذه الدائرة تكتب المسيرة بهيئة مشابهة لـ (14.20) ويستعمل مفكوك كسر جزئي وتمثل الحدود بعدئذ

$$\left. \begin{aligned} L_k &= \left[\frac{-j\omega Z}{\omega^2 - \omega_k^2} \right]_{\omega=\omega_k} \\ C_k &= \frac{1}{\omega_k^2 L_k} \end{aligned} \right\} \quad \text{يفروع LC متوالية والصيغ للعناصر هي (1) :} \quad (14.28)$$

(1) شاهد :

Foster, op. Cit., and Gullemin, op. Cit.

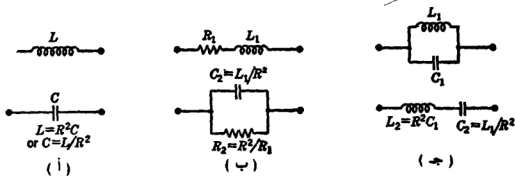
حيث ان ω هو موقع الصفر للممانعة .
المتسعة C_{n+1} التي تقترب من الصفر للممانعة عند تردد غير نهائي معطاة بـ :

$$C_{n+1} = \frac{1}{(-H)} \quad (14.29)$$

حيث ان H هو ثابت (الآن سالب) يضرب التعبير الاصلي للممانعة واذا كان للممانعة قطب عند تردد غير نهائي تبديل C_{n+1} بدائرة مفتوحة ، واذا وجد قطب عند تردد صفر ، L_{n+1} هي غير نهائية وتبديل بدائرة مفتوحة . والصيغ (14.28) تبقى منطبقة للعناصر الباقية .

14.6 ممانعات عكس او قلب : Inverse, or Reciprocal, Impedances.

يقال عن ممانعتين بأنهما عكسيان او مقلوبتان اذا كان تغير احدهما مع التردد هو عكس او مقلوب التغير في الاخرى وحاصل ضربهما كان ثابتاً ولا يعتمد على التردد .



شكل 14.14 أمثلة على شبكات عكسية بالنسبة الى R^2

في الحالات المهمة جداً فإن حاصل الضرب حقيقي وله وحدات مقاومة تربيع :

$$Z_1 Z_2 = R^2 \quad (14.30)$$

يقال عن Z_1 هنا بأنها مقلوب Z_2 بالنسبة لـ R^2 وهناك عدة أمثلة بسيطة لشبكات مقلوبة مبينة في الشكل 14.14 .

للشبكة الاولى يكون لدينا :

$$Z_1 Z_2 = (j\omega L) \left(\frac{-j}{\omega C} \right) = \frac{L}{C}$$

هنا $R^2 = L/C$ واذا بدأنا بقيمة معينة لـ L فإن الممانعة المقلوبة بالنسبة الى

R^2 يمكن الحصول عليها مع $C = L/R^2$ فراد ومن ناحية اخرى اذا كانت C

معلومة فإن الممانعة المقلوبة يحصل عليها بـ $L = R^2 C$ هنري .

وفي المثال الثاني يكون لدينا :

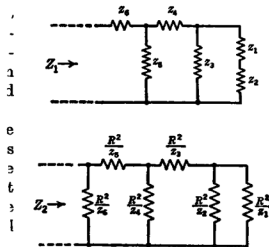
$$Z_1 Z_2 = (R_1 + j\omega L_1) \left(\frac{1}{1/R_2 + j\omega C_2} \right)$$

اذ جعلنا $R_2 = R^2/R_1$ و $C_2 = L_1/R^2$ ، فإن حاصل ضرب $Z_1 Z_2$ يساوي R^2 والممانعتين هما مقلوبتان . لاحظ ان ربط التوالي لدائرة واحدة استبدل بالتوازي للآخرى وان كل عنصر في دائرة واحدة استبدل بعكسه بالنسبة لـ R^2 في الاخرى . في المثال الثالث لشكل 14.14 حاصل ضرب الممانعتين هو :

$$Z_1 Z_2 = \left(\frac{-j}{\omega C_1 - 1/\omega L_1} \right) j \left(\omega L_2 - \frac{1}{\omega C_2} \right)$$

اذا كان $L_2 = R^2 C_1$ و $C_2 = L_1/R^2$ فان حاصل ضرب $Z_1 Z_2$ هو R^2 وان الممانعتان هما مقلوبتان وربط التوالي يبدل برابط توازي وكل عنصر يبدل بعكسه بالنسبة لـ R^2 ، والقطب لـ Z_1 استبدل بصفر لـ Z_2 .

ان المبادئ الموضحة في الأمثلة السابقة يمكن تعميمها على أية شبكة تحتوي على ممانعات مربوطة على التوالي والتوازي كما مبين في الشكل 14.15 ولقلب الممانعة Z_1 بالنسبة R^2 فإن كل ربط توازي يستبدل برابط توازي وكل ربط توازي يستبدل برابط توازي ، بالإضافة الى ذلك كل عنصر يبدل بعكسه بالنسبة لـ R^2 .



شكل (14.15) شبكات عكسية

بصورة عامة ، لكي تكون شبكتان مفاعلتان بحتتان مقلوبتين فإن الاقطاب لوحدة يجب ان تناظر الاصفار في الاخرى ، فاذا كان حاصل ضرب $Z_1 Z_2$ مساوياً لـ R^2 عند اي تردد واحد فإنه سيكون مساوياً لـ R^2 عند كل الترددات .

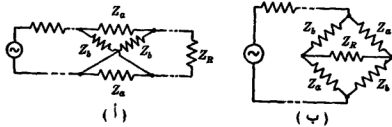
14.7 المرشح المتشابك : The Lattice Filter.

كما ذكر في الجزء 14.1 سوف نعطي هنا مقدمة موجزة للمرشح المتشابك وسوف نشر القارئ الى الكتب المذكورة في الملاحظة الأخيرة في « أسفل الصفحة » لذلك الجزء لمعاملة أكثر تفصيلاً ويمكن اعتبار المتشابك مع ممانعة حمل كدائرة قنطرة ، كما موضح في الشكل 14.16. ومن الواضح ان القنطرة سوف تتوازن وسيكون الارسال صفراً (بعبارة أخرى توهين غير نهائي عند أي تردد عندما تكون $Z_a = Z_b$).

المتشابك له تركيب متناظر وله ممانعة الدائرة المفتوحة نفسها عند كل من نهايتيه وكذلك ممانعة دائرة القصر . بملاحظة الشكل 14.16 أ :

$$\left. \begin{aligned} Z_{open} &= \frac{Z_a + Z_b}{2} \\ Z_{short} &= \frac{2Z_a Z_b}{(Z_a + Z_b)} \end{aligned} \right\} \quad (14.31)$$

ويمكن الحصول على الممانعة الصورية من المعادلة (12.14) وهذه الممانعة هي نفسها عند كلا النهايتين وتساوي الممانعة المتكررة في كلا الاتجاهين وهكذا سوف نسميها بالممانعة المميزة .



شكل 14.16 المتشابك مع ممانعة حمل يمكن رسمه كدائرة قنطرة .

ومن ثم :

$$Z_0 = \sqrt{Z_{open} Z_{short}} = \sqrt{Z_a Z_b} \quad (14.32)$$

إذا كانت Z_1 و Z_2 مفاعلتين باشارتين متعاكستين فإن Z_0 حقيقة أي مقاومة . وبالمقارنة مع نتائج المقاطع السلمية ، نتوقع ان هذا يؤثر حزمة امرار وإذا كانت Z_1 و Z_2 هما مفاعلتان لهما الاشارة نفسها فاعن Z_0 ستكون مفاعلة وتمثل منطقة التوهين .

لهذه الشبكة المتناظرة ثابت انتقال صوري مساو لنسبة تيار (او فولتية)

المدخل الى المخرج عندما تنهى الشبكة ب \bar{Z}_0 ونستعمل المعادلة (12.20) ونكتب :

$$\epsilon^{2\theta} = \frac{1 + \sqrt{Z_{short}/Z_{open}}}{1 - \sqrt{Z_{short}/Z_{open}}}$$

بالتعويض من المعادلة (14.31) وبالتعويض من الكسور ، نجد :

$$\begin{aligned}\epsilon^{2\theta} &= \frac{1 + 2\sqrt{Z_a/Z_b} + Z_a/Z_b}{1 - 2\sqrt{Z_a/Z_b} + Z_a/Z_b} \\ &= \left(\frac{1 + \sqrt{Z_a/Z_b}}{1 - \sqrt{Z_a/Z_b}} \right)^2\end{aligned}\quad \text{ثم :}$$

$$\epsilon^\theta = \epsilon^{a\theta} = \frac{1 + \sqrt{Z_a/Z_b}}{1 - \sqrt{Z_a/Z_b}} \quad (14.33)$$

إذا كانت Z_a و Z_b مفاعلتين بإشارتين متعاكستين (Z_{in} هي مقاومة) فإن Z_a/Z_b تكون سالبة وتكون $\sqrt{Z_a/Z_b}$ خيالية ولذا فإن بسط ومقام المعادلة 14.33 يكونان اعداداً مركبة مترافقة وان حاصل قسمة عددين مركبين مترافقين له اتساع مقداره واحد وزاوي مقدارها ضعف تلك للبسط ، وهكذا يكون لدينا :

$$\left. \begin{aligned}\alpha &= 0 \\ \beta &= 2 \tan^{-1} \sqrt{-Z_a/Z_b}\end{aligned} \right\} \quad (14.34)$$

وواضح ان هذه هي حزمة امرار .

وإذا كانت Z_a و Z_b مفاعلتين لهما الاشارة نفسها (التي تجعل Z_0 مفاعلة) فإن Z_a/Z_b موجبة و $\sqrt{Z_a/Z_b}$ حقيقية .
الآن يجب ان نميز بين هذين الاحتمالين :

(أ) إذا كانت $Z_a < Z_b$ ، فإن الطرف الايمن للمعادلة (14.33) يكون موجباً وبما ان $\epsilon^{2\theta}$ موجب دائماً فيجب ان يكون لدينا $\epsilon^{2\theta} = +1$ ، ولذا فإن $\beta = 0$ ،

$$\epsilon^a = \frac{1 + \sqrt{Z_a/Z_b}}{1 - \sqrt{Z_a/Z_b}} \quad \text{بالحل لـ } \sqrt{Z_a/Z_b} \text{ نحصل على :}$$

$$\begin{aligned}\sqrt{\frac{Z_a}{Z_b}} &= \frac{\epsilon^a - 1}{\epsilon^a + 1} \\ &= \frac{\epsilon^{a/2} - \epsilon^{-a/2}}{\epsilon^{a/2} + \epsilon^{-a/2}}\end{aligned}$$

$$\tanh \frac{\alpha}{2} = \sqrt{\frac{Z_a}{Z_b}} \quad (14.35)$$

(ب) من ناحية اخرى اذا كانت $Z_o > Z_o$ فإن الطرف الايمن من المعادلة (14.33) سيكون سالباً ، وهذا يحتم ان تكون β مساوية لـ π من الزاوية نصف القطرية ثم ان $e^{-j\beta} = e^{-j\pi} = -1$ وعليه تصبح المعادلة (14.33) :

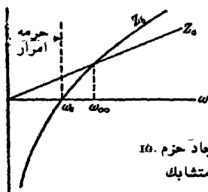
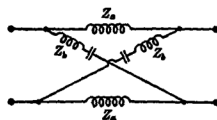
$$-e^{-j\beta} = \frac{1 + \sqrt{Z_o/Z_o}}{1 - \sqrt{Z_o/Z_o}} \quad \text{بالحل لـ } \sqrt{Z_o/Z_o} \text{ سوف نحصل على معكوس } \tanh \alpha/2 \text{ وهكذا يكون لدينا :}$$

$$\tanh \frac{\alpha}{2} = \sqrt{\frac{Z_o}{Z_o}} \quad (14.36)$$

رأينا بأنه يحصل على حزمة الامرار لمرشح متشابك عندما تكون Z_o و Z_o مفاعلتين لهما عكس الاشارة وكمثال اعتبر المرشح البسيط للشكل 14.17 وهنا Z_o و Z_o لهما اشارتين متعاكستين عند ترددات اوطأ من ω_c اذن هذا هو مرشح امرار واطيء له تردد قطع مساو لـ ω_c .

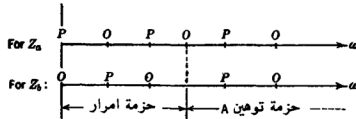
عند التردد المؤشر به ω_c في الرسم التخطيطي ، المنحنيين يتقاطعان ويعتمد المتشابك هنا كقنطرة متوازنة عند هذا التردد . ان قيمة الارسال صفر والتوهين غير نهائي .

الممانعة Z_o بصورة عامة يمكن ان يكون لها اي عدد من الاصفار في حزمة الامرار بشرط ان Z_o لها اقطاب عند الترددات نفسها ، كذلك فإن كل قطب لـ Z_o يجب ان يواءم بصفر متناظر لـ Z_o وعندئذ تبقى المفاعلتان لهما اشارتان معكوستين ولكن في حزمة التوهين يجب ان تكون للمفاعلتين الاشارات نفسها وهكذا فإن الاقطاب والاصفار يجب ان يحدثا معاً وهذا موضع تخطيطياً في شكل 14.18 لمرشح امرار واطيء .



شكل 14.17 توضيح ايجاد حزم
الامرار والتوهين لمقطع متشابك

ومن الواضح بأن هنالك قدر كبير من المرونة لتصميم مرشح متشابه لان عدد الاقطاب والاصفار محدد فقط بعدد العناصر التي يراد وضعها في كل فرع وكذلك لعدد معين من الاقطاب والاصفار فان الوضع المضبوط لكل منها هو مسألة تصميم ولهذا الاسباب فإن خواص التوهين والطور للمرشح المتشابه وتغير ممانعته المميزة يضبط بطريقة اكثر مرونة منها لمرشح سلمي .



شكل 14.18 تمثيل تخطيطي لترتيب الاقطاب والاصفار لمرشح امرار واطي متشابه .
قطب P = صفر O .

بعض المقاطع المتشابهة يمكن ان تبسط الى مقطع T او π وبعض اخر يمكن ان تبسط الى \bar{T} مقنطرة بدون استعمال محول ولكن البعض الآخر لا يمكن تبسيطها وهذا يجيز خواصاً لا يمكن الحصول عليها من تركيبات بسيطة وكمثال مهم لهذه الحالة سوف نتأمل باختصار مرشح امرار كلي (All Pass) متشابه ، يستعمل لشبكات معادلة الطور (Phase Equalizing) لتعويض الطور الذي يظهر من خواص التردد في اقسام اخرى من نظام الارسال^(١) .

ان التركيب للامرار الكلي ليس له حزمة توهين وعوضا عن ذلك يجيز ازالة طور كدالة للتردد . يمكن الحصول على الامرار الكلي بجعل Z_a معكوسة Z_b ولذا فإن حاصل ضربهما يكون ثابتاً و Z_b تكون مقاومة ثابتة وخارج قسمة Z_a/Z_b سيكون دالة للتردد كما مبين في المعادلة (14.354) فإن هذا سوف يجيز ازالة طور كدالة للتردد . مثال بسيط مبين في الشكل 14.19 ، عند تردد واطيء فإن

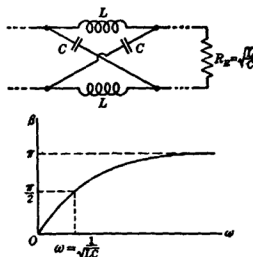
(١) تعادل التوهين هو بصورة عامة اكثر اهمية من تعادل الطور بالرغم من ان كليهما مهم في بعض الاحيان . مناقشة معادلات التوهين ومعادلات الطور راجع .

O. J. Zobel, Distortion Correction in Elec-trical Circuits with Constant-resistance Recurrent Networks, Bell System Tech. J., Vol. VII, pp. 438-534, July, 1928; W. L. Everitt, «Communication Engineering,» 2d ed., Chap. IX, McGraw-Hill Book Company, Inc., New York, 1937; F. E. Terman, «Radio Engineers' Handbook, »pp. 244-249, McGraw-Hill Book Company, Inc., New York 1943

الطرفين العلويين يربطان مباشرة معاً وعند تردد عال جداً فإن المحاثتين
يمنعان (Block) - سريان التيار والمتسعتان تصبحان دائرتين مقصرتين
افتراضيتين وهكذا يعكسان الطور عن طرفي المخرج وبما أن $Z_0 = j\omega L$ و $Z_0 = -j/\omega C$
يكون لدينا $Z_0 = \sqrt{L/C}$ عند كل الترددات وإزاحة الطور
باستعمال المعادلة (13.34) هي :

$$\beta = 2 \tan^{-1} \omega \sqrt{LC}$$

ان تغير هذه مع التردد معطى بالشكل 14.19 ، يمكن الحصول على خواص طورية
اخرى مع التردد بواسطة فروع اكثر تعقيداً .



شكل 14.19 مثال على شبكة معادلة الطور

مسائل

المسائل الاربعة تبين اذرع التوالي والتوازي كاملة لمقاطع سلمية . ارسم مخطط T و π لكل منها وباستعمال رسم بياني للمفاعلة ، عين حزم الارسال والتوهين وجد صيغاً لترددات القطع .

- 1 . فرع التوالي متسعة C وفرع التوازي : محاث L .
- 2 . فرع التوالي : محاث L_1 وفرع التوازي محاث L_2 على التوالي مع متسعة C .
- 3 . فرع التوالي : محاث L_1 على التوالي مع متسعة C وفرع التوازي محاث L_2 .
- 4 . فرع التوالي : محاث L_1 وفرع التوازي محاث L_2 على التوالي مع متسعة C .
- 5 . مقطع لمرشح سلمي معين له فرع توالي يتكون على محاث على التوالي مع متسعة وفرع التوازي يتكون من محاث على التوالي مع متسعة وتردد الرنين لفرع التوالي هو تردد الرنين العكسي لفرع التوازي نفسه . استخدم رسماً بيانياً للمفاعلة لايجاد عدد المواقع النسبية لحزم النقل والتوهين . ماذا يحدث لو جعل تردد الرنين لفرع التوالي اقل من تردد الرنين العكسي لفرع التوازي ؟

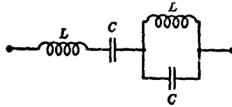
$$\begin{aligned} Z &= R + j\omega L & \text{اوم لكل وحدة طول} \\ Y &= G + j\omega C & \text{مويه لكل وحدة طول} \end{aligned} \quad (2.24)$$

- 6 . ارجع الى المثال 1 في الجزء 14.2 :
أ . اكتب صيغاً جبرية لـ Z_T و \bar{Z}_T لهذا المرشح (كدالة لـ L و C و ω) .
ب . اذا اقتربت Z_T من 500 اوم عند تردد واطئ جداً واذا اريد ان يكون تردد القطع 4,000 هرتز . احسب القيم اللازمة لـ L و C . ارسم مخططاً لمقطع T ومقطع π مبيناً قيم العناصر .
ج . باستعمال نتائج الفرع ب . ارسم مخططاً لـ Z_T كدالة للتردد في المدى $8,000 < f < 14,000$ هرتز .

- د . جد α و β عند تردد 2,000 هرتز وعند 8,000 هرتز .
- 7 . ارجع الى المثال 2 الجزء 14.2 . اعطى $L_1 = 0.795$ هنري ، $C_1 = 0.0354 \times 10^{-6}$ فراد ، $C_2 = 0.0795 \times 10^{-6}$ فراد .

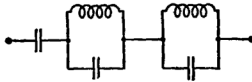
- أ . احسب ترددات القطع بالهرتز .
- ب . جد قيمة Z_T في وسط حزمة الامرار .
- ج . بمساعدة . الشكل 14.5 ، ارسم مخططاً لـ α و β مع التردد بين تردد صفر وتردد 1.4 مضروباً بتردد القطع الاعلى (Upper Cutoff Frequency)

- 8 . شكل P8 يبين شبكة مفاعلة ثنائية الطرف
 أ . ارسم مخططاً لهيئة مفاعلة المدخل كدالة للتردد .
 ب . جد صيغاً للترددات التي عندها تصغر (عبر بدلالة L و C) .



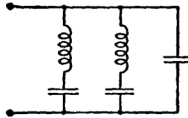
شكل P.8

- 9 . شكل P.9 يبين شبكة مفاعلة ثنائية الطرف . ارسم مخطط هيئة مفاعلة المدخل كدالة للتردد .



شكل P.9

- 10 . ارسم مخططاً لهيئة المفاعلة كدالة للتردد للشبكة المفاعلة الثنائية الطرف المبينة في الشكل P.10



شكل P.10

- 11 . ارسم مخططاً لشكل دائرة شبكة فوستر الثانية التي يكون لها دالة مفاعلة نقطة السوق نفسها للشبكة المبينة في الشكل P.9 .
 12 . شبكة مفاعلة ثنائية الطرف يراد ان تكون لها ممانعة صفر عند الترددات الآتية : صفر ، 5,000 هرتز وتردد غير نهائى ويراد تعيين اقطاب الممانعة عند $\omega = 2,000$ هرتز و $\omega = 8,000$ هرتز ولتكون الممانعة 500 اوم عند تردد $\omega = 1,000$ هرتز .

أ . اكتب صيغة لدالة الممانعة . ماذا يحدث لو حاولنا ان نحدد مفاعلة سالبة بين تردد صفر و $2,000 \omega = 9$ ؟

ب . صمم هيئة شبكة فوسنر الاولى التي لها الخواص المطلوبة .

ج . صمم هيئة شبكة فوسنر الثانية التي لها الخواص المطلوبة .

13 . خط نقل مفتوح الدائرة « بدون فقد » له الاصفار والاقطاب الآتية للممانعة طرف الارسال :

الاقطاب عند $10^6 f$ ، $f = 3 \times 10^4$ هرتز ،

الاصفار عند $10^6 f$ هرتز ،

وممانعة طرف الارسال هي 400 زـ . عند تردد 500,000 هرتز

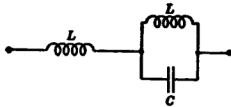
أ . شبكة مفاعلة ثنائية الطرف تتكون من محاثات ومتسعات مكتلة لتنتج المعلومات آفة الذكر من تردد صفر الى تردد 3 ميكا هرتز (الترددان داخلان) ويكون لها قطب عند تردد لانهائي . اكتب تعبيراً للممانعة كدالة لهذه الشبكة .

ب . صمم هيئة شبكة فوسنر الاولى التي يكون لها الخواص المطلوبة .

14 . معطى محاثة مقدارها 0.100 هنري . جد العنصر الذي هو عكس هذه بالنسبة R_1^2 ، حيث ان $R = 500$ اوم .

15 . مقاومة R_1 ومتسعة C_1 ربطتا على التوالي . جد شبكة مقلوبهما بالنسبة لـ R_1 . حدد الشوايت العددية للشبكة العكسية $C_1 = 0.5 \times 10^{-6}$ فراد و $700 = R_1$ اوم .

16 . اعكس الشبكة للشكل P.16 بالنسبة لـ R_1 . اعمل مخططاً للشبكة العكسية وعين القيم العددية للعناصر اذا كان $L = 0.100$ هنري ، $C = 2 \times 10^{-6}$ فراد و $R = 500$ اوم . ارسم مخططاً لهيئة دالة الممانعة التردد لكل من الشبكتين .



شكل 16.

17. ارجع الى مقطع المرحع المتشابه المبين في الشكل 14.17. وافرض ان
 $Z_0 = j\omega L' = j(\omega L - 1/\omega C)$ جد صيغة لتردد القطع بدلالة L و C جد القيم لـ α و β عند:
 (أ) نصف تردد القطع .
 (ب) ضعف تردد القطع .

18. مرشح متشابه له Z_0 يحتوي على محاثّة L_1 على التوالي متسعة C_1 الممانعة Z_0 تتكون من متسعة C_2 . اوجد مواقع حزم النقل والتوهين واكتب صيغة تردد القطع

19. مرشح متشابه له Z_0 يحتوي على محاثّة L على التوالي مع متسعة C الممانعة Z_0 تحتوي على محاثّة $2L$ على التوالي مع متسعة $C/2$. عين حزم النقل والتوهين واوجد صيغاً لترددات القطع . ثم جد القيم لـ α و β عند الترددات الآتية : عند تردد اوطأ من تردد القطع ، عند تردد اعلي من تردد القطع ، عند المعدل الهندسي بين هذين الترددين .

20. مقطع مُعادل طور متشابه له Z_0 محتوية على محاثّة L على التوازي مع متسعة C الممانعة Z_0 تحتوي على محاثّة L على التوالي مع متسعة C . جد صيغة لازاحة الطور كدالة للتردد . ارسم مخططاً لـ β مع التردد للقيم العددية $L = 0.050$ هنري و $C = 0.25 \times 10^{-8}$ فراد ماهي الممانعة المميزة لهذا المقطع ؟

الفصل الخامس عشر

التصميم لمرشحات سلمية

THE DESIGN OF LADDER FILTERS

15.1 مقدمة :

تستعمل مقاطع النوع السلمي في بعض الاحيان منفردة ولكن عندما تكون المتطلبات صارمة جداً تربط عدة مقاطع بالتعاقب . المقاطع المنفردة تصمم لكي يكون لها ترددات القطع (Cutoff Frequencies) نفسها وممانعات صورية عند نقاط التقائها ، وعلى اية حال لا تكون كل المقاطع متشابهة ولكن تختار بحيث ان خواص التوهين المرغوبة لاحدهما ستعوض عن النقص في اخرى وبالإضافة الى ان صفات تحويل الممانعة لنصفي مقطع تستعمل عند نهاية المرشح لتوفير ممانعة صورية ثابتة اكثر عند الاطراف والنتيجة تدعى مرشحاً مركباً (Composite Filter) .

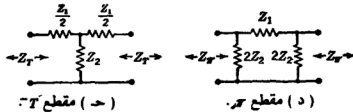
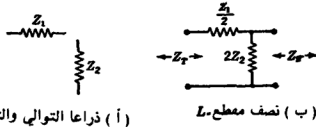


Fig. 15.1 section. شكل 15.1 توضيح الرموز لمقطع نوع سلمي .

أبسط مقطع سلمي هو ما يسمى نوع ثابت - ك (Constant-K) . ويشترك من هذا المقطع نوع اكثر تعقيداً يسمى مشتقة - م (m-Derived) والذي يصمم ليوائم ثابت - ك في ممانعته الصورية وسيوصف هذان النوعان ببعض التفصيل وسنذكر باختصار بعض مقاطع اخرى للنوع السلمي .

الرموز المستعملة لمقطع النوع السلمي مبينة في الشكل 15.1 وقد اشتقت صيغ الممانعات الصورية والتوهين الصوري وثوابت الطور في الجزئين (14.2) و (14.3) وهذه ستكرر مرة أخرى للسهولة ، ان ممانعة منتصف التوالي الصورية (The mid-Series Image Impedance) أعطيت بالمعادلة (14.15)

$$Z_T = \sqrt{Z_1 Z_2} \sqrt{1 + \frac{Z_1}{4Z_2}} \quad \text{وهي :} \quad (15.1)$$

وممانعة منتصف التوالي الصورية هي (من المعادلة (14.16)) :

$$Z_v = \frac{\sqrt{Z_1 Z_2}}{\sqrt{1 + Z_1/4Z_2}} \quad (15.2)$$
يحصل على حزمة امرار (Pass-Band) عندما $-1 < Z_1/4Z_2$ ولذا يكون لدينا :

$$\left. \begin{aligned} \alpha &= 0 \\ \cos \beta &= 1 + \frac{Z_1}{2Z_2} \end{aligned} \right\} \quad (15.3) \quad \text{ومن المعادلة (14.5) :}$$

$$\left. \begin{aligned} \cosh \alpha &= 1 + \frac{Z_1}{2Z_2} \\ \beta &= 0 \end{aligned} \right\} \quad (15.4) \quad \begin{aligned} &\text{هناك احتمالان لحزمة توهين (Attenuation-Band) :} \\ &\text{أ. إذا } Z_1/4Z_2 = 0 \text{ عندنا من المعادلة (14.7) :} \\ &\text{ب. إذا } Z_1/4Z_2 < -1 \text{ عندنا من المعادلة (14.7) :} \end{aligned}$$

$$\left. \begin{aligned} \cosh \alpha &= -1 - \frac{Z_1}{2Z_2} \\ \beta &= \pm \pi \end{aligned} \right\} \quad (15.5)$$

ثابتا التوهين والطور الصوري رسما كدالتين لـ $Z_1/4Z_2$ في الشكل (14.5) .

15.2. Constant-K Ladder Sections. سلمى . مقاطع ثابت ك سلمى

مقطع نوع سلمى مهم بصورة خاصة ويحصل عليه باختبار مفاعلة ذراعي التوالي والتوازي بحيث ان حاصل ضرب ممانعتيهما ثابت وفي الرموز المستعملة اصلاً :

$$Z_1 Z_2 = k^2$$

حيث ان k ثابت موجب وحقيقي ولا يعتمد على التردد ومن المناقشة للجزء (14.6) لاحظنا بأن الممانعتين هما مقلوبتان بالنسبة الى k حيث ان k هي مقاومة وعليه سنكتب بدلاً من ذلك :

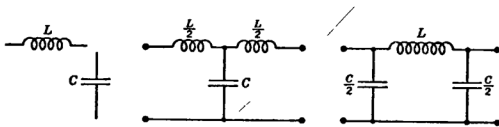
$$Z_1 Z_2 = R^2 \quad (15.6)$$

على اية حال سنستمر باستعمال الاسم «مقطع ثابت ك» ان مقطع ثابت ك هو بصورة خاصة بسيط وفعال بدرجة مقنعة بالاضافة الى ان عيوبه الاساسية من الممكن اصلاحها باستعماله على التعاقب مع مقاطع مشتقة م الموصوفة لاحقاً

الممانعتان المفاعلتان المقلوبتان Z_1 و Z_2 يكونان دائماً بعكس الإشارة وعليه فإن حاصل قسمتها سالب عند كل الترددات ، اذا يكون لهذا المقطع دائماً $Z_1/4Z_2 < 0$ وعليه فإن الحالة (أ) لحزمة التوهين غير موجودة والمعادلة (15.4) لا تنطبق والجزء الايمن للشكل (14.5) لا يستعمل وان ترددات القطع الاسمية (Nominal Cutoff Frequencies) دائماً تماثل الى :

$$\frac{Z_1}{4Z_2} = -1 \quad (15.7)$$

سنصف الآن اربعة انواع شائعة لمقاطع ثابت ك :- امرار واطي ، امرار عالي وامرار حزمة وازالة حزمة .



شكل (15.2) مقطع امرار واطي من نوع ثابت ك

امرار واطي (Low-Pass) : ذراع التوالي هو محاثة \bar{L} وذراع التوازي هو متسعة \bar{C} والممانعتان هما مقلوبتان وعليه فحاصل الضرب ثابت :

$$Z_1 Z_2 = (j\omega L) \left(\frac{-j}{\omega C} \right) = \frac{L}{C} = R^2$$

$$R = \sqrt{\frac{L}{C}} \quad (15.8)$$

ذراعا التوالي والتوازي وربطهما في مقطعي T و π المتناظرين مبينان في الشكل (15.2) . وهذا هو المرشح المعالج في المثال 1 للجزء (14.2) ويؤشر رسم المفاعلة للشكلي (14.7) بان هذا هو تركيب امرار واطي ويمكن ايجاد تردد القطع الاسمي باستعمال العلاقة (15.7) وقد كان معطى بالمعادلة (14.10) ايضاً اي

$$\omega_c = \frac{2}{\sqrt{LC}} \quad (15.9 \text{ أ})$$

$$f_c = \frac{1}{\pi\sqrt{LC}} \quad (15.9 \text{ ب})$$

ممانعتا منتصف التوالي ومنتصف التوازي الصورتين للمقطع سيحصل عليهما من المعادلتين (15.1) و (15.2) باستعمال $\sqrt{Z_1 Z_2} = R$ ونستطيع كتابة :

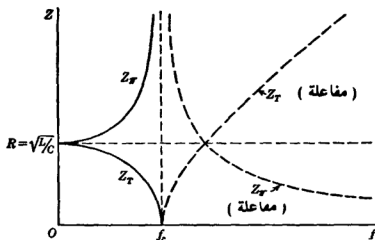
$$\frac{Z_1}{4Z_2} = -\frac{\omega^2 LC}{4} \quad \text{او باستعمال المعادلة (5.9) :}$$

$$\frac{Z_1}{4Z_2} = -\left(\frac{\omega}{\omega_c}\right)^2 = -\left(\frac{f}{f_c}\right)^2 \quad (15.10)$$

$$Z_T = R \sqrt{1 - \left(\frac{f}{f_c}\right)^2} \quad \text{ثم يمكن كتابة معادلتى الممانعتين الصورتين كالآتي :} \quad (15.11 \text{ أ})$$

$$Z_T = \frac{R}{\sqrt{1 - (f/f_c)^2}} \quad (15.11 \text{ ب})$$

الرسوم التخطيطية لهاتين الممانعتين كدوال للتردد معطاة في الشكل (15.3) وعند الترددات الواطئة يقتربان من القيمة $R = \sqrt{L/C}$ وعند القطع فإن Z_T صفر و Z_π غير نهائية وفوق القطع التمانعتان الصورتان هما مفاعلتان بحتتان



شكل 15.3 التغير لممانعتي منتصف التوالي ومنتصف التوازي الصورية لمقطع امرار واطيء نوع ثابت ك

افرض ان المقطع منتبه على أسس صورية ، عندنا $\alpha' = 0$ في حزمة الامرار ومن المعادلتين (15.3) و (15.10) :

$$\beta = \cos^{-1} \left[1 - 2 \left(\frac{f}{f_c} \right)^2 \right] \quad (15.12)$$

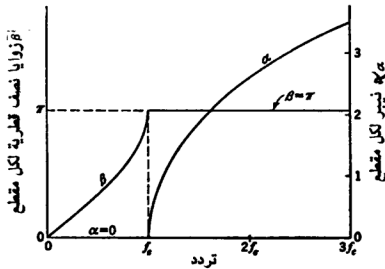
فوق تردد القطع ، ازاحة الطور مع انتهاء صوري هي $\beta = \pi$ من الزوايا نصف قطرية ومن المعادلتين (15.5) و (15.10) :

$$\alpha = \cosh^{-1} \left[2 \left(\frac{f}{f_c} \right)^2 - 1 \right] \quad (15.13)$$

وهذه الكميات رسمت في الشكل (15.4) .

ان تغير الممانعة الصورية يجعل من المستحيل افتراضياً انتهاء المقطع بممانعته الصورية عند كل الترددات وعدم الموائمة الناجبة يؤدي الى انعكاسات

عند الاطراف وعليه فان التوهين الحقيقي وازاحة الطور للمقطع ستكون مختلفة عن القيم الصورية المعطاة اعلاه ويمكن استعمال مقاومة انتهاء قريبة لقيمة R وهذه المقاومة تختار لكي توفر موءمة معقولة جداً على المدى الرئيس للاشارات التي يراد امرارها وفي مرشح متعدد المقاطع فان استعمال نصف مقطع مشتقة م عند النهايتين يوفر موءمة ممانعة جيدة على جزء كبير من الامرار وهذا سيوصف في الجزء (15.4) ، ان تأثيرات الانعكاس الاكثر اهمية تحدث قرب حافة حزمة الامرار ولتصميم دقيق فان طرق الفصل (13) يمكن ان تستعمل لتصحيح النتائج في هذه النقطة .



•• شكل 15.4 تغير β و α مع التردد لمقطع امرار واطيء نوع ثابت ك

ان التحليل المضبوط لمقطع امرار واطيء منفرد من نوع ثابت ك ، معطى في الجزء (15:3) ، بفرض ان المقطع يشغل داخلاً وخارجاً في مقاومات مساوية الى R وتحت هذا الشرط فان فقد الادخال عند قطع اسمي مبين هو 3 ديسيبل وازاحة طور الادخال هي 135° .

ويحصل على صيغ تصميم لمقطع امرار واطيء من نوع ثابت ك بحل المعادلتين (15.8) و (15.9) ل L ، و C معطياً :

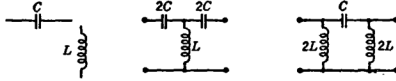
$$\left. \begin{aligned} L &= \frac{R}{\pi f_c} \\ C &= \frac{L}{R^2} = \frac{1}{\pi f_c R} \end{aligned} \right\} \quad (15.14)$$

امرار عالٍ (High-Pass) : مقطع امرار عالٍ نوع ثابت ك له سعة على التوالي ومعاثة على التوازي كما مبين في الشكل (15.5) وعليه فان ،

$$Z_1 Z_2 = \left(\frac{-j}{\omega C} \right) j \omega L = \frac{L}{C}$$

وعليه وكما لمقطع امرار واطيء :

$$R = \sqrt{\frac{L}{C}} \quad (15.15)$$



شكل (15.5) مقطع امرار عالي نوع ثابت ك .

$$\frac{Z_1}{4Z_2} = \frac{-j/\omega_c C}{4j\omega_c L} = -1 \quad \text{وتردد القطع يحصل عليه باستعمال المعادلة (15.7) :}$$

والتي منها :

$$f_c = \frac{\omega_c}{2\pi} = \frac{1}{4\pi\sqrt{LC}} \quad (15.16)$$

ويمكن الحصول على ممانعتي منتصف التوالي ومنتصف التوازي من المعادلتين (15.1) و (15.2) ويمكن كتابتهما كالآتي :

$$\left. \begin{aligned} Z_T &= R \sqrt{1 - \left(\frac{f_c}{f} \right)^2} \\ Z_\pi &= \frac{R}{\sqrt{1 - (f_c/f)^2}} \end{aligned} \right\} \quad (15.17)$$

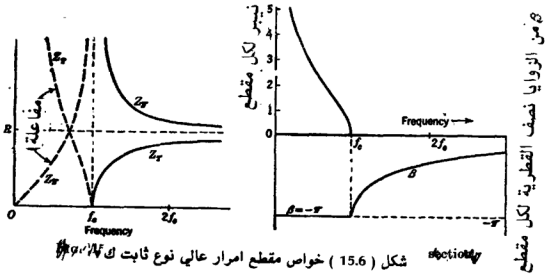
ممانعتا منتصف - توالي ومنتصف توازي الصورتين يحصل عليهما من المعادلتين (15.3) و (15.3) وفي حزمة الامرار (فوق f_c) عندنا :

$$\beta = \cos^{-1} \left[1 - 2 \left(\frac{f_c}{f} \right)^2 \right] \quad (15.18)$$

وبالتقرب من نهاية الجزء (14.3) نبين بأن اشارة β في حزمة امرار هي اشارة مفاعلة التوالي نفسها وعليه فان β هنا هي زاوية سالبة وفي حزمة التوهين (اوطيء من f_c) عندنا $\beta = -\pi$ و :

$$\alpha = \cosh^{-1} \left[2 \left(\frac{f_c}{f} \right)^2 - 1 \right] \quad (15.19)$$

هذه الكميات مرسومة في الشكل 15.6



شكل (15.6) خواص مقطع امرار عالي نوع ثابت ك $g, 1/f$

يحصل على صيغ التصميم لمقطع امرار عالي نوع ثابت ك بحل المعادلتين (15.15) و (15.16) ل C , و L , والنتيجة هي :

$$\left. \begin{aligned} C &= \frac{1}{4\pi f_0 R} \\ L &= \frac{R}{4\pi f_0} \end{aligned} \right\} \quad (15.20)$$

امرار حزمة (Band-Pass) : ذراعاً التوالي والتوازي الكاملان لمقطع امرار عالي نوع ثابت ك مبيانان في الشكل (15.7) . ان الصفر للذراع التوالي يتطابق مع قطب (Pole) ذراع التوازي وعليه فان الاثنتين مفاعلتان مقلوبتان ورسم المفاعلة لشكل (15.7 ب) يبين بأن التركيب له حزمة امرار منفردة وحاصل ضرب الممانعتين هو :

$$Z_1 Z_2 = j\omega L_1 \left(1 - \frac{1}{\omega^2 L_1 C_1} \right) \left(\frac{-j/\omega C_2}{1 - 1/\omega^2 L_2 C_2} \right)$$

لجعل الصفر ل Z_1 يتطابق مع القطب ل Z_2 يجب ان يكون عندنا :

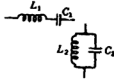
$$L_1 C_1 = L_2 C_2$$

وهكذا فان حاصل ضرب الممانعتين يصبح :

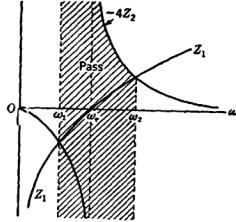
$$Z_1 Z_2 = \frac{L_1}{C_2} = R^2$$

ولكن باستعمال المعادلة (15.21) يصبح $L_1/C_2 = L_2/C_1$ وعليه فان :

$$R = \sqrt{\frac{L_1}{C_2}} = \sqrt{\frac{L_2}{C_1}}$$



أ. ذراع التوالي والتوازي الكاملين
($L_1 C_1 = L_2 C_2$)



ب. رسم مفاعلة

شكل 15.7 مقطع امرار حزمة نوع ثابت ك

وكما مبين بالمعادلة (15.7) كذلك برسم المفاعلة ، نحصل على ترددات القطع

عندما $Z_1 = -4Z_2$ وعليه عند القطع :

وإذا عوضنا $L_1 C_1$ بدلاً من $L_2 C_2$ فيمكن كتابة هذا

$$\omega_c^2 L_1 C_2 \left(1 - \frac{1}{\omega_c^2 L_1 C_1}\right)^2 = 4$$

بالتخلص من الجذر التربيعي من الجانبين يكون لدينا :

$$\omega_c \sqrt{L_1 C_2} \left(1 - \frac{1}{\omega_c^2 L_1 C_1}\right) = \pm 2$$

ومن الممكن إعادة ترتيب ذلك الى :

$$\omega_c^2 \pm \frac{2}{\sqrt{L_1 C_2}} \omega_c - \frac{1}{L_1 C_1} = 0$$

وبحل ذلك لـ ω_c نحصل على :

$$\omega_c = \pm \frac{1}{\sqrt{L_1 C_2}} \pm \sqrt{\frac{1}{L_1 C_2} + \frac{1}{L_1 C_1}}$$

الاشارة السالبة الثانية ستنتج عن قيمة سالبة لـ ω_c وعليه سنهملها ونكتب

تردد القطع السفليين والعلويين

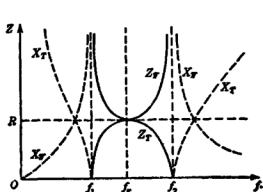
$$\left. \begin{aligned} \omega_1 &= 2\pi f_1 = \sqrt{\frac{1}{L_1 C_2} + \frac{1}{L_1 C_1}} - \frac{1}{\sqrt{L_1 C_2}} \\ \omega_2 &= 2\pi f_2 = \sqrt{\frac{1}{L_1 C_2} + \frac{1}{L_1 C_1}} + \frac{1}{\sqrt{L_1 C_2}} \end{aligned} \right\} \quad (15.24)$$

حاصل الضرب $\omega_1 \omega_2$ هو $1/L_1 C_1$ لاغير وهو مربع التردد الذي تكون عنده Z_1 رنانة و Z_2 غير رنانة ويرمز لهذا التردد بـ ω_r وتكون عندنا العلاقة :

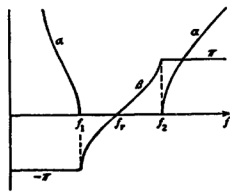
$$\omega_r = \sqrt{\omega_1 \omega_2} \quad (15.25)$$

وعليه فإن التردد الرنان يحدث عند الوسط الهندسي لتردد القطع وإذا كان ω_1 و ω_2 قريبين من بعضهما فإن هذا هو الوسط الحسابي نفسه تقريباً .
 الشكل (15.8) يبين تغير Z_r و Z_e و Γ كما حسب في معادلات الجزء (15.1) ومعادلات التصميم نحصل عليها بحل المعادلتين (15.22) و (15.24) لقيم العناصر والنتائج هي :

$$\left. \begin{aligned} L_1 &= \frac{R}{\pi(f_2 - f_1)} \\ C_1 &= \frac{f_2 - f_1}{4\pi R f_1 f_2} \\ L_2 &= \frac{R(f_2 - f_1)}{4\pi f_1 f_2} \\ C_2 &= \frac{1}{\pi R(f_2 - f_1)} \end{aligned} \right\} \quad (15.26)$$



(أ) ممانعات صورية .



(ب) التوهين الصوري وثوابت الطور .

شكل 15.8 خواص مقطع امرار حزمة نوع ثابت ك

حذف حزمة (Band-Elimination) : مقطع حذف حزمة نوع ثابت ك له الشكل العام المبين في الشكل (15.9) والذي (لجعل الذراعين مقلوبين) يجب ان يكون عندنا :

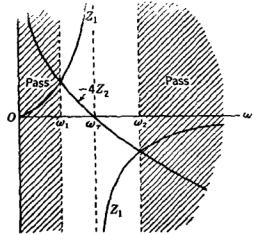
$$L_1 C_1 = L_2 C_2. \quad (15.27)$$

ان رسم المفاعلة في الشكل (15.9 ب) يبين بأن هنالك حزمة توهين منفردة وتقع بين التردددين ω_1 و ω_2 والتوهين غير نهائي عند التردد الرنان ω_r حيث ان ذراع التوالي هنا هو دائرة مفتوحة وذراع التوازي هو دائرة قصر وحاصل الضرب Z_1 و Z_2 هو كما لمرشح امرار حزمة :

$$Z_1 Z_2 = \frac{L_1}{C_2} = \frac{L_2}{C_1} = R^2 \quad (15.28)$$



(أ) ذراعاً التوالي والتوازي الكاملان



(ب) رسم مفاعلة
ion. شكل (15.9) مقطع حذف حزمة نوع ثابت ك

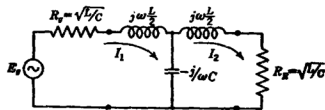
باتباع طريقة مشابهة لتلك المستعملة لمرشح امرار حزمة نستطيع الحصول على معادلات التصميم الآتية (حيث ان \bar{f}_1 و \bar{f}_2 هما ترددات القطع و R هي قيمة الممانعة الصورية عند التردد صفر وعند تردد غير نهائي) :

$$\left. \begin{aligned} L_1 &= \frac{R(f_2 - f_1)}{\pi f_1 f_2} \\ C_1 &= \frac{1}{4\pi R(f_2 - f_1)} \\ L_2 &= \frac{R}{4\pi(f_2 - f_1)} \\ C_2 &= \frac{f_2 - f_1}{\pi R f_1 f_2} \end{aligned} \right\} \quad (15.29)$$

15.3 فقد الادخال لمقطع امرار واطيء منفرد نوع ثابت ك

Insertion Loss of a Single Low-pass Constant-K Section.

عندما يراد فعل امرار واطيء (والمتطلبات غير صارمة) في بعض الاحيان يستعمل مقطع ثابت ك منفرد ولا يمكن ان يتم الانتهاء الصوري عند كل الترددات وسيكون الابتعاد عن اشتغال صوري مثالي كبيراً وهذه المسألة هي بسيطة بدرجة كافية لحلها بنظرية دائرة ابتدائية كما مبين في الشكل (15.10) . سنفرض مقطع T يشغل بين مقاومتين كل منها مساوية للممانعة المميزة للمقطع عند التردد صفر $K = \sqrt{L/C}$.



شكل (15.10) مقطع امرار واطيء نوع ثابت ك يشتغل بين مقاومتين مساويتين لـ $\sqrt{L/C}$

$$\left. \begin{aligned} \left[\sqrt{\frac{L}{C}} + j \left(\frac{\omega L}{2} - \frac{1}{\omega C} \right) \right] I_1 - \left(\frac{-j}{\omega C} \right) I_2 &= E_g \\ - \left(\frac{-j}{\omega C} \right) I_1 + \left[\sqrt{\frac{L}{C}} + j \left(\frac{\omega L}{2} - \frac{1}{\omega C} \right) \right] I_2 &= 0 \end{aligned} \right\} \quad \text{معادلات الشبكة للنظام هي :} \quad (15.30)$$

بحلها لـ I_2 ، النتيجة يمكن كتابتها كالآتي :

$$I_2 = \frac{E_g}{\sqrt{\frac{L}{C}} \left[2 - \omega^2 LC + j\omega\sqrt{LC} (2 - \omega^2 LC/4) \right]} \quad (15.31)$$

من المعادلة (15.9) نعوض عن $\sqrt{LC} = 2/\omega_c$ حيث ان ω_c هو تردد القطع الاسمي للمقطع وعليه عندنا :

$$I_2 = \frac{E_g}{2\sqrt{L/C}} \left\{ \frac{1}{1 - 2(\omega/\omega_c)^2 + j(\omega/\omega_c)[2 - (\omega/\omega_c)^2]} \right\} \quad (15.32)$$

واذا ازيلت الشبكة من الشكل (15.10) وعوض عنها بربط مباشر ، فإن تيار

$$I_2' = \frac{E_g}{R_g + R_R} = \frac{E_g}{2\sqrt{L/C}} \quad (15.33)$$

وعليه يكون لدينا :

$$\text{نسبة الادخال} = \frac{I_2'}{I_2} = 1 - 2 \left(\frac{\omega}{\omega_c} \right)^2 + j \left(\frac{\omega}{\omega_c} \right) \left[2 - \left(\frac{\omega}{\omega_c} \right)^2 \right] \quad (15.34)$$

ويحصل على اتساع هذا بأخذ الجذر التربيعي لمجموع المربعات والنتيجة ببساطة

$$\left| \frac{I_2'}{I_2} \right| = \sqrt{1 + \left(\frac{\omega}{\omega_c} \right)^4} = 20 \log_{10} \left| \frac{I_2'}{I_2} \right| = 10 \log_{10} \left[1 + \left(\frac{\omega}{\omega_c} \right)^4 \right] \text{ db} \quad (15.35)$$

فقد الادخال

$$\text{ازاحة طور الادخال} = \tan^{-1} \left(\frac{\omega}{\omega_c} \right) \left[\frac{2 - (\omega/\omega_c)^2}{1 - 2(\omega/\omega_c)^2} \right] \quad (15.37)$$

إذا ازيلت الشبكة ففولتية الحمل E_R' ستكون متفقة الطور مع E_g وازاحة

طور الادخال هي الزاوية التي تتخلف بها فولتية الحمل الحقيقية عن E_R وعليه فهي مساوية للزاوية التي تتخلف بها فولتية الحمل في الشكل (15.10) عن

E_g

النتائج المعطاة بالمعادلتين (15.36) و (15.37) موجزة في الجدول الآتي .
وقد ادرجت النتائج المحصلة من المعادلتين (15.12) و (15.13) لتشغيل ممانعة
صورية للمقارنة وطالما ان الممانعتين الصورتين متساويتان فأن نسبة الادخال
لتشغيل صوري هي ϵ' وفقد الادخال هو α نيبير وازاحة طور الادخال هو β
من الزوايا نصف القطرية (لاحظ الجزء 13.2) .

مقارنة بين مقطعي امرار واطيء احدهما منته بمقاومة والاخر منته
بصورته

$\frac{\omega}{\omega_c} = \frac{f}{f_c}$	مقطع يشتغل بين $Z_0 = Z_R = \sqrt{L/C}$		مقطع يشتغل بين ممانعتين صورتين	
	فقد الادخال ديسل	ازاحة طور الادخال درجة	فقد الادخال α ديسبل	ازاحة طور الادخال β درجة
0	0	0	0	0
0.500	0.06	60.3	0	60
0.707	0.5	90	0	90
1	3.0	135	0	180
2	18.1	210	22.9	180
4	36.1	241	35.9	180
8	54.0	256	48.1	180
16	72.1	263	60.1	180

النتائج المجذولة (Tabulated) - تبين بأن المقاومة التي تنهي مقطع المرشح
المنفرد فعالة بدرجة كبيرة . بالاضافة الى ان النتائج غير مختلفة بدرجة كبيرة
من الانتهاء الصوري وهذا امر متوقع . ان اكثر الفروق اهمية هو في ازاحة الطور
بقرب القطع وفي حزمة التوهين . والمقطع المنتهي بمقاومة له ازاحة طور تقترب
من 270 عند الترددات البعيدة فوق القطع وبالعقب في حزمة التوهين فان التوهين
للمقطع المنتهي بمقاومة يرتفع اكثر من ذلك المنتهي بالصورية .
لترددات بعيدة نوعاً ما عن القطع فأن المعدل الذي يزداد به فقد الادخال مع
التردد ، يمكن التعبير عنه اصطلاحياً بالديسل لكل اوكتاف (Decibels per octave)
وعندما تكون ω' نوعاً ما اكبر من ω_c فأن المعادلة
(15.36) تكون تقريباً :

$$10 \log_{10} \left(\frac{\omega}{\omega_c} \right)^6 \approx 60 \log_{10} \frac{\omega}{\omega_c}$$

وإذا تضاعف التردد الآن فإن الازاحة الزاوية (Argument) تزداد بعامل مقداره 2 وبما ان اللوغاريتم لحاصل ضرب هو مجموع اللوغاريتمين فإن هذا يحدث زيادة في فقد الادخال وهي :

$$60 \log_{10} 2 \approx 60 \times 0.3 = 18 \text{ db}$$

ديسل

وعليه فإن فقد الادخال لشبكة الشكل (15.10) تزداد بمعدل 18 ديسبل لكل اوكتاف للترددات التي تكون فوق القطع وإذا عوض عن مقطع "T" في الشكل (15.10) بمقطع "X" المماثل فإن النتائج التي وجدت مطابقة لتلك المشتقة فوق وان هذه النتائج المتوقعة ممكن برهانها بطرق الفصل 13 ، والسبب هو ان Z_r هي المقلوب لـ Z_r بالنسبة الى β وعليه فإن المقطعين يكون لهما عاملا الانعكاس نفسها عند طرفيهما .

15.4 مقطع مشتقة م السلمي : The m- derived Ladder Section.

مقطع مرشح ثابت ك له عيبان كبيران : الاول ممانعته الصورية تتغير على مدى واسع منتجة انعكاسات مهمة خاصة بالقرب من حافات حزم الامرار والانعكاسات قد تقوي فولتية الاخراج او تطرح منها وتكون بصورة خاصة مزعجة في حزمة امرار حيث انها تجعل نسبة فولتية المخرج الى المدخل متغيرة مع التردد وهذا هو عكس الخواص المثالية لانتهاء صوري حيث ان $\alpha = 0$ و $|E_{in}| = |E_{out}|$ خلال حزمة الامرار والعيب الثاني هو صفر التوهين مباشرة خارج حزمة الامرار كما موضح بالرسم البياني للشكل (15.4) وكبدأ قد يعالج هذا باستعمال عدد كبير من المقاطع بحيث ان مجموع توهينها يكون كبيراً ولكن يمكن عمل هذا فقط بكلفة استعمال عدد كبير غير مرغوب من عناصر الدائرة (التوهين مقبول لترددات بعيدة جداً من حزمة امرار . ان مقطع امرار واطيء يشغل عند $f = 4/f_c$ له ثابت توهين صوري 4.13 نيبير او 35.9 ديسبل لكل مقطع) . ان استخدام مايسمى بمقطع مشتقة م تم ليلائس على اسس الممانعة الصورية في سلسلة من مقاطع ثابت ك ليوفر التوهين العالي مباشرة خارج حزمة الامرار . ولا يستعمل اعتيادياً وحده لان خواص توهينه غير مقنعة عند الترددات البعيدة من حزمة الامرار . ان مقطعاً نوع م يقال انه « مشتق على التوالي » (Series- Derived) او مشتق على التوازي « (Shunt- Derived) معتمداً على ما اذا كان مصمماً ليوائم الممانعة الصورية لمنتصف التوالي او لمنتصف التوازي لمقطع ثابت ك . ان مقطع ثابت ك الذي اشتق منه يدعى في بعض الاحيان بـ « نموذج اولي (Prototype) »

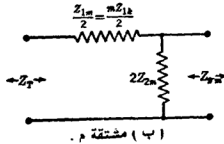
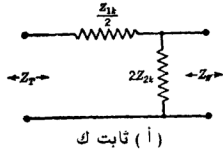
بالإضافة الى تحسين خواص التوهين لمقطع نوع ك فإن نوع مشتقة م ايضاً يوفر حلاً مقبولاً للمسألة الاولى ، ذلك هو التغير في الممانعة الصورية مع التردد وهذا ينجز خواص تحويل الممانعة لنصف مقطع نوع م .

15.5 مقطع نوع م مشتق على التوالي والمرشح المركب :

The Series -derived m- type Section and the Composite Filter.

تركيب نوع م مشتق على التوالي يكون له ممانعة منتصف توالي صورية مشابهة مع انموذجه الاولى ثابت ك ، يبين الشكل (15.11) نصف مقطع ثابت ك مع ماثله تركيب نوع م ، في تركيب نوع م فإن ذراعي التوالي والتوازي الكاملين يرمز لهما بـ Z_{1m} و Z_{2m} ، بالتعاقب ويمكن التعبير عن ممانعة منتصف التوالي الصورية ك :

$$Z_T = \sqrt{Z_{short} Z_{open}} \quad (15.38)$$



شكل (15.11) نصف مقطع ثابت ك
i وماثله تركيب نوع م مشتق على التوالي .
I

عند قياس ممانعة دائرتي الفتح والقصر من الجانب الايسر ، افرض باننا غيرنا Z_{short} بالعامل m ، مع ابقاء Z_T نفسها لذا الممانعة Z_{open} . يجب ان تقسم بالعامل m وبما ان ممانعة دائرة القصر لنصف المقطع تساوي ممانعة الفرع على التوالي فان التغير المقترح يحتاج الى ان :

$$Z_{1m} = mZ_{1k} \quad (15.39)$$

التغير الضروري لممانعة دائرة الفتح عبر عنها بـ :

$$\frac{Z_{1n}}{2} + 2Z_{2n} = \frac{1}{m} \left(\frac{Z_{1k}}{2} + 2Z_{2k} \right) \quad (15.40)$$

وباستعمال المعادلة (15.39) لحذف Z_{1n} من هذا التعبير، نحصل لذراع التوازي الجديد على :

$$Z_{2n} = \frac{Z_{2k}}{m} + \left(\frac{1-m^2}{4m} \right) Z_{1k} \quad (15.41)$$

وعليه فإن ذراع التوازي له جزءان واحد له نفس خواص ذراع التوازي الاصيل والآخر يشابه ذراع التوالي الاصيل. ان مقطعي T الناتجين مبيانان في الشكل (15.12) والعنصر المحتوي على العامل $(1-m^2)/m$ يضع الشرط :

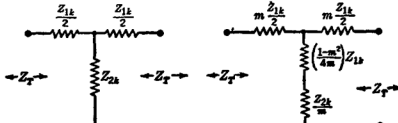
$$0 \leq m \leq 1 \quad (15.42)$$

لتجنب المحاثه والسعة السالبة .

بما ان Z_{1k} و Z_{2k} هما مقلوبان بالنسبة الى R_0^2 لمرشح الثابت ك فان الاثنين هما دائماً مفاعلتان معكوستان وعليه فان ذراع التوازي لمقطع م له مفاعلتان من نوع متعاكس . عند تردد معين تحذف هاتان المفاعلتان وتجعل المرشح دائرة قصر محدثة توهيناً غير نهائي نظرياً وعندما يحدث هذا الشرط يكون لدينا :

$$\frac{(1-m^2)}{4m} Z_{1k} + \frac{Z_{2k}}{m} = 0$$

$$\frac{Z_{1k}}{4Z_{2k}} = \frac{-1}{(1-m^2)} \quad (15.43)$$



(ب) مقطع نوع م مشتق على التوالي . (ا) انموذج اولي ثابت ك

شكل (15.12) مقطعان ثابت ك ونوع م مشتق على التوالي . ممانعات منتصف التوالي الصورية لهما متساوية عند كل الترددات .

حيث ان Z_{1k} و Z_{2k} راجعة الى ذراعي النموذج الاول .

ويمكن (نظرياً) عمل هذا ليحدث عند اية قيمة لـ $Z_{1k}/4Z_{2k}$ من 1 - الى ∞ باختيار ملائم لـ م وهذا المدى من الاختيار يعطي حزمة التوهين الكلية لمقطع النموذج الاول .

اقترحنا مقطعاً نوع م مشتق على التوالي بحيث أن ممانعة منتصف التوالي الصورية هي تلك للانموذج الاولي نفسها وممانعة منتصف التوالي الصورية ، على اية حال ، ستكون مختلفة من تلك التي للانموذج الاولي ومن المعادلة (15.2) نستطيع كتابة :

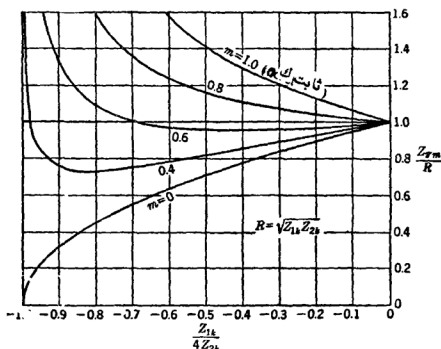
$$Z_{rm} = \frac{\sqrt{Z_{1m}Z_{2m}}}{\sqrt{1 + Z_{1m}/4Z_{2m}}}$$

بالتعويض من المعادلتين (15.39) و (15.41) نحصل على :

$$Z_{rm} = \frac{\sqrt{Z_{1k}Z_{2k}}}{\sqrt{1 + Z_{1k}/4Z_{2k}}} \left[1 + (1 - m^2) \frac{Z_{1k}}{4Z_{2k}} \right]$$

(15.44)

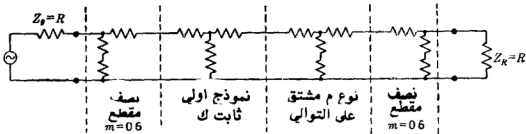
هذه مساوية لممانعة منتصف التوالي الصورية للانموذج الاولي مضروبة بالعامل بين الاقواس .. المعادلة (15.44) مرسومة في الشكل (15.13) على مدى امرار $1 < Z_{1k}/4Z_{2k} < 0$ لقيم مختلفة لـ m وعندما $m = 1$ فان مقطعاً نوع م يختصر الى نوع الثابت K وعندنا التغير الاعتيادي لـ Z_p



شكل (15.13) تغير ممانعة منتصف التوالي الصورية لمقطع نوع م مشتق على التوالي

الشكل (15.13) يبين انه عندما $m = 0.6$ فان ممانعة منتصف التوالي الصورية لمقطع مشتق على التوالي ستكون ثابتة بصورة ملحوظة على معظم حزمة الامرار وهذه تقترح استعمال انصاف مقاطع مع $m = 0.6$ عند الجانبين لمشرح

(كما موضح بالمرشح المتعدد المقاطع للشكل (15.14)) . ان مقطع الثابت ك يوفّر توهيناً عالياً في عمق حزمة التوهين ويربط معه على التعاقب مقطع نوع م والذي له قيمة m مختارة ليوفّر توهيناً غير نهائي في مكان ما مباشرة خارج حافة حزمة الامرار وعند الجانبين هناك مقطعان مع $m = 0.6$ وعند كل الترددات فان كل المقاطع لها الممانعة الصورية (Z_r) نفسها عند نقاط التقائها ولها بالطبع ترددات القطع نفسها ، وعلى اية حال وعند طرفي المدخل والمخرج للمرشح فان الممانعة الصورية هي Z_{rm} المماثلة الى $m = 0.6$ وهذه توائم المصدر ومقاومة الحمل جيداً في معظم حزمة الامرار وتقلل تأثير الانعكاس الى ادنى ما يمكن عند الطرفين . يمكن اجراء تغيير متعدد ممكن (بالطبع) في اختيار المقاطع الداخلية لهذا النوع من المرشح .

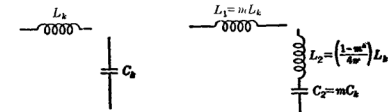


شكل (15.14) مثال لمرشح مركب ، كل المقاطع لها Z_r نفسها .

15.6 . مرشح امرار واطى مشتق على التوالي :

The Series- derived Low- pass Filter.

الخواص المشروحة في الجزء السابق ستوضح هنا لمرشح واطى الامرار ، ان مقطع النوع م المشتق على التوالي يحصل عليه من نموذج ثابت ك الاولي باستعمال المعادلتين (15.39) و (15.4) ، ايضاً لاحظ الشكل (15.12) والشكل العام الناتج لمرشح واطى الامرار مبين في الشكل (15.15) .



ب . مقطع نوع م مشتق على التوالي أ . نموذج اولى ثابت ك .

شكل (15.15) مقطعا امرار واطى سلمي .

من المعادلة (15.43) ذراع التوازي لمقطع م سترن وستحدث توهيناً غير نهائي عندما :

$$\frac{Z_{1k}}{4Z_{2k}} = \frac{\omega^2 L_k C_k}{4} = \frac{1}{1 - m^2}$$

وإذا رمزنا لهذا التردد بـ ω_c وتذكر على ان القطع يحدث عند $\omega_c = 2/\sqrt{L_k C_k}$ نستطيع كتابة :

$$\frac{\omega_c}{\omega_e} = \frac{f_c}{f_e} = \frac{1}{\sqrt{1 - m^2}} \quad (15.45)$$

بالحل لـ m نحصل على :

$$m = \sqrt{1 - \left(\frac{f_e}{f_c}\right)^2} \quad (15.46)$$

هذه المعادلة تستعمل لاختيار قيمة m التي ستوفر توهيناً عالياً في المنطقة المرغوبة .

ان ممانعة منتصف التوالي الصورية هي (بالطبع) نفسها كتلك لمقطع ثابت ك وهي معطاة بالمعادلة (15.11 أ) والشكل (15.3) وممانعة منتصف التوازي الصورية يحصل عليها من المعادلة (15.44) وبملاحظة ان :

$$Z_{1k}/4Z_{2k} = -\omega^2 L_k C_k / 4 = -(f/f_c)^2$$

باستعمال المعادلة (15.45) . العامل بين القوسين يمكن ان يكتب كـ $[1 - (f/f_c)^2]$.

القيمة $m = 0.6$ توفر ممانعة منتصف توالي ثابتة على معظم حزمة الامارات فوياً جيداً (كما مبين بالمعادلة 15.45) وتوفر بالإضافة الى ذلك ذروة للتوهين عند :

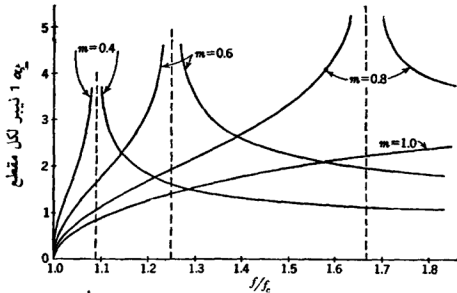
$f_c = \frac{f_e}{\sqrt{1 - (0.6)^2}} = 1.25f_e$
يمكن الحصول على ذروات توهين عند ترددات اخرى باستعمال مقاطع نوع م اضافية مع قيم اخرى لـ m .

حيث يكون مقطع الثابت ك له ذراعان مقلوبان ودائماً له $Z_1/4Z_2 \leq 0$ وهذا ليس صحيحاً لمقطع مشتقة م وفي التحضير لحساب ثابت التوهين الصوري من المعادلتين الاساسيتين (15.4) و (15.5) سنرجع الى الشكل (15.15) ونكتب التعبير لـ

$$\frac{Z_{1m}}{2Z_{2m}} = \frac{j\omega m L_k / 2}{j\omega \left(\frac{1 - m^2}{4m} \right) L_k - \frac{j}{\omega m C_k}} \quad ; \quad Z_{1m}/2Z_{2m}$$

باستعمال العلاقة $\omega_c^2 = 4/L_k C_k$ هذه تختصر الى :
$$\frac{Z_{1m}}{2Z_{2m}} = \frac{2m^2(f/f_c)^2}{(1 - m^2)(f/f_c)^2 - 1} \quad (15.48)$$

هذه النسبة سالبة للترددات المحصورة بين 0 و f_c وعند $f = f_c$ يصبح المقام صفراً وتصبح النسبة غير نهائية وفوق f_c النسبة موجبة وبالرجوع الى الشكل (14.5) يمكن تخيل نقطة تبدأ من الاصل عند تردد صفر تتحرك نحو اليسار وعند القطع تصل الى الاحداثي الافقي 1- وتتحرك الى منطقة التوهين وعند $f = f_c$ النقطة تتحرك الى قيم قصوى عند اليسار وترجع عند اقصى جانب اليمين للاحداثي الافقي وكلما ازداد التردد من f_c فإن النقطة تتحرك نحو الاصل من الجهة اليمنى والمعادلة (15.5) ممكن ان تستعمل لحساب التوهين لـ $f_c < f < f_m$ والمعادلة (15.4) يمكن ان تستعمل لـ $f > f_m$. ونتائج الحسابات مبينة في الشكل (15.16) لعدة قيم لـ m ، $m = 1$ المقطع يختصر الى نوع الثابت ك وذروة التوهين تجىء عند تردد غير نهائي . لقد لوحظ بأن قيمة صغيرة لـ m تجعل التوهين عالياً حالاً خارج القطع الاسمي ولكن الثمن المدفوع لهذه الخاصية المرغوبة هو توهين قليل على امتداد مقياس التردد .



شكل (15.16) ثوابت التوهين الصورية لمقاطع نوع م امرار واطى لعدة قيم لـ m .

مثال : مرشح امرار واطى مركب :

صمم امرار واطى مركب يشتمل بين ممانعتين مقاوميتين 500 اوم له تردد قطع 4,000 هرتز وبالإضافة الى ذروة توهين تحدث عند $f_c = 5000$ $f_m = 1.25 f_c$ هرتز وبنسبة مقطعي انتهاء ويراد ان تكون ذروته عند 4,500 هرتز . لاني نموذج اولي نستعمل المعادلتين (15.14) مع $f_c = 500$ اوم $f_m = 4,000$ هرتز وهذه

$$L_k = \frac{R}{\pi f_c} = \frac{500}{4,000\pi} = 39.8 \times 10^{-3} \text{ henry} \quad \text{نتج الى :}$$

هنري

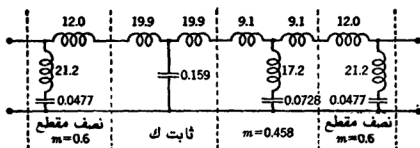
$$C_k = \frac{1}{\pi R f_c} = \frac{1}{500 \times 4,000\pi} = 0.159 \times 10^{-6} \text{ farad} \quad \text{فراڊ}$$

لنصفى مقطعي الانتهاء ، سنرجع الى الشكل (15.15) ونستعمل $m = 0.6$:

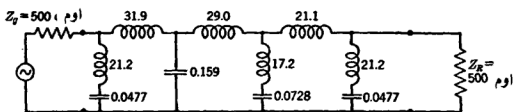
$$L_1 = m L_k = 0.6 \times 39.8 \times 10^{-3} = 23.9 \times 10^{-3} \quad \text{هنري}$$

$$L_2 = \left(\frac{1 - m^2}{4m} \right) L_k = \left(\frac{0.64}{4 \times 0.6} \right) \times 39.8 \times 10^{-3} = 10.6 \times 10^{-3} \quad \text{هنري}$$

$$C_2 = m C_k = 0.6 \times 0.159 \times 10^{-6} = 0.0954 \times 10^{-6} \quad \text{فراڊ}$$



(أ) مقاطع منفردة في المرشح المركب



(ب) مرشح مركب كامل

شكل 15.17 مرشح مركب امرار وأطوى ، القيم مؤشرة بالملي هنري والميكروفراد .

لتصميم مقطع يوفّر ذروة توهين عند 4,500 هرتز نستعمل المعادلة (15.46) :

$$m = \sqrt{1 - \left(\frac{4,000}{4,500} \right)^2} = 0.458$$

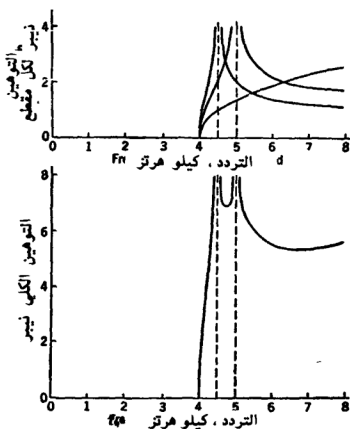
وبالرجوع مرة اخرى الى الشكل (15.15) واستعمال القيمة الجديدة لـ m وجدنا لهذا المقطع :

$$L_1 = 0.458 \times 39.8 \times 10^{-3} = 18.2 \times 10^{-3} \quad \text{هنري}$$

$$L_2' = \left(\frac{1 - (0.458)^2}{4 \times 0.458} \right) \times 39.8 \times 10^{-3} = 17.2 \times 10^{-3} \quad \text{هنري}$$

$$C_2' = 0.458 \times 0.159 \times 10^{-6} = 0.0728 \times 10^{-6} \quad \text{فراڊ}$$

المقطعان الكاملان ونصفا مقطعي الانتهاء مبينان في الشكل (15.7) ، في تعيين قيم العناصر ، يجب التذكير بأن كل نصف لذراع توالٍ له الممانعة $Z_1 / 2$.
 الشكل (15.17 ب) يبين التركيب المحصل عليه عندما جمعت العناصر المتجاورة لتكوين اقل عدد من الاجزاء المنفردة والتوهين الناتج للمركب المرشح (باهمال تأثير الانعكاس في الطرفين وبفرض ان العناصر عديمة الفقد) مبينة في الشكل (15.18) .



شكل (15.18) توهين لمرشح مركب للشكل (15.17) باهمال تأثير الانعكاس .

15.7 مقاطع اخرى نوع م مشتقة على التوالي :

Other Series- derived m- type Sections.

الصيغ العامة المعطاة في الجزء (15.5) يمكن ان تستعمل بطريقة مشابهة لتلك الموضحة لمرشح امرار واطلي لتصميم مقاطع نوع م لامرار عالي وامرار حزمة وحذف حزمة وسوف لا تعطى التفاصيل للعلاقات التصميم هنا ولكن من الممكن ايجادها في عدة كتب . الجداول لمعلو ن التصميم المعطى في المراجع تحت مستوى بانها مفيدة وبصورة خاصة :

Harold Pender and Knox Mellwain, "Electrical Engineers' Handbook—Communications and Electronics," pp. 7-46 to 7-52, John Wiley & Sons, Inc., New York, 1936.

T. E. Shea, "Transmission Networks and Wave Filters," pp. 291, 306, 315-318. 335; D. Van Nostrand Company, Inc., New York, 1929

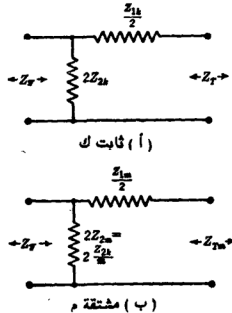
F. E. Terman, "Radio Engineers' Handbook," pp. 228-231, McGraw-Hill Book Company, Inc., New York, 1943.

في هذه الجداول سيرى بان الشكل العام لذراع معقد في بعض الاحيان مختلف عن ذلك المعطى في الاشتقاقات هنا ، عمل هذا لكي يوفر قيمة ملائمة اكثر للمحاة والسعة وفي كل حالة ، فان طرق الجزئين (14.4) و (14.5) ممكن استعمالها للبرهنة على ان الذراع الجديد له المفاعلة نفسها مع تغير التردد كالتقديم .

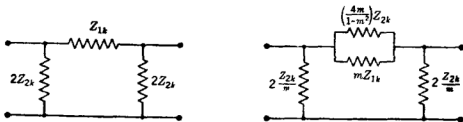
15.8 مقطع نوع م مشتق على التوازي :

15.8. The Shunt- derived m- type Section

مقطع نوع م مشتق على التوالي اقترح ليوائم على الاسس الصورية مع مقاطع T لنوع الثابت ك ومقطع نوع م المشتق على التوازي من الجهة الاخرى يقترح ليوائم مع المقطع π . الشكل (15.19) يبين نصفي المقطعين اللذين لهما Z_0 نفسها ولاشتقاق المقطع m فان ممانعة دائرة الفتح كما قيست من اليسار تقسم بالعامل m وهذا يعطي العلاقة :



شكل 15.19 نصف مقطع ثابت ك مه
مماثلة تركيب نوع م مشتق على التوازي .



شكل (15.20) مقطعات ثابت ك ونوع م مشتق على التوازي .

$$Z_{2m} = \frac{Z_{2k}}{m} \quad (15.49)$$

لابقاء Z نفسها لكلا المقطعين ، ممانعة دائرة القصر يجب ان تضرب بـ m ويتطلب هذا الى ان :

$$\frac{1}{Z_{1m}} = \frac{1}{mZ_{1k}} + \left(\frac{1-m^2}{4m} \right) \frac{1}{Z_{2k}} \quad (15.50)$$

وعليه فأن ذراع التوازي يحتوي على جزئين متوازيين واحد له خواص Z_{1k} والاخر Z_{2k} وفي حزمة التوهين ، غير الرنان للجزئين المتوازيين يحدثان (نظرياً) توهيناً غير نهائي والشكل العام مبين في الشكل (15.20) .

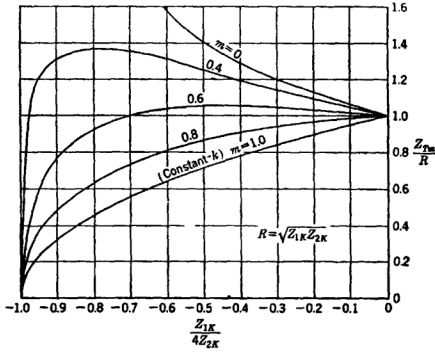
ان ممانعة منتصف التوازي الصورية هي الان نفسها كتلك التي للانموذج الاول للثابت ك ، وممانعة منتصف التوازي الصورية وجدت بأنها :

$$Z_{2m} = \frac{\sqrt{Z_{1k}Z_{2k}} \sqrt{1 + Z_{1k}/4Z_{2k}}}{1 + (1 - m^2)Z_{1k}/4Z_{2k}} \quad (15.51)$$

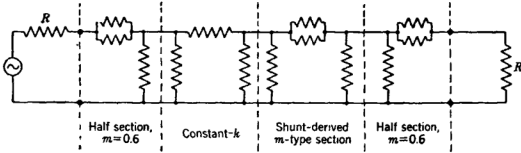
رسمت هذه في الشكل (15.21) والاحداثيات الصادية هي مقلوبة بالنسبة الى R^2 لتلك المبينة في الشكل (15.13) لـ Z_r لمقطع مشتق على التوازي .

لقيم معينة لـ m فأن خواص التوهين هي نفسها كتلك المماثلة لمقطع مشتق على التوازي ويتضح مرشح مركب مبني على مقطع م مشتق على التوازي في الشكل (15.22) . الثابت النسبي لممانعة منتصف التوازي الصورية مع $m = 0.6$ يستعمل في نصفي مقطعي الانتهاء .

ومعلومات التصميم توجد في المراجع المعطاة في الجزء السابق .



شكل 15.22 تغير ممانعة منتصف توالي صورية لمقطع نوع م مشتق على التوازي .



شكل 15.22 مرشح مركب حول مقطع نوع م مشتق على التوازي كل المقاطع لها Z نفسها .

15.9 مقاطع مرشح أخرى : Other Filter Sections.

في الاجزاء السابقة نوقشت انواع المرشحات الاكثر شيوعاً ولكنها على اية حال لاتنهي الاحتمالات وابتداء بمقطع نوع م يستطيع الواحد ان يشتق منها مايسمى بنوع م - m' type. بطريقة مماثلة لتلك المستعملة في الذهاب من ثابت ك الى نوع مشتقة م ، ان نصف مقطع « مشتقة م الثنائية » يمكن تصميمها لتكون له ممانعة صورية ثابتة اكثر من تلك لمقطع « مشتقة م المنفردة » ولذلك فانها توفر تحسناً في خواص التوهين^(١).

(١) لاحظ ،

¹ See Otto J. Zobel, Extensions to the Theory and Design of Electric Wave Filters, Bell System Tech. J., Vol. 10, p. 284, April, 1931; and E. A. Guillemin, "Communication Networks," Vol. II, pp. 341-352, John Wiley & Sons, Inc., New York, 1935.

مقاطع لمرشح تستعمل في بعض الاحيان وهي ليست ثابت ك او مشتقة م وهذه المقاطع بصورة عامة تصمم لكي تلائم اما منتصف التوالي او منتصف التوازي مع مقاطع لنوع الثابت ك والمثال 2 للجزء (14.2) هو توضيح لهذا ، مماذمة منتصف التوالي الصورية هي نفسها لتلك للثابت ك . الاحتمالات الاكثر اهمية مبينة في جداول التصميم للمراجع المعطاة في الجزء (15.7) .

15.10 القابلو المحمل - كتلياً كمرشح امرار واطي :

The Lump- loaded Cable as a Low-passfilter.

كما نوقش في الجزء (2.9) فإن قابلو تردد سمي له محاذة واطئة بصورة غير اعتيادية وسعة واطئة بسبب قرب الموصلين في الدرع Sheath- ويمكن تقليل التوهين للخط بصورة كبيرة ويمكن جعل الخط يقترب اكثر من شرط عدم التشوه بتحميله بمحاذة على التوالي وفي الخطوط الارضية يعمل هذا بصورة عامة بربط ملفات محاذة على التوالي عند فواصل معينة ، ان تأثير هذا نوقش في الجزء (2.9) تحت فرضية ان المحاذة وزعت بانتظام وهذا التحليل دقيق بصورة كبيرة لحد الترددات التي عندها يكون عدد الملفات صغيراً لكل طول موجة وبعد هذا يحدث تكثيل التحميل تأثيراً مشابهاً لمرشح امرار واطي .

في اكثر قابلوات التحميل الممثل محاذة ملفات التحميل هي اكبر بكثير من محاذة الخط نفسها وعليه فإن التأثير الرئيسي لمقطع من خط بين ملفين هو فقط متسعة . وعندما تنظر بهذه الطريقة ، فان الخط يتكون من عدة مقاطع على التعاقب كل منها يحتوي على محاذة مكثلة على التوالي وتقريباً سعة مكثلة على التوازي وهذا يجعل الخط مرشح امرار واطي ثابت ك ، نستعمل الرموز الآتية :

L_1 = المحاذة المضافة لملفات التحميل لكل ميل لخط

C = السعة للخط لكل ميل

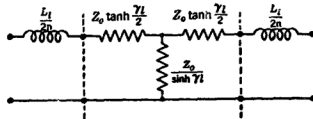
n = عدد ملفات التحميل او مقاطع التحميل لكل ميل .

المحاذة لمقطع تحميل واحد هي اذن L_1/n هنري والسعة لكل مقطع هي

C/n فراد . وباستعمال المعادلة (15.9 ب) لتردد القطع ، نجد ان :

$$f_c = \frac{1}{\pi \sqrt{(L_1/n)(C/n)}} = \frac{n}{\pi \sqrt{L_1 C}} \quad (15.52)$$

عند الترددات خارج 'مقطع' ينصرف الخط كما لو ان المحاثه وزعت ومن الممكن استعمال الصيغ الاعتيادية لخط منتظم وعند الترددات القريبة من المقطع ، فإن اداء الخط يمكن ان يحلل باختصار مقطع الخط بين الملفات الى مقطع T مكافئ وقد نوقشت الطريقة لعمل هذا في الجزء (4.8) وعليه كما أشر في الشكل (15.23) ، نصف المحاثه المكتلة لملف تحميل يضاف على التوالي عند كل جانب وعليه احداث مكافئ T صحيح للمقطع ويمكن حساب العلاقات الطرفية من هذه الدائرة المكافئة وسيحدث الخط (بالطبع) تشوهاً عند الترددات القريبة من المقطع ، ان عدد ملفات التحميل لكل ميل π يختار بدرجة كبيرة كافية لجعل تردد المقطع يحدث بعضاً ما ، او على الاقل ليس اوطأ من اعلى تردد ضروري يراد نقيه .



شكل (15.23) شبكة T المكافئة لمقطع تحميل واحد .

مسائل

1. صمم مقطع امرار واطيء ثابت ك له تردد قطع 2,000 هرتز . الممانعة المميزة عند الترددات الواطئة يجب ان تكون 1,000 اوم . ارسم تخطيطياً للشكلين العامين T و π . وبين قيم العناصر واحسب ثابت الطور الصوري عند 1,000 هرتز وثابت التوهين الصوري عند 4,000 هرتز .
2. برهن على انه لمقطع امرار واطيء ثابت ك ، الكمية $dB/d\omega$ تقترب من القيمة $2/\omega_c$ عند الترددات الواطئة ولاحظ بأن هذه هي مقلوب سرعة الطور وسرعة المجموعة (بمقاطع لكل ثانية) للاشارات التي تكون جيداً او طاً من القطع وعليه ان زمن التخلف لهذه الاشارات هو $2/\omega_c$ ثانية لكل مقطع (لاحظ المعادلتين (2.57) و (2.60)) .
3. صمم مرشح امرار عالي ثابت ك مع تردد قطع 1,000 هرتز وممانعة مميزة تقترب من 500 اوم . عند الترددات العالية . ارسم تخطيطاً للشكلين العامين T و π وبين قيم العناصر . احسب ثابت التوهين الصوري عند 5,000 هرتز وثابت الطور الصوري عند 2,000 هرتز .
4. صمم مرشح مقطع امرار حزمة ثابت ك مع تردد الصنع السفلي 1,000 هرتز وتردد القطع العلوي 2,000 هرتز . استعمل $R = 500$ اوم . ارسم تخطيطاً للشكلين العامين T و π وبين قيم العناصر . عند اي تردد $\beta = 0$ ؟
5. برهن على انه لمرشح ثابت ك نحصل على حزمة الامرار عندما $|Z_1| < 2R$.
6. برهن على ان مقطع امرار واطيء ثابت ك $Z_1 = j2R(\omega/\omega_c)$ وان $Z_2 = -j(R/2)(\omega_c/\omega)$.
7. مقطع مرشح امرار وانسيء منفرد مربوط كما مبين في الشكل (15.10) تردد القطع هو 1,000 هرتز و R_e تساوي 10 فولت . ارسم اتساعات فولتية جانب الاستلام كدالة للتردد في المدى $0 < f < 3,000$ هرتز .
8. مرشح ثابت ك امرار واطيء متكون من مقطعين T ومنته في مقاومة $R = \sqrt{L/C}$ ويساق بمولد له مقاومة داخلية مساوية الى R_e .
أ. احسب Z_T عند $f = \sqrt{2}f_c$ /
ب. استعمل المعادلة (13.11) لحساب نسبة الادخال للمرشح عند التردد $f = \sqrt{2}f_c$ جد فقد الادخال بالديسبل وازاحة طور الادخال لكل الشبكة وليس لمقطع واحد .
ج. كرر الفرع (ب) لمرشح من اربعة مقاطع .

9 . صمم مقطع امرار واطيء مشتق على التوالي نوع م مع تردد قطع ل 10,000 هرتز . التردد لتوهين غير نهائي يجب ان يكون 11,500 هرتز واستعمل $R = 700$ اوم .

10 . صمم مرشح امرار واطيء مركب يتكون من مقطع T كنموذج اولي ونصفي مقطعي انتهاء . تردد القطع يجب ان يكون 7,000 هرتز . استعمل $R = 500$ اوم . ارسم تخطيطاً لممانعة الطرف الصورية مع التردد في المدى $0 < f < 14,000$ هرتز .

11 . اعد المسألة 10 ولكن استعمل مقطع π كنموذج اولي ونصفي مقطعي انتهاء .

12 . صمم مرشح عالي الامرار مركب يحتوي على مقطع T كنموذج اولي ونصفي مقطعي انتهاء . تردد القطع يجب ان يكون 5,000 هرتز استعمل $R = 700$ اوم .

13 . صمم مرشح امرار حزمة مركب يحتوي على مقطع T كنموذج اولي ونصفي مقطعي انتهاء . تردد القطع يجب ان يكون 8,000 و 12,000 هرتز . استعمل $R = 500$ اوم .

14 . برهن على انه في حزمة التوهين : ثابت التوهين لمقطع امرار واطيء مشتقة م معطى ب :

$$\alpha = \left| \frac{(1 + m^2)(f/f_c)^2 - 1}{(1 - m^2)(f/f_c)^2 - 1} \right|$$

15 . قابلو هاتف له $L = 0.001$ هنري لكل ميل و $C = 0.062 \times 10^{-6}$ فراد لكل ميل . ملفات التحميل اضيفت عند فواصل ل 1.14 ميل وكل ملف له محاثه 0.044 هنري ووضع ملف واحد على التوالي مع كل سلك عند نقاط التحميل . استخراج تردد القطع للقابلو المحمل .

16 . قابلو هاتف له $L = 0.0007$ هنري لكل ميل و $C = 0.062 \times 10^{-6}$ فراد لكل ميل . المحاثه يجب ان تزداد الى 0.0400 هنري لكل ميل باستعمال ملفات التحميل . اذا اريد ان يكون تردد القطع 11,000 هرتز ماذا يجب ان تكون مباعدة الملفات ؟

جدول تحويل الوحدات

1 انج	0.2540	متر
1 قدم	0.3048	متر
1 ياردة	0.9144	متر
1 ميل	1.6093	كيلومتر
1 ديسبل لكل ميل	$10 \text{ Loge } 1.6093 = 4.7580$	ديسبل لكل كيلومتر
1 فراد لكل ميل	0.6214	فراد لكل كيلومتر
1 هنري لكل ميل	0.6214	هنري لكل كيلومتر
1 نيبر لكل ميل	$10 \text{ Loge } 1.6093 = 4.758$	نيبر لكل كيلومتر
1 اوم لكل ميل	0.6214	اوم لكل كيلومتر
1 زاوية نصف قطرية لكل ميل	0.6214	زاوية نصف قطرية لكل كيلومتر
1 سيمنس لكل ميل	0.6214	سيمنس لكل كيلومتر

جميع الحقوق محفوظة. لا يمكن إعادة نشر أو توزيع هذا المجلد إلا بموافقة الناشر.

مكتبة دار الكتب العلمية
باصفهان